

UNIVERSITATEA TEHNICA DIN TIMISOARA

FACULTATEA DE MECANICA

Ing Valer Dolga

Sinteză dimensionala a mecanismelor
cu couple cinematice elastice
cu aplicații la construcția
dispozitivelor de compliantă

-teza de doctorat-

Conducător științific:

Prof. dr. ing. Francisc Kovács

BIBLIOTECA CENTRALĂ
UNIVERSITATEA "POLITEHNICA"
TIMIȘOARA

1992-

TITUL PRĂZDINCELE "POLITEHNICA"

84-1

12

576291

363 F

CUPRINS

	pag.
Introducere	1
1.Stadiul actual al cercetarilor privind automatizarea flexibila a montajului	3
1.1.Montajul,flexibilitatea acestuia si robotul industrial.....	3
1.2.Robotul industrial pentru montaj.....	11
1.3.Mediul tehnologic in montajul robotizat si variabilitatea acestuia.....	25
1.4.Erorile de situare ale robotilor industriali.....	30
1.5.Modalitati de realizare a corectiei erorilor de situare in montajul robotizat.....	31
1.6.Modalitati de realizare a dispozitivelor de complianta.....	32
1.7.APLICATII ale robotilor industriali in montajul automat.....	40
1.7.1.APLICATII ale robotilor industriali de montaj in industria constructoare de masini.....	40
1.7.2.APLICATII ale RI de montaj in industria electronica.....	41
1.7.3.APLICATII ale RI in industria electrotehnica....	42
2.Stadiul actual al cercetarilor cu privire la studiul mecanismelor cu couple cinematice elastice.....	44
2.1.Introducere.....	44
2.2.Structura mecanismelor cu couple cinematice elastice.....	44
2.2.1.Introducere.....	44
2.2.2.Noticarea de element din componenta mecanismelor cu couple cinematice elastice.....	44
2.2.3.Geneza notiunii de cupla cinematica elastica....	45
2.2.4.Analiza structurala a mecanismelor cu couple cinematice elastice.....	46
2.3.Metode pentru analiza cinetostatica a mecanismelor cu couple cinematice elastice.....	47
2.3.1.Introducere.....	47

2.3.2. Metoda centrului elastic.....	47
2.3.3. Metoda sistemelor static nedeterminate.....	51
2.3.4. Metoda elementelor finite.....	53
2.3.5. Metoda analizei cinematico-cinetostatice.....	54
2.3.6. Modelul cinematico-static pentru MCCE cu elemente din elastomeri.....	55
2.3.7. Metoda aproximativ-funcțională pentru MCCE cu elemente din elastomeri.....	56
2.3.8. Metoda aproximativa a deformațiilor mici.....	56
2.4. Analiza dinamica a mecanismelor cu couple cinematice elastice.....	57
2.4.1. Introducere.....	57
2.4.2. Metoda de analiza dinamica bazata pe noțiunea de centru elastic.....	58
2.4.3. Metoda ecuațiilor lui Lagrange de ordinul doi... 60	60
2.5. Proiectarea optimala a mecanismelor cu couple cinematice elastice.....	61
2.6. Studiul experimental al mecanismelor cu couple cinematice elastice.....	61
2.6.1. Introducere.....	61
2.6.2. Determinarea parametrilor funcționali ai MCCE... 62	62
2.6.3. Determinarea parametrilor funcționali ai MCCE in operații de montaj.....	63
2.6.4. Determinarea parametrilor MCCE in operații de montaj industrial.....	64
3. Scopul lucrarii.....	65
4. Modele matematice ale operației de montaj stift-alezaj.. 67	67
4.1. Introducere.....	67
4.2. Analiza erorilor de situaare ale robotilor industriali si influenta acestora in operatiile de montaj.....	67
4.3. Modelul structural al montajului robotizat stift- alezaj.....	72
4.4. Modelul matematic al montajului stift-alezaj..... 73	73
4.4.1. Introducere.....	73
4.4.2. Modelul geometric.....	74
4.4.2.1. Modelul geometric al montajului stift rigid alezaj elastic.....	74
4.4.2.2. Modelul geometric al montajului stift rigid alezaj rigid.....	77

4.4.3. Modelul dinamic.....	82
4.4.3.1. Modelul dinamic al montajului stift rigid alezaj elastic.....	82
4.4.3.2. Modelul dinamic al montajului stift rigid alezaj rigid.....	85
4.5. Estimarea spatiului admisibil pentru erorile de situare in montajul stift rigid-alezaj rigid.....	91
5. Sinteză optimala a mecanismelor cu couple cinematice elastice utilizate la operatii de montaj.....	92
5.1. Introducere.....	92
5.2. Sinteză structurală a MCCE pentru operatii de montaj.....	92
5.3. Sinteză dimensională a MCCE pe baza noțiunii de centru elastic.....	96
5.3.1. Introducere.....	96
5.3.2. Centrul elastic al unui MCCE.....	96
5.3.3. Calculul rigiditatilor efective ale MCCE cu elemente elastice metalice.....	101
5.3.4. Proiectarea optimala a MCCE pentru operatii de montaj.....	104
5.3.4.1. Principii de proiectare optimala a MCCE.....	104
5.3.4.2. Formularea problemei de optimizare a MCCE..	107
5.3.4.3. Optimizarea MCCE din punctul de vedere al rigiditatilor.....	110
5.3.5. Proiectarea MCCE pe baza noțiunii de centru elastic.....	113
5.4. Calculul MCCE prin metoda elementelor finite.....	118
5.5. Estimarea fiabilitatii MCCE.....	122
5.6. Alegerea optimala a MCCE.....	125
6. Incercari experimentale.....	128
6.1. Introducere.....	128
6.2. Incercarea unui MCCE plan.....	128
6.2.1. Introducere.....	128
6.2.2. Prezentarea generala a standului folosit.....	128
6.2.3. Caracteristicile traductoarelor inductive.....	129
6.2.4. Solutiile constructive ale MCCE plane analizate.....	131
6.2.5. Rezultate experimentale ale incercarilor MCCE plane.....	133
6.2.5.1. Consideratii generale.....	133

6.2.5.2. Incercari efectuate asupra MCCE	
varianta "a".....	133
6.2.5.3. Incercari efectuate asupra MCCE	
varianta "b".....	139
6.3. Incercarea unui MCCE spatial cu 4 elemente	
elastice.....	142
6.3.1. Introducere.....	142
6.3.2. Descrierea modelului si a datelor preliminare	
pentru incercari.....	142
6.3.3. Rezultate experimentale.....	143
6.4. Incercarea unor MCCE spatiale cu 3 elemente	
elastice.....	150
6.4.1. Introducere.....	150
6.4.2. Descrierea modelelor experimentale si a datelor	
preliminare pentru incercari.....	151
6.4.3. Rezultate experimentale - MCCE - S3P.....	152
6.4.4. Rezultate experimentale - MCCE - S3Ia.....	157
6.4.5. Rezultate experimentale - MCCE - S3Ib.....	163
6.4.6. Comparatie intre caracteristicile MCCE spatiale	
cu 3 elemente elastice.....	167
6.5. Incercarea unui MCCE intr-o operatie de asamblare	
stift-alezaj. Stand experimental.....	167
6.6. Determinarea unor elemente specifice MCCE pe baza	
rezultatelor experimentale.....	170
6.7. Concluzii	171
7. Consideratii si concluzii finale. Contributii originale.	172
Bibliografie.....	178
Anexa	

INTRODUCERE

Raspindirea in ultimii ani a sistemelor de fabricatie flexibila a cunoscut un progres continuu. Obtinerea unei fiabilitati ridicata pentru componenta principala a sistemului de fabricatie flexibila-robotul industrial-impune un studiu atent in faz de proiectare.

Succesul unor operatii tehnologice de montaj robotizat depinde in mare masura de dispozitivul de complianta care intr in componenta efectorului.

Studiul si proiectarea mecanismelor pe baza carora se realizeaza dispozitivele de complianta trebuie sa aiba in vedere realizarea optima a functiilor acestuia.

In general elaborarea unui model este primul pas in cercarea de abstractizare legata de un termen real, de elaborarea unei teorii care sa-l explice si eventual sa-i anticipateze evolutia. Acest lucru este valabil si pentru dispozitivele de complianta.

Utilizarea modelarrii mecanismului ce intra in componenta dispozitivului permite simularea functionarii efectorului la diferite operatii tehnologice.

Elaborarea unui model corect si eficient ai unui sistem original impune o sinteza a ceea ce se stie despre acel sistem. Modelul trebuie sa fie adevarat scopului propus: un model excesiv de complicat poate deveni greoi in timp ce un model simplisat poate fi incorect prin neglijarea unor aspecte ale sistemului.

Eficiența unui model de caicul poate fi evaluata printr-un raport dintre cantitatea de informații obținute în final și cea de informații introduse ca date de intrare. Un model este considerat mai eficient, cu cat acest raport este mai mare. Nu este suficient ca modelul sa fie corect; el trebuie să asigure și realizarea unor performante ridicate, adica să fie optim.

In acest sens teza dezvoltă conceptia privind problema

sintezei unor mecanisme din componenta dispozitivului de complicita ai robotilor industriali pentru montaj.

* * *

Autorul aduce cele mai calde multumiri d-lui prof.dr.ing. Francisc Kovacs, conducatorul stiintific, pentru indrumarea competenta, pentru sprijinul acordat pe durata perioadei de pregatire si elaborare a tezei, pentru grijă si atentia profesionala aratați autorului.

Autorul exprima de asemenea calde multumiri d-lui prof.dr.ing. Dan Perju, d-lui prof.dr.ing. Nicolae Gheorghiu, d-lui prof. dr. ing. Octavian Gligor pentru sugestiile de un real folos pe care le-au formulat cu prilejul sustinerii examenelor, referatelor si pe tot parcursul elaborarii tezei.

Autorul isi exprima profunda recunostinta fata de dl.prof.dr.ing. Marcu Balekics, dl.prof.dr.ing. Mihail Crudu, dl.conf.dr.ing. Alfred Pommersheim care prin discutiile directe i-au sprijinit neintrerupt si cu o deosebita caldura in actiunea de elaborare lucrarii .

Multumirile autorului se indreapta de asemenea spre tot colegii din Catedra de Organe de masini si mecanisme pentru sugestiile referitoare la prezența lucrară.

Pentru sprijinul acordat in realizarea partii experimentale, autorul aduce multumiri colectivului tehnic al Catedrei Organe de masini si mecanisme.

1. STADIUL ACTUAL AL CERCETARILOR PRIVIND AUTOMATIZAREA FLEXIBILA A MONTAJULUI

1.1 MONTAJUL, FLEXIBILITATEA ACESTUIA SI ROBOTUL INDUSTRIAL

Folosind noțiunile curente din teoria sistemelor, sistemul de producție-unitatea de producție se poate considera ca este compus dintr-o serie de subsisteme, montajul fiind unul dintre acestea și ocupând locul final (fig.1.1) /W.13/

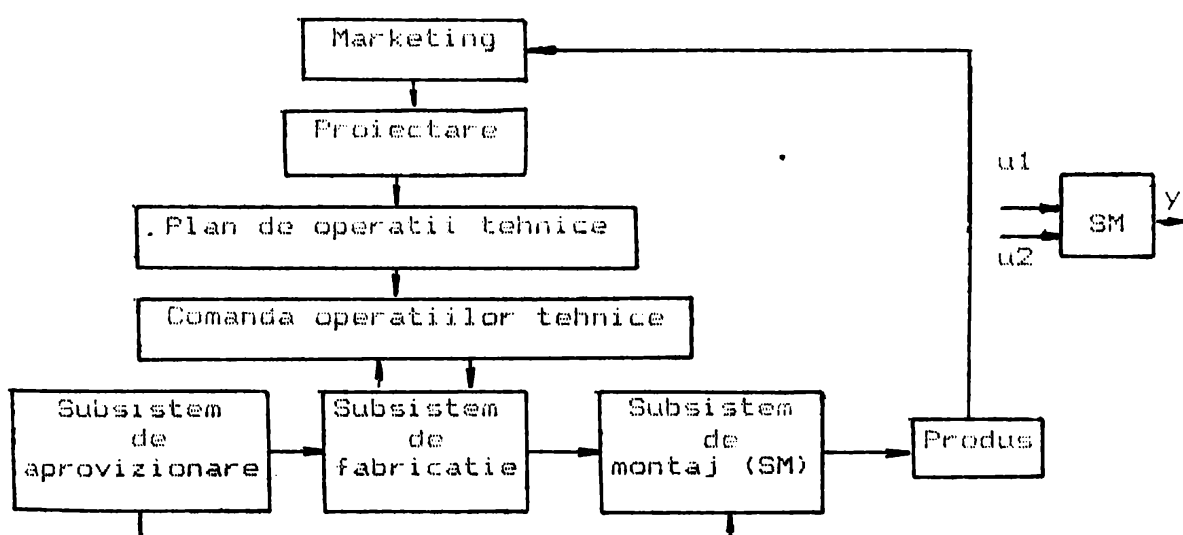


Fig.1.1

Intrările "u₁" în sistemul de montaj reprezintă elementele constructive sau subansamblurile care se vor monta în condițiile unor instrucțiuni tehnologice "u₂" iar ieșirile "y" sunt produsele montate.

Costul de producție în construcția de mașini este influențat în mare măsură (30 % - 50 %) /C1/ de volumul de munca din montaj care poate atinge (25 % - 30 %) din volumul total /G1/. În construcția de apărate volumul de munca în montaj ajunge pînă la (40 % - 70 %) /C1/. Cu toate acestea automatizarea operațiilor de montaj se referă la cel mult 6 % în CSI (fosta URSS) ajungind la

10 % in SUA si Japonia.

In SUA din 18 milioane de muncitori lucrind in industrie, 8 milioane lucreaza in montaj/G1/. In 1972 la Charles Stark Draper Laboratory - finantat de National Science Fundation - s-a lansat alternativa montajului automatizat /N4/. Optimizarea a numai 75 % din aceasta munca de montaj ar permite economisirea pina la 22 % din produsul national brut /G1/,/H1/.

In Germania costul lucrarilor de montaj in constructia de masini si de aparate se incadreaza intre 30 % - 50 % din costul total /G1/. In fosta Germanie de est se estima ca montajul ocupa pina la 36,7 % din volumul total de munca repartizat astfel: 87 % manual, 11 % mecanizat si numai 2 % automatizat /G1/.

Se poate afirma pe baza acestor considerente ca exista o baremă răminere in urma in ceea ce priveste dotarea tehnica a subsistemului de montaj in comparatie de exemplu cu prelucrările mecanice. Acest lucru se reflecta si in calitatea unor produse. Realizarea manuala a unor operatii de montaj permite unele abateri calitative pe parcursul operatiilor anterioare (eliminate prin ajustari in cadrul operatiilor de montaj) care pot deveni de fapt surse pentru defecte ulterioare.

Studii realizate in principalele tari industrializate din lume evidențiază faptul ca realizarea unor sisteme de montaj flexibile ar putea conduce la cresteri substantiale a productivitatii si la asigurarea unei calitati sporite a produselor.

Se defineste flexibilitatea prin aceea calitate a unui sistem tehnologic de a se adapta la sarcini de productie diferite atit sub aspectul produsului cit si al metodelor de productie /C1,C2/. In conditiile specifice industriei de astazi obligata la o continua diversificare, asocierea noțiunilor tehnologie-automatizare implica in mod obligatoriu adaugarea flexibilitatii ca principala conditie.

Abordarea tehnologiei ca sistem precum si "revolutia" in informatizare au influentat in mod radical gindirea tehnologica in ultimele doua decenii. Realizarea tehnologiilor flexibile de montaj valorifica in esenta aceste doua directii.

Sintetizind proprietatile de flexibilitate, se pot defini urmatoarele /M3/,/K2/:

a)elasticitatea-capacitatea sistemului de a asambla produse diferite cu numar variabil de componente,"aici si acum", fara modificari majore

- b) acomodarea-capacitatea sistemului de a fi modificat (după montaj) prin alterarea sistemului sau a subsistemului
- c) reutilizare-capacitatea sistemului de a fi modificat, după indeplinirea sarcinii, prin modificarea atât a structurii cât și a subsistemelor
- d) insensibilitate-capacitatea sistemului de a accepta deviații cantitative și calitative a componentelor și proceselor fără a se produce devieri ale operațiilor

Legaturile dintre flexibilitate, obiectivele parțiale și finale sunt prezentate în fig. 1.2.

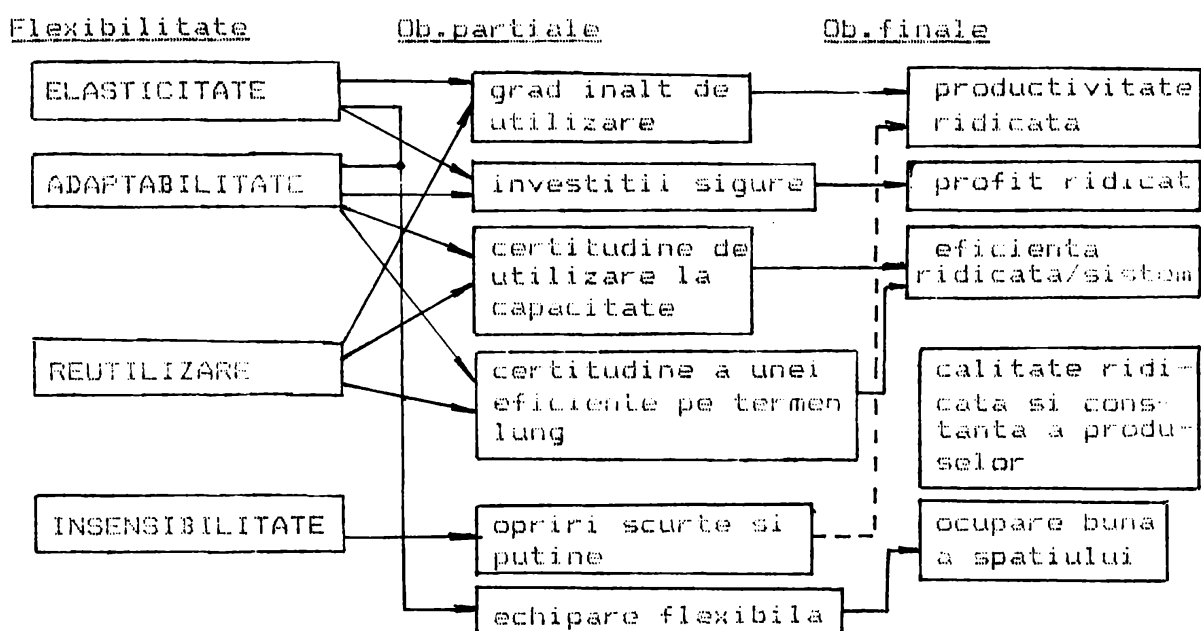


Fig.1.2

Aspecte ale legăturilor dintre flexibilitate și profitabilitate sunt abordate în /M3/.

Profesorul Makino de la Yamanashi University (Japonia) a introdus noțiunea de indicator de elasticitate VI /T1/ pentru a evalua flexibilitatea unei linii de asamblare:

$$VI = \frac{1}{C_1} \quad (1.1)$$

Coefficientii C_i tin cont de diferențele aspecte ale elasticității sistemului (interne, externe, produs, timp etc./T1/):

C_1 -coefficient arbitrar ce tine cont de complexitatea produselor asamblate într-un an (de ex. pentru: micromotoare- $C_1=100$; disc pentru frâna- $C_1=5$; releu- $C_1=30$; circuite imprimante- $C_1=20$).

C_2 -coefficient de producție; $C_2=100/n$, n=produsul lună (1000 de piese).

C_3 -coefficientul duratei de asamblare; $C_3=30/t$, t=durata de asamblare a produsului

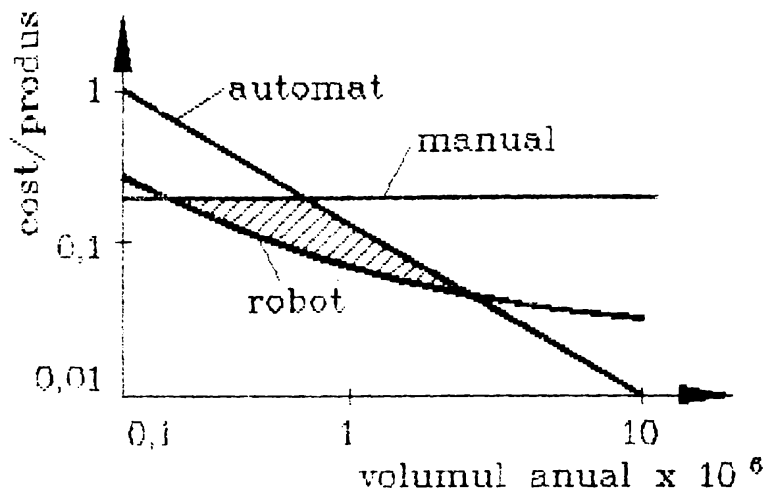


Fig.13.

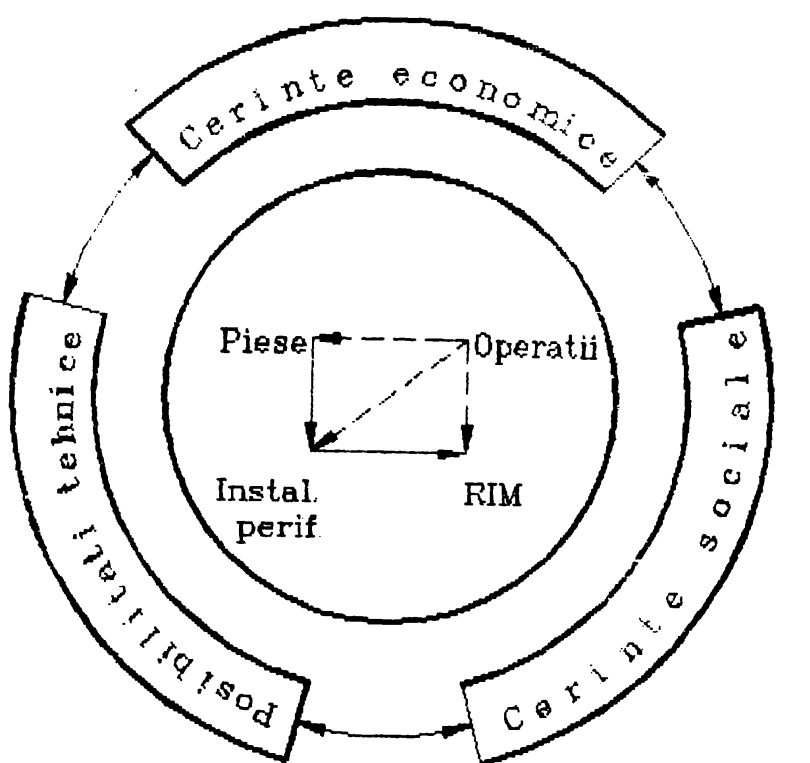


Figura 1.4

C_4 -coeficientul numarului de componente; $C_4=B/10$, B =numarul de componente pe ansamblu produs

C_5 -coefficient de dimensiune a produsului (rezistoare- $C_5=0,5$; releu, bujie- $C_5=1$; ventil, micromotor- $C_5=2$; amplificator audio $C_5=3$ etc.)

Prezenta robotilor industriali in sistemul de montaj este recomandata daca indicele de elasticitate VI obtinut se incadreaza in intervalele:

10 - 1000roboti industriali
(nivel manipulare,
obiect)

10000roboti industriali
inteligenti(nivel
obiectiv)

Folosirea robotilor industriali este recomandata si functie de volumul de munca anual raportat la costul realizat/produs /H4/,/S3/,/S3/(fig.1.3).

Avind ca punct de plecare metoda sistemului de timp MTM (Methods Time Measurement) pentru activitatea umana s-a dezvoltat la Purdue University /P6/ o metodologie analoaga:"robot time and motion" (RTM). S-a creat astfel o baza teoretica de evaluare a eficacitatii RI in cadrul sistemului de montaj.

Nivelul cel mai inalt de flexibilitate este acela la care structura sistemului nu necesita adaptari cu caracter mecanic, pentru intreaga varietate de produse prevazute.Acest lucru se realizeaza in principal prin introducerea robotilor industriali .

Superioritatea robotilor industriali (RI) in sistemele de montaj consta in insasi marea lor flexibilitate,in domeniul larg al miscarilor de lucru,in posibilitatea executarii unor operatii diferite.

Structura globala a sistemului flexibil de montaj robotizat (SFMR) este arata in fig.1.4./D2/.Elementele acestei structuri -piesele ,instalatiile periferice (alimentare-evacuare, control etc.),RI trebuie privite ca un tot unitar datorita dependentelor reciproce dintre ele (operatiile de montaj se desfasoara intr-un anumit mediu care la rindul sau influenteaza desfasurarea acestor operatii).

In forma sa cea mai generala procesul tehnologic de montaj consta in montarea unui ansamblu compus din mai multe piese suprapuse (suprapunerea este conditionata de orientarea

relativa dintre piese)care sousesc in sistem intr-o succesiune si pozitie oarecare.Flexibilitatea sistemului de montaj implica adaptarea lui automata la variatia mediului tehnologic.In acest scop in cadrul sistemului este necesara o conducere perfecta intre RI-IP si controlul unui numar cit mai mare (posibil) de parametri :identificarea formelor,controlul pozitiei pieselor ce intra in sistem ,controlul forTELOR si a momentelor in procesul de asamblare a doua piese ,indeplinirea corecta a diferitelor etape ale montajului ,viteze,acceleratii etc.

Numarul mare al parametrilor ce trebuie inregistrati si in general problema de rezolvat-montajul robotizat-conduce la realizari sub o forma complexa a cuplului IP-RI.Gradul de complexitate constructiva a IP-RI luate in ansamblu se mentine aproximativ constant:cu cit IP au un grad de complexitate mai mare (controleaza mai multi parametri)cu atit RI va avea o complexitate mai redusa si invers.

Determinarea exacta a functiunilor SFMR prezinta o importanta deosebita pentru conceptia tehnologiei de montaj. Functiunile de baza ale montajului robotizat considerat ca sistem sunt urmatoarele :

-manipularea-operatia executata in mediul industrial avind drept scop:schimbarea de loc,directie si pozitie a unor elemente constructive,subansambla sau produse finite,depozitarea.

-asamblarea-operatia tehnologica prin care din elemente constructive sau subansamble se obtin subansamble de rang superior sau produs finit.

-controlul-operatia de verificare a calitatii pieselor,a executarii manipularilor ,a efectuarii corecte a asamblarii,a functionarii corecte etc.

Nu s-a inclus ca si functie de baza-ajustarea si reglarea (functie de baza a montajului propriuzis) avind in vedere posibilitatea restrinsa de a fi executata de catre RI.

Studiul flexibilitatii sistemelor de montaj impune si analiza relatiilor cadentă-sistem si operator-uman.Atit in primul caz cit si in al doilea,introducerea RI nu poate fi decit pozitiva.In cazul in care se solicita de exemplu marirea cadentei productiei RI poate fi programat astfel incit sa deserveasca mai multe posturi de lucru.

Flexibilitatea legaturii operator uman-sistem devine de asemenea mai buna in cazul integrarii RI in sistem.Operatiile

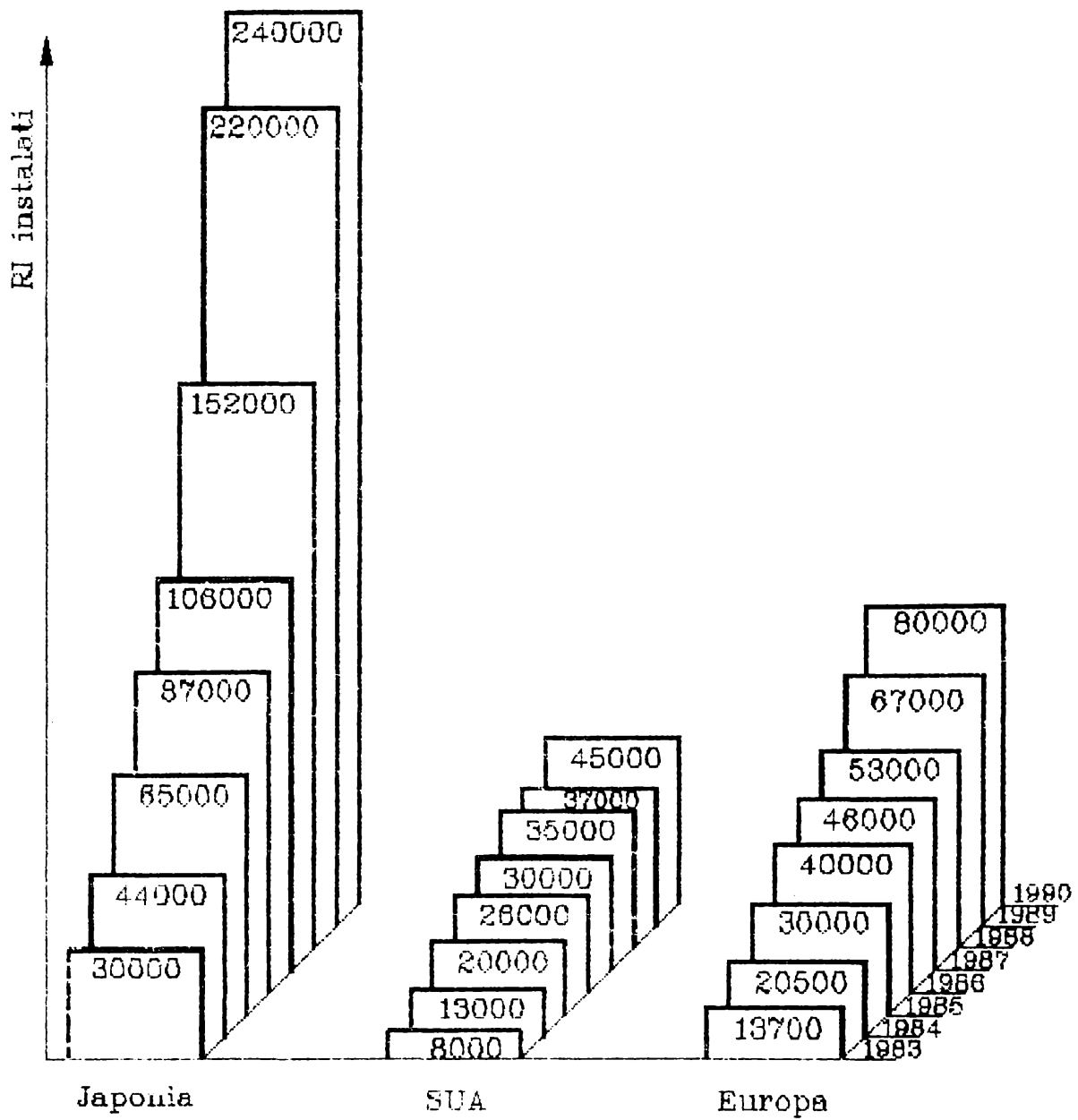


Figura 1.5 a

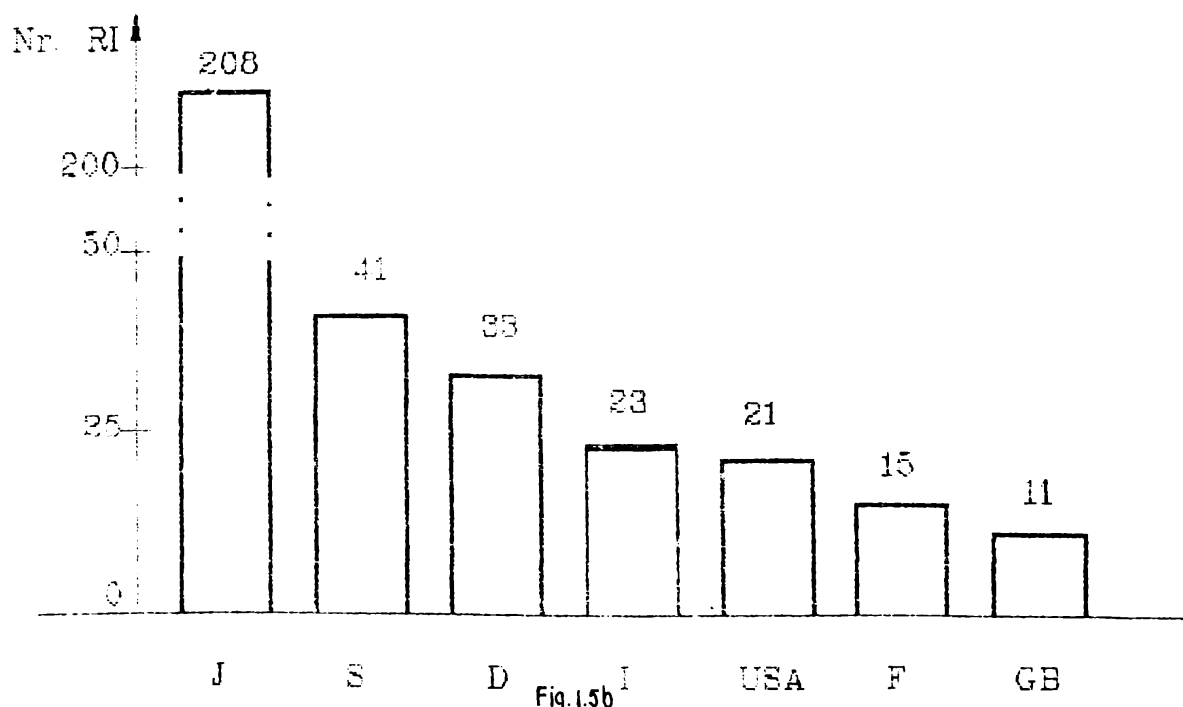


Fig. 1.5 b

repetitive, monotone se vor desfasura in mod automat prin intermediul RI sau a unor echipamente periferice in timp ce operatorul uman este pus sa sesizeze informatii eterogene si sa rezolve exceptiile sau abaterile aleatorii de la program.

Cresterea productivitatii muncii, strins legata de flexibilitate, este conditionata si de alte cerinte:

- reducerea timpului afectat operatiilor de manipulare avind in vedere ca aprox. 1/3 dintr-un ciclu tehnologic este consumat de acestea. Trebuie avut in vedere insa ca cresterea vitezei poate conduce la scaderea preciziei de repetabilitate.
- cresterea fiabilitatii RI. Dupa /K3/ dispozitivul de prehensiune si dispozitivele de lucru limiteaza fiabilitatea RI.
- reproiectarea produsului finit in vederea reducerii numarului, respectarea unei anumite simetriei a elementelor constructive, accentuarea unor caractere specifice fiecarui tip de piesa /R1/ .

Interesant este de remarcat faptul ca prognozele de dezvoltare a sistemelor flexibile de montaj cu roboti industriali au cuprins trei etape (elaborarea, testarea de laborator si productia) pe durata a aproximativ trei ani de zile, prevazind pentru anii '90 abordarea productiva pe scara larga /A6/.

Utilizarea pe scara larga la ora actuala a RI este sugerata de dinamica dezvoltarii RI in lume (fig.1.5a) si de repartizarea acestora la numarul de 10000 de muncitori (fig.1.5b) /B2/.

In Suedia, in anul 1990 au fost pusi in functie un numar de 328 RI in diverse domenii de activitate (fig.1.6). In montaj au fost implementati un numar de 21 RI /H8/.

In Franta, in anul 1990 s-au introdus in aplicatii de montaj un numar de 153 de RI (fig.1.7) /R5/.

In Italia, din 2317 RI implementati in anul 1990 in industrie, montajul a beneficiat de 258 RI. Repartizarea in comparatie cu restul domeniilor este prezentata in fig.1.8 /M5/.

In Spania numarul RI implementati in montaj in cursul anului 1990 a fost de 31 (fig.1.9) /C7/.

Notatiile din figurile 1.6-1.9 au semnificatiile:

S-sudura	SP-sudura in puncte	TI-turnare prin injectie
Ma-manipulare	Mas-masurare	Pa-paletizare
M-montaj	V-vopsire	A-alte domenii
I-incarcare	T-taiere	

In fig.1.10 este prezentata dinamica utilizarii RI in montaj in Germania, prima tara europeana in domeniul constructiei si

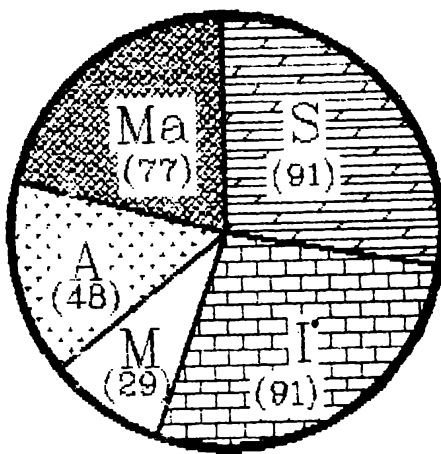


Fig.1.6.

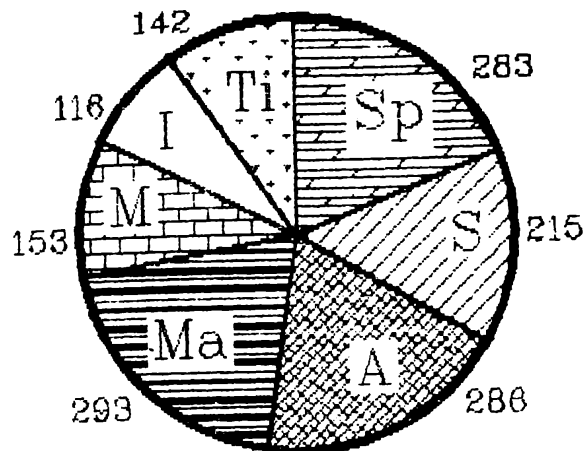


Fig.1.7.

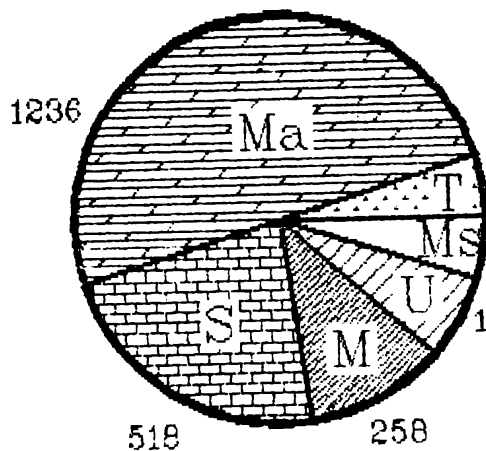


Fig.1.8.

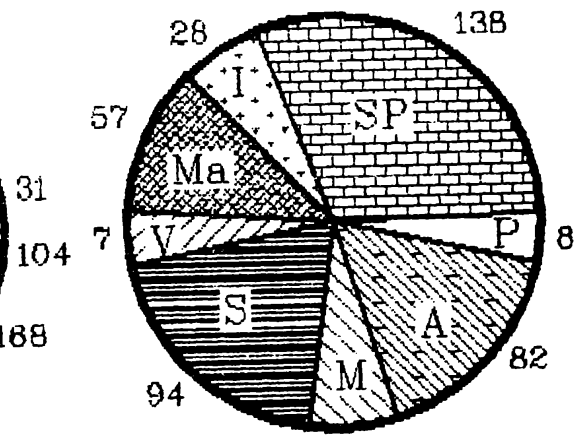


Fig.1.9

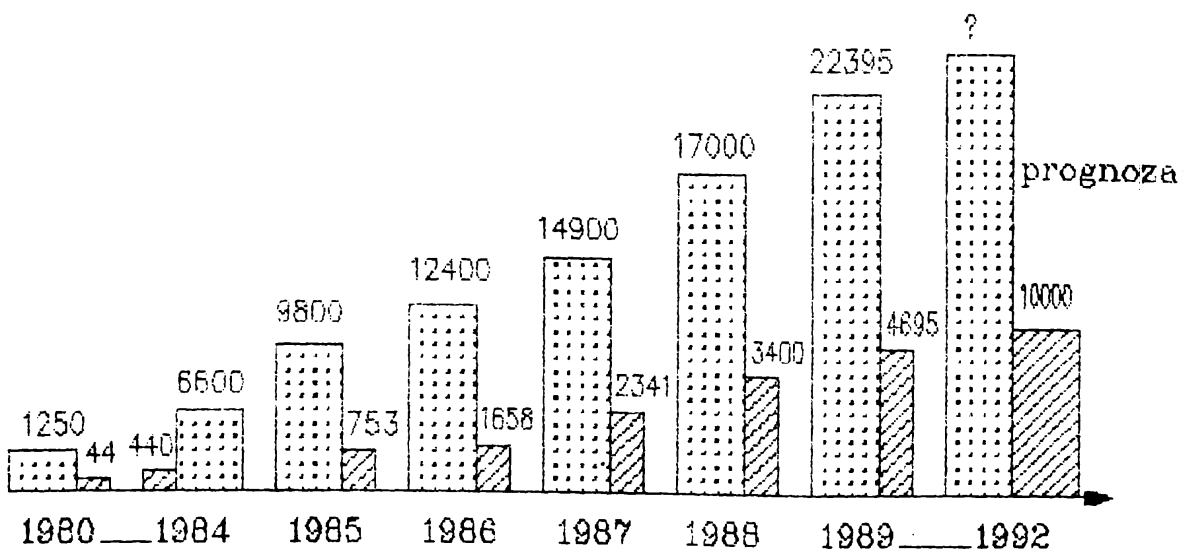


Fig.1.10

aplicatiilor RI /K4/,/D2/.

Principalele directii de dezvoltare a RI in Germania se refera la montaj si sudura.Desi creste cu aprox.1000 RI/an numarul RI utilizati in montaj comparativ cu Japonia este foarte mic.

"Explozia" utilizarii RI este sugerata si de cresterea atit a numarului de firme producatoare cit si a tipurilor de RI.Astfel in 1983 un numar de 50 de firme produceau 129 tipuri de RI.La sfirsitul anului 1989, in Germania, 140 de firme produceau 350 de tipuri de RI.Firmele KUKA,ASEA,VW (primele doua firme recunoscute pentru RI de montaj)produceau 36% dintre acestia/D2/.

Sugestiva in sensul utilizarii RI in montaj este si investitia pe parcursul anului 1988 pentru automatizarea montajului in Germania.Astfel, in perioada specificata, s-au investit 3.18 miliarde DM, din care 34 % pentru tehnica montajului,38 % pentru RI si 28 % pentru echipamente periferice /H6/.

In fig.1.11 se prezinta o prognozare a vinzarilor de RI de sarcina redusa pentru montaj in Europa /R4/.

Rolul RI intr-un sistem montaj este aratat in fig.1.12.Mai multe elemente constructive (piese) sosesc in sistem intr-o succesiune si orientare oarecare prin intermediul dispozitivului de transfer Tr (de ex. banda transportoare).Procesul tehnologic de montare a unui ansamblu ,compus din elementele constructive amintite ,se descompune intr-o succesiune de operatii elementare Operatia elementara cea mai frecventa este operatia de montaj "binar" a doua elemente constructive:

elementul primar-rezultat din operatii elementare anterioare

elementul secundar-(ce urmeaza a se imbina cu cel primar) Operatia elementara decurge prin urmatoarele actiuni succesive :

a) identificarea elementului constructiv,ce urmeaza a fi prehensat si asamblat (conform succesiunii montajului),dintre elementele intrate in sistem.

b) determinarea pozitiei si orientarii elementului constructiv (pozitia si orientarea sistemului de coordonate Oxyz atasat piesei fata de Oxyz).

c) alegerea dispozitivului de prehensiune (DP) sau a sculei, din magazinul M,adecvate prehensiunii si montarii elementului constructiv si fixarea automata a acestuia pe dispozitivul de ghidare (DG) al RI.

d) deplasarea si orientarea DP sau a sculei in pozitia de

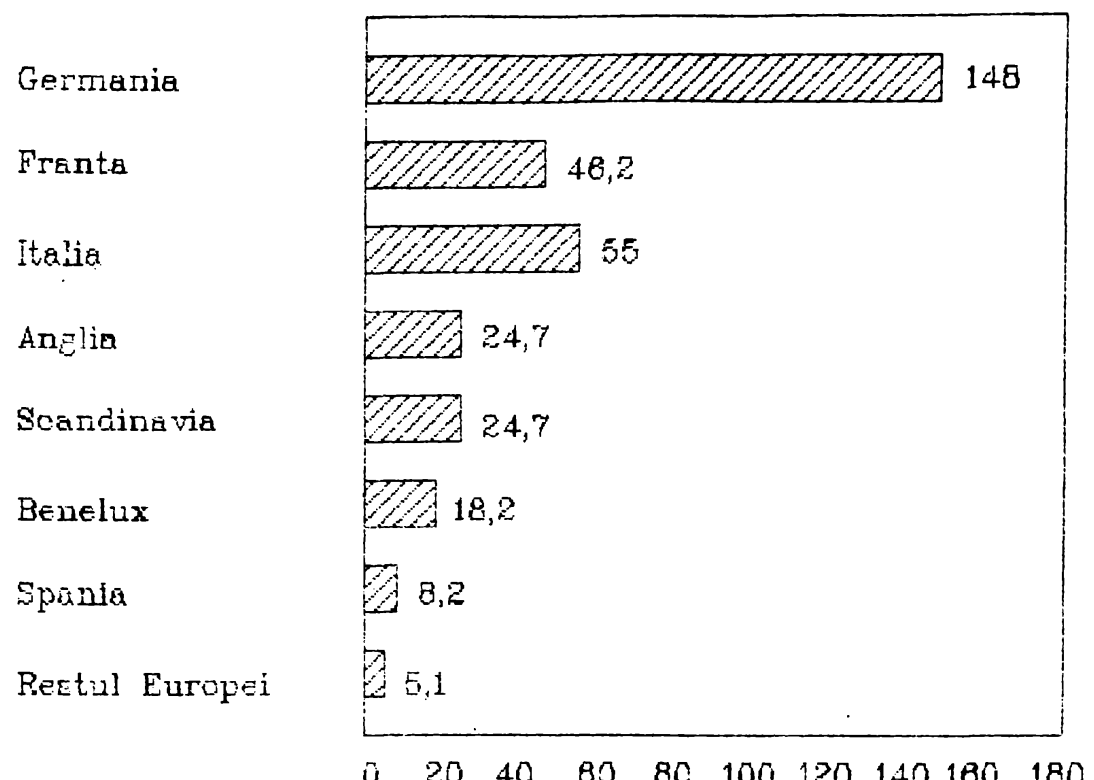
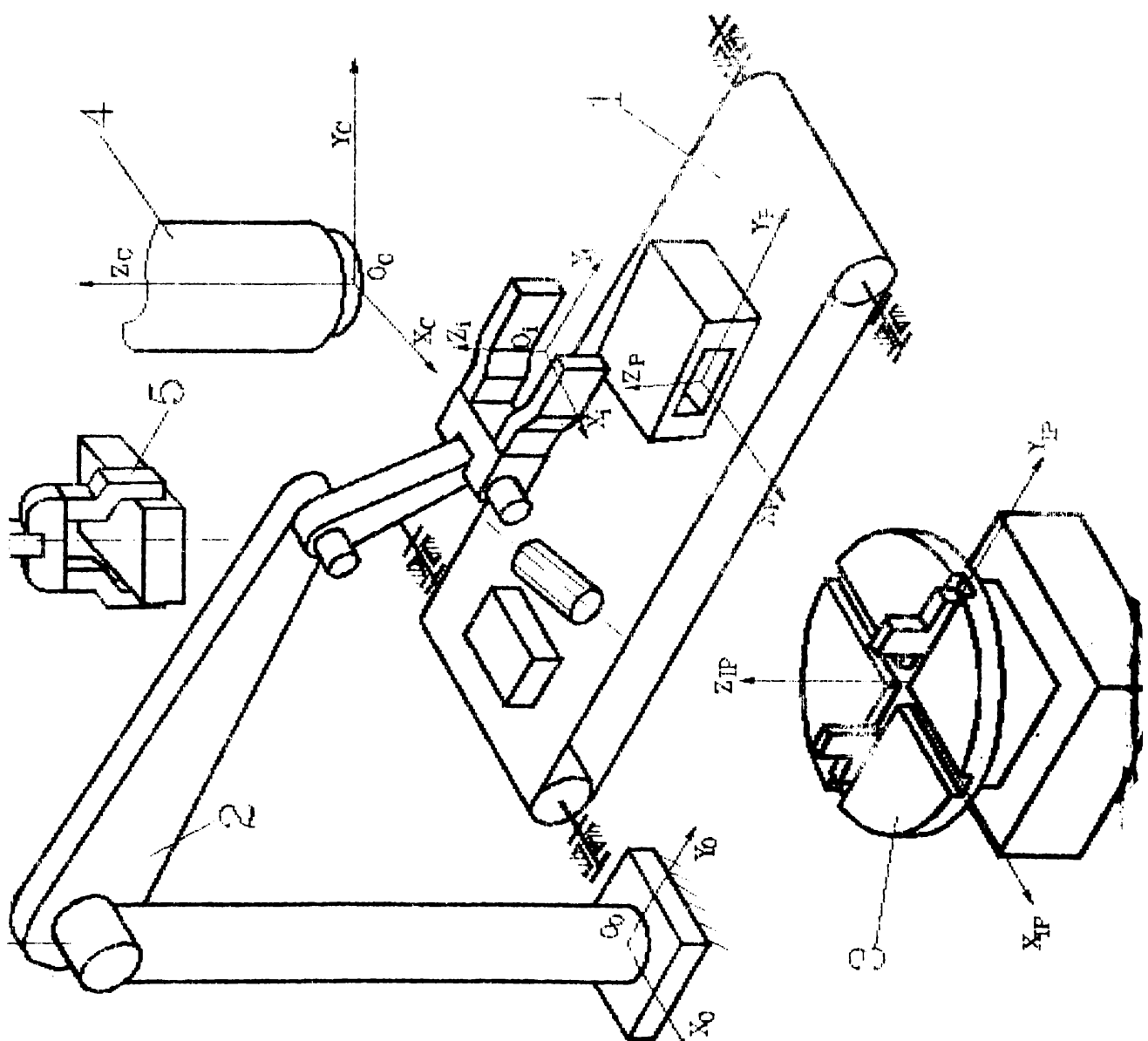


Fig.1.11



prehensare.

e) prehensarea elementului constructiv si deplasarea acestuia in pozitia de asamblare la dipozitivul de lucru (DL).

f) efectuarea asamblarii

g) controlul asamblarii cu stabilirea deciziei finale (bun , remediabil ,imposibil)

Faza "a" si "b" din cadrul operatiei elementare este dependenta una de cealalta.Acestea se rezolva cu un program simplu daca se utilizeaza in cadrul IP mijloace conventionale mecanice.Acest lucru insa necesita experimentari precise, reglaje ,presinta flexibilitate redusa (la serii mici si mijlocii)cost destul de ridicat.O rezolvare a fazelor amintite mai dificila (pentru moment) dar de flexibilitate ridicata este utilizarea senzorilor optici.Aceaasta implica insa senzori foarte sensibili ,limbaje specializate si un calculator cu capacitate relativ ridicata.

Fazele "c","d" si "e" ridica sistemului mecanic al RI probleme legate de precizia de repetabilitate si a vitezei de lucru.Este necesar ca modul de schimbare a DP sau sculei sa fie simplu si fiabil.Sistemul de comanda al RI este si in acest caz cel care trebuie sa prezinte o flexibilitate ridicata.

Faza "f" care este foarte simpla pentru operatorul uman (conlucrare ochi-mina) devine dificila pentru RI datorita erorii de situare si erorii de forma a elementelor constructive. Eroarea de forma a elementelor constructive - datorita unor defecte tehnologice,cimp de tolerante prea larg - este inlaturata prin intermediul limbajului de programare (se folosesc operatii logice simple conform carora nereusita unei operatii de "n" ori conduce la schimbarea piesei sau la oprirea procesului tehnologic daca dupa "m" elemente constructive nereusita persista).Eroarea de pozitie intre elementul secundar si cel primar poate fi eliminata pe cale pasiva (prin utilizarea unor mecanisme elastice in constructia DP)sau pe cale activa (prin utilizarea senzorilor de forta-moment in constructia DP).

Faza "g" necesita existenta in constructia RI (de exemplu in DP) sau in cadrul IP a unor senzori (optici de proximitate , tactili) adevarati operatiilor de montaj care se realizeaza .

Procesul tehnologic de montaj analizat (sub forma sa cea mai complexa)necesita un RI de o complexitate maxima si din acest motiv este intilnit mai putin in productie la ora actuala.

Particularizari ale acestuia insa,cistiga teren in industrie.Intrarea SFMR intr-un atelier sau sectie a unei intreprinderi poate corespunde uneia din urmatoarele doua posibilitati:celula de montaj robotizat sau linie de montaj robotizata /K3/,/G1/.

1.2 ROBOTUL INDUSTRIAL PENTRU MONTAJ

Structura sistemului mecanic (SM) al unui RI pentru montaj se incadreaza in structura generala a unei IOH /K1/. SM are sarcina de a deplasa un element constructiv secundar sau o scula dintr-o pozitie oarecare in pozitia de montaj si de a realiza operatia de asamblare al elementului constructiv secundar cu un element constructiv primar.Numarul gradelor de mobilitate al dispozitivului de ghidare (DG) al RI se afla in intervalul 3 - 6.

Capacitatea de incarcare a SM (sarcina RI) se indica tinind cont si de greutatea efectorului.Se poate evidenta faptul ca,la ora actuala,majoritatea RIM sint din categoria "usor"-sarcina sub 16daN /I3/.

In tabelul 1.1 se prezinta eficacitatea diferitelor structuri cinematice ale RI la indeplinirea unei operatii de montaj.

Tabel 1.1

Sistem de coord. coordonate	coord. cilin.	coord. cartez.	Knikarm sfericel oriz/vert	Ri cu M> 6
Eficacitatea	2	4	1	4/3

* * * Obs. 4=eficacitate maxima ,1=cazuri particulare.

Schemele structural-cinematice ale mecanismelor generatoare de traiectorie (MGT) pentru o serie de RIM sint prezentate in tabelul 1.2.

MGT este constituit fie sub forma unui lant cinematic deschis,fie parțial deschis.Din prima categorie fac parte majoritatea MGT.Din a doua categorie fac parte MGT pentru RI:Irb6,Irb60 PENTEL etc.La prima vedere s-ar putea crede (indiferent de schema structural cinematica ,arhitectura) ca MGT realizate pe baza lanturilor cinematice parțial-deschise conduc la un comportament dinamic mai defavorabil al RI,avind în vedere jocurile din culmile cinematice,frecările suplimentare,elasticitatea și masa proprie a lantului cinematic închis continut .În același timp însă se obțin avantaje deosebite prin transferul actionarilor pe

Tabel 1.2

cuple cinem.	structura MGT	modelul
TTT		Arms-D (Nippon Electric) Pragma A 3000 (DEA) Sigma (Olivetti) RR4-2 (Toyoda) Cadratic (Sormel) Model Citroen 2 modele Sankio-Seiki
RRR		IR-100; IR-200 (KUKA) IRb6; IRb60 (ASEA) RI exp. (Fujitsu) RM 50 (Mitsubishi Elec) EPAAS (Philips) RA4-1; RA4-2 (Toyoda) RV 133P (Mitsubishi E.) GP.01 (Scemi) Puma (Animation) Model Renault
TRR		SSR-H253; SSR-H414 (Suwa Seikosha) RC4-2 (Toyoda) RH-111; RH-211; RH-212; RH-121; 122, 221, 222, 223 (Mitsubishi-Denki) SERVATOR (AEG); IBM-7535 FAROT (Fujitsu) H II SCARA (Matsushita) 3 modele (Fuji Electr.) Flex Arm (Diesel Kiki) NACHI 400 (Cooperweld) TSR-701 (Toshiba) A 3020 (Hitachi)
RTT		A 0; A 1 (Fanuc) RC 136P (Mitsubishi E.)
RR		4C.06 (Scemi) Type 1, 2, 3, 4, 5 (Pentel)

elementul fix (efecte statice si dinamice superioare).

Un criteriu de apreciere si de alegere a schemei structurale cinematice optime pentru o sarcina data este spatiul de lucru.Pentru a avea o flexibilitate ridicata se recomanda constructia modulara a MGT .La ora actuala RIM prezinta atit o structura modulara(SCEMI,MITSUBISHI DENKI etc.)cit si nemodulara.

Criteriile de calitate:rigiditate ridicata si inertie redusa sunt strins legate intre ele. Realizarea constructiva a elementelor MGT impune alegerea materialelor astfel incit sa se respecte conditiile "usor" si "rigid".Sunt cercetate in acest sens pe lîngă materialele traditionale (otel,aluminiu) si materialele compozite:materiale plastice intarite cu fibre de sticla,materiale plastice intarite cu fibre de carbon,materiale plastice intarite cu fibre de aramid (cu proportia de fibre de pîna la 60 % din volum).Proprietatile lor pozitive sunt :
-rezistenta mare la tracțiune in direcția fibrei
-valori mari de amortizare (de 4 ori in raport cu otelul,de 2 ori in raport cu aluminiul)
-greutate mica (1/4 in raport cu otelul ,2/3 in raport cu aluminiul ,3/4 in raport cu aliajele de magneziu)
fata de cele negative:probleme tehnologice la realizarea formelor mai complicate si puternic solicitate,reducerea rezistentei sub influența temperaturii si umiditatii,reducerea comportarii la amortizare la un continut mare de fibre,cheltuieli de aprovizionare si pregatire mari.

Firma SONY (Japonia) a prezentat modelul SRX-2CH de tipul SCARA.Prin optimizarea constructiva a elementelor MGT si utilizarea unor aliaje de aluminiu s-a reusit reducerea masei cu 20 % fata de modelul firmei SANKE SEIKI obtinindu-se pentru punctul caracteristic viteza de 4.1 m/s /K2/.Firma HITACHI utilizeaza de asemenea in constructia RI profile rigide din aluminiu si studiază posibilitatea utilizării de materiale plastice .

Pentru realizarea unei structuri cu o frecvență proprie ridicată se indică folosirea materialelor cu modul de elasticitate ridicat și densitate redusă ,specificându-se ca la acest criteriu se adaugă altele: facilități tehnologice de prelucrare și asamblare,preț de cost, rezistență mecanică .

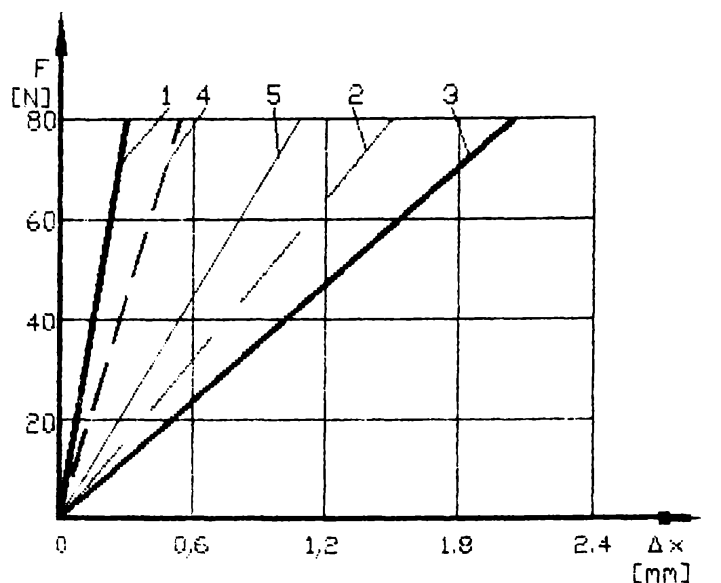


Fig. 1.13

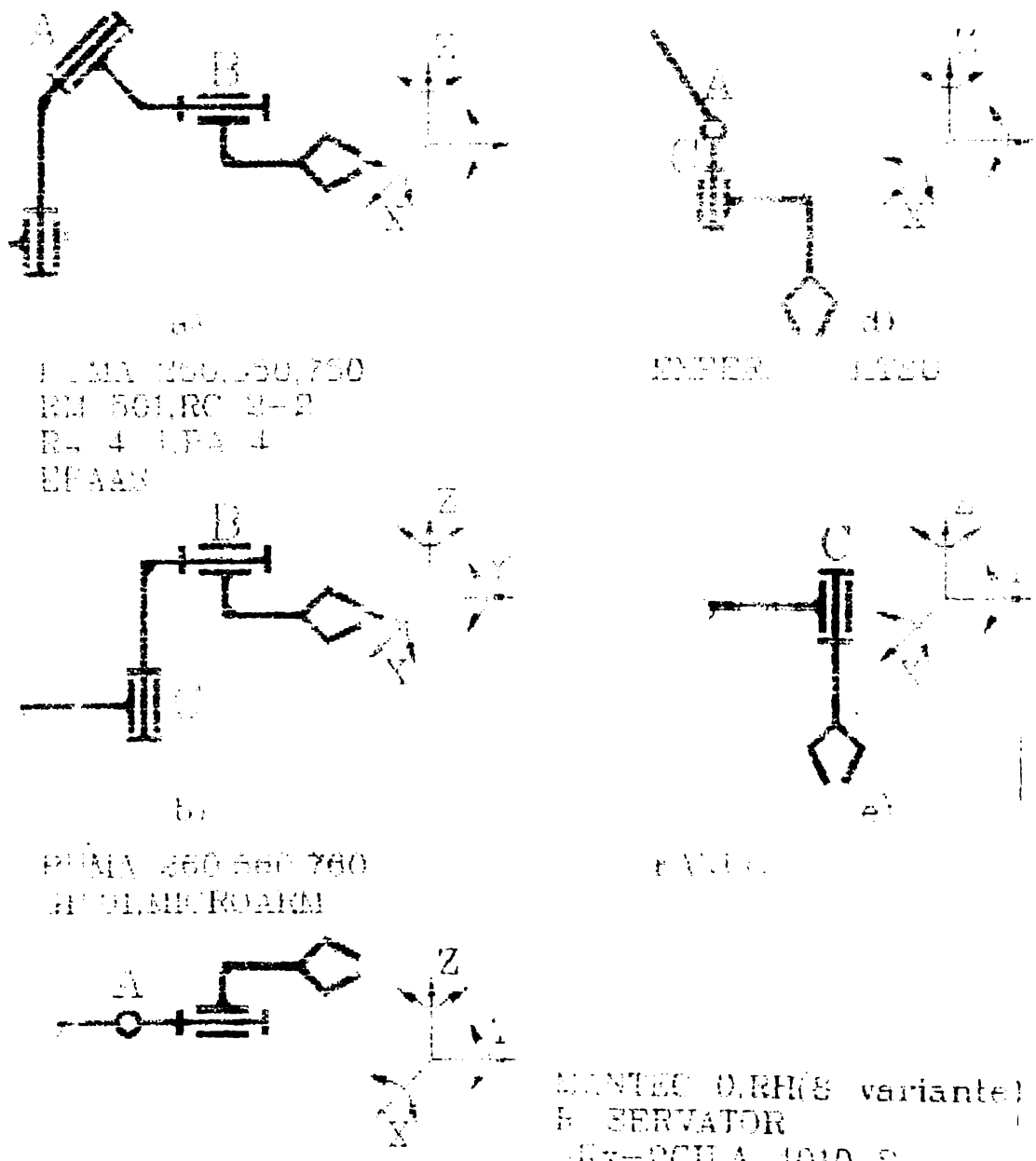


Fig. 1.14

Informatii privind determinari experimentale a rigiditatii RI pentru montaj se prezinta in /G1/.0 exemplificare in acest sens este redata in fig.1.13 pentru un RI din seria IBM 7545 (1-rigiditatea dupa axa z ; $C_z = 340 \text{ N/mm}$;2- $C_x = 46,5 \text{ N/mm}$ la $z=100 \text{ mm}$;3- $C_x = 34 \text{ N/mm}$ la $z=200 \text{ mm}$;4- $C_y = 202 \text{ N/mm}$ la $z=100 \text{ mm}$;5- $C_y = 70,7 \text{ N/mm}$ la $z=200 \text{ mm}$).

Precizia de repetabilitate ,o calitate comună RI pentru montaj se incadreaza in general in clasele 1 si 2 (corespunzator domeniilor 0.01-0.05 mm si 0.05-0.1 mm)/I3/. Precizia de repetabilitate este influentata si de solutia constructiva adoptata la realizarea modulelor de translatie si rotatie.Solutiile adoptate au la baza,in genaral,ghidaje de precizie,rulmenti speciali,transmisii surub-piulita /D2/.

Mecanismul de orientare (MO) din cadrul DG al RIM cuprinde 1-3 rotatii.In fig.1.14 se prezinta scheme structurale cinematice pentru MO utilizate la RI pentru montaj.

Cursele realizate in cuplurile cinematice de rotatie sunt in general sub 360° dar se intilnesc cazuri cu $\alpha = 578^\circ$ (FUMA 260) sau chiar $\alpha = 720^\circ$ (BOSCH-SR 450).Vitezele unghiulare pot ajunge pina la $650^\circ/\text{s}$ (BOSCH-SR 450).

Din punct de vedere constructiv la realizarea modulului de orientare se utilizeaza angrenaje cilindrice si conice de precizie ridicata,transmisii prin curea dintata.Lagarele sunt realizate pe baza de rulmenti speciali,de latime si greutate redusa.

RI pentru montaj si operatorii umani se aseamana foarte mult prin organul efector (dispozitivul de prehensiune (DP)) respectiv mina umana (MU).Una din dorintele majore este obtinerea unor DP care sa se apropie la maximum de MU.

Analiza comportarii MU intr-o activitate se poate face prin metoda sistemului de timp MTM .Semnificative din acest punct de vedere sunt miscarile :

APUCARE GRASP -G

POZITIONARE POSITION -P

APUCARE -este o miscare folosita pentru a asigura controlul unui obiect .In tabelul 1.3 sunt desctrise 5 tipuri de miscari elementare din aceasta categorie .

POZITIONARE-este o miscare caracteristica operatiilor de montaj (insertie a pieselor cu diferite grade de simetrie).Se remarcă trei clase de miscari (liber,intermediar,exact) functie de tipul

ajustajului.

Tabel 1.3

Notatie	Definitie MTM
G1A	Apuca- obiect mic,mediu,mare usor accesibil
G1B	Apuca- obiect foarte mic sau obiect ce se afla aproape de o suprafață plană
G1C1	Apuca-la un capat sau lateral un obiect aprox. cilindric $O > 12.5$ mm
G1C2,3	Apuca-la un capat sau lateral un obiect aprox. cilindric $O < 12.5$ mm

Functiile DP sunt prezentate in fig.1.15.

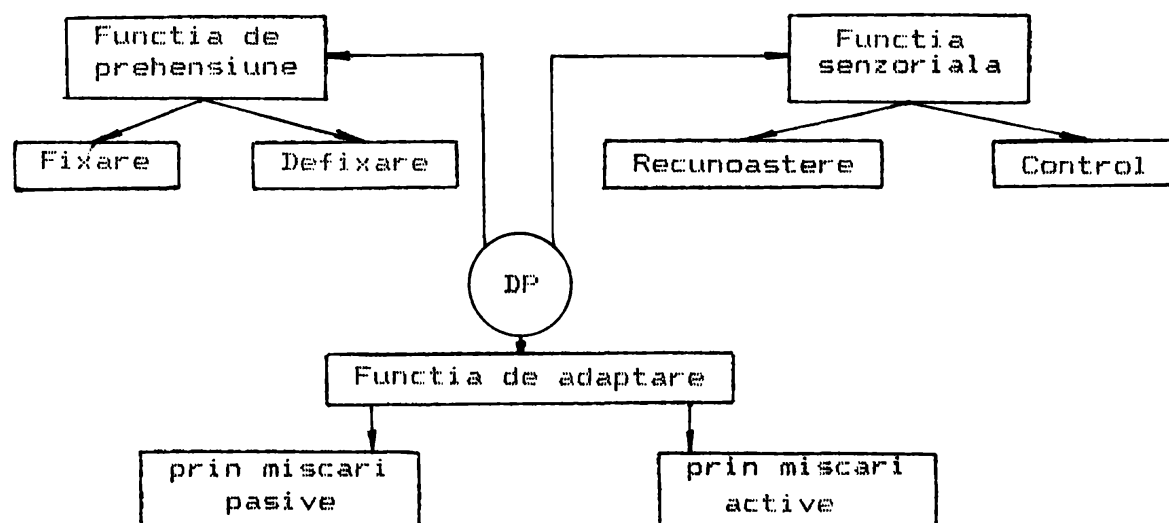


Fig.1.15

Analizind comportarea DP prin metoda RTM, comparativ cu MU prin metoda MTM, se poate stabili o echivalentă pentru miscarea "GRASP-G" (cu excepția G2). Suplimentar metodei MTM, metoda RTM ia în considerare posibilitatea masurării forței de prehensare, a dimensiunilor pieselor. Miscarea "POSITION-P" pentru DP are de asemenea echivalentă în comparație cu MU cu condiția existenței în structura DP a elementelor ce asigură funcția de adaptare.

Efectoarele sunt cele care trebuie să corespundă la variabilitatea pieselor și a proceselor tehnologice. În cadrul efectoarelor se includ pe lângă DP și scule (dispozitive specializate destinate unor operații tehnologice)/C3/. În fig.1.16 se prezintă schema structurală a DP (considerat ca sistem) împreună cu subsistemele sale.

Flexibilitatea efectoarelor este asigurată prin utilizarea uneia din metodele:

-prin schimbarea succesiva a efectoarelor (predarea și preluarea

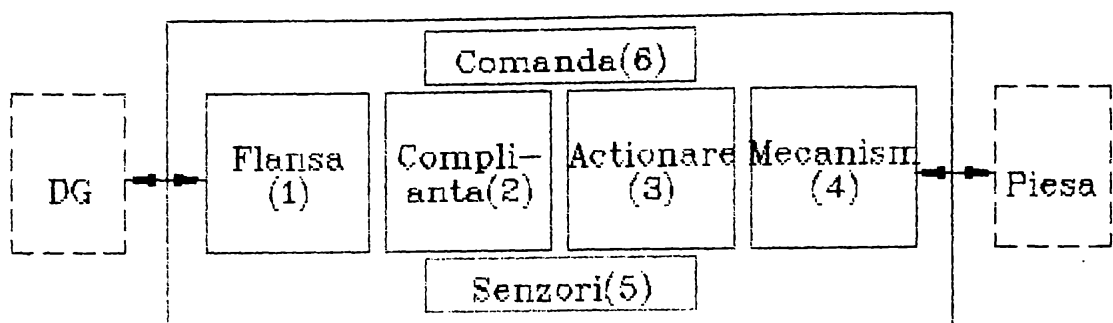


Fig. 1.16

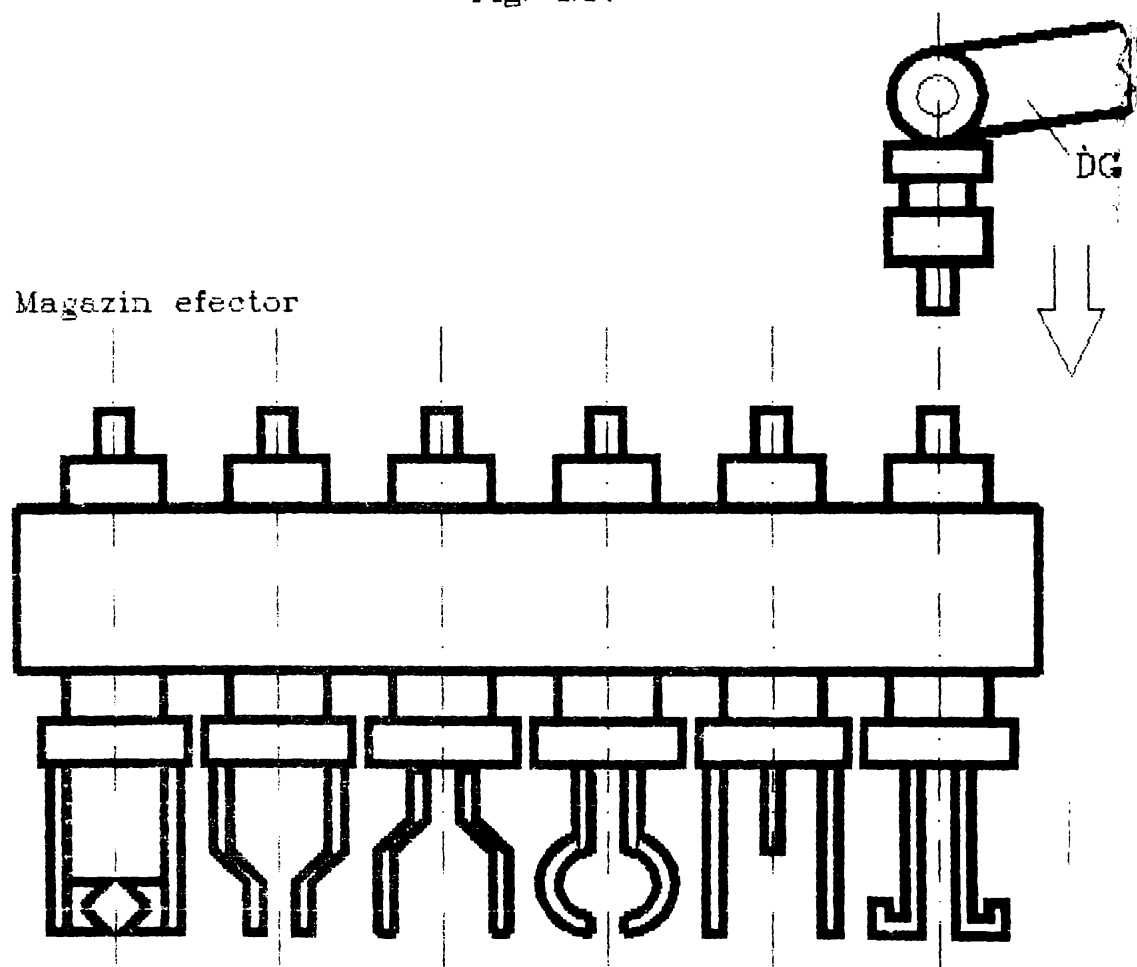


Fig. 1.17

acestuia dintr-un magazin de scule) (fig.1.17)

-prin utilizarea unui "cap tip revolver".

Majoritatea firmelor utilizeaza in general prima varianta.A doua metoda este utilizata de firmele ASEA,MANTEC,GMF,SEIKO,UNIMATION,WESTINGHOUSE.

Prima solutie este recomandabila pentru RI cu sarcina mica (presentind si avantajul gabaritului mic) dar prezinta dezavantajul unor timpi neoperativi necesari schimbului de DP (deplasare in zona magazinului,predarea si preluarea noului efectuator ,deplasarea in zona operativa).A doua metoda este recomandata pentru RI de sarcina ridicata .

Utilizarea primei metode implica folosirea unei flanse (subsistemul 1 din fig.1.16) care sa permita schimbarea automata in conditiile :asigurarea automata a fortei de fixare /deblocare,recunoasterea pozitiei fata de DG,possibilitatea asigurarii cu energie a actionarii DP ,possibilitatea asigurarii transferului de infotatii de la/spre sistemul de comanda,spre/de la senzorii si traductoarele dispuse pe "degetele" si in bacurile DP /D2/.

Realizarea functiei de adaptare este asigurata:prin miscari pasive utilizind mecanisme cu couple cinematice elastice (complianta-subsistemul 2 din fig.1.17) prin miscari active utilizind senzori de forta-moment sau mixt (pasiv si activ).

Functia de prehensare este realizata pe baza unor mecanisme (cu bare,pneumatice,electromecanice) care antreneaza "degetele" asigurind solidizarea pieselor cu bacurile.Majoritatea mecanismelor sunt mecanice avind o miscare paralela a bacurilor.

Unii RI disponu de module de pozitionare locala, montate intre DG si efectuator.Aceste module (in general de translatie) permit micromiscari in faza de montaj.

In vederea unui comportament dinamic superior, SM al RI este echilibrat.Aceasta echilibrare se poate realiza: pe cale pneumatica (de ex.IR 601-fig.1.18a),pe baza unor contragreutati (de ex.ASEA-fig.1.18b) sau pe baza unor arcuri elicoidale /D2/.

Schema structurala a unui sistem de actionare (SA) este prezentata in fig.1.19.S-a presupus folosirea pentru actionarea robotului industrial a unui motor electric rotativ,utilizarea motoarelor electrice liniare fiind redusa (RI-model A al firmei NEC-Japonia utilizeaza un motor liniar de c.c.).

Semnificativ pentru SA este folosirea aproape in exclusi-

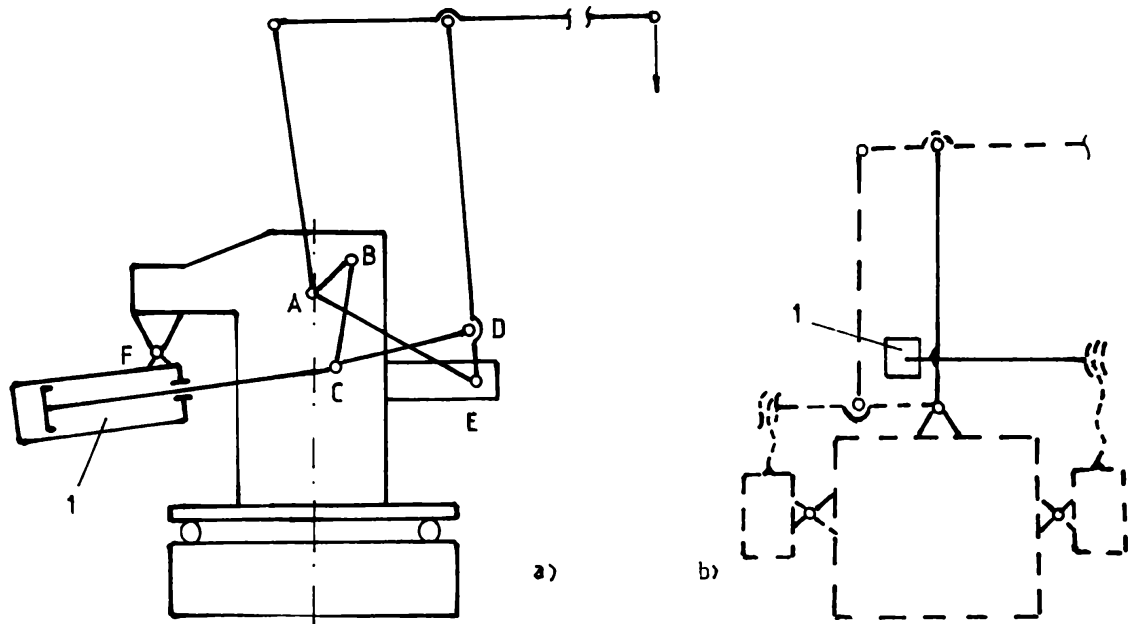


Fig.1.18

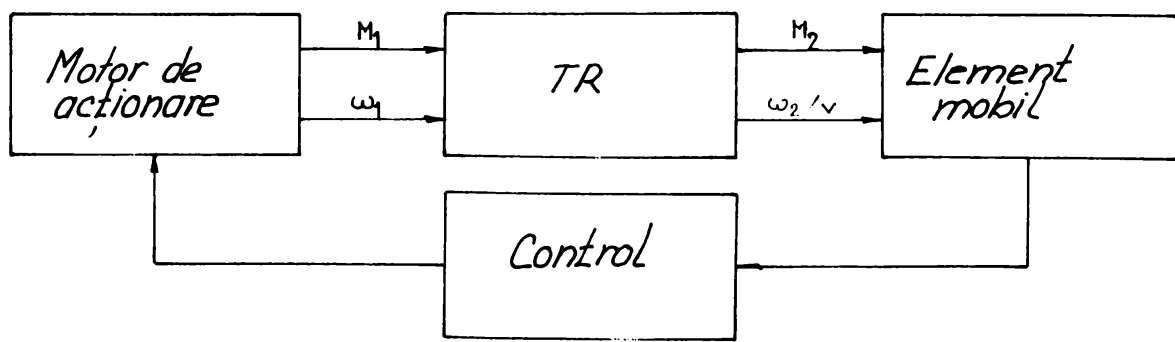


Fig.1.19.

vitate a actionarii electrice (exceptie face in general actionarea DP si a unor scule/dispozitive specializate). Acest lucru se explica prin multiplile avantaje oferite de actionarea electrica: simplitatea racordarii motoarelor electrice la reteaua de distributie a energiei ,costul redus al instalatiei ,modalitatile simple de reglare a miscarii ,compatibilitatea acestui tip de actionare cu sistemul de comanda .

Un studiu vizind tipurile de motoare electrice utilizate in SA a scos in evidenta folosirea servomotoarelor de c.c. cu magneti permanenti cu rotor cilindric (firmele japoneze,ASEA, DEA-PRAGMA ,MANTEC ,UNIMATE etc.), a motoarelor cu intrefier axial (KUKA,BOSCH) sau a motoarelor pas cu pas (OLIVETTI,ROBITRON SANKYO SEIKI). Se observa o utilizare masiva a servomotoarelor de c.c. cu rotor cilindric fata de cele pas cu pas si intrefier axial.O explicatie a acestui lucru ar fi comportarea dinamica mai putin eficiente a m.p.p.(acceleratii mai reduse , frecventa de lucru limitata inferior si superior) iar pentru motoarele cu intrefier axial constanta de timp termica redusa (de ordinul minutelor fata de celealte modele unde constanta este de ordinul a 20-30 min.) si greutate mai ridicata in comparatie cu servomotoarele cu rotor cilindric.Se considera ca motorul sincron cu magneti permanenti va avea in viitor un cuvant de spus in acest domeniu .

In fig.1.20 se prezinta modalitati de realizare a transmisiei mecanice (TR) pentru MGT,iar in fig.1.21 a TR pentru MO. Din analiza efectuata asupra solutiilor constructive de realizare a acestor transmisiuni se remarcă:-tendinta de utilizare a reductoarelor armonice pentru cuplurile cinematice de rotatie.
-tendinta de a amplasa motoarele de actionare a MO cit mai aproape de elementul fix.

RI de montaj activeaza intr-un mediu dat conlucrind cu un alt RI sau instalatie periferica (transportor cu banda,alimentator etc.)

SC este necesar sa receptioneze ,sa prelucreze in timp real informatiile transmise de subsistemul informational (informatiile de la traductoarele de pozitie a RIM,a echipamentelor periferice,informatiile de la senzorii video,informatiile de la senzorii tactili incorporati in dispozitivul de prehensiune a RIM,informatiile de la senzorul de forta-moment etc.) si sa transmita comenzi sistemului de actionare a cuprelor cinematice

576241
3637

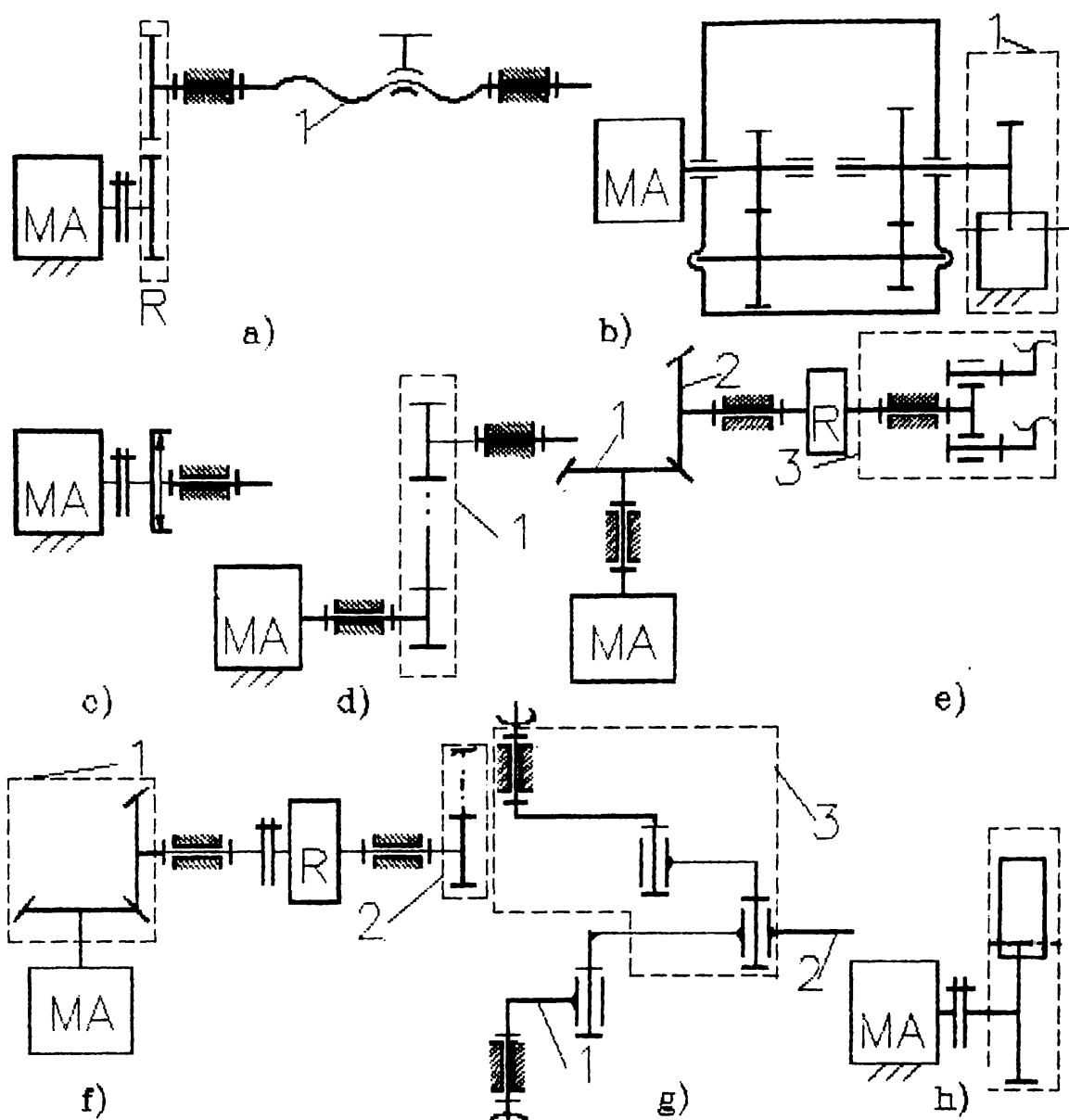


Fig. 1.20

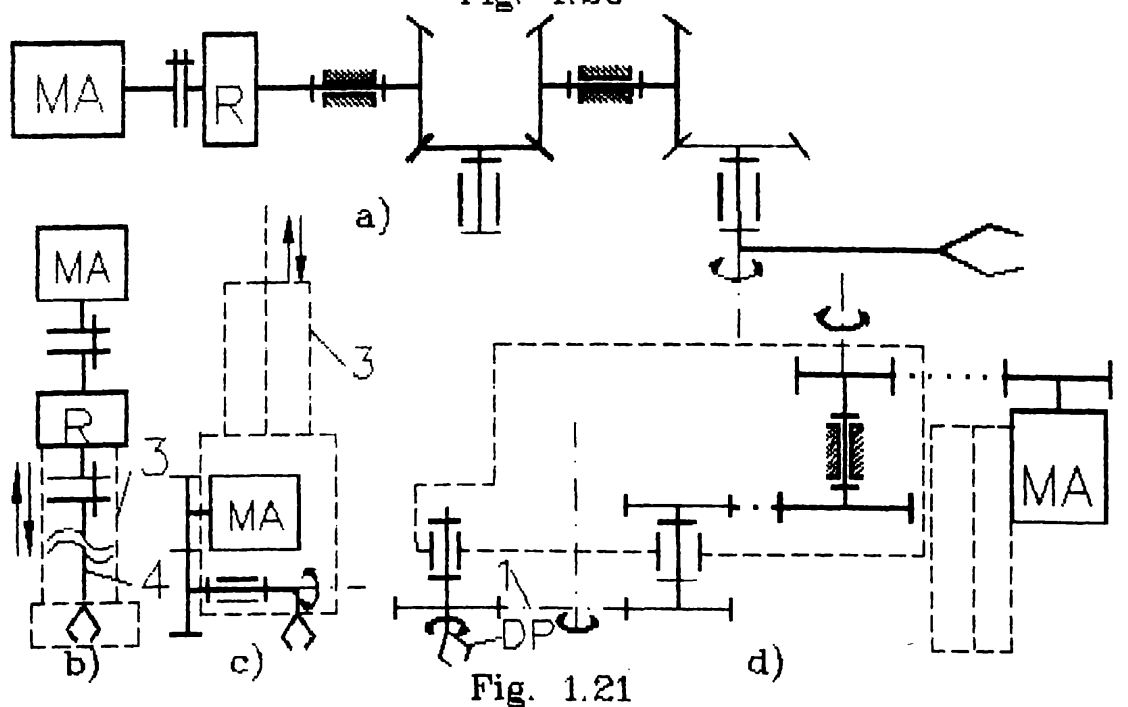


Fig. 1.21

conducatoare a RI în vederea realizării miscărilor și operațiilor prescrise.

Schema structurală a unui SC pentru un RIM este arată în fig.1.22/R2/.

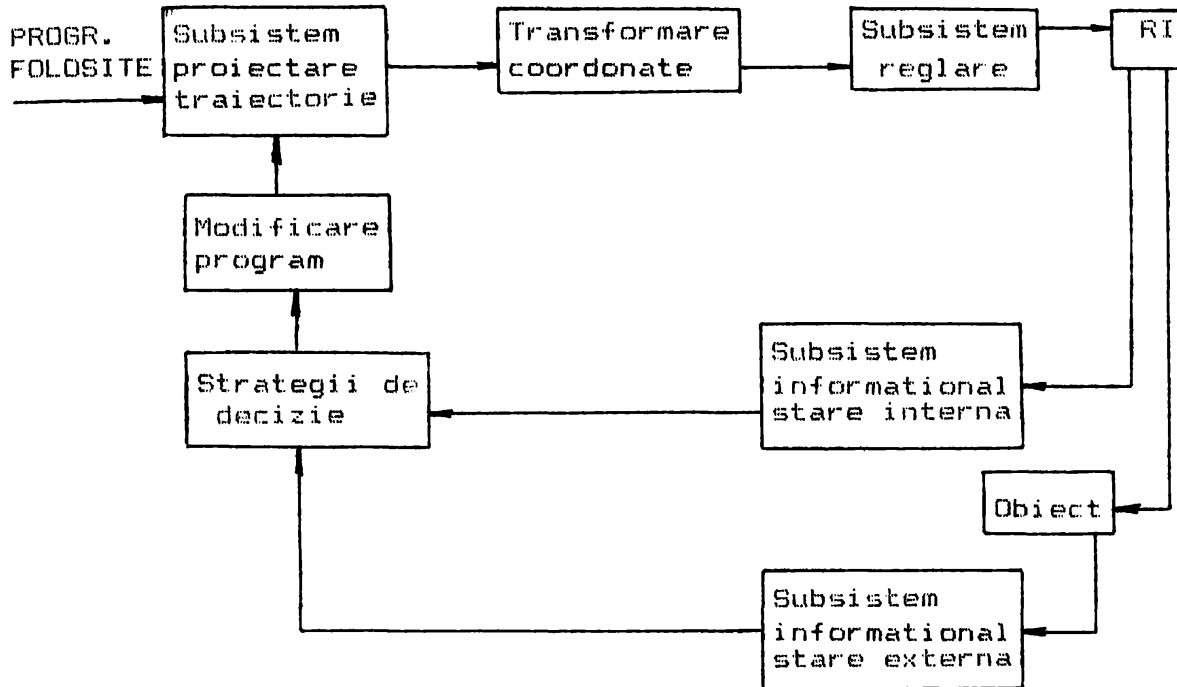


Fig1.22

Software-ul pentru transformarea de coordonate cuprinde pachete program de transformarea coordonatelor RI,efector, piese în sistemul absolut.

Software-ul pentru generarea traiectoriei de deplasare permite deplasarea efectorului pe baza comenzielor de la calculator.Traiectoria poate fi realizată în general în două moduri :PTP (point-to-point)sau CP (continuous path).Se poate afirma că pentru un RIM cu un spatiu de lucru paralelipipedic sau cilindric este suficientă planificarea traiectoriei PTP,in timp ce pentru RI cu spatiu de lucru sferic este necesara CP /WS/. În tabelul 1.4 se prezintă posibilități de realizare a traiectoriei de lucru a unor RI pentru montaj.

Software-ul pentru achiziția de date de nivel inferior realizează legătura practic cu oricare senzor sau este orientat pe subsisteme de senzori .

Software-ul pentru prelucrarea semnalelor permite prelucrarea semnalelor senzorilor.Informatiile primite se pot utiliza în mod direct (de la senzorii tactili,video,forță etc.)

Adaptarea evoluției lantului cinematic al RIM potrivit cu condițiile impuse—pozitie,viteză,acceleratie(luând în considera-

Tabel 1.4

Comanda	Tipul RI (Firma)
PTP	HHMODULE (BOSCH); A3000 (DEA PRAGMA); A0, A1, S3 (FANUC); AR-H300 (HIRATA); 7535, 7540, RS1 (IBM); RÖBIMAT (INTERMODER); MRO1, MRO2 (MICROBO); ALPHA800 (MKR); SERIE3 (D-LIVETTI); 4C.06, 6P.01 (SCEMI); MHS (SIEMENS); HR26, 63 (PENTEL); RM501 (MITSUBISHI)
PTP/CP	AID600 (AUTOMATIX); PT200-H, IT300-H (DAINICHI); H1, H2 (MATSUSHITA); SERVATORO2 (FWM); PUMA260, 550, 760 (UNIMATION); SKILAM (SANKYO); RA4-1, RA4-2 (TOYODA)
CP	A3020 (HITACHI); MOR03000-4 (MESSMA-KEL)

re factorii perturbatori) - se realizeaza de subsistemul de reglare. Dintre algoritmele de comanda cele mai raspandite probabil la ora actuala este controlul hibrid /M3/, /S8/. Principial acesta consta in controlul unor grade de mobilitate (axe) a RIM in "forta" iar restul in "pozitie". De exemplu pentru o sarcina de insertie executata de un RI cartezian axa de insertie va fi comandata in "pozitie" si restul axelor in "forta". Aceasta metoda are avantajul de a fi usor de realizat. In acelasi timp insa aceasta metoda poate crea probleme de instabilitate a miscarii.

In controlul adaptiv se grupeaza toate metodele care se bazeaza pe calculul unei traiectorii complete incepind cu informatiile despre forte. Aceste metode sunt mai greu de realizat dar au avantajul unei aplicari generale.

O metoda promitatoare este cea bazata pe suprafetele "C". A fost introdusa pentru inceput de Lozano-Perez de la MIT (SUA). Se intlege prin suprafata "C" acea suprafata din spatiul configuratiilor definita, pe baza unei analize pur geometrice a sarcinii de efectuat, prin valorile limita pe care le poate ocupa punctul caracteristic al RI in spatiul configuratiilor /M10/.

Pentru executarea automata a operatiilor de montaj care necesita coordonarea strinsa intre un mare numar de senzori si traductoare, cu numeroase variante posibile, este necesar sa se recurga la sisteme mai avansate de programare prin utilizarea de elemente de inteligenta artificiala. Acest lucru este evidentiat in schema structurala (fig.1.22) prin blocurile - strategii de decizie, modificari program - prin care se asigura : compararea imaginilor "reale" a mediului tehnologic cu cea "ideală", se formuleaza un plan de actiune (strategie) pe baza scopului

urmarit pe baza instructiunilor, se modifica programul in functie de informatiile primite despre starea mediului tehnologic /W6/.

Evolutia RIM este asigurata de introducerea in SC in prealabil a unui program. Se disting in acest context :

-introducera manuala prin tastatura unui terminal de calculator (PUMA,SIGMA,MATSUSHITA,F.W.M.,MITSUBISHI DENKI,BOSCH) (in general RI programati prin limbaje)

-introducerea automata utilizind suporti de program (metoda este optionala)

-introducerea prin invatare (teach-in) prin intermediul unui dispozitiv cu tastatura speciala (AUTOMATIX,DAINICHI,DEA PRAGMA, FANUC,HIRATA,HITACHI,IBM,INTERMODER,MESSMA-KEL,MICROBU,MITSUBISHI ELECTRIC ,MKR,SCEMI etc.). O mare parte din aceste firme au prevazut si posibilitatea utilizarii limbajelor de programare, programarea facindu-se in procesul de invatare (AUTOMATIX, DEA, FANUC,MATSUSHITA,MITSUBISHI ELECTRIC,SCEMI etc.)

Dispozitivele de memorare sint pe baza de miezuri de ferita (RAM) si cu semiconductori (EPROM). In general se utilizeaza ambele solutii .

In functie de cantitatea de informatii ce urmeaza a se memora se utilizeaza suplimentar benzi magnetice (ASEA,KUKA,DEA) sau dispozitive de tip "floppy-disc" (PUMA,DEA,SCEMI,HITACHI, MITSUBISHI DENKI etc.).

Solutiile concrete adoptate pentru dotarea SC cu echipamente de calcul pot fi incadrate in 3 categorii principale /D1/ :

-utilizarea unui minicalculator universal selectat conform cerintelor aplicatiei

-proiectarea unui sistem propriu de calcul pe baza unor microprocesoare

-combinatie a solutiilor de mai sus in cadrul unor sisteme ierarhizate.

Adoptarea ultimei variante ,asigura SC capacitatea de adaptare la fiecare regim de functionare a RIM.Doua structuri se pot aminti in acest sens pentru RI A 3000 (DEA PRAGMA) si sistemul flexibil de asamblare LAAS (FRANTA). SCEMI pentru RI 4C.06 utilizeaza un minicalculator pentru prelucrarea informatiilor logice si analogice ale senzorilor iar un microprocesor pentru controlul pozitiei si a vitezei .Tot SCEMI utilizeaza pentru 6P.01 un microprocesor pentru controlul pozitiei si a vitezei si o unitate centrala LSI 11/23 (96Ko) pentru prelucrarea infor-

matiilor senzorilor (proximitate ,forta-moment,video etc.)/D2/.

Limbajele de programare de nivel inalt constituie o etapa decisiva in evolutia roboticii deoarece :simplifica programarea operatiilor (operatiile sint desciise sumar fara a intra in detalii);se pot obtine programe pentru operatii complexe (asamblari a unor piese ,coordonarea mai multor roboti);permite dotarea RI cu noi "insusiri" (recunoasterea mediului ,rezolvarea incidentelor in timp real).Se poate concluziona astfel ca montajul a constituit decisiv la aparitia acestora .

Limbajele de programare de inalt nivel au inceput sa apară in robotica incepind cu anul 1973 in SUA.Aceste limbaje utilizeaza in general o sintaxa apropiata celei limbajelor clasice (BASIC ,ALGOL ,APL,PASCAL ...).Specific acestor limbaje este prezența unor instructiuni din robotică:instructiuni de actiune (deplaseaza,deschide ...),instructiuni de interactiune cu mediul (priveste ,masoara ,detecteaza ,...).

In /C6/ se precizeaza ca limbajele trebuie sa indeplineasca (asigure) o serie de cerinte impuse de operatiile de montaj :

A-de baza

- 1.miscarea pe o dreapta intr-o directie
- 2.comanda DP
- 3.raspuns la semnalele exterioare
- 4.formarea semnalelor de iesire

B-dorite

- 5.miscare pe o dreapta in orice directie
- 6.servocomanda DP
- 7.sensibilitate tactila
- 8.comanda in viteza
- 9.redactare usoara a programelor
- 10.posibilitati de calcul
- 11.posibilitatea relansarii programelor
- 12.luarea de decizii
- 13.posibilitatea invatarii directe

C-suplimentare

- 14.comanda prin acceleratie
- 15.vedere artificiala
- 16.asigurarea programului
- 17.comanda in timp a indeplinirii operatiei
- 18.posibilitatea utilizarii metodelor SAPR
- 19.listarea programului

20.diagnosticare

Se prezinta comparativ limbajele utilizate in programarea RIM : IBM-RS2(AML) ,UNIMATE-PUMA(VAL) ,IBM-7535(AMLE) ,REMEK PAM, CINCINATTI MILACRON T - 726 ,ASEA-IRb6 (tabelul 1.5). Miscarile de asamblare se realizeaza ca o succesiune a unor operatii initiale (tabelul 1.6).

Tabelul 1.5

functia	AML	AMLE	VAL	PAM	T -726	IRb-6
1	*	*	*	*	*	*
2	*	*	*	*	*	*
3	*	*	*	*	*	*
4	*	*	*	*	*	*
5	*				*	*
6	*		*			
7	*					
8	*	*	*	*	*	*
9	*	*	*	*	*	*
10	*	*	*		*	
11	*	*	*			
12	*	*	*	*	*	*
13		*	*	*	*	*
14	*					
15	*		*			
16	*		*			
17	*					
18	*		*			
19	*	*	*			
20	*	*	*		*	

Nivelul de descriere a unei sarcini de indeplinit constituie un criteriu de comparare si clasificare a limbajelor . Se propun trei nivele de clasificare al patrulea nivel neprezentind un interes deosebit /D1/:

Tabel 1.6

Pasul	Miscarea
1	deplasarea DP in vecinatatea piesei
2	deplasarea rectilinie a DP in pozitia de prehensare
3	inchiderea bacurilor (prehensarea)
4	retragerea liniara din pozitia de prehensare
5	deplasarea piesei in locul dorit
6	deplasarea liniara pentru montajul piesei
7	deschiderea bacurilor
8	retragerea liniara a DP

-niv. manipulare:sarcina este descrisa in termeni de deplasare si operatii ale efectorului RI (DP,instrumente)

-niv. obiect : sarcina este descrisa in termeni ai operatiilor asupra obiectelor ce compun mediul in care evolueaza RIM

-nivel obiectiv:sarcinile nu sint practic descrise indicindu-se doar obiectivul de atins .

Folosirea RI cu comenzi adaptive pe baza de sisteme informationale dezvoltate reduce mult din cheltuielile suplimentare de organizare speciala a mediului de lucru al RI.

Se prevede ca pina in 1995 vinzarile de elemente senzoriale pentru RI sa se dezvolte anual cu cca 15-20 %. Dupa parerea specialistilor americani in 1995 cca.60 % din RI vor folosi traductoare simple cu semnal numeric, 25 % vor avea senzori vizuali, 25 % senzori tactili si senzori de forte-momente /02/.

Elementele senzoriale au drept scop de a transforma semnalele receptionate privind proprietatile mediului tehnologic (geometrice, electrice, mecanice, optice, acustice, magnetice etc.) in informatii folosite pentru indeplinirea functiei prescrise RI.

In fig.1.23 se prezinta o sinteza a traductoarelor ce intra in dotarea unor RI pentru montaj.

NUMERICE

INCREMENTAL

Automatix (AID 600); Bosch (HHMODULE)
Dainichi (PT200-H, PT300-H); DEA (A 3000)
Fanuc (A0, A1, S3); FWM (SERVATOR 02);
Hirata (ARH 300); Hitachi (A 3020);
IBM (7535, 7540, RS1); Intermoder (ROBIMAT);
Matsushita (H1, H2); Messma-Kel (MORO);
Olivetti (SIGMA); Siemens (MHS)

ABSOLUT

Scemi (4C.01, 6P);
Unimation

ANALOGICE
cyclic-absolute

ASEA (IRb6, IRB 60)
KUKA (IR 160/15, 160/60, 200)

Fig.1.23

O clasificare a diferitelor clase de senzori prin prisma importantei in montaj este prezentata in tabelul 1.7

Tabel 1.7

Senzor contact	Senzor F-M monocomp.	Senzor F-MI multicomp.	Senzor prez.	Senzor vizual	Senzor video
5	4	3	6	1	2

*** Obs-1=clasa cea mai importanta

Tabel 1.8

Senzor	RI	Aplicatia
vizual (IBM)	Durr	<ul style="list-style-type: none"> -determina pozitia si orientarea blocului de cilindrii
acustic		<ul style="list-style-type: none"> -determina prezenta cilindrilor pe palete
vizual (CT3)	IRb	<ul style="list-style-type: none"> -determina pozitia pieselor -determina distanta pina la piesa -determina pozitia planului oriental al alezajului
video	Scara	<ul style="list-style-type: none"> -determina orientarea rotorului
vizual	AT & T	<ul style="list-style-type: none"> -determina pozitia elementelor electronice
vizual tactili deplasare	Westinghouse	<ul style="list-style-type: none"> -coincidenta insertiei pinilor cu alezajele -confirmarea prehensarii -masurarea distantei intre contacte
vizual (HV/R-I)	Hitachi	<ul style="list-style-type: none"> -determina pozitia placii imprimate -determina pozitia piesei in DP
optomo.II proximitate	A 12	<ul style="list-style-type: none"> -determina pozitia alezajelor in care se monteaza terminalele pieselor electronice -determina pozitia DP in procesul de montaj
tactil proximitate	Adeptone	<ul style="list-style-type: none"> -determina forta de prehensare -determina pozitia pieselor de asamblat
vizual		
optic prox.fluidic optomecanic	T3-Cincinnatti	<ul style="list-style-type: none"> -determina prezenta alezajelor -determina corectitudinea si exactitatea pozitiei pieselor montate
vizual	RH,RL	<ul style="list-style-type: none"> -determina pozitia si orientarea pieselor
optic inductivi vizual	A3020	<ul style="list-style-type: none"> -controlul montajului -identificarea pieselor dupa contur si orientarea lor in plan
vizual	Motoman	<ul style="list-style-type: none"> -recunoasterea pieselor
forta-mom. prox.optic	Mitsubishi E.	<ul style="list-style-type: none"> -fortele la prehensare si in timpul asamblarii -determina pozitia pieselor
tactil(piezo) prox.optic	RI(Philips)	<ul style="list-style-type: none"> -determina forta de prehensare -sesizeaza prezenta pieselor in zona de montaj

In tabelul 1.8 se prezinta o sinteza a citorva tipuri de

senzori utilizati in diferite aplicatii industriale de montaj/D2/

Perfectionarea continua a dispozitivelor de comanda ale RI de montaj,dezvoltarea mijloacelor si algoritmilor de programare vor contribui la cresterea folosirii unor dispozitive senzoriale mai complexe.

1.3. MEDIUL TEHNOLOGIC IN MONTAJUL ROBOTIZAT SI VARIABILITATEA ACESTUIA

RI are un comportament interactiv cu elementele constructive,cu IP si va actiona intr-un spatiu dat caracterizat prin anumiti parametri (temperatura,vibratii,vizibilitate).Totalitatea sistemelor fizice si informationale cu care RI va intra in contact definesc mediul tehnologic (periferic) al RI /K1/.

Mediul tehnologic se prezinta ca un mediu dinamic in care diferitele componente isi schimba dimensiunile,pozitia,caracteristicile intr-un mod variat .

Analizat din punctul de vedere al variabilitatii se pot distinge pentru mediul tehnologic urmatoarele clase de variabilitate /K1/:

- variabilitatea pozitionala
- variabilitatea de forma si dimensională
- variabilitatea de timp
- variabilitatea operatională
- variabilitatea generală de mediu

Variabilitatea pozitionala se poate referi la elementele constructive ,IP si dispozitive (DP sau de lucru)sub aspectele de pozitie si orientare.

Dispozitivele de alimentare-orientare trebuie sa aiba urmatoarele caracteristici:constructie relativ simpla,siguranta in functionare ,reglaje simple pentru formele si dimensiunile diferite ale pieselor,usurinta la incarcare,suprapunerea ciclurilor de lucru cu cel al RI in scopul scaderii ciclului de asamblare .

Rezerva pieselor in montajul robotizat se realizeaza in depozite in una din trei posibilitati /S1/:magazin ,acumulatoare sau buncare.Din punctul de vedere al fiabilitatii cea mai indicata solutie este cea a buncarelor .Privitor la acestea cele

mai mari perspective le prezinta buncările vibratoare . Evacuarea de la alimentator spre un echipament de transport se face prin una din posibilitatile: gravitational, semigravitational si fortat. Pieselete sosesc astfel cu o orientare bine stabilita si precis pozitionate.

Manipularea pieselor din zona de alimentare spre posturile de montaj robotizate se poate face fie utilizind RI (din prima generatie) fie conveioare sau robocar (RC). Prima varianta se utilizeaza in general in celule de montaj sau pentru incarcarea conveioarelor . Pozitia si orientarea pieselor este precis definita , erorile fiind cele ale RI . In ultimul timp s-au dezvoltat liniile de conveioare,doua tipuri facindu-se remarcate : conveiorul de distributie si cel de lucru /S1/.

Conveiorul de distributie se utilizeaza la asamblarea cu piese sub 15 kg.,asamblarea facindu-se in posturi specializate (ridicarea se face in general cu RI). In general aceste conveioare sunt echipate cu palete transportoare (usoare,din aluminiu) in care piesele au pozitie si orientare bine definita.Acest lucru reduce din flexibilitate dar asigura o fiabilitate ridicata . Utilizarea unui transportor cu banda pe care piesele ocupă pozitii care nu necesita utilizarea senzorilor si traductoarelor pentru determinarea prezentei piesei,pozitiei si orientarii acesteia . Conveioarele de lucru se utilizeaza intr-o linie de flux cu un singur produs sau in linii cu mai multe produse care nu se ridică de pe dispozitivul de transport.In acest caz este necesara o sincronizare intre conveior si RI (ca precizie de pozitionare si suprapunerea ciclurilor). Varianta de manipulare cu RC a aparut recent.RC sunt conduse automat de-a lungul unui traseu.RC poarta dispozitive de tip paleta pentru asezarea pieselor sau subansamblelor.Metoda ofera flexibilitate maxima pentru transferul interoperational dar se recomanda pentru liniile de flux lungi si piese grele .

Variabilitatea de forma,dimensiune si masa este specifica operatiilor de montaj avind in vedere ca piesele ce intervin pe parcursul operatiilor sunt diferite ca forme,mase,dimensiuni si rigiditati.Variabilitatea acestor parametrii are implicatii majore in conceptia DP,a echipamentelor periferice ,a sistemului informational,in stabilirea unor conditii extreme pentru fortele de prehensare .

O analiza a variabilitatii pieselor in industria cons-

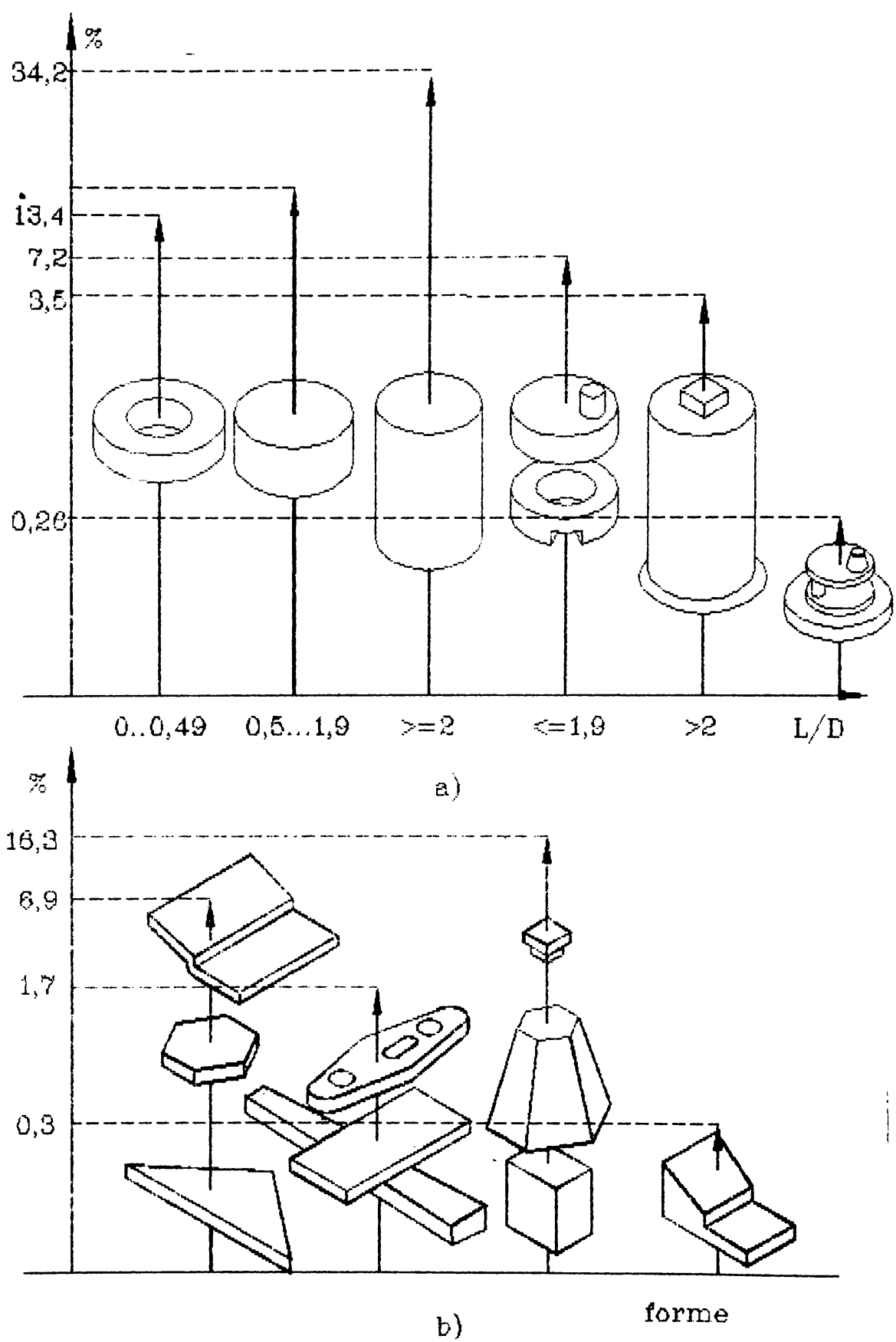


Fig. 1.24

tructoare de masini (3008 piese din 21727 procese tehnologice) /F1/ a scos in evidenta ca 66 % din piese sunt corpuri de rotatie. Distributia frecventei este aratata in fig.1.24.

Se evidențiază faptul că 49.7 % din piese sunt masive, 17 % sunt piese masive cu abateri de la forma geometrică, 16 % sunt piese cavi cu pereti groși, 12 % sunt piese închise cu pereti subțiri și 4 % deschise cu pereti subțiri. Se remarcă din analiza efectuată că peste 70 % din piese au masa pînă la 0.5 kg /F1/.

Un număr mare de piese sunt elastice, deformabile ceea ce implica atenție în prehensarea lor și în procesul de asamblare. În tabelul 1.9 se prezintă o repartitie a componentelor deformabile în producția industrială /W10/.

Tabelul 1.9

piese de fixare	31.4 %
-inele si saibe elastice	7 %
-bratara pt.tevi,conducă	12 %
-cleme	5.9 %
-colier	4.7 %
-bratara pt.cabluri	1.6 %
etansari	23.9 %
-garnituri	17 %
-inele,inele "O"	6.5 %
-altele	0.5 %
amortizori	15.0 %
arcuri	9.8 %
-elicoidale	7.2 %
-in foi	1.3 %
-altele	0.9 %
conectori electrici,fise	9.2 %
conducă	8.6 %
subansamble si alte piese	2.5 %
	100.0 %

Nomenclatura pieselor din constructia de aparate, electronică, electrotehnica este foarte vastă cuprindând atât piese de configurație simplă cât și piese de forme complexă rigide sau elastice. Se întâlnesc astfel condensatoare, rezistoare, minitransformatoare caracterizate de forme simple și suficient de rigide cât și forme nestandardizate (de exemplu placile cu circuite imprimante).

Pieselete din ultima categorie se încadrează ca și mase în

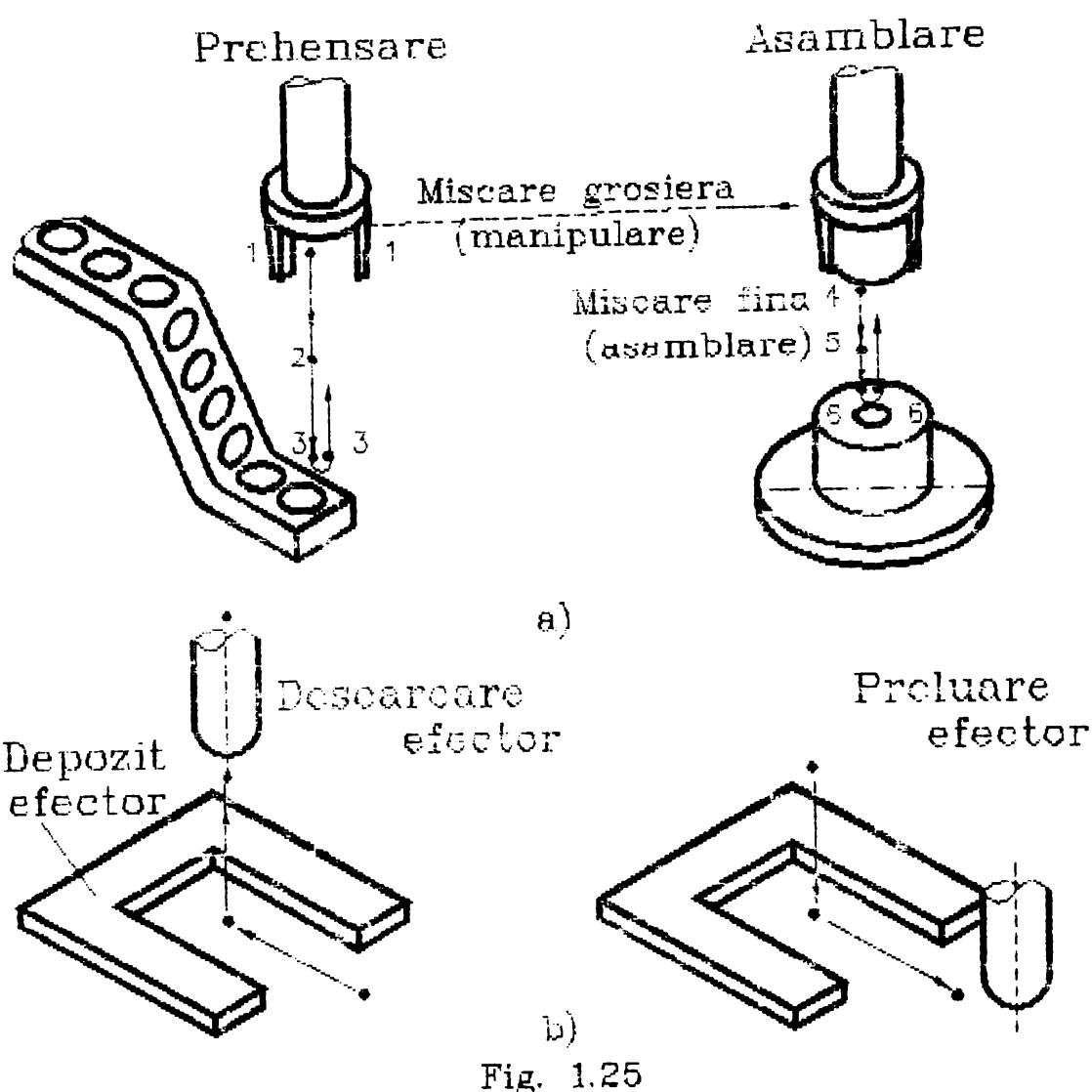


Fig. 1.25

categoria pieselor miniaturale ,cu dimensiuni pina la ordinul (1.5*1.5*0.3)mm (cristalele semiconductoare). Aceste dimensiuni reduse precum si existenta terminalelor flexibile la unele piese ridica probleme deosebite in prehensarea si montajul lor .

Varibilitatea de timp in montaj cuprinde :variabilitatea duratelor de manipulare (include orientare,alimentare,transport interoperational) si variabilitatea duratelor de asamblare (inclusiv durata operatiilor de asamblare insumate pentru toate componente).

Cercetarile privind factorii de influenta a duratelor ciclului de asamblare a unui produs au scos in evidenta faptul ca rezervele mari in reducerea ciclului exista in durata de manipulare.

Duratele de asamblare depind efectiv de piesele ce intervin ,de precizia de lucru ,de fortele necesare,de operatia de asamblare.Din acest motiv reducerea acestor timpi este mai dificila .

In fig.1.25 se prezinta operatiile efectuate de RI la

Tabel 1.10a

piesa	operatie	prehensare	asamblare	manipulare	
				de la alim.	la alim
piulita	1.3	1.7	1.0	0.5	
inel distantier	1.5	1.4	0.5	1.3	
roata curea	1.5	1.4	1.2	1.6	
ventilator	1.2	1.3	1.7	1.0	
rulment	1.4	1.5	0.7	1.3	
rotor	2.8	2.6	1.7	-	
surub	-	11.1	-	-	

Tabel 1.10b

	Miscare "fina "		Miscare "grosiera"	
	preluare	descarcare	de la mag.	de la masa
			DP la alim.	la alim.
dis.insurub.	2.9	1.8	2.1	1.3
DP(rotor)	2.8	2.2	1.3	2.7
dis.asamb.				
piulita	2.1	1.7	1.7	1.7
DP(3 degete)	2.3/2.4	1.8/1.9	1.8/2.3	1.7/4.4
dis.insurub.	2.3	2.1	1.3	2.3
DP(3 degete)	2.8/2.6	2.5/1.8	1.4/1.6	1.4/2.6

asamblarea unui alternator /N17:a)prehensarea si asamblarea componentelor;b)schimbarea sculelor si DP.In tabelele 1.10a si

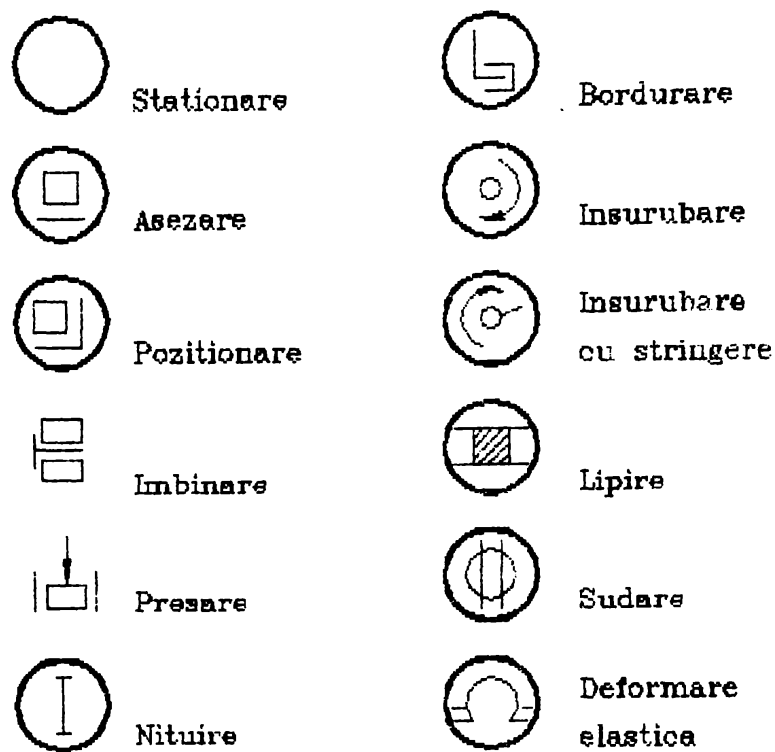


Fig. 1.26

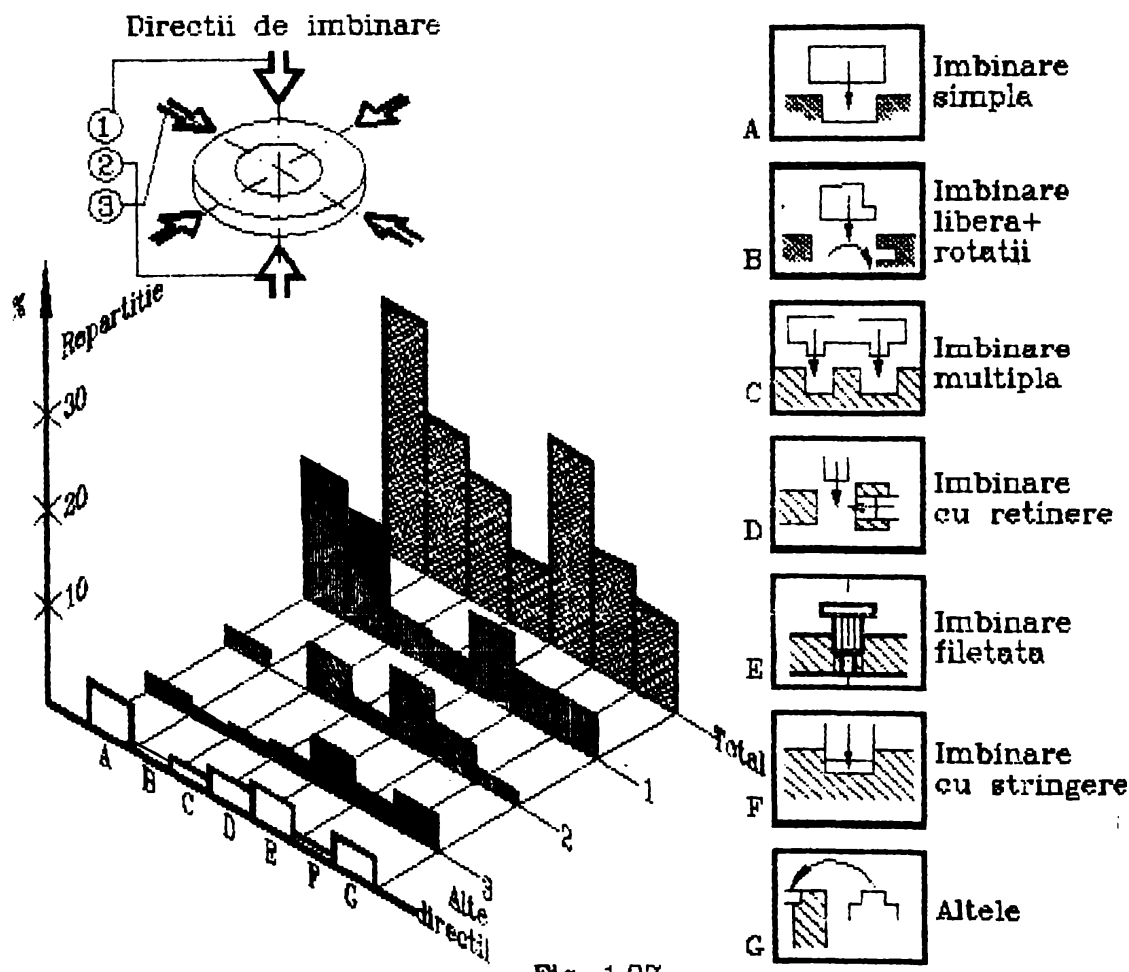


Fig. 1.27

1.10b sint specificate performantele atinse in aceste operatii. Se observa timpii relativ ridicati necesari pentru schimbarea efectelor lui.

Operatiile de asamblare sint prezentate prin semnele conventionale in fig.1.26 dupa prescriptiile VDI /C1/.

Pe lîngă aceste operatii, în montaj se mai efectuează și operatii speciale ,intercalate de obicei între operatii de asamblare succesive.Cele mai uzuale sint marcarea ,ungerea, degresarea ,vopsirea ,incalzirea,racirea .

In /N2/ se face o analiza sistematica a operatiilor de asamblare (fig.1.27) prin cercetarea unor produse ca :motor de inductie,minitransformator,familie de compresoare pentru frigidere, alternator pentru automobil etc.In fig.1.27 se prezinta si frecventa globala a diferitelor sarcini functie de directiile de asamblare .

Din analiza celor prezentate rezulta ca :peste 90 % din aceste sarcini se refera la introducerea unui stift intr-un alezaj (cu joc sau fara,introducerea unui stift urmata de o rotatie ,insurubare),directia preferentiala fiind cea verticala de sus in jos .

Prin variabilitatea generala de mediu se inteleag variatiiile altor parametri ai mediului in care este amplasat RI decit cei determinati pentru sarcini de productie (temperatura,umiditatea,vibratii,nivel de iluminare)/K1/.Toti acesti parametri pot influenta buna functionare a RI daca nu au fost prevazuti prin tema de proiect sau nu au fost gasite solutii optime de inlaturare a influentei lor .

Unele aplicatii de montaj impun conlucrarea RI-cuptoare de incalzire.Aceste aplicatii necesita un control precis a temperaturii de lucru .

RI dotati cu vedere artificiala sint foarte "sensibili" la variatii ale nivelului de iluminare .Se impune un control al nivelului de iluminare (daca acest lucru este posibil de realizat)sau utilizarea altor posibilitati de recunoastere a pieselor .

In aplicatii din microelectronica (montajul discurilor magnetice,manipularea si montajul monocristalelor etc.) se impune ca spatiul de lucru sa fie realizat ca o "incinta curata" . In principiu acesta incinta este o incapere etansa in care trebuie sa se mentina un anumit nivel maxim de impuritati in atmosfera

/C1/, /M1/, /D1/. "Incintele curate "se impart in clase dupa nivelul de impuritati admis (conform standardului american 209 adaptat si de VDI-2083). Montarea discurilor de memorie necesita spatii de lucru din clasa 100 (numarul maxim de impuritati mai mari de $0.5 \mu\text{m} / \text{dm}^3$ aer = 2.7). Utilizarea RI in aceste incinte impune conditii speciale pentru realizarea constructiva a acestora (reducerea impuritatilor produse de catre RI ,efector,IP)/D2/.

In final se poate concluziona ca mediu tehnologic in montaj se prezinta ca un mediu cu variabilitate ridicata in special datorita variabilitatii pieselor (forma si rigiditate) si variabilitatii operationale. Acest lucru recomanda din plin utilizarea RI. Se impun insa inainte de implementarea RI masuri de reproiectare a produsului urmarindu-se:

- minimizarea numarului de piese componente
- minimizarea directiilor de acces
- asigurarea accesului liber
- alegerea unor forme adecvate manipularii automate
- alegerea unor solutii constructive care sa permita autoalinierea
- alegerea unor forme mai usor de orientat
- utilizarea alimentarii automate pentru piese mici
- modificarea formei pentru usurarea asamblarii sau pozitionarii la montaj.

1.4. ERORILE DE SITUARE ALE ROBOTILOR INDUSTRIALI

In aprecierea exactitatii robotilor industriali se utilizeaza erori cinematice,dinamice si erori care se refera la corelarea mai multor marimi /K21/.

Se defineste ca eroare de situare (pozitie si orientare) diferența intre situarea programata la un moment dat a obiectului manipulat (sau a efectorului final) si situarea realizata efectiv in acel moment /K21/.

Situarea la un moment dat a efectorului in spatiu se poate prezenta prin matricea de situare (4*4).

Se defineste ca matricea situare de referinta a efectorului final (obiectului) in raport cu elementul fix al sistemului mecanic al RI matricea /K21/:

$$(R_{TEF})_0 = \begin{vmatrix} n_x & o_x & a_x & | & p_x \\ n_y & o_y & a_y & | & p_y \\ n_z & o_z & a_z & | & p_z \\ 0 & 0 & 0 & | & 1 \end{vmatrix} \quad (1.2)$$

Submatricea coloana (3*1) reprezinta vectorul de pozitie de referinta al punctului caracteristic P al efectuatorului final, iar submatricea (3*3) este submatricea de orientare de referinta a sistemului de referinta legat de obiect (efector final).

In mod asemanator se defineste matricea de situare efectiva a efectuatorului final /K21/:

$$R_{TEF} = \begin{vmatrix} n_x & o_x & a_x & | & p_x \\ n_y & o_y & a_y & | & p_y \\ n_z & o_z & a_z & | & p_z \\ 0 & 0 & 0 & | & 1 \end{vmatrix} \quad (1.3)$$

Du ajutorul matricelor de situare de referinta, respectiv efectiva se determina prin scadere matricea erorii de situare a efectuatorului final /K21/:

$$R_{TEF} = (R_{TEF})_0 - R_{TEF} \quad (1.4)$$

Submatricea coloana (3*1) va reprezenta in acest caz eroarea de pozitie a punctului caracteristic iar matricea (3*3) eroarea de orientare a sistemului de referinta legat de efectuatorul final.

Se impune o analiza a erorilor de situare ale robotilor industriali pentru montaj avind in vedere importanta decisiva a acestora in reusita operatiuni de asamblare a doua piese.

1.5. MODALITATI DE REALIZARE A CORECTIEI ERORILOR DE SITUARE IN MONTAJUL ROBOTIZAT

Corectia erorilor de situare presupune estimarea pozitiei relative a celor doua elemente ce urmeaza a se asambla printr-o strategie de cautare. Procesul de cautare are loc automat si se

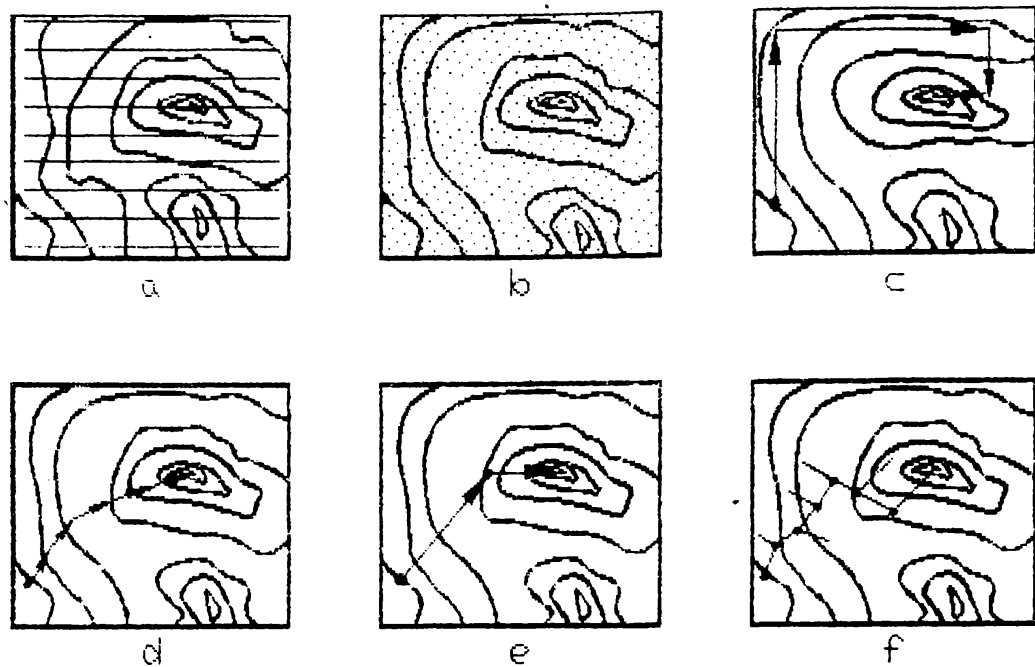


Fig. 1.28

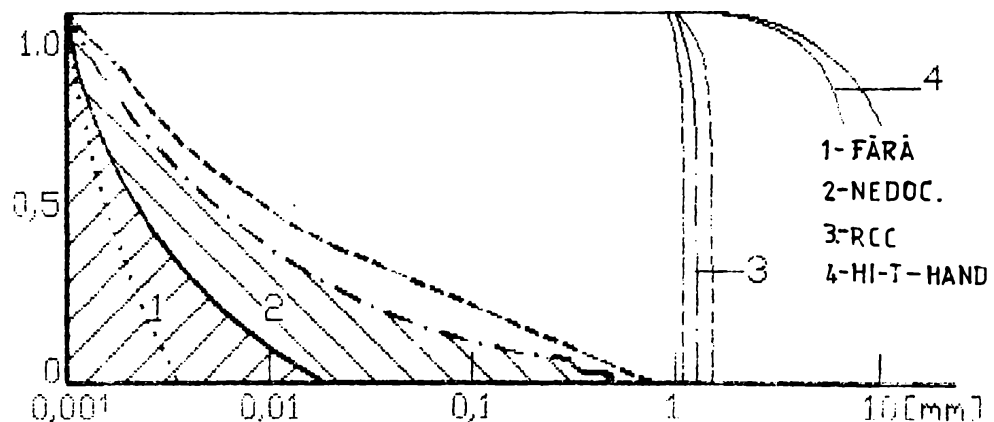
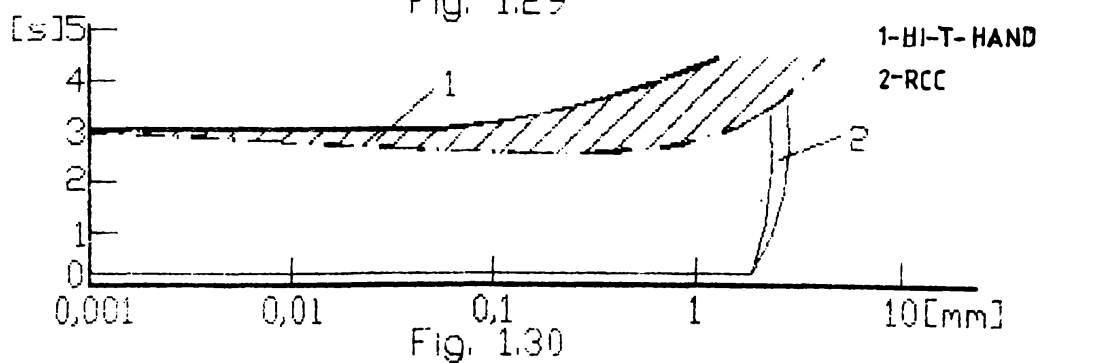


Fig. 1.29



realizeaza, ca la activitatea manuala, cu piesa care trebuie montata. In fig.1.28 se prezinta diferite strategii de cautare pentru determinarea unei valori optime /S11/.

Ca urmare a contactului celor doua elemente constructive care se monteaza intre acestea apar forte de legatura. Aceste forte stau la baza metodelor de corectie a erorilor de situare .

Corectia se poate realiza in mod pasiv,activ sau mixt.

Corectia pasiva se bazeaza pe existenta in componenta efectorului a unui dispozitiv de complianta. Prin actiunea fortelelor de legatura, aparute intre elementele de asamblat, acest dispozitiv se deformeaza conducind in mod automat la reducerea erorilor de situare. Reducerea acestor erori are loc simultan cu miscarea de asamblare. Aceasta metoda corespunde strategiei gradient (fig.1.28 d).

Corectia activa se bazeaza pe masurarea cu ajutorul senzorilor de forta-moment a fortelelor de legatura. Prelucrarea datelor astfel obtinute ofera informatii privind eroarea de situare a RI. Sistemul de comanda al RI va comanda actionarea acelor couple cinematice ale dispozitivului de ghidare sau a modulului de pozitionare locala astfel incit sa se reduca aceste erori. Cind semnalele obtinute de la senzor coboara sub o anumita limita, se comanda miscarea de avans (de asamblare) . Procesul se repeta pina cind se realizeaza asamblarea celor doua elemente constructive. Aceasta metoda corespunde strategiei Gauss-Seidel din fig.1.28 c.

Corectia mixta se bazeaza pe combinarea celor doua procedee prezentate anterior si corespunde unei strategii Gauss-Seidel-gradient (fig.1.28 e).

Strategiile de cautare sistematica, aleatorie si evolutiva sunt improprii datorita duratelor de timp necesare mari.

O comparatie a metodelor de corectie din punctul de vedere al eficacitatii este prezentata in fig.1.29 iar in functie de intervalul de timp cit dureaza compensarea in fig.1.30 /N2/.

1.6. MODALITATI DE REALIZARE A DISPOZITIVELOR DE COMPLIANTA.

Primul RI utilizat pentru operatii de montaj a fost SIGMA

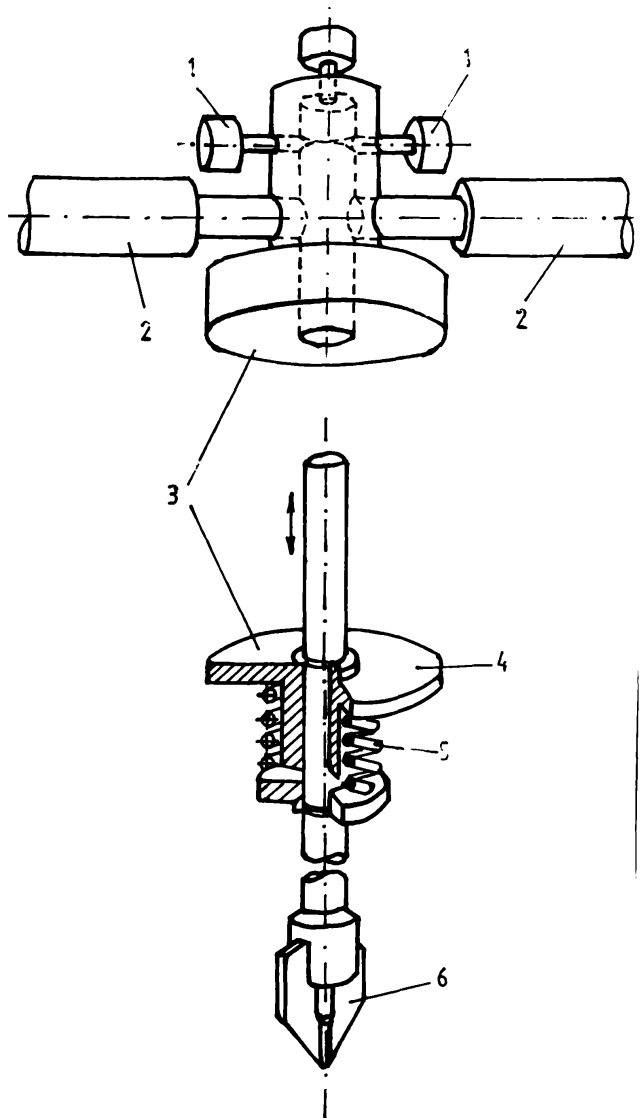


Fig.1.31

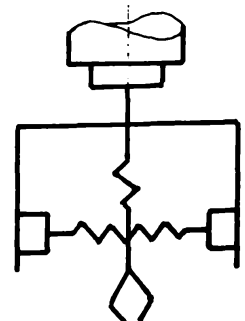


Fig.1.32

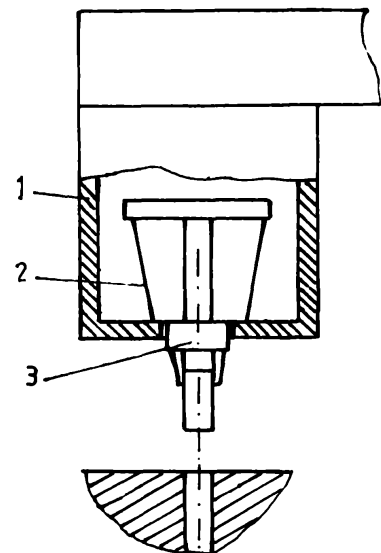


Fig.1.33 a..

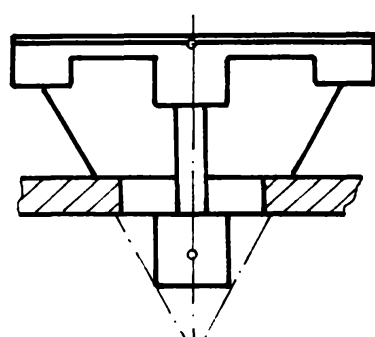


Fig.1.33 b

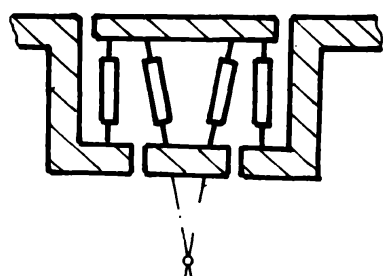


Fig.1.33 c

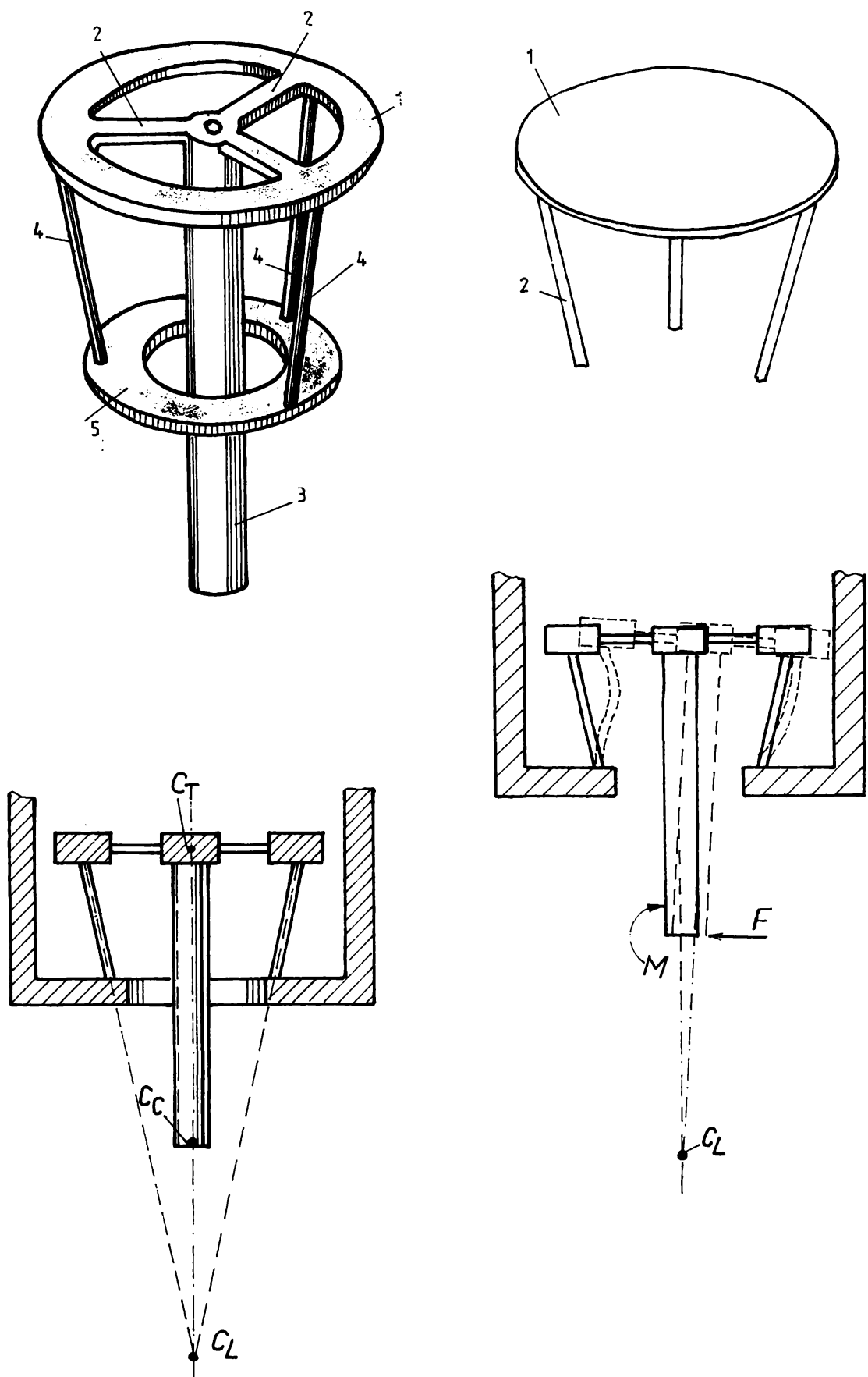


Fig.1.34

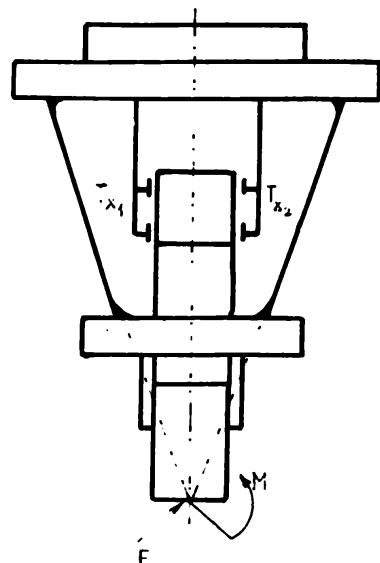


Fig.1.35

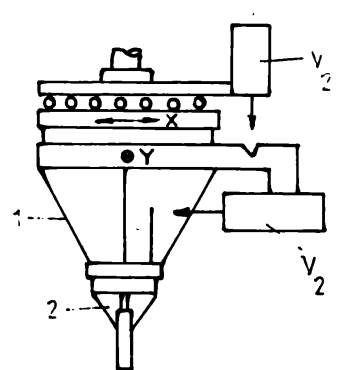
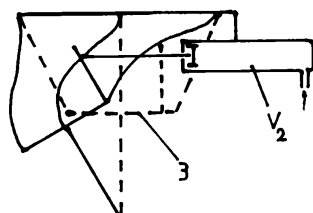


Fig.1.36

(firma Olivetti) (Sistema Integrato Generico per la Manipulazione Automatica) in anul 1972 /S2/,/J1/. Acesta a fost dotat cu un dispozitiv de complianta (in planul orizontal x-y), bazat pe arcuri elicoidale. Suprasarcinile in directia verticala sunt preluate de asemenea de un arc elicoidal. Deformatiile sistemului sunt urmarite de trei traductoare de pozitie (fig.1.31).

Tot in 1972 firma Hitachi (Japonia) a realizat primul montaj a unui stift cilindric 20 mm intr-un alezaj cu un joc de 20 μ m. Montajul, pe durata a 3 secunde, s-a realizat cu ajutorul dispozitivului Hi-T-Hand (avind in dotare un senzor tactil). Este de remarcat acest model avindu-se in vedere faptul ca realizările ulterioare in domeniul corectiei erorilor se vor raporta la acesta (fig.1.32)/J1/.

La Charles Stark Draper Laboratory (Cambridge-USA) se breveteaza la 4 iulie 1978 modelul RCC (Remote Center Compliance) iar la 22 mai 1979 o varianta a acestui model fig.1.33 /W10/,/N1/ Ca si elemente elastice se utilizeaza arcuri lamelare de sectiune rotunda , dreptunghiulara sau membrane elastice. In fig.1.34 se prezinta o vedere axonometrica a acestei solutii, modalitatea de raspuns a mecanismului la actionarea unei forte si a unui moment si o alternativa a acestei solutii prin utilizarea unei diafragme pentru materializarea structurii laterale deformabile. Modelul experimental 4A RCC realizat prezinta caracteristicile: 1.36 kg, rigiditatea laterală 100 N/cm, rigiditatea torsională 0.1 Nm/mrad. Bazindu-se pe acest model De-Fazio a realizat modelul IRCC in cadrul unei corectii mixte /N1/,/D22/ (fig.1.35). Sistemul informational determina deformatiile mecanismului cu couple cinematice elastice prin una din metodele: inductiv, electrooptic, tensorezis-tiv etc..)

Un model asemanator a fost realizat in 1979 la Universitatea Linkoping (Suedia)/A9/. Modelul DCSV (Dispositif Compliant a Structure Variable) (fig.1.36) utilizeaza un mecanism cu couple cinematice elastice si un mecanism de ghidare in planul X,Y. Un microcilindru V_1 creaza o deformatie initiala structurii elastice. In timpul miscarii de avans, dupa axa z, mobilitatile dupa X,Y ramane anulate (prin V_2). Miscarea de asamblare continua sa se efectueze pina in momentul blocajului complet, in aceasta perioada rezultand o deformatie suplimentara a structurii elastice. In acel moment sunt deblocate mobilitatile in planul X-Y, energia inmagazinata prin deformatia elastica conducind la redresarea pozitiei

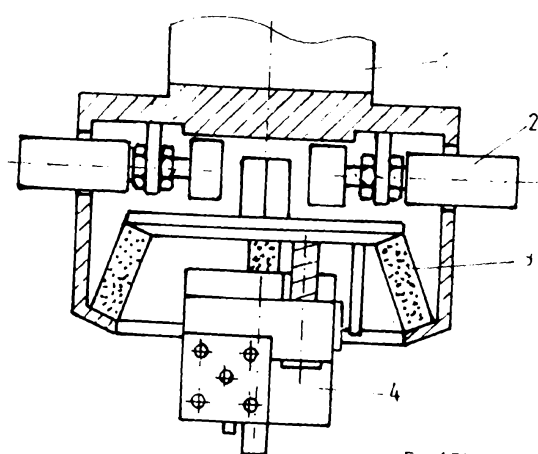


Fig.1.37

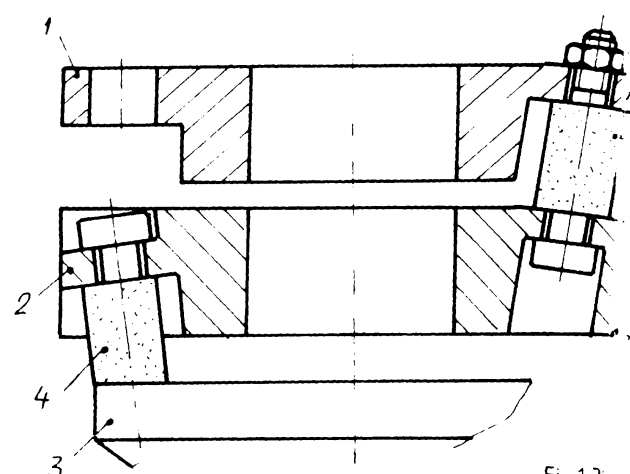


Fig.1.38

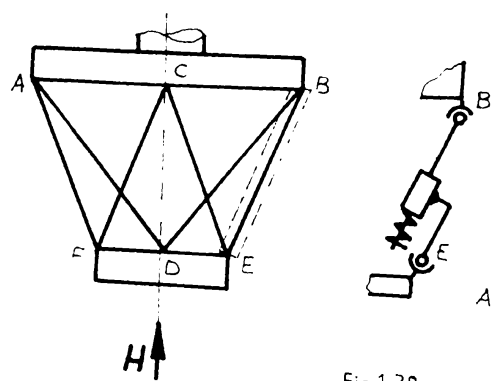


Fig.1.39

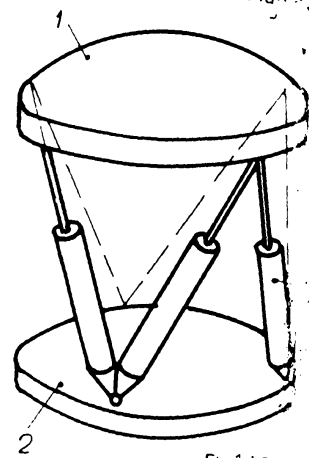


Fig.1.40

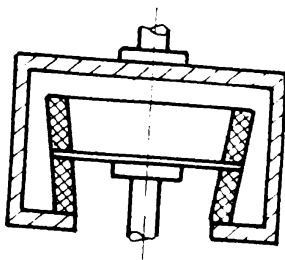
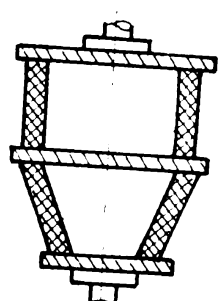
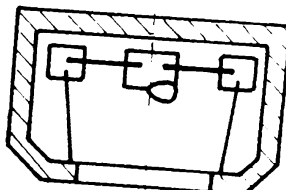
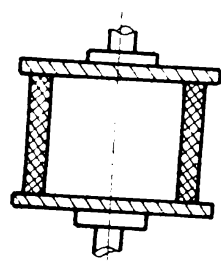
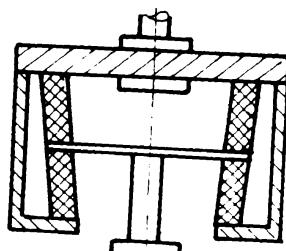
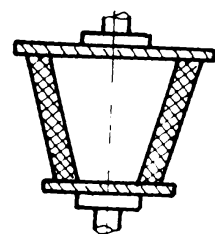


Fig.1.41

stiftului si compensarea erorilor de situare.

In 1979 la IPA Stuttgart se realizeaza un prim model de dispozitiv de complianta (fig.1.37) (1-flansa RI;2-microcilindru pneumatic;3-mecanism cu couple cinematice elastice;4-modul de translatie pe verticala) iar in 1980 modelul MTGS (Modular Takti-l'en Greifer Sensorsystem) (fig.1.38) (1-flansa RI;2-flansa interme-diara;3-flansa modulului de translatie pe verticala;4-element elastic). Ambele modele se bazeaza pe elemente elastice din elas-tomeri. Modelele prezinta elasticitate ghidata si in directia montajului prin intermediul unor arcuri elicoidale de compresi-une.

Dezvoltat in 1979 la Universitatea Canterbury (Noua Zee-landa) modelul PCD (Passive Compliance Device), structural apropi-at de RCC utilizeaza un principiu putin diferit de acesta:struc-tura elastica este realizata din pistoane montate intre arcuri si articulante intre doua flanse rigide (fig.1.39) /M8/.

O solutie asemanatoare este prezentata in fig.1.40 /G2/. Structura deformabila este realizata pe baza a sase cilindrii pneumatici dispusi intre doua flanse rigide pe laturile unor triunghiuri. Fiecare microcilindru este prevazut un traductor potentiometric liniar care ofera informatii despre deformatia structurii elastice (1,2-flanse;3-microcilindru pneumatic).

Modele asemanatoare (structural si constructiv)celui realizat de Nevins si Whitney - modelul RCC - au fost studiate incepind din 1980 la Karl-Marx-Stadt de P.Jacobi si colaboratori /V1/,/H12/,/J1/ (fig.1.41),de cercetatori din CSI /S5/,din Ceho-slovacia /H9/,s.a.

Un nou model,atit din punct de vedere structural cit si constructiv,este propus in 1984 la INSA Lyon /F4/. Modelul DCR-LAI (Double Centre Rotation) permite obtinerea a doua centre de rotatie ,pe baza a doua lagare sferice 1,si are in componenta o membrana elastica 2 (fig.1.42).

La Stanford University (in 1984),Cutkosky breveteaza un model cu rigiditate variabila,bazindu-se pe elemente elastice cu fluid /C12/ (fig.1.43). Presiunea fluidului din elementele elastice este controlata prin intermediul unui microcalculator (1-element elastic;2-flansa superioara;3-flansa inferioara).

O varianta asemanatoare (functional) este prezentata in fig.1.44.Cilindri flexibili 3-8 sunt umpluti cu lichid. (DG-dispozitiv ghidare;1-flansa superioara;2-flansa inferioara)

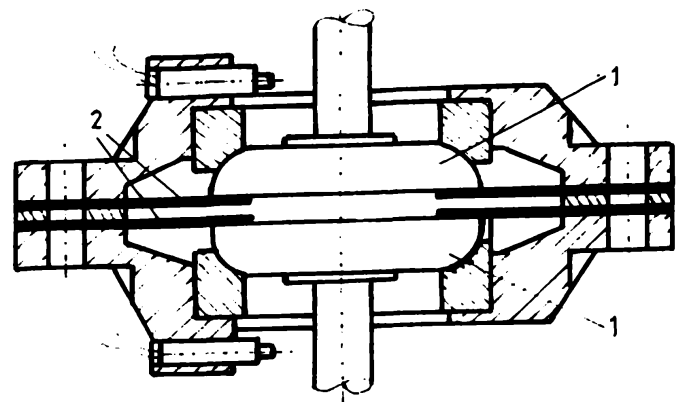


Fig.1.42

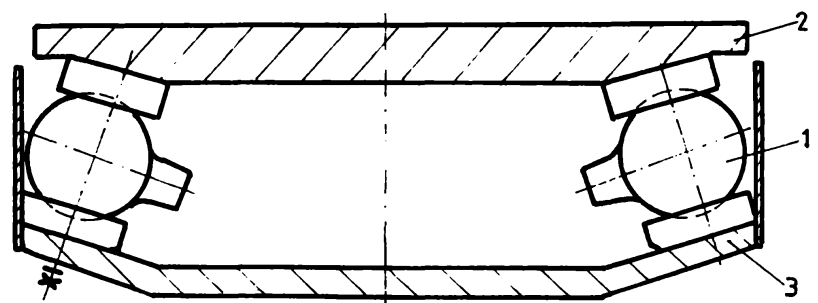
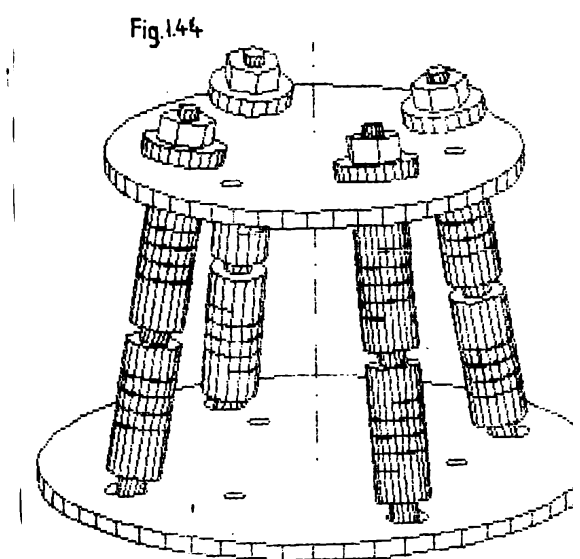
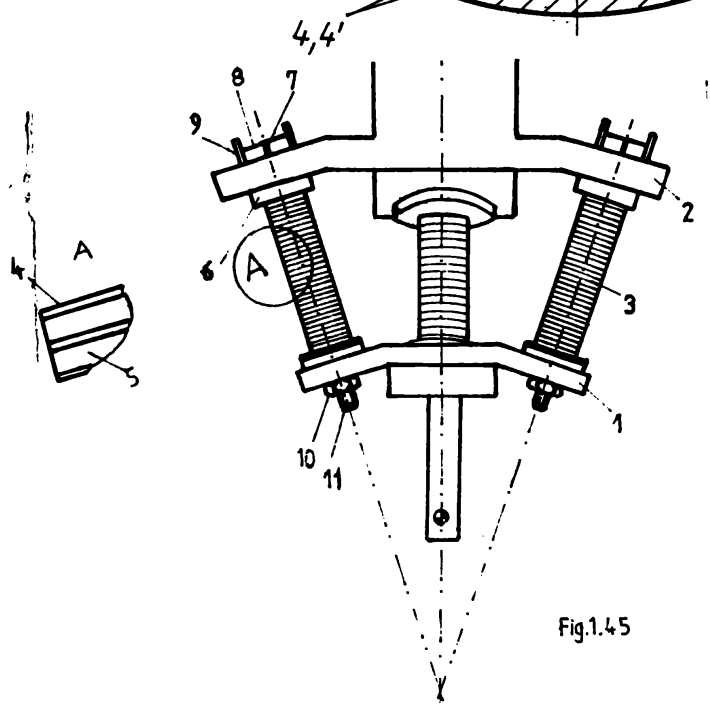
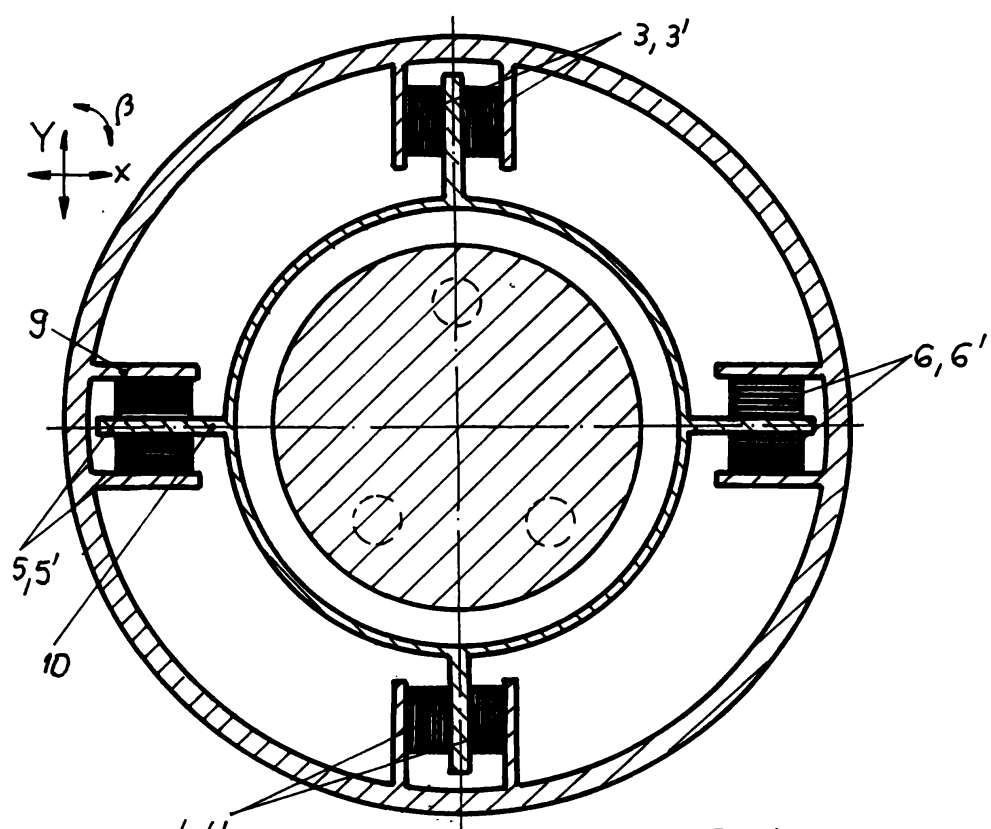
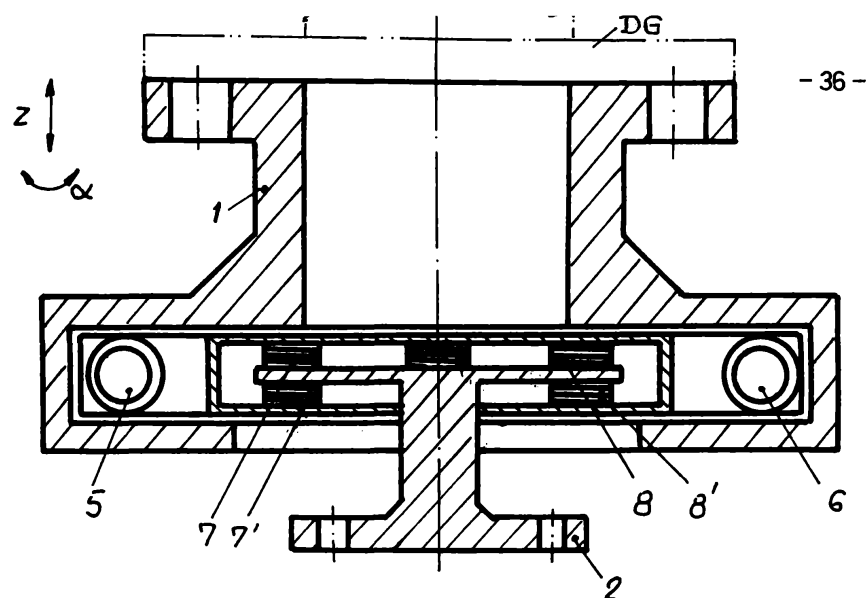


Fig.1.43



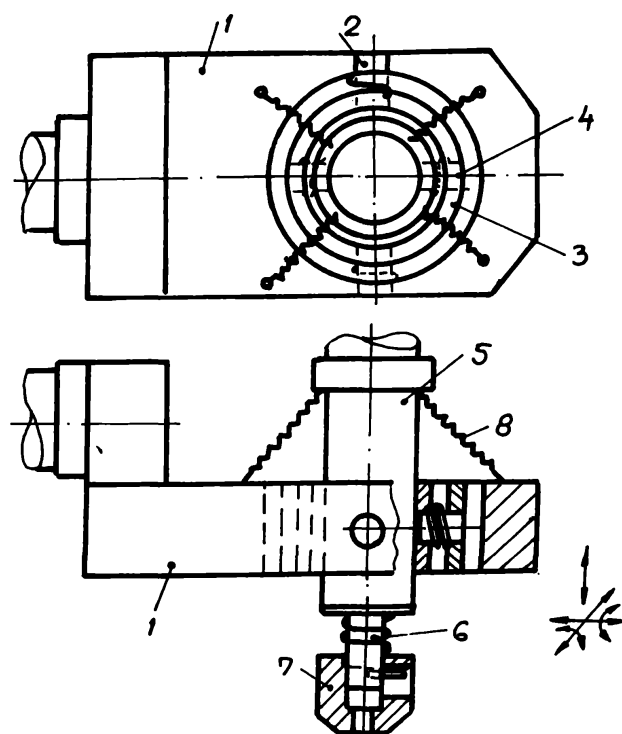


Fig.1.47.

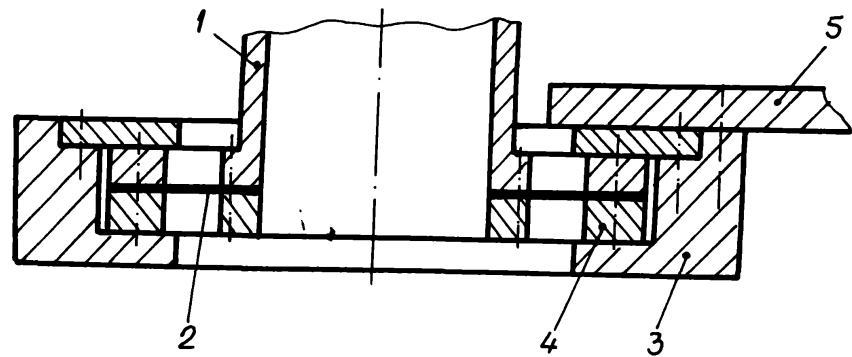


Fig.1.48

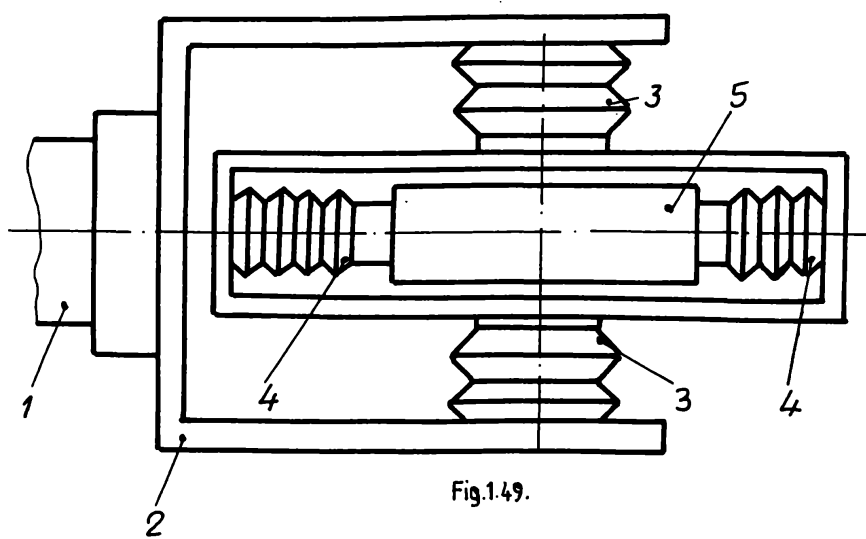


Fig.1.49.

64-827

Pe principiul RCC se breveteaza in anul 1985 solutia din fig.1.45 /R7/. Se utilizeaza elemente elastice compuse-inele din elastomeri intercalate intre saiba metalice - tensionate prin intermediul unui cablu metalic.(1,2-flanse;3-elemente elastice; 4-saiba metalica;5-cauciuc;6-disc metalic;7-cablu metalic;8-bară transversala;9-suport;10-surub,piulita)

In aceasi perioada (1985) se breveteaza modelul cu elemente elastice de forma unui cilindru metalic prevazut cu un canal elicoidal /P10/(fig.1.46). Elementele elastice 1 sunt dispuse inclinat in cadrul a trei perechi.

In anul 1985 sunt publicate si brevetele unor noi modele care utilizeaza ca elemente elastice fie arcuri elicoidale /B3/ (fig.1.47;1-suport dispozitiv;2,4-stift cilindric;3-inel;5-flansa inferioara;6-ghidaj de translatie;7-scula;8-arc elicoidal cilindric), fie membrana metalica /F3/(fig.1.48;1-flansa inferioara;2-membrana elastica;3-ghidaj translatie;4-distantier;5-dispozitiv de ghidare) sau membrana gofrata /C5/(fig.1.49;1-dispozitiv de ghidare; 2-suport; 3,4-membrana gofrata). Caracteristic pentru aceste modele este faptul ca au in componenta un ghidaj de translatie in planul X-Y.

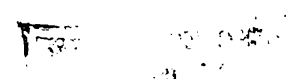
O combinatie dintre un mecanism cu couple cinematice elastice si un ghidaj de translatie X-Y este prezentata in fig.1.50 /C8/. Blocarea mecanismului cu couple cinematice elastice se realizeaza prin microcilindrul 4 si placa 6 iar blocarea ghidajului de translatie prin stiftul 5.(1-element elastic;2-ghidaj de translatie X-Y;3-flansa inferioara;4-cilindru hidraulic).

Variante ale unor dispozitive de complianta continind un singur element elastic sunt publicate incepand din 1987 in Cehoslovacia/I1/,/I4/,/I5/(fig.1.51a;1-element elastic din cauciuc;2-flansa DG;3-bucsa metalica;4-DG)(fig1.51b;1-flansa;2-membrana elastica;3-element elastic metalic).

In /H9/ se publica varianta dispozitivului de complianta din fig.1.52; (1-element elastic;2,3-flanse).

Varianta unui dispozitiv de complianta avind un mecanism cu elemente elastice din elastomeri este prezentata in fig.1.53. Caracteristic pentru aceasta varianta este utilizarea unui vibrator pneumatic care sa asigure realizarea unor miscari circulare in vederea gasirii centrului alezajului /D2/.

O varianta de dispozitiv de complianta constind din doua mecanisme cu couple cinematice elastice inseriate este publicata



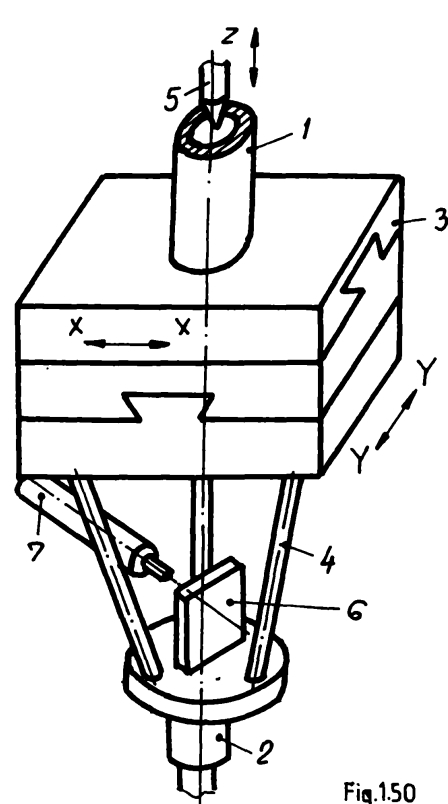


Fig.1.50

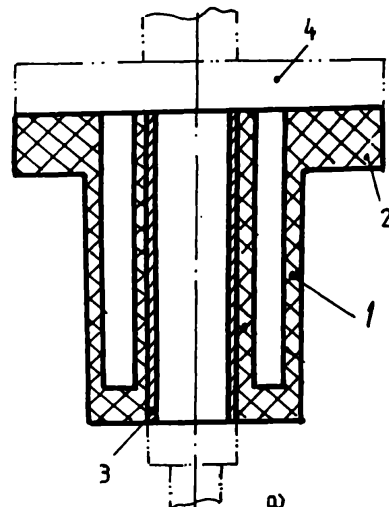
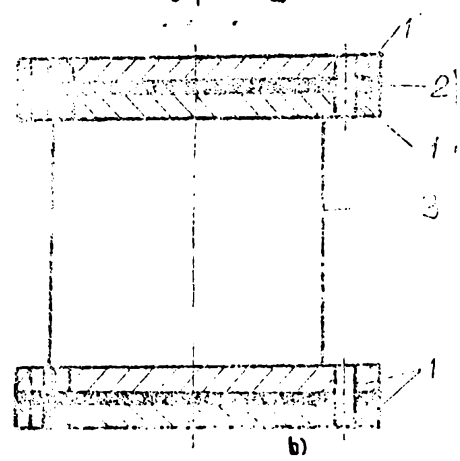


Fig.1.51



b)

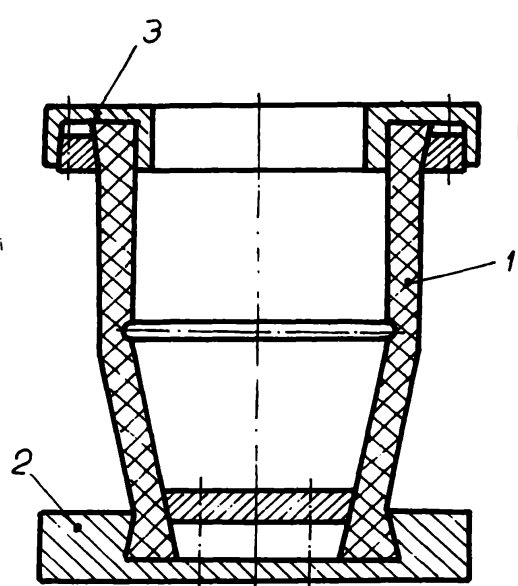


Fig.1.52

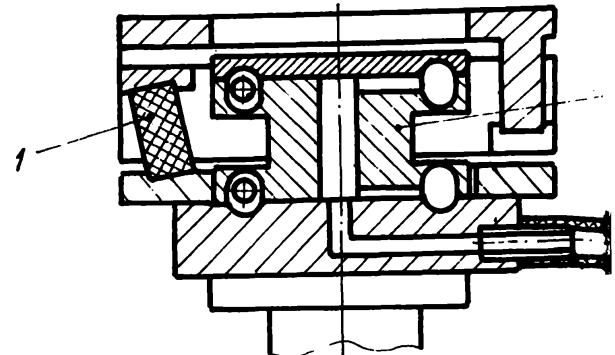


Fig.1.53

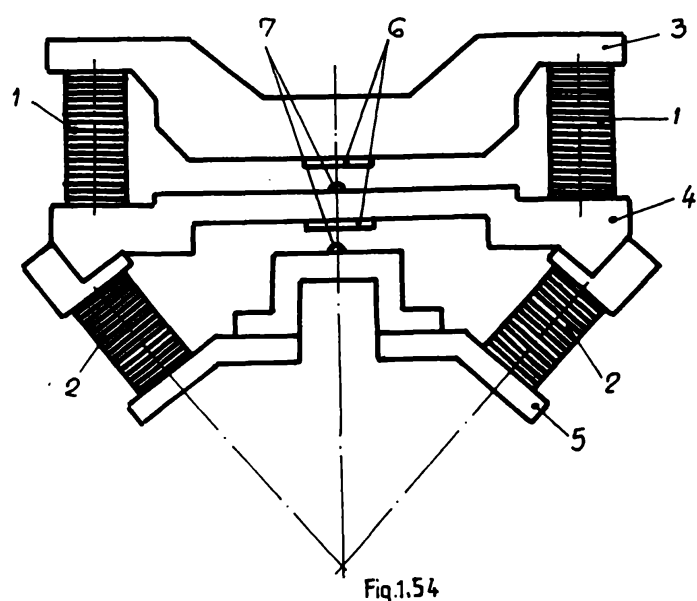


Fig.1.54

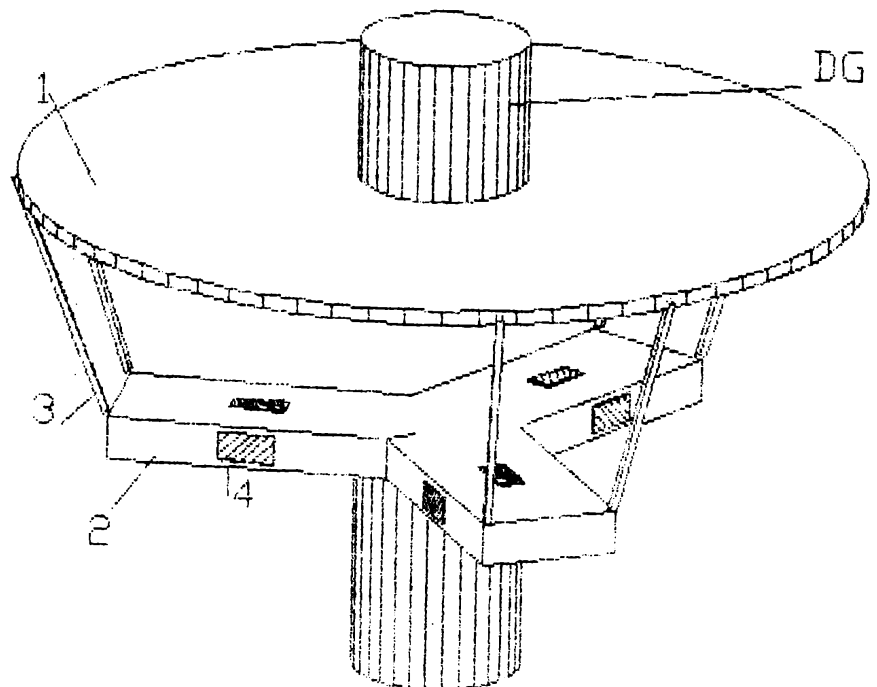


Fig. 1.55

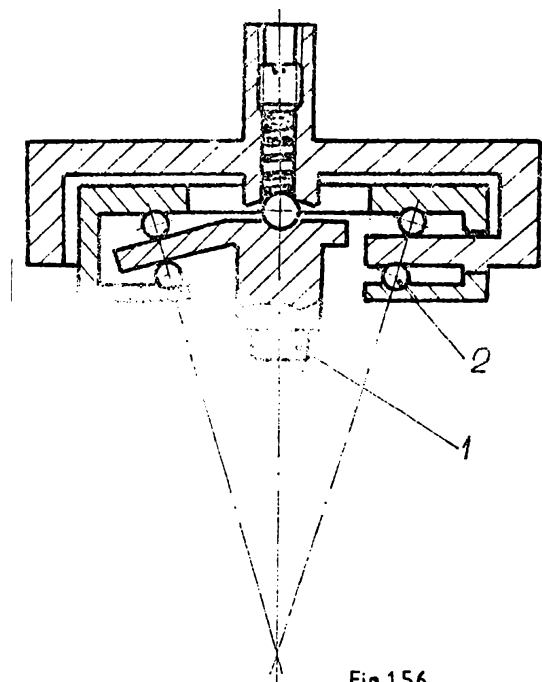


Fig.1.56

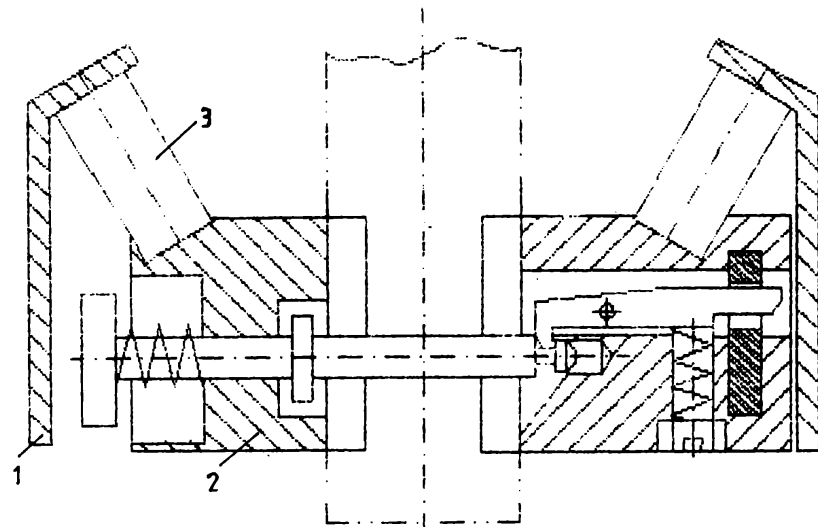
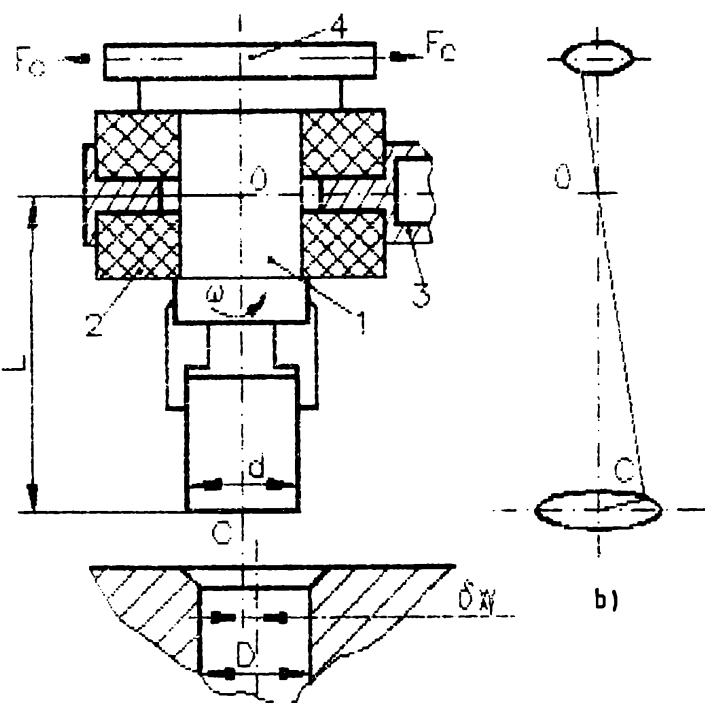


Fig. 1.57



a) Fig. 1.58

in 1988 /612/ (fig.1.54). In structura dispozitivului sunt inclusi senzori optici pentru sesizarea modului de compensare a erorilor de situare.

O varianta asemănătoare funcțional cu cea din fig.1.4/, având însă doar 3 grade de mobilitate, este publicată în 1987 /11/.

In anul 1987 se publică varianta unui dispozitiv de compliantă destinat corectiei mixte /RS/ (fig.1.55). Intre discul rigid și barele 2 sunt încastrate elementele elastice și prin acest mecanismul cu couple cinematice elastice ce permite compensarea erorilor de situare. Torsorul forțelor de contact, dezvoltat la nivelul pieselor de asamblat, se determină prin intermediul senzorului de forță-moment realizat prin dispunerea traductoarelor tenzorezistive 4 pe barele 2.

Tot in domeniul corectiei mixte se include și varianta propusa in /M4/. Controlul compensarii erorilor de situare se realizeaza pe cale electrono-optica.

O varianta asemănătoare cu cele propuse in /M8/, /G2/ se publică in anul 1989 in /H7/. Elementele care formează structura deformabilă au la baza cilindri hidraulici. Solutia prevede pe linia structură deformabilă și module de rotație și translație locală.

Pentru perioada 1989 se pot aminti și varianta dispozitivului de compliantă propusa in /P7/ și cea din /T3/ asemănătoare cu cea din fig.1.54.

O serie de solutii pentru dispozitivele de compliantă se bazează pe mecanisme clasice fără utilizarea unor mecanisme cu couple cinematice elastice. Pentru aceste dispozitive s-ar putea considera mai potrivita denumirea de dispozitive compensatoare /D2/. In fig.1.56 se prezinta o astfel de solutie. (1-flansa inferioara; 2-bila)

In anul 1990 este brevetata varianta unui dispozitiv de compliantă asemănător cu modelul RCC avind elementele elastice din cauciuc (fig.1.57)/V2/. Noutatea provine din prezența elementelor elastice 3 a acestui mecanism intre "degetul" 1 și bacul 2 al dispozitivului de prehensiune.

Perioada de după 1990 pînă în prezent este caracterizată de exploatarea unor dispozitive din cele expuse anterior concomitent cu studiul acestora și modelarea matematică a fenomenelor care apar în timpul exploatarii /K4/. Deasemenea se pot meniona

sparitia unor solutii in domeniul corectiei active sau a unor variante de dispozitive compensatoare.

In cadrul Universitatii Tehnice din Timisoara in anul 1981 s-au realizat modele experimentale ale unor dispozitive de complianta. Un astfel de model este prezentat in fig.1.58a /D2/. Intre cilindrul pneumatic 1 si flansa dispozitivului de ghidare 3 sunt intercalate elementele elastice de cauciuc 2. Sub actiunea fortelor de legatura dezvoltata la nivelul pieselor de montat, elementele elastice 2 se deformeaza permitind compensarea erorilor. Elementele elastice 2 se deformeaza si prin actiunea vibratorului pneumatic 4 care asigura o miscare circulara punctului inferior C de pe piesa de montat (fig.1.58b) realizindu-se astfel cautarea alezajului.

Subiectul unui dispozitiv de complianta compus din doua mecanisme, cu couple cinematice elastice, inseriate face obiectul unui dosar de inventie depus de autor la OSIM /D23/.

1.7. APLICATII ALE ROBOTILOR INDUSTRIALI IN MONTAJUL AUTOMAT

1.7.1 Aplicatii ale robotilor industriali de montaj in industria constructoare de masini.

Ansamblele cu caracter mecanic acopera o gama foarte larga de masini ,distingindu-se trei grupe mari /C1/. Prima grupa este formata de utilajele tehnologice specifice industriilor metalurgice,chimice,a materialelor de constructii. Aceste utilaje sint caracterizate de mase mari si forme diferentiate.

Montajul acestora se face in general manual.A doua grupa cuprinde echipamentele pentru utilajele de transport (autovehicole ,tractoare,masini agricole etc.).A treia grupa cuprinde ansamblele destinate unor varietati foarte largi de utilaje (organe de asamblare,transmisii,rulmenti,aparatura pneumatica etc.). Tendintele de automatizare si robotizare a montajului se concentreaza in special la aceste ultime doua grupe de produse .

Pornind de la aceste caracteristici se stabileste schema de montaj. Specialistii companiei ASEA iau in considerare patru modalitati de realizare a robotizarii montajului:celula (stacionar),grupare de celule (legate prin transfer asincron),linii de

montaj (transport sincron), automatizare rigida (transport neintrerupt) /S1/. Firma DEA-PRAGMA (Italia) ia in considerare patru posibilitati de implementare a robotilor sau: linia automata, linie semiautomata (cu operatori umani), celula, manual cu integrare de celule.

La stabilirea uneia sau a alteia dintre variante trebuie sa se tina seama de o serie de parametri: volumul productiei, numarul pieselor din ansamblu, gradul de complexitate a transportului pieselor, gradul de complexitate a imbinarii pieselor, dimensiunile, forma si masa pieselor.

Operatiile cele mai frecvente indeplinite de RI pe liniile de montaj pentru ansamblele mecanice ar fi :

- manipulari de piese (din alimentatoare, de pe palete, din alte posturi de lucru), orientarea lor in raport cu unele dispozitive de lucru

- asamblari prin suprapunere (rulment-arbore, capac-carcasa, bucsa-capac etc.)

- asamblari filetate (prehensarea suruburilor, introducerea lor in gauri filetate, insurubare cu controlul fortele si a momentului)

- aplicarea de adezivi

- manipularea de ansamble (sau subansamble functionale) spre echipamentele de verificare .

Exemple de utilizare a RI in montajul ansamblelor mecanice sunt date in anexa (ex.1,2,3).

1.7.2 Aplicatii ale RI de montaj in industria electronica.

Pentru industria electronica volumul de munca in montaj reprezinta 35 % din acesta pina la 70 % executindu-se manual/J3/ in microelectronica volumul operatiilor de asamblare atinge 50-60 % din volumul de munca .

Pieselete utilizeaza sint de forme diferite, dimensiuni si mase in general mici . Pieselete componente au in general borne de iesire flexibile (variabile ca numar), o parte din componente au corpul deformabil. Aceste caracteristici specifice conditioneaza operatiile de montaj robotizate de utilizarea unor scheme specifice pentru transport in flux cu pastrarea orientarii, de utilizarea unor DP si de lucru foarte sensibile .

Ansamblul produs este caracterizat de asemenea de forme

variate,mase reduse si un numar in general mare (sau foarte mare) de componente.Acest lucru impune o proiectare judicioasa a fluxului tehnologic,o fiabilitate ridicata pentru toate componentele celulei sau liniei .

In general operatiile de montaj a unor piese sint insotite de procese tehnologice adiacente (sudura ,lipire).

Perioada de creare a sistemelor flexibile pentru montaj in microelectronica se poate imparti in trei etape caracterizate de nivelul de utilizare a echipamentelor tehnologice (RI).In prima etapa se realizeaza module automatizate flexibile.In a doua etapa,pe baza primei etape,se realizeaza sisteme robotizate de doua tipuri :monooperatie si multioperatie.In a treia etapa modulele flexibile pot sluji drept baza pentru crearea de complexe flexibile automatizate (cu utilizarea de elemente de inteligenta artificiala)/M1/.

Exemplile de utilizare a RI pot fi divizate in cteva categorii:aplicarea componentelor la suprafata,asamblarea placilor cu circuite imprimante ,montajul aparaturii electronice de serie ,montajul cristalelor .

Consideratii pentru primele trei aplicatii se dau in /C1/ iar pentru montajul cristalelor in /J1/,/M1/.In anexa (exemplele 4,5) se prezinta cteva aplicatii reprezentative din industria electronica .

1.7.3 Aplicatii ale RI in industria electrotehnica.

In industria electrotehnica intre 50 % -75 % din pretul de cost al productiei este determinat de operatiile de montaj /L7/. La o rationalizare a productiei aceste operatii trebuie examineate in primul rand .

Aplicatiile din acest domeniu pot fi considerate la limita intre industria electrotehnica si cea constructoare de masini particularitatile fiind comune acestora doua .Produsele sunt constituite atit din componente de dimensiuni reduse (rezistente,condensatoare,contacte,peri etc.) cit si componente de dimensiuni mai mari (rotoare pentru micromotoare,rulmenti ,arcuri,etansari etc.).De asemenea geometria acestor componente este destul de variata.Sunt necesare astfel echipamente traditionale pentru alimentare si manipulare cit si echipamente speciale.Asamblarea unui miez feromagnetic (incalzit) pe un

arbore (la un motor electric) determina conditii speciale de temperatura cu implicatii in constructia DF si a senzorilor. Cerintele de control nu difera de asemenea de cele din domeniile anterioare .

Solutiile de realizare a sistemelor de montaj nu difera in principiu de cele prezentate anterior.Exista totusi particularizari in ceea ce priveste concentrarea si diviziunea operatiilor,in limitele de integrare a sistemului cu RI .

In anexa (exemplele 6,7) se prezinta aplicatii ale RI in montajul unor astfel de cazuri.

2. STADIUL ACTUAL AL CERCETARILOR CU PRIVIRE LA STUDIUL MECANISMELOR CU CUPLE CINEMATICE ELASTICE.

2.1. INTRODUCERE

Mecanismele cu cupluri cinematice elastice (MCCE) sunt întâlnite în diverse domenii de activitate, fiind cunoscute sub diverse denumiri funcție de domeniul de utilizare. Astfel se întâlnesc MCCE având denumirea de ghidaje și lagare cu elemente elastice de încovoiere (/D13, D14, H11/). Unii autori se referă la MCCE ca la mecanisme cu elemente flexibile (/S4, A7/) sau mecanisme cu legături elastice la încovoiere (/L1, B1/). În /K10/ aceste MCCE sunt întâlnite sub denumirea de mecanisme cu legături elastice.

Avantajele acestor mecanisme - lipsa jocurilor, nu necesită lubrifiant și nu prezintă uzura, caracteristicile mecanice rămân stabilite în timp - îe recomandă ca soluții pentru obținerea unor mișcări de precizie cu amplitudini reduse /K6/. Acest motiv le-a recomandat și ca varianta de realizare a dispozitivelor de compliantă.

2.2. STRUCTURA MECANISMELOR CU CUPLE CINEMATICE ELASTICE

2.2.1. Introducere

Structura acestor MCCE este asemănătoare mecanismelor clasice /K7, K6/. Astfel MCCE se compun din elemente elastice, elemente rigide (sau considerate rigide în comparație cu primele), cupluri cinematice elastice. Uneori aceste MCCE pot conține și cupluri cinematice de rotație și translație clasice.

2.2.2. Notiunea de element din componenta MCCE

În concordanță cu definiția generală a mecanismului, prin element se înțelege cea mai simplă parte componentă distincă a mecanismului și care fata de celelalte entități cu care vine în

contact are o miscare relativa bine determinata. Constructiv elementul poate fi realizat din una sau mai multe parti imbinate rigid intre ele /B6/,/K20/,/D14/,/M15/.

Din punct de vedere structural prin element se inteleaga un corp rigid sau elastic din componenta unui mecanism. Existenta a doua feluri de corpuri impune introducerea notiunii de element rigid si element elastic.

Referitor la dispozitivele de complianta,elementele rigide materializeaza flansa de fixare fata de efector sau fata de dispozitivul de ghidare.

Elementele elastice din punct de vedere constructiv se realizeaza intr-o diversitate larga.Se pot nominaliza,referitor la dispozitivele de complianta,elementele elastice metalice,fluidice,din elastomeri,"compozite".

Din punct de vedere grafic in /K2/ elementele,atit rigide cit si elastice,se reprezinta prin segmente de dreapta.

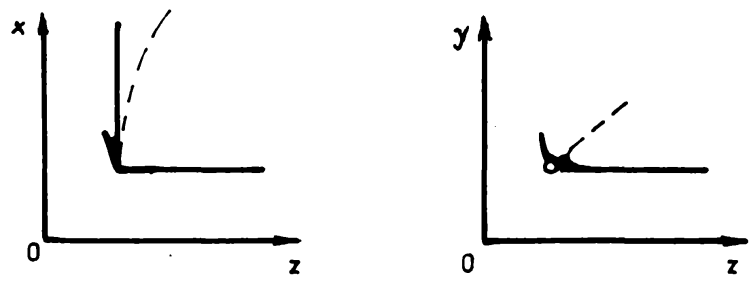
2.2.3. Geneza notiunii de cupla cinematica elastica

Ch.Laboulaye in manualul sau "Traite de cinematique ou theorie des mechanismes" (Paris,1849) preciza ca "problema transformarii miscarii conduce la formarea cupiei cinematice prin care un element actioneaza asupra altuia" /D14/.

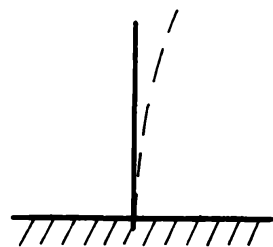
Fr.Reuleaux care a pus la baza teoriei mecanismelor notiunea de "cupla cinematica" a definit-o astfel:"cupla cinematica este contactul direct si mobil realizat de doua corpuri,numite elemente".In functie de elementele care participa la formarea cupiei,Reuleaux deosebea "cupla cinematica proprii"-in care ambele elemente sunt rigide - si "cupla cinematica improprii" in care un element este rigid iar celalalt nerigid /D14/.

In /K10/ se foloseste notiunea de "articulatie elastica" pentru legatura mobila dintre un element rigid si unul elastic.O notiune asemănătoare ("flexural joint") se întâlneste în lucrarea /S4/. În aceasi lucrare /K10/ se foloseste si notiunea de cupla cinematica cu legatura elastica pentru cazul in care elementul rigid participa la realizarea unei cuple cinematice clasice.

In /K6/ se defineste notiunea de "cupla cinematica elastica" ca fiind legatura constituita din doua elemente imbinate prin incastrare,astfel incit puncte apartinind acestora sa se poata deplasa relativ prin incovoierea intr-unul sau mai multe plane.



a



b

Fig.2.1

In /K6/ cuplile cinematice elastice se clasifica in cuple de clasa a V-a (CE 5)-permite miscarea relativă a elementelor intr-un singur plan-si cuple cinematice elastice de clasa a III-a (CE3 - permite miscarea relativă în două sau trei plane-utilizând astfel criteriul de clasificare a lui Dobrovolski (mobilitatile cuplei) din teoria mecanismelor clasice. In fig.2.1 se prezinta modul de simbolizare a cuprelor cinematice elastice in schemele cinematice /K6/.

2.2.4. Analiza structurala a mecanismelor cu cuple cinematice elastice

Elemente de analiza structurala pentru MCCE sunt prezentate in /K6/.

Possibilitatea de miscare relativă permisa de cupla cinematică elastică se numește grad de libertate elastic: $L_e = i$ pentru CES și $L_e = 3$ pentru CE3. Dacă nu se tine cont de aceasta posibilitate de miscare, legatura celor două elemente se poate considera ca fiind o cuplă cinematică de clasa a VI-a.

Gradul de mobilitate al MCCE se poate calcula cu una din relațiile:

a) mecanisme plane

$$M_e = 3*(n-1) - 2*(c_5 + c_{e5}) - c_4 - \sum L_p - \sum L_{id} \quad (2.1)$$

b) mecanisme spatiale

$$M_e = 6*(n-1) - \sum_{i=1}^5 c_i - 3*c_{e3} - 5*c_{e5} - \sum L_p - \sum L_{id} \quad (2.2)$$

unde: n-numărul elementelor

c_{e3} -numărul cuprelor cinematice elastice CE3

c_{e5} -numărul cuprelor cinematice elastice CES

c_i -numărul cuprelor cinematice de clasa i

Prinț-o analogie cu mecanismele clasice,in /K6/ se extin de-notiunea de conexiune si la MCCE.Astfel se arata ca cupla CES inclusa in mecanisme plane constituie o conexiune KA(-2) iar inclusa in mecanisme spatiale,o conexiune KA(-5).Cupla CE3, inclusa in mecanisme spatiale constituie o conexiune KA(-3).

Gradele de libertate ale conexiunii se calculeaza cu relatii asemanatoare cu cele din teoria mecanismelor clasice. Aceste relatii se prezinta in /K6/:

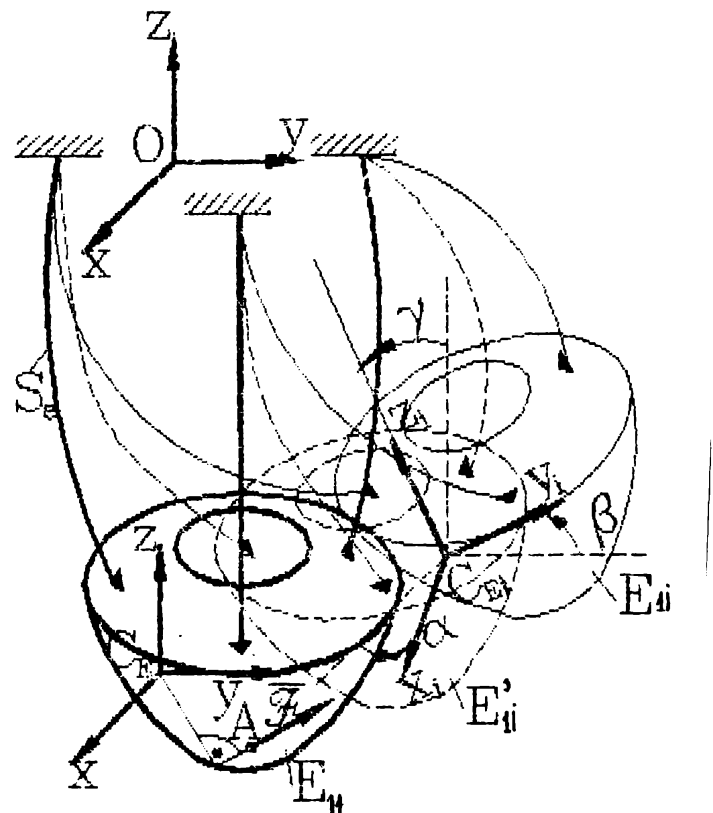


Fig. 2.2

a) mecanisme plane

$$L_{ke} = 3*n - 2*(c_5 + c_{e5}) - c_4 \quad (2.3)$$

b) mecanisme spatiale

$$L_{ke} = 6*n - \sum_{i=1}^5 i*c_i - 3*c_{e3} - 5*c_{e5} \quad (2.4)$$

2.3. METODE PENTRU ANALIZA CINETOSTATICA A MECANISMELOR CU CUPLE CINEMATICE ELASTICE

2.3.1. Introducere

Mecanismele cu couple cinematice elastice constituie sisteme nedeterminate din punct de vedere static. Din acest motiv la analiza acestor mecanisme, starea de miscare a elementelor si fortele care actioneaza asupra mecanismului nu se mai pot determina prin relatii simple geometrice fiind necesar a se tine cont si de deformatiile elastice ale elementelor.

Analiza cinetostatica a mecanismelor cu couple cinematice elastice este abordata in literatura de specialitate atit intr-un mod general-fara a tine cont de natura elementului elastic-cit si in mod particular, specific unei anumite categorii de elemente elastice. Acest lucru este explicabil datorita comportarii diferite a fiecarei categorii de elemente. Au rezultat din aceste motive o serie de metode de analiza a MCCE cu aplicabilitate mai mare sau mai mica.

2.3.2. Metoda centrului elastic

Fie rigidul (E_1) legat prin intermediul unui MCCE de rigidul (E_2). Se considera pozitiile discrete 1 si i ale rigidului (E_1) aflat sub actiunea fortei F . Miscarea finita a rigidului (E_1) din pozitia (E_{11}) in pozitia (E_{1i}) poate fi descompusa intr-o translatie ($E_{11}) \rightarrow (E'_{1i}$) definita de $f = \overline{C_E C'E}$ si o miscare ($E'_{1i}) \rightarrow (E_{1i}$) corespunzator unghiurilor α, β, γ . Punctul C_E care va fi originea axelor elastice ale sistemului MCCE (E_1) il vom numi centrul elastic (fig.2.2). Sub actiunea unei forte aplicate in acest punct-dupa directia unei axe elastice-rigidul (E_1) va executa o translatie in directia acelei axei elastice, iar la un cuplu

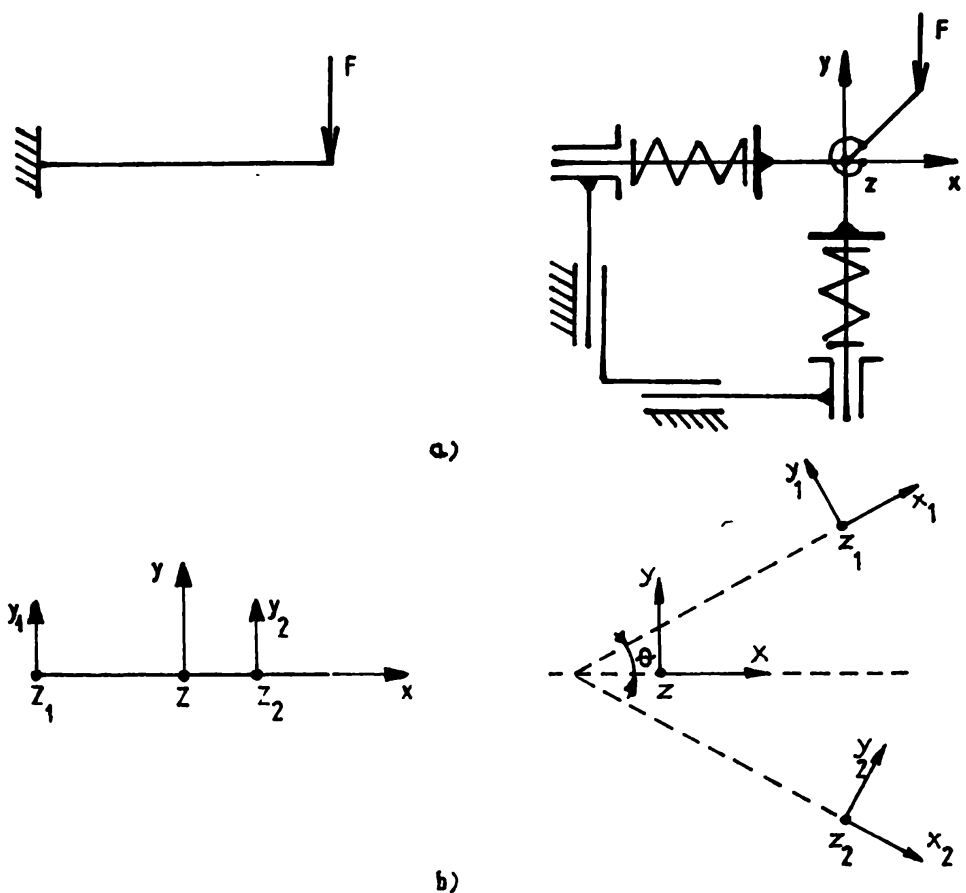


Fig.2.3

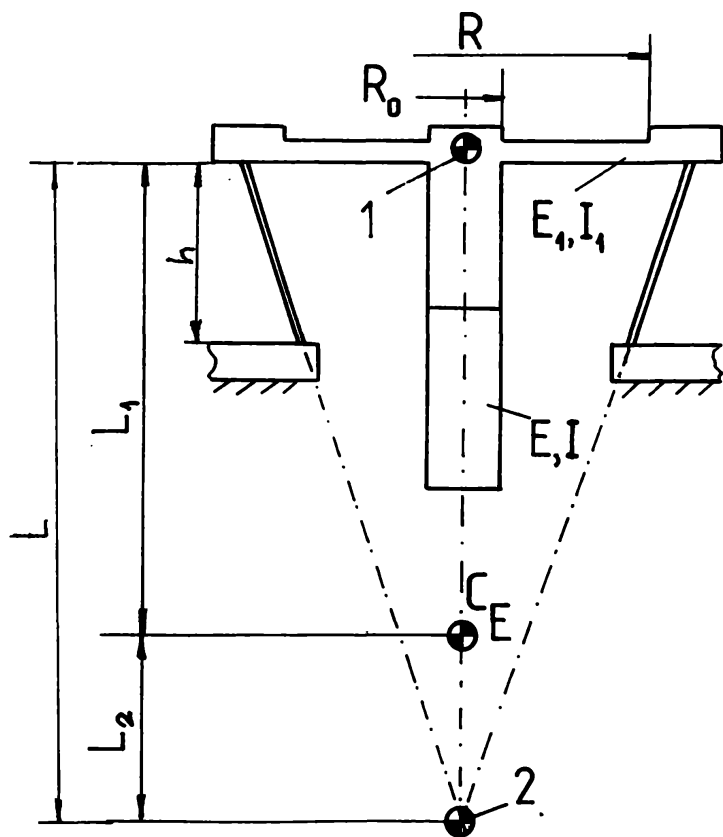


Fig.2.4.

aplicat rigidului (E_1) acesta va executa o rotatie in jurul uneia din axele elastice /H10/, /N2/, /D15/, /L1/, /K9/, /W9/.

Notiunea de centrul elastic a fost introdusa pentru prima oara in 1937 ca urmare a unui studiu destinat solutionarii modului de fixare a motorului de aviatie. Notiunea mai apare in domeniul mecanismelor cu couple cinematice elastice in lucrările lui W. Lotze/L1/. In domeniul dispozitivelor de complianta notiunea a fost folosita in special la modelele RCC /N2/, /W9/. Metoda are avantajul simplificarii modelului matematic (avind in vedere multimea parametrilor existenti la modelul real) prin inlocuirea MCCE cu un singur element elastic echivalent. Rezultatele experimentale obtinute pe modele RCC au demonstrat ca modelul matematic folosit (ecuatiile de proiectare originale) sunt corecte numai pentru anumite conditii date. Neglarea in considerare a elasticitatii unor elemente, conduce la diferente intre pozitia centrului elastic calculat si cel obtinut experimental /N2/.

In lucrările sale W. Lotze, admitind ca elemente elastice arcuri lamineare, prezinta relatiile de calcul pentru pozitia centrului elastic si a modului de echivalare a MCCE (fig. 2.3). Sunt abordate in acest sens echivalarile pentru elemente elastice legate in serie sau in paralel (fig. 2.3b). MCCE analizate sunt destinate in general ghidajelor de precizie /L1/, /L2/.

Primul MCCE cu elemente elastice conceput de Watson pentru un dispozitiv de complianta are centrul de complianta in punctul de intersectie a elementelor metalice dispuse dupa o suprafata conica /N2/. Facind o analiza a stadiului de dezvoltare a modelelor RCC in /N2/ se arata ca solutiile analitice sunt destul de complicate astfel incit se fac incercari experimentale care sa permita obtinerea unor ecuatii de proiectare mai practice.

Să poate mentiona in acelasi timp ca literatura foloseste uneori chiar denumiri diferite pentru acest punct C_E . Astfel in /K9/ punctul C_E este denumit centru de miscare ("combined center of motion") in timp ce in /N1/ este denumit centru de complianta ("actual center of compliance") (fig. 2.4). De asemenea este de remarcat faptul ca marimea geometrica L_1 si deci pozitia C_E este imposta de Nevins si colaboratori /N1/ impreuna cu rigiditatile K_x si K_θ .

Din considerente geometrice si de echilibru mecanic se determina relatiile:

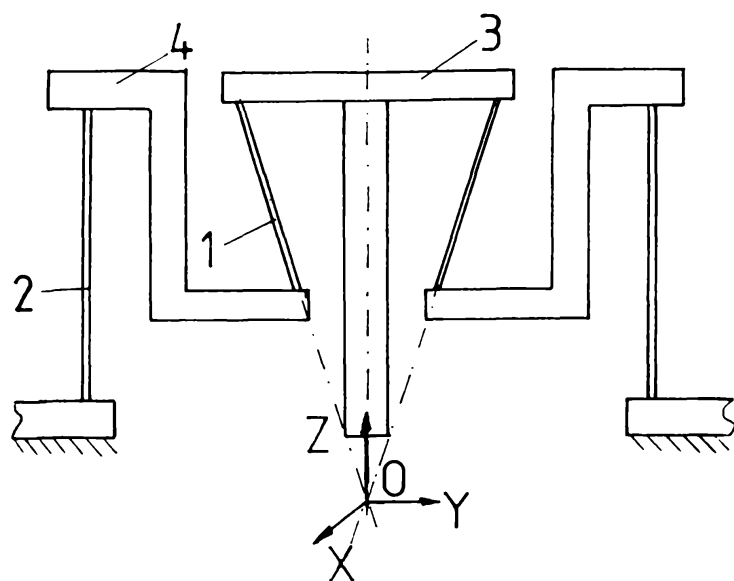


Fig. 2.5.

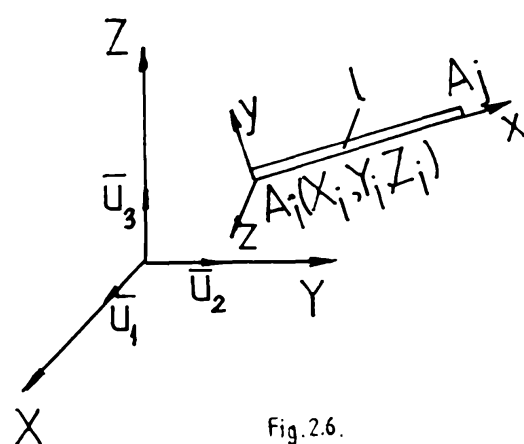


Fig. 2.6.

$$K_x = 1 / (1/K_{x1} + 1/K_{x2} + 1/K_{x3}) \quad (2.5)$$

$$\begin{aligned} K_\theta &= 1 / (1/K_{\theta1} + 1/K_{\theta2} + 1/K_{\theta3}) \\ K_{x1} &= K_{\theta1} / L_1^2 \end{aligned} \quad (2.6)$$

$$\begin{aligned} K_{\theta1} &= 8 * E_1 * I_1 * (1 + 3 * (R / (R - R_0)) * (1 + R / (R - R_0))) \\ K_{x2} &= 12 * n * E_2 * I_2 * (L / L_2)^2 / h^3 \end{aligned} \quad (2.7)$$

$$\begin{aligned} K_{\theta2} &= 12 * n * L_1^2 * E_2 * I_2 / h^3 \\ K_{x3} &= 36 * E * I / L_1^3 \\ K_{\theta3} &= (2/3) * K_{x3} * L_1^2 \\ K_\theta &= K_x * L_1 * L_2 \end{aligned} \quad (2.8) \quad (2.9)$$

Metoda deplasarilor relative este folosita in lucrările /P1/, /P2/, /P5/ pentru determinarea centrului de complianta al unui MCCE (model RCC) (fig.2.5). Potrivit acestei metode fortele si deplasarile de la capetele A_i si A_j ale unei bare neincarcate pe cuprinsul ei, fata de sistemul local de referinta A_ixyz , verifica relatia matriceala (fig.2.6):

$$\{f_i\} = [k] * \{\delta_{ij}\} \quad \text{si} \quad \{\delta_{ij}\} = [\delta_i] * \{\delta_j\} \quad (2.10)$$

unde: $\{f_i\}$ - vectorul coloana al componentelor torsorului fortelor din A

$\{\delta_i\}$ - vectorul coloana al deplasarilor (rotiri sau deplasari liniare) din A_i
 $\{\delta_j\}$ - vectorul coloana al deplasarilor din A_j reduse in A_i
 $[k]$ - matricea de rigiditate a barei A_iA_j in sistemul local de referinta

Exprimind componentele torsorului fortelor $\{F_i\}$ si deplasarile in sistemul OXYZ se poate scrie:

$$\{F_i\} = [K] * \{\Delta_{ij}\} \quad (2.11)$$

unde: $- [K] = [T] * [k] * [T]^{-1}$ (2.12)

$$- [T] = \begin{bmatrix} [R_{ij}] & [0] \\ [m_{ij}] & [R_{ij}] \end{bmatrix} \quad (2.13)$$

- m_{ij} sunt componente produsului vectorial $\overline{m}_i = \overline{OA}_i * \overline{u}_i$

Izolind corpul rigid 3 si 4, avind in vedere ca la capetele fiecarei tije actioneaza forte si insumind aceste forte se obtine pe baza relatiilor anterioare matricea de flexibilitate:

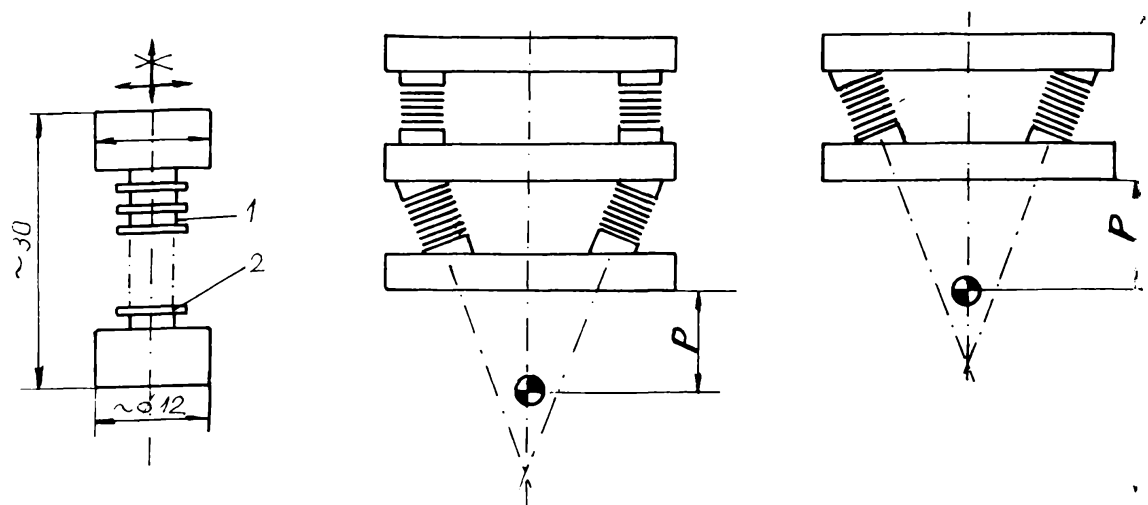


Fig. 27.

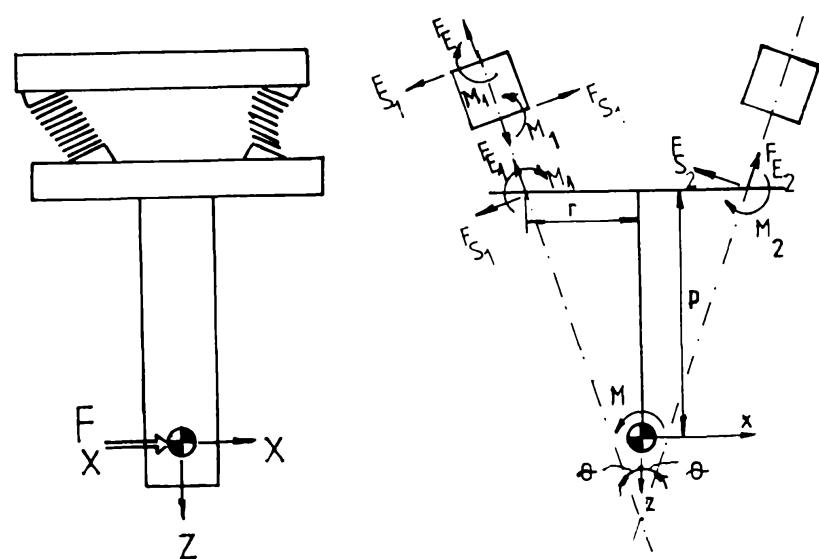


Fig. 28.

$$[H_{12}] = [T_1]^{-1} + [T_2]^{-1} \quad (2.14)$$

Pozitia centrului elastic (de complianta) se obtine din conditia ca matricea $[H_{12}]$ sa fie o matrice diagonala. In urma calculelor se concluzioneaza de catre autori ca pentru mecanismul MCCE format din elementele 2, C_E se gaseste pe axa Oz la mijlocul elementelor iar pentru MCCE format din elementele 1, C_E se gaseste aproximativ la intersectia tijelor (in punctul O) desi acest lucru nu rezulta din calcule. Pentru mecanismul compus, autori apreciaza in urma calculelor ca C_E se poate considera in punctul O. Pe linda pozitia centrului elastic autorii determina si caracteristicile elementului echivalent pentru MCCE.

O aceasi metoda matriceala a deplasarilor relative a fost folosita anterior si in lucrarea /H17/ si apoi in lucrarea /L5/ pentru elemente elastice de sectiune dreptunghiulara.

Un element elastic de structura compozita (elastomer shear pad) si utilizarea sa intr-un MCCE este aratata in fig.2.7 /W9/.

Elementul elastic prezinta elasticitate intr-un plan perpendicular pe axa longitudinala, in directie longitudinala considerindu-se rigid. Pornind de la modelul plan al MCCE (se utilizeaza doar doua elemente) (fig.2.8) se determina, pe baza relatiilor de echilibru mecanic si a relatiilor geometrice aferente modelului, pozitia centrului elastic si rigiditatile K_x , K_α :

$$P = \frac{2 * K_{ss} * \cos \theta + r * \sin \theta * \cos \theta * (K_E - K_{ss})}{K_x} \quad (2.15)$$

$$K_x = 2 * (K_{ss} * \cos^2 \theta - K_E * \sin^2 \theta)$$

$$K_\alpha = 2 * K_{ss} + 2 * r * (K_E * r * \cos^2 \theta + K_{ss} * r * \sin^2 \theta - 2 * K_{ss} * \sin \theta) - P^2 * K_x$$

unde: $-K_E$ - rigiditatea axiala a elementului

K_{ss} - rigiditatea la forfecare a elementului

$K_{\alpha s}$ - rigiditatea la incovoiere cu forfecare a elementului

Generalizind pentru modelul cu 3 elemente se determina :

$$K_x = \frac{3/2 * [K_{ss} * (1 + \cos^2 \theta) + K_E * \sin^2 \theta]}{K_x} \\ P = \frac{3/2 * \frac{K_{\alpha s} * (1 + \cos^2 \theta) * \cos \theta + r * \sin \theta * \cos \theta * (K_E - K_{ss})}{K_x}}{(2.16)}$$

$$K_\alpha = K_{\alpha \alpha} * (1 + 2 * \cos^2 \theta) + 3/2 * r * (K_E * r * \cos^2 \theta + K_{ss} * r * \sin^2 \theta - 2 * K_{ss} * \sin \theta) - P^2 * K_x$$

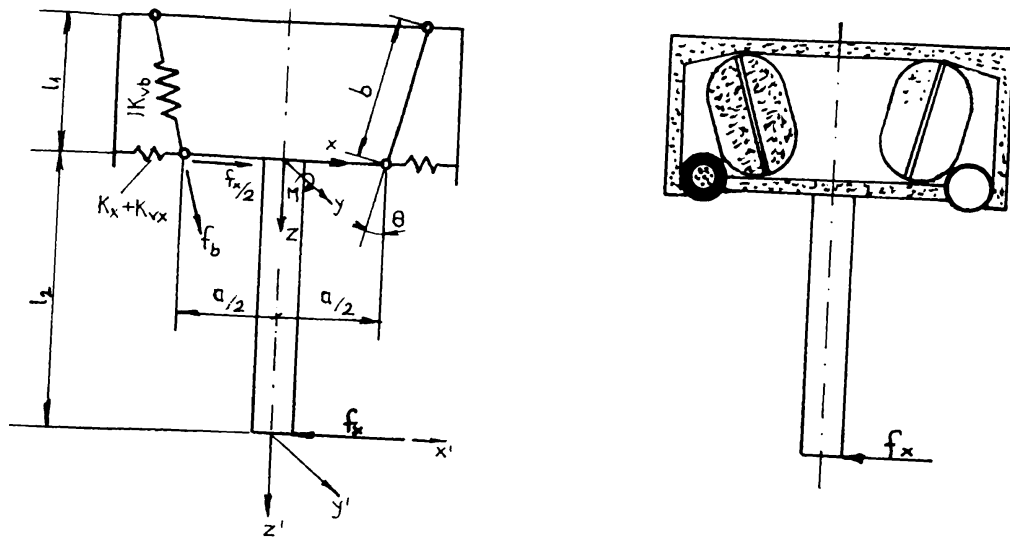


Fig. 2.9.

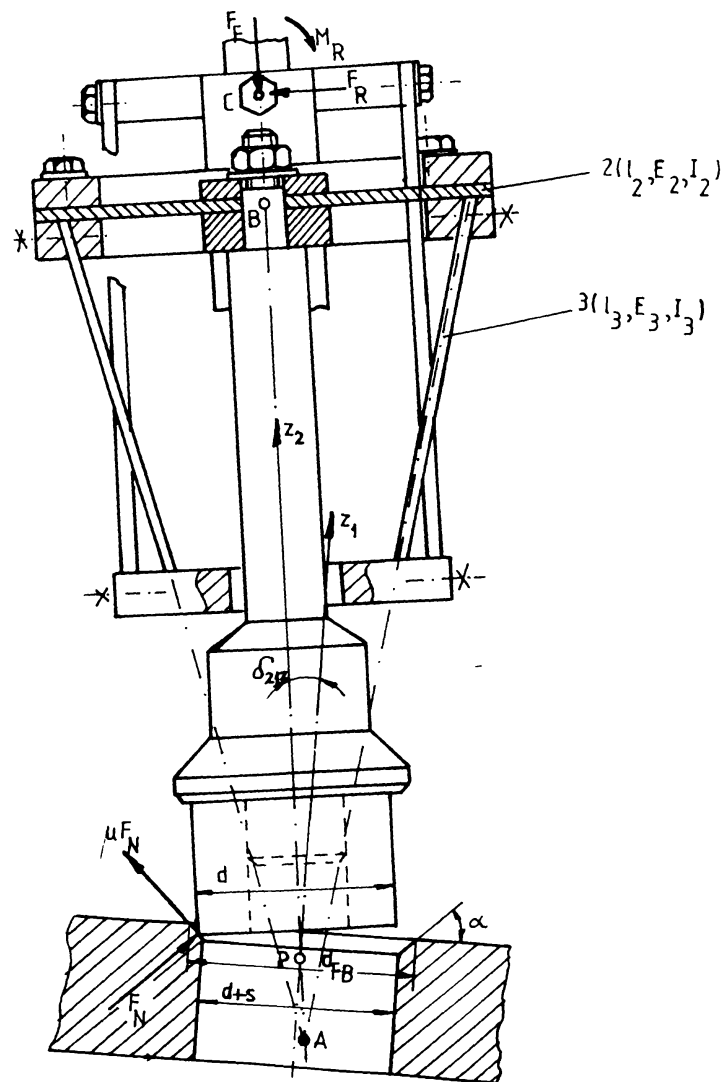


Fig. 2.10

Experimentele realizate asupra elementelor elastice compozite au scos in evidenta cteva aspecte:

- pentru elemente elastice identice (geometric) caracteristicile de rigiditate pot fi diferite pina la de doua ori.
- elementele prezinta o histereză pronuntata si instabilitate, aceste efecte fiind o sursa de eroare
- defecte de material (ale elastomerului) determina o dispersie a rigiditatii elementului.

In aceste conditii sunt analizate in continuare doua posibilitati de studiu a MCCE in conditiile neliniaritatii elementului elastic. Prima metoda are la baza rezultatele experimentale obtinute in urma incercarilor efectuate asupra elementelor. Astfel rigiditatea axiala se poate modela printr-o functie de gradul 2 in raport cu deformaatia axiala a elementului. A doua metoda care ia in considerare neliniaritatea MCCE se bazeaza pe realizarea matricii generalizate in raport cu centrul de rotatie (punctul C_R).

In fig.2.9 se prezinta o varianta de MCCE utilizat la realizarea unui dispozitiv de complianta, elementele elastice fiind deformabile si continind lichid sub presiune controlabila /C12/. Acest model a fost realizat pornind de la unele preocupari ale lui McCallion la "Carnegie Mellon-University" privind necesitatea modificarii pozitiei centrului elastic.

Pe baza echilibrului fortelelor care intervin si a relatiilor geometrice privind deformatiile, se determina pozitia centrului de complianta:

$$l_2 = \frac{\frac{3}{2} * a * k_{vb} * \operatorname{tg} \theta}{k_r + k_{vb} * \operatorname{tg}^2 \theta} \quad (2.17)$$

unde k_{vb} si k_r sunt rigiditatile axiale a elementului elastic 1 respectiv 2.

Comportarea MCCE este raportata in continuare la un sistem de axe cu originea in centrul de complianta.

2.3.3. Metoda sistemelor static nedeterminate

La Scoala Tehnica Superioara din Karl-Marx Stadt s-a abordat studiul unor MCCE pe baza de elemente elastice din otel utilizind principiile din teoria elasticitatii /V4/, /J1/. Metoda

este amintita si in lucrările lui W.Lotze /L1/, /L2/.

Mecanismul cu cuplă cinematică elastice (fig. 2.10) abordat în studiu s-a utilizat pentru materializarea unui dispozitiv de compliantă asemănător variantei RCC.

Miscarea de compensare a erorilor de situare, fiind realizată de cimpul de forțe ce apare la contactul pieselor de asamblat, este strins legată și de forța de asamblare. Pentru cazul general forța de asamblare necesară este de forma:

$$F_F = f(\alpha, \mu, d_{21z}, \delta_{21z}, E_2, E_3, I_2, I_3, l_2, l_3) \quad (2.18)$$

unde: α - unghiul de tensiune

μ - coeficient de frecare

d_{21z}, δ_{21z} - erori de poziționare

E_2, E_3 - modulele de elasticitate ale elementelor elastice

I_2, I_3 - momentele de inertie a secțiunii elementelor

l_2, l_3 - lungimile elementelor

Se presupune că asamblarea se realizează cu viteze mici printr-o succesiune de pozitii de echilibru. După scrierea ecuațiilor de echilibru static, se poate determina gradul de nedeterminare a sistemului elastic. Necunoscutele se pot calcula prin intermediul energiei de deformare aplicând teorema lui Castigliano:

$$\frac{\partial W}{\partial x_n} = \left(\frac{N_i}{E_i * A_i} * \frac{\partial N_i}{\partial x_n} + \frac{M_{bi}}{E_i * I_i} * \frac{\partial M_{bi}}{\partial x_n} + \frac{M_{ti}}{G_i * I_{pi}} * \frac{\partial M_{ti}}{\partial x_n} \right) dx_i = 0 \quad (2.19)$$

unde: n - numărul elementelor elastice

N_i - forța axială din elementul "i"

M_{bi}, M_{ti} - momentul de încovoiere respectiv de torsion ce solicită elementul "i"

E_i, G_i - modulul de elasticitate longitudinal și transversal

I_i - momentul de inertie al secțiunii transversale

I_{pi} - momentul de inertie polar al secțiunii transversale

A_i - suprafața secțiunii transversale

x_n - forță statică nedefinită

Influenta forțelor transversale din elementele elastice este neglijabilă.

Deformările γ_k și φ_k ale elementelor elastice sunt:

$$\gamma_k = \frac{\partial W}{\partial F_k} \quad \text{și} \quad \varphi_k = \frac{\partial W}{\partial M_k} \quad (2.20)$$

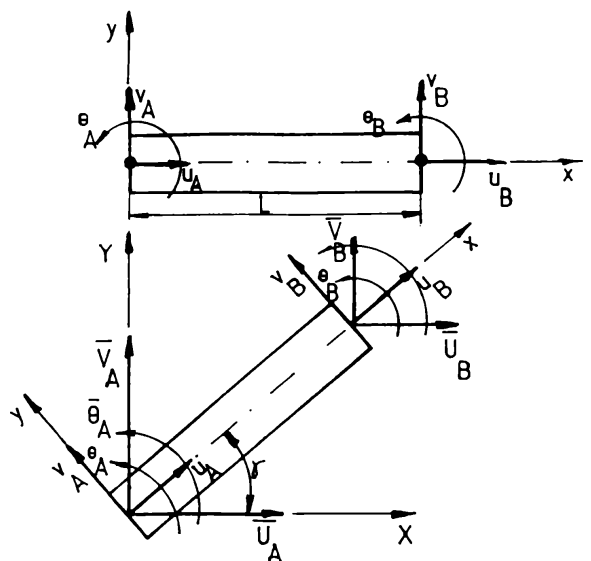


Fig. 2.11

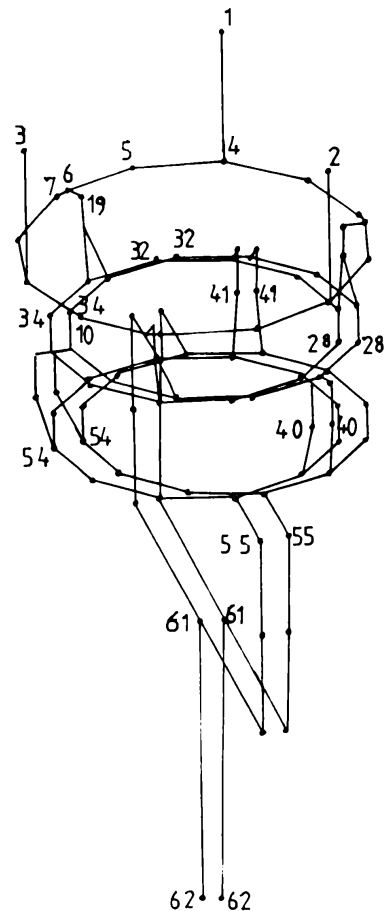


Fig. 2.12

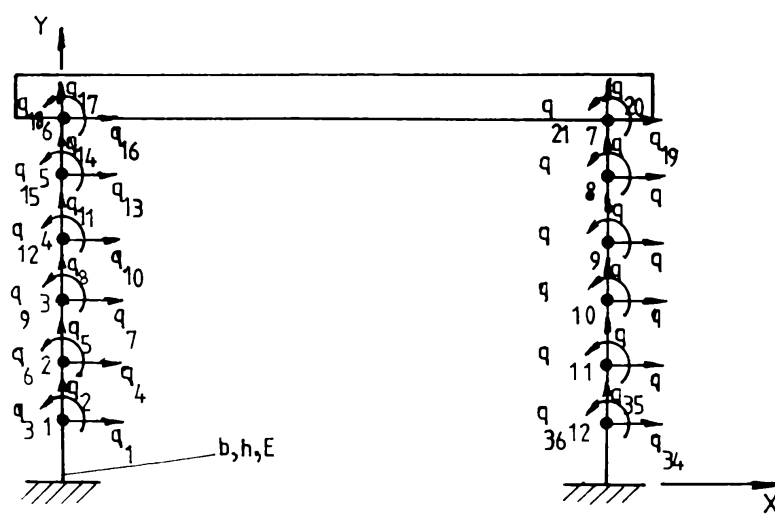


Fig. 2.13

2.3.4. Metoda elementelor finite

Utilizarea metodei elementelor finite la analiza MCCE bazate pe elementele elastice metalice prezinta in esenta avantajele de la calculul structurilor.

Structura reala a mecanismului este inlocuita printr-o schema care reprezinta modelul de calcul al MCCE. Aceasta schema este discretizata intr-o serie de elemente finite functie de variația secțiunii elementelor, de tipul și poziția forțelor. Elementul finit tip bara în sistemul local de coordonate și în sistemul global este prezentat în fig.2.11 (modelul plan).

Deplasările nodale (δ) și forțele nodale (F) sunt legate prin relația /S4/:

$$\{F\} = [K] * \{\delta\} \quad (2.21)$$

unde: $\{F\} = (F_{yA} \ M_A \ F_{yB} \ M_B \ F_{xA} \ F_{xB})^T$

$$\{\delta\} = (\nu_A \ \theta_A \ \nu_B \ \theta_B \ u_A \ u_B)^T \quad (2.22)$$

$-[K] = [k_E] + [k_G]$ este matricea de rigiditate totală a elementului, ca suma a matricii de rigiditate elastică K_E și a matricii de rigiditate geometrică K_G .

Relația matricială între deplasările elementului exprimate în sistemul local $\{\delta\}$ și deplasările în sistemul global este:

$$[\delta] = [R] * [\bar{\delta}] \quad (2.23)$$

unde $[R]$ este matricea de rotație.

Deplasările nodale pot fi exprimate în funcție de deplasările nodale ale structurii discretizate prin relația:

$$[\bar{\delta}_i] = [\beta_i] * [\varphi] \quad (2.24)$$

unde $[\beta_i]$ este matricea de expansiune.

Matricea de rigiditate a structurii $[K]$ va fi :

$$[K] = \sum_i [\beta_i]^T [R]^T [k_i] [R] [\beta_i] \quad (2.25)$$

Ilustrativ în fig.2.12 este prezentată discretizarea unui MCCE pentru un dispozitiv de compliantă (simulare la acțiunea unei forțe laterale) /W3/ iar în fig.2.13 modul de discretizare al modelului plan al unui MCCE /S4/.

Matricea $[k_i]$ se calculează pentru toate elementele finite în care a fost discretizată structura.

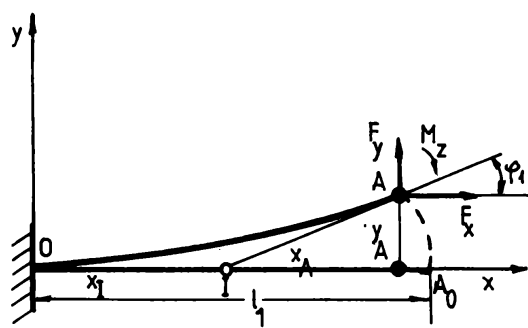


Fig.2.14

Prin asamblarea matricilor de rigiditate ale elementelor finite se obtine matricea de rigiditate a intregii structuri (relatia 2.25).

Cu matricea de rigiditate a structurii se formeaza sisteme de ecuatii de forma (2.21) din care se determina deplasarile si fortele nodale.

Metoda are dezavantajul volumului mare de calcul si a utilizarii unui echipament de calcul de capacitate ridicata.

2.3.5. Metoda analizei cinemato-cinetostaticice

Particularitatile calculelor la aceasta categorie de mecanisme constau in faptul ca pozitiile elementelor depind de fortele care actioneaza asupra elementelor iar aceste forte depind la rindul lor de pozitiile elementelor. La metoda anterioara de acest aspect s-a tinut cont prin matricea de rigiditate geometrica. Metoda analizei cinemato-cinetostaticice presupune rezolvarea problemei printr-un proces de calcul iterativ /K7,K8/.

In fig.2.14 se prezinta o "manivela elastica" avind lungimea l (modelui plan). Se determina pentru punctul extrem A relatii de legatura intre fortele ce actioneaza in acest punct si coordonatele punctului:

$$F_y = F$$

$$F_x = F \cdot n_0 = 0$$

$$M_z = F \cdot l_0 \cdot (m_0 + m_1 \cdot \varphi_1) \quad (2.26)$$

$$x_A = l_1 \cdot (1 - A_1 \cdot \varphi_1^2)$$

$$y_A = l_1 \cdot (A_2 \cdot \varphi_1 + A_3 \cdot \varphi_1^2)$$

unde coeficientii m_0, m_1 si n_0 se stabilesc pe baza sistemului de forte si momente care actioneaza la extremitatea manivelei elastice iar coeficientii A_1, A_2 si A_3 sint functie de coeficientul m_0 . Relatii asemănătoare se pot scrie si pentru al doilea element elastic (la modelul plan) fixat in punctul B de biela rigida si incă pentru un punct C (in cazul modelului spatial). In același timp, intre coordonatele punctelor A,B si C există relații de legatura. De ex:

$$[(x_A - x_B)^2 + (y_A - y_B)^2]^{1/2} = l_{AB} \quad (2.27)$$

Punctele A,B si C confundindu-se cu puncte de pe biela a caror

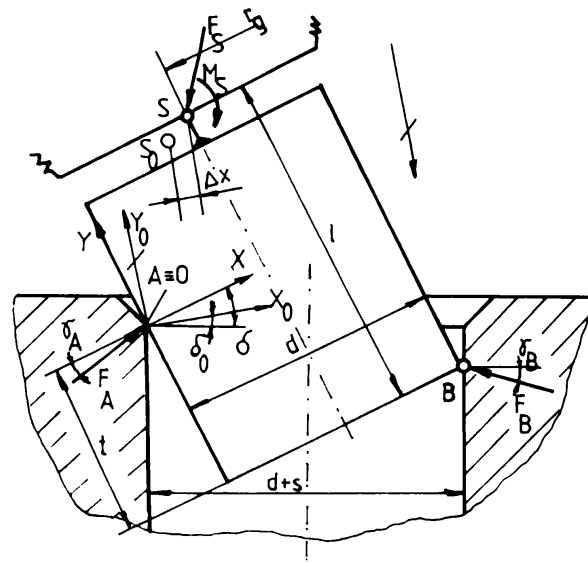


Fig. 2.15

pozitie este data de relatiile modelului geometric.

Pe baza relatiilor prezentate (2.26), (2.27) si a relatiilor din modelul geometric se poate determina torsorul fortelelor ce actioneaza in fiecare punct A,B sau C.Torsorul astfel determinat permite dimensionarea elementelor elastice conform relatiilor cunoscute din teoria rezistentei materialelor.

2.3.6. Modelul cinematico-static pentru MCCE cu elemente din elastomeri

In fig.2.15 se prezinta modelul plan al unui MCCE, cu elemente elastice din elastomeri, care sta la baza realizarii unui dispozitiv de complianta. Studiul este abordat prin considerarea efectuarii unei operatii de asamblare de tipul stift-alezaj. Reactiunile F_A si F_B in punctele de contact sunt reduse in punctul simetric S, aparținind unui element rigid, unde pot fi scrise relatiile:

$$\begin{aligned} F_{Ax} + F_{Bx} + F_{Sx} &= 0 \\ F_{Ay} + F_{By} + F_{Sy} &= 0 \\ x_S * F_{Sy} - y_S * F_{Sx} + x_B * F_{By} - y_B * F_{Bx} + M_S &= 0 \end{aligned} \quad (2.28)$$

Mecanismul real este inlocuit in punctul S cu un element elastic avind rigiditatile $c_x, c_{x\delta}, c_\delta$. Se pot scrie relatiile:

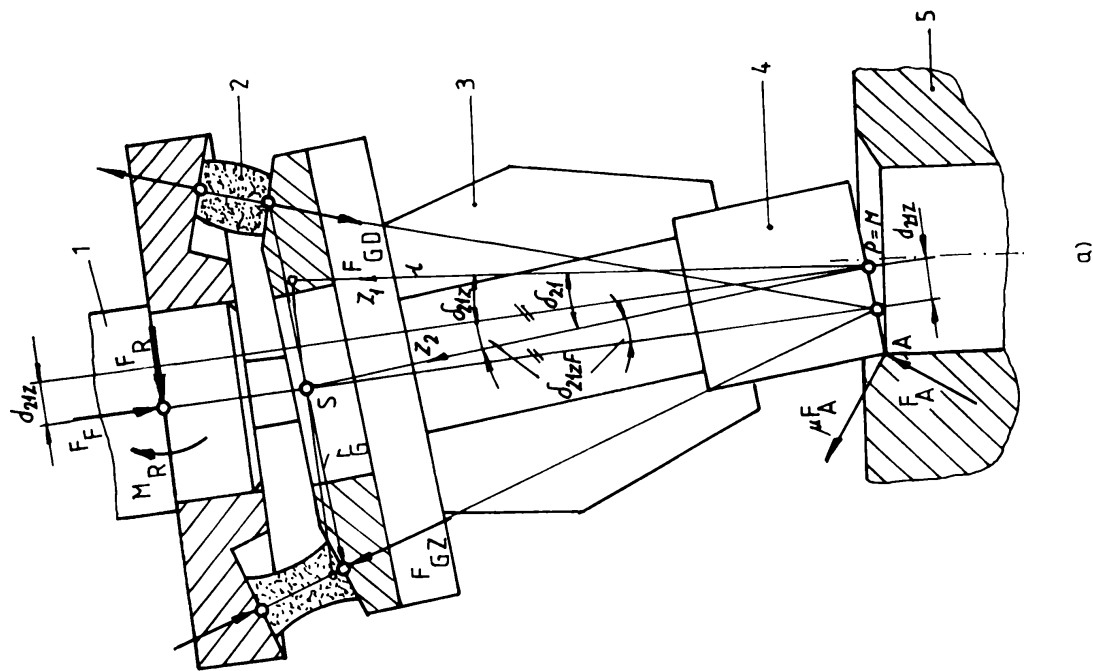
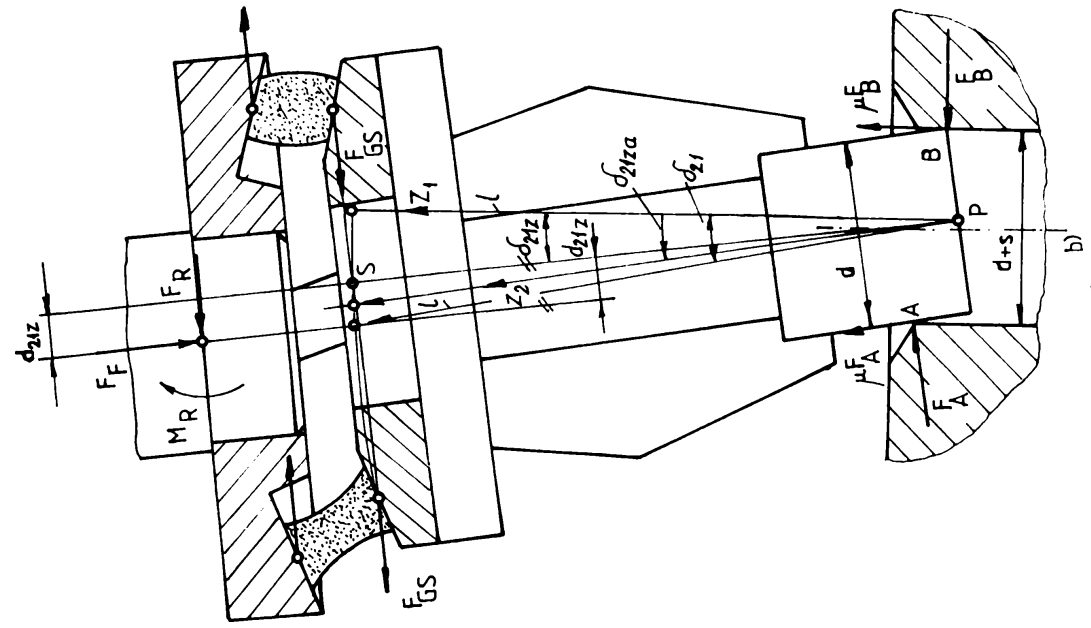
$$\begin{aligned} F_{Sx0} &= c_x * \Delta x + c_{x\delta} * \Delta \delta \\ M_S &= c_{x\delta} * \Delta x + c_\delta * \Delta \delta \\ \text{unde: } c_x &= k * (c_d * \sin^2 \beta + c_s * \cos^2 \beta) \\ c_\delta &= k * r_g * (c_d * \cos^2 \beta + c_s * \sin^2 \beta) \\ c_{x\delta} &= k * r_g * (c_d - c_s) * \sin \beta * \cos \beta \end{aligned} \quad (2.29)$$

Iar c_d, c_s sunt rigiditatile elementului elastic (la compresiune si forfecare) si k numarul elementelor /H12,H13/ (in /H13/ in ultimele doua relatii (2.30) apare $k/2$).

Intre componentelete fortei F in sistemul de axe O_xO_yO_z si (O_x) exista relatiile:

$$\begin{aligned} F_{Sx} &= F_{Sx0} * \cos \Delta \delta + F_{Sy0} * \sin \Delta \delta \\ F_{Sy} &= -F_{Sx0} * \sin \Delta \delta + F_{Sy0} * \cos \Delta \delta \end{aligned} \quad (2.31)$$

Componenta F_g reprezinta forta necesara pentru montaj si



se poate determina pe baza relatiilor anterioare. Se fac aproximari geometrice ($\sin \Delta\delta \approx \Delta\delta$, $\cos \Delta\delta \approx 1$, etc s.a.m.d.) determinindu-se forta de asamblare si concluzionindu-se ca relatiile anterioare ar putea permite o modelare /H13/.

2.3.7. Metoda aproximativ-functional pentru MCCE cu elemente din elastomeri /J1/.

In fig.2.16 a,b se prezinta un MCCE in situatia de contact intr-un punct (pe sanfren) si respectiv doua puncte in cadrul unei operatii de asamblare.

Forța de asamblare F necesara este data în special de deformarea elementelor din elastomeri în scopul compensării erorilor de situare d_{21z} și δ_{21z} /J1/.

Prin rotatia în jurul punctului S (fig.2.16a) rezulta unghiul :

$$\delta_{21z} = 2 * \arcsin(d_{21z}/2l) \quad (2.32)$$

Cele 2 elemente de cauciuc 1 și 2 sunt solicitate în aceasta miscare de urmatoarele forțe maxime :

$$F_{Gz} = 2 * c_z * r_G * \sin \delta_{21zF} / 2$$

$$F_{GD} = 2 * c_D * r_G * \sin \delta_{21zF} / 2 \quad (2.33)$$

Prin rotatia piesei de montaj în jurul punctului P se descrie unghiul:

$$\delta_{21} = \delta_{21zF} + \delta_{21z} \quad (2.34)$$

Pornind de la premisa ca principala solicitare a elementelor elastice din elastomeri este forfecarea, se determina forța care solicita fiecare element functie de deformarea acestuia (legata de unghiul instantaneu δ_{21za}):

$$F_{GS} \approx 2 * c_s * l * \sin(\delta_{21} - \delta_{21za}) / 2 \quad (2.35)$$

Relatiile anterioare permit o sinteza aproximativa a unui astfel de mecanism.

2.3.8. Metoda aproximativa a deformatiilor mici /K6/.

Daca asupra elementului elastic al unei cuple cinematice

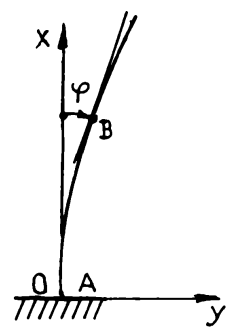


Fig.2.17

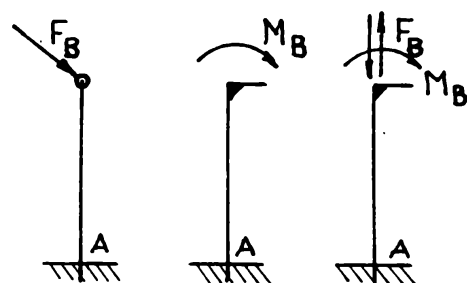


Fig.2.18.

se aplica forte/momente exterioare, ecuatia diferențiala a axei deformate a elementului are expresia cunoscuta:

$$1/\rho_1(x) = \frac{y''}{(1+y'^2)^{3/2}} = \frac{M(x)}{E*I(x)} \quad (2.36)$$

in care: ρ_1 este raza de curbura in sectiunea x , $y' = dy/dx$, $y'' = d^2y/dx^2$, E este modulul de elasticitate al materialului elementului iar $I(x)$ momentul de inertie a sectiunii transversale a acestuia.

Integrarea ecuatiei diferențiale a liniei medii deformate se poate face prin metode numerice aproximative.

Se considera o manivela 1 legata de elementul fix 0 printr-o cupla cinematica elastica. Sub actiunea unei forte/moment aplicate in punctul B manivela se va deforma (fig.2.17). Admitind deformatii mici ale manivelei se face aproximarea curenta din teoria elasticitatii:

$$1/\rho_1(x) = \frac{d^2y}{dx^2} = \frac{M(x)}{E*I(x)} \quad (2.37)$$

Eroarea de calcul ce apare este functie de rotirea in punctul de aplicatie al fortelei/momentului si are valori de 1 % pentru 0,15 rad., de 5 % pentru 0,42 rad., si de 10 % pentru 0,6 rad./K6/.

Pornind de la aceste considerente in /K6/ se determina pe baza relatiei (2.37) expresiile analitice ce descriu deformatia manivelei 1 la diferite sarcini (fig.2.18).

Relatiile stabilite pentru manivela se pot aplica si conexiunilor K_B si K_C /K6/.

2.4. ANALIZA DINAMICA A MECANISMELOR CU CUPLE CINEMATICE ELASTICE

2.4.1. Introducere

Analiza dinamica a mecanismelor cu couple cinematice elastice a fost abordata in cazul general ca si analiza dinamica a unui rigid cu legaturi elastice sau viscoelastice /H10/, /K10/.

In cazuri concrete de aplicatii ale mecanismelor cu couple cinematice elastice analiza dinamica a fost abordata pentru unele

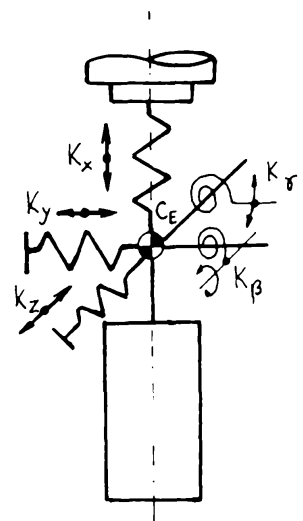


Fig.2.19

mecanisme ce stau la baza dispozitivelor de complianta destinate robotilor industriali pentru montaj. In aceste cazuri se punea problema analizei dinamice a "bielei" rigide - materializata prin efector si piesa-din componenta mecanismului cu couple cinematice elastice intr-o operatie de montaj robotizata. Metodele de analiza au ca punct de pornire fie echivalarea MCE printr-un singur element elastic, cu caracteristicile aferente, dispus in centrul elastic fie luarea in considerare a intregului mecanism.

2.4.2. Metoda de analiza dinamica bazata pe notiunea de centrul elastic

Schema echivalenta a mecanismului cu couple cinematice elastice este prezentata in fig.2.19 /N2/.

Presupunind ca elementul rigid 1-efector si piesa- trebuie sa execute o miscare de translatie dupa axa Oz, miscarea acestuia in raport cu centrul elastic este descrisa de ecuatiile:

$$\begin{aligned}\sum F_{ix} &= m \ddot{x} \\ \sum F_{iy} &= m \ddot{y} \\ \sum M_{CE} &= J_{CE} \ddot{\theta}\end{aligned}\quad (2.38)$$

unde:
- F_{ix}, F_{iy} - componente ale fortelelor ce actioneaza asupra elementului rigid 1

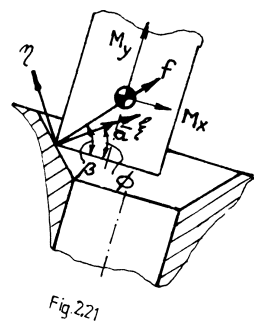
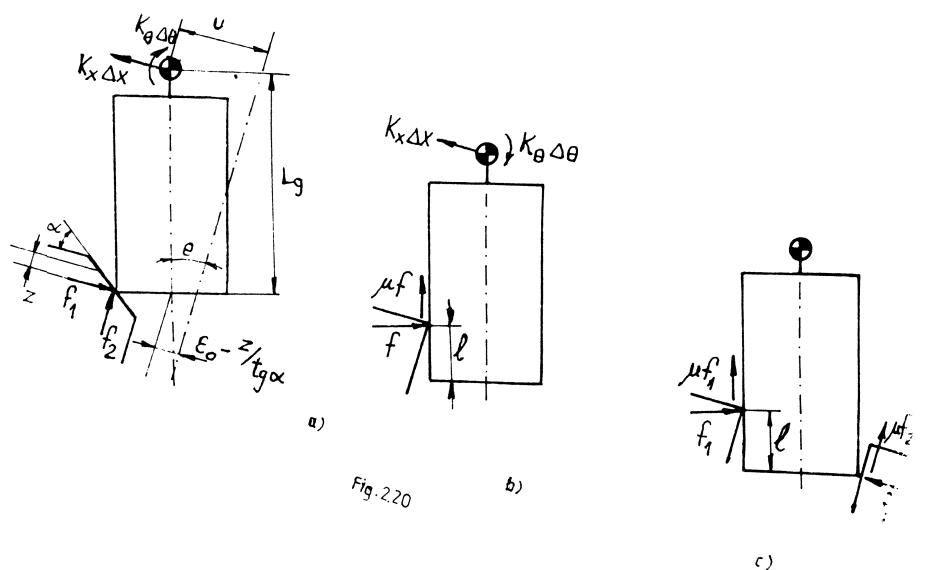
- M_{CE} - momentele (in raport cu axa Oz) a fortelelor ce actioneaza asupra elementului 1

- m - masa elementului 1

Acestor ecuatii li se adauga relatiile geometrice de legatura care descriu pozitia elementului 1, in timp. Relatii geometrice, mai mult sau mai putin riguroase, pentru aplicatia specifica de asamblare stift-alezaj sint descrise in /M9/, /B5/ tragindu-se concluzia ca se pot aplica si la montajul robotizat. O prezentare generala a ecuatiilor de baza este realizata si in lucrarea /F7/.

In lucrarea /W10/ analiza dinamica este abordata considerandu-se miscarea ca o succesiune de pozitii de echilibru foarte apropiate. In aceste conditii $\ddot{x} = \ddot{y} = \ddot{\theta} = 0$ iar ecuatiile (2.38) devin:

$$\begin{aligned}\sum F_{ix} &= 0 \\ \sum F_{iy} &= 0 \\ \sum M_{CE} &= 0\end{aligned}\quad (2.39)$$



Acceptind doar trei pozitii relative stift-alezaj (fig.2.20a) autorii determina prin aproximatie o serie de relatii geometrice de legatura.

De exemplu pentru contactul pe sanfren este dedusa relatia geometrica:

$$u = L_g * \theta - z / \operatorname{tg} \alpha \quad (2.40)$$

Din rezolvarea sistemului de ecuatii (2.39) se deduc relatiile:

$$\theta = \theta_0 + \frac{K_x * z * (L_g * B - r * A) / \operatorname{tg} \alpha}{(K_x * L_g^2 + K_\theta^2) * B - K_x * L_g * r * A} \quad (2.41)$$

$$u = u_0 - \frac{K_\theta * z * B / \operatorname{tg} \alpha}{(K_x * L_g^2 + K_\theta^2) * B - K_x * L_g * r * A} \quad (2.42)$$

Relatii asemănătoare se determină și pentru următoarele două pozitii de contact (fig.2.20b,c).

O analiză asemănătoare este întâlnita anterior și în lucrarea /T6/.

Analiza perturbatiilor din cadrul miscarii elementului 1 (saluri, blocaje) și influența vitezei de translație după axa Oz asupra acestui comportament este abordată în /A8/. Se conchide că abordarea dinamicii pe principiul cvasistatic la viteză mari poate conduce la erori. Pe considerentul că momentele de inertie, și deci existența accelerării unghiulare, conduce la un comportament dinamic inferior autorii fac o echivalentă între proprietățile centrului elastic și cele ale centrului de masă. Se trage concluzia astfel că elementul 1 are numai accelerare liniară dacă și, numai dacă suportul forței de contact \bar{F} (fig.2.21) trece prin centrul de masă.

Ecuatiile de miscare ale elementului 1 în raport cu centrul de masă al intregului mecanism sint /A9/:

$$M_x \ddot{x} = f * \cos \beta \quad (2.43)$$

$$M_y \ddot{y} = f * \sin \beta \quad (2.44)$$

unde: f – reacțiunea în punctul de contact

M_x, M_y – masa redusă a sistemului

Din analiza efectuată în continuare se desprinde concluzia că evitarea miscării sacadate a elementului 1 este asigurată dacă

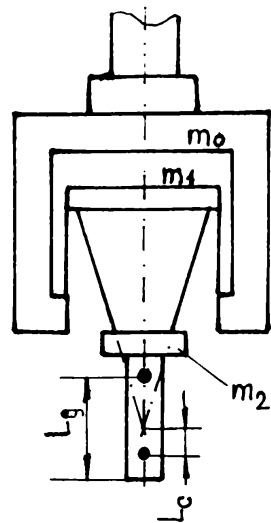


Fig.2.22

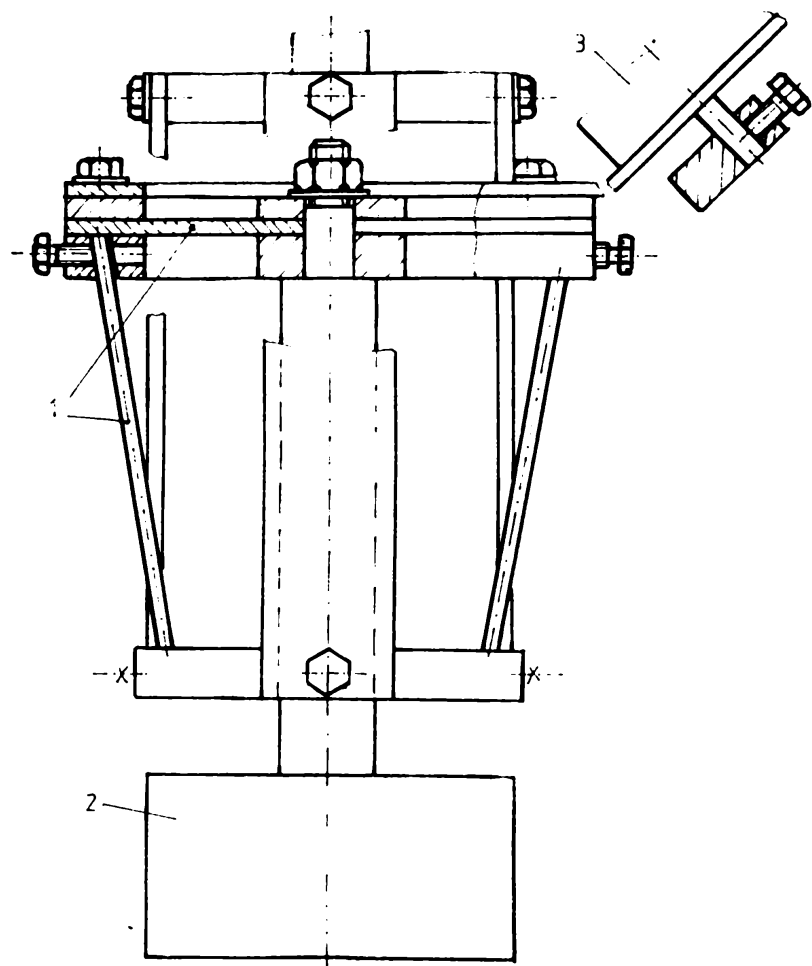


Fig.2.23

$M_x \ll M_y$ si daca centrul de reducere al masei sistemului se gaseste pe directia forței de contact.

Pentru mecanismul cu couple cinematice elastice propus de Whitney /W10/ (fig. 2.22) pozitia centrului de reducere al masei sistemului este:

$$L_c = \frac{m_2}{m_1 + m_2} * L_g \quad (2.43)$$

unde L_g este pozitia centrului de masa al elementului de masa m_1 .

2.4.3. Metoda ecuațiilor lui Lagrange de ordinul doi

Analiza dinamica a unui mecanism cu couple cinematice elastice pentru un dispozitiv de compliantă este realizată în /S5/ avind ca baza de pornire lucrarea /J1/.

Mecanismul este asemănător cu cel întilnit la dispozitivul RCC. Deosebirea constă în faptul că numărul elementelor elastice este de 4 și că dispozitivul de compliantă este cu corecție mixtă având înglobat un generator de oscilații actionat electric (fig. 2.23).

Ecuația de mișcare a mecanismului scrisă sub forma concentrată este:

$$[M] * [\ddot{q}] + [K] * [\dot{q}] = [P] \quad (2.45)$$

unde: $[M]$ – este matricea de inertie

$[\dot{q}]$ – vectorul coordonatelor generalizate

$[K]$ – matricea diagonală de rigiditate

$[P]$ – vectorul forțelor de excitare

Pentru precizarea parametrilor modelului experimental s-au determinat frecvențele proprii de vibrație ale mecanismului și formele acestora. Din compararea rezultatelor experimentale cu cele teoretice se trage concluzia că modelul matematic admis este corect. Analizind influența modificării diferențelor coordonate generalizate în mișcarea elementului 2 se trag concluzii, cu privire la unele soluții constructive ale ansamblului, asemănătoare cu cele din /J1/.

Analiza modului de amortizare a oscilațiilor și a vibrațiilor MCCE precum și influența amortizării asupra comportamentului acestuia sunt analizate și în /N2/.

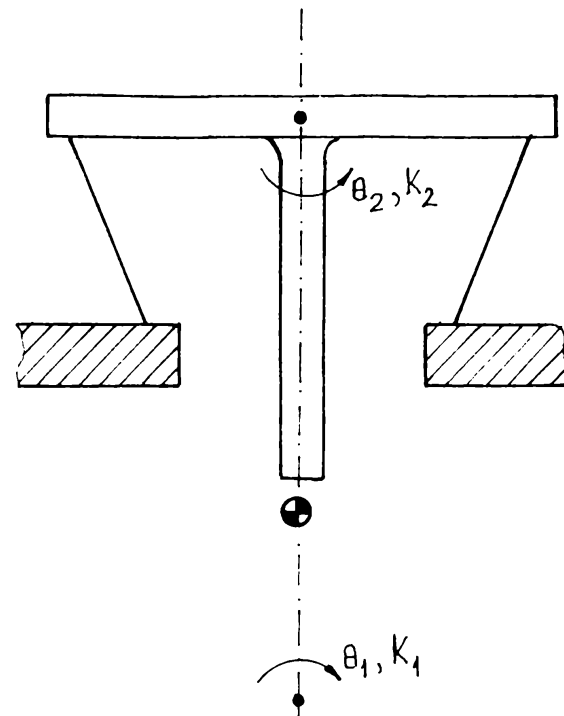


Fig.2.24

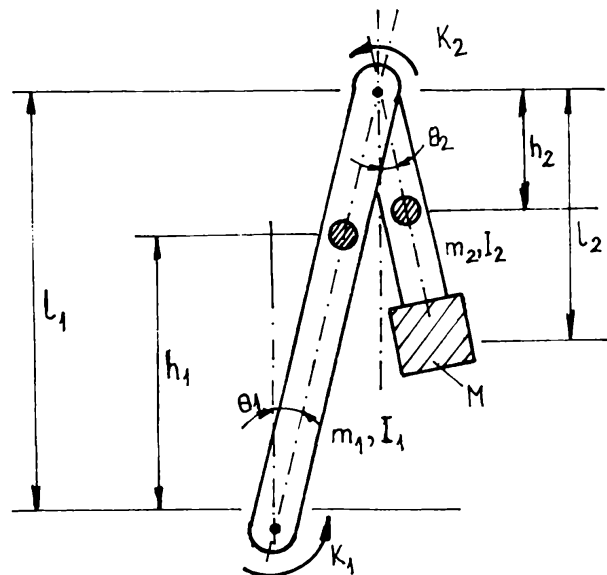


Fig.2.25

Mecanismul analizat este cel corespunzator dispozitivului de compliantă RCC (fig.2.24). Privit prin prisma problemei abordate, RCC este un sistem mecanic suspendat elastic avind 5 grade de libertate. Dacă sistemul este neamortizat vibrațiile sau oscilațiile incetinesc funcționarea mecanismului în sensul dorit. Același lucru se poate spune despre o amortizare prea puternică a mecanismului.

Modelul dinamic al mecanismului este prezentat în fig.2.25 unde K_1 și K_2 sunt rigiditățile rotative ale structurii laterale și de virf /N2/.

Ecuatiile de mișcare neamortizate cuplăte, neglijind mișcarea în jurul axei verticale, sunt:

$$\begin{aligned} I_1 \ddot{\theta}_1 + I_2 \ddot{\theta}_2 + m_1 h^2 \ddot{\theta}_1 + m_2 (l_1 \ddot{\theta}_1 + h_2 \ddot{\theta}_2) * (l_2 + h_2) + K_1 \theta_1 + K_2 (\theta_1 - \theta_2) = 0 \\ I_2 \ddot{\theta}_2 + m_2 (l_1 \ddot{\theta}_1 + h_2 \ddot{\theta}_2) * h_2 + K_2 (\theta_2 - \theta_1) = 0 \end{aligned} \quad (2.47)$$

Rezultatele modelării sunt comparate cu rezultatele experimentale obținute.

2.5. PROIECTAREA OPTIMALĂ A MECANISMELOR CU CUPLE CINEMATICE ELASTICE

Proiectarea optimala a MCCE, la fel ca în cazul proiectării optimale generale /R8/, are drept scop obținerea celor mai bune caracteristici pentru acesta în condițiile restrictive constructive, de portanta etc.

In literatura de specialitate este abordata o astfel de problema in mod general pentru un MCCE folosit la dispozitivele de compliantă /H14/. Se urmareste obtinerea valorilor optime pentru rigiditatile MCCE astfel incit energia consumata pe durata asamblarii sa fie minima. Se determina o relatie analitica de complexitate ridicata si se trage concluzia ca este necesara rezolvarea ei pe calea numerica.

2.6. STUDIUL EXPERIMENTAL AL MECANISMELOR CU CUPLE CINEMATICE ELASTICE

2.6.1. Introducere

Incercările experimentale, in general, au drept scop obti-

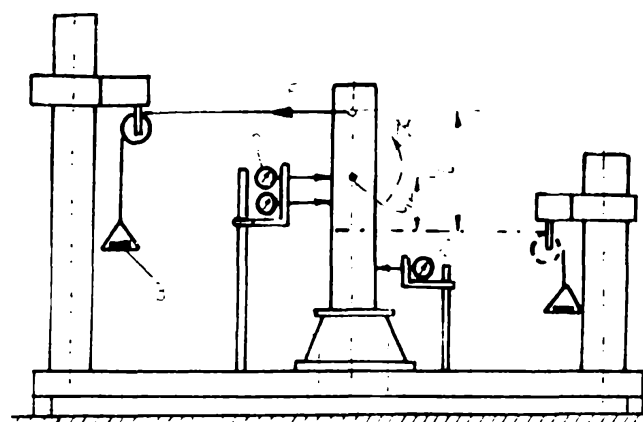


Fig.2.26

nerea unor informatii privind parametrii unui produs si stabilitatea unor concluzii pe baza acestor informatii.

In cazul mecanismelor cu couple cinematice elastice,din dotarea dispozitivelor de complianta,incercarile experimentale pe parcursul timpului au vizat trei aspecte:

1)-determinarea parametrilor functionali (rigiditatile elementelor, rigiditati echivalente, pozitia centrului elastic etc.) ai mecanismului

2)-determinarea modului de variație al unor marimi specifice (forța de asamblare, reactiuni etc.) montajului robotizat a două elemente constructive și compararea acestora cu valorile teoretice determinate pe baza modelului matematic.

3)-determinarea parametrilor de lucru ai MCCE la operatii de montaj in conditii industriale.

Primele doua aspecte au un rol hotaritor ,pentru perioada de incercare in laborator,in imbunatatirea parametrilor modelului pentru mecanismul cu couple cinematice elastice.

Al treilea aspect al incercarilor are rol deosebit in stabilirea parametrilor de lucru ai RI (caracterizat de o anumita rigiditate,precizie dinamica etc.) astfel incit sa se asigure reusita operatiilor de montaj in limita valorilor admise (forța, viteza) in incercarile de laborator.

2.6.2. Determinarea parametrilor functionali ai MCCE.

Principiul de realizare al unui stand experimental pentru determinarea parametrilor functionali ai MCCE-RCC se prezinta in /S8/.Pe un stand asemanator (fig.2.26) s-au efectuat incercari asupra unui MCCE cu elemente elastice lamelare /K17/.

Whitney realizeaza determinarea parametrilor functionali ai MCCE cu elemente elastice "compozite" in urmatoarea succesiune /W9/:

-determinarea parametrilor elementelor elastice

-determinarea parametrilor mecanismului

Astfel,pe o masina pentru incercari la tractiune au fost studiate un numar de elemente elastice inregistrindu-se dependenta forta-deformatie.In continuare a fost stabilit modul de comportare al unui element elastic supus la solicitarea de incoívire si forfecare.

Cel de-al doilea set de incercari a fost realizat pe un

stand asemanator cu cel din fig.2.26 si a vizat si diferitele influente ale numarului de elemente elastice asupra parametrilor functionali ai MCCE.

In mod asemanator celor prezentate anterior in /W11,W15/ se analizeaza experimental si MCCE cu elemente elastice fluidice.

Comportarea unui MCCE la diferite amortizari a fost analizata in /N2/. Incercarile s-au realizat pe modelul RCC.S-a amortizat doar un grad de libertate Θ_1 (fig.2.25). Aceasta s-a realizat prin umplerea cu vaselina a unei cavitati inchise intre diafragma RCC si elementul suport, fara a influenta in acest mod cel de-al doilea grad de libertate Θ_2 .

2.6.3.Determinarea parametrilor functionali ai MCCE in operatii de montaj

Initiatorii acestor tipuri de incercari au fost Nevins si Whitney, ideile din lucrările acestora putind fi gasite si in alte lucrari ulterioare ale altor autori.

Standul experimental folosit de Nevins in acest scop are la baza o masina de frezat verticala /N1,N2/. Miscarea de asamblare pe verticala este simulata prin arborele principal al masinii iar diferitele erori de pozitionare prin masa in coorodinate a masinii.

Jacobi /J1/ a utilizat pentru incercari o metodologie asemanatoare. Deplasările realizate de MCCE au fost determinate cu ajutorul comparatoarelor iar fortele dezvoltate, intre piesele de asamblat, prin intermediul unui senzor de forta-moment.

Un dispozitiv si metoda aferenta pentru verificarea eficienței funktionale a MCCE au fost descrise in /K18/. Palparea stiftului in procesul de asamblare se face prin intermediul unor comparatoare. Pe baza valorilor obtinute si modelului geometric se poate determina pozitia stiftului pe parcursul montajului.

Instalatii specializate pentru studiul asamblarii a doua piese cilindrice au fost realizate la IPA, Stuttgart de catre M.Schweizer /S11/. Instalatiile permit curse de aprox.40 mm in planul orizontal si de aprox.60 mm pe verticala. Fortele pe parcursul montajului sunt masurate prin intermediul unui senzor de forta-moment iar deplasările unghiulare pe cale inductiva. Aceste instalatii se apropie foarte mult de structura unor module de pozitionare locala.

2.6.4. Determinarea parametrilor MCCE in operatii de montaj industrial

In perioada de probe tehnologice a RI pentru montaj se realizeaza si determinarea parametrilor de lucru ai MCCE pe linge o serie de alte marimi: forte si momente de asamblare,durata unor operatii etc.Aceste incercari se incadreaza in planul de stabilirea parametrilor de lucru ai RI.

Optimizarea regimului de asamblare robotizata cu utilizarea unui dispozitiv cu corectie pasiva a fost abordata in /P4/. Experimentarile au fost realizate pe un RI model MP-9S. Incercările au vizat optimizarea parametrilor de asamblare stift-alezaj cu caracteristicile $\varnothing 10$ mm (H7/h6) la erori de pozitionare de pina la 3 mm.

Determinarea parametrilor caracteristici montajului stif rigid-alezaj elastic a fost abordata in /W12/.Se utilizeaza un dispozitiv de complianta cu corectie mixta (MACS).Incercarile au fost realizate in baza unor erori de situare variabile intr-un domeniu larg si viteze de montaj cuprinse intre 30 si 100 [mm/s].

In incercarile de acest tip se folosesc traductoarele si senzorii montati in efectorul RI,inregistratoare cuplate cu sistemul de comanda al RI etc.

3. SCOPUL LUCRARII

La stabilirea si enuntarea principalelor probleme pe care i le propune a le rezolva ,autorul are in vedere stadiul actual i constructiei robotilor industriali pentru montajul automat si stadiul actual al cercetarilor privind studiul mecanismelor cu couple cinematice elastice.

Avind la baza aceste orientari,se poate mentiona faptul ca principala sarcina de montaj robotizat este din categoria stift-tezaj si ca modelele matematice ale procesului de asamblare sunt coordonate cu o serie de aproximatii.Autorul isi propune in aceasta rectie elaborarea unor modele matematice adecvate, care sa permita simularea pe calculator a montajului si optimizarea constructiva a mecanismului cu couple cinematice elastice.

Pe parcursul elaborarii materialului privind stadiile actuale,autorul a sesizat necesitatea unei sistematizari structurale a mecanismelor cu couple cinematice elastice pentru dispozitive de complianta.Autorul isi propune sa realizeze o astfel de aliza si sa prezinte cteva elemente de baza privind sinteza structurala a acestor mecanisme.

Modelele matematice privind calculul mecanismelor cu couple cinematice elastice si incercarile efectuate au scos in evidenta, in form literaturii de specialitate,o serie de neclaritati privind existenta,pozitia "centrului elastic" si modul de determinare a acestuia in cazul dispozitivelor de complianta.Autorul isi opune sa prezinte un model matematic pentru determinarea poziei centrului elastic,a rigiditatilor echivalente ale mecanismurilor cu couple cinematice elastice si sa realizeze o serie de cercari pentru confirmarea acestor considerante.

Avind in vedere necesitatea unei proiectari optimale a mecanismelor cu couple cinematice elastice din componenta dispozitivelor de complianta si faptul ca aceste aspecte sunt mai putin ilnite la acest caz concret,autorul isi propune enuntarea principiilor de proiectare optimala si realizarea unor modele

matematice adecvate.

Fiabilitatea robotilor industriali pentru montaj se impune sa fie extrem de ridicata. Pornind de la acest aspect, autorul isi propune sa analizeze aspectul teoretic al fiabilitatii mecanismelor cu couple cinematice elastice din componenta dispozitivelor de complianta.

In vederea alegerii optimale a unei variante de mecanism cu couple cinematice elastice dintr-o multime data de variante, autorul isi propune sa analizeze si sa enunte criteriile de comparare a acestora. De asemenea autorul isi propune sa elaboreze programul de calcul automatizat pentru alegerea variantei opti-male.

In directia incercarilor experimentale, autorul a remarcat o prezenta redusa a informatiilor referitoare la functionarea unor astfel de mecanisme. Pornind de la acest considerent, efectueaza unele incercari experimentale asupra unor mecanisme cu couple cinematice elastice plane si spatiale. Se urmareste determinarea modului de influenta a diferitilor parametri asupra comportamentului functional al mecanismului. De asemenea autorul isi propune realizarea unor standuri experimentale destinate incercarii mecanismelor cu couple cinematice elastice in conditii de laborator.

In concluzie, prin prezenta lucrare, autorul isi propune sa dezvolte cercetarile teoretice si experimentale referitoare la mecanismele cu couple cinematice elastice din componenta dispozi-tivelor de complianta ale robotilor industriali.

4. MODELE MATEMATICE ALE OPERATIEI DE MONTAJ STIF-ALEZAJ.

4.1. INTRODUCERE

Abordarea studiului privind mecanismele cu couple cinematice elastice pentru dispozitivele de complianta implica elaborarea modelilor matematice ale operatiilor tehnologice in care se utilizeaza acestea.

Din analiza variabilitatii mediului tehnologic robotizat rezulta ca operatiile de montaj din categoria stift-alezaj (in una din formele:stift rigid-alezaj elastic,stift rigid-alezaj rigid,stift elastic-alezaj rigid) sunt cele mai numeroase.

Asamblarea automata stift rigid-alezaj rigid a constituit in decursul timpului un domeniu de analiza atenta /N6/, /N7/, /M13/ /C13/, /C14/. Pornindu-se de la aceste aspecte s-a trecut atit la generalizarea unor aspecte pentru asamblarea robotizata /C15,61/ cit si la abordarea problemei din punctul de vedere specific acestia /B5/, /J1/, /M10/, /M11/, /N1,N2,N4/, /W10/.

Prezenta lucrare urmareste elaborarea unui model matematic adevarat calculului automatizat si astfel pe baza acestuia sa se obtina informatii utile pentru sinteza mecanismelor cu couple cinematice elastice.

4.2. ANALIZA ERORILOR DE SITUARE A ROBOTILOR INDUSTRIALI SI INFLUENTA ACESTORA IN OPERATIILE DE MONTAJ

Procesul de asamblare a doua elemente constructive cu ajutorul robotilor industriali (RI) este influentat de o serie de factori :forma elementelor de asamblat,ajustajul format intre acestea,eroarea de situare a RI.Eroarea de situare a RI poate face extrem de dificila sau chiar imposibila operatia de asamblare.

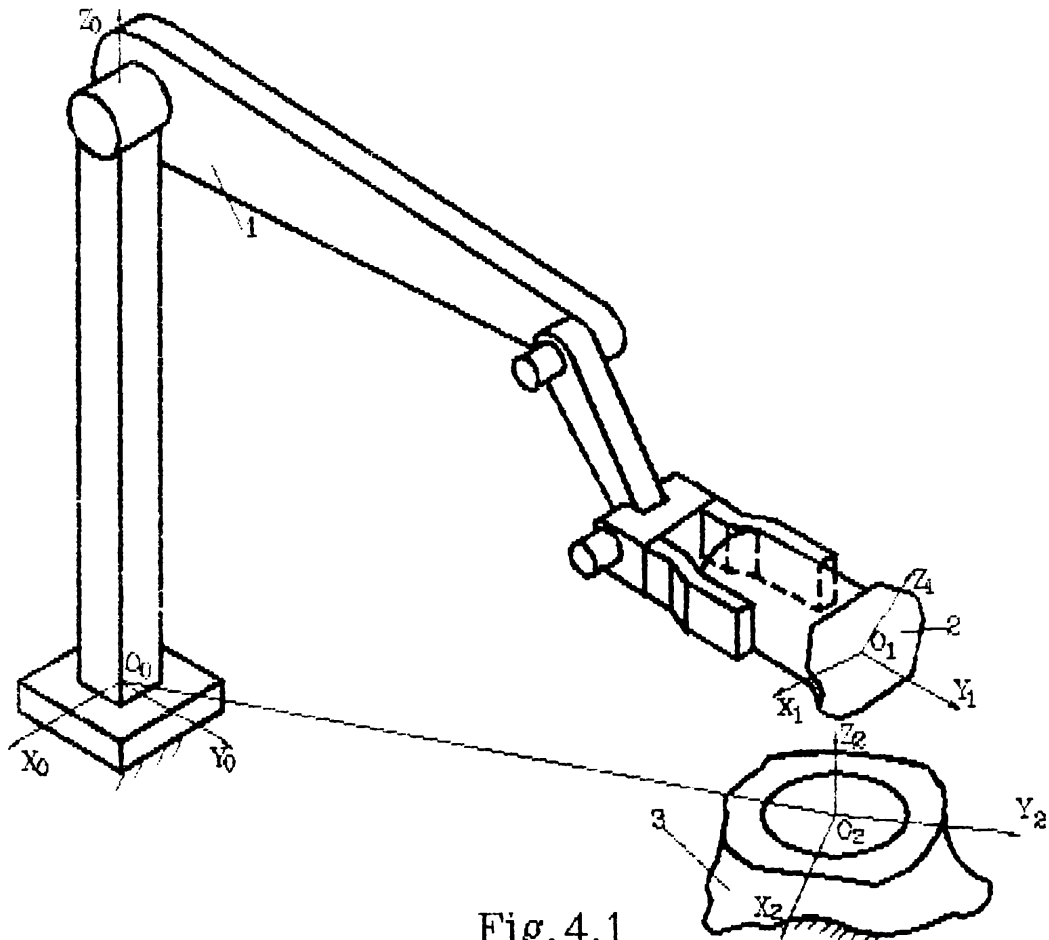


Fig. 4.1

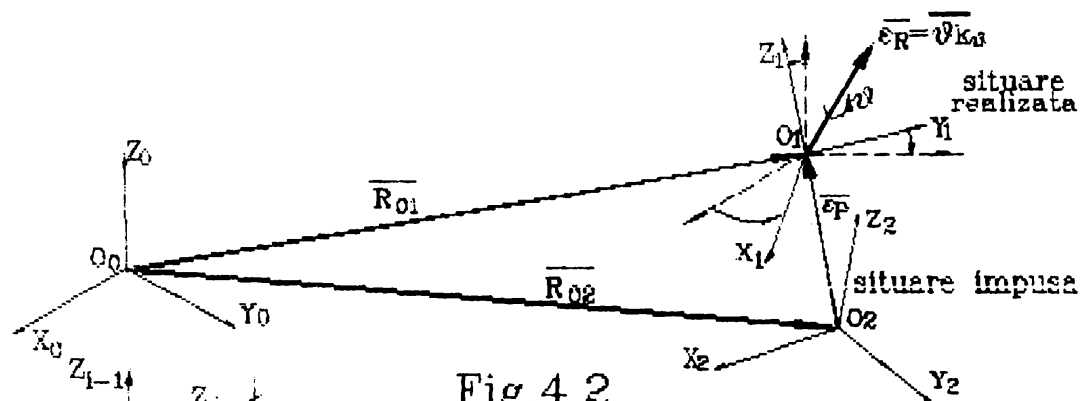


Fig. 4.2

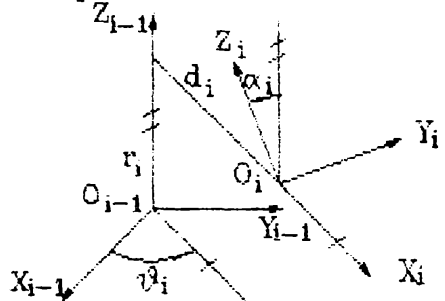


Fig. 4.3

In fig.4.1 se prezinta o "scena" din cadrul unui proces de montaj cu RI. Elementul constructiv 2 urmeaza a fi asamblat cu elementul constructiv 3 prin intermediul RI-1. Referitor la aceste componente ale scenei de lucru se evidențiază urmatoarele sisteme de coordonate: $O_0x_0y_0z_0$ - sistemul de coordonate atașat bazei RI; $O_1x_1y_1z_1$ - sistemul de coordonate atașat elementului constructiv 2; $O_2x_2y_2z_2$ - sistemul de coordonate atașat elementului constructiv 3.

Realizarea montajului celor două elemente constructive reprezintă de fapt stabilirea unei corespondențe între cele două sisteme (O_1) și (O_2).

Operatia de asamblare se poate descompune în două mișcări elementare: mișcarea de manipulare - "grosieră" - prin care elementul 1 se aduce în contact cu elementul 2 și mișcarea de orientare -asamblare ("mișcarea fină") prin care se realizează noul element constructiv de rang superior.

La finele operației de manipulare între starea impusă (i), celor două sisteme (O_1) și (O_2), și starea realizată (r) va exista o diferență datorată erorilor din cuplile cinematice ale RI, eroarelor constructive ale elementelor RI, deformărilor etc./K21/. Aceasta diferență se exprimă prin eroarea de situație cu cele două componente: eroarea de poziționare (e_p) și eroarea de orientare (e_g) (fig.4.2).

Utilizând convenția Denavit-Hartenberg (fig.4.3) matricea de trecere a sistemului de coordonate $O_i x_i y_i z_i$ în sistemul de coordonate $O_{i-1} x_{i-1} y_{i-1} z_{i-1}$ se poate exprima simbolic prin matricea /K21/:

$${}^{i-1}T_i = \text{Rot}(z, \theta_i) * \text{Trans}(z, r_i) * \text{Trans}(x, d_i) * \text{Rot}(x, \alpha_i) \quad (4.1)$$

unde: - $\text{Rot}(u, \psi)$ este matricea (4*4) definind o rotație de unghi ψ în jurul axei u ;

- $\text{Trans}(v, l)$ este matricea (4*4) definind o translație pe distanța l după axa v .

Sub forma să dezvoltată matricea $i^{-1}T_i$ este următoarea:

$${}^{i-1}T_i = \begin{bmatrix} \cos\theta_i & -\cos\alpha_i * \sin\theta_i & \sin\alpha_i * \sin\theta_i & | d_i * \cos\theta_i \\ \sin\theta_i & \cos\alpha_i * \cos\theta_i & -\sin\alpha_i * \cos\theta_i & | d_i * \sin\theta_i \\ 0 & \sin\alpha_i & \cos\alpha_i & | r_i \\ 0 & 0 & 0 & | 1 \end{bmatrix} = \begin{bmatrix} A & p \\ 0 & 1 \end{bmatrix} \quad (4.2)$$

unde: - $A(3 \times 3)$ este matricea cosinusilor directori de orientare ai sistemului (O_i) in raport cu sistemul (O_{i-1})

- $p(1 \times 3)$ este vectorul care descrie pozitia originii sistemului (O_i) in sistemul (O_{i-1})

Miscarea de manipulare poate fi descrisa in sistemul de coordonate al elementului constructiv 3, intr-un sistem general de coordonate etc.

Pornind de la relatia (4.2) pentru un RI cu schema cinematica cunoscuta se poate determina matricea de trecere a sistemului de coordonate atasat elementului 2 in sistemul de coordonate de baza al RI /K2/:

$${}^0T_1 = \left[\begin{array}{ccc|c} n_{1x} & s_{1x} & a_{1x} & p_{1x} \\ n_{1y} & s_{1y} & a_{1y} & p_{1y} \\ n_{1z} & s_{1z} & a_{1z} & p_{1z} \\ \hline 0 & 0 & 0 & 1 \end{array} \right] = \begin{bmatrix} A_1 & | & p_1 \\ \hline 0 & | & 1 \end{bmatrix} \quad (4.3)$$

unde: - A_1 este matricea (3×3) cosinusilor directori ai sistemului (O_1) in raport cu sistemul (O_0)

- p_1 este un vector de pozitie al originii sistemului (O_1) fata de sistemul (O_0) .

Prin trecerea si a sistemului (O_2) in sistemul de baza (O_0) se obtine o relatie asemănătoare:

$${}^0T_2 = \left[\begin{array}{ccc|c} n_{2x} & s_{2x} & a_{2x} & p_{2x} \\ n_{2y} & s_{2y} & a_{2y} & p_{2y} \\ n_{2z} & s_{2z} & a_{2z} & p_{2z} \\ \hline 0 & 0 & 0 & 1 \end{array} \right] = \begin{bmatrix} A_2 & | & p_2 \\ \hline 0 & | & 1 \end{bmatrix} \quad (4.4)$$

Matricile 0T_1 si 0T_2 astfel obtinute permit definirea erorilor de situare:

$$\begin{bmatrix} e_{px} \\ e_{py} \\ e_{pz} \end{bmatrix} = \begin{bmatrix} p_{2x} - p_{1x} \\ p_{2y} - p_{1y} \\ p_{2z} - p_{1z} \end{bmatrix} \quad (4.5)$$

$$e_\theta = \arccos \frac{u_{1x} * u_{2x} + u_{1y} * u_{2y} + u_{1z} * u_{2z}}{(u_{1x}^2 + u_{1y}^2 + u_{1z}^2)^{1/2} * (u_{2x}^2 + u_{2y}^2 + u_{2z}^2)^{1/2}} \quad (4.6)$$

unde unghiul $\theta = \langle \alpha, \beta, \gamma \rangle$ iar "u" unul din cosinusii directori "n",

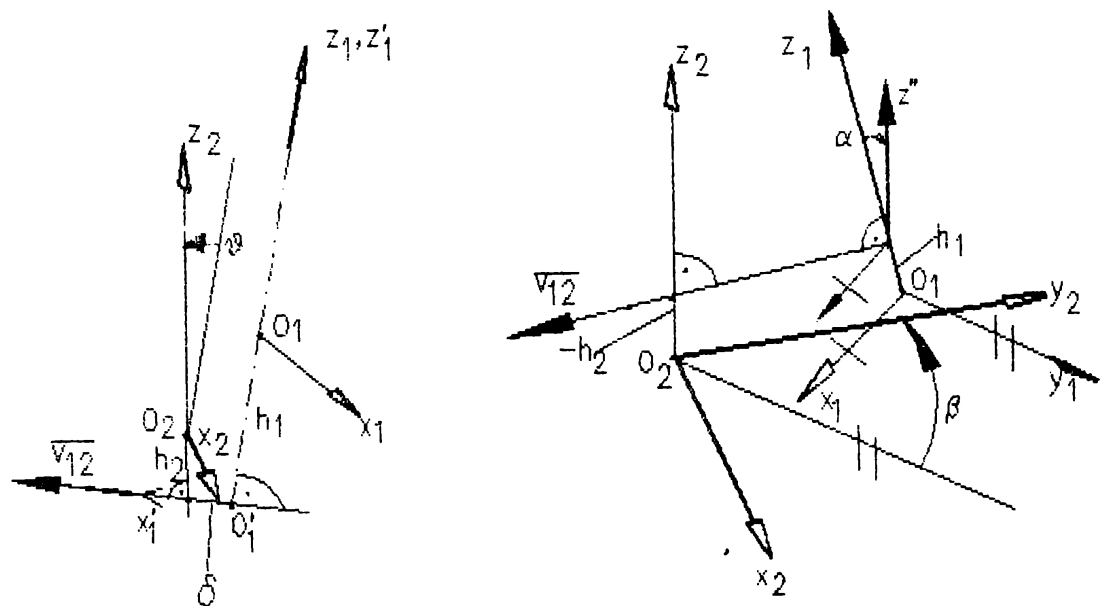
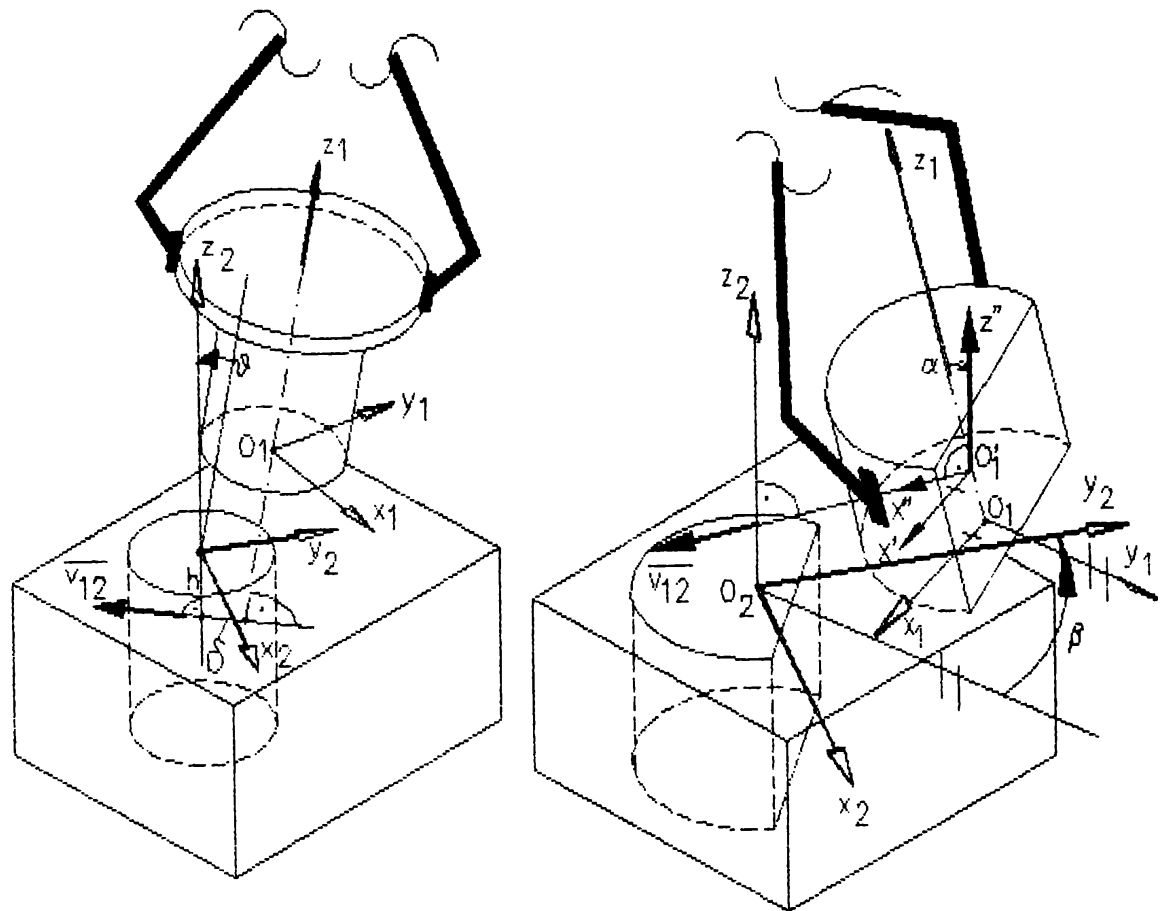


Fig. 4.4

Fig. 4.5

"s" sau "a".

Descriind miscarea de manipulare in sistemul (O_2) , prin trecerea sistemului (O_1) in sistemul (O_2) , se obtine eroarea de situare raportata la sistemul (O_2) . Fie 2T_1 matricea de trecere $(O_1) \rightarrow (O_2)$ si $T_2 = I_4$ (matricea unitate 4*4) matricea atasata sistemului (O_2) :

$${}^2T_1 = \begin{bmatrix} n_x & s_x & a_x & | & p_x \\ n_y & s_y & a_y & | & p_y \\ n_z & s_z & a_z & | & p_z \\ 0 & 0 & 0 & | & 1 \end{bmatrix} \quad (4.7)$$

Erorile de pozitionare si de orientare se obtin ca si in cazul anterior si sint:

$$e_p = \begin{bmatrix} e_{px} \\ e_{py} \\ e_{pz} \end{bmatrix} = \begin{bmatrix} p_x \\ p_y \\ p_z \end{bmatrix} \quad (4.8)$$

$$\theta_0 = \arccos \frac{u_x}{(u_x^2 + u_y^2 + u_z^2)^{1/2}} \quad (4.9)$$

Semnificatiile marimilor care intervin fiind aceleasi ca mai sus.

Suprafetele elementelor constructive ce urmeaza a se asambla, sint in general suprafete cilindrice (cu o axa de simetrie sau cu un plan de simetrie) sau prismatice. In fig.4.4 se prezinta un element constructiv (1) cu o axa de simetrie (din categoria "stift") ce urmeaza a se asambla cu piesa conjugata 2. Cu observatia ca rotatia sistemului (O_1) in jurul axei O_1z_1 nu are importanta (datorita simetriei), matricea 2T_1 scrisa sub forma simbolica va fi:

$${}^2T_1 = \text{Trans}(z, h_2) * \text{Rot}(x, \theta) * \text{Trans}(x, \delta) * \text{Trans}(z, -h_1) \quad (4.10)$$

Facind inlocuirile in (4.10) obtinem forma dezvoltata:

$${}^2T_1 = \begin{bmatrix} 1 & 0 & 0 & | & \delta \\ 0 & \cos\theta & -\sin\theta & | & 0 \\ 0 & \sin\theta & \cos\theta & | & h_2 - h_1 \\ 0 & 0 & 0 & | & 1 \end{bmatrix} \quad (4.11)$$

Utilizind relatiile (4.7)-(4.9) se obtin erorile de situ-

are:

$$\mathbf{e}_p = \begin{bmatrix} e_{px} \\ e_{py} \\ e_{pz} \end{bmatrix} = \begin{bmatrix} \delta \\ 0 \\ h_2 - h_1 \end{bmatrix} \quad (4.12)$$

$$e_\alpha = 0 ; e_\beta = e_\gamma = \theta \quad (4.13)$$

In mod analog pentru un element constructiv cu un plan de simetrie (fig. 4.5) matricea 2T_1 este:

$${}^2T_1 = \text{Rot}(z, \beta) * \text{Trans}(z, -h_2) * \text{Trans}(x, \delta) * \text{Rot}(y, \alpha) * \text{Trans}(z, h_1) =$$

$$= \begin{vmatrix} \cos \beta * \cos \alpha & -\sin \beta & \cos \beta * \sin \alpha & \delta * \cos \beta \\ \sin \beta * \cos \alpha & \cos \beta & \sin \beta * \sin \alpha & \delta * \sin \beta \\ -\sin \alpha & 0 & \cos \alpha & h_1 - h_2 \\ 0 & 0 & 0 & 1 \end{vmatrix} \quad (4.14)$$

Erorile de situare din acest caz sint:

$$\mathbf{e}_p = \begin{bmatrix} e_{px} \\ e_{py} \\ e_{pz} \end{bmatrix} = \begin{bmatrix} \delta * \cos \beta \\ \delta * \sin \beta \\ h_1 - h_2 \end{bmatrix} \quad (4.15)$$

$$e_\alpha = \arccos(\cos \beta \cos \alpha) \quad (4.16)$$

$$e_\beta = \beta ; e_\gamma = \alpha$$

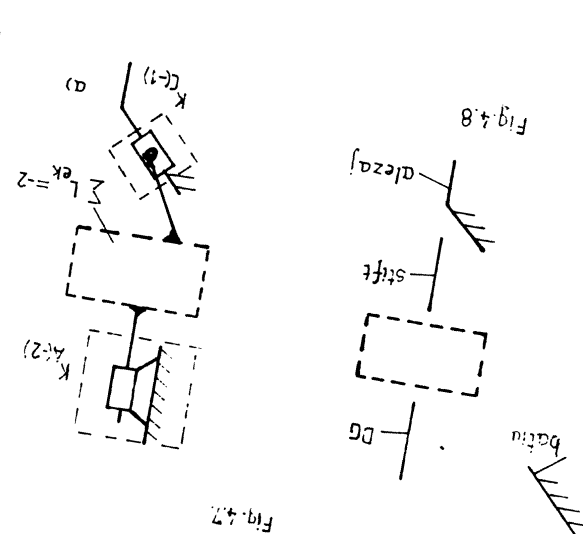
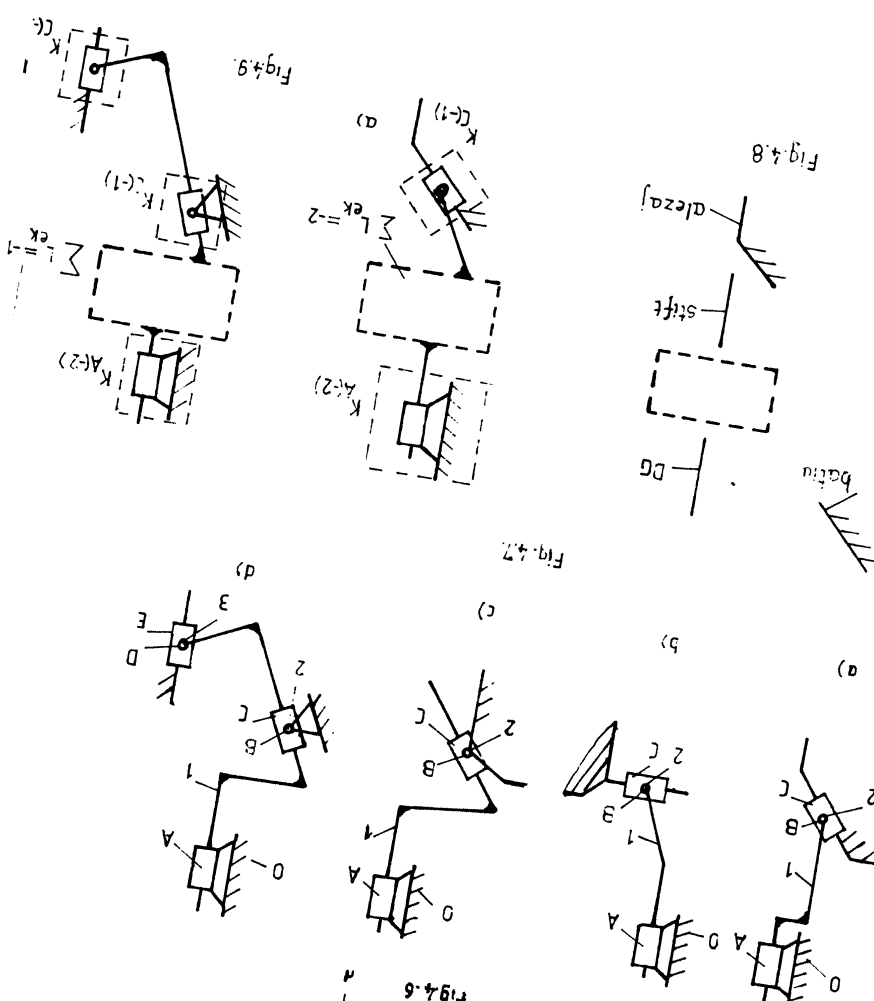
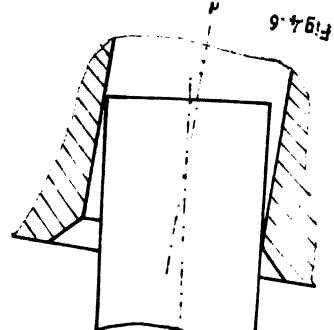
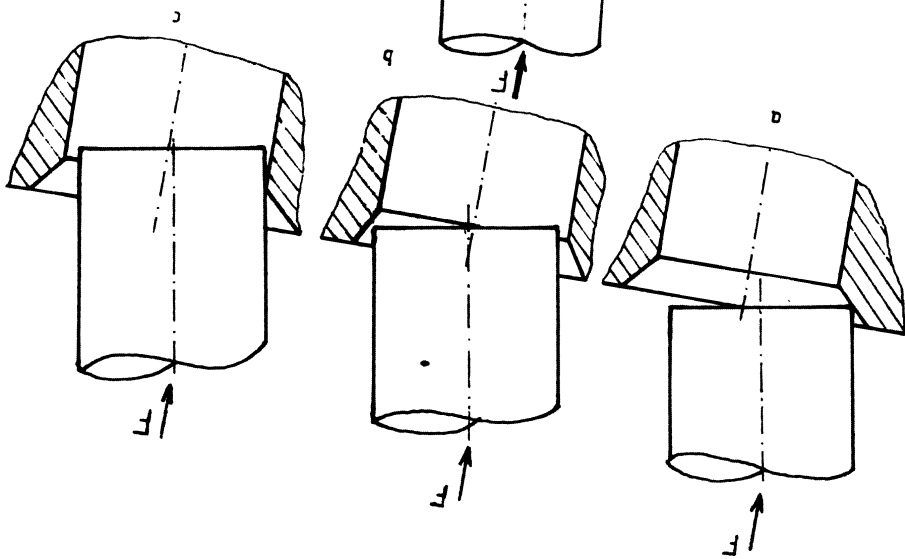
Avind in vedere ca miscarea de manipulare este continuata cu miscarea de orientare-asamblare, o parte din aceste erori trebuie compensate pentru a se asigura reusita operatiei.

Presupunind ca miscarea de orientare-asamblare este o translatie pe verticala dupa axa z (cazul cel mai obisnuit) erorile care trebuie compensate in cele doua cazuri sint:

$$e_{pxy} = \delta ; e_\beta = e_\gamma = \theta \quad \text{si respectiv} \quad (4.17)$$

$$e_{dxy} = (e_{px}^2 + e_{py}^2)^{1/2} = \delta ; e_\alpha \quad \text{si} \quad e_\beta = e_\gamma$$

Erorile ce urmeaza a fi compensate trebuie sa se situeze intr-un spatiu admisibil astfel incit probabilitatea de reusita a operatiei de asamblare sa fie acceptata. Spatiul valorilor admisibile pentru aceste erori se determina ca un spatiu geometric echivalent unei pseudosfere sau pseudoprisme pentru eroarea de pozitionare si respectiv pseudocon sau pseudopiramida pentru



eroarea de orientare /B1/,/W6/.

4.3. MODELUL STRUCTURAL AL MONTAJULUI ROBOTIZAT STIFT-ALEZAJ.

Din cele expuse in cadrul capitolelor anterioare reiese ca montajul stift-alezaj are loc in principal printr-o miscare de translatie de sus in jos in conditiile unor erori de situare.

Cazurile de situare, pe parcursul montajului, ale unui stift rigid fata de un alezaj rigid sunt prezentate in fig.4.6.

In vederea unei analize structurale ale montajului in /K15/ se considera ansamblul RI-stift-alezaj ca un mecanism spatial, analizindu-se gradele de mobilitate ale mecanismului astfel format in cazurile a,c,d. Avind in vedere simetria pieselor de montat se propune o echivalenta prin mecanism plan. Mecanismele plane formate sunt prezentate in fig.4.7.

Numarul gradelor de mobilitate in cele patru cazuri sunt:

$$M_a = M_b = M_c = 3 \cdot 2 - 2 \cdot 3 = 0 \quad (4.18)$$

$$M_d = 3 \cdot 3 - 2 \cdot 5 = -1 \quad (4.19)$$

si deci mecanismele formate nu sunt desmodromice. Aceasta inseamna ca montajul stiftului nu este posibila in conditiile prevazute.

In vederea eliminarii posibilitatilor de aparitie a acestui fenomen de blocare se abordeaza problema in ideia sintezei mecanismelor clasice cu utilizarea metodei conexiunilor /K19,K20/. Considerind ultimul element al dispozitivului de ghidare (fig.4.8) ca un element motor ($n_m=1$) iar stiftul ca un element condus ($n_c=1$) asigurarea desmodromiei impune introducerea unor conexiuni cinematice care sa aiba un numar de grade de libertate /K19/:

$$L_k = -(2 \cdot n_m + 3 \cdot n_c) = -5 \quad (4.20)$$

Repartizind gradele de libertate rezultate in conexiuni $K_A(-2)$ si $K_C(-1)$ (fig.4.9) rezulta ca intre DG si stift trebuie introdus un element cinematic variabil cu $L_k = -2$ (fig.4.9a) si $L_k = -1$ (fig.4.9b).

Tratind mecanismul stift-alezaj ca un mecanism spatial relatia corespunzatoare pentru numarul gradelor de libertate ale conexiunilor ce trebuie intercalate este /K17/:

$$L_k = -(5 \cdot n_m + 6 \cdot n_c) = -11 \quad (4.21)$$

Repartizarea gradelor de libertate pe conexiuni in acest caz este

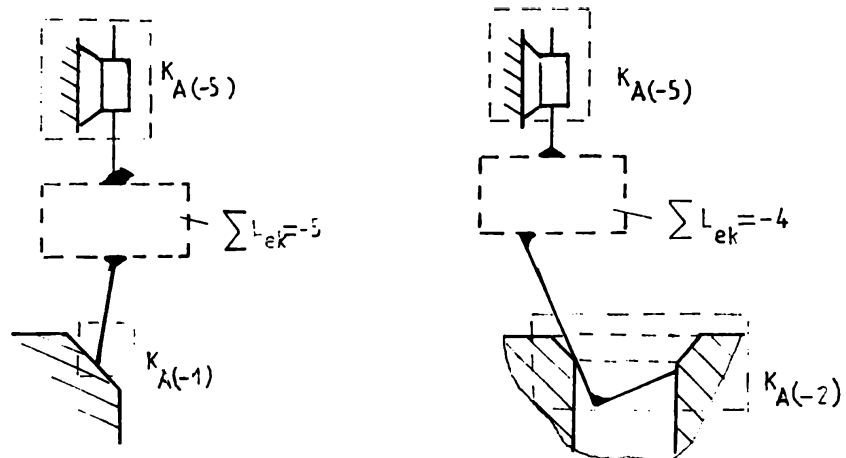


Fig. 4.10.

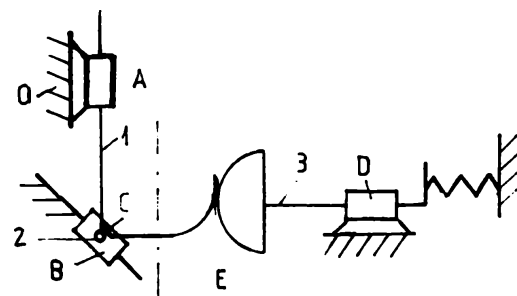


Fig. 4.11.

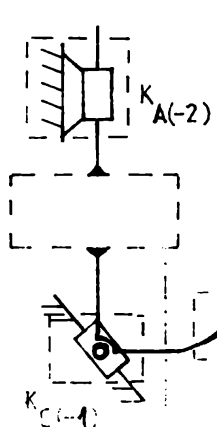


Fig. 4.12

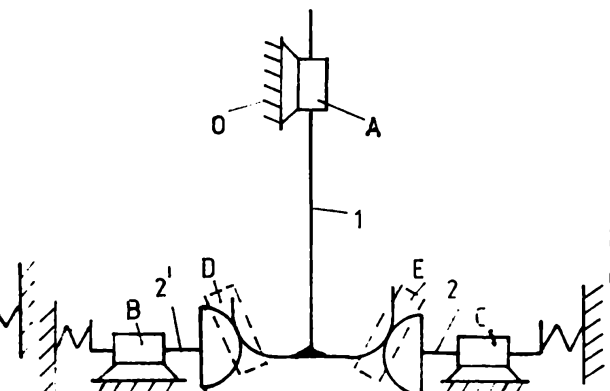


Fig. 4.13

cea prezentata in fig.4.10.

Un lant cinematic cu structura variabila poate fi realizat utilizind mecanisme cu couple cinematice elastice.

Daca alezajul este semielastic, schema cinematica de analiza structurala (in ideia existentei erorilor de situare) a montajului este prezentata in fig.4.11/D26/. Se constata ca si in acest caz mecanismul nu este desmodrom gradul de mobilitate fiind:

$$M=3*3-2*4-1=0 \quad (4.22)$$

Analizind in baza rel.4.20 si repartizind gradele de libertate pe conexiuni rezulta ca lantul cinematic ce trebuie introdus intre DG si stift trebuie sa aiba $L_k=1$ (fig.4.12).

Se poate concluziona ca din punct de vedere structural, un acelasi lant cinematic poate fi folosit la montajul stiftului rigid cu alezaj rigid sau semielastic.

Daca alezajul este elastic schema cinematica echivalenta este prezentata in fig.4.13 /D26/. Mecanismul este in acest caz desmodrom:

$$M=3*3-2*3-2=1 \quad (4.23)$$

Se poate concluziona ca, din punct de vedere structural, nu este necesara prezena dispozitivului de complianta la aceasta categoria de montaj.

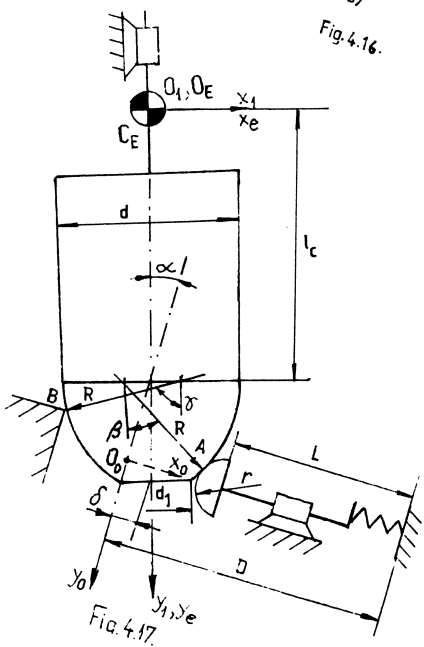
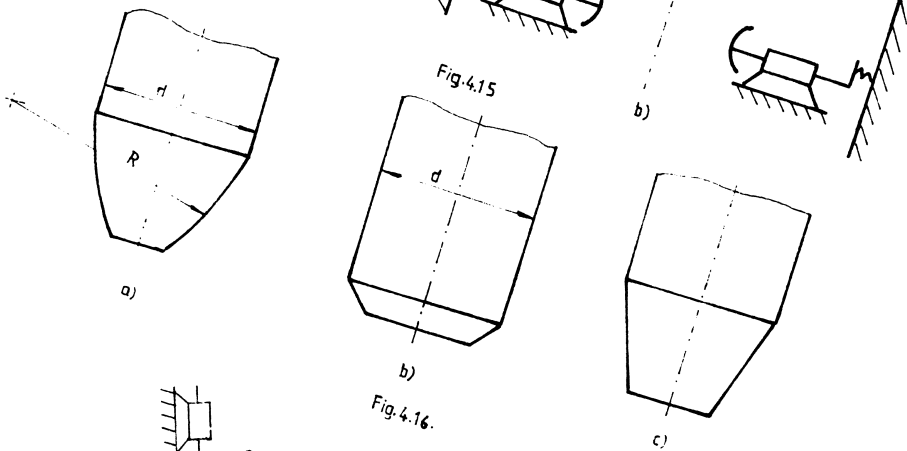
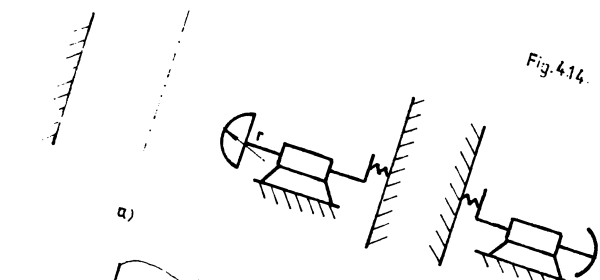
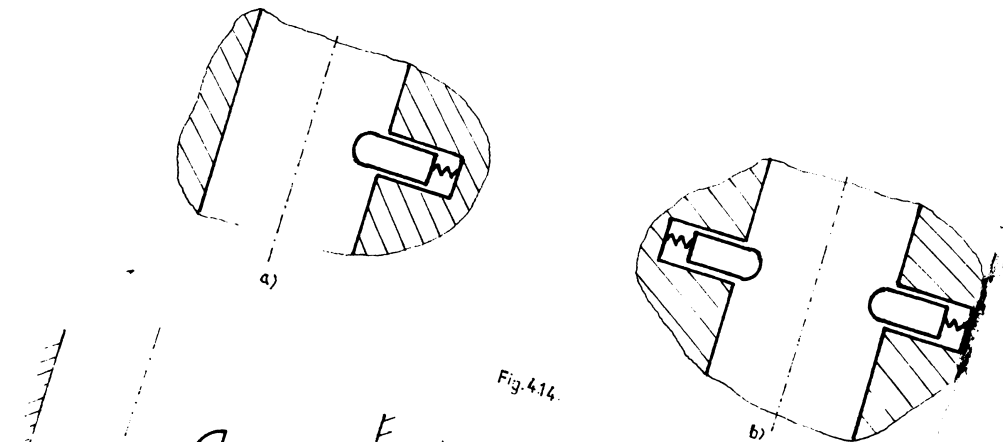
4.4 MODELUL MATEMATIC AL MONTAJULUI STIFT-ALEZAJ

4.4.1. Introducere

Abordarea unui studiu privind mecanismele cu couple cinematice elastice pentru dispozitivele de complianta implica folosirea ca si date de intrare a rezultatelor obtinute pe baza multor operatiilor tehnologice specifice.

Asamblarea automata stift-alezaj a constituit un domeniu de analiza atenta pentru cazul masinilor automate /M13/, /G5/, /M17/. Pornindu-se de la aceste aspecte s-a trecut atit la generalizarea unor aspecte pentru asamblarea robotizata /C15/, /G1/ cit si la abordarea problemei din punctul de vedere specific acestuia /R9/, /K13/, /K14/, /K15/, /W10/.

In /W10/ se grupeaza factorii de influenta ai procesului de asamblare in trei categorii: geometrie, complianta si fre-



care. Grupati intr-un model matematic acesti factori genereaza: modelul geometric si respectiv modelul dinamic.

4.4.2. Modelul geometric

4.4.2.1. Modelul geometric al montajului stift rigid alezaj elastic

In /W10/ pornind de la modul de existenta a elasticitatii alezajului se fac remarcate doua posibilitati (fig.4.14) pentru care se pot stabili schemele cinematice echivalente (fig.4.15), configuratii geometrice ale stiftului fiind prezentate in fig.4.16.

Pentru cazul montajului stift alezaj semielastic s-a admis folosirea unui dispozitiv de complianta care sa permita compensarea erorilor de situare. Dispozitivul de complianta, realizat pe baza unui mecanism cu cupluri cinematice elastice, este reprezentat simplificat prin centrul sau elastic C_E . Ipotezele de lucru admise sunt urmatoarele: modelul bidimensional al ansamblului stift alezaj semielastic, deformatii in limita elasticitatii, regim de lucru cvasistatic.

Se ataseaza stiftului rigid sistemele de axe $O_{x_0}x_{y_0}$ (cu originea in C_E) si $O_jx_jy_j$ (solidar cu dispozitivul de ghidare) iar alezajului sistemul $O_{x_1}x_1y_1$ (fig.4.17). Intreg procesul de asamblare este descris referitor la aceste sisteme de coordonate.

Se presupune ca la sfarsitul operatiei de manipulare se realizeaza contactul stift alezaj in punctele A si B. Situarea stiftului in raport cu alezajul este caracterizata de erorile α, δ .

Pe baza notatiilor din fig.4.17 se pot determina coordonatele punctelor de contact si relatii de legatura geometrice:

$$x_{1A} = d/2 - R * (1 - \sin \beta) \quad (4.24)$$

$$y_{1A} = l_c + R * \cos \beta \quad (4.25)$$

$$x_{1B} = -d/2 + R * (1 - \sin \gamma) \quad (4.26)$$

$$y_{1B} = l_c + R * \cos \gamma \quad (4.27)$$

$$D = \delta + (d/2 - R) * \cos \alpha_0 - l * \sin \alpha_0 + (R + r) * \sin (\beta_0 + \alpha_0) + l_0 \quad (4.28)$$

$$l = ((d - d_1) * (4 * R - d + d_1))^{1/2} / 2 \quad (4.29)$$

Din relatia (4.28) se poate determina unghiul β_0 pentru

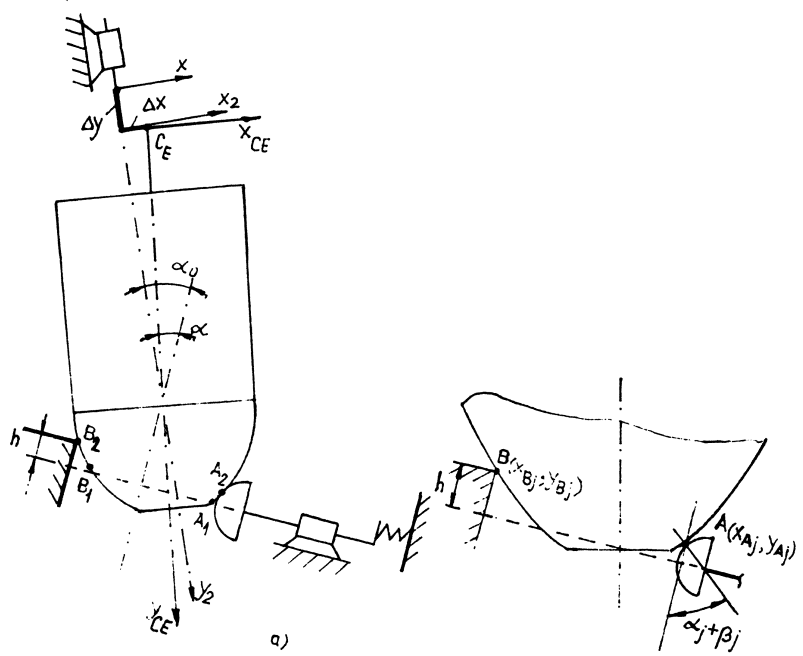


Fig. 4.18.

b)

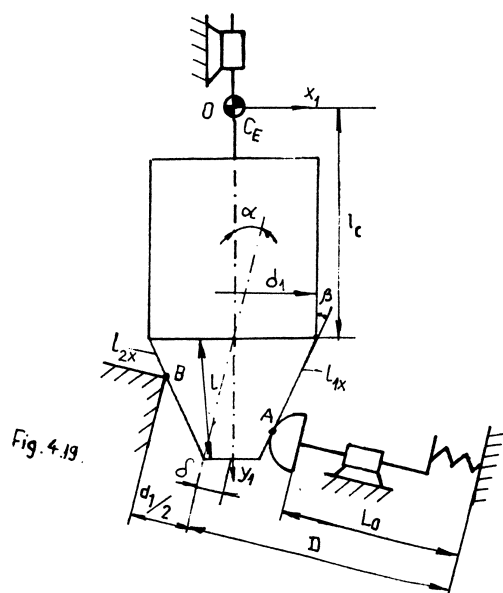


Fig. 4.19.

contactul initial in punctul A:

$$\beta_0 = \arcsin((D - \delta - (d/2 - R) * \cos \alpha_0 + l_c * \sin \alpha_0 - L_0) / (R + r)) - \alpha_0 \quad (4.30)$$

Pentru punctul de contact B se poate determina de asemenea unghiul caracteristic:

$$\gamma = \arccos((1 + r/R) * \cos(\beta_0 + \alpha_0) + (2 - d/R) * \sin \alpha_0 - h/R) + \alpha_0 \quad (4.31)$$

Misarea stiftului in procesul de montaj este o succesiune de pozitii de echilibru rezultate din translatii de valoare Δy . O pozitie arbitrara a stiftului este prezentata in fig.4.18.

Unghiul curent β_j se poate defini in raport cu pozitia anterioara "i" conform relatiei:

$$\beta_j = \arccos(\cos(\beta_{j-1} + \alpha_{j-1}) - \Delta y * \cos \alpha_0 / (R + r)) - \alpha_0 \quad (4.32)$$

Deformatia partii elastice a alezajului se poate determina pornind de la relatia:

$$((x_A - x_B)^2 + (y_A - y_B)^2 - (h - r * \cos(\alpha + \beta))^2)^{1/2} + r * \sin(\alpha + \beta) + L = \text{ct.} \quad (4.33)$$

Scriind relatia (4.33) pentru pozitia initiala "0" si cea curenta "j" se determina deformatia Δx_e ca fiind:

$$\Delta x_e = L_0 - L_j \quad (4.34)$$

Deformatia Δx a mecanismului cu couple cinematice elastice se calculeaza fata de pozitia initiala a punctului C_E:

$$\Delta x = (x_0 - x_j - \Delta y * \sin \alpha_0) / \cos \alpha_0 \quad (4.35)$$

unde:

$$x_0 = (d/2 - R) * \cos \alpha_0 + l_c * \sin \alpha_0 + (R + r) * \sin(\alpha_0 + \beta_0) - D + L \quad (4.35')$$

$$x_j = (d/2 - R * (1 - \sin \beta_j)) * \cos(\alpha_0 - \beta_j) + (l_c + R * \cos \beta_j) * \sin(\alpha_0 - \beta_j) - x_{A0} - \Delta x_e$$

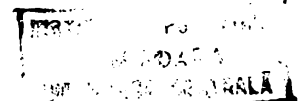
$$x_{A0} = D - L - r * \sin(\alpha_0 + \beta_0)$$

Schema cinematica echivalenta pentru contactul initial stift-alezaj semielastic varianta "c" este prezentata in fig.4.19

Referitor la sistemul de axe O_1x_1y_1 se pot determina coordonatele punctelor de contact si relatii de legatura geometrice:

$$x_{1A} = d_1/2 - l_{1x} * \sin \beta \quad (4.36)$$

$$y_{1A} = l_{1c} + l_{1x} * \cos \beta \quad (4.37)$$



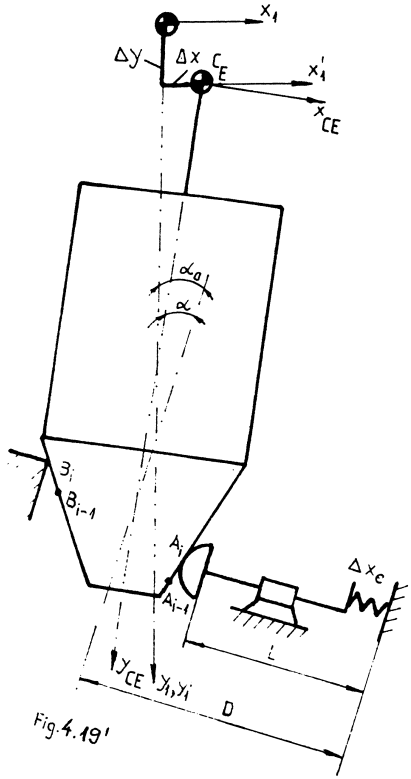


Fig. 4.191

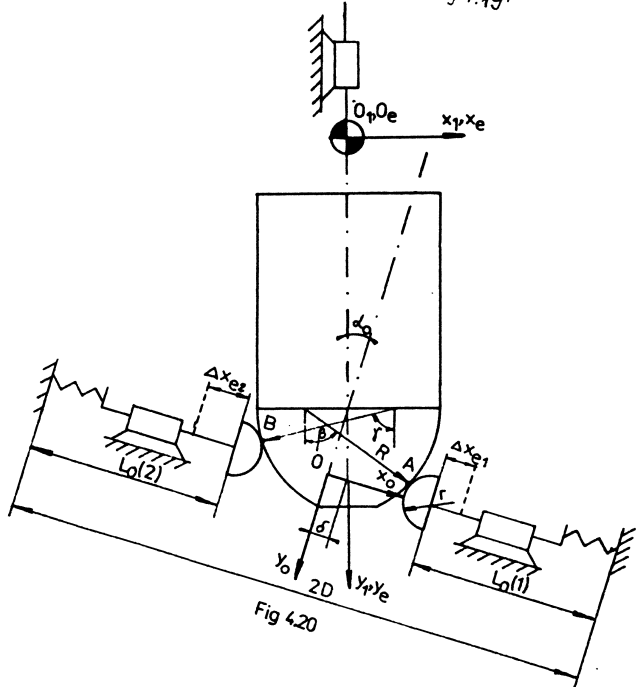


Fig 4.20

$$x_{1B} = -d_1/2 + l_{2x} \sin \beta \quad (4.38)$$

$$y_{1B} = l_c + l_{2x} \cos \beta \quad (4.39)$$

$$D = d_1/2 * \cos \alpha - l_{1x} * \sin(\beta - \alpha) - l * \sin \alpha + r * \cos(\beta - \alpha) + L_0 + \delta \quad (4.40)$$

$$\delta = d_1/2 * (\cos \alpha - 1) - l_{2x} * \sin(\beta + \alpha) + l * \sin \alpha \quad (4.41)$$

Relatiile (4.40) si (4.41) permit determinarea marimilor l_{1x0} si l_{2x0} ce caracterizeaza contactul initial:

$$l_{1x0} = (\delta + d_1/2 * \cos \alpha + r * \cos(\beta - \alpha_0) + L_0 - D - l * \sin \alpha_0) / \sin(\beta - \alpha_0) \quad (4.42)$$

$$l_{2x0} = (d_1/2 * (\cos \alpha_0 - 1) + l * \sin \alpha_0 - \delta) / \sin(\beta + \alpha_0) \quad (4.43)$$

Deformatia partii elastice a alezajului (corespunzator trecerii din pozitia "0" in pozitia "j") se determina conform relatiei (4.34) avind in vedere ca:

$$((x_A - x_B)^2 + (y_A - y_B)^2 - (h - r * \sin(\beta - \alpha))^2)^{1/2} + r * \cos(\beta - \alpha) + L = \text{ct}$$

Relatiile de calcul pentru marimile l_{1xj}, l_{2xj} (pozitia "j") se pot scrie ca fiind:

$$l_{1xj} = (l_c * (1 - \cos(\alpha_0 - \alpha)) + l_{1x0} * \cos \beta - d_1/2 * \sin(\alpha_0 - \alpha) + (x_{A0} + \Delta x_e) * \sin \alpha + y_A * \cos \alpha - x_{A0} * \sin \alpha - y_{A0} * \cos \alpha_0 - \Delta y) / \cos(\beta + \alpha_0 - \alpha) \quad (4.44)$$

$$l_{2xj} = (l_{1xj} * \cos(\beta - \alpha) + r * \sin(\beta - \alpha) - h - d * \sin \alpha) / \cos(\beta + \alpha) \quad (4.45)$$

Deformatia Δx a mecanismului cu couple cinematice elastice se calculeaza cu relatia (4.35) in care:

$$x_0 = d_1/2 * \cos \alpha_0 - l_{1x0} * \sin(\beta - \alpha_0) + l_c * \sin \alpha_0 - D - L_0 - r * \cos(\beta - \alpha_0) \quad (4.46)$$

$$x_j = d_1/2 * \cos(\alpha_0 - \alpha) + l_c * \sin(\alpha_0 - \alpha) - l_{1xj} * \sin(\beta + \alpha - \alpha_0) - x_{A0} - \Delta x_e \quad (4.47)$$

$$x_{A0} = D - L_0 - r * \cos(\beta - \alpha_0) \quad (4.48)$$

Relatiile anterioare impreuna cu cele corespunzatoare modelului dinamic permit elaborarea programului de calcul automatizat.

Schema cinematica echivalenta pentru montajul stift rigid alezaj elastic este prezentata in fig.4.20. In vederea descrierii procesului de montaj se ataseaza ca si in cazul anterior sistemele de coordonate $O_0x_0y_0, O_1x_1y_1, O_ex_ey_e$ pieselor ce compun sistemul.

Relatiile (4.24)-(4.29) raman valabile si pentru acest caz. Corelatia intre unghiul de contact γ si α este exprimata prin relatia:

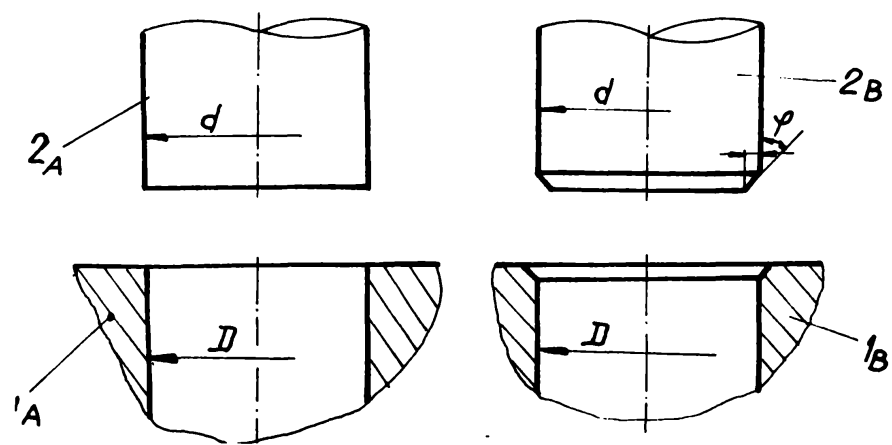


Fig.4.21

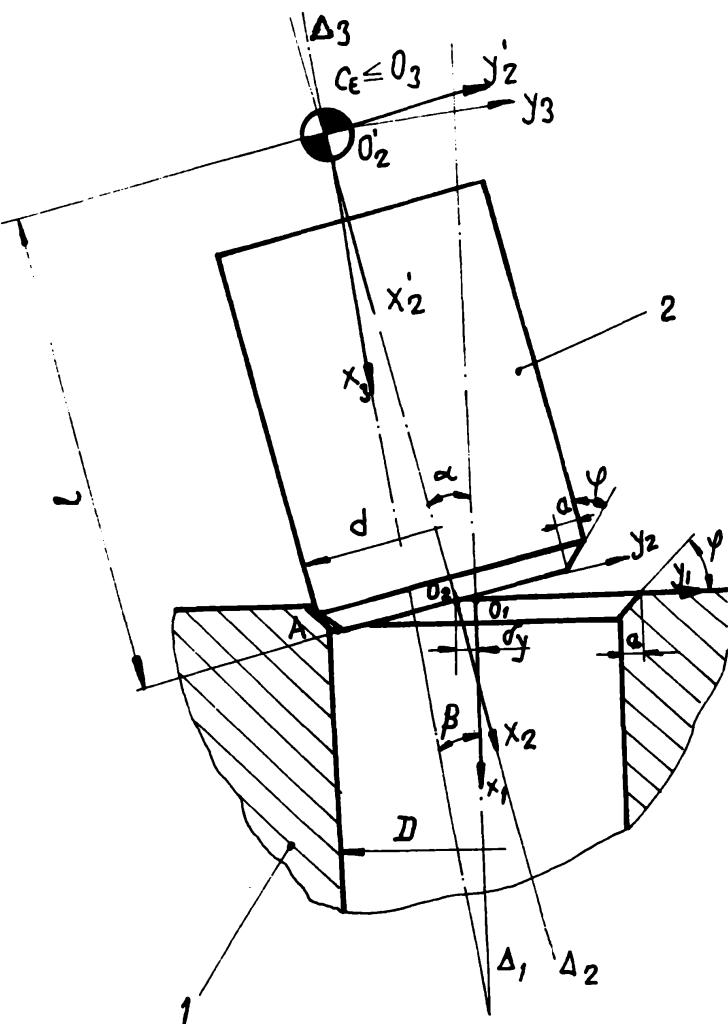


Fig.4.22

$$\delta = \arccos(\cos(\beta + \alpha) + (2 \cdot R - d) / (R + r) * \sin \alpha) + \alpha \quad (4.49)$$

Unghiul curent β_j se poate obtine de asemenea in raport cu pozitia "i" conform relatiei (4.32).

Deformatia partii elastice a alezajului se determina din considerentul ca:

$$((x_A - x_B)^2 + (y_A - y_B)^2 - r^2 * (\cos(\delta - \alpha) - \cos(\beta + \alpha))^2)^{1/2} + r * \sin(\delta - \alpha) + L_1 + L_2 = ct. \quad (4.50)$$

" Scriind relatia (4.50) pentru pozitia intiala si o pozitie curenta "j" deformatiile elastice insumate vor fi:

$$\Delta x_{e1} + \Delta x_{e2} = 2 * L_0 - L_1 - L_2 \quad (4.51)$$

In final deformatia Δx a mecanismului cu couple cinematice elastice se calculeaza cu relatiile (4.35), (4.35') stabilite anterior.

4.4.2.2. Modelul geometric al asamblarii stift rigid-alezaj rigid

La stabilirea modelului geometric al montajului cele doua elemente constructive se vor considera avind formele de baza l_B , 2_B (fig. 4.21). Modelele pentru restul combinatiilor de piese se pot obtine din particularizarea relatiilor obtinute pentru piesele considerate.

In momentul consecnarii contactului stift-alezaj, pozitia stiftului este afectata de eroarea de situare (pozitionare si orientare).

In fig. 4.22 se prezinta stiftul 2 intr-o pozitie carecara fata de alezaj. Mecanismul cu couple cinematice elastice este reprezentat simplificat prin centrul sau elastic C_E . Pentru stiftul 2 si piesa conjugata 1 se evidențiază punctul caracteristic O_2 si dreapta caracteristica Δ_2 (care reprezinta chiar axa de simetrie a stiftului) respectiv punctul caracteristic O_1 si dreapta caracteristica Δ_1 . Pozitia punctului caracteristic O_2 si a dreptei Δ_2 in raport cu O_1 si Δ_1 definesc eroarea de situare.

Avind in vedere modul de definire a centrului elastic C_E , miscarea relativă a stiftului 2 fata de alezaj (in faza de compensare a erorilor de situare) se considera constrinsa sistemului

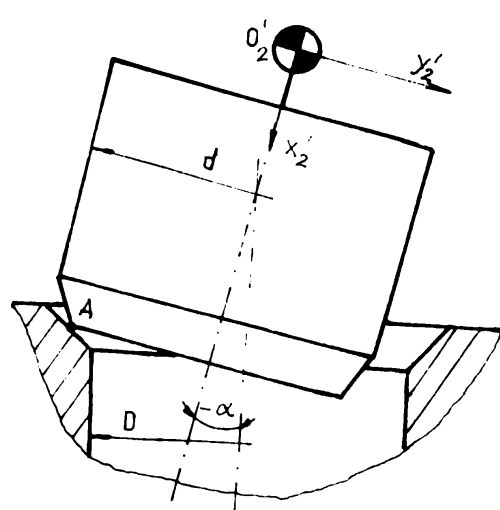
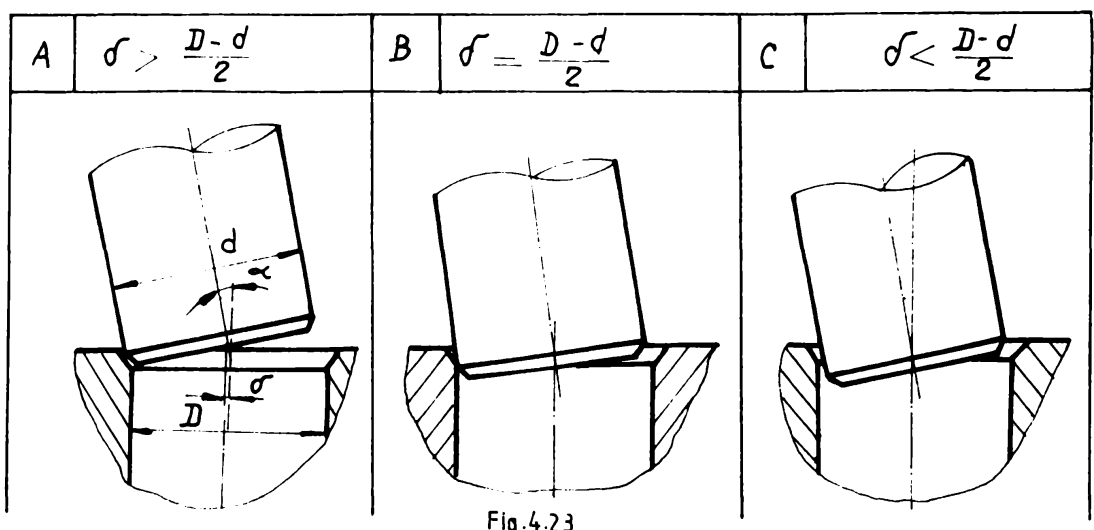


Fig.4.24.

Ne axe O₁x₁y₁z₁.

Faza de contact initiala este caracterizata prin contactul elementelor 1 si 2 intr-un punct sau doua in functie de eroarea pozitionare. (fig. 4.23).

Conform notatiilor din fig. 4.22 se pot scrie relatiile:

$$d/2 \cos \alpha + a \sin \alpha / \operatorname{tg} \varphi + \delta_y = D_A/2 \quad (4.52)$$

$$D/2 + a - \frac{x^{(1)}}{A} * \operatorname{tg} \varphi = D_A/2 \quad (4.53)$$

Pe baza relatiilor anterioare se definesc coordonatele punctului de contact A in sistemul de coordonate O₁x₁y₁z₁:

$$\frac{x^{(1)}}{A} = (D/2 - d \cos \alpha / 2 + a * (1 - \sin \alpha / \operatorname{tg} \varphi) + \delta_y) / \operatorname{tg} \varphi \quad (4.54)$$

$$\frac{y^{(1)}}{A} = \frac{x^{(1)}}{A} / \operatorname{tg} \varphi - D/2 - a \quad (4.55)$$

Transformarea de coordonate din sistemul O₁x₁y₁z₁ in sistemul O₂x₂y₂z₂ este definita de relatiile:

$$\frac{x_1}{O_2} = \frac{x^{(1)}}{O_2} + x_2 \cos \alpha - y_2 \sin \alpha$$

$$\frac{y_1}{O_2} = \delta_y + x_2 \sin \alpha + y_2 \cos \alpha \quad (4.56)$$

$$z_1 = z_2$$

Din relatiile (4.54) si (4.56) pentru x₂=-a si y₂=-d/2 se obtin coordonatele:

$$\frac{x^{(1)}}{O_2} = (D/2 - d \cos \alpha / 2 + a * (1 - \sin \alpha / \operatorname{tg} \varphi) + \delta_y) / \operatorname{tg} \varphi + a \cos \alpha - d/2 \sin \alpha \quad (4.57)$$

si in mod corespunzator:

$$\frac{x^{(1)}}{O'_2} = \frac{x^{(1)}}{O_2} - 1 * \cos \alpha \quad (4.58)$$

$$\frac{y^{(1)}}{O'_2} = \frac{y^{(1)}}{O_2} - 1 * \sin \alpha$$

Pentru unghiul -α (fig. 4.24) se pot scrie de asemenea relatiile:

$$(d/2 - a) \cos \alpha + \delta_y = D_A/2$$

$$D/2 + a - \frac{x^{(1)}}{A} * \operatorname{tg} \varphi = D_A/2 \quad (4.59)$$

Determinindu-se in final coordonatele:

$$\frac{x^{(1)}}{A} = (D/2 - (d/2 - a) \cos \alpha + a - \delta_y) / \operatorname{tg} \varphi \quad (4.60)$$

$$\frac{x^{(1)}}{O'_2} = [(D/2 - (d/2 - a) \cos \alpha + a - \delta_y) / \operatorname{tg} \varphi + (d/2 - a) \sin \alpha] \quad (4.61)$$

In mod asemanator se determina coordonatele punctelor O₂ si O₃.

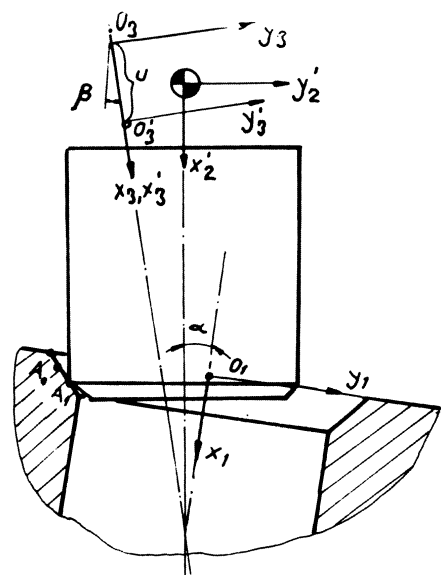


Fig.4.25

Presupunind o translatie pe verticala a dispozitivului de prehensiune -in vederea insertiei-pozitia centrului elastic va fi definita prin $C_E \left(\Delta x^{(3)}, \Delta y^{(3)} \right)$ (fig.4.25).

Conform notatiilor din fig.4.21 se determina relatiile:

$$x_{0_3}^{(1)} = x_{0_3}^{(1)} + u \cos \beta \quad (4.62)$$

$$y_{0_3}^{(1)} = y_{0_3}^{(1)} + u \sin \beta \quad (4.63)$$

$$x_{CE}^{(1)} = x_{0_3}^{(1)} - \Delta x^{(3)} \cos \beta - \Delta y^{(3)} \sin \beta \quad (4.64)$$

$$y_{CE}^{(1)} = y_{0_3}^{(1)} - \Delta x^{(3)} \sin \beta + \Delta y^{(3)} \cos \beta \quad (4.65)$$

unde $x_{0_3}^{(1)}$, $y_{0_3}^{(1)}$ sunt definite de relatiile (4.58) pentru pozitia initiala.

Coordonatele punctului de contact A_1 se pot scrie pe baza relatiilor anterioare ca fiind:

$$x_{A_1}^{(1)} = x_{0_3}^{(1)} + (u - \Delta x^{(3)}) \cos \beta - \Delta y^{(3)} \sin \beta + l \cos \alpha + d/2 \sin \alpha \quad (4.66)$$

$$y_{A_1}^{(1)} = y_{0_3}^{(1)} + (u - \Delta x^{(3)}) \sin \beta + \Delta y^{(3)} \cos \beta + l \sin \alpha - d/2 \cos \alpha$$

Definind in mod asemănător coordonatele punctului A_0 prin relatiile:

$$x_{A_0}^{(1)} = x_{0_3}^{(1)} + l \cos \alpha_0 + d/2 \sin \alpha_0$$

$$y_{A_0}^{(1)} = y_{0_3}^{(1)} + l \sin \alpha_0 - d/2 \cos \alpha_0 \quad (4.67)$$

si avind in vedere ca coordonatele punctelor A_1 si A_0 verifică relația:

$$\frac{x_{A_1}^{(1)} - x_{A_0}^{(1)}}{l} = \operatorname{tg} \varphi * \frac{(y_{A_1}^{(1)} - y_{A_0}^{(1)})}{l} \quad (4.68)$$

se obtine dupa transformari ($\cos \alpha \approx \cos \alpha_0$; $\sin \alpha \approx \alpha$; $\sin \alpha_0 \approx \alpha_0$) relația de variație a elementelor geometrice caracteristice:

$$\begin{aligned} & u \cos(\varphi - \beta) + \Delta y^{(3)} \sin(\varphi - \beta) - \Delta x^{(3)} \cos(\beta + \varphi) + (d/2 \cos \varphi \\ & + l \sin \varphi) * (\alpha - \alpha_0) = 0 \end{aligned} \quad (4.69)$$

Cazul B (fig.4.23) se poate considera ca un caz intermediar dintre fază de contact și inserție, fiind punctul terminus al cazului A.

In cazul C coordonatele punctelor de contact se gasesc ca puncte de intersecție ale cercurilor C_1 și C_2 :

$$(C_1) \quad y_1^2 + z_1^2 = (D/2)^2 \quad (4.70)$$

$$(C_2) \quad y_2^2 + z_2^2 = (d/2)^2 \quad (4.71)$$

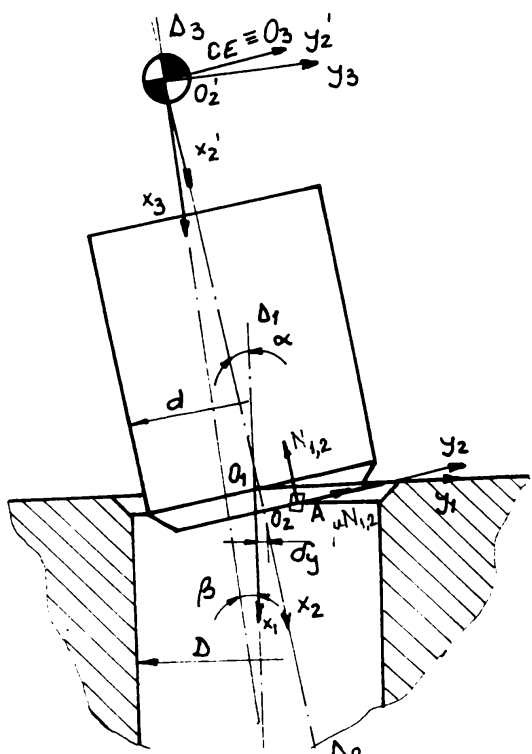


Fig.4.26

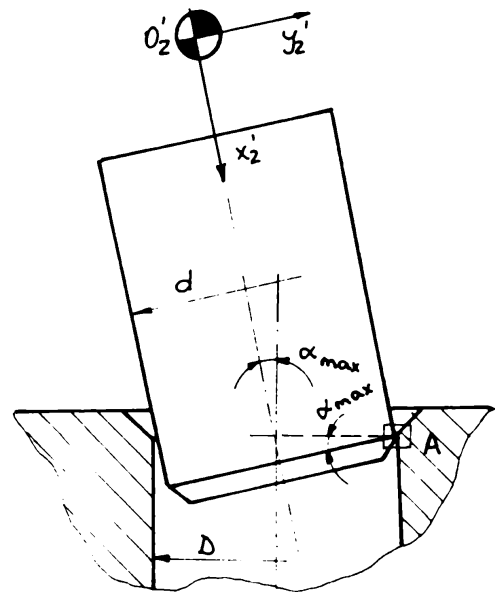


Fig.4.27

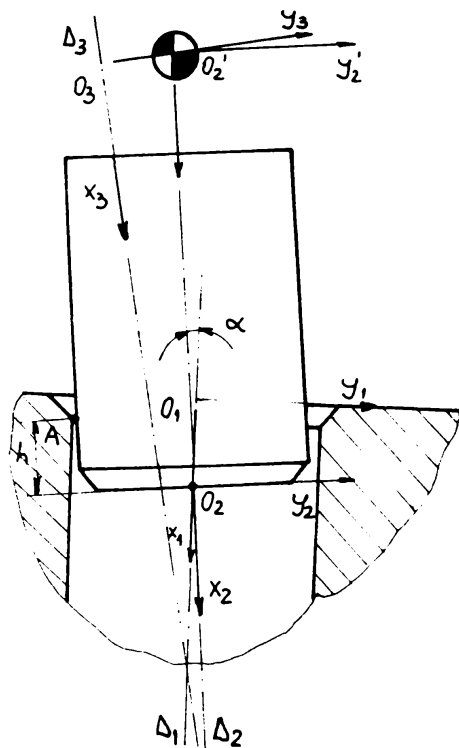


Fig.4.28

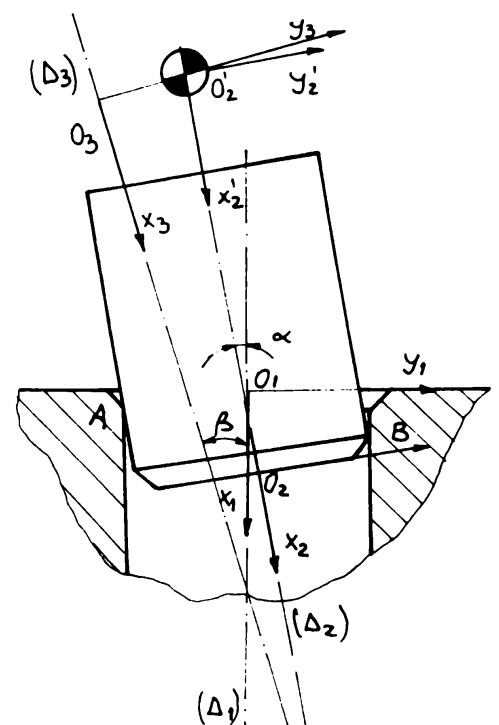


Fig.4.29

Avind in vedere ca $O_2(x_A^{(1)} - \delta_y + a * \sin\alpha / \tan\varphi, \delta_y - a * \sin\alpha / \tan\varphi)$ si utilizind relatiile de transformare ale coordonatelor (4.56) ecuatiile celor doua cercuri devin dupa transformari ($x_1=a$; $y_1=y_A^{(1)}$):

$$(C_1) \quad y_1^2 + z_1^2 = (D/2)^2 \quad (4.72)$$

$$(C_2) \quad ((y_A^{(1)} - \delta_y) / \cos\alpha + a * (\tan\varphi / \tan\varphi - \sin\alpha))^2 + z_1^2 = (d/2)^2$$

Coordonatele punctelor de contact vor fi solutii ale sistemului de ecuatii (4.72). Dupa prelucrarea ecuatiilor sistemul se obtine:

$$\frac{y_A^{(1)} * \tan^2\alpha}{A} + 2 * \frac{y_A^{(1)} * a}{A * \cos\alpha} + A^2 + (D/2)^2 - (d/2)^2 = 0 \quad (4.73)$$

Unde

$$A = a * \sin\alpha * [1 / (\tan\varphi * \cos\alpha) - 1] - \delta_y / \cos\alpha$$

Pozitia limita pentru care se mai poate realiza insertia stiftului 2 in alezajul i defineste valoarea maxima a erorii unghiulare α_{max} . Este necesar sa se realizeze contactul in punctul A, sau nu avem decit un punct de contact (fig. 4.27), sau sa avem deja contact pe generatoare. Deci

$$\alpha < \arccos(d/D) = \alpha_{max} \quad (4.74)$$

Faza de insertie este caracterizata de contactul intr-un punct 'A' (fig. 4.28) urmat de contactul in doua puncte A, B (fig. 4.29).

Descrierea geometriei montajului utilizeaza relatiile interioare sau combinatii ale acestora. Pentru un momentat dat se pot scrie relatiile:

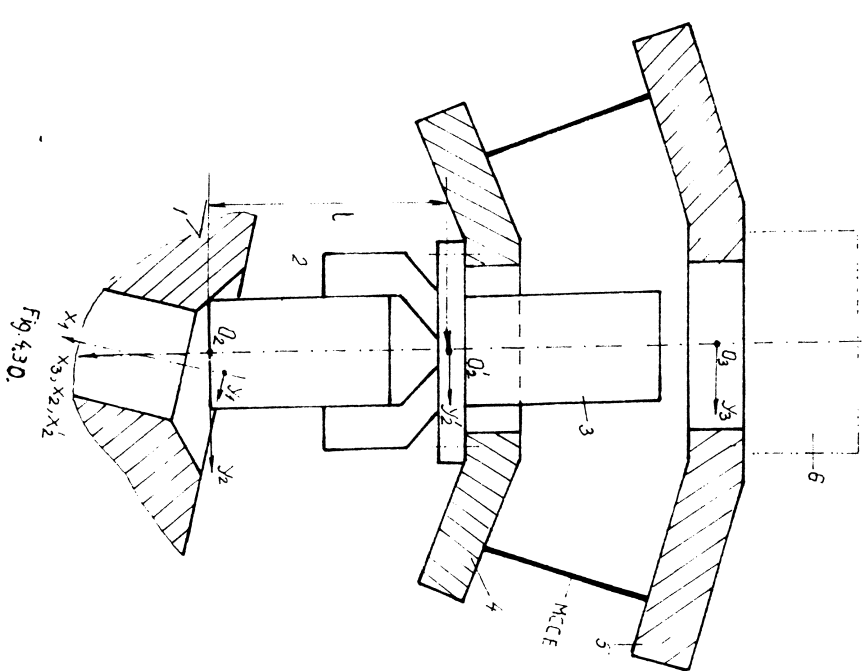
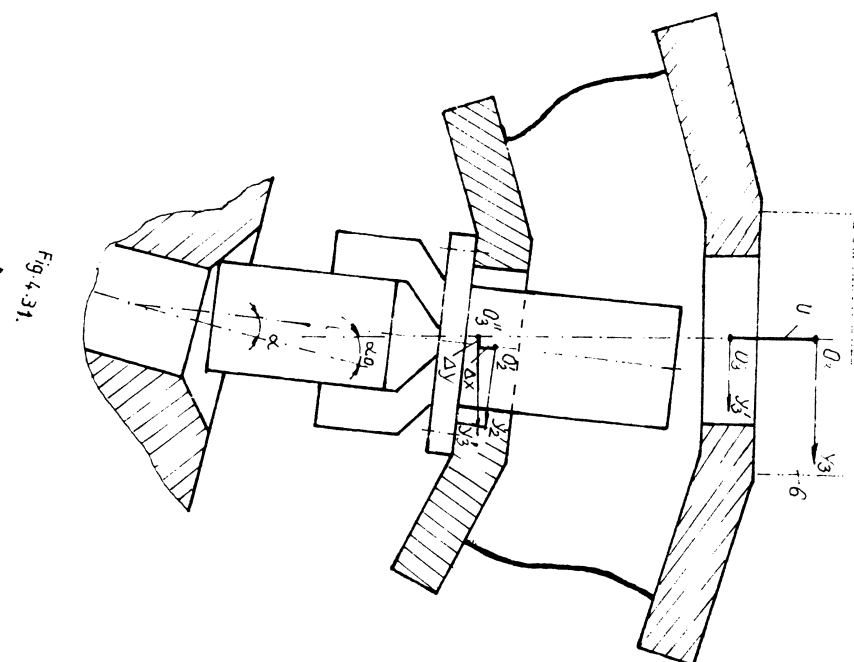
$$x_2^{(1)} = 1 * \cos\alpha + x_0^{(1)} \quad y_2^{(1)} = y_0^{(1)} * \sin\beta \quad (4.75)$$

$$x_2^{(1)} = 1 * \sin\alpha + y_0^{(1)} + y_0^{(2)} * \cos\beta \quad (4.76)$$

Scriind relatiile anterioare pentru doua pozitii succesive si utilizind relatie (4.62) se poate determina relatie de legatura intre deplasarea pe verticala a DP si cota de insertie h :

$$u * \cos\beta = h * \cos\alpha - h_0 * \cos\alpha_0 + (\sin\alpha_0 - \sin\alpha) * d/2 - 1 * (\cos\alpha - \cos\alpha_0) + \Delta y * \sin\beta \quad (4.77)$$

$$u * \sin\beta = h * \sin\alpha - h_0 * \sin\alpha_0 + d * (\cos\alpha - \cos\alpha_0)/2 + 1 * (\sin\alpha_0 - \sin\alpha) - \Delta y * \cos\beta \quad (4.78)$$



In cazul insertiei cu contact in doua puncte, relatia (4.77) ramane valabila.La aceasta se adauga relatia de legatura geometrica care descrie existenta contactului in cele doua puncte:

$$h=0/\sin\alpha_0 = d/\tan\alpha_0 + a/\tan\varphi \quad (4.79)$$

Modelul geometric descris a avut la baza considerentul de "centru elastic".S-ar putea considera ca acest lucru reprezinta o particularizare a problemei.In scopul elucidarii acestui aspect se considera in cele ce urmeaza cazul general al asamblarii (fig.4.30).Piesa 2 este prehensata in efectorul 2 solidarizat cu biela rigida 4 a MCCE.Elementul rigid 5 din componenta MCCE este solidarizat cu dispozitivul de ghidare 6.

Se ataseaza,componentelor ansamblului,sistemele de coordinate:

- $O_1X_1Y_1Z_1$ -atasat alezajului 1

- $O_2X_2Y_2Z_2$ si $O_2^1X_2^1Y_2^1Z_2^1$ -atasate ansamblului stift-efector-bielă rigida.Originea sistemului (O_2) coincide cu centrul de masa al acestui ansamblu si este echivalentul centrului elastic

- $O_3X_3Y_3Z_3$ -atasat elementului rigid 5 al MCCE.

Contactul bac-piesa 2 se considera ideal adica nu exista alunecare intre ele.

Avind in vedere notatiile din fig.4.30, comparativ cu cele din fig.4.25-4.29, se poate constata ca relatiile de calcul ce descriu contactul intim stift-alezaj raman valabile si in acest caz.

Pozitia bielei 4 fata de elementul de baza 5 este descrisa de pozitia sistemului de axe (O_2) fata de sistemul (O_3) (fig.4.31)

$$x_{O_2}^{(3)} = l_0 - \Delta x^{(3)} * \cos\alpha - \Delta y^{(3)} * \sin\alpha \quad (4.80)$$

$$y_{O_2}^{(3)} = -\Delta x^{(3)} * \sin\alpha - \Delta y^{(3)} * \cos\alpha \quad (4.81)$$

Descriind miscarea de avans a stiftului 2 fata de sistemul de axe (O_1) relatiile anterioare devin :

$$x_{O_1}^{(3)} = x_{O_3}^{(1)} + l_0 - \Delta x^{(3)} * \cos\alpha - \Delta y^{(3)} * \sin\alpha \quad (4.82)$$

$$y_{O_1}^{(3)} = y_{O_3}^{(1)} - \Delta x^{(3)} * \sin\alpha + \Delta y^{(3)} * \cos\alpha \quad (4.83)$$

Din inlocuirea relatiilor (4.82) si (4.83) in (4.66)-(4.68) se constata ca se obtin relatii identice cu cele ale modelului geometric pe baza de centru elastic.Se impune observa-

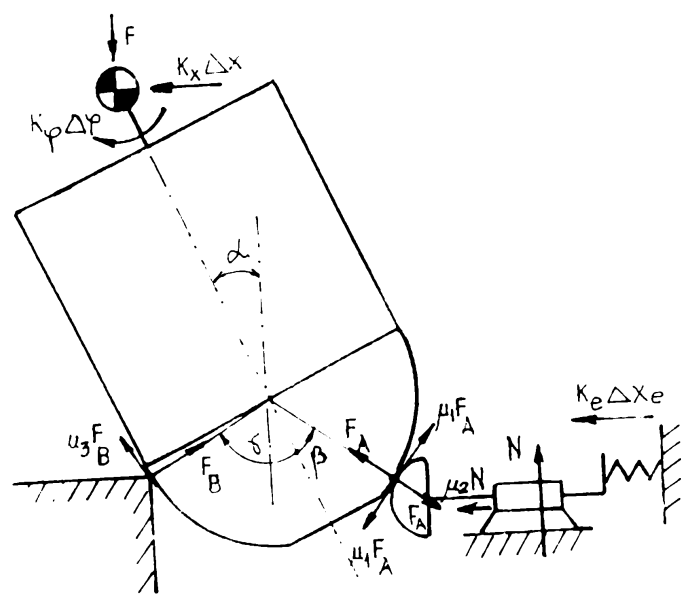


Fig. 4.32.

tia ca este necesara respectarea sensului noilor notatii.

Se poate concluziona ca modelul geometric descris pe baza centrului elastic nu si-a restrins generalitatea.

4.4.3. Modelul dinamic

4.4.3.1. Modelul dinamic al asamblarii stift rigid-alezaj elastic.

Stabilirea unor elemente caracteristice pentru mecanismul compliant sau pentru cinematica montajului se poate face numai pe baza considerarii modelului dinamic al asamblarii.

Descrierea modelului dinamic se realizeaza in urmatoarele ipoteze:

- regimul de lucru este cvasistatic
- coeficientii de fricare sunt constanti pentru un acelasi cuplu de materiale
- deformatiile alezajului sunt in domeniul elastic
- ipotezele clasice privind rezistenta materialelor sunt verificate.

In fig.4.32 se prezinta schema cinematica echivalenta pentru ansamblul stift-alezaj semielastic (var.a) si reactiunile din punctele de contact datorate fortele de asamblare F.

Relatiile care descriu echilibrul sistemului stift-alezaj sunt urmatoarele:

$$F_B * (\sin \delta - \mu_3 * \cos \delta) = F_A * (\sin \beta - \mu_1 * \cos \beta) - K_x * \Delta x \quad (4.84)$$

$$F_B * (\sin \delta - \mu_3 * \cos \delta) * (l_c + R * \cos \delta) - F_A * (\sin \beta - \mu_1 * \cos \beta) * (l_c + R * \cos \beta) + K_p * (\alpha_0 - \alpha) = 0 \quad (4.85)$$

$$F_A * [\sin(\alpha + \beta) - \mu_1 * \cos(\alpha + \beta)] - \mu_2 * N = K_e * \Delta x_e \quad (4.86)$$

$$F_A * [\cos(\alpha + \beta) + \mu_1 * \sin(\alpha + \beta)] = N \quad (4.87)$$

$$F = F_A * (\cos \beta + \mu_1 * \sin \beta) + F_B * (\cos \delta + \mu_3 * \sin \delta) \quad (4.88)$$

unde: F_A, F_B, N - reactiunile in punctele de contact

K_x, K_p, K_e rigiditatatile efective ale MCDE respectiv ale alezajului elastic

μ_1, μ_2, μ_3 coeficienti de fricare

Din relatiile (4.70) si (4.71) se determina reactiunea in punctul de contact A:

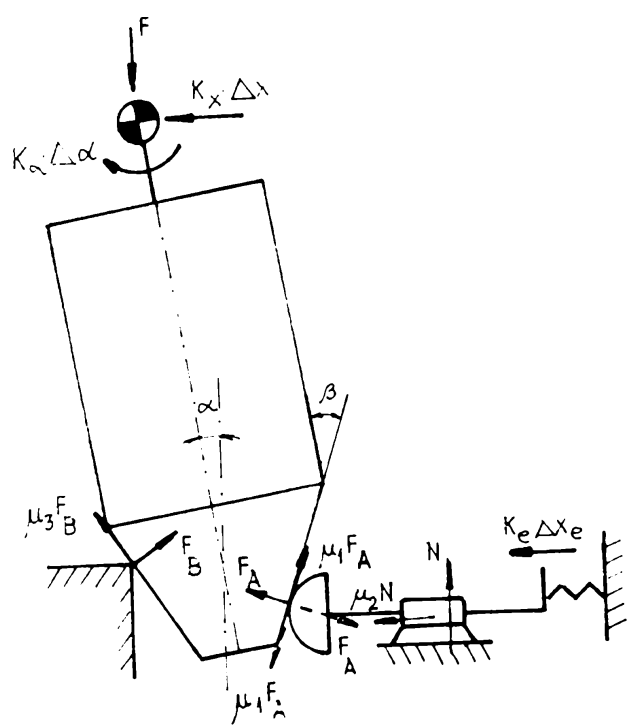


Fig. 4.33

$$F_A = \frac{K_e * \Delta x_e}{(1 - \mu_1 * \mu_2) * \sin(\alpha + \beta) + (\mu_1 + \mu_2) * \cos(\alpha + \beta)} \quad (4.89)$$

Conditia de existenta a relatiei (4.89) se exprima prin:

$$A = (1 - \mu_1 * \mu_2) * \sin(\alpha + \beta) + (\mu_1 + \mu_2) * \cos(\alpha + \beta) > 0 \quad (4.90)$$

$$\operatorname{tg}(\alpha + \beta) > \frac{\mu_1 + \mu_2}{1 - \mu_1 * \mu_2} \quad (4.91)$$

$$\beta_{\min} > \arctg\left(\frac{\mu_1 + \mu_2}{1 - \mu_1 * \mu_2}\right) \quad (4.92)$$

Comparind relatiile (4.92) si (4.30) (din modelul geometric) se determina conditia limitativa de contact in punctul A.

Din relatiile (4.84) si (4.89) se determina reactiunea in punctul de contact B:

$$F_B = \frac{K_x * \Delta x * A + K_e * \Delta x_e * (\sin \beta - \mu_1 * \cos \beta)}{(\sin \gamma - \mu_3 * \cos \gamma) * A} \quad (4.93)$$

Existenta relatiei (4.93) impune in plus fata de relatia (4.92) si conditia:

$$\sin \gamma - \mu_3 * \cos \gamma > 0 \quad (4.94)$$

$$\gamma_{\min} = \arctg(\mu_3) \quad (4.95)$$

Reactiunile in punctele de contact si fortele exteroare care intervin pe parcursul asamblarii stift rigid (variac)-alezaj plastic sunt prezentate in fig.4.33.

Starea de echilibru a stiftului la un moment dat este descrisa de ecuatii:

$$F_A * [\cos(\beta - \alpha) - \mu_1 * \sin(\beta - \alpha)] - \mu_2 * N = K_e * \Delta x_e \quad (4.96)$$

$$F_A * [\sin(\beta - \alpha) + \mu_1 * \cos(\beta - \alpha)] - N = 0 \quad (4.97)$$

$$F_B * (\cos \beta - \mu_3 * \sin \beta) - F_A * (\cos \beta - \mu_1 * \sin \beta) - K_x * \Delta x = 0 \quad (4.98)$$

$$F_B * (\cos \beta - \mu_3 * \sin \beta) - F_A * (\sin \beta + \mu_1 * \cos \beta) = 0 \quad (4.99)$$

$$F_B * (\cos \beta - \mu_3 * \sin \beta) * (l_c + l_{2x} * \cos \beta) - F_A * (\cos \beta - \mu_1 * \sin \beta) * (l_c + l_{1x} * \cos \beta) + K_d * (\alpha_0 - \alpha) = 0 \quad (4.100)$$

Din relatiile (4.96)-(4.98) se pot determina reactiunile in punctele de contact:

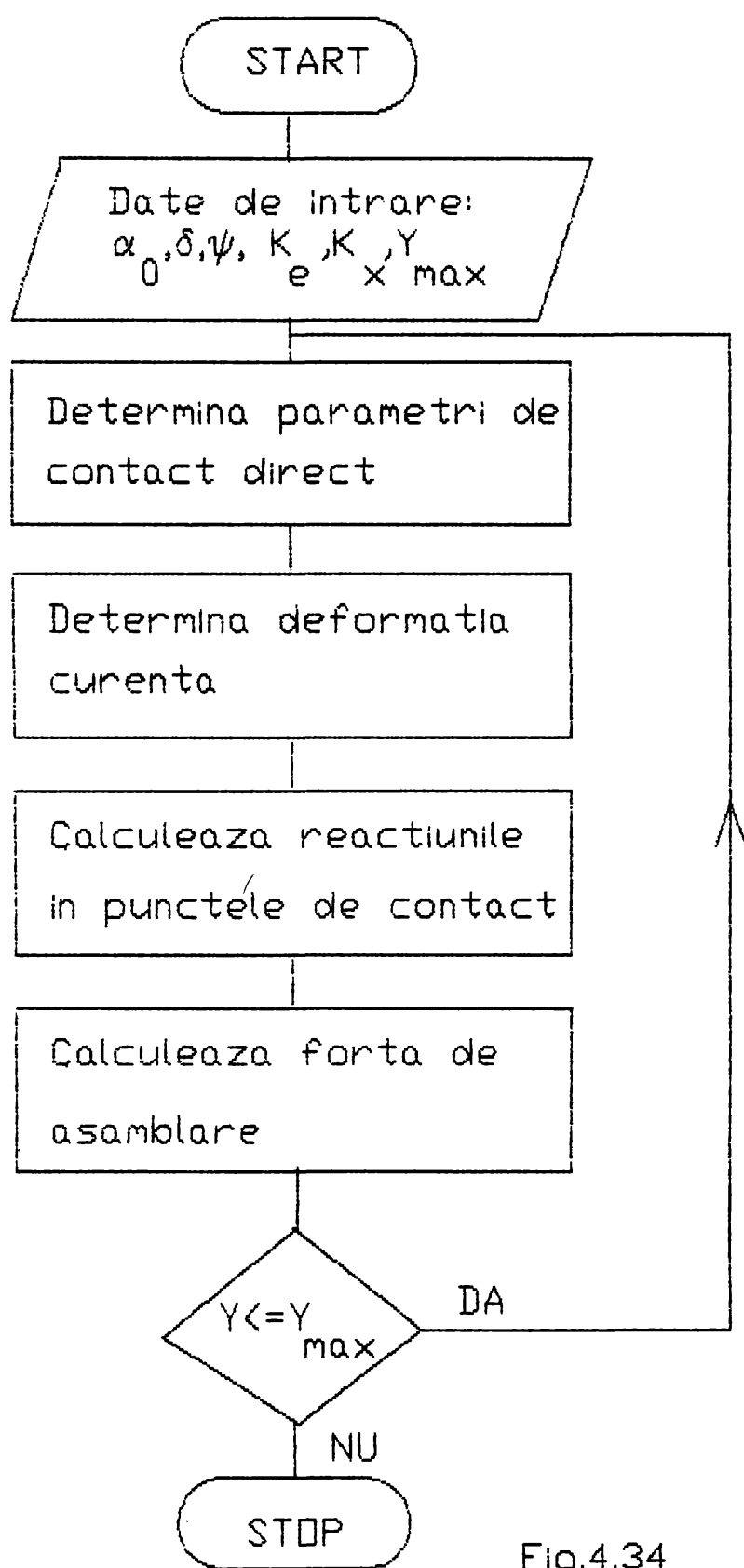


Fig.4.34

$$F_A = \frac{K_e * \Delta x_e}{(1 - \mu_1 * \mu_2) * \cos(\beta - \alpha) + (\mu_1 + \mu_2) * \sin(\beta - \alpha)} \quad (4.101)$$

$$F_B = \frac{K_x * \Delta x * B + K_e * \Delta x_e * (\cos \beta - \mu_1 * \sin \beta)}{(\cos \beta - \mu_1 * \sin \beta) * B} \quad (4.102)$$

$$B = (1 - \mu_1 * \mu_2) * \cos(\beta - \alpha) + (\mu_1 + \mu_2) * \sin(\beta - \alpha) \quad (4.103)$$

Existenta relatiilor (4.101) si (4.102) impune satisfaceerea urmatoarelor conditii:

$$B > 0 ; \quad \tan(\beta - \alpha) < \frac{1 - \mu_1 * \mu_2}{\mu_1 + \mu_2} \quad (4.104)$$

$$\cos \beta - \mu_1 * \sin \beta > 0 ; \quad \tan \beta < 1/\mu_1 \quad (4.105)$$

Din relatiile anterioare (4.104) si (4.105) se determina conditiile limitative privind contactul initial:

$$\alpha_{\max} = -\arctan\left(\frac{1 - \mu_1 * \mu_2}{\mu_1 + \mu_2}\right) \quad (4.106)$$

$$\beta_{\max} = \arctan(1/\mu_1) \quad (4.107)$$

Rezolvarea analitica a relatiilor din modelul dinamic complectate cu cele din modelul geometric este imposibila din cauza neliaritatii si a transcendentelor ecuatiilor. Din acest motiv se recurs la metodele numerice de rezolvare a problemelor.

Organograma de simulare a procesului de asamblare stift rigid-alezaj elastic este prezentata in fig.4.34 iar programul realizat este dat in anexa.

In urma simularii se obtin informatii privind forta de asamblare F, reactiunile din punctele de contact, deformatiile curente ale alezajului semielastic, deplasarile realizate de MCE.

4.4.3.2. Modelul dinamic al asamblarii stift rigid-alezaj rigid

La stabilirea modelului dinamic al asamblarii stift rigid-alezaj rigid se au in vedere urmatoarele ipoteze simplificatorii:
 -stiftul si alezajul sunt perfect rigide
 -nu exista alunecare intre stift si bacurile efectelor
 -coeficientii de fricare sunt constanti
 -contactul stift-alezaj este punctiform
 -ipotezele clasice privind rezistenta materialelor sunt verificate

cata

-asamblarea stift-alezaj se realizeaza conform modelului geometric bazat pe centrul elastic

Schimba echivalenta plana a MCCE este prezentata in fig.4.35.

Misarea stiftului fata de alezaj este descriisa in general de ecuatiile:

$$\sum_{\text{I}}^n F_{ix} = m * \ddot{x} \quad (4.108)$$

$$\sum_{\text{I}} F_{iy} = m * \ddot{y} \quad (4.109)$$

$$\sum_{\text{I}} M_{ice} = J_{ce} * \ddot{\alpha} \quad (4.110)$$

unde:- F_{ix}, F_{iy} - sint componenteile fortelelor ce actioneaza asupra stiftului pe directiile x,y

- m - masa ansamblului stift-ejector-bieia rigida a MCCE

\ddot{x}, \ddot{y} - acceleratiile stiftului dupa directiile x,y

- M_{ice} - momentele dezvoltate asupra stiftului de catre fortele de contact si MCCE conform schemei echivalente

- J_{ce} - momentul de inertie al ansamblului stift-ejector-bieia rigida a MCCE

Consideram in continuare ca procesul de asamblare decurge dupa un proces cvasistatic.In acest caz $\ddot{x}=\ddot{y}=\ddot{\alpha}=0$.

Faza de contact initial intr-un punct A cu indicarea fortelelor in punctele de contact este prezentata in fig.4.36.

Echilibrul sistemului este descris de sistemul de ecuatii:

$$F * \cos \beta + K_y * \Delta Y * \sin \beta + G - N * \cos(\varphi - \psi) / \cos \psi = 0 \quad (4.111)$$

$$F * \sin \beta - K_y * \Delta Y * \cos \beta + N * \sin(\varphi - \psi) / \cos \psi = 0 \quad (4.112)$$

$$N * [\sin(\varphi + \alpha - \psi) * (1 - a / \tan \varphi) - \cos(\varphi + \alpha - \psi) * (d/2)] / \cos \psi - K_y * \alpha * (\varphi_0 - \alpha) - G * (1 - L) * \sin \alpha = 0 \quad (4.113)$$

unde:- N - este reactiunea in punctul de contact A

- $\mu = \tan \psi$ - coeficientul de fricare dintre stift si alezaj

- K_y , K_y - rigiditatea pe directia y, respectiv in jurul axei z prezentata de MCCE

- $\Delta Y, \Delta \alpha$ - deplasarile centrului elastic

Relatiilor (4.111)-(4.113) li se adauga relatia de legatura geometrica (4.69).

Din relatiile (4.111) si (4.112) dupa transformari se obtine:

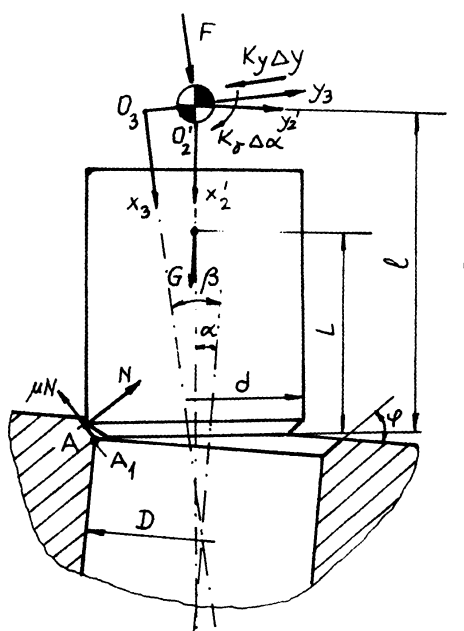


Fig.4.37

$$N = \frac{(F + G \cos \beta) * \cos \gamma}{\cos(\varphi + \beta - \psi)} \quad (4.114)$$

$$K_y * \Delta Y = \frac{F * \sin(\beta + \varphi - \psi) + G * \sin(\varphi - \psi)}{\cos(\varphi + \beta - \psi)} \quad (4.115)$$

Relatiile anterioare permit introducerea unor conditii limitative pentru parametri caracteristici ai MCCE astfel incit in punctul A; unghiul $\alpha > 0$, $\Delta Y < \Delta y_1$ -corespunzator unui unghi $\alpha = 0$. Aceste conditii se introduc in ideea sa nu existe o basculare a stiftului in procesul de asamblare.

In fig.4.37 se prezinta urmatoarea faza a insertiei cu stiftul realizind contactul pe generatoarea sa intr-un singur punct. Starea de echilibru a stiftului este descrisa de sistemul de ecuatii transcendentale:

$$N + F * \sin(\beta - \alpha) - K_y * \Delta Y * \cos(\beta - \alpha) - G * \sin \alpha = 0 \quad (4.116)$$

$$F * \cos(\beta - \alpha) + G * \cos \alpha - \mu * N = 0 \quad (4.117)$$

$$N * [(1-h) - \mu * d/2] - K_y * \Delta \alpha - G * (1-L) * \sin \alpha = 0 \quad (4.118)$$

Semnificatiile marimilor care intervin in relatiile prezentate sunt cele din cazurile anterioare.

Relatiilor anterioare (4.116)-(4.118) se adauga relatia geometrica (4.77) care exprima legatura intre translatia efectuului si parametri geometrici care descriu pozitia stiftului.

Din faza de insertie anterioara se poate ajunge in faza de contact in doua puncte, A si B, pe generatoarea alezajului. In fig.4.38 se prezinta starea de contact a celor doua piese de asamblat cu indicarea reactiunilor si a fortelelor exterioare. Cel de-al doilea punct de contact B se gaseste ca punct final al fazii precedente pentru adincimea de patrundere:

$$h_{03} = D / \sin \alpha_{03} - a / \tan \alpha_{03} + a / \tan \varphi \quad (4.119)$$

unde α_{03} reprezinta unghiul dintre axele celor doua piese de asamblat.

Starea de echilibru a stiftului este descrisa de urmatorul sistem de ecuatii:

$$F * \cos \beta + K_y * \Delta Y * \sin \beta - \mu * N_2 - N_1 * \sin(\alpha + \psi) + G = 0 \quad (4.120)$$

$$F * \sin \beta - K_y * \Delta Y * \cos \beta - N_2 + N_1 * \cos(\alpha + \psi) = 0 \quad (4.121)$$

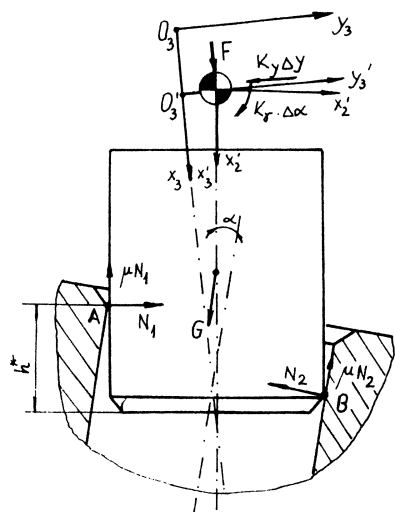


Fig.4.38

$$N_1*(1-h-\mu*d/2) + N_2*[+1*\cos(\alpha + \gamma) + d*\sin(\alpha + \gamma)/2] + G*(1-L)*\sin\alpha - K_f*(\alpha_0 - \alpha) = 0 \quad (4.122)$$

Semnificatiile marimilor care intervin sint cele din cazurile precedente si din fig.4.38.

Relatiilor anterioare li se adauga relatia de legatura geometrica (4.77).

In relatiiile anterioare s-a considerat ca in ambele puncte de contact coeficientii de frecare sint aceiasi $\mu_1 = \mu_2 = \mu$

Cu ajutorul relatiilor specificate se poate descrie, printr-o succesiune de pozitii de echilibru, dinamica asamblarii stift-alezaj.

In procesul de asamblare stift-alezaj se trece dintr-o situatie de contact, de anumiti parametri, in alta situatie caracterizata de alti parametri. Este necesar ca modelul/mathematic sa prevada conditiile de verificare a trecerii dintr-o situatie de contact in alta.

Prin calculul coordonatei $x_A^{(1)}$, a punctului de contact A de pe sanfrenul alezajului, se obtine informatia necesara privind eventuala terminare a primei faze de contact.

A doua faza de contact pe generatoarea stiftului impune sa se realizeze conditiile:

$$N > 0 \quad (4.123)$$

$$y_B^{(1)} = D/2 \quad (4.124)$$

Daca $y_B^{(1)}$ reprezinta coordonata punctului B a stiftului in sistemul de axe (O_1) .

Inceputul celei de-a treia faze de contact (in doua puncte) este verificat prin existenta inecuatilor:

$$N_{11} > 0 \quad (4.125)$$

$$N_{21} > 0 \quad (4.126)$$

$$y_B^{(1)} = D/2 \quad (4.127)$$

Rezolvarea analitica a ecuatiilor modelului dinamic si geometric nu este posibila. Din acest motiv s-a recurs la utilizarea metodelor numerice.

Datele de intrare pentru realizarea modelului sint urmatoarele:

- traекторia efectelor in sistemul de axe (O_1)

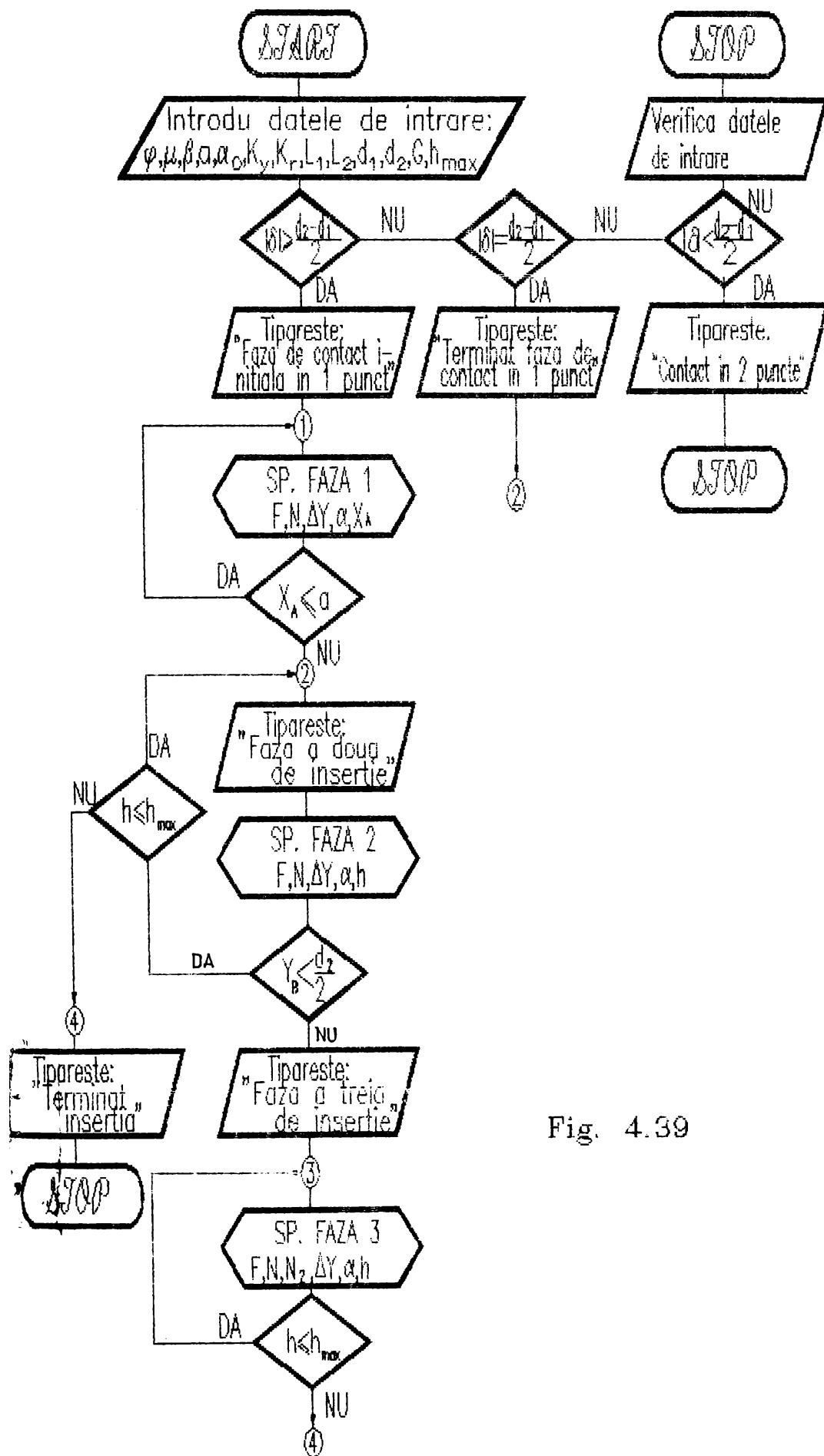
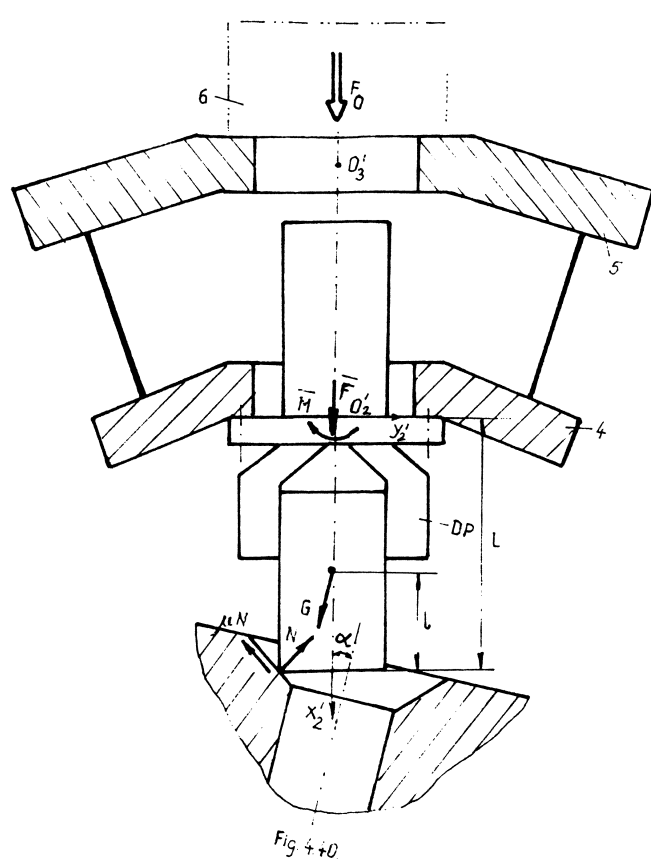


Fig. 4.39



- rigiditatile echivalente K_y, K_θ ale MCCE
- coeficientii de frecare stift-alezaj
- elementele geometrice caracterizind dimensiunile stiftului si ale alezajului
- eroarea de situare ce caracterizeaza finalul etapei de "transport"

In urma calculelor se determina reactiunile N in punctele de contact, forta F necesara pentru a realiza insertia, valorile deplasarilor permise de MCCE (ΔY si $\Delta \alpha$), parametri cinematici ai stiftului pe durata asamblarii, coordonatele in punctele de contact.

Rezolvarea numerica a sistemelor de ecuatii prezentate are la baza metoda Newton pentru sisteme de ecuatii neliniare si ecuatii transcendentale /D27/.

Organograma de calcul bazata pe modelele enuntate este prezentata in fig.4.39. Programul de simulare scris in limbaj BASIC pentru calculatorul TIMS este prezentat in anexa.

Abordarea modelului dinamic prin renuntarea la noțiunea de "centrui elastic" impune unele modificari.

Pentru a evidenta aceste modificari si a prezinta principial metoda, reconsideram contactul pe sanfren in punctul A (conform geometriei din fig.4.30). In fig.4.40 se indica aceasta stare si fortele din punctul de contact. Ipotezele de lucru au ramas aceleasi din modelul anterior.

Actiunea dispozitivului de ghidare (DG) asupra MCCE este reprezentata prin forta F_0 . La rindul sau MCCE actioneaza asupra ansamblului efector-stift prin torsorul (\bar{F}, \bar{M}) pe care il consideram aplicat in punctul O_2 .

Starea de echilibru a stiftului este descrisa de sistemul de ecuatii:

$$F_x + G - N \cos(\varphi - \psi) = 0 \quad (4.128)$$

$$F_y + N \sin(\varphi - \psi) = 0 \quad (4.129)$$

$$M_z - \sum M(N) - M(G) = 0 \quad (4.130)$$

$$f(u, \Delta y, \alpha) = 0 \quad (4.131)$$

Unde: $-\psi = \operatorname{arctg} \mu$

- $M(N)$ suma momentelor, in raport cu $O_2 z_2^1$, datorate reactiunii N si fortei de frecare
- $M(G)$ - momentul datorat fortei de greutate in raport cu

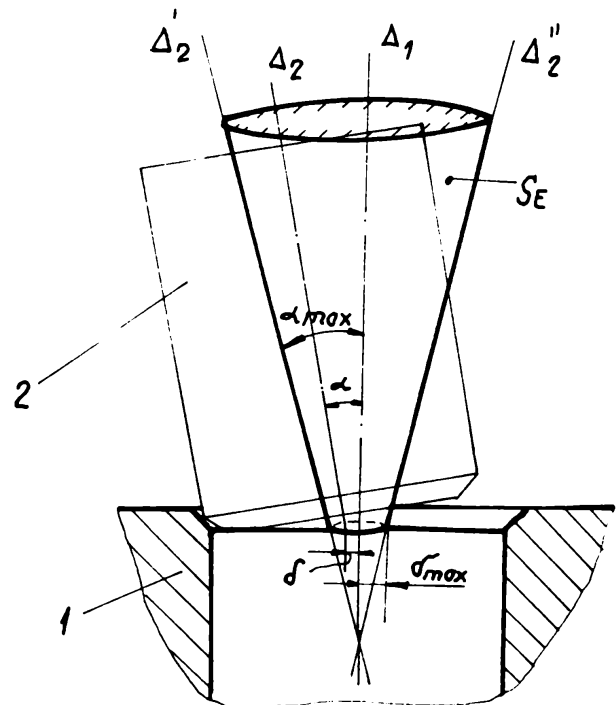


Fig.4.41

cu O_2z_2

$f(u, \Delta y, \alpha)$ - relatia de legatura geometrica intre deplasarea pe verticala impusa "u" si deplasarile " Δy ", " α " realizate de MCCE

Starea de echilibru a stiftului este simultana cu starea de echilibru a MCCE.

Pentru a aborda studiul echilibrului mecanismului cu cupluri cinematice elastice se aplica una din metodele specifice: metoda elementului finit, metoda structurilor static nedeterminate etc.

4.5. ESTIMAREA SPATIULUI ADMISIBIL PENTRU ERORILE DE SITUARE IN ASAMBLAREA STIFT RIGID-ALEZAJ RIGID.

In fig.4.41 se prezinta stiftul 2 intr-o pozitie carecare fata de alezajul 1, la sfirsitul miscarii de manipulare, indicindu-se eroarea de pozitionare (δ) si eroarea de orientare (α).

Pentru a fi posibila asamblarea stift-alezaj este necesara existenta unei "automata" a stiftului spre centrul alezajului ca urmare a fortelor de contact care apar intre ele. Alunecarea mai este asigurata daca punctul de contact A se gaseste pe sanfren, adica:

$$\delta \leq (D - d * \cos \alpha) / 2 + a \quad (4.132)$$

unde notatiile au semnificatia din fig.4.41.

Spatiul delimitat de pozitiile extreme ale dreptei caracteristice Δz si ale punctului O_2 defineste spatiul erorilor Se intenționeaza ca este posibila compensarea erorilor pe cale pasiva (fig.4.41).

Unghiul α_{max} se determina din conditia indeplinirii restrictiilor privind realizarea fazei de contact pe generatoare:

$$\alpha_{max} = \arccos (d/D) \quad (4.133)$$

Pe baza valorii maxime a unghiului α se determina eroarea maxima de pozitionare admisibila:

$$\alpha_{max} = \frac{D^2 - d^2}{2*D} + a \quad (4.134)$$

Relatiile anterioare permit determinarea limitei inferioare a sanfrenului astfel incit sa fie posibila asamblarea.

S. SINTEZA OPTIMALA A MECANISMELOR CU CUPLE CINEMATICE ELASTICE UTILIZATE LA OPERATII DE MONTAJ

S.1. INTRODUCERE

Mecanismele cu cuple cinematice elastice se aseamana intre ele din punctul de vedere ai principiului de functionare:deforma-re elementelor elastice ,in mod constrins,datorita fortelelor exterioare.

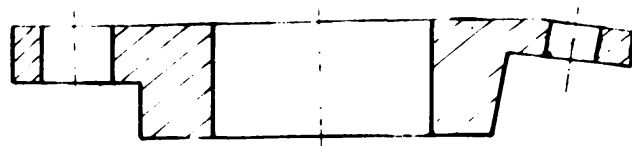
Unele diferente functionale - numar de miscari permise - apar functie de elementele elastice folosite.Sintza structurala a MCCE se ocupa de aceste aspecte.

Din punct de vedere dinamic elasticitatea sistemului nu poate fi arbitrara.O elasticitate mica implica solicitari mari in piesele de asambiat in timp ce o elasticitate mare face sensibil sistemul la factorii perturbatori (inertie,vibratii) sau permite deplasari necontrolate in procesul de compensare.Mecanismul cu 'cuple cinematice elastice trebuie privit la proiectare ca un subansamblu ce influenteaza si este influentat de caracteristi-cile ansamblului (in componenta caruia intra) sau subansamblelor cu care este cuplat.Aceste aspecte sunt abordate de sintza dimensionala optimala a MCCE.

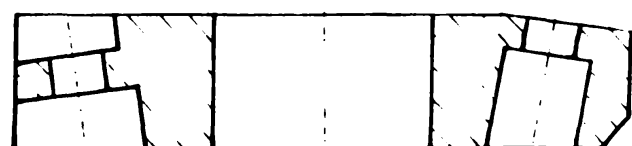
In general un proces sau fenomen are atasate la un moment dat mai multe variante.Din multimea "V" a variantelor posibile - optimizate fiecare in parte - trebuie aleasa varianta optima.Calitatea de optimalitate a variantei se stabileste in raport cu unui sau mai multe criterii.Aceste aspecte sunt abordate prin metodele de alegere optimala multicriteriala a unui proces.

S.2. SINTEZA STRUCTURALA A MCCE PENTRU OPERATII DE MONTAJ

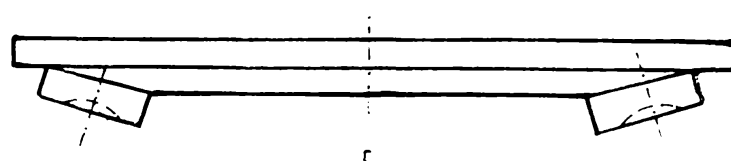
Abordarea din punct de vedere structural a MCCE impune pratarea pentru inceput a notiunilor de element rigid si element



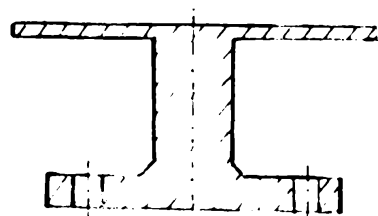
a



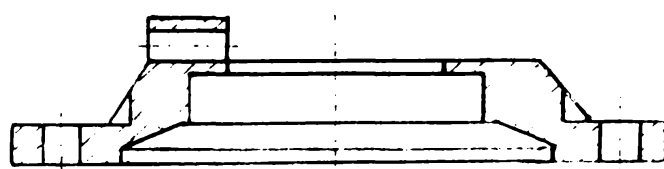
b



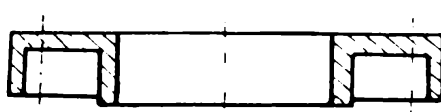
c



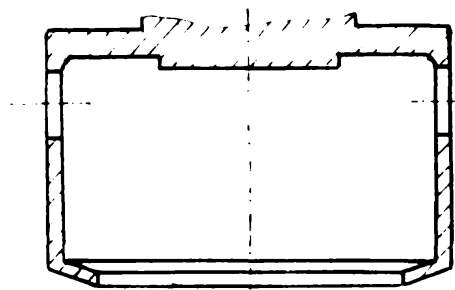
d



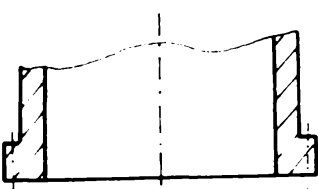
e



f



g



h

Fig.5.1

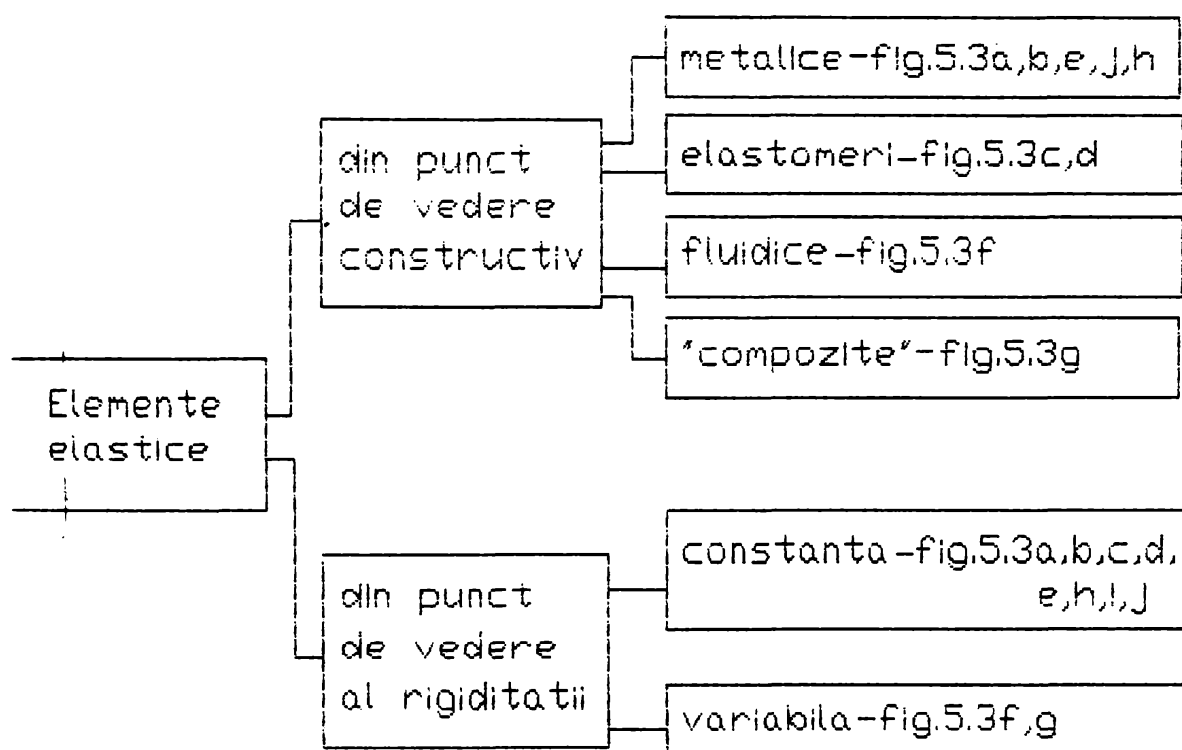


Fig.5.2

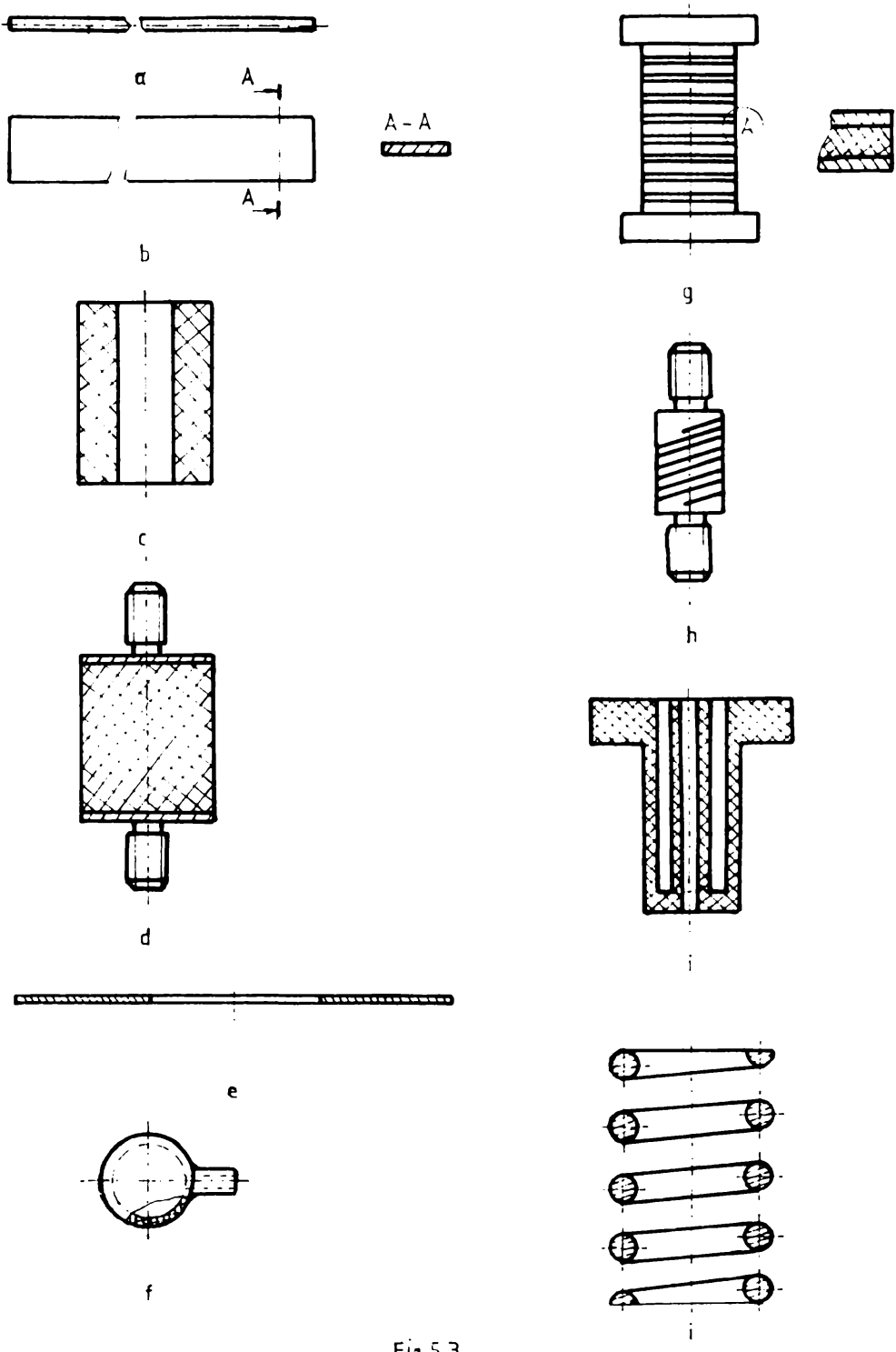


Fig.5.3

elastic.

Referitor la dispozitivele de compliantă, elementele rigide se realizează constructiv sub forma unor flanse de fixare a efectořului sau al întregului ansamblu fata de dispozitivul de ghidare al RI. În fig.5.1 se prezintă soluții constructive ale unor astfel de elemente. Aceste elemente rigide sunt elemente complexe de rang $j \geq 2$. Ele pot fi ternare ($j=3$) sau polinare (chiar cu rang $j=6$).

Elementele elastice sunt simple, de rang $j=2$ (binare). Clasificarea acestora este prezentată în fig.5.2. Elementele elastice metalice sunt realizate sub forma unor arcuri lameiare (de secțiune rotundă sau dreptunghiulară) arcuri elicoidiale cilindrice de întindere-compresiune, memorane metalice etc. Elementele elastice fluidice au la bază incinte deformabile umplute cu lichid sau gaz și aflate în legătură cu o sursă de presiune. Prin modificarea presiunii fluidului din incinta se modifică și elasticitatea elementului. Elementele elastice din cauciuc se realizează în general pe baza unor arcuri din cauciuc. Elementele elastice compozite se realizează prin dispunerea succesivă a unor bucăți din cauciuc între placi metalice, întreg ansamblui fiind apoi tensionat. Soluții privind astfel de elemente sunt prezentate în fig.5.3.

Pentru a face o distincție între elementele elastice și cele rigide se propune o simbolizare conform tabelului 5.1

Tabelul 5.1

Denumirea		Soluție constructivă	Simbol cinematic
Element rigid	mobil	fig.5.1	
	fix	fig.5.1	
Element elastic	rigid. const.	fig.5.3	
elastic	rigid. var.	fig.5.4	

Prin legarea împreună a elementelor elastice și rigide se obțin, ca și în cazul clasic, lanturile cinematice elastice

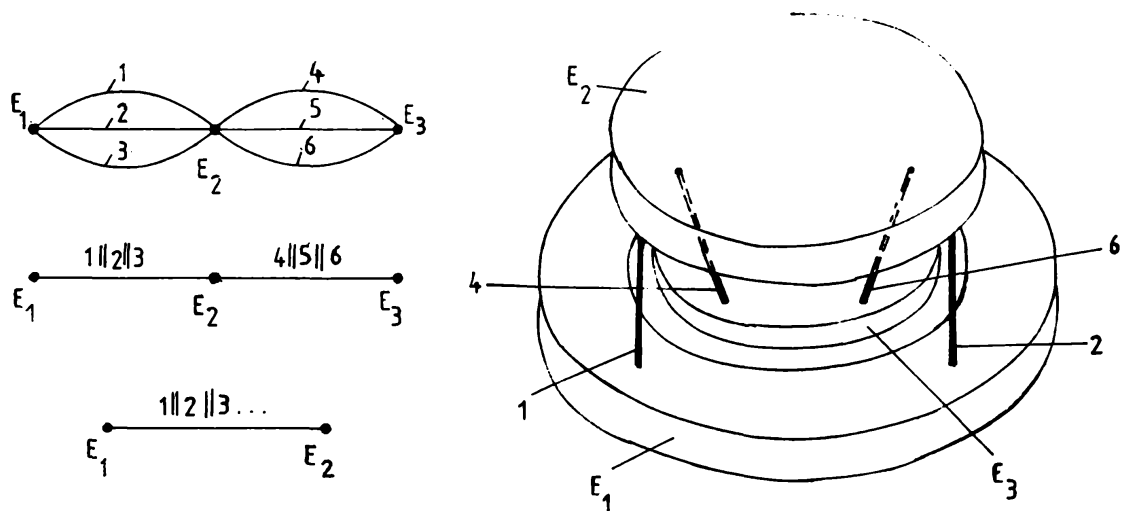


Fig.5.4.

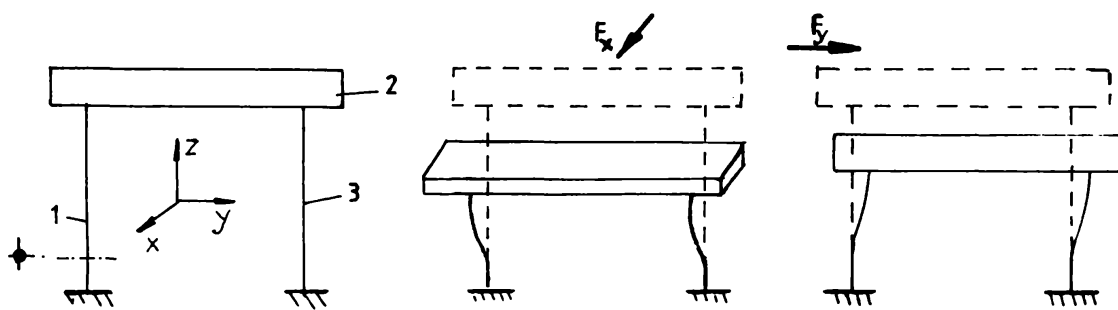


Fig.5.5.

complexe care stau la baza mecanismelor cu cupluri cinematice elastice. Referitor la MCCE pentru dispozitivele de compliantă, elementele elastice ale acestora se leagă în paralel iar închiderea lantului cinematic se realizează prin elemente rigide.

Reprezentarea grafică a structurii MCCE pentru dispozitivele de compliantă se poate efectua și prin utilizarea teoriei grafurilor fiind extrem de sugestivă la echivalarea mecanismului /M15/, /L2/. În fig. 5.4 se prezintă simbolizarea pe baza teoriei grafurilor a MCCE pentru o variantă a dispozitivului de compliantă RCC și modul de echivalare cu un singur element elastic.

În cadrul cap. 4 s-a efectuat analiza structurală a procesului de montaj stift-alezaj concluzionându-se că este necesară introducerea unui MCCE și stabilindu-se numărul gradelor de libertate ce se pot suprime astfel încât să nu poată fi efectuată. Înainte de a trece însă la stabilirea naturii și numărului conexiunilor cinematice elastice ce urmează să se introducă este necesar să se precizeze cîteva aspecte privind mobilitatea mecanismelor cu cupluri cinematice elastice.

Un MCCE din punctul de vedere al mecanismelor clasice este un rigid în care particule componente ocupă o poziție bine definită astfel încât energia potentială a sistemului să fie minima. MCCE va rămâne în aceasta stare atât timp cit nu va interveni din exterior o sursă de miscare și energie.

Dacă sursa de energie impune P_c parametri pozitionali elementului motor, noua poziție stabila atinsă de elementele MCCE se bucură deasemenea de proprietatea că energia potentială este minima. Conditia desmodromiei impune, spre deosebire de cazul clasic, să existe relația:

$$M_e \gg P_c \quad (5.1)$$

adică numărul gradelor de mobilitate elastice să fie mai mare sau egal cu numărul parametrii pozitionali impuși de sursa de miscare exterioară.

De exemplu MCCE paralelogram din fig. 5.5 are mobilitati după axa Ox și Oy . MCCE, datorită elasticitatii elementelor sale, va ocupa o poziție stabila fără ca mobilitatea după Oy să se facă simtita dacă asupra elementului 2 acionează forța F_x (și invers după Ox).

Avind în vedere cele afirmate, conditia de sinteza structurală (pentru MCCE destinate montajului stift-alezaj), privind

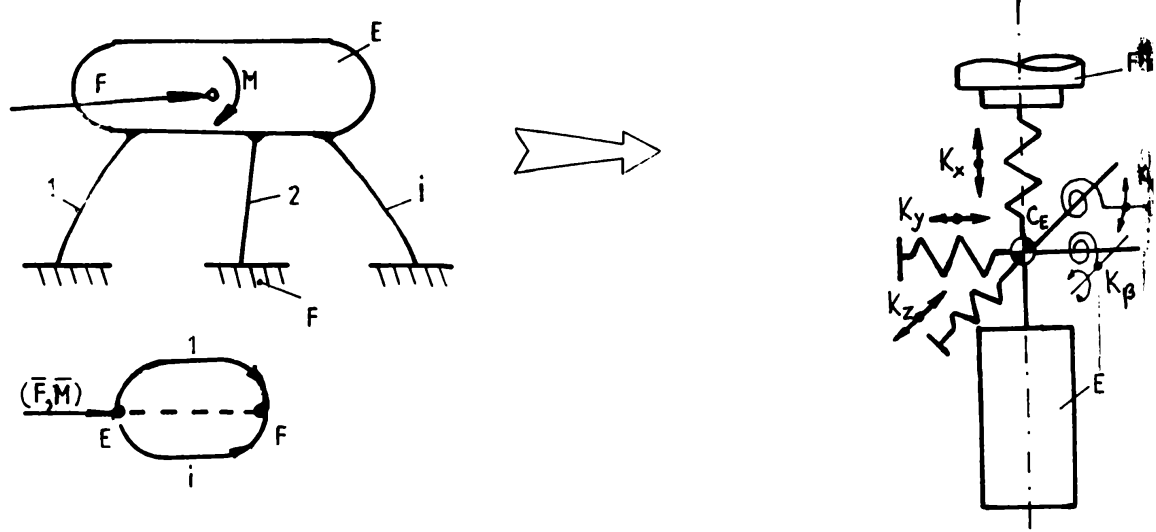


Fig.5.6.

conexiunile cinematice elastice ce urmeaza a se introduce, impun ca:

$$\sum L_{ke} > \max ((\sum L_{ke1}), (\sum L_{ke2})) \quad (5.2)$$

unde $\sum L_{ke1}, \sum L_{ke2}$ sunt sumele gradelor de libertate (pe faze) care pot fi limitate astfel incit asamblarea stift-alezaj sa fie posibila.

Introducind astfel intre dispozitivul de ghidare si efectuator un MCCE realizat pe baza unor conexiuni cinematice elastice $K_{el}(0)$ (elemente elastice metalice de sectiune rotunda) conditia de mobilitate elastica este indeplinita.

Numarul elementelor elastice n_e trebuie sa fie deci $n_e \geq 1$. Limitarea superioara este impusa din conditii privind elasticitatea necesara a MCCE.

Ca o concluzie finala este necesar a se mentiona faptul ca fortele de inertie ce actioneaza asupra elementului rigid din componenta MCCE il poate scoate din pozitia stabila initiala. Din acest motiv se recomanda sa existe sisteme exterioare de blocare a mobilitatilor elastice pe durata miscarilor de transport execute de RI.

5.3. Sinteză dimensionala a MCCE pe baza noțiunii de centru elastic

5.3.1. introducere

Consideram rigidul E solicitat de torsorul (\bar{F}, \bar{M}) si legat prin intermediul elementelor elastice 1,2 ... i de rigidul F. Ansamblul l-am denumit mecanism cu couple cinematice elastice (MCCE).

Aşa cum s-a aratat in cap.2 studiul miscarii rigidului E si sinteza MCCE se poate simplifica daca cele "i" elemente elastice se echivaleaza cu un singur element elastic pozitionat in centrul elastic al MCCE (fig.5.6).

5.3.2. Centrul elastic al unui MCCE

Consideram elementul elastic "i" (varianta a,b fig.5.3) din componenta unui MCCE .Axele elastice principale ale elementu-

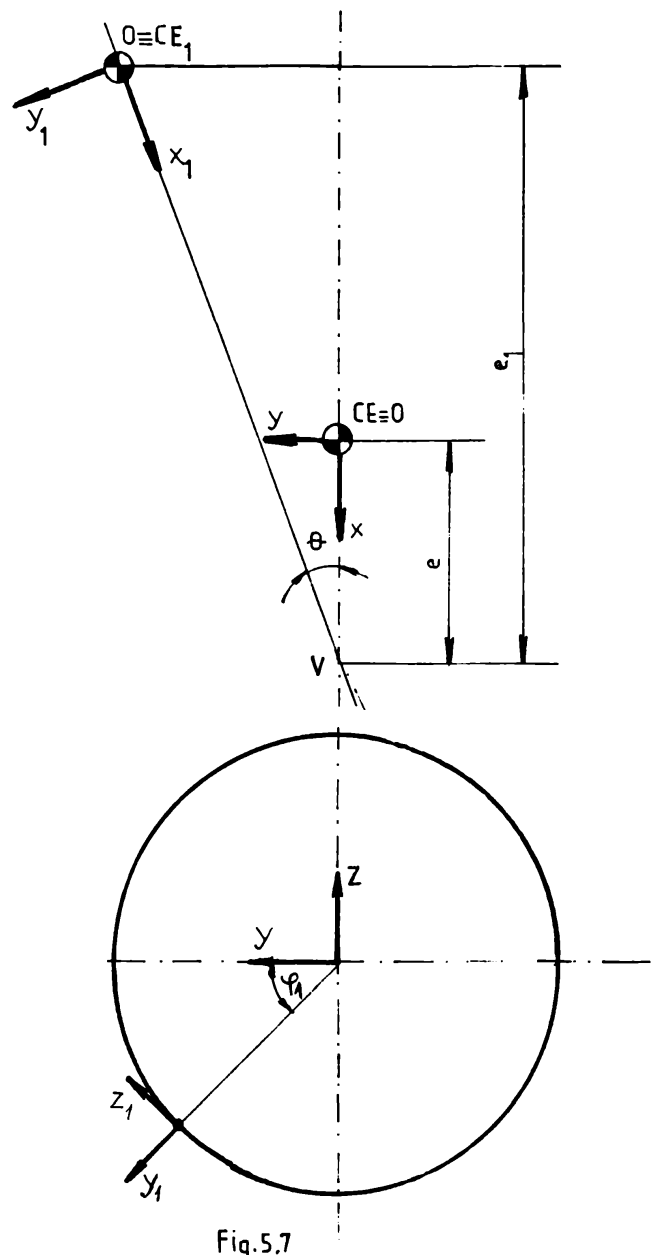


Fig.5.7

lui sint inclinate in raport cu sistemul de coordonate general Oxyz (fig.5.7). Originea O_i a axelor elastice principale se gaseste in centrul elastic C_{Ei} al elementului "i" iar axa $O_i x_i$ este orientata dupa lungimea acestuia. Acest element redus la "centrul sau elastic" prezinta rigiditatile $k_{xi}, k_{yi}, k_{zi}, k_{\alpha i}, k_{\beta i}, k_{\gamma i}$.

Facind analogie cu starea de tensiune spatiala, rigiditatatile axiale ale elementului elastic in triedrul Oxyz se pot exprima in functie de rigiditatatile k_{xi}, k_{yi}, k_{zi} dupa cum urmeaza:

$$\begin{aligned} k_{xi} &= k_{xi} \cdot a_{11} + k_{yi} \cdot a_{12} + k_{zi} \cdot a_{13} \\ k_{yi} &= k_{xi} \cdot a_{21} + k_{yi} \cdot a_{22} + k_{zi} \cdot a_{23} \\ k_{zi} &= k_{xi} \cdot a_{31} + k_{yi} \cdot a_{32} + k_{zi} \cdot a_{33} \\ k_{xyi} &= k_{xi} \cdot a_{11} \cdot a_{21} + k_{yi} \cdot a_{12} \cdot a_{22} + k_{zi} \cdot a_{13} \cdot a_{23} \\ k_{yzi} &= k_{xi} \cdot a_{21} \cdot a_{31} + k_{yi} \cdot a_{22} \cdot a_{32} + k_{zi} \cdot a_{23} \cdot a_{33} \\ k_{xzi} &= k_{xi} \cdot a_{11} \cdot a_{31} + k_{yi} \cdot a_{12} \cdot a_{32} + k_{zi} \cdot a_{13} \cdot a_{33} \end{aligned} \quad (5.3)$$

unde a_{ij} ($i, j = 1, 2, 3$) sint cosinusii directori la trecerea din triedrul $O_i x_i y_i z_i$ in Oxyz.

Orientarea triedrului $O_i x_i y_i z_i$ fata de Oxyz este data de unghiurile θ, φ_i (fig.5.7).

Matricile de rotatie vor fi:

$$M(z_i) = \begin{vmatrix} \cos \theta & -\sin \theta & 0 \\ \sin \theta & \cos \theta & 0 \\ 0 & 0 & 1 \end{vmatrix} \quad (5.4)$$

$$M(x_i) = \begin{vmatrix} 1 & 0 & 0 \\ 0 & \cos \varphi_i & -\sin \varphi_i \\ 0 & \sin \varphi_i & \cos \varphi_i \end{vmatrix} \quad (5.5)$$

si matricea rotatiei finale M:

$$M = \begin{vmatrix} \cos \theta & \sin \theta & 0 \\ -\sin \theta \cdot \cos \varphi_i & \cos \theta \cdot \cos \varphi_i & \sin \varphi_i \\ \sin \theta \cdot \sin \varphi_i & -\cos \theta \cdot \sin \varphi_i & \cos \varphi_i \end{vmatrix} \quad (5.6)$$

Relatiile (5.3) devin in acest caz urmatoarele:

$$k_{xi} = k_{xi} \cdot \cos^2 \theta + k_{yi} \cdot \sin^2 \theta$$

$$\begin{aligned}
 K_{yi} &= (k_{xi} * \sin^2\theta + k_{yi} * \cos^2\theta - k_{zi}) * \cos^2\varphi_i + k_{zi} \\
 K_{zi} &= (k_{xi} * \sin^2\theta + k_{yi} * \cos^2\theta) * \sin^2\varphi_i + k_{zi} * \cos^2\varphi_i \\
 K_{xyi} &= (-k_{xi} + k_{yi}) * \sin\theta * \cos\theta * \cos\varphi_i \\
 K_{yzi} &= (-k_{xi} * \sin^2\theta - k_{yi} * \cos^2\theta + k_{zi}) * \sin\varphi_i * \cos\varphi_i \\
 K_{xzi} &= (k_{xi} - k_{yi}) * \sin\theta * \cos\theta * \sin\varphi_i
 \end{aligned} \tag{5.7}$$

Avind în vedere definirea centrului elastic, poziția acestuia se determină din condiția anularii momentelor forțelor elastice (față de axele triedrului Oxyz) dacă se da rigidului E o mișcare de translație δ_y sau δ_z .

Presupunând o dispernare simetrică a celor "n" elemente elastice, centrul elastic al MCCE se va găsi pe axa Ox și situat la distanța "e" de punctul de intersecție V al prelungirilor elementelor elastice.

Folosind notatiile din fig.5.7 (pentru "n" elemente elastice) se calculează momentele forțelor elastice pentru o mișcare de translație δ_y :

$$\begin{aligned}
 M_z &= \sum_1^n F_{yi} * (e - e_i) - \sum_1^n F_{xi} * e_i * \operatorname{tg}\theta * \cos\varphi_i \\
 M_y &= \sum_1^n F_{zi} * (e - e_i) + \sum_1^n F_{xi} * e_i * \operatorname{tg}\theta * \sin\varphi_i \\
 M_x &= \sum_1^n F_{zi} * e_i * \operatorname{tg}\theta * \cos\varphi_i + \sum_1^n F_{yi} * e_i * \operatorname{tg}\theta * \sin\varphi_i
 \end{aligned} \tag{5.8}$$

Unde:

$$\begin{aligned}
 F_{yi} &= K_{yi} * \delta_y \\
 F_{xi} &= K_{xyi} * \delta_y
 \end{aligned} \tag{5.9}$$

$F_{zi} = K_{yzi} * \delta_y$
condiția de echilibru a elementelor (sumă a rezultantele forțelor elastice)

$$(M_z) \sum_1^n K_{yi} * (e - e_i) - \sum_1^n K_{xyi} * e_i * \operatorname{tg}\theta * \cos\varphi_i = 0 \tag{5.10}$$

$$(M_y) \sum_1^n K_{yzi} * (e - e_i) + \sum_1^n K_{xyi} * e_i * \operatorname{tg}\theta * \sin\varphi_i = 0 \tag{5.11}$$

$$(M_x) \sum_1^n K_{yzi} * e_i * \operatorname{tg}\theta * \cos\varphi_i + \sum_1^n K_{yi} * e_i * \operatorname{tg}\theta * \sin\varphi_i = 0 \tag{5.12}$$

Considerind cele "n" elemente elastice identice dispuse simetric astfel încât centrele elastice C_Ei se află pe un cerc (fig.5.7), există relația:

$$\varphi_i = 2\pi * [1 - (i-1)/n] + \varphi_1 \tag{5.13}$$

Avind in vedere relatiile (5.7) si (5.13), relatiile (5.10) se verifică:

$$(M_x) e_1 * \operatorname{tg} \theta * \left[\sum_i^n (k_z - k_x * \sin^2 \theta - k_y * \cos^2 \theta) * \sin \varphi_i * \cos^2 \varphi_i + k_z * \sum_i^n \sin \varphi_i + \sum_i^n (k_x * \sin^2 \theta + k_y * \cos^2 \theta - k_z) * \sin \varphi_i * \cos^2 \varphi_i \right] = e_1 * \operatorname{tg} \theta * k_z * \left\{ \sin \varphi_1 + \sum_2^n \sin [2\pi - 2\pi * (i-1)/n + \varphi_1] \right\} = 0 \quad (5.14)$$

deoarece:

$$\begin{aligned} \sum_2^n \cos [2\pi * (i-1)/n] &= -1 \\ \sum_2^n \sin [2\pi * (i-1)/n] &= 0 \end{aligned} \quad (5.15)$$

In acelasi mod se arata ca relatiile (5.11) si (5.12) devin:

$$(M_y) [(e - e_1) * (k_z - k_x * \sin^2 \theta - k_y * \cos^2 \theta) * \sum_i^n \sin \varphi_i * \cos \varphi_i + e_1 * \sin^2 \theta * (k_y - k_z) * \sum_i^n \sin \varphi_i * \cos \varphi_i] = 0 \quad (5.16)$$

deoarece:

$$\sum_i^n \sin 2\varphi_i = 0 \quad (5.17)$$

$$M_z = \sum_i^n [(k_x * \sin^2 \theta + k_y * \cos^2 \theta - k_z) * \cos^2 \varphi_i + k_z] * (e - e_1) - e_1 * (k_y - k_z) * \sin^2 \theta * \sum_i^n \cos^2 \varphi_i = 0 \quad (5.18)$$

Avind in vedere ca $\sum_i^n \cos^2 \varphi_i = n/2$ relatia (5.18) devine:

$$(M_z) (k_z * (e - e_1) + [e * (k_x * \sin^2 \theta + k_y * \cos^2 \theta - k_z) - e_1 * (k_y + k_z)]/2) * n = n * [e * (k_x * \sin^2 \theta + k_y * \cos^2 \theta + k_z) - e_1 * (k_y + k_z)] = 0 \quad (5.19)$$

Din anularea relatiei (5.19) se determina pozitia centrului elastic:

$$e = e_1 * (k_y + k_z) / (k_x * \sin^2 \theta + k_y * \cos^2 \theta + k_z) \quad (5.20)$$

Daca se considera ca se da rigidului o micromiscare δz fortele elastice care dau momente fata de triunghiul Oxyz sint:

$$\begin{aligned} F_x &= K_{xz} * \delta z \\ F_y &= K_{yz} * \delta z \\ F_z &= K_z * \delta z \end{aligned} \quad (5.21)$$

Cu relatiile (5.7), (5.8) si (5.13) se verifica ca $M_x = 0$, $M_z = 0$ iar din conditia $M_y = 0$ se obtine o relatie identica cu (5.20).

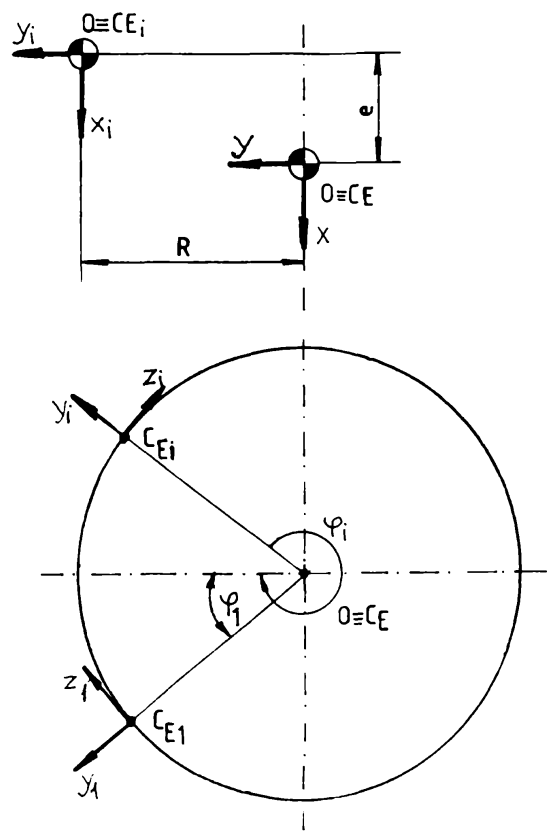


Fig. 5.8.

Pentru cazul particular $\theta=0^\circ$ (fig.5.8) matricea de rotatie a triedrului $O_i x_i y_i z_i$ in $Oxyz$ este:

$$M = M(\varphi_i) \quad (5.22)$$

astfel incit relatiile (5.3) devin:

$$\begin{aligned} k_{xi} &= k_{xi} \\ k_{yi} &= k_{yi} \cos^2 \varphi_i + k_{zi} \sin^2 \varphi_i \\ k_{zi} &= k_{yi} \sin^2 \varphi_i + k_{zi} \cos^2 \varphi_i \\ k_{xyi} &= k_{xzi} = 0 \\ k_{yzi} &= (k_{zi} - k_{yi}) \sin \varphi_i \cos \varphi_i \end{aligned} \quad (5.23)$$

Considerind o disperare simetrica a elementelor elastice, centrul elastic C_E se va gasi pe axa Ox la distanta "e" de planul in care se gasesc centrele elastice ale celor "n" elemente.

Utilizind notatiile din fig.5.8 se pot determina momentele fortei elastice care trebuie sa se anuleze:

$$\begin{aligned} (M_x) &= \sum_1^n F_{zi} * R \cos \varphi_i + \sum_1^n F_{yi} * R \sin \varphi_i = 0 \\ (M_y) &= - \sum_1^n F_{zi} * e + \sum_1^n F_{xi} * R \sin \varphi_i = 0 \\ (M_z) &= - \sum_1^n F_{yi} * e - \sum_1^n F_{xi} * R \cos \varphi_i = 0 \end{aligned} \quad (5.24)$$

Inde:

$$\begin{aligned} F_{yi} &= k_{yi} * \delta_y & F_{yi} &= k_{yzi} * \delta_z \\ F_{xi} &= k_{xyi} * \delta_y = 0 & F_{xi} &= k_{xzi} * \delta_z = 0 \\ F_{zi} &= k_{yzi} * \delta_y & F_{zi} &= k_{zi} * \delta_z \end{aligned} \quad (5.25)$$

functie de deplasarea δ_y sau δ_z considerata.

Pe baza relatiilor (5.13), (5.23)-(5.25) si avind in vedere ca:

$$\sum_1^n \cos^2 \varphi_i = n/2$$

se obtine:

$$(M_z) = e * \sum_1^n (k_x \cos^2 \varphi_i + k_z \sin^2 \varphi_i) = -e * n * (k_y + k_z) / 2 = 0 \quad (5.26)$$

Din conditia ca relatia (5.26) sa fie o identitate se determina pozitia centrului elastic :

$$e = 0 \quad (5.27)$$

$$M_y = [-\epsilon * (k_z - k_y) * \sum_{i=1}^n \sin 2\varphi_i] / 2 = 0 \quad \text{deoarece} \quad \sum_{i=1}^n \sin 2\varphi_i = 0$$

$$M_x = R * (k_z - k_y) * \sum_{i=1}^n \sin \varphi_i * \cos^2 \varphi_i + R * \sum_{i=1}^n (k_y * \cos^2 \varphi_i * \sin \varphi_i + k_z * \sin^2 \varphi_i) = \\ = R * k_z * \sum_{i=1}^n \sin \varphi_i = 0 \quad \text{deoarece} \quad \sum_{i=1}^n \sin \varphi_i = 0$$

Inlocuind in relatie (5.20) rigiditatile k_x, k_y, k_z prin expresiile cunoscute din rezistenta materialelor se obtin relatiile ce definesc pozitia centrului elastic pentru elemente elastice de sectiune rotunda si dreptunghiulara:

$$\epsilon = \frac{2 * \epsilon_1}{1 + \cos^2 \theta + 4 * 1^2 / 3 d^2 * \sin^2 \theta} \quad (5.28)$$

$$\epsilon = \frac{\epsilon_1 * (1 + b^2 / h^2)}{1^2 * \sin^2 \theta / h^2 + \cos^2 \theta + b^2 / h^2} \quad (5.29)$$

Expresiile de mai sus permit o estimare a pozitiei centru-ului elastic pentru anumiti parametri ai elementelor elastice. Se constata din calcule ca raportul h/b are influente reduse asupra pozitiei centrului elastic. Influentele cele mai mari se datoreaza unghiului de inclinare θ .

5.3.3. Calculul rigiditatilor efective ale MCCE cu elemente elastice metalice

Prin utilizarea noiiunii de centru elastic s-au stabilit conditiile de echivalare a MCCE cu un singur element elastic activ dispus in centrul elastic O_E si avind rigiditatile $K_x, K_y, K_\alpha, K_\beta, K_\gamma$.

La stabilirea expresiilor pentru rigiditatilor efective ale MCCE s-au utilizat relatiile (5.7)-(5.13).

Utilizand relatiile (5.7) si (5.13) se obtin expresiile rigiditatilor axiale efective :

$$K_x = \sum_{i=1}^n K_{xi} = n * (k_x * \cos^2 \theta + k_y * \sin^2 \theta)$$

$$K_y = \sum_{i=1}^n K_{yi} = \sum_{i=1}^n (k_x * \sin^2 \theta * \cos^2 \varphi_i + k_y * \cos^2 \theta * \cos^2 \varphi_i + k_z * \sin^2 \varphi_i) = \\ = [(k_x * \sin^2 \theta + k_y * \cos^2 \theta) * \cos^2 \varphi_i + k_z * \sin^2 \varphi_i] = \\ = n * (k_x * \sin^2 \theta + k_y * \cos^2 \theta + k_z) / 2 \quad (5.30)$$

$$z = \sum_{i=1}^n K_{zi} = K_y$$

Se verifica deasemenea ca exista urmatoarele identitati:

$$\begin{aligned}
 K_{xy} &= \sum_i^n K_{xyi} = \sum_i^n (-k_x + k_y) * \sin \theta * \cos \theta * \cos \varphi_i = 0 \\
 K_{yz} &= \sum_i^n K_{yzi} = \sum_i^n (-k_x * \sin^2 \theta - k_y * \cos^2 \theta + k_z) * \sin \varphi_i * \cos \varphi_i = 0 \quad (5.31) \\
 K_{xz} &= \sum_i^n K_{xzi} = \sum_i^n (k_x - k_y) * \sin \theta * \cos \theta * \sin \varphi_i = 0
 \end{aligned}$$

Rigiditatile de rotatie efective K_α , K_β , K_γ se pot obtine efectuind o rotatie constrinsa sistemului de referinta atasat si calculind suma momentelor de restituire (datorate fortelelor si momentelor elastice).

Considerind rigiditatile rotationale ale elementului elastic ca fiind $k_{\alpha i}$, $k_{\beta i}$, $k_{\gamma i}$ dupa axa x_i, y_i, z_i atunci rigiditatile elementului raportate sistemului Oxyz sunt date de relatii asemanatoare cu (5.7).

$$\begin{aligned}
 K_{\alpha i} &= k_\alpha * \cos^2 \theta + k_\beta * \sin^2 \theta \\
 K_{\beta i} &= (k_\alpha * \sin^2 \theta + k_\beta * \cos^2 \theta) * \cos^2 \varphi_i + k_\gamma * \sin^2 \varphi_i \\
 K_{\gamma i} &= (k_\alpha * \sin^2 \theta + k_\beta * \cos^2 \theta) * \sin^2 \varphi_i + k_\gamma * \cos^2 \varphi_i \\
 K_{\alpha \beta i} &= (-k_\alpha + k_\beta) * \sin \theta * \cos \theta * \cos \varphi_i \\
 K_{\beta \gamma i} &= (-k_\alpha * \sin^2 \theta - k_\beta * \cos^2 \theta + k_\gamma) * \sin \varphi_i * \cos \varphi_i \\
 K_{\alpha \gamma i} &= (k_\alpha - k_\beta) * \sin \theta * \cos \theta * \sin \varphi_i
 \end{aligned} \quad (5.32)$$

Dind rigidului E, suspendat prin mecanismul elastic, o rotatie constrinsa β (in jurul axei Oy) respectiv γ (in jurul axei Oz) momentele de restituire vor fi :

$$\begin{aligned}
 M_\beta &= K_\beta * \delta = \sum_i^n F_{y_i} * (\epsilon - \epsilon_1) - \sum_i^n F_{x_i} * \epsilon_1 * \operatorname{tg} \theta * \cos \varphi_i + \sum_i^n K_\alpha r_i * \delta + \\
 &\quad + \sum_i^n K_\beta r_i * \delta + \sum_i^n K_\gamma r_i * \delta \\
 M_\gamma &= K_\beta * \beta = \sum_i^n F_{z_i} * (\epsilon - \epsilon_1) + \sum_i^n F_{x_i} * \epsilon_1 * \operatorname{tg} \theta * \sin \varphi_i + \sum_i^n K_\alpha \beta_i * \beta + \\
 &\quad + \sum_i^n K_\beta \beta_i * \beta + \sum_i^n K_\gamma \beta_i * \beta
 \end{aligned} \quad (5.33)$$

Deplasariile elementare ale elementului elastic "i" la o rotatie β sau γ vor fi :

$$\begin{aligned}
 \delta_{x_i} &= \beta * \epsilon_1 * \operatorname{tg} \theta * \sin \varphi_i & \delta_{x_i} &= \delta * \epsilon_1 * \operatorname{tg} \theta * \cos \varphi_i \\
 \delta_{y_i} &= 0 & \delta_{y_i} &= -\delta * (\epsilon - \epsilon_1) \\
 \delta_{z_i} &= -\beta * (\epsilon - \epsilon_1) & \delta_{z_i} &= 0
 \end{aligned} \quad (5.34)$$

Fortele elastice vor fi in acest caz urmatoarele:

$$F_{z_i} = K_{z_i} * \delta_{z_i} + K_{zxi} * \delta_{x_i} = -K_{z_i} * (\epsilon - \epsilon_1) * \beta + K_{zxi} * \epsilon_1 * \operatorname{tg} \theta * \sin \varphi_i * \beta$$

$$F_{xi} = K_{xi} * \delta_{xi} + K_{zxi} * \delta_{zi} = K_{xi} * \beta * e_1 * \operatorname{tg}\theta * \sin\varphi_i - K_{zxi} * (e - e_1) * \beta \quad (5.35)$$

respectiv:

$$F_{yi} = K_{yxi} * \delta_{xi} + K_{yi} * \delta_{yi} = K_{yxi} * e_1 * \operatorname{tg}\theta * \cos\varphi_i * \gamma - K_{yi} * (e - e_1) * \gamma \quad (5.36)$$

$$F_{xi} = K_{xi} * \delta_{xi} + K_{xyi} * \delta_{yi} = K_{xi} * e_1 * \operatorname{tg}\theta * \cos\varphi_i * \gamma - K_{xyi} * (e - e_1) * \gamma \quad (5.37)$$

Utilizind relatiile (5.32), (5.35) - (5.37) se obtin din relatiile (5.33), dupa impartire prin unghiurile β si γ :

$$\begin{aligned} \beta = & -(e - e_1)^2 * \sum_1^n K_{zi} + e_1 * (e - e_1) * \operatorname{tg}\theta * \sum_1^n K_{zxi} * \sin\varphi_i - e_1 * \operatorname{tg}\theta * \\ & * \sum_1^n K_{zxi} * \sin\varphi_i + e_1 * \operatorname{tg}\theta * \sum_1^n K_{xi} * \sin^2\varphi_i + (k_\beta - k_\alpha) \sin\theta * \cos\theta * \\ & * \sum_1^n \cos^2\varphi_i + (k_\alpha * \sin^2\theta + k_\beta * \cos^2\theta) * \sum_1^n \cos^2\varphi_i + k_r * \sum_1^n \sin^2\varphi_i + \quad (5.38) \\ & + (-k_\alpha * \sin^2\theta - k_\beta * \cos^2\theta + k_r) * \sum_1^n \sin\varphi_i * \cos\varphi_i \end{aligned}$$

Pe baza relatiilor (5.7) si a relatiei urmatoare:

$$e - e_1 = -e_1 * \operatorname{tg}\theta * \frac{\sum_1^n K_{xzi} * \sin\varphi_i}{\sum_1^n K_{zi}} \quad (5.39)$$

se obtine dupa transformari (utilizarea relatiilor (5.15), (5.17)):

$$\begin{aligned} k_\beta = & n * e_1 * \operatorname{tg}\theta * \frac{k_x * k_y + k_z * (k_x * \cos^2\theta + k_y * \sin^2\theta)}{k_x * \sin^2\theta + k_y * \cos^2\theta + k_z} + n * (k_\alpha * \sin^2\theta + \\ & + k_\beta * \cos^2\theta + k_r) / 2 \quad (5.40) \end{aligned}$$

In acelasi mod se obtine din relatia (5.32) o relatie identica cu (5.40) pentru K_y . Se verifica in acelasi timp apetul ca exista decuplarea mișcărilor, adica identitatea relatiilor $K_{\alpha\beta} = K_{\alpha\theta} = K_{\beta\theta} = 0$

Pe aceleasi considerente ca in cazurile anterioare se poate scrie:

$$K_{\beta r} * \beta = \sum_1^n F_{yi} * (e - e_1) - \sum_1^n F_{xi} * e_1 * \operatorname{tg}\theta * \cos\varphi_i + \sum_1^n K_{\beta r i} * \beta \quad (5.41)$$

Relatiile pentru forțele elastice vor fi:

$$F_{yi} = K_{yxi} * \delta_{xi} + K_{yi} * \delta_{yi} + K_{zyi} * \delta_{zi} \quad (5.42)$$

$$F_{xi} = K_{xi} * \delta_{xi} + K_{yxi} * \delta_{yi} + K_{zxi} * \delta_{zi}$$

Avind in vedere relatiile anterioare (5.15), (5.17), (5.34), (5.41) se obtine dupa transformari:

$$K_{\beta r} * \beta = (e - e_1) * \sum_1^n (K_{yxi} * \delta_{xi} + K_{zyi} * \delta_{zi}) - e_1 * \operatorname{tg}\theta *$$

$$*\sum_i^n (K_{xi} * \delta_{xi} + K_{zxi} * \delta_{zi}) * \cos \varphi_i + \sum_i^n K_{\beta i} * \beta = 0 \quad (5.43)$$

In acelasi mod se scriu relatiile:

$$K_{\alpha\beta} * \beta = \sum_i^n F_{zi} * e_1 * \operatorname{tg} \theta * \cos \varphi_i + \sum_i^n F_{yi} * e_1 * \operatorname{tg} \theta * \sin \varphi_i + \sum_i^n K_{\alpha i} * \beta \quad (5.44)$$

$$K_{\alpha\gamma} * \delta = F_{yi} * e_1 * \operatorname{tg} \theta * \sin \varphi_i + F_{zi} * e_1 * \operatorname{tg} \theta * \cos \varphi_i + K_{\alpha i} * \delta \quad (5.45)$$

Inde fortele elastice sint date de relatiile (5.42) si relatia:

$$\begin{aligned} F_{zi} &= K_{xzi} * \delta_{xi} + K_{yzi} * \delta_{yi} + K_{zzi} * \delta_{zi} \\ F_{yi} &= K_{xyi} * \delta_{xi} + K_{yi} * \delta_{yi} + K_{zyi} * \delta_{zi} \end{aligned} \quad (5.46)$$

Dupa transformari si avind in vedere ca:

$$\sum_i^n \sin^2 \varphi_i * \cos \varphi_i = 0 \quad (5.47)$$

e verificata faptul ca $K_{\alpha\beta} = K_{\beta\alpha} = 0$

Sistemul de coordonate general Oxyz avind originea in centrul elastic CE si deplasarile fiind constrinse la acest sistem de referinta, matricea de rigiditate echivalenta a MCCE este urmatoarea:

$$[K] = \begin{vmatrix} K_x & & & \\ & K_y & & 0 \\ & & K_z & \\ & & & K_\alpha \\ & 0 & & K_\beta \\ & & & & K_\gamma \end{vmatrix} \quad (5.48)$$

Relatia intre fortele ce solicita MCCE si deplasarile realizate de catre acesta vor fi:

$$\{F\} = [K] * \{\delta\} \quad (5.49)$$

Inde:

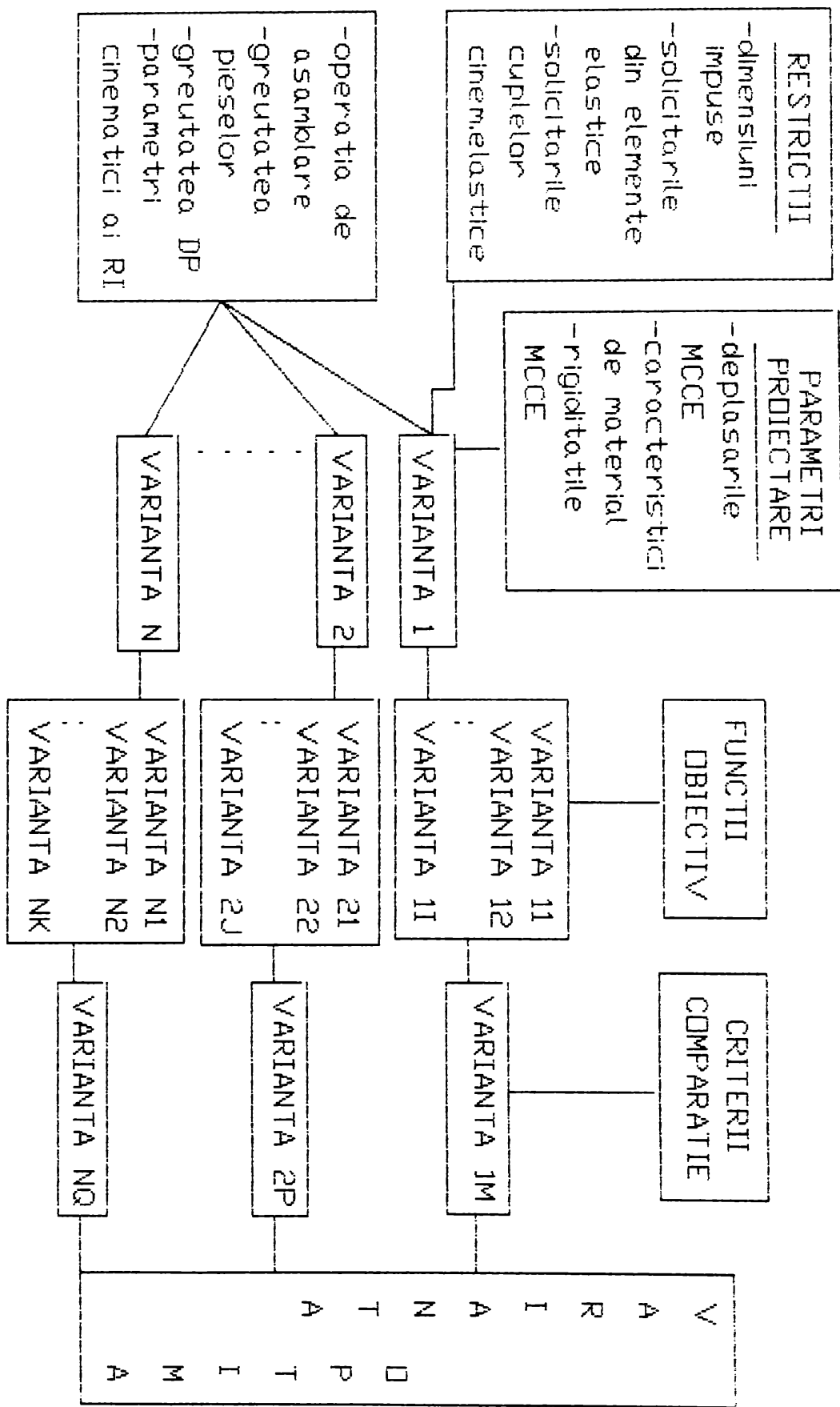
$$\{F\} = [F_x \ F_y \ F_z \ M_x \ M_y \ M_z]^T \quad (5.50)$$

$$\{\delta\} = [x \ y \ z \ \alpha \ \beta \ \gamma]^T$$

5.3.4. Proiectarea optimala a MCCE pentru operatii de montaj

5.3.4.1. Principii de proiectare optimala a MCCE

Parametri mecanismelor cu cupluri cinematice elastice pot fi



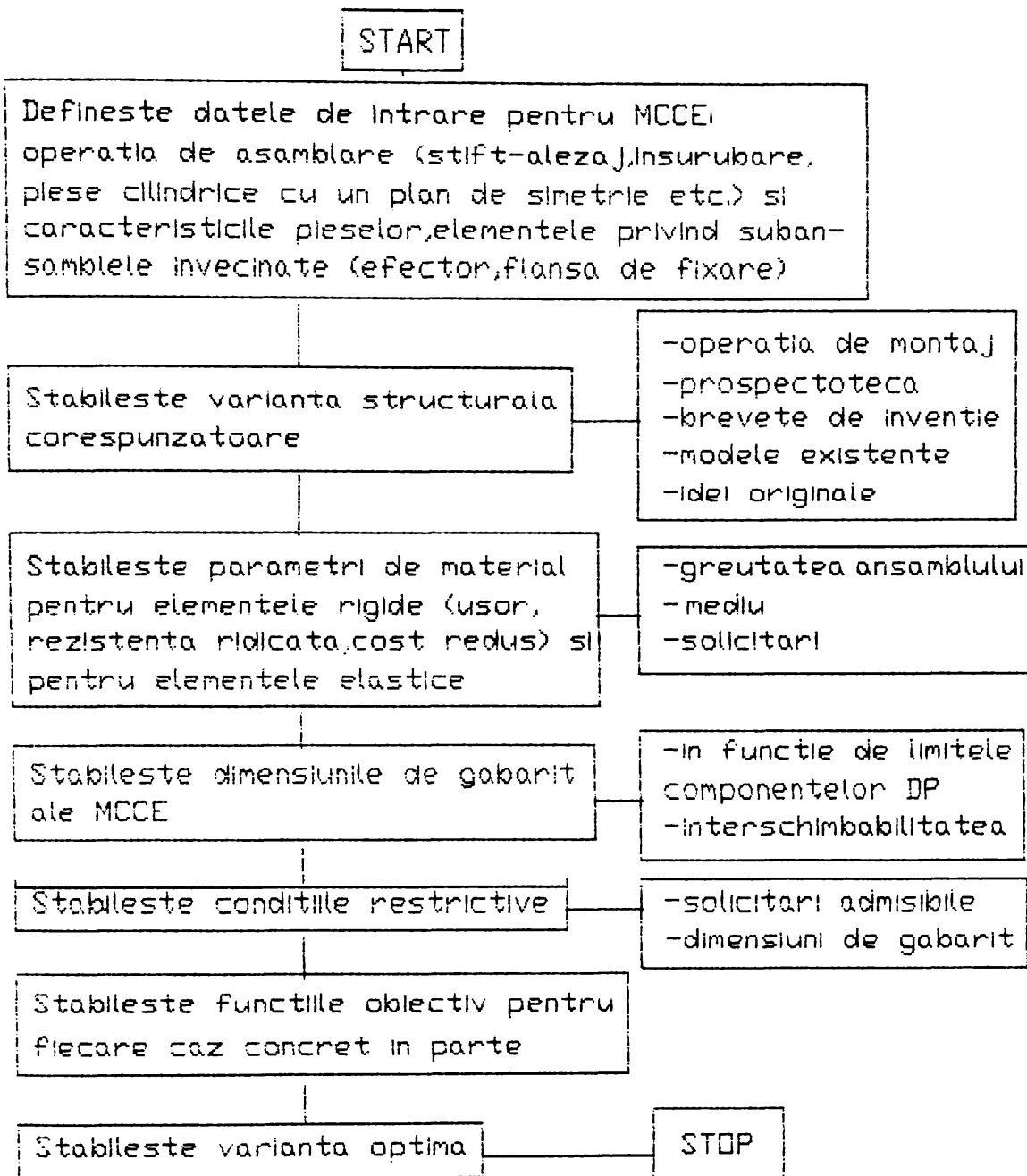


Fig.5.10

considerati ca o suma a caracteristicilor pariale ale elementelor componente fiind influentati de o serie de factori.In plus pentru acelasi scop definit,se pot obtine mai multe MCCE cu caracteristici diferite (fig.5.9).Se impune astfel in mod logic problema optimizarii fiecarei variante.Schema logica de proiectare optimala a unui MCCE pentru operatii de montaj este prezentata in fig.5.10.

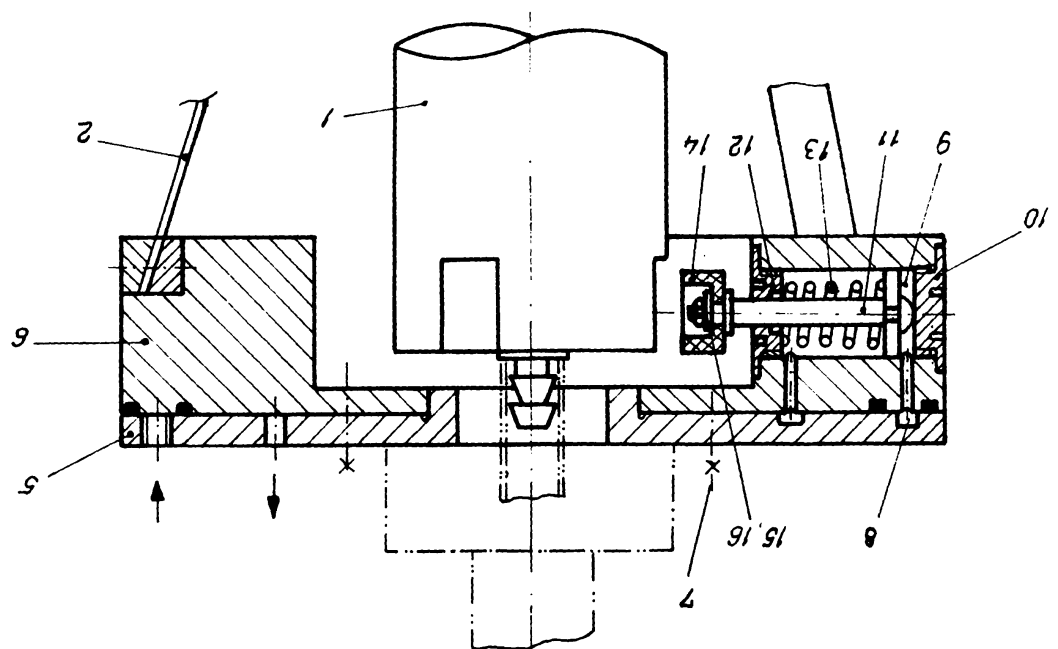
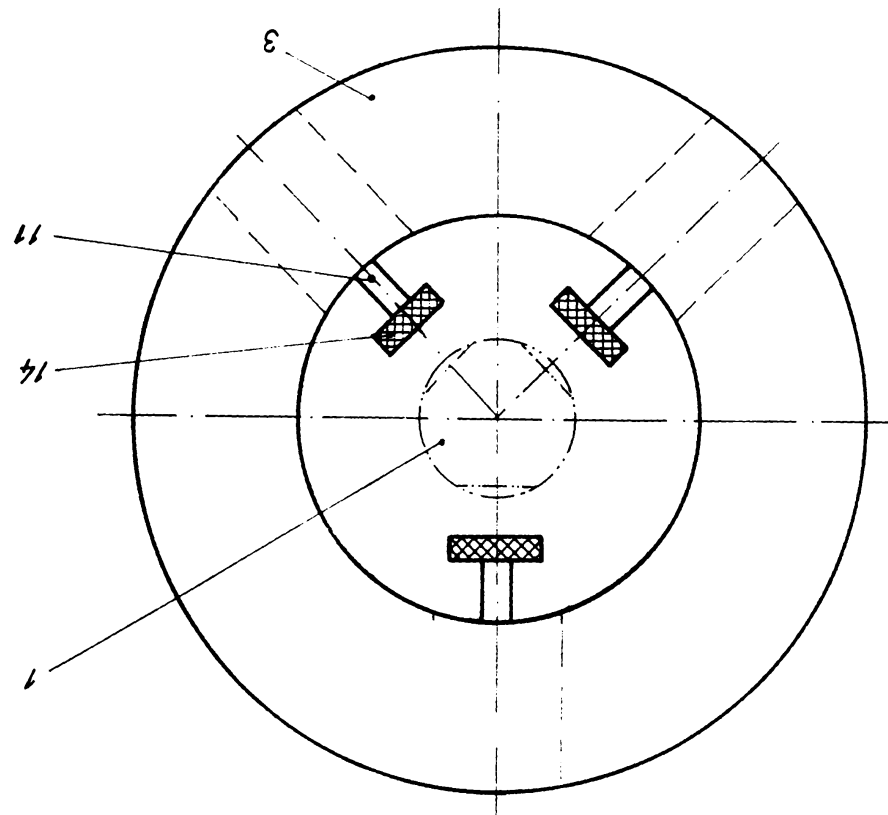
5.3.4.2. Formularea problemei de optimizare a MCCE

Stabilirea unei anumite variante structural-cinematic elastica pentru MCCE are ca baza de pornire analiza factorilor de influenta.

Operatia de asamblare ce urmeaza a se realiza influenteaza varianta de MCCE prin:

- categoria operatiei de asamblare (imbinare simpla, imbinare ilietata etc.) deoarece MCCE lucrind in "corectie pasiva" nu se reteaza decit la imbinari simple.Pentru restul de operatii sunt necesare dispozitive de complianta cu corectie mixta care impun unele subansambluri suplimentare (senzori, module de pozitionare locala) de prezena carora trebuie sa se tina cont la proiectare.
- caracteristicile pieselor ce urmeaza a se asambla: ajustaj, dimensiuni, material, rezistente admisibile.La montajul unui rulment pe capatul de arbore fortele care apar si rezistentele admisibile ale pieselor de asamblat sunt mari.Se poate recurge in acest caz atit la o varianta de MCCE cu elemente elastice din luciu cit si la o varianta cu elemente metalice care pot oferi rigiditate corespunzatoare.Nu acelasi lucru se poate utiliza sa la asamblarea unei piese electronice cu pini pe o placă de circuit unde rezistentele admisibile sunt mici si unde un MCCE pe la de elemente elastice metalice sau fluidice sunt recomandate.
- greutatea pieselor de asamblat.La montajul unor piese de pututati mici (piese electronice, stifturi etc) solicitarile inele cinematice elastice nu sunt ridicate astfel incit se poate opta la solutii de proiectare organologica simple (de ex. imbinare in stringere) ale acestora.La montajul unor piese de greutati mari (rulmenti, pistoane etc.) solicitarile chiar statice inele cinematice elastice sunt mari si astfel realizarea organologica a acestora impune solutii speciale.

Fig. 5.11



- parametri cinematici ai RI.Utilizarea unui mecanism cu cuplă cinematică elastice în condiții de accelerare ridicate conduce la solicitarea acestuia de un torsor al forțelor de inertie care cauzează solicitări suplimentare în elementele elastice și oscilații ale punctului caracteristic.Din acest motiv fie că se utilizează MCCE care prezintă proprietatea de amortizare a oscilațiilor (de ex.MCCE cu elemente elastice din elastomeri) fie că se utilizează dispozitive de blocare a MCCE pe perioada de manipulare.Solutia unui astfel de dispozitiv de blocare este prezentata in fig.5.11a,b./D6/.

Dispozitivul de prehensiune 1 este suspendat, prin MCCE format din elementele elastice 2 și elementul rigid 3 de dispozitivul de ghidare 4 al RI.Dispozitivul de blocare conform inventiei este incorporat în piesa rigida 3 a MCCE.In aceasta piesa sunt practicate alezajele cilindrice "a" radiale,de preferinta in jurul de trei dispuse la 120° și inchise etans prin capacele plătești 5 și 6.In capacul 6 este ghidata o tija 7 solidara cu pistonul 8 care culiseaza in alezajul "a" si care se sprijina pe tijul de compresiune 9.Pistonul 8 este deplasat spre dispozitivul de prehensiune 1 de agentul de lucru sub presiune care patrunde multan in alezajele "a" prin canalul de alimentare "b" circular practicat in capacul 10 ce este fixat etans pe flansa 3.Pe capetele libere ale tijelor 7 sunt fixate tampoanele din cauciuc 11.Tacuarea aerului din alezaje se face prin orificiile "c" care comunica cu canalul colector "d" concentric cu canalul de alimentare "b".La inceperea fazei de manipulare se comanda,de catre SC RI,alimentarea cu agent de lucru a dispozitivului.Pistoanele 8 și tijele 7 se vor deplasa simultan pînă în momentul în care tampoanele 11 blochează dispozitivul de prehensiune.Blocarea este întinuta pe toată durata fazei de manipulare,după care,se intervine alimentarea cu agent de lucru sub presiune astfel ca pistoanele 8 revin în poziția initială sub acțiunea arcurilor de comandă.

Se constată din cele prezentate că prezenta dispozitivul de blocare impune soluții speciale pentru biela rigida și limitări de gabarit ale MCCE.

parametri subansamblelor cu care coniugrează MCCE.Dispozitive de prehensiune folosite în montajul robotizat au construcții biaxiale astfel încit impun condiții dimensionale restrictive la mișcările cu cuplă cinematică elastice (forma elementelor

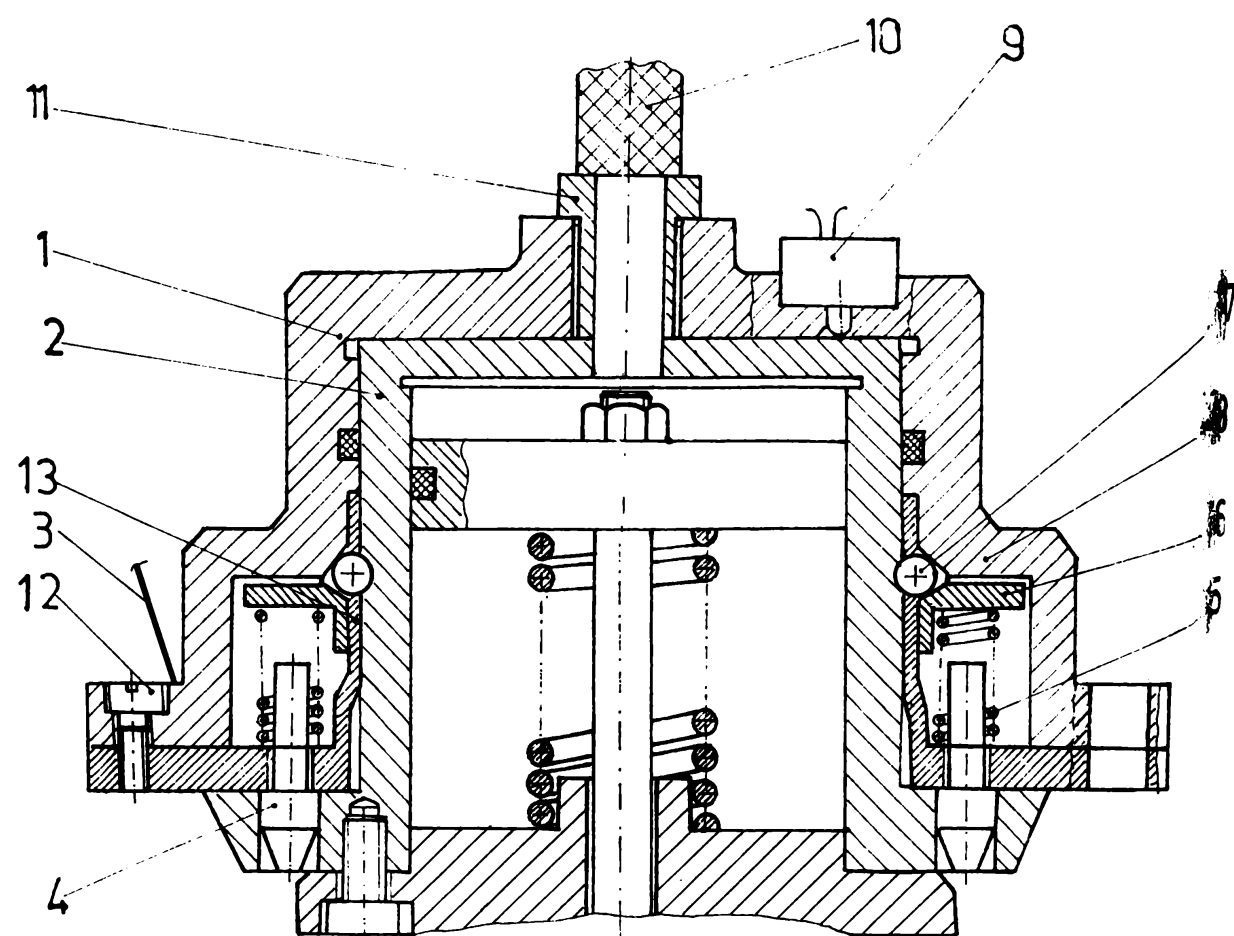
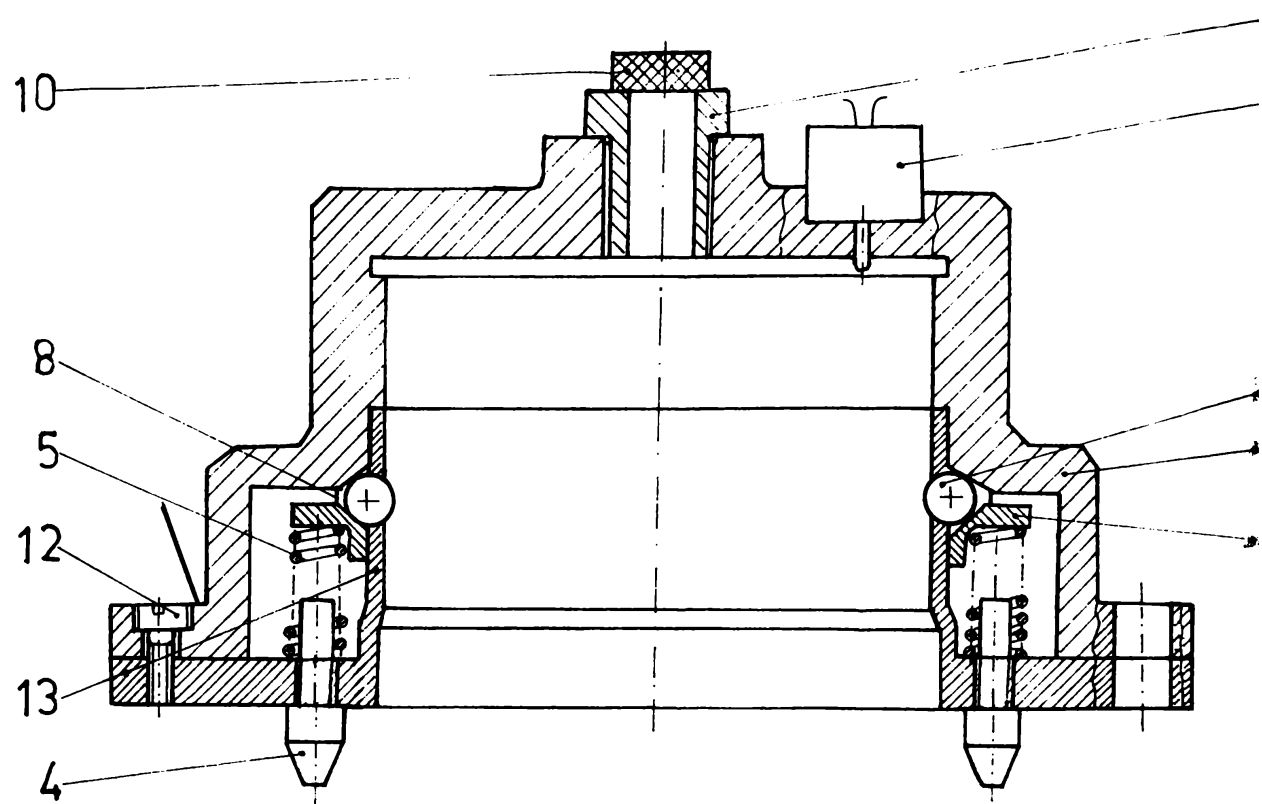


Fig.5.12

rigide,dimensiuni radiale).In fig.5.12 se prezinta o solutie de dispozitiv de prehensiune - flansa de legatura utilizata la operatii de montaj /D4/,/D5/,/D7/(1-flansa de legatura;2-dispozitiv de prehensiune;3-elementele elastice ale MCCE).

Se poate considera ca o varianta structurala a unui MCCE, ca orice produs /R8/, este caracterizata de o serie de parametri:

a)parametri de proiectare

- {geometrii $X = (x_i) = (x_1, x_2, \dots, x_n)$ avind drept componente datele dimensionale si pozitionale ale MCCE : lungimea elementelor elastice l,caracteristicile sectiunii elementului (diametrul d,latimea b sau grosime h),raza R de dispunere a elementelor elastice pe elementul rigid,deplasarile ce se impun a se realizeze ($\Delta x, \Delta y, \dots$) .

- de material $Y = (y_i) = (Y_1, Y_2, \dots, Y_n)$ avind drept componente caracteristicile de rezistenta,elasticitate (E, G),greutate (ρ) a materialelor pentru elementele elastice si rigide

- de solicitare $Z = (z_i) = (z_1, z_2, \dots, z_n)$ avind componente fie torsorul fortei care solicita mecanismul cu couple cinematice elastice $\mathcal{F} = (\bar{F}, \bar{M})$,fie rigiditatile echivalente ale MCCE.Torsorul rezulta din modelul matematic al operatiei de asamblare impusa iar rigiditatatile MCCE din cuplarea modelului matematic al operatiei de asamblare cu modelul "centrului elastic" al MCCE.

b)restrictii (portanta,constructive) sub forma relatiilor de constringere care trebuie satisfacute pentru ca solutia sa fie acceptata:

$$g_i(x, y, z) < 0; i = 1, 2, \dots, n \quad (5.51)$$

Restrictiile depind de schema MCCE abordata.Se pot enumera astfel:

1)restrictii de gabarit.De exemplu raza de dispunere a elementelor elastice trebuie sa satisfaca conditiile $R_{min} \leq R \leq R_{max}$ unde R_{min} este impusa de subansamblele invecinate

2)restrictii privind rezistenta elementului elastic.Solicitarile mecanice ale elementelor elastice trebuie sa se incadreze in domeniul care asigura deformatii in limitele elasticitatii acestora

3)restrictii functionale.Rigiditatatile MCCE trebuie sa se incadreze intre anumite limite.O elasticitate mica implica solicitari mari in elementele de asamblat iar o elasticitate mare face sensibil sistemul la factori perturbatori.Impunerea valorilor

limita se obtin din modelul matematic al operatiei de asamblare.

4) restrictii tehnologice. Dimensiunile elementelor elastice si dimensiunile zonelor de contact a couplelor elastice sunt limitate inferior de tehnologia de executie a acestora.

5) restrictii de stabilitate. Unele mecanisme cu couple cinematice elastice isi pierd stabilitatea la depasirea unor valori a torso-ului de incarcare. Aceste restrictii se pot reduce in final tot la restrictii constructive.

6) functii obiectiv $f_j(x,y,z)$ care exprima criteriul de optimizare alese. Ca functii obiectiv utilizabile la proiectarea MCCE se pot aminti: masa ansamblului, volumul ocupat de MCCE, lucrul mecanic al fortelelor de asamblare, lucrul mecanic al fortelelor de frecare in punctele de contact.

In baza celor arataate, formularea problemei de optimizare a unei variante impune determinarea parametrilor de proiectare $f_j(x,y,z)$ care asigura extremul functiei obiectiv:

$$f_j(u) \rightarrow \min (\max) \quad (5.52)$$

in prezența restrictiilor g_i .

Problema de optimizare poate sa evidenteze insuficienta unei singure functii obiectiv. De regula aceste functii obiectiv sunt contradictorii, ceea ce inseamna ca luarea in considerare a uneia dintre ele poate duce la afectarea celorlalte. In aceste zuri se poate impune o tratare multiobiectiv /A10/.

5.3.4.3. Optimizarea MCCE din punctul de vedere ai rigiditatilor

Rigiditatea mecanismului influenteaza ,asa cum s-a aratat, treg procesul de asamblare.

In cadrul programului de modelare matematica a procesului de asamblare stift-alerezaj se impune alegerea valorilor optime pentru rigiditatatile K_y, K_β dintr-un interval dat.

Un criteriu cantitativ care permite o astfel de optimizare este cel corespunzator lucrului mecanic al fortelelor de frecare in punctele de contact. Alegerea acestui criteriu se bazeaza pe considerentul ca solicitarile din elementele de asamblat depin de rigiditatile MCCE. Functia obiectiv atasata procesului de optimizare poate fi scrisa ca fiind:

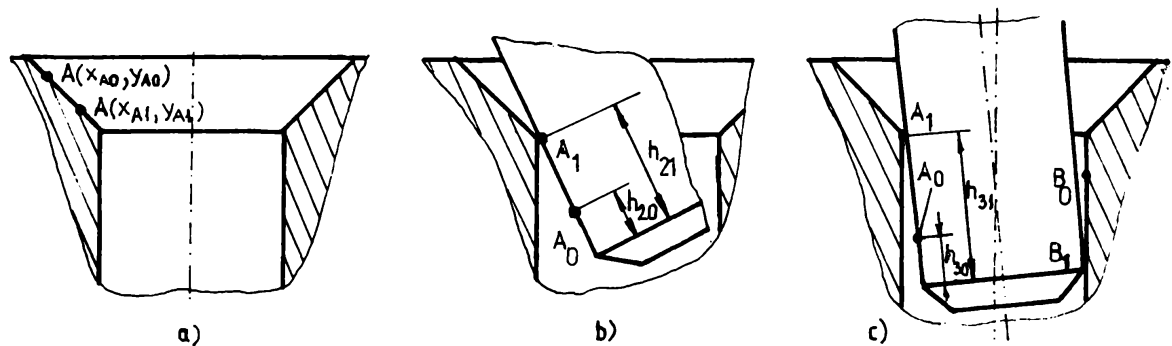


Fig.5.13.

$$L = \sum \mu * N_i * s_j \longrightarrow \min \quad (5.53)$$

unde:

- N_i - reacțiunea în punctul de contact dintre stift și alezaj
- μ - coeficientul de fricare pentru perechea de materiale stift-alezaj se consideră, în principiu, constant în toate fazele de inserție. Admiterea unor valori distincte pe faze și puncte nu ridică inconveniente în calcul.
- s_j - deplasarea punctului de contact între două poziții de echilibru succesive în decursul fazei de asamblare "j".

Din datele de calcul ale modelului geometric se poate calcula deplasarea punctului de contact " s_j " în funcție de poziția curentă A_1 (respectiv B_1) și poziția anterioară A_0 (respectiv B_0):

faza de contact A pe sanfren (fig.5.13a).

$$s_1 = [(x_{A1} - x_{A0})^2 + (y_{A1} - y_{A0})^2]^{1/2} \quad (5.54)$$

faza de contact într-un punct A pe generatoare (fig.5.13b)

$$s_2 = h_{21} - h_{20} \quad (5.55)$$

faza de contact în două puncte A și B (fig.5.13c).

$$s_{31} = h_{31} - h_{30} \quad (5.56)$$

$$s_{32} = x_{B1} - x_{B0} \quad (5.57)$$

Lucrul mecanic total al forțelor de fricare va fi în acest caz:

$$L = L_1 + L_2 + L_3 \quad (5.58)$$

unde:

$L_1 = \sum \mu * N * s_1$ este lucrul mecanic al forțelor de fricare pe sanfren

$L_2 = \sum \mu * N * s_2$ este lucrul mecanic al forțelor de fricare pe parcursul fazei de contact într-un punct pe generatoare

$L_3 = \sum \mu * N_1 * s_{31} + \sum \mu * N_2 * s_{32}$ este lucrul mecanic al forțelor de fricare la contactul în două puncte

Problema de optimizare impune, în continuare să se determine valorile celor două rigidități care minimizează funcția obiectiv în condițiile restricțiilor funcționale impuse de modul dinamic al asamblării stift-alezaj. Schema logică de rezolu-

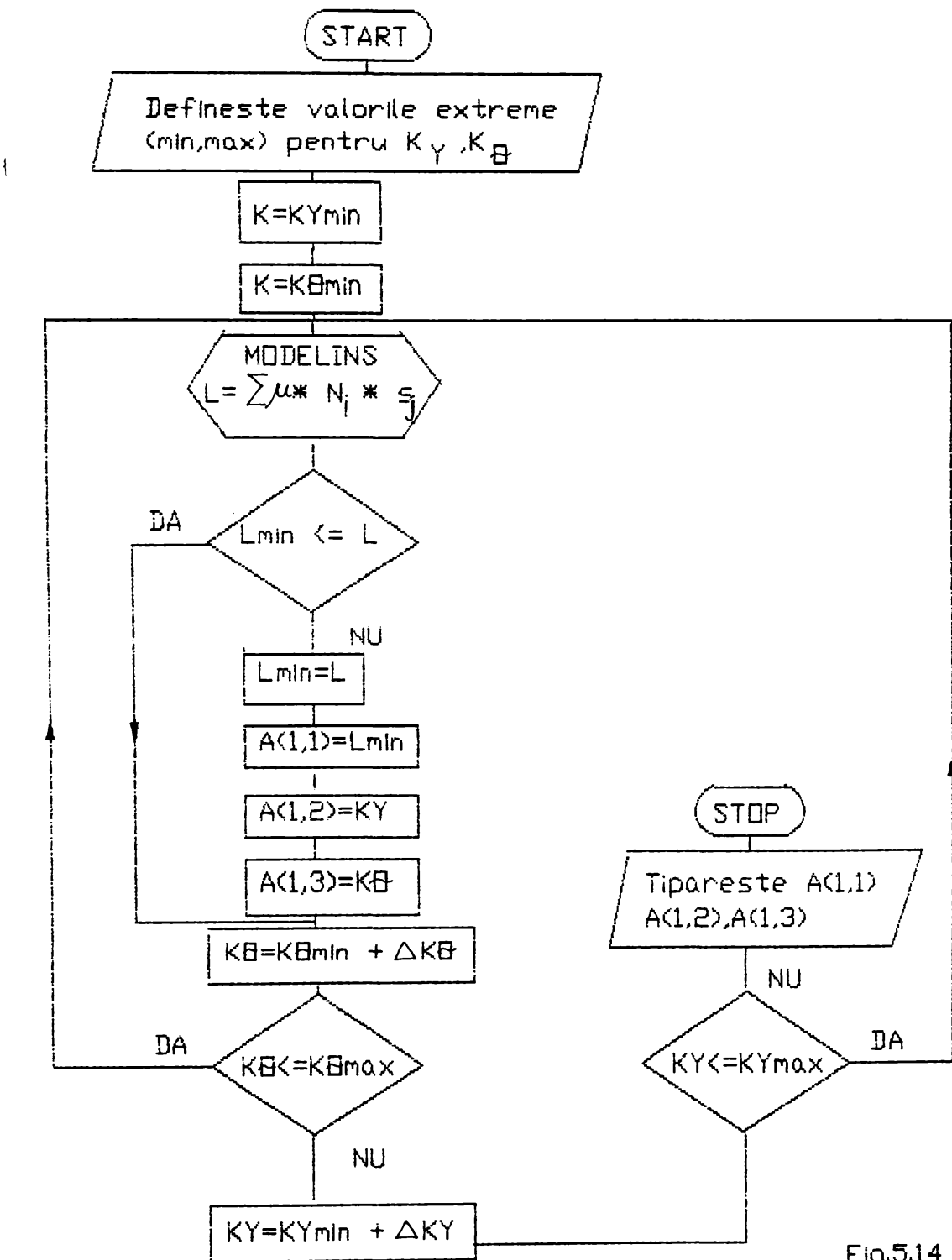


Fig.5.14

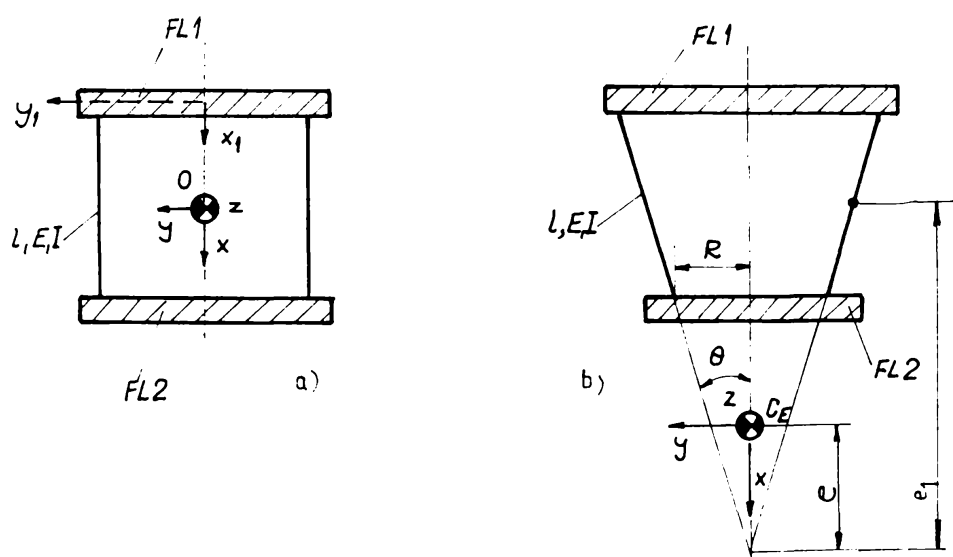


Fig. 5.15

Vare a acestei probleme este prezentata in fig.5.14 iar programul de calcul este dat in anexa.

5.3.5. Proiectarea MCCE pe baza noțiunii de centru elastic

In baza celor prezentate la pct.5.3.3 MCCE se poate inlocui printr-un singur element elastic avind rigiditatile: $K_x, K_y, K_z, K_f = K_f$. Valorile acestor rigiditati fie ca se impun, fie se obtin in urma modelarii dinamice (cap.4). Urmeaza sa se determine parametri geometrici ai MCCE.

S-a abordat problema pentru MCCE corespunzator modelului CC. Schitele constructive ale celor doua MCCE (varianta "a" si "b") sunt prezentate in fig.5.15 (1,2-elemente rigide; 3-elemente elastice ; l-lungimea elementului elastic; b,n,d-parametri secunii transversale a elementului elastic; E,G-modulul de elasticitate longitudinal si transversal al materialului).

Rigiditatea elementului elastic echivalent pentru cele doua modele de MCCE se determina pe baza relatiilor (5.30) si (5.40) si a relatiilor de definitie a rigiditatilor pentru elementul elastic.

S-au obtinut astfel urmatoarele relati:

elementul "a"

element elastic metalic de sectiune rotunda

$$n = \frac{\pi * d^2 * E}{4 * I} \quad (5.59)$$

$$K_z = n * \frac{3 * \pi * d^4 * E}{16 * I^3} \quad (5.60)$$

$$K_f = n * \frac{3 * \pi * d^2 * E}{8 * I} * (R^2 + d^2/8) \quad (5.61)$$

element elastic de sectiune dreptunghiulara

$$n = \frac{b * h * E}{I} \quad (5.62)$$

$$K_z = n * \frac{b * h * E}{2 * I^3} * (b^2 + h^2) \quad (5.63)$$

$$K_{\beta} = K_{\delta} = n * \frac{b * h * E}{2 * l} * (R^2 + \frac{h^2 + b^2}{12}) \quad (5.64)$$

Modelul "b"

i) element elastic de sectiune rotunda

$$\epsilon_1 = 1/2 * \cos \theta + R / \tan \theta \quad (5.65)$$

$$K_x = n * \frac{\pi * d^2 * E}{4 * l} * (\cos^2 \theta + \frac{3 * d^2}{4 * l^2} * \sin^2 \theta) \quad (5.66)$$

$$K_y = K_z = n * \frac{\pi * d^2 * E}{8 * l} * [\sin^2 \theta + \frac{3 * d^2}{4 * l^2} * (\cos^2 \theta + 1)] \quad (5.67)$$

$$K_{\beta} = n/2 * [A + \frac{3 * d^4 * E}{32 * l} * \sin^2 \theta + \frac{\pi * d^4 * E}{64 * l} * (\cos^2 \theta + 1)] \quad (5.68)$$

$$A = e^2 * \tan^2 \theta * \frac{3 * \pi * d^4 * E}{16 * l^3} * \frac{4 * l^2 * (1 + \cos^2 \theta) + 3 * d^2 * \sin^2 \theta}{4 * l^2 * \sin^2 \theta + 3 * d^2 * (1 + \cos^2 \theta)} \quad (5.69)$$

ii) element elastic de sectiune dreptunghiulara

$$K_x = n * \frac{b * h * E}{4 * l} * (\cos^2 \theta + \frac{h^2}{l^2} * \sin^2 \theta) \quad (5.70)$$

$$K_y = K_z = n * \frac{b * h * E}{2 * l} * (\sin^2 \theta + \frac{h^2}{l^2} * \cos^2 \theta + b^2 / 12) \quad (5.71)$$

$$K_{\beta} = n/2 * [B + \frac{b * h * (b^2 + h^2) * E}{12 * l} * \sin^2 \theta + \frac{b * h * E}{12 * l} * (h^2 * \cos^2 \theta + b^2)] \quad (5.72)$$

$$B = e^2 * \tan^2 \theta * \frac{b * h^3 * E}{l^2} * \frac{l^2 + l^2 * \cos^2 \theta + h^2 * \sin^2 \theta}{l^2 * \sin^2 \theta + h^2 * \cos^2 \theta + b^2} \quad (5.73)$$

Se constata ca in cele 4 cazuri se diuine de un numar de ecuatii si exista 4 necunoscute (n, d, l, R) (modelul a1); 5 necunoscute (n, b, h, l, R) (modelul a2); 5 necunoscute (n, l, θ, R, d) (modelul b1); 6 necunoscute (n, l, θ, R, b, h) (modelul b2). Pentru a rezolva aceste sisteme se impune admisarea unora dintre parametri geometrici din conditii de gabarit (de exemplu R), admisarea numarului de elemente elastice necesare sau admisarea raportului unor dimensiuni geometrice ale elementului elastic (de ex. $\Psi = h/b$) din considerente constructive, astfel incit numarul de ecuatii sa devina egal cu numarul necunoscitelor.

Pentru modelul ai admitind numarul elementelor elastice "n" si utilizind ecuatiiile (5.59) - (5.61) se determina:

$$\lambda = \frac{1}{d} = \frac{3}{2} * (K_x/K_y)^{1/2} \quad (5.74)$$

$$d = \frac{4 * \lambda * K_x}{\pi * n * E} \quad (5.75)$$

$$R = \left(\frac{8 * l * K_\beta}{3 * \pi * d^2 * E} - d^2 / 8 \right)^{1/2} \quad (5.76)$$

Prin raportul $\lambda = l/d$ se determina lungimea l dupa determinarea si legarea unei valori acceptabile pentru diametrul d a elementului elastic. Cu valorile constructive adoptate se calculeaza R din elatia (5.68).

Pentru modelul a2 se determina din relatiile (5.62)-(5.64) pentru raportul $\psi = h/b$ si numarul de elemente "n" admise constructive:

$$\frac{l}{b} = [2 * K_x / K_y * (1 + \psi^2)]^{1/2} \quad (5.77)$$

$$h = (l/b) * \frac{K_x}{n * E} \quad (5.78)$$

$$R = \left(\frac{2 * K_\beta * l}{n * b * h * E} - \frac{h^2 + b^2}{12} \right)^{1/2} \quad (5.79)$$

Sistemele de ecuatii formate din grupurile de trei ecuatii (5.65)-(5.73) corespunzatoare modelului "b" sint neliniare si contin ecuatii transcendentale. Pentru rezolvarea lor s-a recurs la metode numerice. S-a utilizat in acest scop metoda Newton pentru sisteme de ecuatii neliniare /D27/. Solutia finala a sistemului depinde insa de solutia initiala. Din acest motiv este necesara determinarea cu aproximatie a unei solutii initiale. Acest lucru poate face avand in vedere ca $l \gg d$, $l \gg h$ si ca θ ia valori reduse astfel incit se poate admite $\sin \theta \approx 0$ si $\cos \theta \approx 1$.

In acest caz din ecuatiiile (5.66)-(5.67), aplicind simplificariile amintite, se determina valorile initiale θ_0 si d_0 identice cu cele date relatia (5.66). Apoi din relatia (5.66) se poate termina aproximativ valoarea unghului θ_0 :

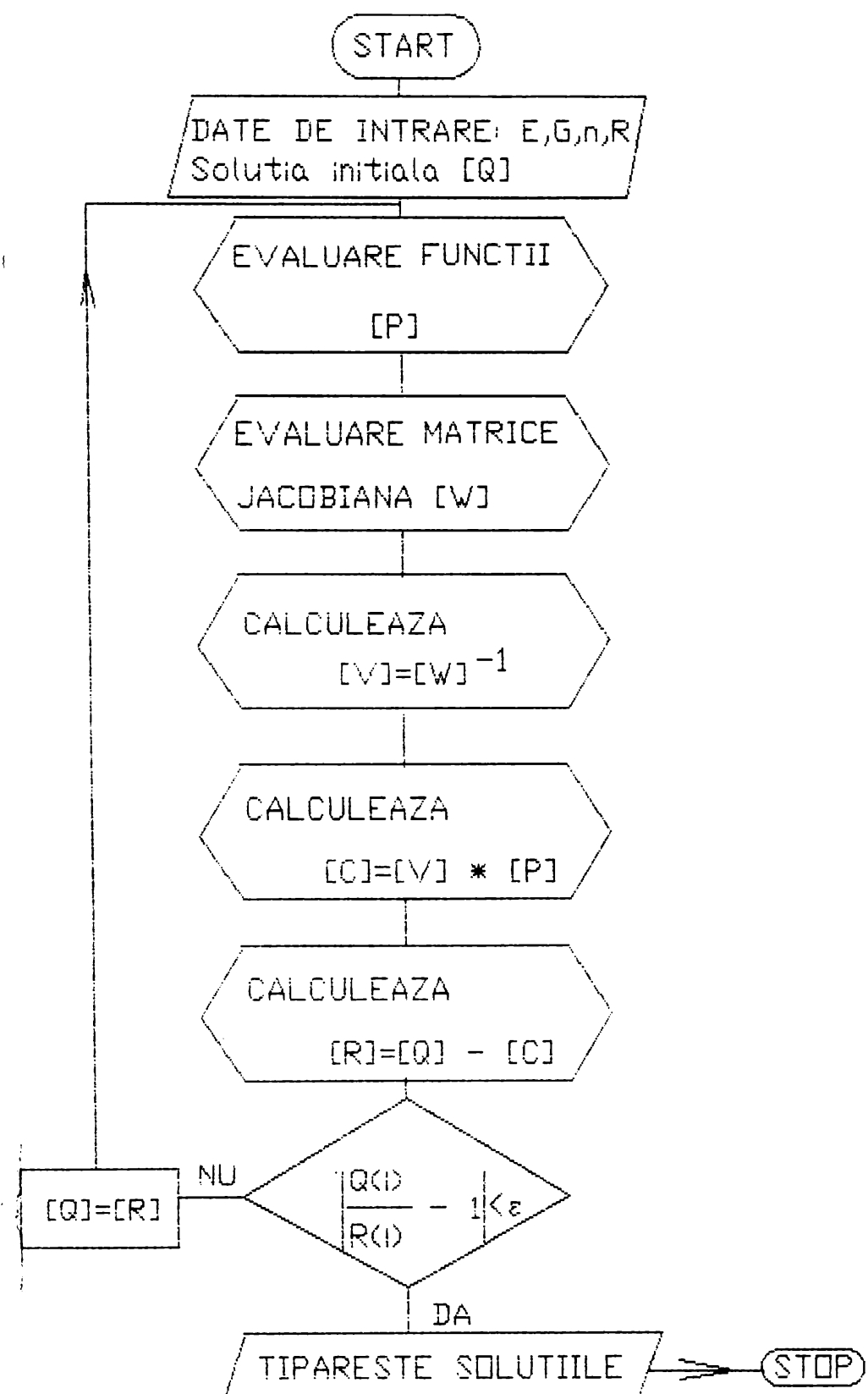


Fig.5.16

$$\theta_0 = \arccos\left(\frac{4*K_x*l}{n*\pi*d^2*E}\right)^{1/2} \quad (5.80)$$

In acelasi mod se pot determina pentru modelul b2 solutiile initiale pentru l_0, b_0, h_0 . Acestea sunt identice cu cele date in relatiile (5.77)-(5.79).

Solutia initiala pentru unghiul θ_0 se determina din relatie (5.70):

$$\theta_0 = \arccos\left(\frac{l*K_x}{n*b*h*E}\right)^{1/2} \quad (5.81)$$

In fig.5.16 se prezinta organograma de rezolvare a sistemului amintit, marimile n-numarul elementelor elastice si R - raza de dispunere a mijlocului elementelor elastice considerindu-se cunoscute. Programul in limbaj BASIC este prezentat in anexa.

Optimizarea constructiva a MCCE se poate realiza pentru o functie obiectiv admisa.

Un criteriu calitativ de comparare a MCCE pentru disponibilitatea de complianta a RI de montaj il constituie si volumul ocupat de acesta. Functia obiectiv de optimizare se va scrie in aceste conditii:

$$V \rightarrow \min \quad (5.82)$$

Restrictiile fiind de gabarit sau tehnologice: $R_{\min} \leq R \leq R_{\max}$, $l_{\min} \leq l \leq l_{\max}$, $b_{\min} \leq b \leq b_{\max}$, $h_{\min} \leq h \leq h_{\max}$, $\theta_{\min} < \theta < \theta_{\max}$.

Organograma de lucru este asemanatoare cu cea de la pct.5.3.4.3. Programul de calcul este prezentat in anexa.

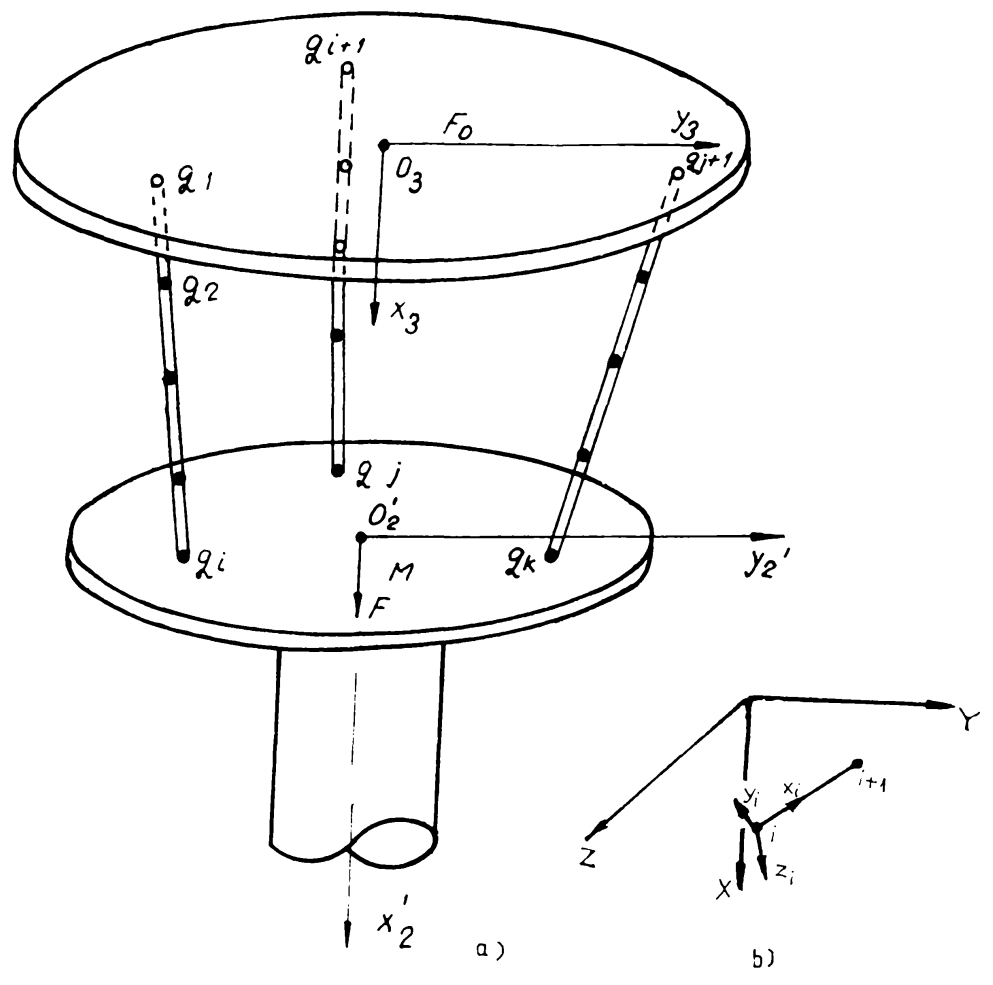


Fig.5.17

5.4. CALCULUL MECANISMELOR CU CUPLE CINEMATICE ELASTICE PRIN METODA ELEMENTELOR FINITE.

Metoda elementului finit a devenit intr-un timp relativ curț o metodă generală de rezolvare a unor probleme complexe.

Calculul mecanismelor cu couple cinematice elastice prin metoda elementelor finite urmărește determinarea deplasărilor realizate de către un element rigid din componenta MCCE sub acțiunea unor forțe exterioare.

Utilizarea acestei metode la calculul mecanismelor cu couple cinematice elastice se bazează pe consideranțele clasice prezentate în literatura de specialitate /G6/, /G7/, /P17/. Unele diferențe de la teoria clasica apar datorita faptului ca deformațiile elementelor elastice sunt mari ceea ce face ca matricea de rigiditate elastică $[K_E]$ să nu fie constantă.

Mecanismul cu couple cinematice elastice real se va înlocui cu o schema de calcul discretizată în elemente finite (fig.5.17). Într-un mecanism cu couple cinematice elastice avind elemente elastice metalice, de secțiune rotundă sau dreptunghiulară, elementul finit considerat este de tip bara.

In fig.5.17 b se prezintă elementul finit (i-1,i), rezultat din discretizarea unui element elastic, în sistemul de coordonate local și global. Ambele sisteme de coordonate sunt sisteme drepte. Sistemul de coordonate local (O_i) se alege cu originea în nodul "i" iar axa Ox coincide cu axa longitudinală a elementului. Făsirea sistemului de coordonate local este justificată prin faptul că unele date de intrare sau rezultate se raportează mai scor si mai sugestiv la elementul finit.

Vectorul deplasărilor nodale ale unui nod "i" în sistemele de coordonate global și respectiv local se notează:

$$[\delta_i]^T = \{u_i, v_i, w_i, u_{wi}, v_{wi}, w_{wi}\} \quad (5.84)$$

$$[\delta'_i]^T = \{u'_i, v'_i, w'_i, u'_{wi}, v'_{wi}, w'_{wi}\} \quad (5.85)$$

Vectorul forțelor nodale se notează în același mod în cele două sisteme:

$$[F_i]^T = \{F_{ix}, F_{iy}, F_{iz}, M_{ix}, M_{iy}, M_{iz}\} \quad (5.86)$$

$$[f_i]^T = \{f_{ix}, f_{iy}, f_{iz}, m_{ix}, m_{iy}, m_{iz}\} \quad (5.87)$$

Legatura intre deplasările nodale în cele două sisteme se exprimă prin relația :

$$[\delta'] = [R] * [\delta] \quad (5.88)$$

unde matricea R este matricea de rotație de dimensiune (12*12) pentru element finit spațial și (6*6) pentru element plan:

$$[R] = \begin{bmatrix} [r]_{3*3} & 0 \\ \cdot & \cdot \\ 0 & [r]_{3*3} \end{bmatrix} \quad (5.89)$$

Matricea $[r]_{3*3}$ este definită pe baza cosinusoilor directori ale direcțiilor x_i, y_i, z_i ale sistemului de coordonate local în raport cu direcțiile sistemului de coordonate global:

$$[r] = \begin{bmatrix} l_x & m_x & n_x \\ l_y & m_y & n_y \\ l_z & m_z & n_z \end{bmatrix} \quad (5.90)$$

Cosinusoii directori se determină pentru fiecare element finit în parte prin relațiile cunoscute pentru lungimea elementului finit:

$$l_i = [(x_i - x_j)^2 + (y_i - y_j)^2 + (z_i - z_j)^2]^{1/2} \quad (5.91)$$

unde $x_i, x_j, Y_i, Y_j, z_i, z_j$ sunt coordonatele nodului "i" și "j" ale elementului finit.

Pentru a exprima marimile care intervin la nivelul structurii mecanismului cu couple cinematice elastice se introduce matricea de expansiune $[\beta_i]$. Deplasările nodale ale elementului finit în sistemul global se pot exprima în funcție de deplasările nodale ale MCCE prin relația:

$$[\delta'] = [\beta_i] * [\delta] \quad (5.92)$$

Relația dintre forțele nodale și deplasările nodale ale elementului finit se exprimă prin:

$$[F] = [k] * [\delta'] \quad (5.93)$$

$$[k] = [k_E] + [k_G] \quad (5.94)$$

unde matricea de rigiditate totală $[k]$ a elementului finit este suma matricelor de rigiditate elastică $[k_E]$ și a matricelor de rigi-

mitate geometrică [kg]. Pentru un element finit plan avind nodurile "1" și "2" cele două matrici se exprimă sub forma /B7/:

$$[k_E] = \begin{bmatrix} E*A & & & E*A & & \\ \cdots & 0 & 0 & \cdots & 0 & 0 \\ 1 & & & 1 & & \\ & 12*E*I & 6*E*I & & 12*E*I & 6*E*I \\ & \hline & 13 & 12 & & 13 & 12 \\ & & & & & & \\ & & 4*E*I & & 6*E*I & 2*E*I \\ & & \hline & & 0 & & \\ & & 1 & & 12 & & 1 \\ & & & & & & \\ & & & E*A & & & \\ & & & \hline & & 0 & 0 \\ & & & 1 & & & \\ & & & & 12*E*I & 6*E*I \\ & & & & \hline & & 13 & 12 \\ & & & simetric & & & \\ & & & & 4*E*I & & \\ & & & & \hline & & 1 & & & & \end{bmatrix} \quad (5.95)$$

$$[k_G] = \frac{EA}{l^2} \begin{bmatrix} 12*a-1*b & 3*i*a-1^2*c & 0 & 12*a+1*b & 3*i*a-1^2*c \\ \hline 10 & 30 & & 10 & 30 \\ 6*d & 1*d & 1*b-12*a & 6*d & 1*d \\ \hline 5 & 10 & 10 & 5 & 10 \\ 2*i^2*d & 1^2*c-3*i*a & 1*d & & 1^2*d \\ \hline 15 & 30 & 10 & & 30 \\ & & 12*a-1*b & 1^2*c-3*i*a \\ & & \hline 0 & 10 & 30 \\ & simetric & & 6*d & 1*d \\ & & & \hline & 5 & 10 \\ & & & 2*i^2*d & \\ & & & \hline & 15 & & & \end{bmatrix} \quad (5.96)$$

Unde:- E,A,I,l sint caracteristicile de material, ale secțiunii elementului finit și lungimea elementului finit
 - $a=v_2-v_1$; $b=\theta_1+\theta_2$; $c=4*\theta_1-\theta_2$; $d=u_2-u_1$; $e=4*\theta_2-\theta_1$
 - u,v,θ sint deplasările nodale în nodul "1" și "2"

Pe baza relatiilor anterioare se poate exprima matricea de rigiditate a mecanismului cu couple cinematice elastice:

$$[K] = \sum_{i=1}^n [\beta_i]^T * [R]^T * [k_i] * [R] * [\beta_i] \quad (5.97)$$

Torsorul forTELOR exterioare (\bar{F}_e, \bar{M}_e) se repartizeaza conform teoriei rezistentei materialelor in nodurile q_i, q_j si q_k . Matricea forTELOR nodale este in acest caz:

$$\begin{aligned} \{F\}^T = & \{[F]_1 \ [0]_{2-(i-1)} \ [F]_i \ [F]_{i+1} \ [0]_{(i+2)-(j-1)} \ [F]_j \dots \\ & \dots [0]_{(j+1)-(k+1)} \ [F]_k\} \end{aligned} \quad (5.98)$$

unde : - $[F]_i$ - matricea forTELOR nodale in nodul "i"; are dimensiunea 6×1

- $[0]$ - matricea zero

Structura discretizata a mecanismului cu couple cinematice elastice cuprinde si noduri cu deplasari nule. Atit din matricea de rigiditate generala cit si din vectorul forTELOR nodale se elimina liniile si coloanele corespunzatoare deplasarilor nule.

Deplasarile nodale globale se obtin prin rezolvarea in continuare a ecuatiei structurii:

$$\{\Delta d\} = [K]^{-1} * \{\Delta F\} \quad (5.99)$$

unde Δd este vectorul unor deplasari nodale mici pentru care matricea de rigiditate se poate considera constanta.

Starea finala a deplasarilor nodale se obtine in baza unui proces iterativ de calcul.

Algoritmul de calcul consta in principal din urmatoarele etape:

- se considera starea nedeformata a MCCE, $[k_i] = [k_i]_E$, pentru care se gaseste vectorul deplasarilor $\{\Delta d\}_0$
- se calculeaza matricea geometrica a elementului finit $[k_{i6}]$ si se asambleaza matricea structurii
- se calculeaza forta ce a ramas de echilibrat in pasul de iteratie urmator

$$\{\Delta F\}_j = \{F\} - \{F\}_j \quad (5.100)$$

unde $\{F\}_j$ este forta echilibrata in pasul de iteratie "j"

- se calculeaza corectia deplasarilor $\{\Delta d\}$ in pasul de iteratie "j+1":

$$\{\Delta d\}_{j+1} = [K]_j^{-1} * \{\Delta F\}_j \quad (5.101)$$

- se calculeaza deplasarile totale rezultante, care corespunde o noua forta neechilibrata:

$$\{d\}_{j+1} = \{d\}_j + \{\Delta d\}_{j+1} \quad (5.102)$$

Procesul continua pina cind se atinge convergenta dorita:

$$\left| \frac{\Delta d_j}{d_j} \right| \leq e_a \quad (5.103)$$

e_a fiind eroarea de calcul admisa.

Pe baza celor prezentate anterior s-a realizat un program de calcul, in limbaj BASIC, pentru mecanismele cu cupluri cinematice elastice plane. Programul este prezentat in anexa.

Programul de calcul este aplicabil unui MCCE plan format din 2 elemente elastice legate intre ele prin elemente rigide. Asupra uneia din elementele rigide se aplica un torsor a fortele exterioare (\bar{F}_e, \bar{M}_e).

Datele de intrare ale programului sunt:

- geometria MCCE (numarul de elemente finite, numarul de noduri, nodurile blocate)
- caracteristicile de material (E, G) ale elementelor elastice si ale celor rigide
- caracteristicile sectiunilor elementelor finite elastice si rigide

torsorul fortele exterioare

Datele principale obtinute in urma calculului sunt deplasarile nodale ale mecanismului cu cupluri cinematice elastice. Se pot calcula ulterior fortele elastice in noduri existand posibilitatea de verificare a solicitarilor in elementele elastice.

Prin modificarea datelor geometricce ce caracterizeaza sectiunea elementelor elastice se poate obtine o optimizare a mecanismului dat.

5.5. ESTIMAREA FIABILITATII MECANISMULUI CU CUPLE CINEMATICE ELASTICE.

Calculul fiabilitatii are o importanta deosebita mai ales etapa proiectarii cind proiectantul este pus sa rezolve doua probleme:
- proiectarea unui produs cu caracteristici date

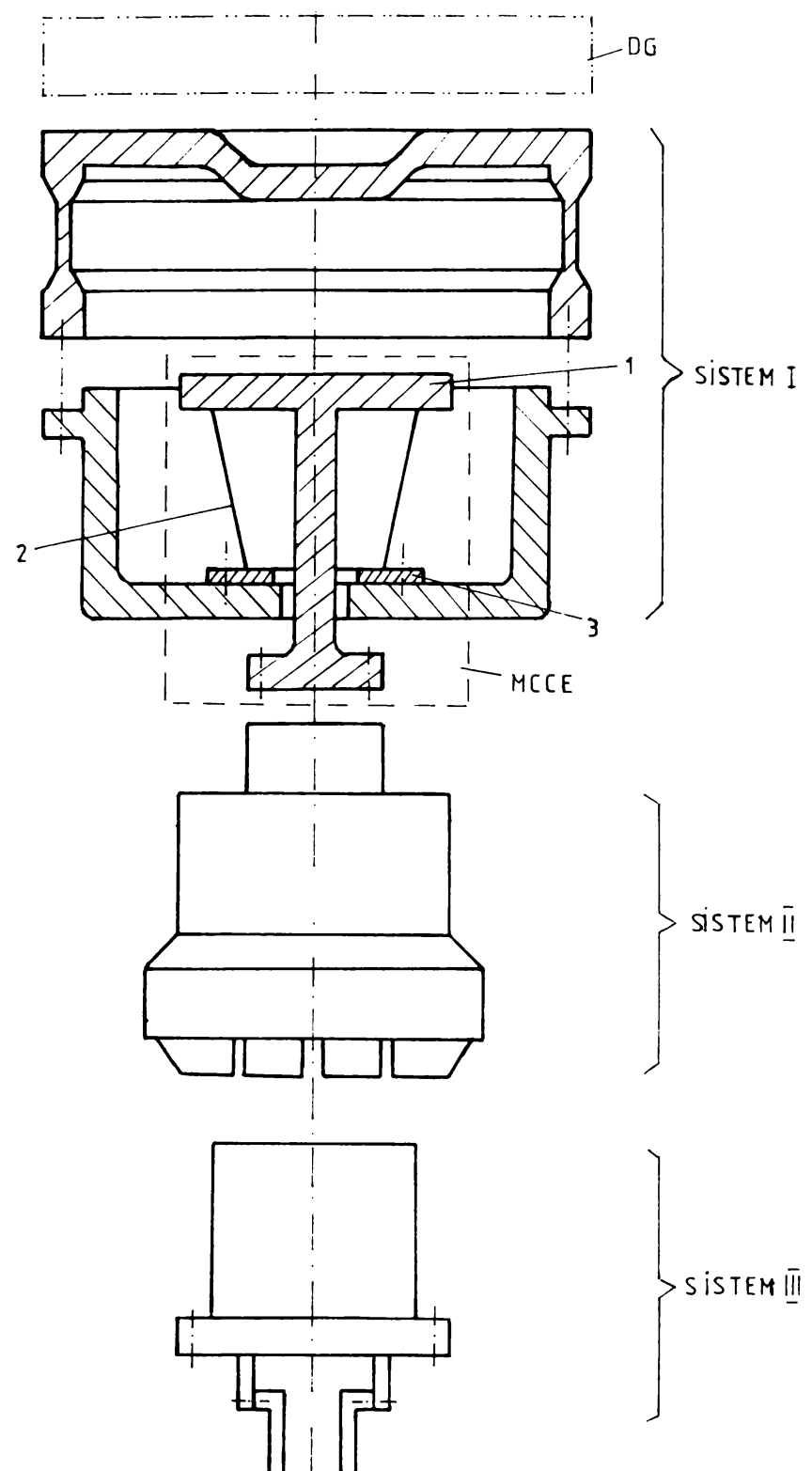


Fig. 5.18.

-proiectarea unui produs sigur care sa nu se defecteze in timpul exploatarii

Efectelor lui i se impune o fiabilitate extrem de ridicata, neadmitindu-se practic defectiuni in perioada utila de viata. In aceste conditii avind in vedere faptul ca mecanismul cu couple cinematice elastice face parte din efectator (fig.5.18) o fiabilitate extrema i se impune si acestuia.

"Obiectul" asupra caruia aplicam teoria fiabilitatii este definit ca un dispozitiv.

Indiferent de metoda de apreciere a fiabilitatii determinanta este definirea defectiunii. Defectiunea poate fi definita pe baza conditiilor tehnice de functionare si realizare. Acestea revad in raport cu precizia cu care trebuie indeplinita o anumita functie, un domeniu de variatie admisibila a parametrilor care caracterizeaza functionarea corecta in conditiile de exploatare date.

Pentru fiecare varianta de mecanism cu couple cinematice elastice luata in considerare, se analizeaza pe baza solutiilor constructive admise defectiunile posibile. Pentru componentele unui MCDE se pot defini in general defectiunile:

elemente elastice-deformatii peste limita de elasticitate, pierderea calitatii de elasticitate ca urmare a scurgerilor de fluid sau "imbatrinire" a cauciucului etc.

ouplele cinematice elastice-cedare a imbinariei cu deplasarea relativa a elementului elastic, aparitia de jocuri in zona de vulcanizare a cauciucului, deformarea plastica a zonei de incarcare etc.

elementele rigide-pot fi aproximante cu batiuri si deci conditii cu defectiuni reduse. Daca elementele rigide indeplinesc si alte functiuni (de ex. componenta a dispozitivului de blocare a CCS) in afara celei de inchiderea lantului cinematic elastic, trebuie luate in considerare si aceste functiuni.

Fiabilitatea dispozitivului poate fi scrisa ca fiind:

$$P(t) = P_C(t) * P_U(t) * P_R(t) \quad (5.104)$$

unde $P_C(t)$, $P_U(t)$ si $P_R(t)$ reprezinta probabilitatile absentei defectiunilor catastrofice (bruste), a defectiunilor de uzura (sau parametrice), a rateurilor. Avind in vedere ca in perioada de viata sînt preponderente defectiunile bruste se poate scrie:

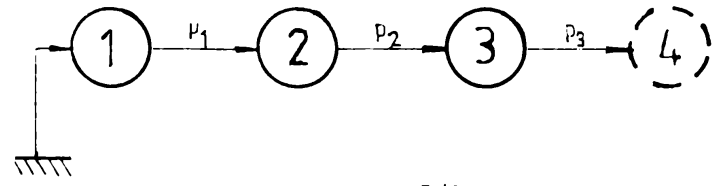


Fig.5.19

$$p(t) = p_c(t) \quad (5.105)$$

In fig.5.19 se prezinta graful de conexiuni dintre componente dispozitivului. Fluxul functional este marcat cu segmente orientate, simbolizate cu sageti. Segmentele reprezinta astfel: P_1 este probabilitatea ca elementul rigid (1) (fig.5.18) sa asigure inchiderea lantului cinematic elastic in conditiile proiectate (si eventual a celorlalte functiuni).

P_2 este probabilitatea ca elementele elastice sa ofere elasticitatea si precizia necesara compensarii erorilor de situare. Aceasta probabilitate tine cont si de indeplinirea functiunilor cuprelor cinematice elastice.

P_3 este probabilitatea ca elementul rigid (3) sa asigure legatura mecanismului cu couple cinematice elastice cu sistemul III in conditiile proiectate.

In concluzie fiabilitatea functionala a MCCE poate fi exprimata ca fiind:

$$P = \prod_{j=1}^3 P_j \quad (5.106)$$

Pentru calculul indicilor de fiabilitate functionala se au in considerare defectiunile catastrofice distribuite dupa o legge de repartitie exponentiala:

$$P_j(t) = \exp[-\lambda_j * t], \quad j=1,2,3 \quad (5.107)$$

unde λ_j este intensitatea medie de defectare.

In functie de componenta si solutia constructiva adoptata se aleg din documentatia existenta /M16/,/04/ valorile medii ale intensitatilor de defectare ale elementelor. Intensitatea medie de defectare a dispozitivului este:

$$\lambda_j = \sum_k^n N_k * \lambda_k \quad (5.108)$$

Din care n este numarul de componente ale dispozitivului, N_k numarul de componente de acelasi fel avind intensitatea de defectare λ_k . Valorile λ_j astfel obtinute pentru diferite variante indica solutia cu cea mai mare siguranta in functionare. Utilizand apoi relatiile (5.106), (5.107) se poate determina functia de fiabilitate a mecanismului cu couple cinematice elastice.

5.6. ALEGAREA OPTIMALĂ A MECANISMELOR CU CUPLE CINEMATICE ELASTICE

Proiectarea mecanismului cu couple cinematice elastice ofera in ultima sa fază mai multe variante V_i optimizate din punct de vedere constructiv. Din multimea V_i a variantelor posibile trebuie aleasa varianta optima. Calitatea de optimalitate a variantei se stabileste in raport cu unul sau mai multe criterii bine definite si a unei metode adecvate de prelucrare a informatiilor.

Problema abordata, privita ca model de decizie, se incadreaza in modelul de decizii multiatribut. Fie o multime de variante $V = \{V_1, V_2, V_3, \dots, V_m\}$ si o multime de criterii $C = \{C_1, C_2, \dots, C_n\}$. Pentru fiecare criteriu C_j se poate asocia fiecarei variante V_i un vector ce caracterizeaza cantitativ sau calitativ acea varianță in raport cu criteriul C_j . Acesti vectori formeaza matricea consecintelor $[A] = [a_{ij}], i=1,2,\dots,m$ si $j=1,2,\dots,n$ /A10/. Problema caracterizata de matricea $[A]$ se numeste problema de decizie multiatribut-cardinala. Orice problema cardinala poate fi redusa la o problema ordinala (cind se furnizeaza direct ierarhia multumii variantelor pentru fiecare criteriu in parte). Se remarcă o ordonare a variantelor de la cea mai buna la cea mai slaba, in raport cu toate criteriile. Ordinarea astfel obtinuta indica si varianta optima in raport cu toate criteriile. Importanta criteriilor este evaluata prin coeficientii de importanta $p_j, j=1,2,\dots,n$. Pentru a putea compara intre ele cete criterii neomogene, este necesara o omogenizare a lor prin folosirea urmatoarele metode: scalare ordinala, scalare intr-un interval sau normalizare. Criteriul calitativ face compararea variantelor prin intermediul a 4 nivale - "mic", "mediu", "mare" si "foarte mare" - sau 5 nivale - "mic", "suficient", "mediu", "mare" si "foarte mare". Se primesc in mod corespunzator "notele" {1 ; 3.5 ; .5 ; 9} respectiv {1 ; 3 ; 5 ; 7 ; 9}. Rezultatele normalizate pentru acest criteriu vor fi:

$$r_{ij} = \frac{a_{ij}}{\sum a_{ij}} \quad \text{sau} \quad r_{ij} = \frac{a_{ij}}{(\sum a_{ij}^2)^{1/2}} \quad (5.109)$$

In cazul criteriilor cantitative normalizarea poate utili-

ca relatiile (5.109) (normalizare vectoriala),relatiile (5.110) – cind criteriile sunt de maxim – sau relatiile (5.111)-cind criteriile sunt de minim.

$$r_{ij} = \frac{a_{ij}}{\max_i a_{ij}} \quad i=1,2,\dots,m ; j=1,2,\dots,n \quad (5.110)$$

$$r_{ij} = \frac{\min_i a_{ij}}{a_{ij}} \quad i=1,2,\dots,m ; j=1,2,\dots,n \quad (5.111)$$

Cu ajutorul rezultatelor normalizate se va obtine matricea normalizata [R].

Exista o serie de metode de decizie pentru obtinerea variantei optime:metoda Onicescu,metoda Electre,metoda TOPSIS etc fiecare metoda accentueaza in mod diferentiat aspectele problemei si deci nu se pune problema competitivitatii lor.Alegerea uneia sau a alteia dintre metode este lasata in general la aprecierea lui care decide.Pentru problema analizata s-a admis metoda TOPSIS /A10/.

Pornind de la sarcinile unui mecanism cu cupluri cinematice elastice pentru operatii de montaj se pot defini principalele criterii pentru acesta:

- adaptabilitate la diferite sarcini de montaj
- domeniu ridicat a spatiului admisibil pentru erorile (pozitie, orientare) compensate.
- constructie simpla,robusta la un volum si greutate minima.
- sensibilitate ridicata (lipsa fenomenului de histereză)
- siguranta in functionare,intretinere usoara
- cost redus

In baza acestor proprietati se pot formula urmatoarele criterii de evaluare complexa a celor "m" variante:

- C1:adaptabilitate
- C2:deformatie laterală permisa
- C3:deformatie unghiulară permisa
- C4:diametrul flansei efectorului
- C5:inaltimea MCCE
- C6:greutate
- C7:fiabilitate
- C8:cost

In categoria criteriilor calitative se includ criteriile C7,C8.Pentru criteriile cantitative se poate face repartizarea

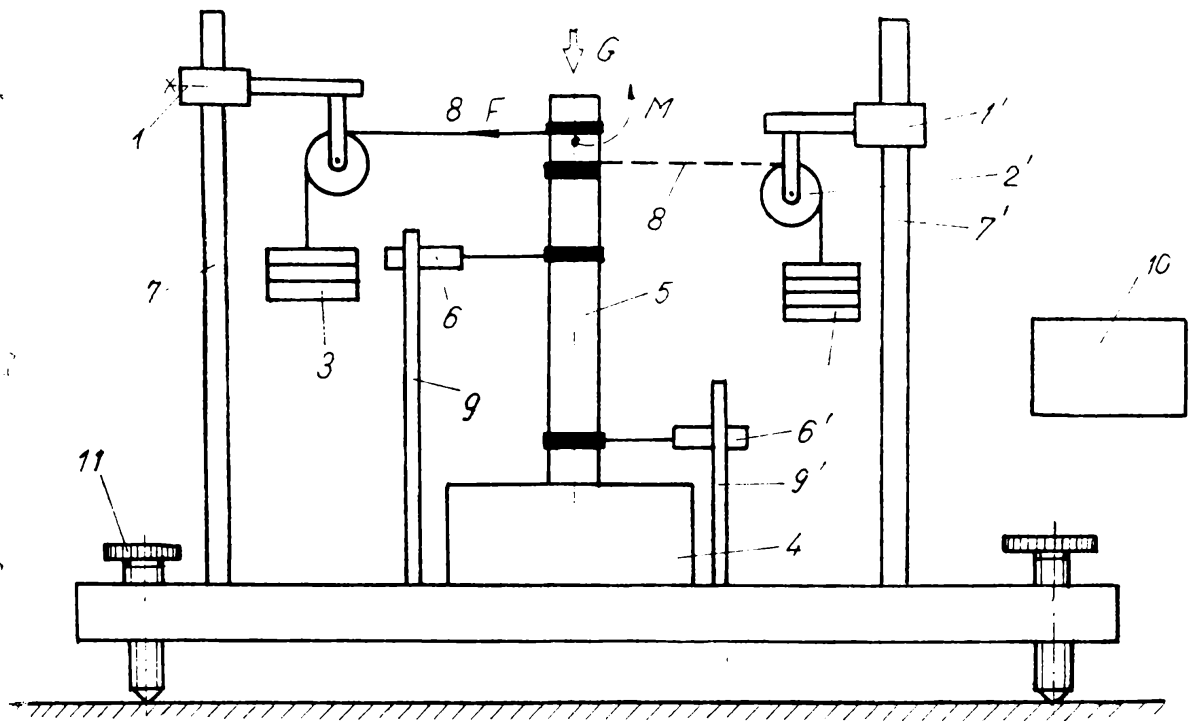


Fig. 6.1

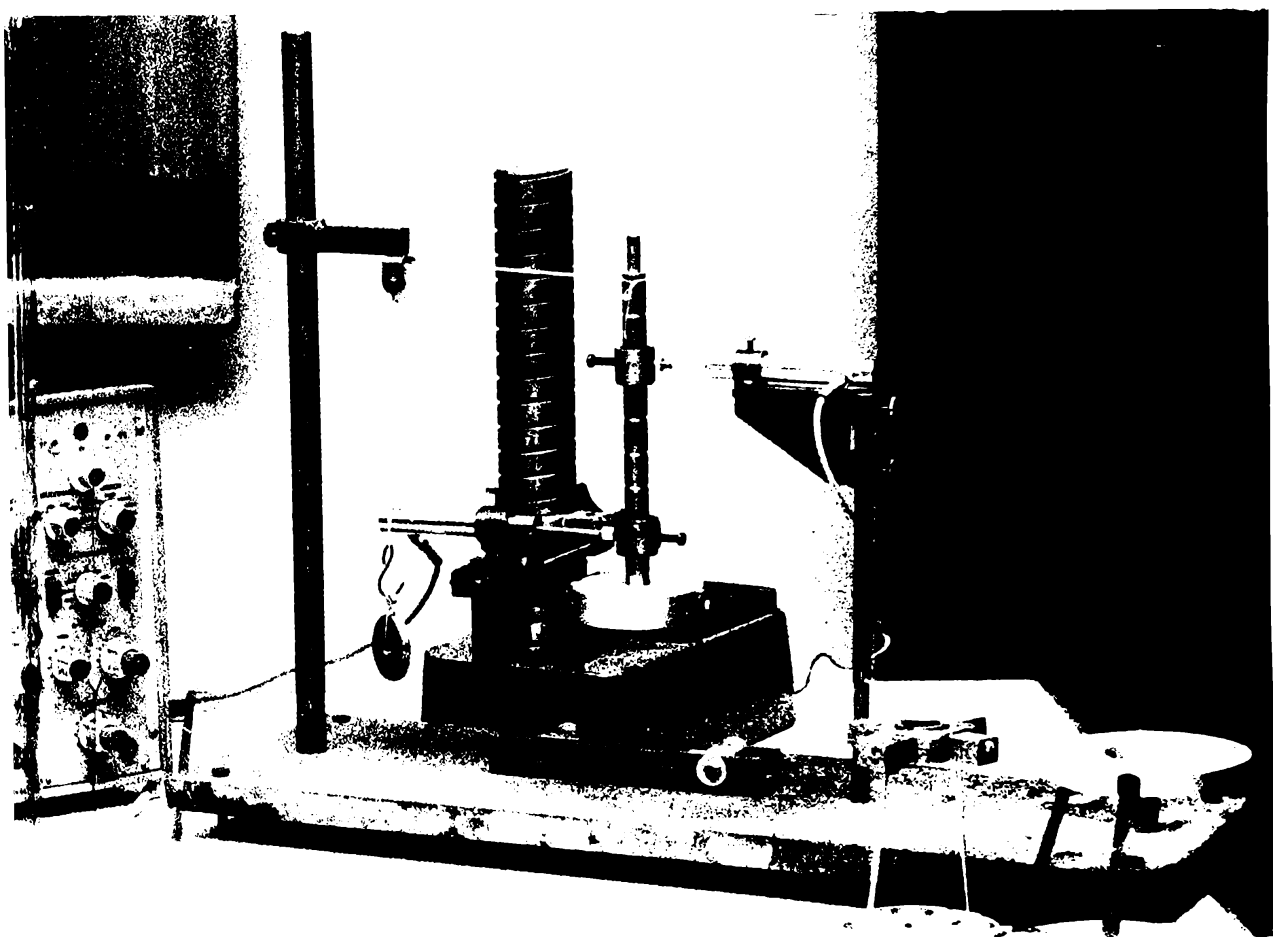


Fig. 6.2

in:criterii de maxim-C2,C3-si criterii de minim-C4,C5,C6,C8.

Acestor criterii prezentate anterior li se pot adauga si altele (de ex. forta axiala permisa, consum energetic etc.) sau din acestea pot fi eliminate unele, decindentul putind hotari asupra acestor aspecte. Importanta unui criteriu fata de altul depinde de operatiile tehnologice la care va fi folosit dispozitivul, sarcina RI, caracteristicile pieselor care se vor monta etc.

Pe baza importantei unui criteriu C_i fata de criteriul C_j , se stabileste matricea importanțelor relative $[B]$ ai carei termeni se bucura de proprietatea ca $b_{ij} = 1/b_{ji}$. Prin rezolvarea ecuației caracteristice:

$$\det(B - \lambda * I_n) = 0 \quad (5.112)$$

se obtine valoarea proprie maxima λ_{\max} . Coeficientii de importanță se obțin prin rezolvarea sistemului de ecuații:

$$(B - \lambda_{\max} * I_n) * P^T = 0 \quad (5.113)$$
$$\sum_1^n p_i = 1$$

Utilizind relațiile de normalizare se obține matricea normalizată $[R]$ iar apoi prin utilizarea coeficientilor de importanță cea ponderată $[V]$. Se calculează în continuare distanța euclidiană dintre soluțiile pozitiva și negativă iar apoi coeficientii de ordonare a variantelor /A10/.

Pe baza celor enunțate anterior s-a realizat un program de calcul în limbaj BASIC care permite alegerea optimala în mod automat /D30/, /D31/. Programul este prezentat în anexa.

6. INCERCARI EXPERIMENTALE

6.1. INTRODUCERE.

Aşa cum s-a prezentat în capituloare anterioare, mecanismele cu couple cinematice elastice pentru dispozitivele de compliantă sint solicitate de un torsor (F, M) ce actioneaza asupra bielei rigide.

In vederea stabilirii modului de raspuns a MCCE, la o astfel de incarcare, programul de incercari s-a orientat in doua directii:

incarcarea MCCE cu o forta F sau moment M si determinarea deplasarilor bielei

incercarea MCCE intr-o operatie de asamblare stift-alezaj

6.2. INCERCAREA UNUI MCCE PLAN

6.2.1. Introducere

Avind in vedere ca majoritatea modelelor teoretice a sambalarilor stift-alezaj sint modele plane, ca unele module de pozitionare locala utilizeaza MCCE plane in programul de incercari nu prevazut a se realiza experimentari asupra unor MCCE plane.

6.2.2. Prezentarea generala a standului experimental folosit.

In vederea masuratorilor s-a proiectat si realizat standul experimental a carui schita este prezentata in fig.6.1

Pe tijele 7,7' sint fixate bratele 1 si 1' prevazute cu solele 2 si 2' peste care sint trecute firele 8 si 8'. Un capat al lor este fixat pe tija 5 iar cel de-al doilea capat este incarcat cu contragreutatile 3.Tija 5 este montata pe biela rigida a MCCE-4.Prin deplasarea bratelor 1 si 1' pe tija 7 se pot

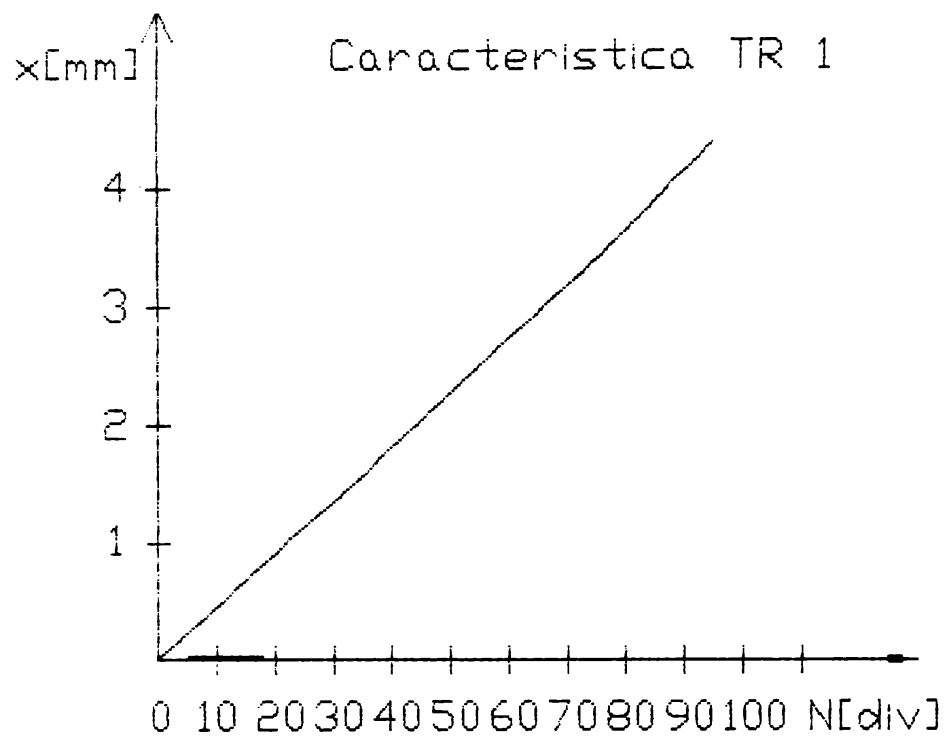


Fig.6.3

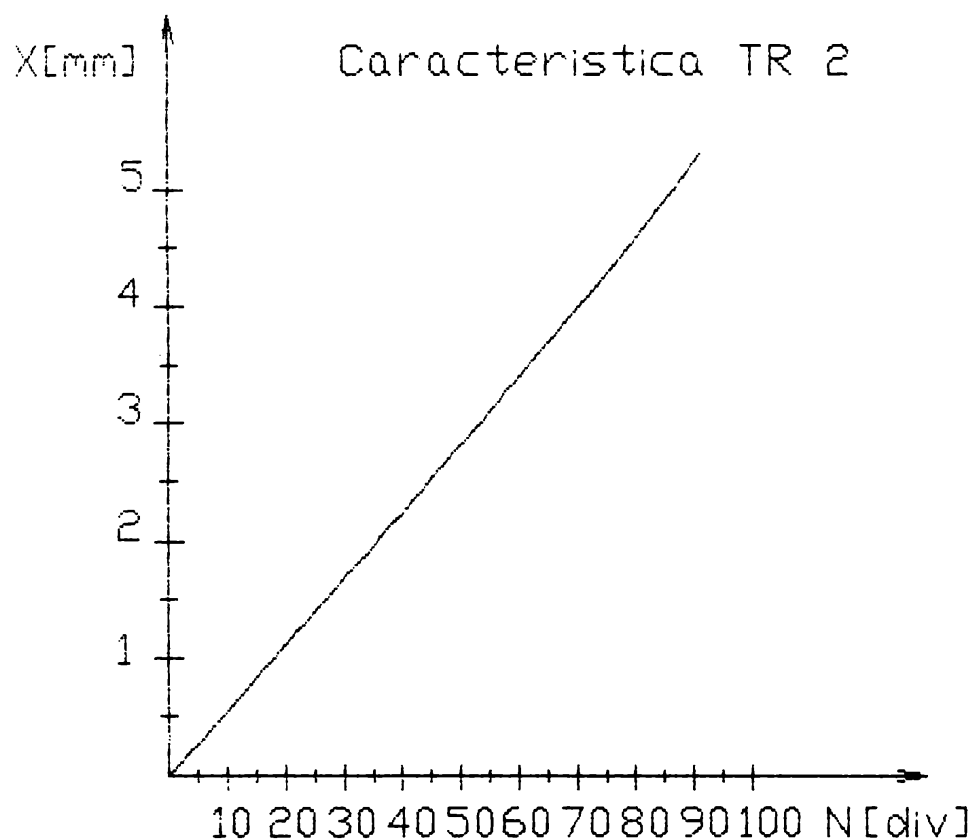


Fig.6.4

realiza diferite pozitii de aplicare a forTELOR F sau a momentelor M. Deplasarile tijei 5 se pot sesiza cu ajutorul instrumentelor de masurare 6 si 6'.

In vederea asigurarii unei orizontalitati a standului acesta a fost prevazut cu suruburile de reglaj 11.

Prin folosirea ... unui singur set de greutati , biela MCCE este incarcata cu o forta F iar prin folosirea ambelor seturi de contragreutati cu un moment M.

Pentru masurarea deplasarilor bielei s-a apelat la traductoare de deplasare de tip inductiv.Aceste traductoare se vor monta pe tijele 9,9' sau in suport de tip coloana.Semnalele de la aceste traductoare se inregistreaza la o puncte tensometrica cu mai multe canale (10).

In vederea eliminarii unor efecte perturbatoare s-au prevazut urmatoarele:

a)toate elementele constructive aparținind standului s-au realizat supradimensionat astfel incit rigiditatea acestora sa fie mult mai mare decit a MCCE studiat.

b)rplele 2,2' s-au montat pe rulmenti pentru a reduce freclarile.

In fig.6.2 se prezinta o fotografie a standului in timpul masuratorilor.

6.2.3.Caracteristicile traductoarelor inductive.

Traductoarele inductive folosite pe parcursul incercarilor au fost de tip inductiv diferențiale.Traductoare de tip industrial (MKO-IWT 302) acestea au o cursa nominala de + 5 [mm].

Etalonarea traductoarelor s-a realizat pe standul prezentat anterior utilizind in mod suplimentar indicatia unui comparitor, montat pe un suport de tip coloana.

Caracteristicile s-au ridicat prin puncte pentru cursa nominala $s_n=5$ [mm] si pentru cursa $s=1$ [mm].

In fig.6.3 si fig.6.4 sint prezentate caracteristicile traductoarelor pentru cursa de $s_n=5$ [mm]. Valorile masuratorilor citite si prelucrate statistic sunt date in tabelul 6.1 (traductorul TI1) si in tabelul 6.2 (traductorul TI2).

Se constata din figurile prezentate o buna liniaritate a caracteristicii.Spre capatul cursei caracteristica devine neliniara datorita dispersiei liniilor de cimp magnetic.

Avind in vedere ca s-au determinat si deplasari de pina la

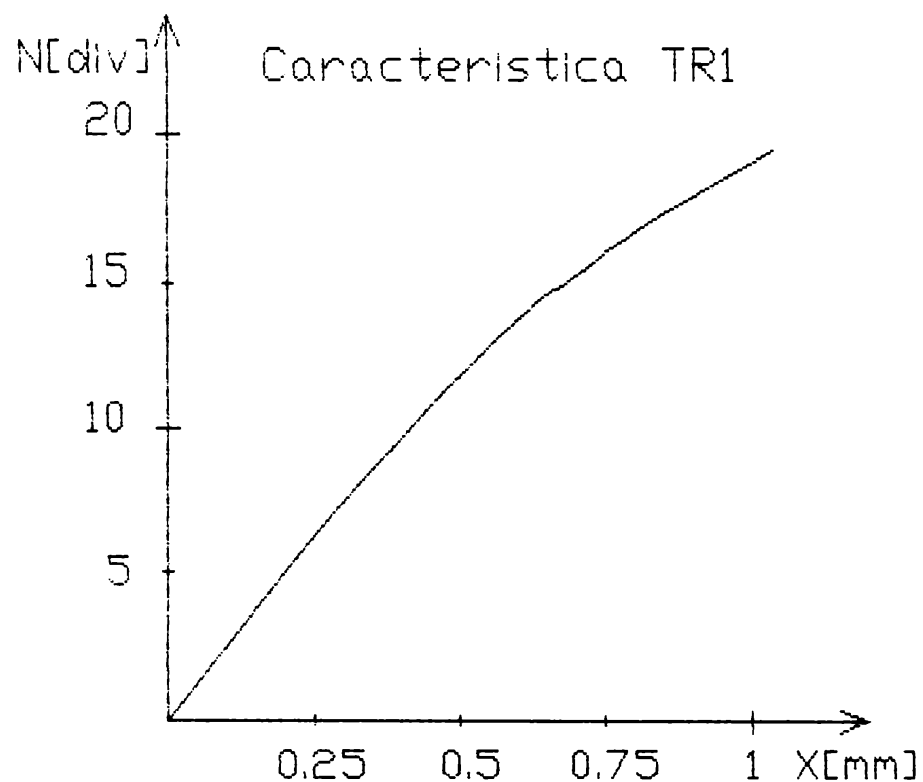


Fig.6.5.

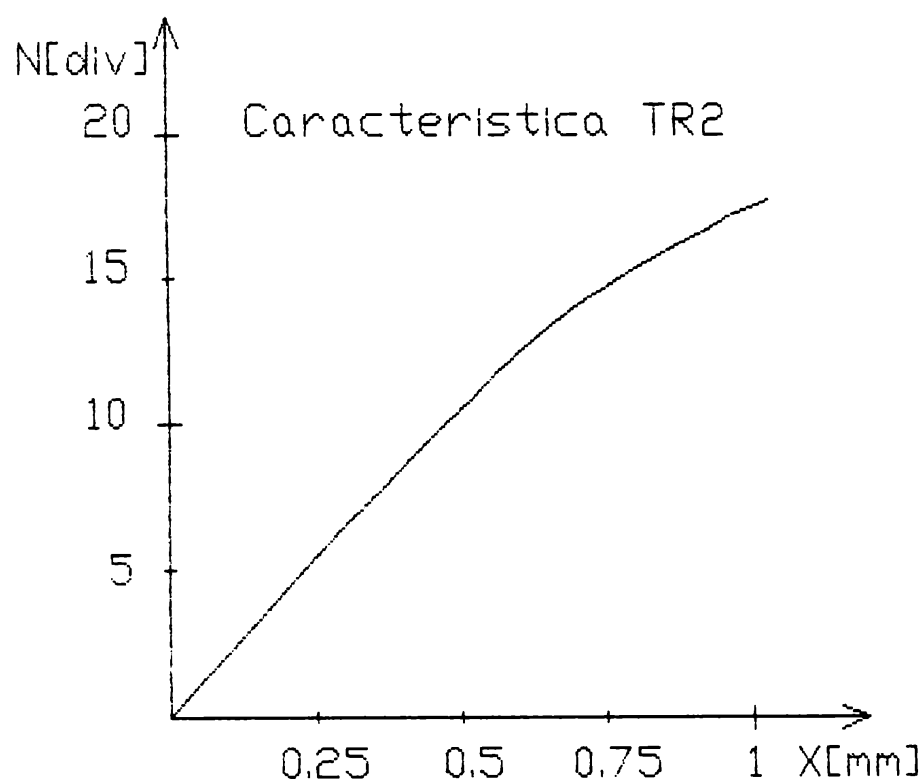


Fig.6.6

Tabelul 6.1

div	5.5	21	31	47	58	67	78	90
x [mm]	0.242	0.95	1.405	2.1	2.605	3.03	3.55	4.16
div	5	18	30	42	53	66	78	89
x [mm]	0.215	0.83	1.34	1.9	2.418	3	3.54	4.1
div	7	19	33	44	55	67	80	85
x [mm]	0.325	0.87	1.475	1.985	2.47	3.04	3.63	3.88
div	5.83	19.33	31.33	44.33	55.33	66.66	78.66	88
x [mm]	0.2606	0.833	1.4066	1.995	2.497	3.023	3.573	4.046

Tabelul 6.2

div	12.5	22	32	42	50	60	80	91
x [mm]	0.425	0.955	1.555	2.05	2.575	3.1	4.265	5.02
div	12	22	32	41.5	49.5	60	78	90
x [mm]	0.415	0.95	1.56	1.95	2.5	3.1	4.1	5
div	12	22.5	32	42	50	61	81	90
x [mm]	0.42	0.96	1.55	2.05	2.57	3.13	4.32	5
div	12.16	22.16	32	41.83	49.83	60.33	79.66	90.33
x [mm]	0.42	0.955	1.555	2.01	2.548	3.11	4.228	5.006

Tabelul 6.3

	x1	0.255	0.535	0.72	0.85	1.02
	x2	0.185	0.55	0.715	0.89	1.035
x [mm]	x3	0.26	0.538	0.71	0.84	1.035
	x4	0.195	0.538	0.704	0.932	1.052
	\bar{x}	0.22375	0.54025	0.71225	0.878	1.0355
	div1	6.5	12.75	15.7	17.4	19.2
	div2	5	13.2	15.6	18	19.5
div	div3	6.6	13	15.5	17.2	19.5
	div4	5	12.9	15.4	18.4	19.6
	div	5.775	12.96	15.55	17.75	19.45

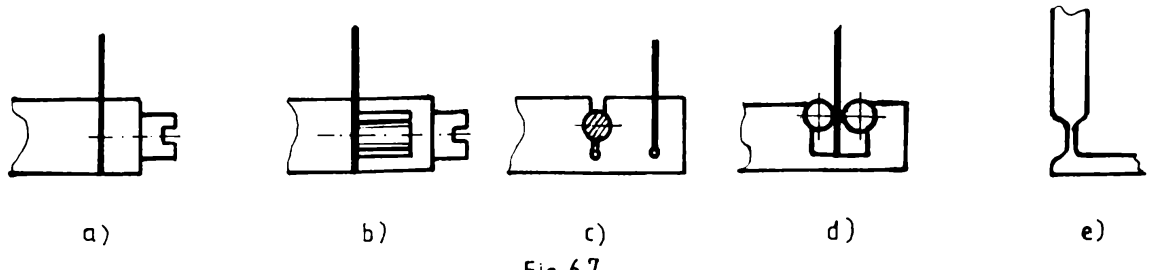
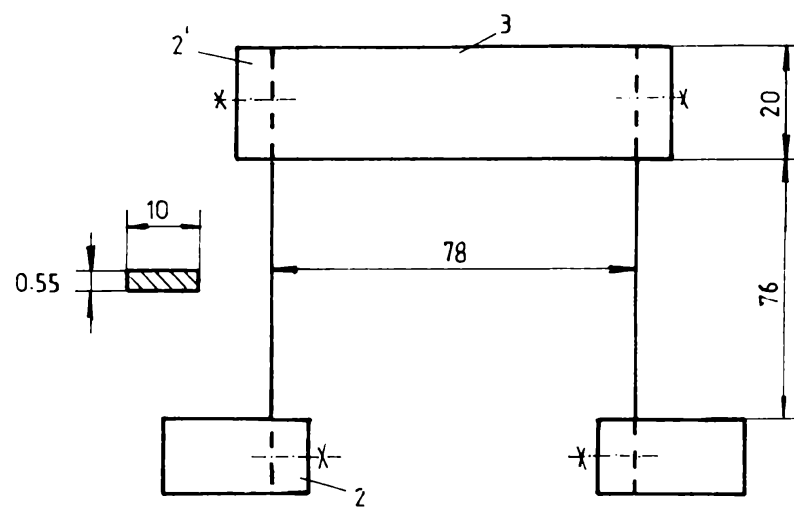


Fig. 6.7.



a)

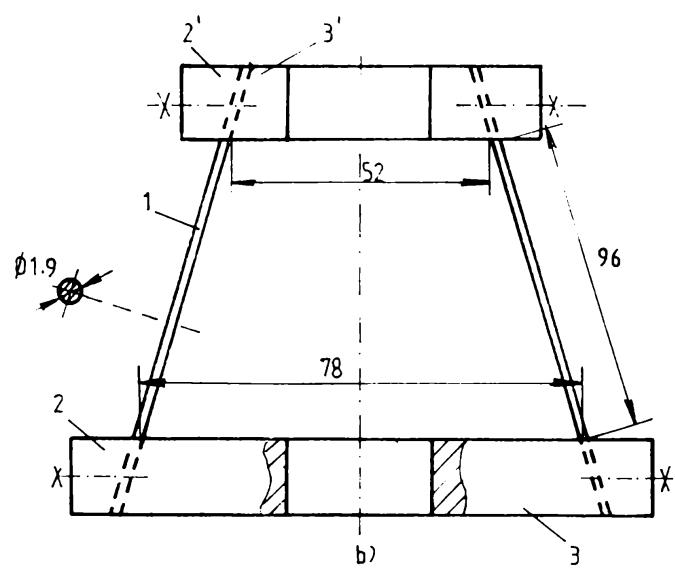


Fig. 6.8.

Tabelul 6.4

	x1	0.14	0.54	0.71	0.848	1.05
x [mm]	x2	0.131	0.546	0.69	0.848	1.01
	x3	0.14	0.55	0.75	0.835	1.03
	x4	0.132	0.565	0.708	0.895	1.025
	X	0.13575	0.55025	0.7145	0.8565	1.02875
v	div1	3.2	11.5	14.4	16	18
	div2	3	11.6	14.1	16	17.6
	div3	3.2	11.7	14.8	15.8	17.8
	div4	3	12	14.3	16.4	17.8
div	3.1	11.7	14.4	16.05	17.8	

[mm] s-au ridicat caracteristicile traductoarelor si pentru aceasta cursa. In fig.6.5 si fig.6.6 se prezinta cele doua caracteristici ridicate pe baza valorilor masuratorilor din tabelul 6.3 si tabelul 6.4.

6.2.4. Solutiile constructive ale MCCE plane analizate.

Din posibilitatile de realizare practica a cuplei cinematice elastice (fig.6.7) s-a admis solutia "a" pe considerentul realizarii simple, rapide si a unei functionari apropriate de incastrarea perfecta.

In fig.6.8 se prezinta schitele celor doua MCCE luate in studiu.

Pentru varianta "a" elementele elastice (1) s-au realizat din banda de otel de arc (OLC 55 A). Elementele rigide (2) si (2') au fost realizate din OL 50 iar elementul (3) din duraluminiu. Pentru a asigura o pozitionare precisa a elementelor elastice (1) acestea au fost fixate in prealabil prin stifturi cilindrice in elementele (2) si (2').

In cazul variantei "b" elementele elastice (1) au fost realizate din bara de otel de arc (OLC 55 A). Fixarea elementelor elastice (1) fata de elementele rigide (2) si (2') (realizate din OL 50) s-a efectuat prin stringere. Pozitionarea elementelor (2) si (2') fata de elementele (3) (realizat din duraluminiu) si (3')

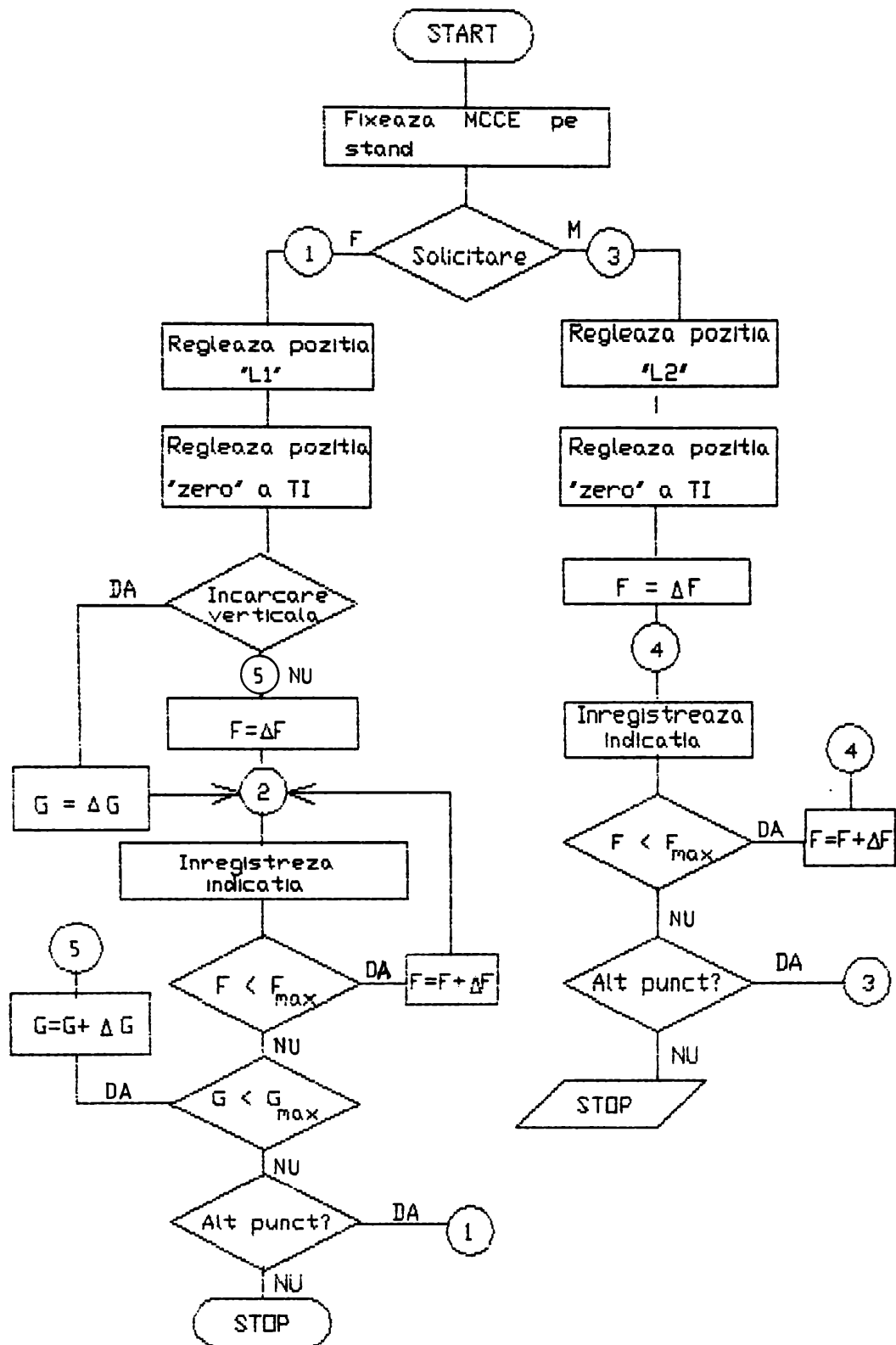


Fig.6.9

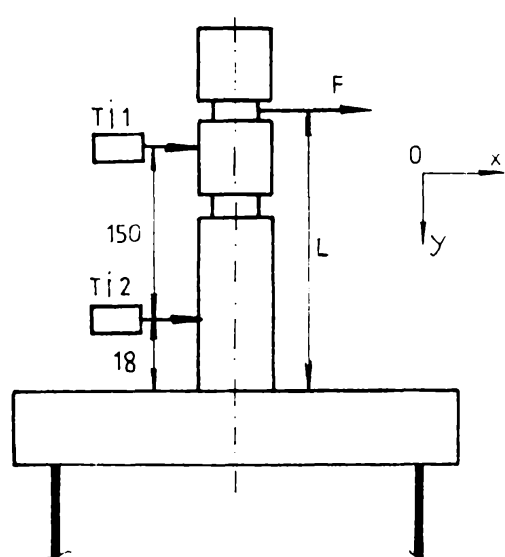


Fig. 6.10.

(realizat din OL 50) s-a realizat prin stifturi cilindrice.

6.2.5. Rezultate experimentale ale incercarilor MCCE plane

6.2.5.1. Consideratii generale

Incercarile experimentale ale MCCE s-au desfasurat conform urmatoarelor etape (fig.6.9):

- 1)-fixarea MCCE pe standul experimental astfel incit torsorul (F, M) sa se gaseasca in planul de incovoiere xOy al elementelor elastice.
- 2)-fixarea scripetelui (2) si (2') la inaltimea L de aplicare a sarcinii asupra bielei rigide. Se urmareste stabilirea influentei pozitiei punctului de aplicatie a sarcinii asupra comportamentului MCCE.
- 3)-reglarea pozitiei de "zero" a traductoarelor inductive TII si TI2 prin deplasarea acestora in suport si urmarirea indicatiei la puntea tensometrica.
- 4)-incarcarea MCCE in trepte prin contragreutatile (3) (respectiv 3',3'') si inregistrarea indicatiilor la puntea tensometrica. Incarcarea s-a facut in mod lin pentru a fi excluse erorile de masurare datorita socurilor.
- 5)-descarcarea MCCE in mod treptat si inregistrarea indicatiilor. Se urmareste prin aceasta evidențierea eventualei histerezee mecanice a MCCE.
- 6)-repetarea masuratorilor conform pct.4 si 5 de un anumit numar de ori in scopul prelucrarii statistice ale informatiilor obtinute.
- 7)-finalarea etapelor 3-6.

6.2.5.2. Incercari efectuate asupra MCCE varianta "a".

In ideea celor enuntate anterior mecanismul cu couple cinematice elastice var."a" a fost incercat pentru inceput la deplasari mari (nespecifice dispozitivelor de complianta) ale bielei. Incercarile efectuate au fost realizate pentru 5 pozitii ale fortele F (fig.6.10) ($L=185; 144; 123; 102; 60$ mm). Din compararea rezultatelor masuratorilor a rezultat faptul ca deplasarea bielei nu fost influentata de bratul L al fortele F. In tabelul 6.5 se

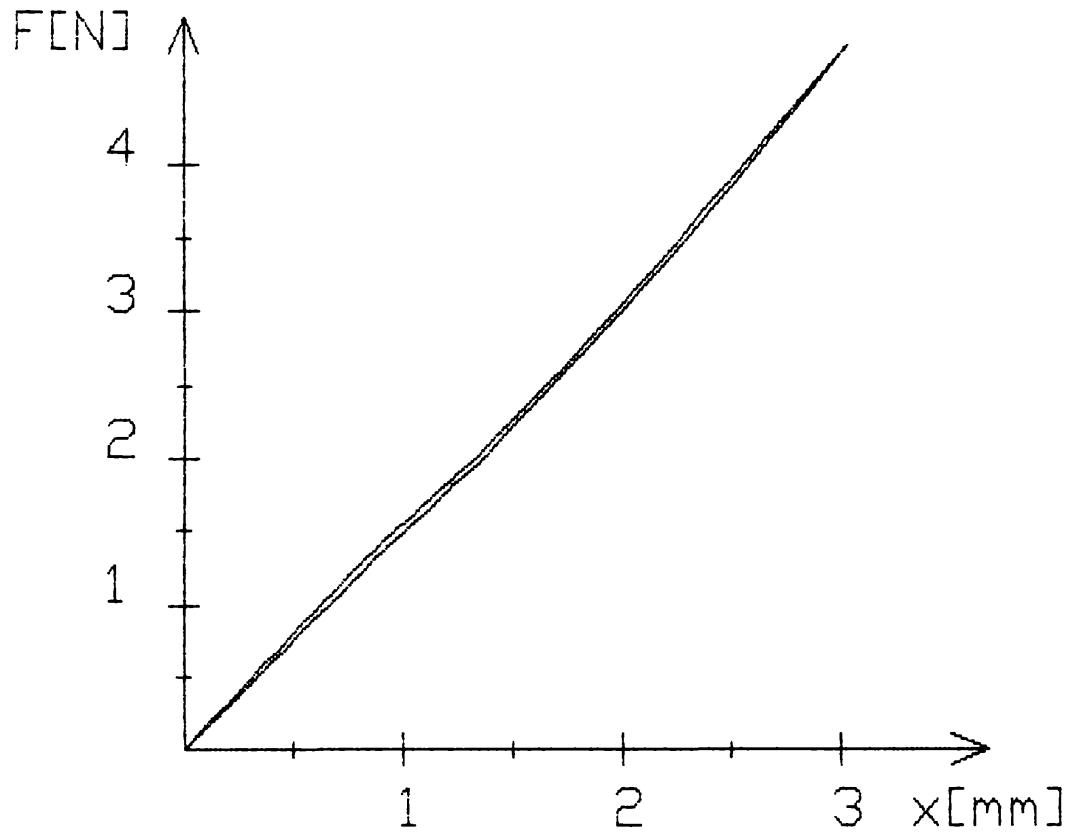


Fig.6.11

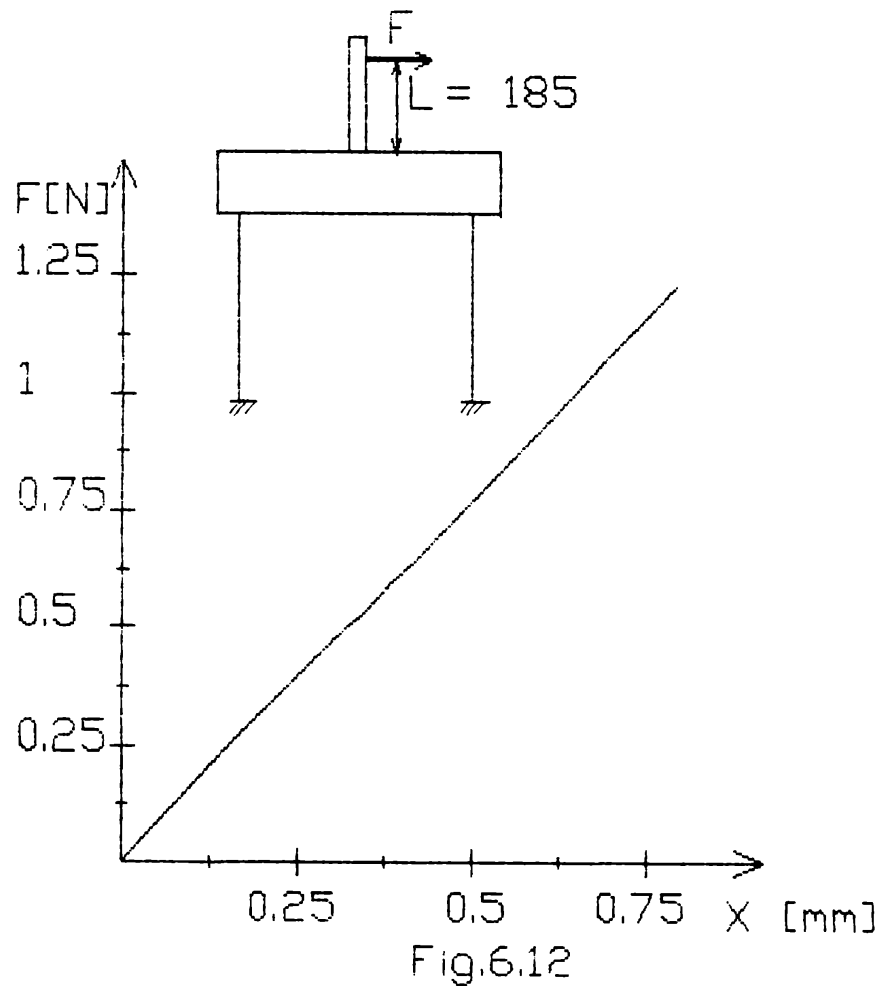


Fig.6.12

rezinta datele experimentale, prelucrate statistic, pentru o singura pozitie $L=102$ mm. Deplasarea X a fost calculata in punctul de aplicatie a fortelei F .

Tabelul 6.5

I	Forfa	I	x1	I	I	x2	I	I	x	I	I		
I	/N/	I	I	I	D	I	I	I	D	I	I		
I	0.4905	I	0.311	I	0.266	I	0.333	I	0.444	I	0.320	I	0.343
I	0.981	I	0.6	I	0.622	I	0.611	I	0.666	I	0.604	I	0.641
I	1.4715	I	0.933	I	0.977	I	0.944	I	1	I	0.937	I	0.987
I	1.962	I	1.302	I	1.348	I	1.314	I	1.345	I	1.307	I	1.345
I	2.943	I	1.953	I	1.953	I	1.943	I	1.971	I	1.948	I	1.96
I	3.8749	I	2.454	I	2.5	I	2.514	I	2.571	I	2.48	I	2.531
I	4.807	I	2.977	I	2.977	I	3.086	I	3.086	I	3.024	I	3.024

*** Obs. - I=incarcare, - D=descarcare

- x, x1, x2-deplasarile in dreptul fortelei, TII si TI2

Se evidentaiza urmatoarele:

-sistemul elastic ce materializeaza MCCE prezinta o histereză mecanica redusa.

-MCCE prezinta o caracteristica $F=f(X)$ liniara ceea ce il recomanda pentru module de pozitionare locala.

Al doilea set de incercari au urmarit determinarea comportarii MCCE la deplasari ale bielei caracteristice dispozitivelor de compianca. In tabelele 6.6-6.10 sunt prezentate inregistrările, prelucrate statistic, pentru cele 5 pozitii precizate anterior iar in fig.6.12-6.16 dependentele $F=f(x)$ ridicate pe baza acestor informatii. Aceste curbe au fost ridicate utilizand programul "Sketch" pe un calculator ROBOTRON EC 1834. Utilizand programul "REGRESIE" (Anexa) s-au determinat si ecuațiile corespunzatoare celor 5 determinari.

$L=185$ [mm]

Tabelul 6.6

F (N)	X1 (mm)	X2 (mm)	X (mm)	F1 (rad)
0.00000	0.00000	0.00000	0.00000	0.00000
0.24525	0.15798	0.18248	0.15520	0.00016
0.49050	0.33635	0.37581	0.33188	0.00026
0.73575	0.50250	0.54406	0.49779	0.00028
1.22625	0.81905	0.87749	0.81243	0.00039

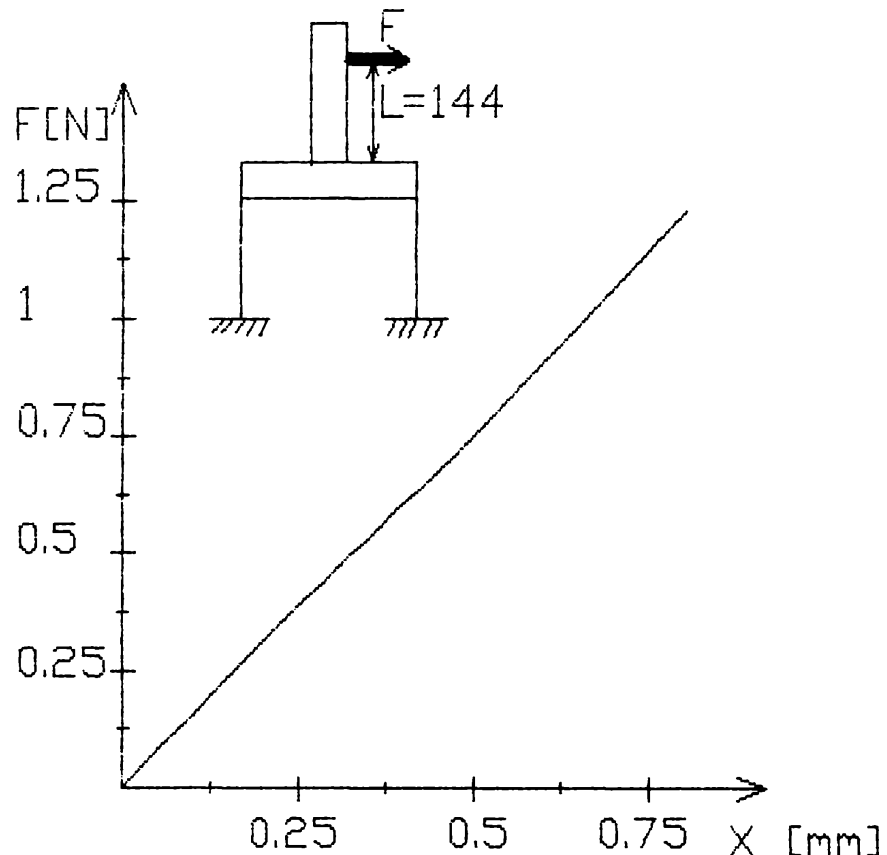


Fig.6.13

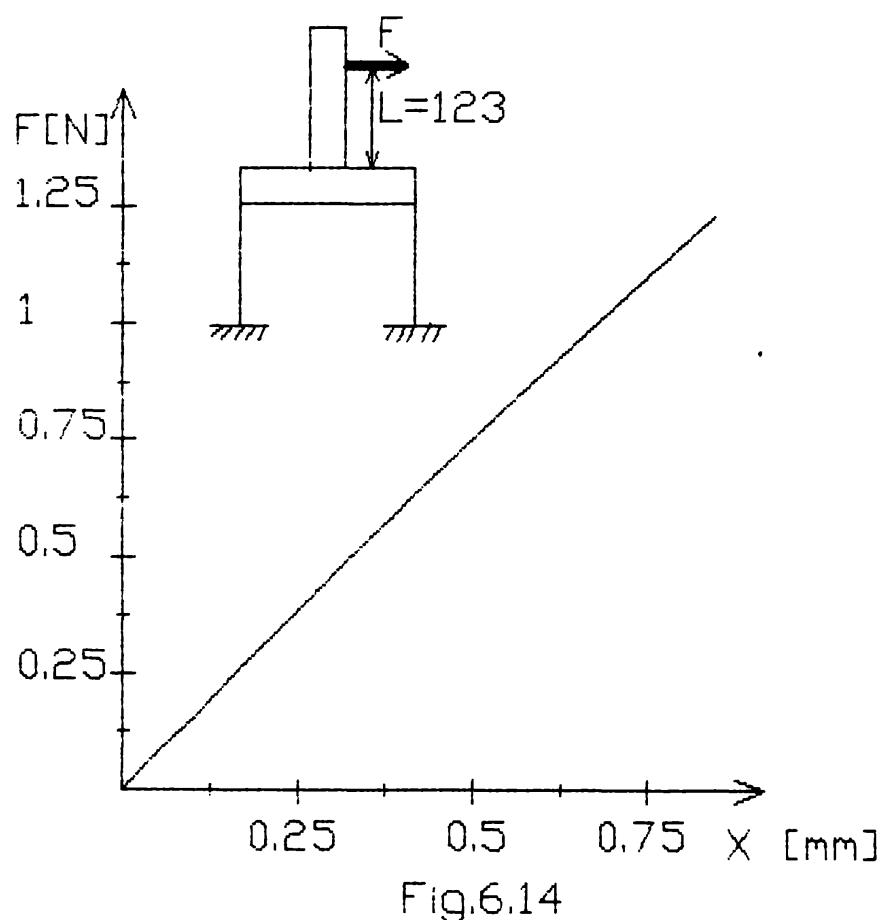


Fig.6.14

$$F = 1.537932 * x + 0.006172 \quad (6.1)$$

DS=0.01188

± 144 [mm]

Tabelul 6.7

F (N)	X1 (mm)	X2 (mm)	X (mm)	FI (rad)
0.00000	0.00000	0.00000	0.00000	0.00000
0.24525	0.16715	0.19031	0.17086	0.00015
0.49050	0.33024	0.36377	0.33560	0.00022
0.73575	0.51500	0.55187	0.52090	0.00025
1.22625	0.82671	0.87749	0.83483	0.00034

$$F = 1.516442 * x + 0.003626 \quad (6.2)$$

DS=0.014941

± 123 [mm]

Tabelul 6.8

F (N)	X1 (mm)	X2 (mm)	X (mm)	FI (rad)
0.00000	0.00000	0.00000	0.00000	0.00000
0.24525	0.16512	0.18393	0.17076	0.00013
0.49050	0.34094	0.37100	0.34996	0.00020
0.73575	0.49750	0.52879	0.50689	0.00021
1.22625	0.85542	0.87937	0.86261	0.00016

$$F = 1.453298 * x + 0.014338 \quad (6.3)$$

DS=0.017041

± 102 [mm]

Tabelul 6.9

F (N)	X1 (mm)	X2 (mm)	X (mm)	FI (rad)
0.00000	0.00000	0.00000	0.00000	0.00000
0.24525	0.17327	0.18790	0.17971	0.00010
0.49050	0.34450	0.38304	0.36146	0.00026
0.73575	0.51500	0.54255	0.52712	0.00018
1.22625	0.81905	0.87187	0.84229	0.00035

$$F = 1.53859 * x - 0.00978 \quad (6.4)$$

DS=0.018461

± 40 [mm]

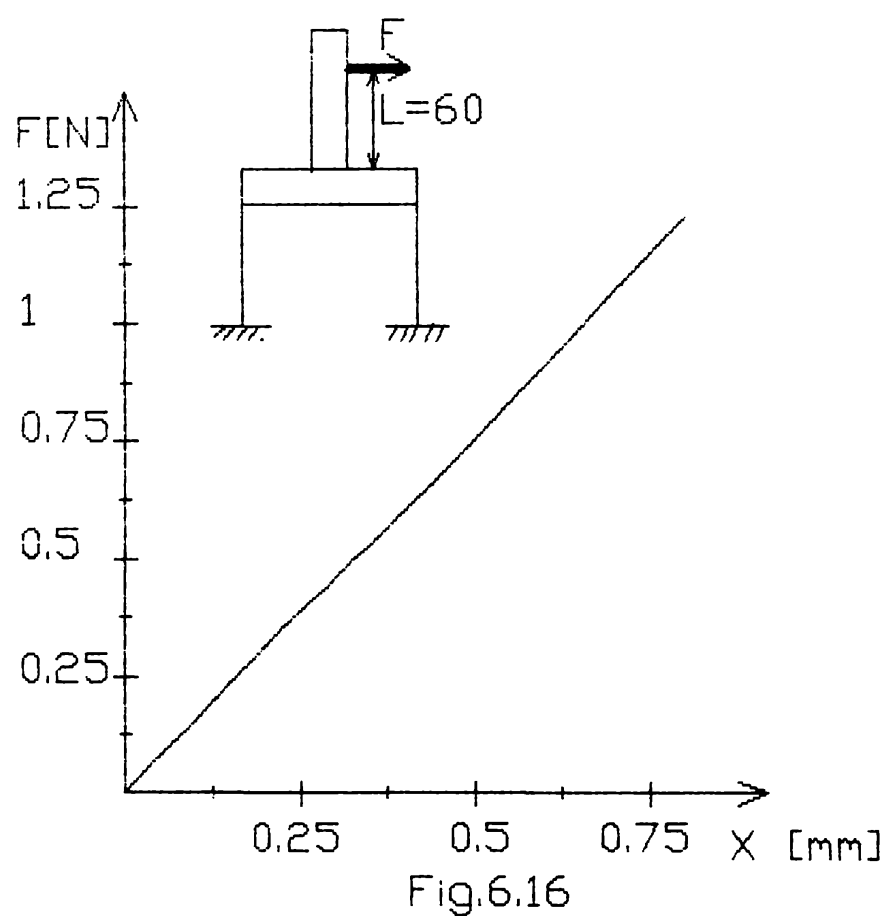
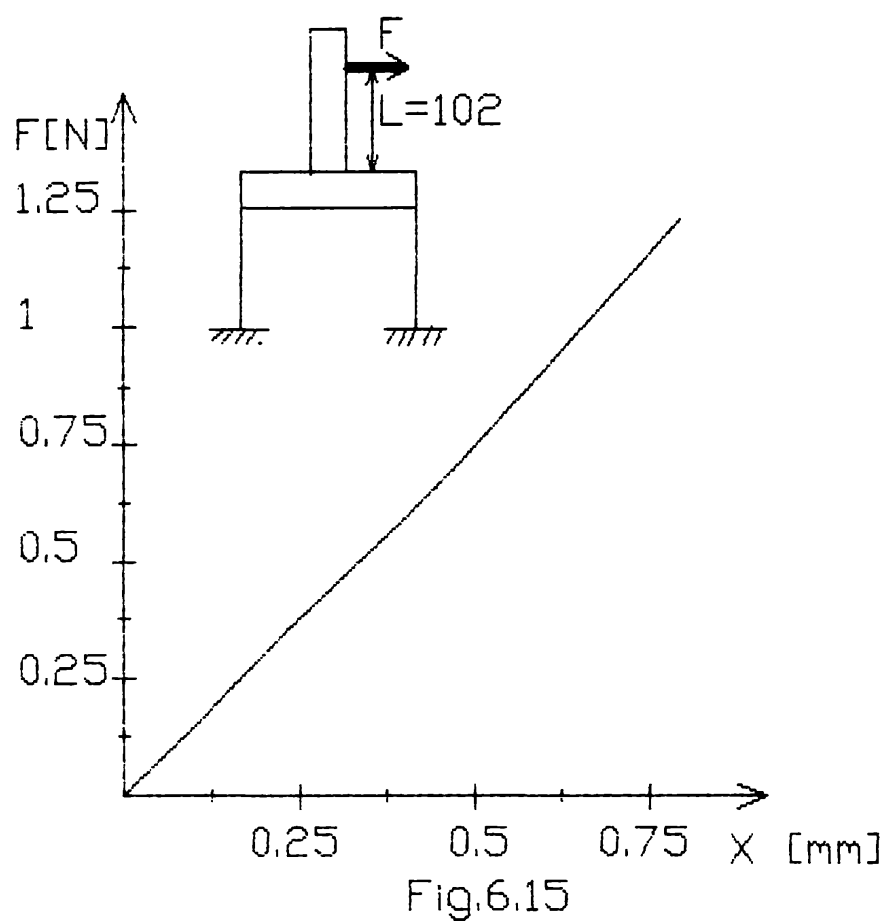
Tabelul 6.10

F (N)	X1 (mm)	X2 (mm)	X (mm)	FI (rad)
0.00000	0.00000	0.00000	0.00000	0.00000
0.24525	0.16309	0.18430	0.17836	0.00014
0.49050	0.33941	0.37461	0.36476	0.00023
0.73575	0.50500	0.53313	0.52525	0.00019
1.22625	0.81906	0.86063	0.84899	0.00028

$$F = 1.52398 * x - 0.00202 \quad (6.5)$$

DS=0.011446

In tabelul 6.11 se prezinta deplasările pe verticală (după



axa Oy) ale bielei sub actiunea fortei orizontale F. Ecuatia corespunzatoare determinata pe baza programului "REGRESIE" este:

$$y = 0.003041 - 0.000671 * F + 0.003463 * F^2 \quad (6.6)$$

Tabelul 6.11

I	Forță (N)	I	0.49	I	0.98	I	1.47	I	1.96	I	2.94	I	3.87	I	4.8	I	5.73	I
I	x (mm)	I	10.005	I	10.008	I	10.011	I	10.015	I	0.03	I	0.05	I	10.08	I	10.115	I

Din inregistrarile efectuate se pot concluziona urmatoarele:

- deplasările bielei nu sunt influențate practic de punctul de aplicatie al forței F pe biela.
- rotația bielei este redusa (< 1'30") miscarea bielei putind fi considerata practic o miscare plan paralela
- deplasările pe verticala ale bielei sunt reduse pentru translatii ale bielei caracteristice dispozitivelor de complianta si se pot neglaja in calcule.

In continuarea incercarilor s-a suplimentat solicitarea pe orizontala F cu solicitarea pe verticala G in trei trepte: $G_1=3.46$ [N]; $G_2=5.765$ [N]; $G_3=12.33$ [N]. Incercarile au fost efectuate pentru trei pozitii ale punctului de aplicatie al forței F: $L=185$ [mm]; $L=102$ [mm]; $L=60$ [mm].

Tabelul 6.12

F (N)	X1 (mm)	X2 (mm)	X (mm)	FI (rad)

0.00000	0.00000	0.00000	0.00000	0.00000
0.24525	0.16308	0.19272	0.15972	0.00020
0.49050	0.34960	0.39268	0.34472	0.00029
0.73575	0.51875	0.56593	0.51340	0.00031
1.22625	0.84968	0.89250	0.84483	0.00029

$$F=1.467721 * x + 0.0112 \quad (6.7)$$

DS=0.011633

Tabelul 6.13

F (N)	X1 (mm)	X2 (mm)	X (mm)	FI (rad)

0.00000	0.00000	0.00000	0.00000	0.00000
0.24525	0.17429	0.19272	0.17220	0.00012
0.49050	0.35368	0.39509	0.34899	0.00023
0.73575	0.53750	0.58938	0.53162	0.00035
1.22625	0.86307	0.91500	0.85718	0.00035

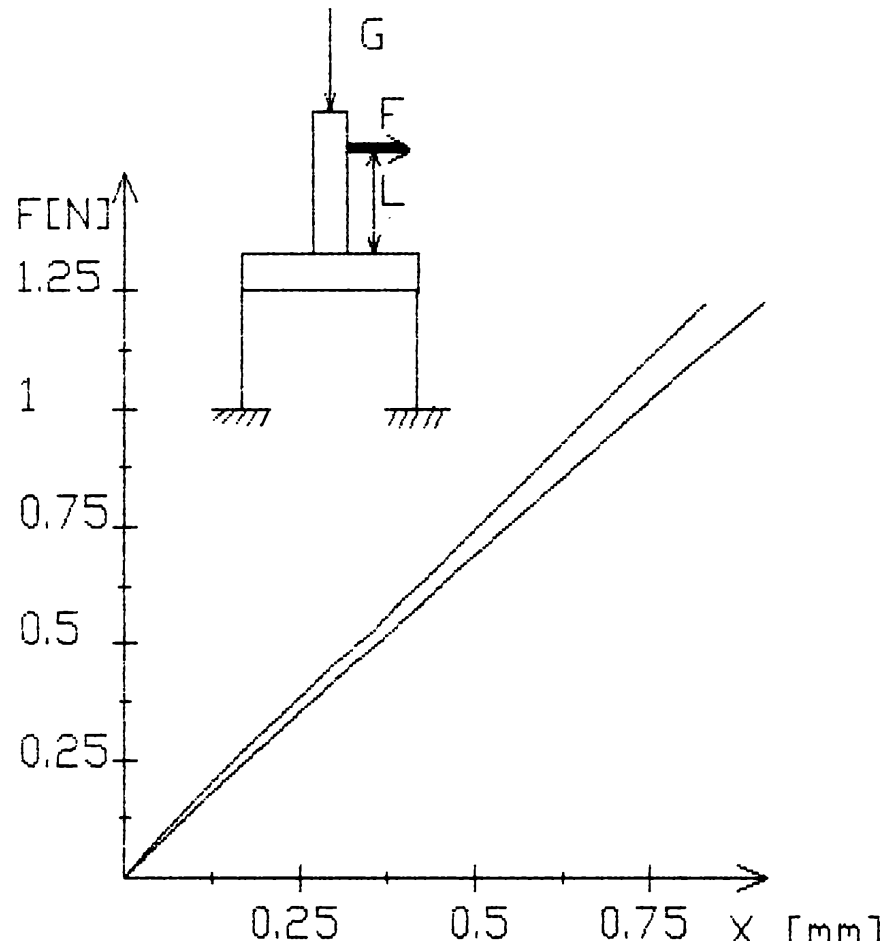


Fig.6.17

$$F = 1.458182 * x + 0.000927 \quad (6.8)$$

DS=0.007675

Rezultatele masuratorilor, prelucrate statistic, sunt trecute in tabelele 6.12-6.20 iar in fig.6.17 sunt prezentate dependentele $F=f(x)$ pentru G_1 si G_3 in pozitia $L=185$ [mm].

Tabelul 6.14

F (N)	X1 (mm)	X2 (mm)	X (mm)	FI (rad)
0.00000	0.00000	0.00000	0.00000	0.00000
0.24525	0.18143	0.20538	0.17871	0.00016
0.49050	0.37661	0.41436	0.37233	0.00025
0.73575	0.56125	0.62063	0.55452	0.00040
1.22625	0.92272	0.94969	0.91966	0.00018

$$F = 1.345695 * x + 0.009847 \quad (6.9)$$

DS=0.0102

Tabelul 6.15

F (N)	X1 (mm)	X2 (mm)	X (mm)	FI (rad)
0.00000	0.00000	0.00000	0.00000	0.00000
0.24525	0.16308	0.19272	0.17612	0.00020
0.49050	0.34858	0.39268	0.36798	0.00029
0.73575	0.52550	0.56125	0.54123	0.00024
1.22625	0.84968	0.89250	0.86852	0.00029

$$F = 1.461097 * x + 0.010398 \quad (6.10)$$

DS=0.015789

Tabelul 6.16

F (N)	X1 (mm)	X2 (mm)	X (mm)	FI (rad)
0.00000	0.00000	0.00000	0.00000	0.00000
0.24525	0.17327	0.19272	0.18183	0.00013
0.49050	0.36081	0.39751	0.37696	0.00024
0.73575	0.53550	0.58937	0.55920	0.00036
1.22625	0.86499	0.91500	0.88699	0.00033

$$F = 1.45496 * x - 0.00016 \quad (6.11)$$

DS=0.007037

Tabelul 6.17

F (N)	X1 (mm)	X2 (mm)	X (mm)	FI (rad)
0.00000	0.00000	0.00000	0.00000	0.00000
0.24525	0.18347	0.19935	0.19046	0.00011
0.49050	0.37661	0.41316	0.39269	0.00024
0.73575	0.55875	0.61438	0.58323	0.00037
1.22625	0.91606	0.94406	0.92838	0.00019

$$F=1.360094 * x + 0.004494 \quad (6.12)$$

DS=0.006682

Tabelul 6.18

F (N)	X1 (mm)	X2 (mm)	X (mm)	FI (rad)
0.00000	0.00000	0.00000	0.00000	0.00000
0.24525	0.17022	0.19273	0.18642	0.00015
0.49050	0.35062	0.39268	0.38090	0.00028
0.73575	0.52550	0.56125	0.55124	0.00024
1.22625	0.84968	0.89063	0.87916	0.00027

$$F=1.468256 * x + 0.003494 \quad (6.13)$$

DS=0.00983

Tabelul 6.19

F (N)	X1 (mm)	X2 (mm)	X (mm)	FI (rad)
0.00000	0.00000	0.00000	0.00000	0.00000
0.24525	0.17531	0.19273	0.18785	0.00012
0.49050	0.36081	0.39990	0.38896	0.00026
0.73575	0.53550	0.57719	0.56551	0.00028
1.22625	0.86116	0.90375	0.89183	0.00028

$$F=1.454271 * x + 0.002169 \quad (6.14)$$

DS=0.008266

Tabelul 6.20

F (N)	X1 (mm)	X2 (mm)	X (mm)	FI (rad)
0.00000	0.00000	0.00000	0.00000	0.00000
0.24525	0.18347	0.19755	0.19360	0.00009
0.49050	0.38120	0.41436	0.40508	0.00022
0.73575	0.56550	0.61438	0.60069	0.00033
1.22625	0.91828	0.94500	0.93752	0.00018

$$F=1.353248 * x + 0.001738 \quad (6.15)$$

DS=0.00411

Din analiza rezultatelor prezentate in tabelele precedente

se pot mentiona urmatoarele:

- concluziile referitoare la comportarea MCCE in lipsa unei forte verticale sunt valabile si in prezenta acestoria
- deplasarile bielei isi pastreaza caracterul liniar si cresc in limite reduse

Incercarile executate asupra MCCE var."a" prin aplicarea unui moment M au avut ca justificare urmatorul aspect: in timpul unei operatii de asamblare stift-alezaj stiftul-materializat prin biela 1-poate ajunge intr-un contact in doua puncte ceea ce

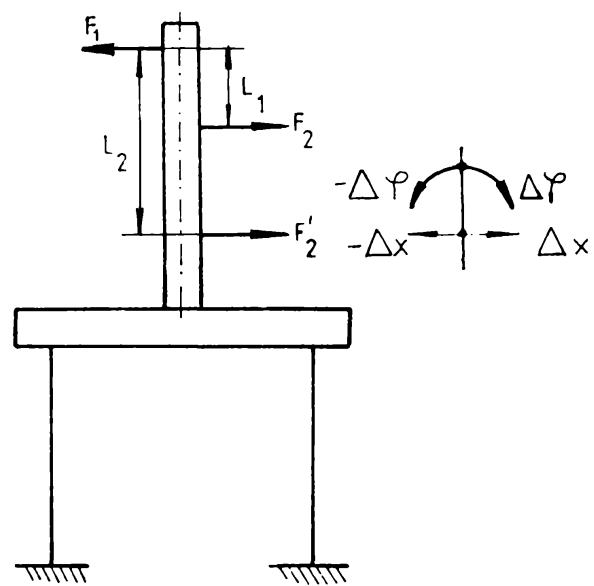


Fig. 6.18.

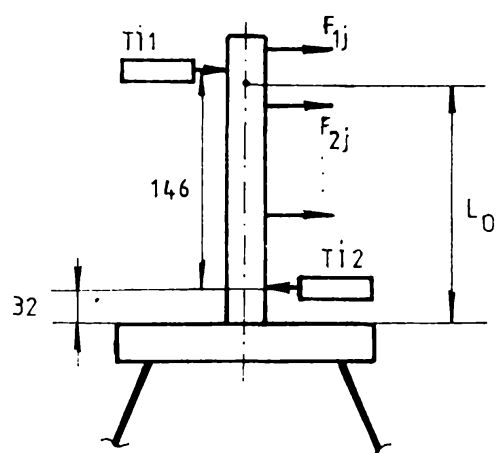


Fig. 6.19.

echivaleaza cu o incarcare de tip moment. In cadrul incercarilor MCCE a fost incarcat in mod succesiv cu cele doua forte F_1 si F_2 de valori egale (fig.6.18) pentru $L_1=83$ [mm], $L_2=145$ [mm]. Valorile momentelor aplicate au fost: 77.35 [Nmm]; 154.7 [Nmm]; 195.4 [Nmm]; 236.13 [Nmm]; 276.8 [Nmm] pentru L_1 si 135.13 [Nmm]; 270.26 [Nmm]; 341.388 [Nmm] pentru L_2 si valori ale fortelelor corespunzatoare incercarilor anterioare.

| Din analiza rezultatelor masuratorilor s-au constatat urmatoarele:

-nu s-au obtinut rotatii pure, deplasările reale ale bielei fiind de fapt rototranslatii. Deplasările x si θ ale bielei au avut sensuri diferite in functie de ordinea de incarcare a bielei: la inceput F_1 si apoi F_2 sau invers. Acest lucru se explica prin faptul ca forta F_2 (sau F_1) se aplica peste un mecanism cu couple cinematice elastice solicitat de o forta aplicata anterior iar existenta micilor influente ale pozitiei fortelei F si fenomenul de histereza devin semnificative.

-valorile unghiurilor de rotatie ale bielei au constituit o variatie in jurul valorii de zero. Valorile reduse se explica prin rigiditatea rotationala mare a MCCE.

Pe baza acestor incercari se poate trage concluzia ca MCCE var."a", aflat sub actiunea unui moment M , nu se recomanda pentru compensarea unor erori. Se impune existenta unui al doilea MCCE inseriat cu primul care sa reactioneze sub actiunea momentului M .

6.2.5.3. Incercari efectuate asupra MCCE plan var. "b"

Incercarile efectuate asupra MCCE s-au desfasurat in succesiunea prezentata anterior la pct.6.2.5.1.

Schita explicativa a modelului cu prezentarea disponerii tructoarelor si a sarcinii este prezentata in fig.6.19.

Valorile deplasarilor bielei in punctele de aplicatie ale fortelelor sunt prezentate in tabelele 6.21-6.24 iar dependentele

$L=185$ [mm]

Tabelul 6.21

F (N)	X_1 (mm)	X_2 (mm)	X (mm)	F_I (rad)
0.00000	0.00000	0.00000	0.00000	0.00000
2.06010	0.18660	0.07770	0.20748	0.00075
4.12020	0.47550	0.17220	0.53367	0.00208
6.18030	0.75500	0.26660	0.84867	0.00335

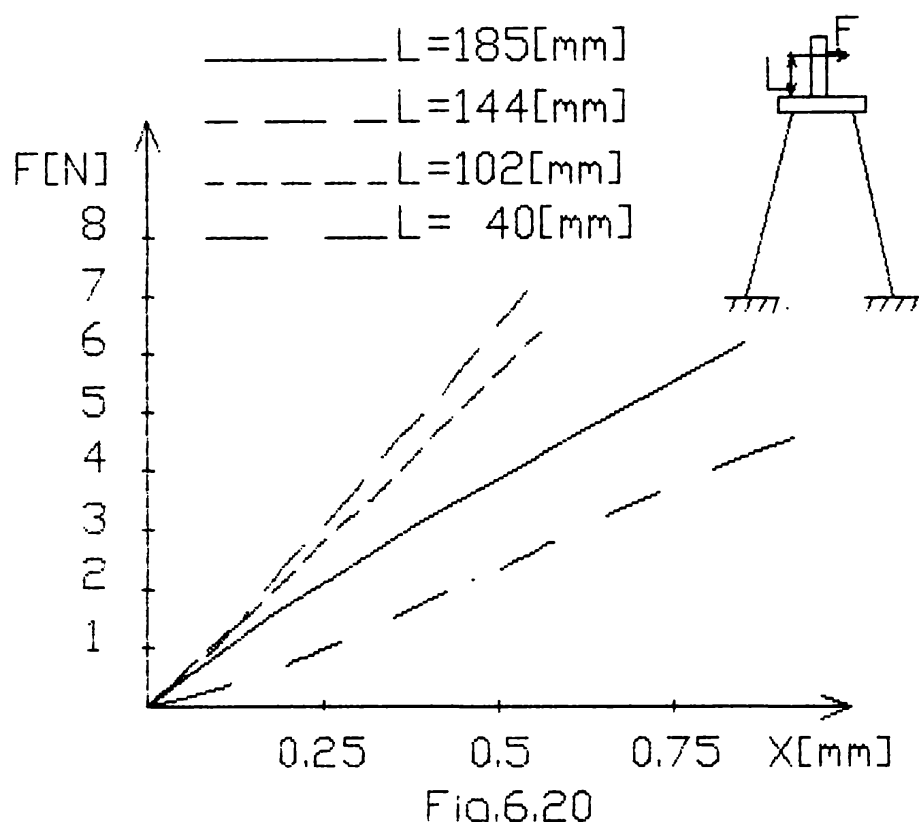


Fig.6.20

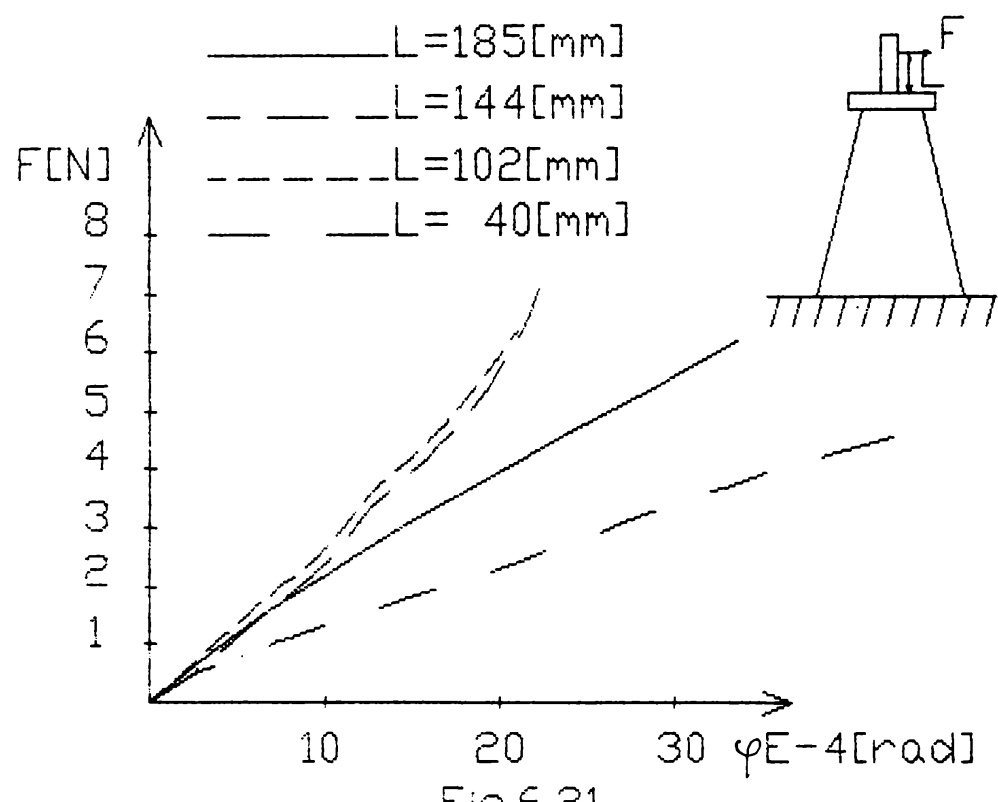


Fig.6.21

$$F=0.000023 + 12.353 * x + 13.58211 * x^2 + 9.6035 * x^3 \quad (6.16)$$

$F_{ij}=f(x_j)$ și $F_{ij}=g(\varphi_j)$ (i=1,2,3,4) în fig.6.20 și fig.6.21.

L=144 [mm]

Tabelul 6.22

F (N)	X1 (mm)	X2 (mm)	X (mm)	FI (rad)

0.00000	0.00000	0.00000	0.00000	0.00000
0.49050	0.04440	0.08330	0.04786	0.00027
1.47150	0.13330	0.22220	0.14122	0.00061
2.45250	0.17770	0.33330	0.19155	0.00107
3.38445	0.26660	0.44440	0.28243	0.00122
4.31640	0.31110	0.55550	0.33286	0.00167
5.19930	0.40000	0.61110	0.41880	0.00145
6.13125	0.44400	0.75000	0.47125	0.00210
7.06320	0.51110	0.83330	0.53979	0.00221

$$F=0.031314 + 10.9391 * x + 6.587661 * x^2 - 4.6466 * x^3 \quad (6.17)$$

L=102 [mm]

Tabelul 6.23

F (N)	X1 (mm)	X2 (mm)	X (mm)	FI (rad)

0.00000	0.00000	0.00000	0.00000	0.00000
0.73575	0.04440	0.08330	0.05905	0.00027
1.71675	0.13330	0.22220	0.16679	0.00061
2.69775	0.17770	0.33330	0.23632	0.00107
3.62970	0.26660	0.44440	0.33358	0.00122
4.56160	0.31110	0.55550	0.40317	0.00167
5.44450	0.40000	0.61110	0.47952	0.00145
6.37650	0.44400	0.75000	0.55927	0.00210

$$F=0.035189 + 10.3905 * x + 2.104278 * x^2 - 0.4458 * x^3 \quad (6.18)$$

L= 40 [mm]

Tabelul 6.24

F (N)	X1 (mm)	X2 (mm)	X (mm)	FI (rad)

0.00000	0.00000	0.00000	0.00000	0.00000
0.24525	0.08148	0.09259	0.09038	0.00008
0.73575	0.16296	0.22220	0.21043	0.00041
1.71675	0.22220	0.42592	0.38546	0.00140
2.69775	0.28148	0.62963	0.56048	0.00238
3.62970	0.34815	0.80555	0.71470	0.00313
4.56165	0.42220	1.03700	0.91488	0.00421
5.49360	0.47400	1.20950	1.06341	0.00504
6.42555	0.51851	1.37140	1.20199	0.00584

$$F=-0.068 + 3.8272 * x + 2.04976 * x^2 - 0.11525 * x^3 \quad (6.19)$$

Din analiza datelor preliminare prelucrate se constata urmatoarele:

- deplasările bielei depind de poziția punctului de aplicatie al

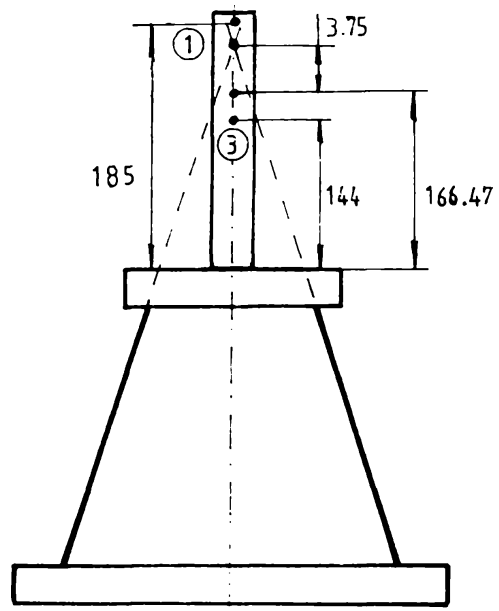


Fig. o.22

forței F pe biela.

Între pozițiile 1 și 2 ale punctului de aplicatie al forței există un punct remarcabil O. Forțele F avind bratul L-L₀ rotesc biela într-un sens iar forțele care au bratul L-L₀ rotesc biela în sens contrar. Acest fapt sustine conceptul de existența a centrului elastic. Pe baza modelului matematic prezentat în cap. 4 centrul elastic al MCCE analizat a fost calculat, gasindu-se că se află situat la 3.75 mm de punctul de intersecție al prelungirilor elementelor elastice adică la 166.47 mm de flansa superioară (fig. 6.22). Acest calcul este confirmat de încercări având în vedere că L₁=185 mm iar L₂=144 mm.

Deplasările bielei pentru o aceeași forță F cresc cu scăderea bratului L (curbele 2,3,4). Acest lucru sugerează că modelul matematic al MCCE real este neliniar. Acest lucru se deduce și din relațiile de aproximare a curbelor prezentate.

Rezultatele experimentale, prelucrate statistic, ale solicitării MCCE cu un moment M sunt prezentate în tabelele 6.25-6.27.

Tabelul 6.25

M (Nmm)	X1 (mm)	X2 (mm)	R (mm)	FI (rad)
386.00000	0.35520	0.44400	80.55638	0.00551
587.22000	0.44400	0.72200	89.78753	0.00804
1005.50000	0.53280	1.31400	103.17320	0.01274

Tabelul 6.26

M (Nmm)	X1 (mm)	X2 (mm)	R (mm)	FI (rad)
77.35000	0.11100	0.10166	69.31586	0.00147
154.70000	0.17760	0.16660	70.18318	0.00237
236.12600	0.25130	0.24055	70.91569	0.00339
407.11500	0.37740	0.39777	74.40587	0.00535
578.10000	0.45137	0.59722	82.58558	0.00723

Tabelul 6.27

M (Nmm)	X1 (mm)	X2 (mm)	R (mm)	FI (rad)
116.49000	0.16650	0.11805	60.15559	0.00196
232.98000	0.19800	0.25000	80.91545	0.00309
355.61000	0.25130	0.35416	84.81732	0.00418
613.12500	0.32545	0.66660	97.43310	0.00684
870.63750	0.39960	0.90970	100.74860	0.00903

Încercările au fost realizate pentru o poziție fixă a

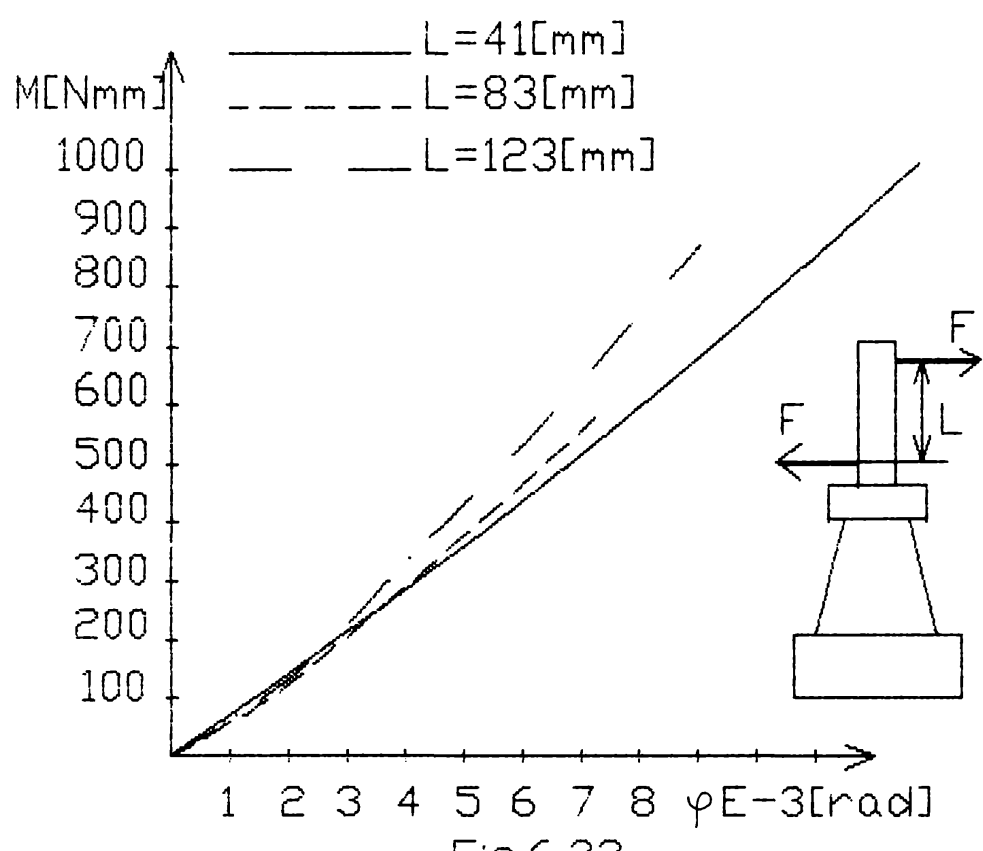


Fig.6.23

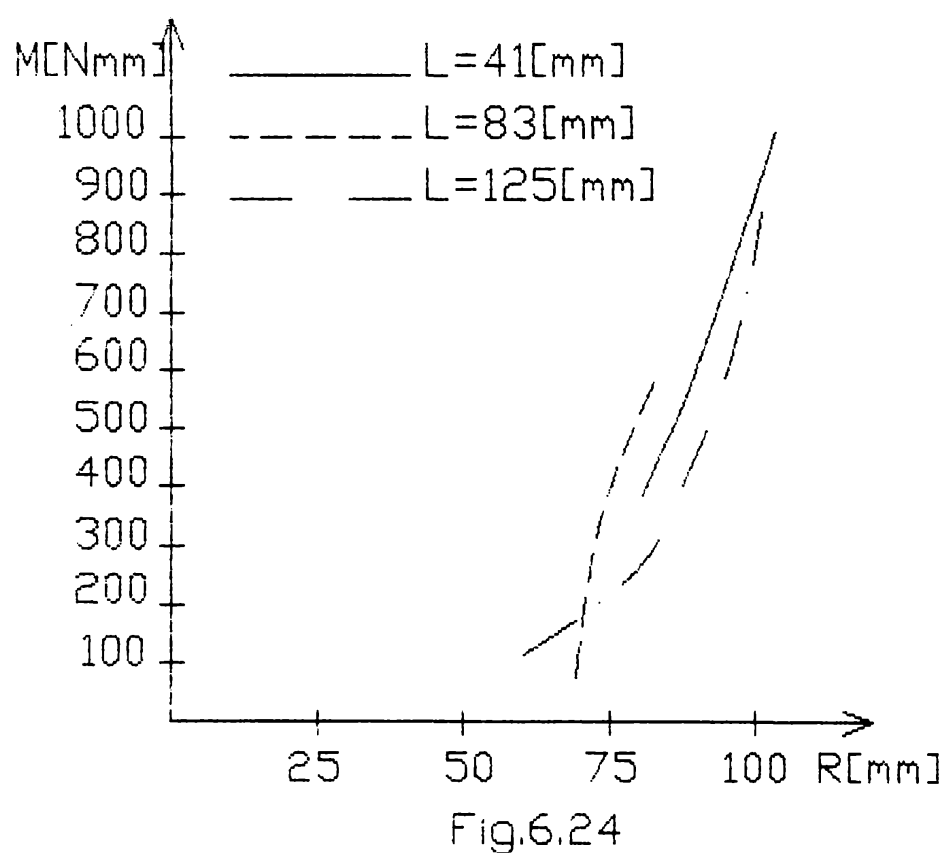


Fig.6.24

forței F superioare pe biela la cota de 185 [mm]. Bratul L al momentului a fost de $L=41$ [mm], $L=83$ [mm] și $L=125$ [mm].

Unghiul de rotație al bielei și raza de rotație sunt:

$$\varphi = \arctg \left(\frac{x_1 + x_2}{145} \right) \quad (6.20)$$

$$R = x_2 / \varphi \quad (6.21)$$

Dependențele funcționale $M=f(\varphi)$ în cele trei cazuri sunt prezentate în fig. 6.23. Modul de variație a momentului apropiat în cele trei cazuri susține concluzia că rigiditatea rotațională este influențată în măsură mai mică de poziția axei momentului M .

Modul de variație a momentului M funcție de valoarea razei R calculate demonstrează o suprapunere aproximativă pentru cele trei cazuri. Acest lucru sugerează că centrul elastic nu are o poziție fixă în spațiu.

Erorile de citire a indicațiilor, erori de calcul și erori constructive ale MCCE contribuie la diferențierea curbelor prezentate.

6.3. INCERCAREA UNUI MCCE SPATIAL CU 4 ELEMENTE ELASTICE.

6.3.1. Introducere

Modelul spatial al MCCE propus pentru incercare s-a obținut practic prin legarea în paralel a două modele plane MCCE Var. "b".

Incercările și-au propus stabilirea modului de funcționare a MCCE și influența numărului de elemente asupra acestuia.

6.3.2. Descrierea modelului și a datelor preliminare pentru incercari

Schita modelului experimental analizat este prezentată în fig. 6.25. Incercările au fost efectuate pe standul prezentat la pct. 6.2.2.

Forțele orizontale F s-au aplicat în cinci poziții pe biela (1) la cotele: 1-185 [mm]; 2-165 [mm]; 3-144 [mm]; 4-123 [mm]; 5-102 [mm]; 6- 60 [mm]. Pentru pozițiile 2, 3, 5 și 6 au fost efec-

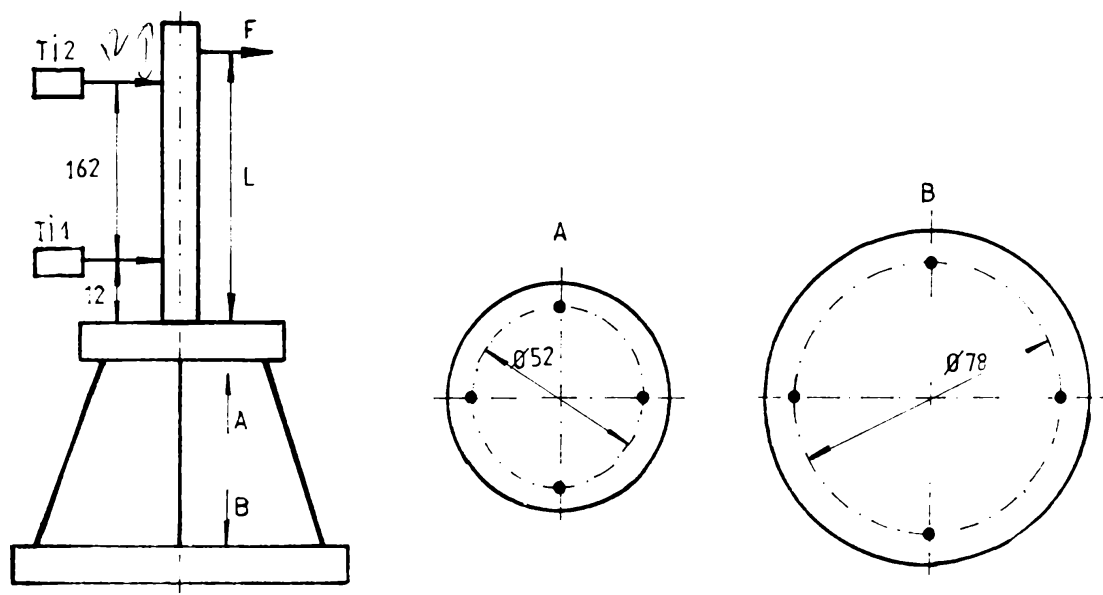


Fig. 6.25

tuate si incercari cu aplicarea unei forte verticale G.

Solicitarea mecanismului MCCE de catre un moment M s-a realizat in trei variante ale bratului fortelelor,corespunzator pozitiilor 1-3;1-5;1-6.

Aplicarea fortelelor si a momentelor s-a facut intr-un plan ce continea doua elemente elastice (fig.6.25).

6.3.3. Rezultate experimentale

Datele de intrare si rezultatele incercarilor MCCE sub actiunea fortei F sunt prezentate in tabelele 6.28-6.33. Marimea "X" reprezinta deplasarea bielei in dreptul fortei aplicate si a fost calculata din marimile "X1" si "X2" masurate.

=185 [mm]

Tabelul 6.28

F (N)	X1 (mm)	X2 (mm)	X (mm)	FI (rad)
2.06000	0.02442	0.05550	0.06093	0.00049
4.12000	0.03552	0.12960	0.14081	0.00102
6.18000	0.04218	0.22220	0.24015	0.00163
8.24000	0.04662	0.27770	0.29972	0.00200
10.30000	0.04884	0.36110	0.38894	0.00253
12.36000	0.05106	0.44440	0.47804	0.00306
17.26500	0.05328	0.66660	0.71548	0.00444

=165 [mm]

Tabelul 6.29

F (N)	X1 (mm)	X2 (mm)	X (mm)	FI (rad)
2.06000	0.03690	0.10183	0.09530	0.00038
4.12000	0.06660	0.18151	0.16995	0.00068
6.18000	0.08820	0.26850	0.25042	0.00106
8.24000	0.11110	0.36110	0.33595	0.00148
10.30000	0.15540	0.48140	0.44861	0.00193
12.36000	0.19980	0.60180	0.56136	0.00238
17.26500	0.30330	0.91600	0.85437	0.00363

=144 [mm]

Tabelul 6.30

F (N)	X1 (mm)	X2 (mm)	X (mm)	FI (rad)
2.06000	0.05852	0.07388	0.07104	0.00009
4.12000	0.08880	0.13890	0.12954	0.00031
6.18000	0.13320	0.20366	0.19061	0.00043
8.24000	0.17760	0.25900	0.24393	0.00050
10.30000	0.22200	0.31400	0.29696	0.00057
12.36000	0.26640	0.38800	0.36548	0.00075
14.66500	0.32550	0.47220	0.44503	0.00091
19.57000	0.44400	0.64777	0.61003	0.00126

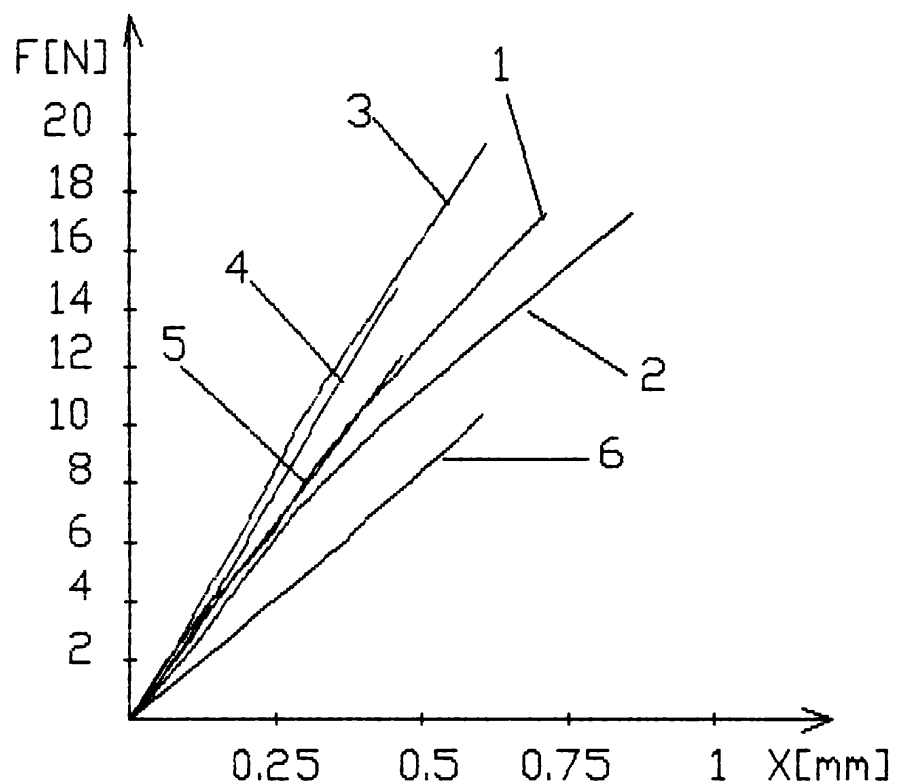


Fig.6.26

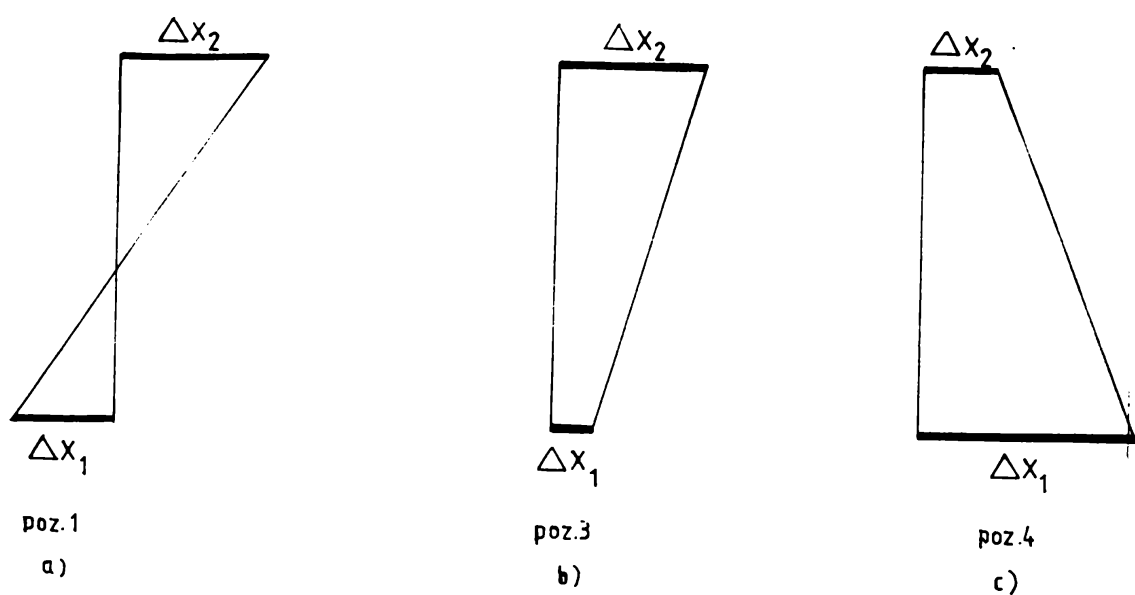


Fig.6.27

L=123 [mm]

Tabelul 6.31

F (N)	X1 (mm)	X2 (mm)	X (mm)	FI (rad)

2.06000	0.08880	0.07380	0.07852	0.00009
4.12000	0.15540	0.13880	0.14403	0.00010
6.18000	0.22200	0.19440	0.20309	0.00017
8.24000	0.31080	0.24050	0.26263	0.00043
10.30000	0.37740	0.29610	0.32169	0.00050
12.36000	0.45137	0.35160	0.38301	0.00062
14.66500	0.53280	0.41660	0.45318	0.00072

L=102 [mm]

Tabelul 6.32

F (N)	X1 (mm)	X2 (mm)	X (mm)	FI (rad)

2.06000	0.09610	0.06477	0.07869	0.00019
4.12000	0.19225	0.11110	0.14717	0.00050
6.18000	0.30368	0.16660	0.22752	0.00085
8.24000	0.41480	0.22220	0.30780	0.00119
10.30000	0.51850	0.27300	0.38211	0.00152
12.36000	0.63700	0.31477	0.45798	0.00199

L= 60 [mm]

Tabelul 6.33

F (N)	X1 (mm)	X2 (mm)	X (mm)	FI (rad)

2.06000	0.15550	0.02770	0.11763	0.00079
4.12000	0.32570	0.05550	0.24564	0.00167
6.18000	0.48146	0.09250	0.36621	0.00240
8.24000	0.64440	0.12960	0.49187	0.00318
10.30000	0.81460	0.16660	0.62260	0.00400

In fig.6.26 s-au reprezentat dependentele $F_j=f(x_j)$ ($i=1,2,\dots,6$) avind la baza datele prezentate anterior. Din aceste reprezentari se poate concluziona:

-MCCE analizat prezinta caracteristici diferite functie de pozitia punctului de aplicare a fortei pe biela. Liniaritatea se păstreaza pentru curse reduse $x < 0.4$ mm.

-pentru pozitiile "1","2","3","4","5" caracteristicile sunt apropiate pentru deplasari de sub 0.25 mm.

-pozitiile "3" si "4" caracterizate prin caracteristici apropiate prezinta deplasarile masurate in raportul relativ corespunzator fig.6.27 b,c.Trecerea de la pozitia "3" la "4" a insinuat modificarea sensului de rotatie al bielei.Din acelasi punct de vedere, pozitia "1" are deplasarile conform fig.6.27a, pozita "2" identica cu "3" iar "5" si "6" identica cu "4".

-punctul remarcabil-centrul elastic se gaseste situat intre pozitiile "3" si "4"

Rezultatele incercarilor MCCE sub actiunea fortelelor F si a fortelei G sint prezentate in tabelele 6.34-6.37 pentru $G_1=3.46$ [N]; $G_2=5.765$ [N]; $G_3=12.33$ [N]; $G_4=17.24$ [N]. Masuratorile s-au facut in aceleasi conditii de aplicare a fortelei F ca si in cazul precedent pentru pozitiile "2", "3", "5" si "7". Din aceste date prezente s-au calculat deplasările "X", in dreptul punctului de aplicatie al fortelei F, pentru urmatoarele cazuri:

- pozitia "2"-incarcare G_4
- pozitia "3"-incarcare G_4
- pozitia "5"-incarcare $G_1; G_2; G_4$
- pozitia "6"-incarcare $G_1; G_4$

Aceste rezultate sint prezentate in tabelele 6.38-6.44 iar

Tabelul 6.34

I	X1				I				X2				I					
I	F(N)	I	G1	I	G2	I	G3	I	G4	I	G1	I	G2	I	G3	I	G4	I
I	2.06	10.044	10.044	10.044	10.044	10.044	10.044	10.111	10.111	10.111	10.111	10.111	10.111	10.111	10.111	10.111	10.111	
I	4.12	10.066	10.088	10.088	10.088	10.088	10.088	10.194	10.194	10.194	10.166	10.166	10.166	10.166	10.166	10.166	10.166	
I	6.18	10.088	10.111	10.111	10.111	10.111	10.277	10.277	10.277	10.25	10.25	10.25	10.25	10.25	10.25	10.25	10.25	
I	8.24	10.111	10.133	10.133	10.133	10.133	10.361	10.361	10.361	10.333	10.333	10.333	10.333	10.333	10.333	10.333	10.333	
I	10.3	10.155	10.155	10.155	10.155	10.155	10.177	10.444	10.444	10.444	10.416	10.416	10.416	10.416	10.416	10.416	10.416	
I	12.36	I	0.2	I	0.2	I	0.2	10.222	10.583	10.583	10.555	10.555	10.555	10.555	10.555	10.555	10.555	
I	17.265	I	0.311	I	0.333	I	0.333	10.333	10.888	10.888	10.833	10.833	10.833	10.833	10.833	10.833	10.833	

Tabelul 6.35

I	X1				I				X2				I					
I	F(N)	I	G1	I	G2	I	G3	I	G4	I	G1	I	G2	I	G3	I	G4	I
I	2.06	10.044	10.044	10.066	10.088	10.088	10.055	10.055	10.083	10.083	10.083	10.083	10.083	10.083	10.083	10.083	10.083	
I	4.12	10.088	10.088	10.111	10.133	10.133	10.111	10.111	10.138	10.138	10.138	10.138	10.138	10.138	10.138	10.138	10.138	
I	6.18	10.133	10.133	10.177	10.177	10.177	10.194	10.194	10.194	10.194	10.194	10.194	10.194	10.194	10.194	10.194	10.194	
I	8.24	10.177	10.177	10.222	10.222	10.222	10.25	10.25	10.277	10.277	10.277	10.277	10.277	10.277	10.277	10.277	10.277	
I	10.3	10.244	10.244	10.266	10.266	10.266	10.305	10.305	10.333	10.333	10.333	10.333	10.333	10.333	10.333	10.333	10.333	
I	12.36	10.288	10.288	10.311	10.311	10.311	10.361	10.361	10.388	10.388	10.388	10.388	10.388	10.388	10.388	10.388	10.388	
I	17.265	I	0.422	I	0.444	I	0.444	10.555	10.555	10.583	10.583	10.583	10.583	10.583	10.583	10.583	10.583	10.583

Tabel 6.36

I	X1	I	X2	I					
I F(N)	I G1	I G2	I G3	I G4	I G1	I G2	I G3	I G4	I
I 2.06	10.111	10.111	10.155	10.166	10.055	10.055	10.055	10.055	I
I 4.12	10.2	10.222	10.244	10.266	10.111	10.111	10.111	10.111	I
I 6.18	10.311	10.333	10.355	10.377	10.138	10.152	10.166	10.166	I
I 8.24	10.4	10.444	10.466	10.488	10.166	10.194	10.208	10.222	I
I 10.3	10.511	10.533	10.555	10.6	10.222	10.222	10.25	10.25	I
I 12.36	10.622	10.644	10.666	10.711	10.277	10.277	10.305	10.305	I

Tabel 6.37

I	X1	I	X2	I					
I F(N)	I G1	I G2	I G3	I G4	I G1	I G2	I G3	I G4	I
I 2.06	10.155	10.155	10.177	10.2	10.027	10.027	10.055	10.055	I
I 4.12	10.333	10.333	10.355	10.377	10.055	10.083	10.083	10.083	I
I 6.18	10.488	10.488	10.533	10.555	10.083	10.111	10.111	10.111	I
I 8.24	10.666	10.666	10.711	10.733	10.138	10.138	10.138	10.138	I
I 10.3	10.822	10.822	10.866	10.888	10.166	10.166	10.166	10.194	I

poz.2

Tabelul 6.38

F (N)	X1 (mm)	X2 (mm)	X (mm)	FI (rad)

2.06000	0.04400	0.11100	0.10426	0.00040
4.12000	0.08800	0.16600	0.15815	0.00046
6.18000	0.11100	0.25000	0.23602	0.00082
8.24000	0.13300	0.33300	0.31288	0.00118
10.30000	0.17700	0.41600	0.39196	0.00141
12.36000	0.22200	0.55500	0.52150	0.00197
17.26500	0.33300	0.83300	0.78270	0.00296

poz.3

Tabelul 6.39

F (N)	X1 (mm)	X2 (mm)	X (mm)	FI (rad)

2.06000	0.08800	0.08330	0.08432	-0.00003
4.12000	0.13300	0.13200	0.13707	0.00003
6.18000	0.17770	0.19400	0.19098	0.00010
8.24000	0.22200	0.27700	0.26681	0.00034
10.30000	0.26600	0.33300	0.32059	0.00041
12.36000	0.31100	0.38800	0.37374	0.00048
14.66500	0.44400	0.58300	0.55726	0.00086

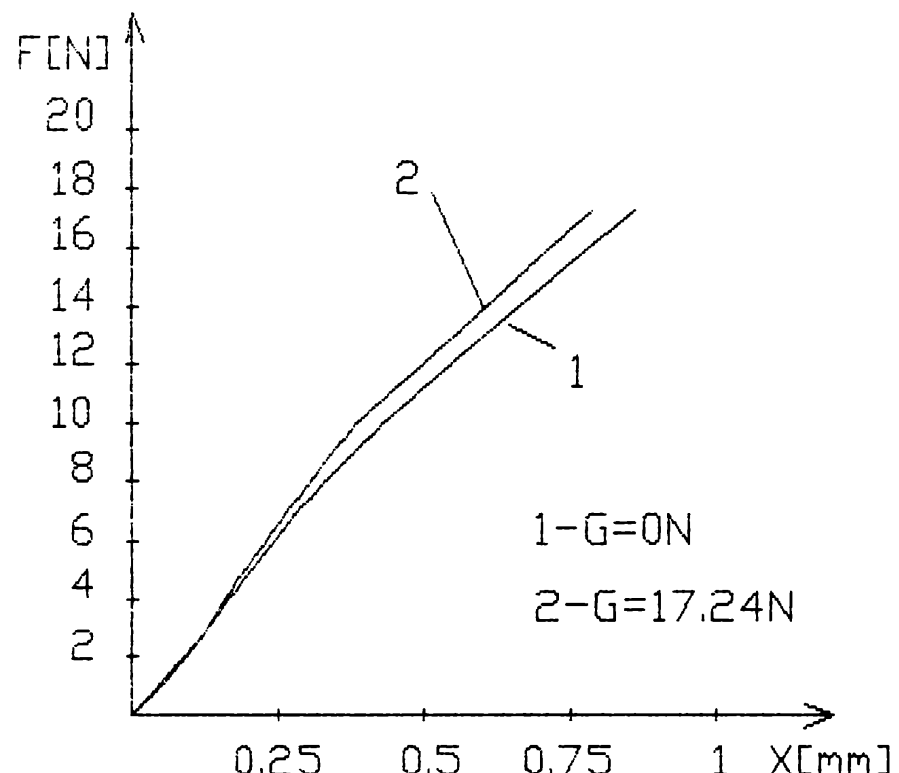


Fig.6.28

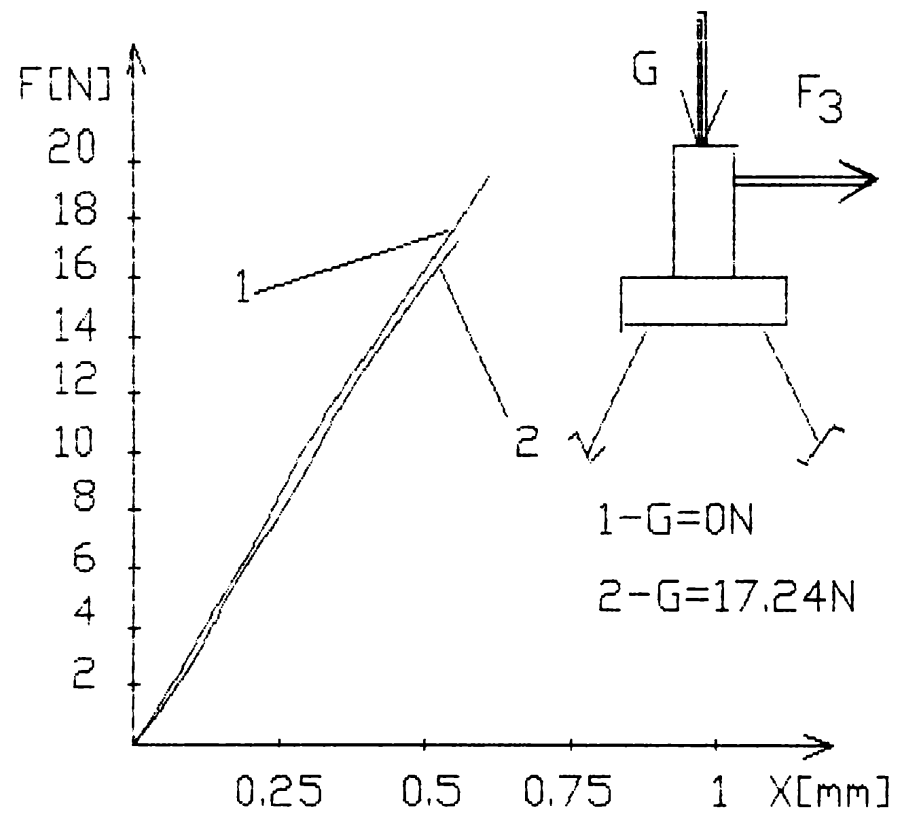


Fig.6.29

in fig.6.28-6.31 aceste dependente functionale.

poz.5;G₁

Tabelul 6.40

F (N)	X ₁ (mm)	X ₂ (mm)	X (mm)	FI (rad)
2.06000	0.11100	0.05550	0.08017	0.00034
4.12000	0.20000	0.11100	0.15056	0.00055
6.18000	0.31100	0.13800	0.21489	0.00107
8.24000	0.40000	0.16600	0.27000	0.00144
10.30000	0.51100	0.22200	0.35044	0.00178
12.36000	0.62200	0.27700	0.43033	0.00213

poz.5;G₂

Tabelul 6.41

F (N)	X ₁ (mm)	X ₂ (mm)	X (mm)	FI (rad)
2.06000	0.11100	0.05550	0.08017	0.00034
4.12000	0.22200	0.11100	0.16033	0.00069
6.18000	0.33300	0.15270	0.23283	0.00111
8.24000	0.44400	0.19400	0.30511	0.00154
10.30000	0.53300	0.22200	0.36022	0.00192
12.36000	0.64400	0.27700	0.44011	0.00227

poz.5;G₄

Tabelul 6.42

F (N)	X ₁ (mm)	X ₂ (mm)	X (mm)	FI (rad)
2.06000	0.16600	0.05500	0.10433	0.00069
4.12000	0.26600	0.11100	0.17989	0.00096
6.18000	0.37700	0.16600	0.25978	0.00130
8.24000	0.48800	0.22200	0.34022	0.00164
10.30000	0.60000	0.25000	0.40556	0.00216
12.36000	0.71100	0.30500	0.48544	0.00251

poz.6;G₁

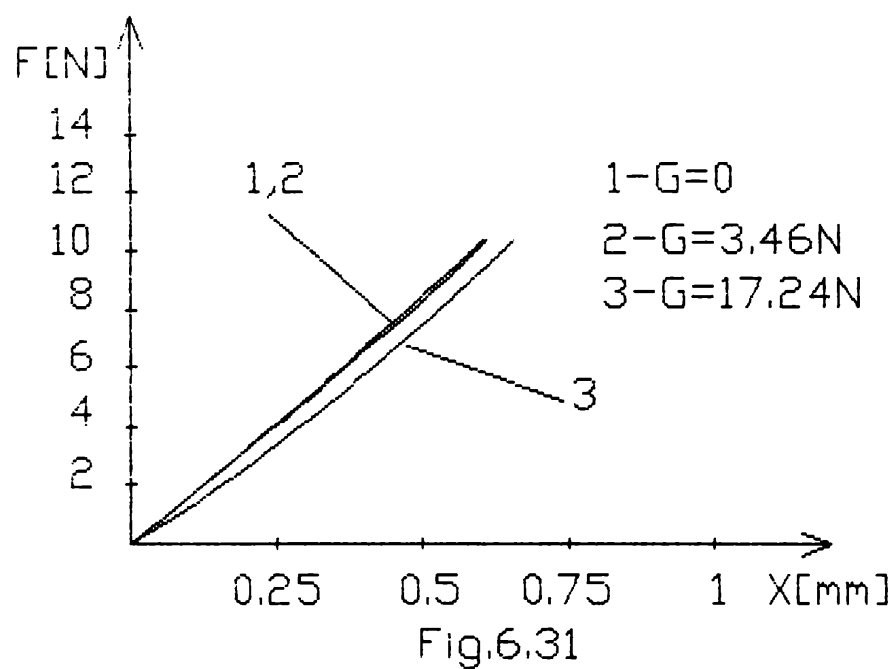
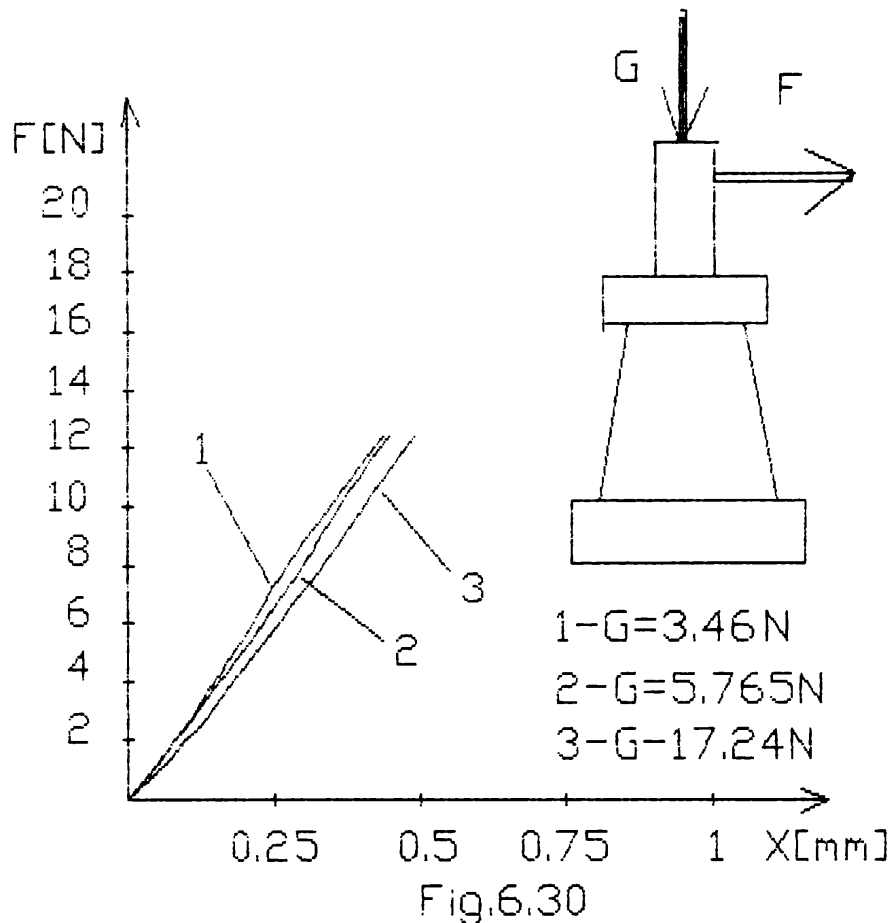
Tabelul 6.43

F (N)	X ₁ (mm)	X ₂ (mm)	X (mm)	FI (rad)
2.06000	0.15550	0.02770	0.11763	0.00079
4.12000	0.33300	0.05550	0.25078	0.00171
6.18000	0.48880	0.08330	0.36865	0.00250
8.24000	0.66600	0.13800	0.50956	0.00326
10.30000	0.82200	0.16600	0.62763	0.00405

poz.6;G₄

Tabelul 6.44

F (N)	X ₁ (mm)	X ₂ (mm)	X (mm)	FI (rad)
2.06000	0.20000	0.05550	0.15719	0.00089
4.12000	0.37770	0.08330	0.29047	0.00182
6.18000	0.55500	0.11100	0.42344	0.00274
8.24000	0.73300	0.13800	0.55670	0.00367
10.30000	0.88800	0.19400	0.68237	0.00428



Din analiza rezultatelor experimentale obtinute se constata urmatoarele:

-caracteristicile $F=f(x)$, in prezența forței G, sunt foarte apropiate de cele initiale (fara G). Variatiile deplasărilor bielei datorate forței verticale G sunt reduse; pentru $G=17.24 \text{ [N]}$ ajung la 0.05 [mm] . Acest lucru se explica prin rigiditatea mare, în direcția verticală, a MCCE.

-pentru poziția "2" a punctului de aplicatie al forței, situat deasupra punctului remarcabil "0" (intre poz."3" și "4") forța G contribuie la reducerea deplasărilor bielei. În restul cazurilor poz."3", "5" și "6" (situate sub punctul "0") deplasările bielei cresc. Acest lucru recomanda ca în timpul asamblării stift-alezaj, forțele F să aibă punctul de aplicatie între centrul elastic și flansa MCCE.

Reprezentind poziția axei bielei în pozițiile "3" și "4" (respectiv "2" și "5") la diferite forțe F se pot determina coordonatele unui punct C care să aibă aceeași deplasare "X". Punctul C ar fi echivalentul centrului elastic. Considerind sistemul de axe xOy suprapus poziției de echilibru a bielei fără încărcare, și considerind ecuațiile dreptelor A_3B_3 și A_4B_4 coordonatele punctelor C sunt:

$$Y_C = \frac{Y_{22} * Y_{21} * (x_{12} - x_{11})}{Y_{22} * (x_{21} - x_{11}) - Y_{21} * (x_{22} - x_{12})} \quad (6.22)$$
$$x_C = \frac{Y_{21} * x_{11} + Y_C * (x_{21} - x_{11})}{Y_{21}}$$

Situatiile obtinute si coordonatele punctelor C sunt prezentate in fig.6.32 si tabelul 6.45.

Se constata urmatoarele:

- pozitia punctului C nu este unica
- pozitia punctului C este influentata in mai mare masura de pozitia punctului de aplicatie al forței F decit de valoarea acesteia
- înloc o coporire a pozitiei punctului C la o departare a forței F de pozitia de referinta dintre pozitiile "3" si "4"
- coordonatele " x_C " pentru cele doua cazuri considerate sunt foarte apropiate ceea ce sustine ipoteza echivalentei punctului C cu centrul elastic al MCCE

In fig.6.33 se prezinta modul de variatie a pozitiei punct-

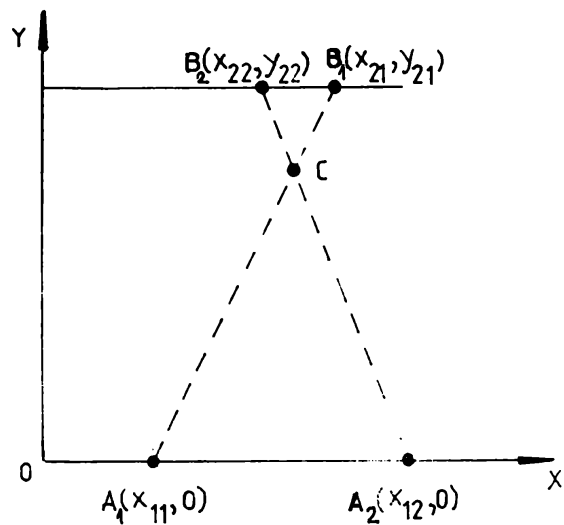


Fig.6.32

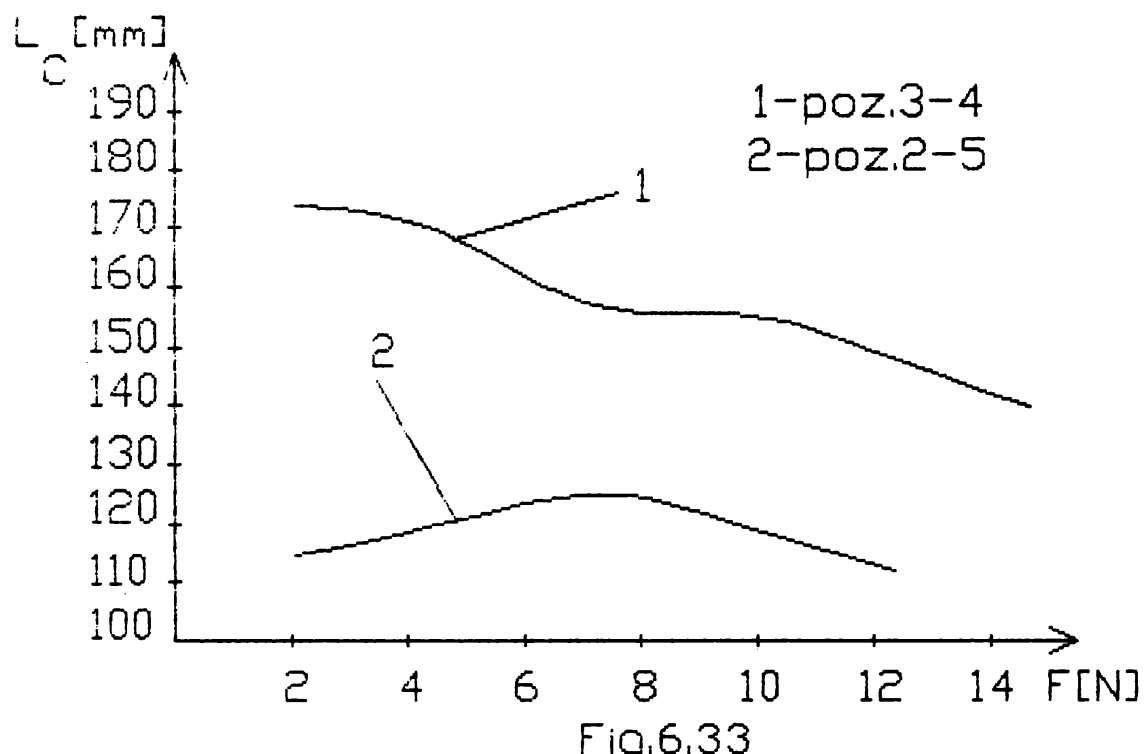


Fig.6.33

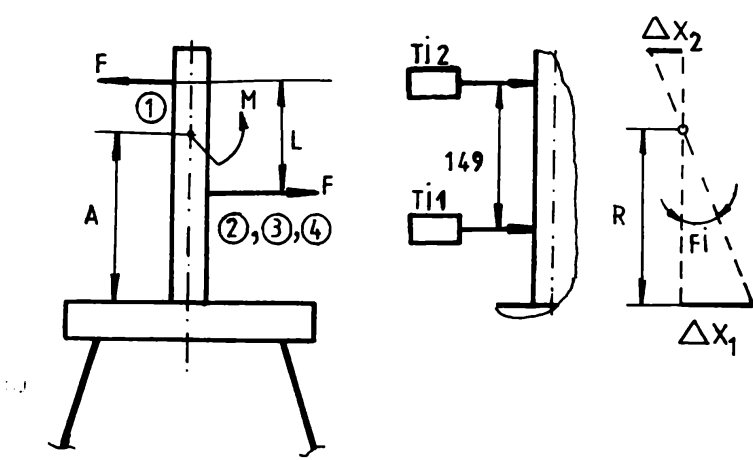


Fig.6.34

Fig.6.35

tului C functie de valoarea forței F.

Tabelul 6.45

I	I	poz. 3-4				I	poz. 2-5				I
I	F (N)	I	X _C	I	Y _C	I	X _C	I	Y _C	I	
I	2.06	I	0.07384	I	161.573	I	0.07627	I	102.49	I	
I	4.16	I	0.1388	I	162	I	0.13895	I	106.4	I	
I	6.18	I	0.197	I	146.7	I	0.20845	I	112.53	I	
I	8.24	I	0.24907	I	142.244	I	0.27947	I	113.82	I	
I	10.3	I	0.3045	I	145.267	I	0.35875	I	105.41	I	
I	12.36	I	0.368	I	135.362	I	0.4379	I	100.1	I	
I	14.665	I	0.422	I	127.74	I	-	I	-	I	

Aceste concluzii sunt sustinute si de inregistrariile realizate in prezența forței G.

Incercarea MCCE sub acțiunea unui moment M s-a realizat pentru trei pozitii distincte ale forțelor aplicate (fig.6.34):

- pozitia 1-2 L= 41 [mm] ; A=164.5 [mm]
- pozitia 1-3 L= 83 [mm] ; A=143.5 [mm]
- pozitia 1-4 L=125 [mm] ; A=122.5 [mm]

Rezultatele experimentale, prelucrate statistic, sunt prezentate in tabelele 6.46-6.48.

Tabelul 6.46

M (Nmm)	X ₁ (mm)	X ₂ (mm)	R (mm)	FI (rad)
84.46000	0.04440	0.01380	216.19610	0.00021
168.92000	0.08880	0.02770	216.54990	0.00041
253.38000	0.15550	0.04166	203.52690	0.00076
454.48500	0.27370	0.01833	159.69510	0.00171
840.60600	0.53330	0.00000	149.00060	0.00359

Tabelul 6.47

M (Nmm)	X ₁ (mm)	X ₂ (mm)	R (mm)	FI (rad)
170.98000	0.08880	0.00555	140.23530	0.00063
341.96000	0.18880	0.00833	142.70390	0.00132
512.94000	0.31110	0.01110	143.86710	0.00216
720.05000	0.56660	0.01388	145.43800	0.00390

Pentru pozitia 1-2 deplasările x₁ si x₂ au avut același

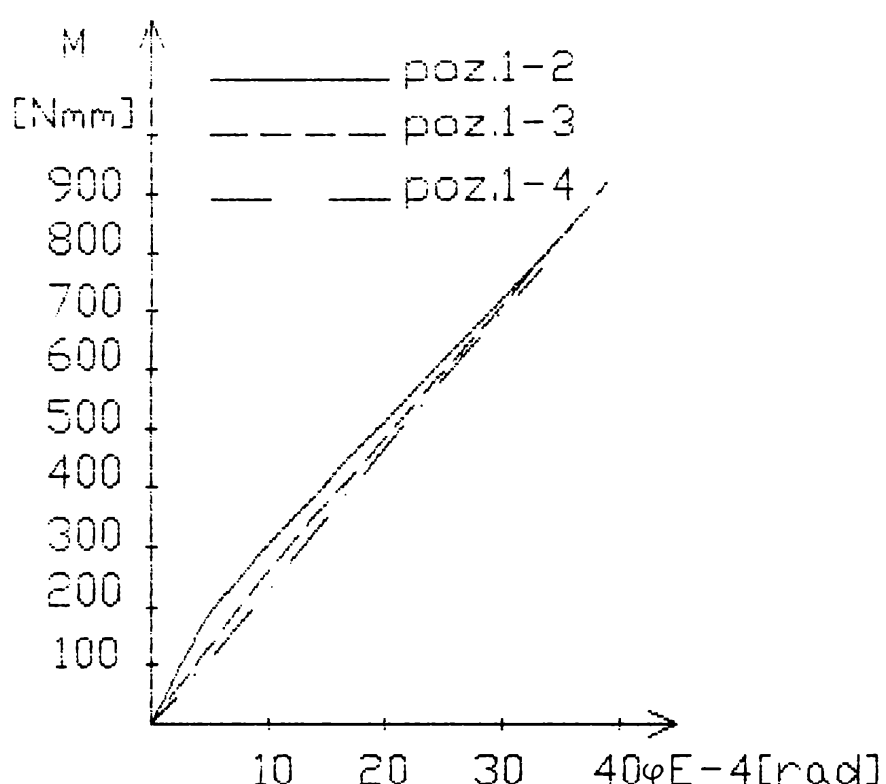


Fig.6.36

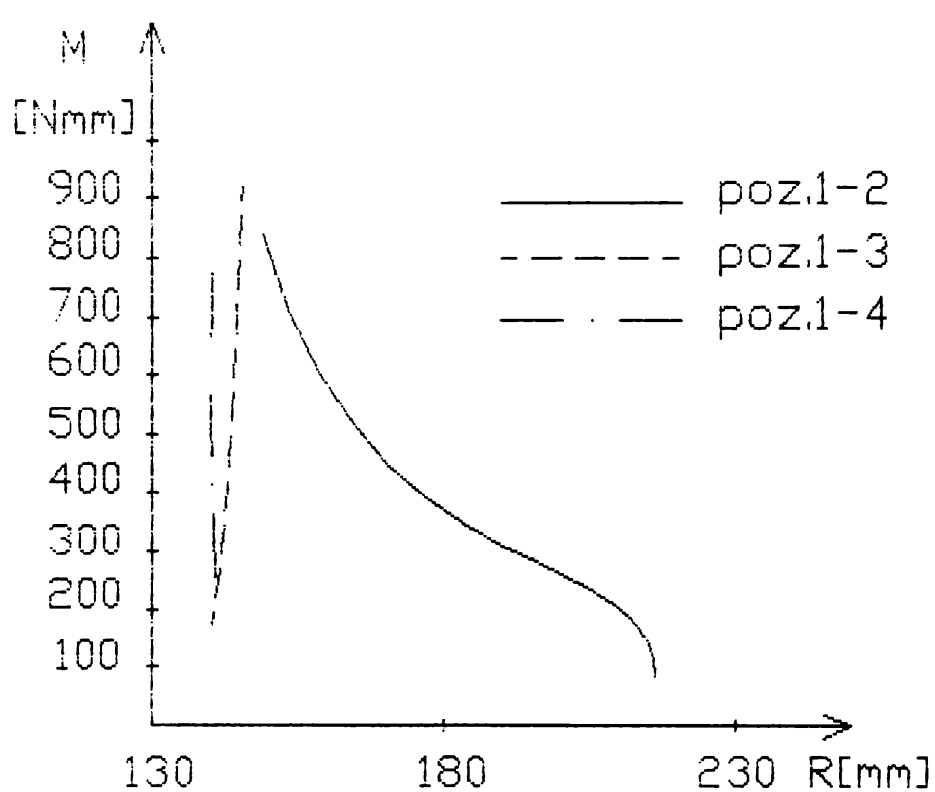


Fig.6.37

Tabelul 6.48

M (Nmm)	X1 (mm)	X2 (mm)	R (mm)	FI (rad)
257.50000	0.16660	0.00970	140.80210	0.00118
515.00000	0.30000	0.01944	139.93260	0.00214
772.50000	0.46660	0.02916	140.23650	0.00333

semn astfel ca unghiul de rotatie a fost:

$$\{ \quad \text{FI} = \arctg \left(\frac{x_1 + x_2}{149} \right) \quad (6.23)$$

in timp ce pentru pozitiile 1-3 si 1-4:

$$\text{FI} = \arctg \left(\frac{x_1 + x_2}{149} \right) \quad (6.24)$$

Pozitia axei de rotatie s-a calculat in raport cu TII (fig.6.35):

$$R = \frac{x_1}{\text{FI}} \quad (6.25)$$

Din analiza datelor experimentale se constata:

- dependentele $M=f(\text{FI})$ (fig.6.36) se apropie de o variatie liniara. Expresiile matematice ale variatiilor sint:

- a) pbz.1-2 $M=246519.6 * \text{FI} + 39.7466$
 b) poz.1-3 $M=257362.2 * \text{FI} + 0.08685$
 c) poz.1-4 $M=252528.2 * \text{FI} - 13.707$

- pozitia axei de rotatie nu este unica (fig.6.37). Aceasta pozitie se modifica mult in cazul pozitiei 1-2 a momentului M si mai putin in cazurile 1-3 si 1-4.

- spre valori mari ale momentului M pozitia axei de rotatie tinde spre o aceiasi valoare apropiata de cea teoretica. Acest lucru este sesizabil si din fig.6.36 unde caracteristicile se suprapun pentru valorile superioare ale momentului M.

- modul de variatie a pozitiei axei de rotatie pentru pozitiile 1-3 si 1-4 sunt in limitele pozitiei centrului elastic practic determinat in cazul incarcarii MCCE cu forta F.

6.4. INCERCAREA UNOR MCCE SPATIALE CU TREI ELEMENTE ELASTICE.

6.4.1. Introducere

Modelul spatial de baza al MCCE a fost gindit astfel incit

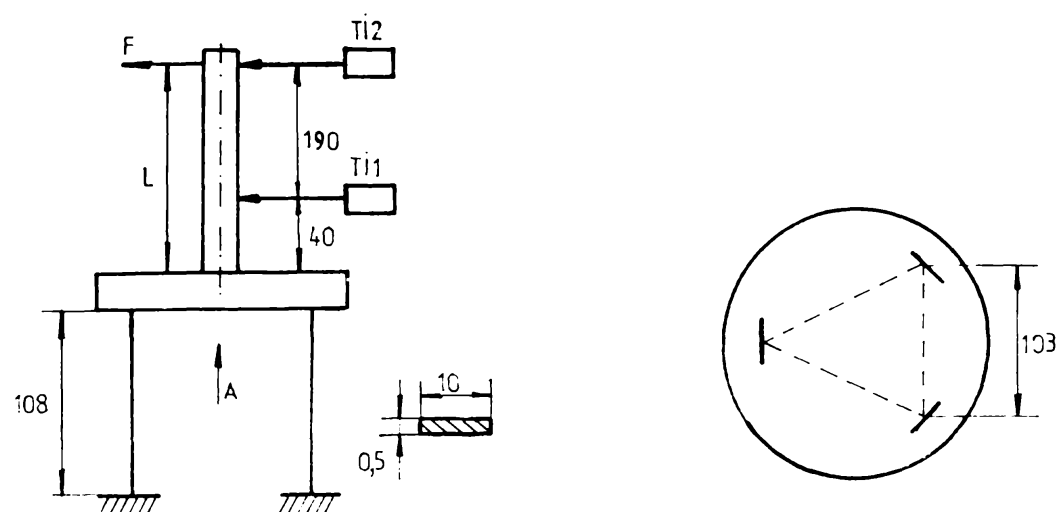


Fig. 6.38

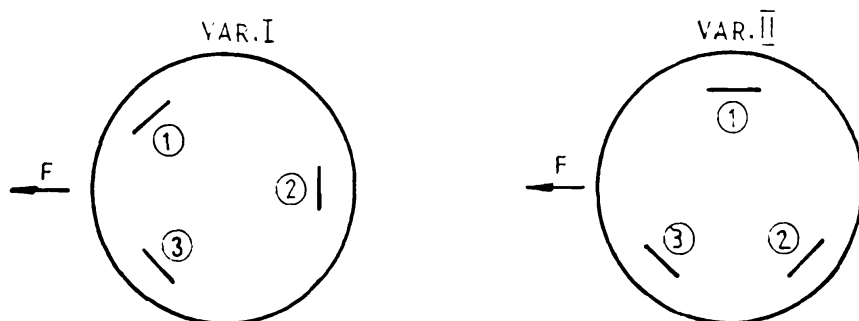


Fig. 6.39

sa permita prin modificari minime obtinerea unor MCCE cu parametri diferiti.

Incercarile s-au propus in principal:

- stabilirea influentei orientarii fortei F fata de planul elementelor elastice asupra comportamentului MCCE
- influenta unghiului de inclinare a elementelor elastice asupra caracteristicilor MCCE
- verificarea ipotezelor teoretice facute in modelele matematice referitoare la sinteza MCCE.

6.4.2. Descrierea modelelor experimentale si a datelor preliminare pentru incercari

Incercarile s-au efectuat pe standul experimental prezentat la pct. 6.2.2.

Elementele rigide ale MCCE s-au realizat din duraluminiu iar elementele elastice din banda de otel OLC 55 A. Rigidizarea elementelor elastice fata de elementele rigide s-a efectuat prin intermediul unor elemente constructive auxiliare astfel incit sa fie posibila modificarea razei de montaj, a unghiului de inclinare a elementelor elastice.

Un prim model S3P realizat si incercat a fost modelul spatial cu trei elemente elastice paralele dispuse relativ la 120° pe elementele rigide (fig. 6.38).

Incercarile s-au realizat in doua variante de asezare a MCCE in raport cu forta F (fig. 6.39).

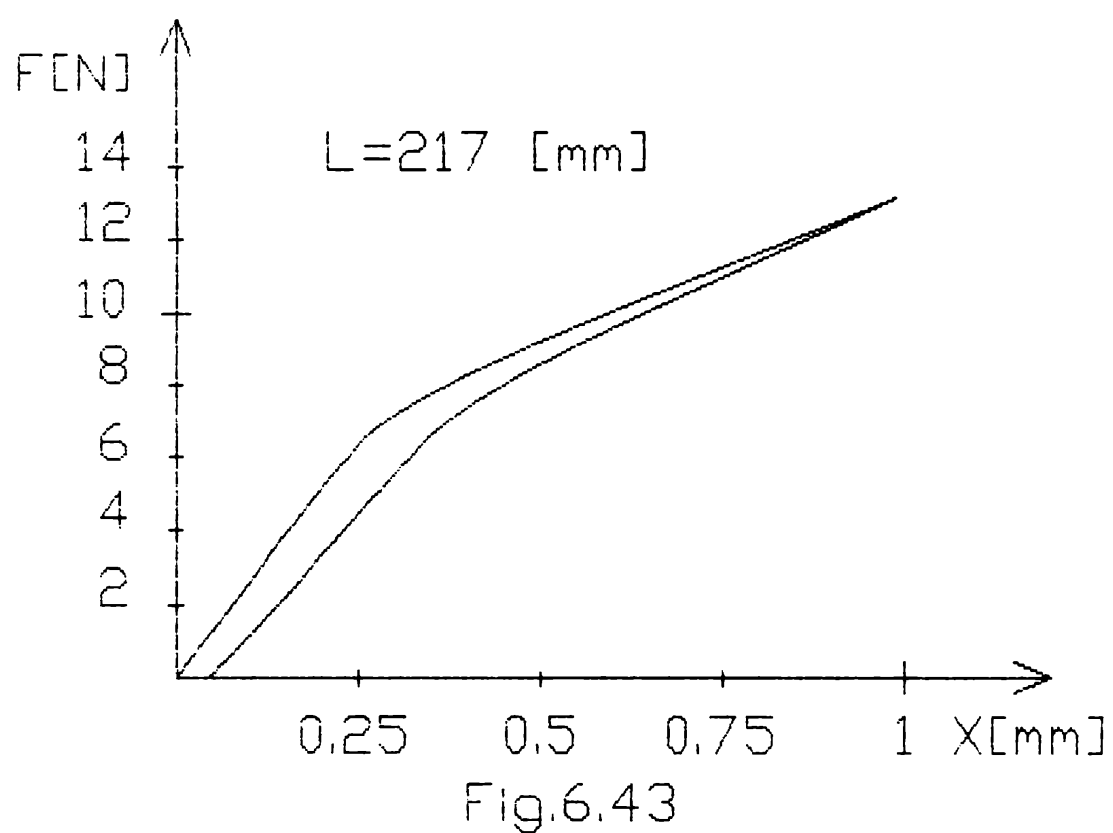
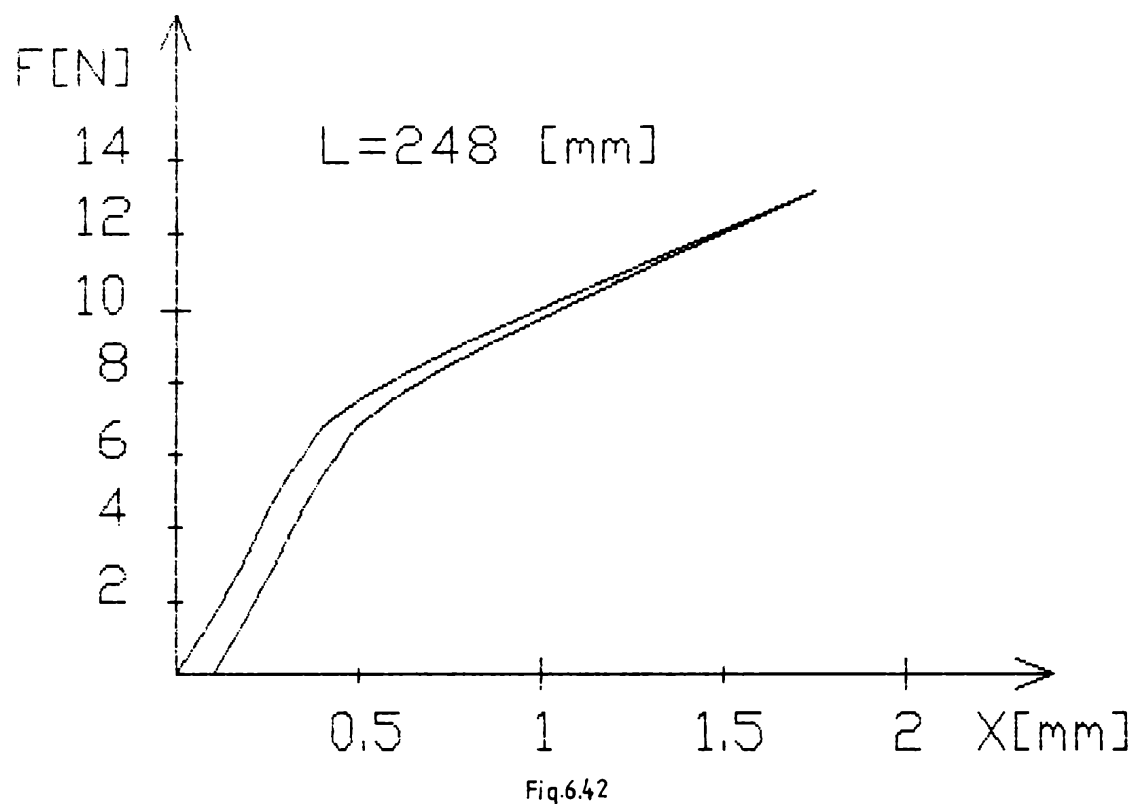
Punctul de aplicatie al fortei F a fost fixat la cotele $L=248$ [mm]; 217 [mm]; 155 [mm]; 93 [mm].

In ceea ce priveste aplicarea momentului M aceasta s-a realizat intr-o singura pozitie $L=186$ mm (fig. 6.40).

Cel de-al doilea MCCE - S3I - a avut la baza aceleasi elemente elastice si rigide. Schita constructiva a MCCE pentru variantele "a" si "b" si disponerea TI este prezentata in fig. 6.41.

Punctul de aplicatie al fortei a fost fixat la cotele $L=248$ [mm]; 217 [mm]; 186 [mm]; 124 [mm]; 93 [mm].

In ceea ce priveste incarcarea MCCE cu un moment M aceasta s-a realizat in mod asemanator cazurilor precedente pentru urmatoarele valori ale bratului: poz. 1-2 $L=186$ [mm]; poz. 1-3 $L=155$ [mm]; poz. 1-4 $L=124$ [mm].



L=155 mm; Incarcare

Tabelul 6.53

F (N)	X1 (mm)	X2 (mm)	X (mm)	FI (rad)
0.00000	0.00000	0.00000	0.00000	0.00000
2.06000	0.05180	0.05550	0.05396	0.00002
4.12000	0.09629	0.12030	0.11032	0.00013
6.18000	0.13330	0.18050	0.16087	0.00025
8.24000	0.18515	0.25920	0.22841	0.00039
13.14500	0.34813	0.55550	0.46928	0.00109
15.45000	0.52590	0.91660	0.75415	0.00206

L=155 mm; Descarcare

Tabelul 6.54

F (N)	X1 (mm)	X2 (mm)	X (mm)	FI (rad)
0.00000	0.05180	0.01833	0.03225	-0.00018
2.06000	0.09629	0.08796	0.09142	-0.00004
4.12000	0.14813	0.15740	0.15355	0.00005
6.18000	0.19630	0.24073	0.22226	0.00023
8.24000	0.25182	0.32407	0.29403	0.00038
13.14500	0.40000	0.62961	0.53414	0.00121
15.45000	0.52590	0.91660	0.75415	0.00206

L=93 mm; Incarcare

Tabelul 6.55

F (N)	X1 (mm)	X2 (mm)	X (mm)	FI (rad)
2.06000	0.04440	0.05550	0.04785	0.00006
4.12000	0.08880	0.09720	0.09141	0.00004
6.18000	0.13330	0.16660	0.14364	0.00018
8.24000	0.16660	0.22220	0.18387	0.00029
13.14500	0.31110	0.44440	0.35249	0.00070
15.45000	0.44440	0.55550	0.47890	0.00058

Tabelul 6.56

F (N)	X1 (mm)	X2 (mm)	X (mm)	FI (rad)
2.06000	0.06660	0.11110	0.11436	0.00023
4.12000	0.10000	0.21750	0.22611	0.00062
6.18000	0.17030	0.31480	0.32539	0.00076
8.24000	0.21480	0.44440	0.46123	0.00120
10.30000	0.37770	0.83330	0.86669	0.00239
12.36000	0.72590	1.79020	1.86821	0.00557

Tabelul 6.57

F (N)	X1 (mm)	X2 (mm)	X (mm)	FI (rad)
2.06000	0.07036	0.12030	0.11559	0.00026
4.12000	0.11110	0.20370	0.19497	0.00048
6.18000	0.16290	0.27770	0.26688	0.00060
8.24000	0.21480	0.37960	0.36407	0.00086
10.30000	0.29620	0.55550	0.53106	0.00136
12.36000	0.54810	1.21900	1.15577	0.00351

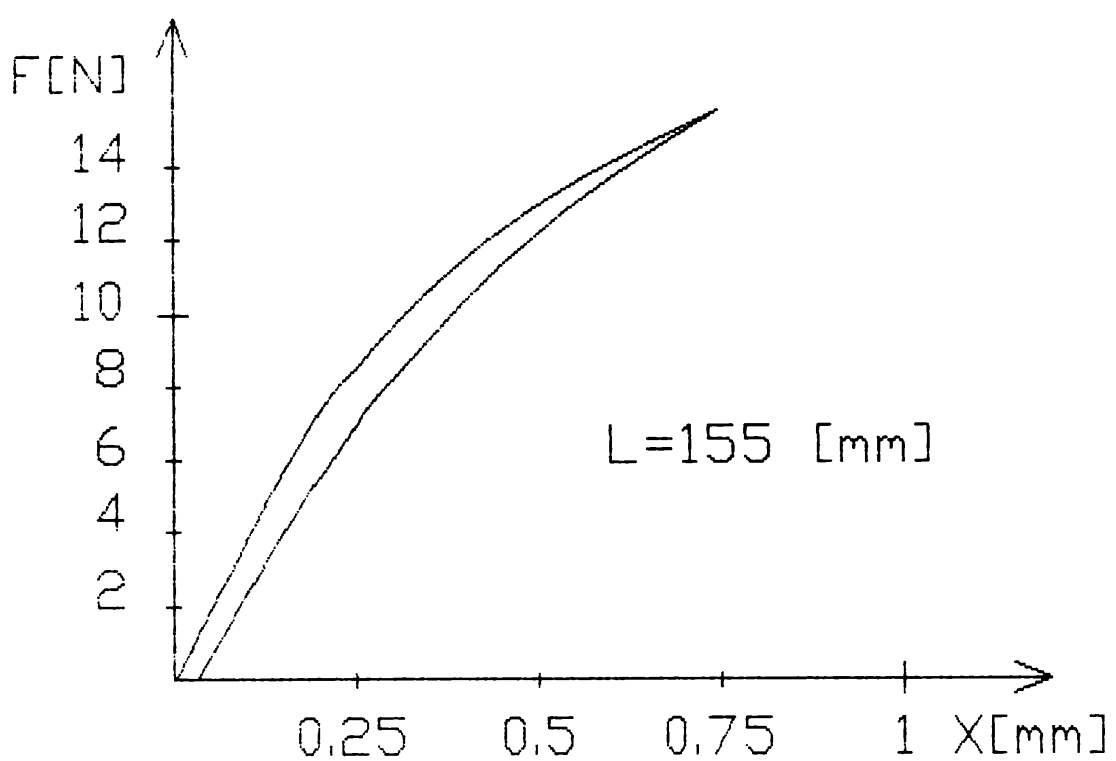


Fig.6.44

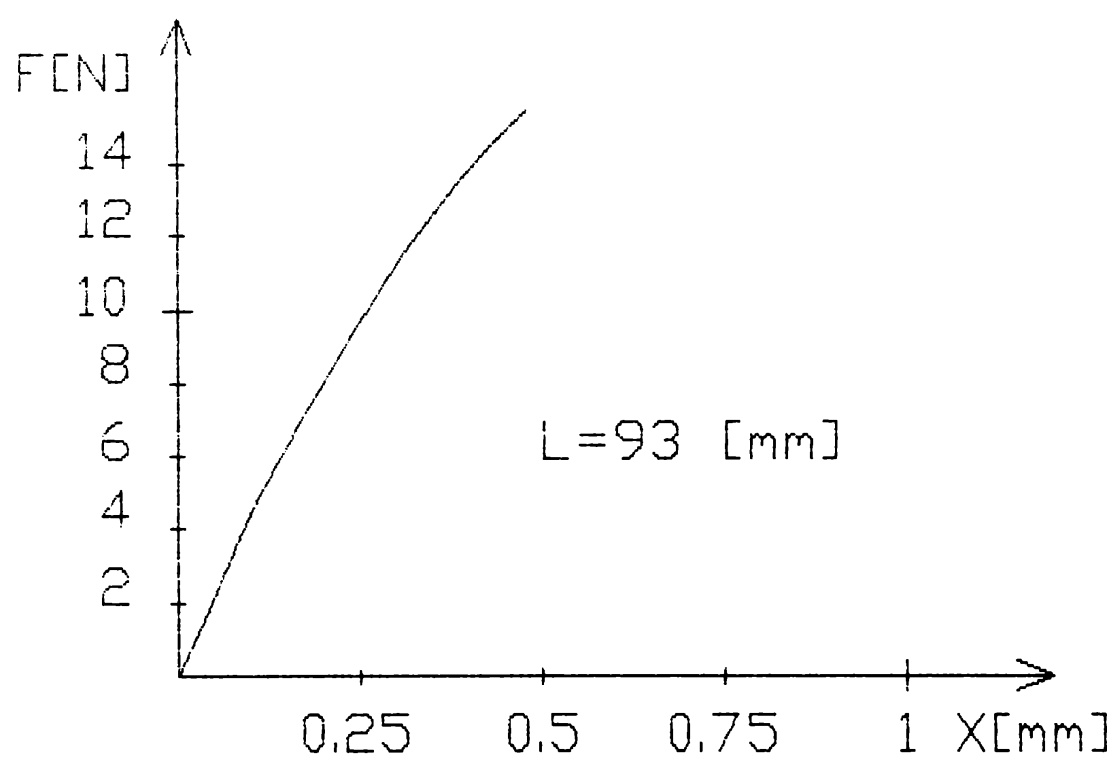
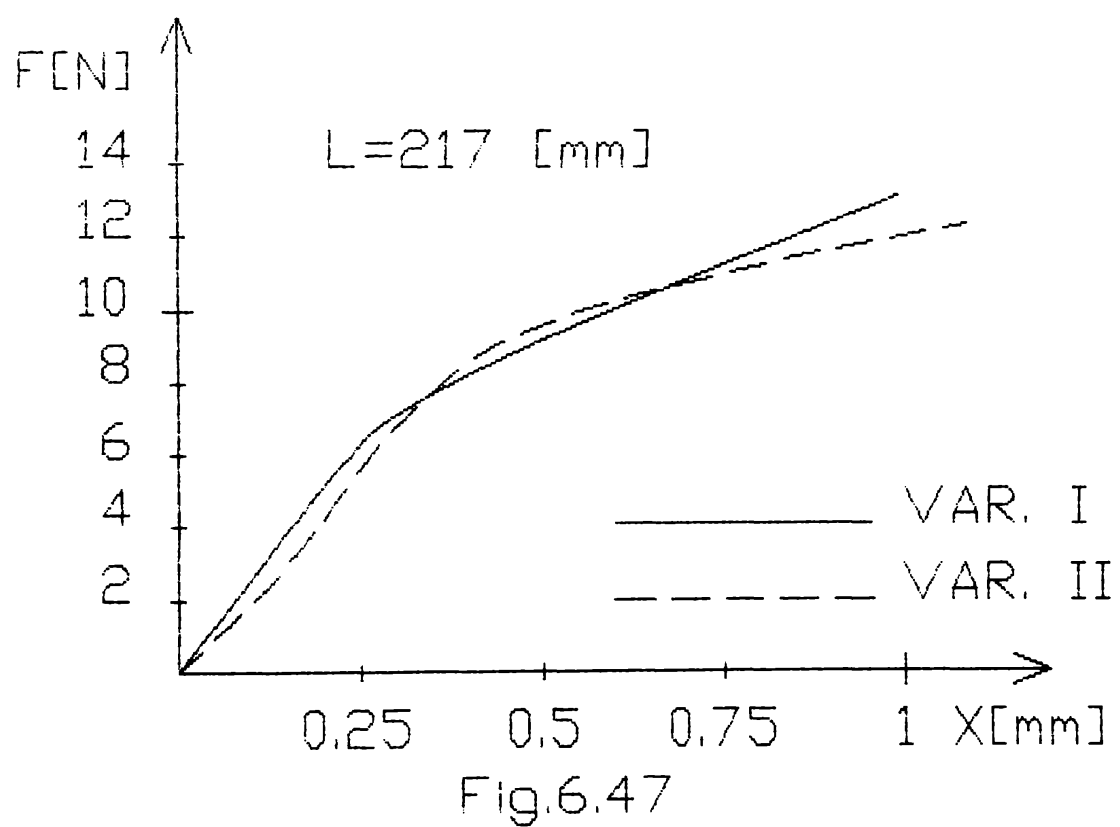
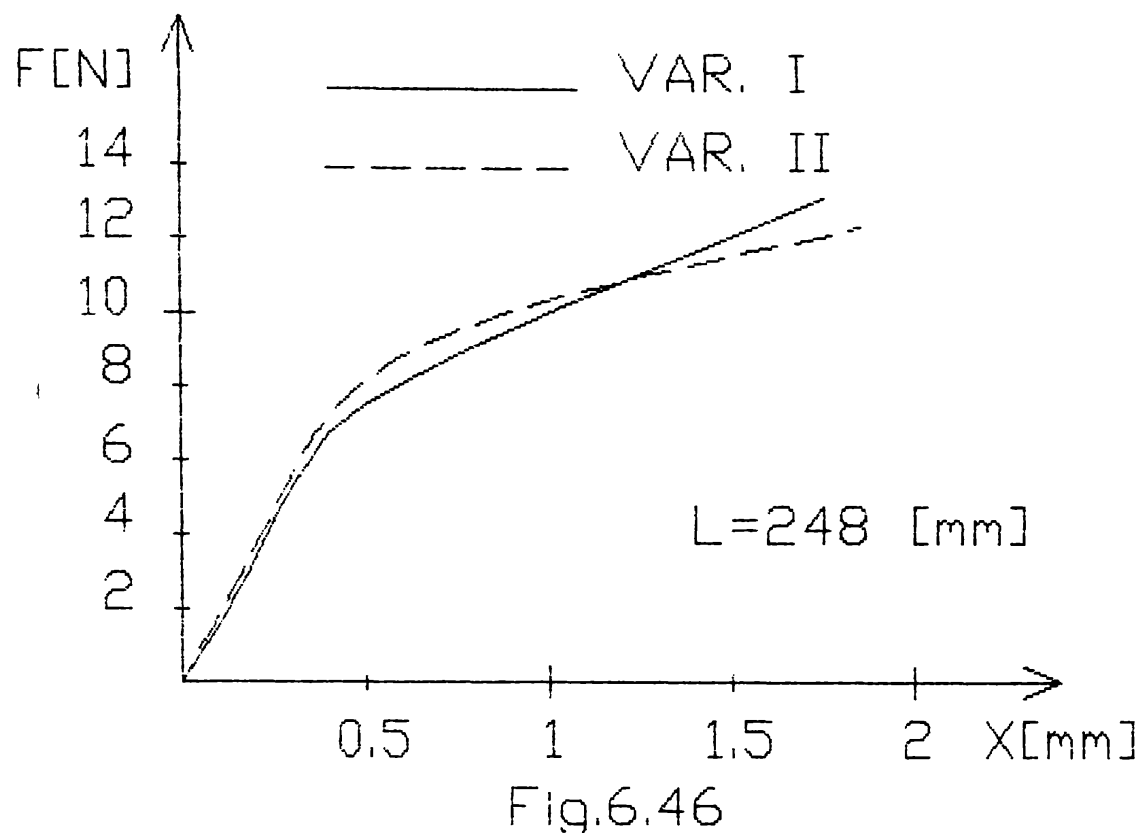


Fig.6.45



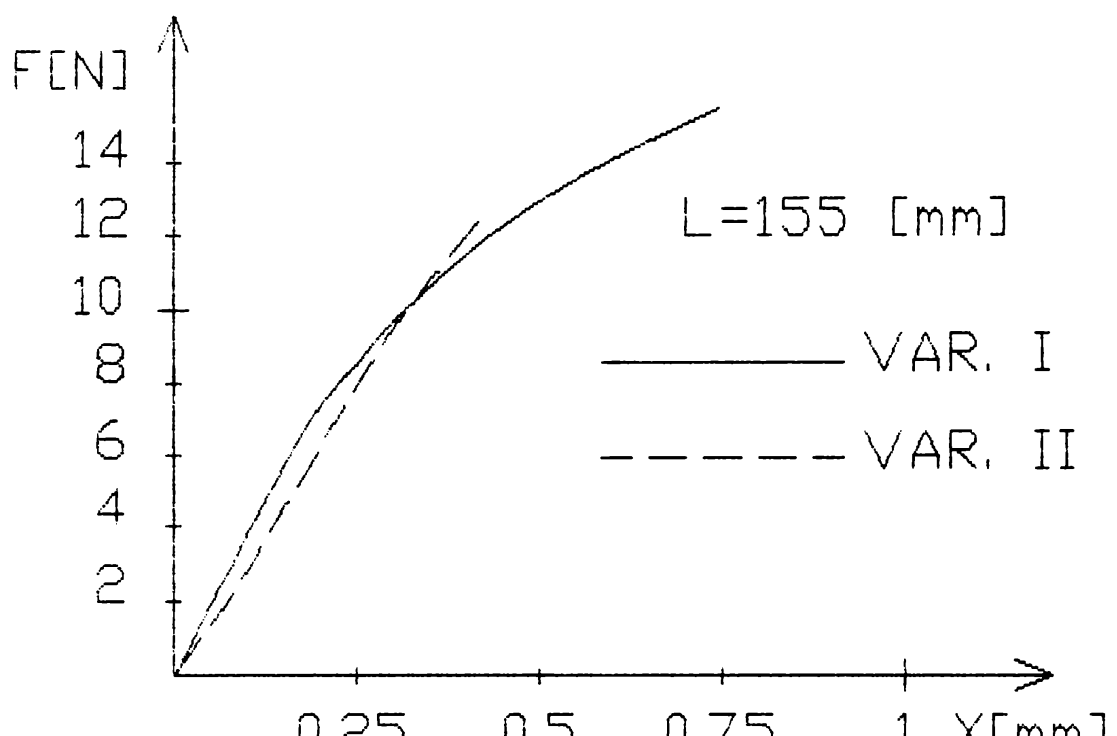


Fig.6.48

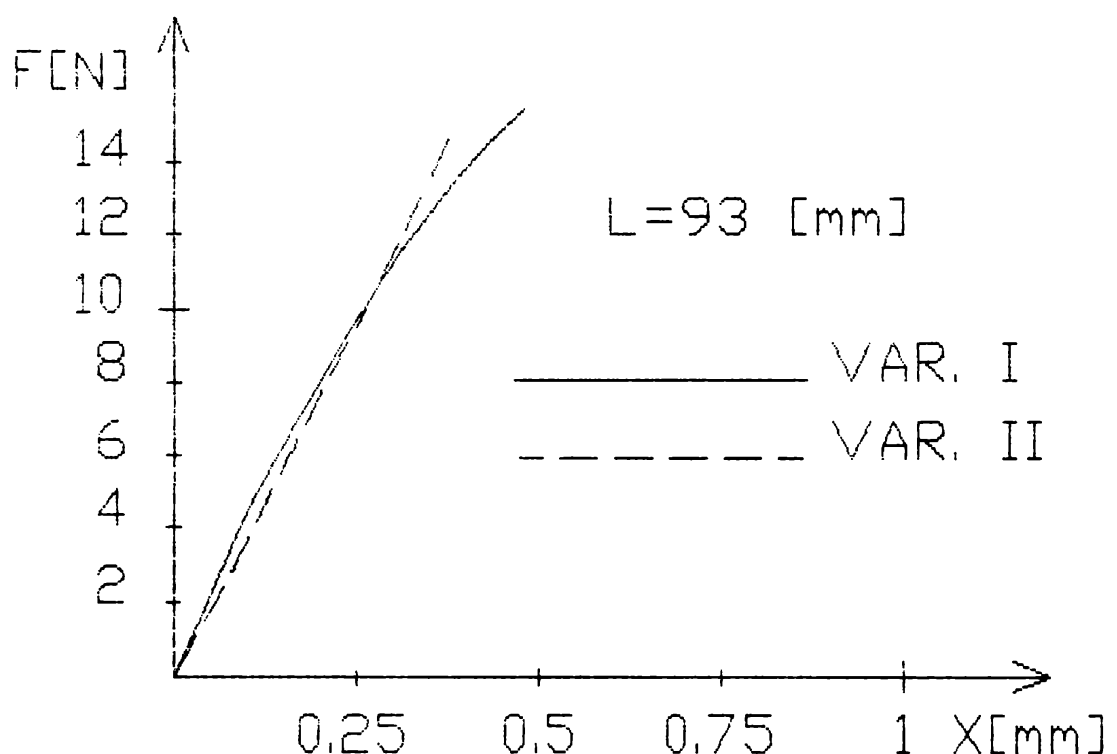


Fig.6.49

Tabelul 6.58

F (N)	X1 (mm)	X2 (mm)	X (mm)	FI (rad)
2.06000	0.06660	0.09250	0.08165	0.00014
4.12000	0.09620	0.16660	0.13711	0.00037
6.18000	0.14810	0.24070	0.20191	0.00048
8.24000	0.19250	0.30550	0.25817	0.00059
10.30000	0.24440	0.38880	0.32832	0.00076
12.36000	0.30370	0.50000	0.41778	0.00103

Tabelul 6.59

F (N)	X1 (mm)	X2 (mm)	X (mm)	FI (rad)
2.06000	0.05925	0.06480	0.06096	0.00003
4.12000	0.10370	0.12960	0.11170	0.00014
6.18000	0.15185	0.18518	0.16215	0.00017
8.24000	0.20000	0.25000	0.21545	0.00026
10.30000	0.24440	0.33300	0.27177	0.00046
12.36000	0.29630	0.38880	0.32487	0.00048
14.66500	0.33300	0.47220	0.37600	0.00073

Din analiza acestor rezultate se pot concluziona urmatoarele:

- MCCE prezinta o caracteristica aproximativ liniara pe prima parte (deplasari <0.5 [mm])
- pentru forta F = 6 [N] (in cazurile L=248 [mm] si L=217 [mm] in mod pronuntat) este sesizabila o pierdere a stabilitatii. Acest lucru se explica prin depasirea sarcinii critice de flambaj a elementelor elastice. Se impune astfel ca pentru aceste structuri sa fie prevazut si un calcul al stabilitatii mecanice.
- MCCE prezinta o histereză mecanică cu o eroare de caracteristica mai mica decit 0.1 [mm]
- caracteristicile MCCE pentru VAR.I si VAR.II sunt foarte apropiate ceea ce confirma considerentele teoretice

In vederea evidențierii influențelor forțelor verticale asupra funcționării MCCE s-au realizat încercări pentru poziția I de aplicare a forței F(L=244 [mm]). Resultatele experimentale sunt prezentate în tabelul 6.60 (G=3.46 [N]), tabelul 6.61 (G=5.765 [N]) și tabelul 6.62 (G=12.33 [N]). În fig.6.50 se prezintă, pe baza acestor rezultate, caracteristicile $F=f(x)$ comparativ cu aceeași caracteristică a MCCE în lipsa forței G.

Se constată din cele prezentate că în prima lor parte caracteristicile sunt apropiate după care urmează starea de instabilitate pentru forțe F mai reduse. Acest aspect susține în plus

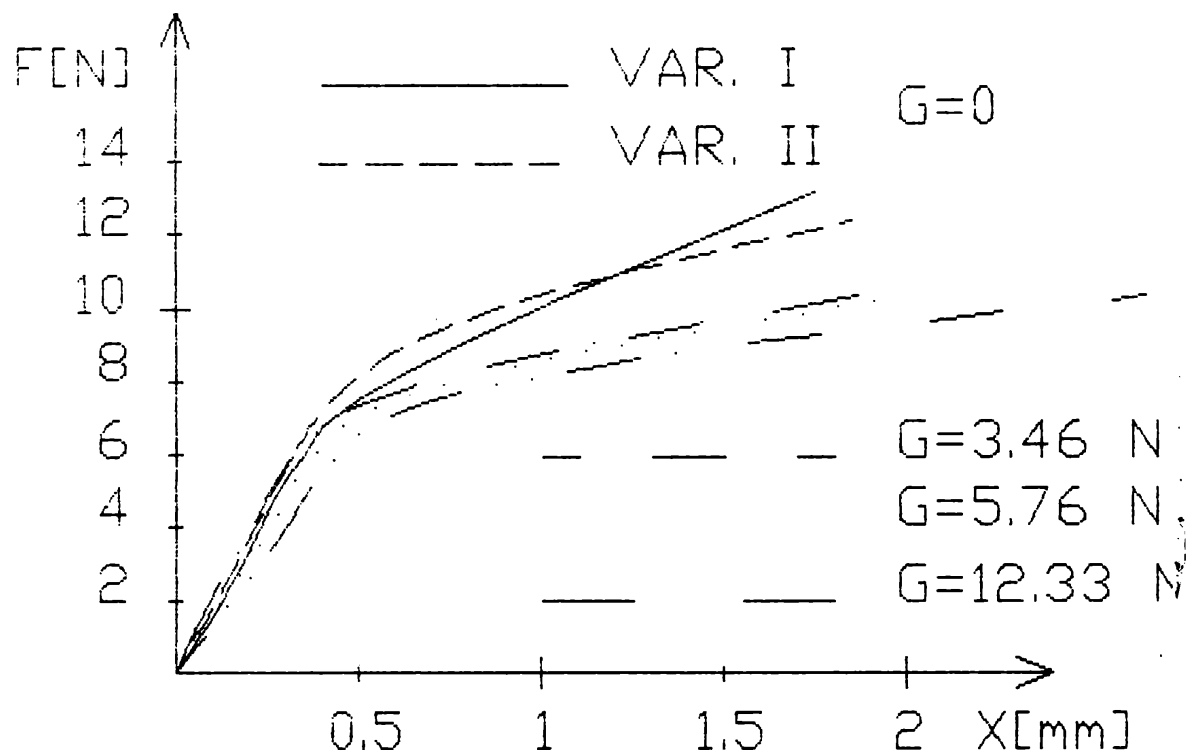


Fig.6.50

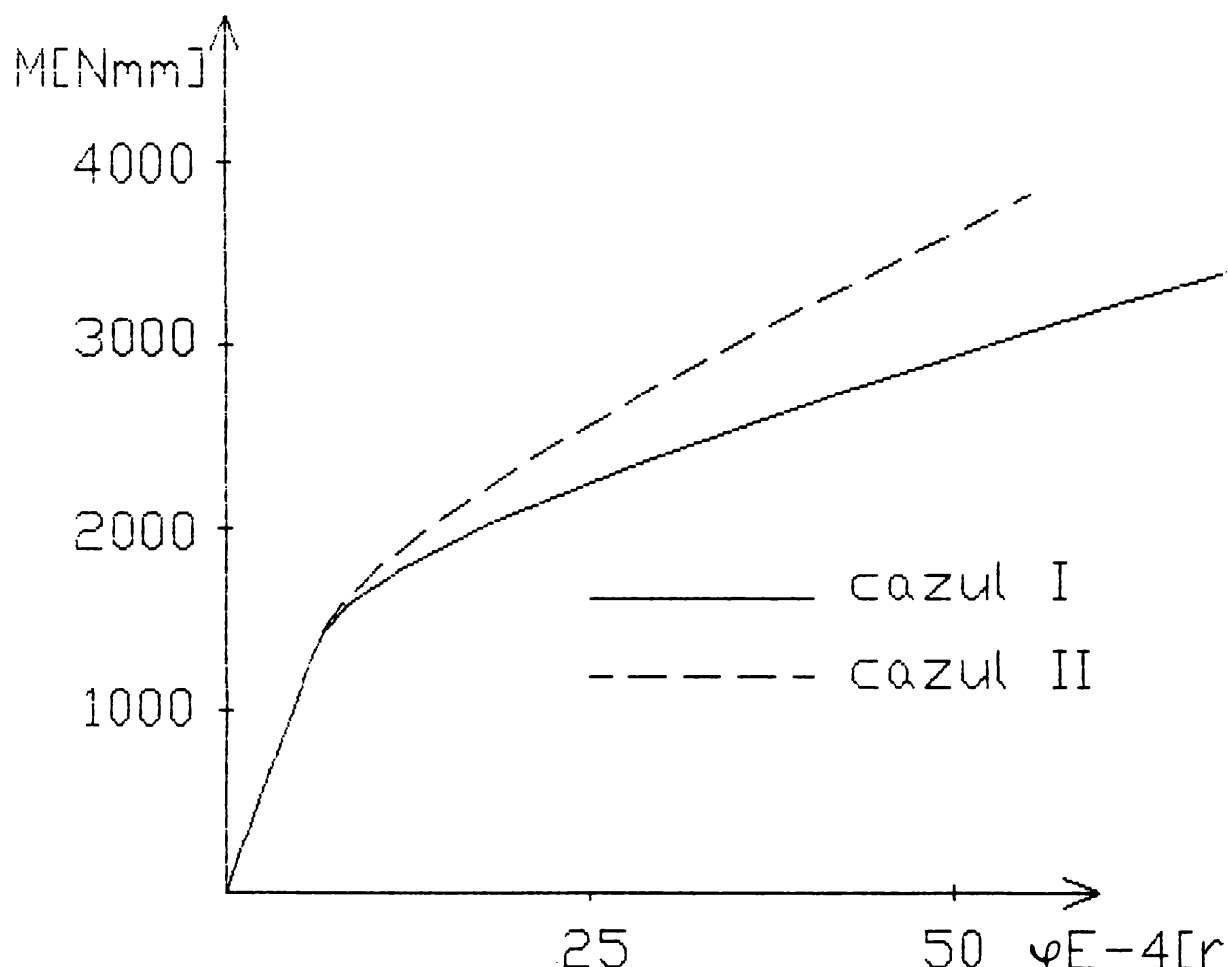


Fig.6.51

recomandarea ca MCCE-SSP trebuie folosit la forte reduse sau trebuie realizat la dimensiuni axiale reduse.

Tabelul 6.60

F (N)	X1 (mm)	X2 (mm)	X (mm)	FI (rad)
2.06000	0.02220	0.05550	0.08330	0.00029
4.12000	0.08880	0.16660	0.23155	0.00068
6.18000	0.13330	0.22220	0.29641	0.00077
8.24000	0.17770	0.38880	0.56502	0.00184
10.30000	0.53330	1.31420	1.96608	0.00679

Tabelul 6.61

F (N)	X1 (mm)	X2 (mm)	X (mm)	FI (rad)
2.06000	0.03330	0.08330	0.12504	0.00043
4.12000	0.08880	0.19440	0.28255	0.00092
6.18000	0.13330	0.25000	0.34742	0.00101
8.24000	0.22220	0.44440	0.62989	0.00193
10.30000	0.62200	1.42800	2.10083	0.00701

Tabelul 6.62

F (N)	X1 (mm)	X2 (mm)	X (mm)	FI (rad)
2.06000	0.04440	0.11110	0.16678	0.00058
4.12000	0.11110	0.22220	0.31494	0.00097
6.18000	0.15550	0.30550	0.43072	0.00130
8.24000	0.26660	0.50000	0.69484	0.00203
10.30000	0.80000	1.94280	2.89679	0.00994

In ceea ce priveste solicitarea MCCE de catre un moment aceasta s-a realizat pentru o singura pozitie a fortelelor. Rezultatele experimentale sunt trecute in tabelele 6.63, 6.64 si fig. 6.51 pentru doua cazuri de incarcare:

Cazul I-MCCE a fost incarcat la inceput cu forta F₁ si apoi cu forta F₂

Cazul II-MCCE a fost incarcat cu forta F₂ si apoi cu forta F₁

CAZUL I

Tabelul 6.63

M (Nm)	X1 (mm)	X2 (mm)	R (mm)	FI (rad)
383.16000	0.02220	0.05550	127.33330	0.00017
766.32000	0.04440	0.11110	127.14240	0.00035
1149.48000	0.06660	0.16660	127.20600	0.00052
2061.81000	0.08880	0.27770	89.78721	0.00099
3813.48000	0.82220	2.48570	94.40588	0.00871

Se constata din cele prezentate o suprapunere a caracter-

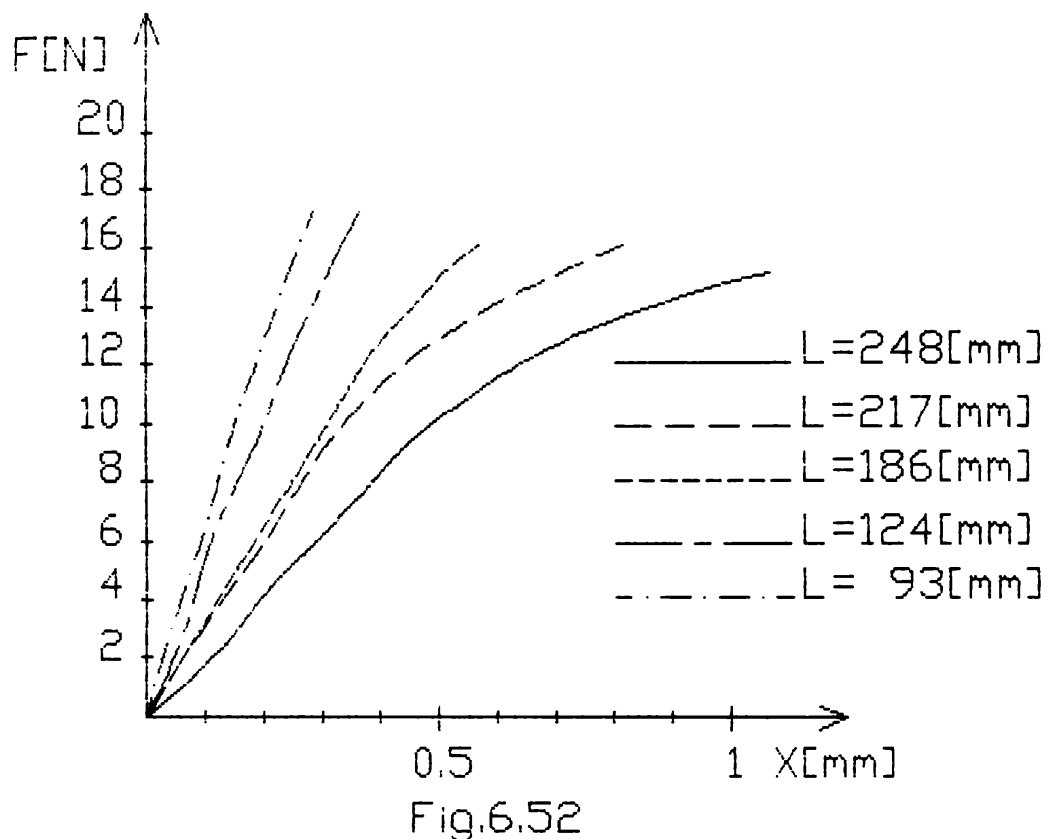


Fig.6.52

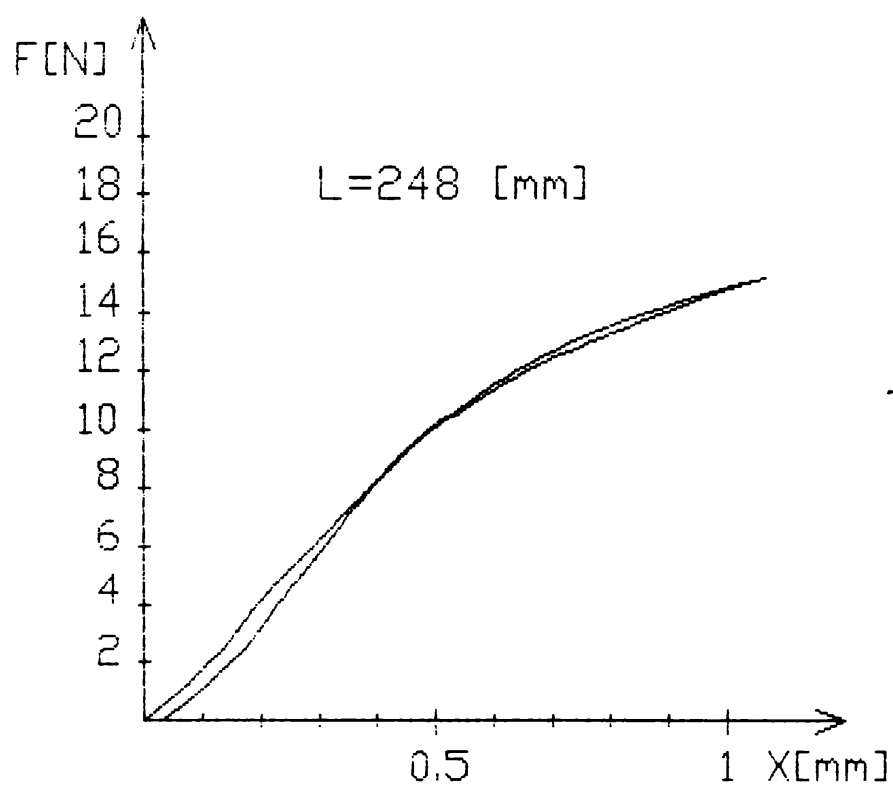


Fig.6.53

isticilor pentru momente de pînă la 2061 [Nm] după care urmează o diferențiere a acestora, caracteristic fiind și o pierdere

CAZUL II

Tabelul 6.64

M (Nm)	X1 (mm)	X2 (mm)	R (mm)	FI (rad)
383.16000	0.02220	0.05550	127.33330	0.00017
766.32000	0.04440	0.11110	127.14240	0.00035
1149.48000	0.06660	0.16660	127.20600	0.00052
2061.81000	0.08880	0.27770	89.78721	0.00099
3813.48000	0.48880	1.54280	88.57851	0.00552

stabilitatii MCCE. Acest ultim aspect se exilca prin faptul ca încarcind separat MCCE cu fortele F-asa cum apar de fapt si în procesul de montaj-lă aplicarea celei de-a doua forte MCCE se gasea deja într-o stare de instabilitate datorata primei forte.

Valoarea R s-a calculat în raport cu poziția traductorului TI1.

6.4.4. Rezultate experimentale-MCCE-S3Ia

Rezultatele experimentale obținute în urma solicitării MCCE-S3Ia cu o forță F sunt prezentate în tăbelele 6.65-6.70. Modul de variație a deplasării tijei, rigidizată fata de bieți, funcție de valoarea forței F pentru cele 5 cazuri de încarcare este prezentat în fig.6.52. În fig.6.53 se prezintă aceasi dependență pe un ciclu încarcare-descarcare.

L=248 [mm]; Încarcare

Tabelul 6.65

F (N)	X1 (mm)	X2 (mm)	X (mm)	FI (rad)
0.00000	0.04440	0.09000	0.12670	0.00037
2.06000	0.07770	0.13888	0.18812	0.00050
4.12000	0.09880	0.20830	0.30448	0.00097
6.18000	0.13330	0.27770	0.39392	0.00117
8.24000	0.15550	0.34720	0.50150	0.00156
10.30000	0.18880	0.45830	0.67521	0.00219
12.36000	0.22220	0.52770	0.77359	0.00248
13.29000	0.26660	0.62500	0.91347	0.00291
14.22000	0.30000	0.73610	1.08711	0.00355

In scopul evidențierii influenței unei forțe verticale G asupra funcționării mecanismului MCCE-S3Ia acesta a fost încărcat cu forțele G=3.46 [N]; G=9.2 [N] și G=15.8 [N]. Rezultatele experimentale sunt trecute în tăbelele 6.71-6.79 iar în fig.6.54,

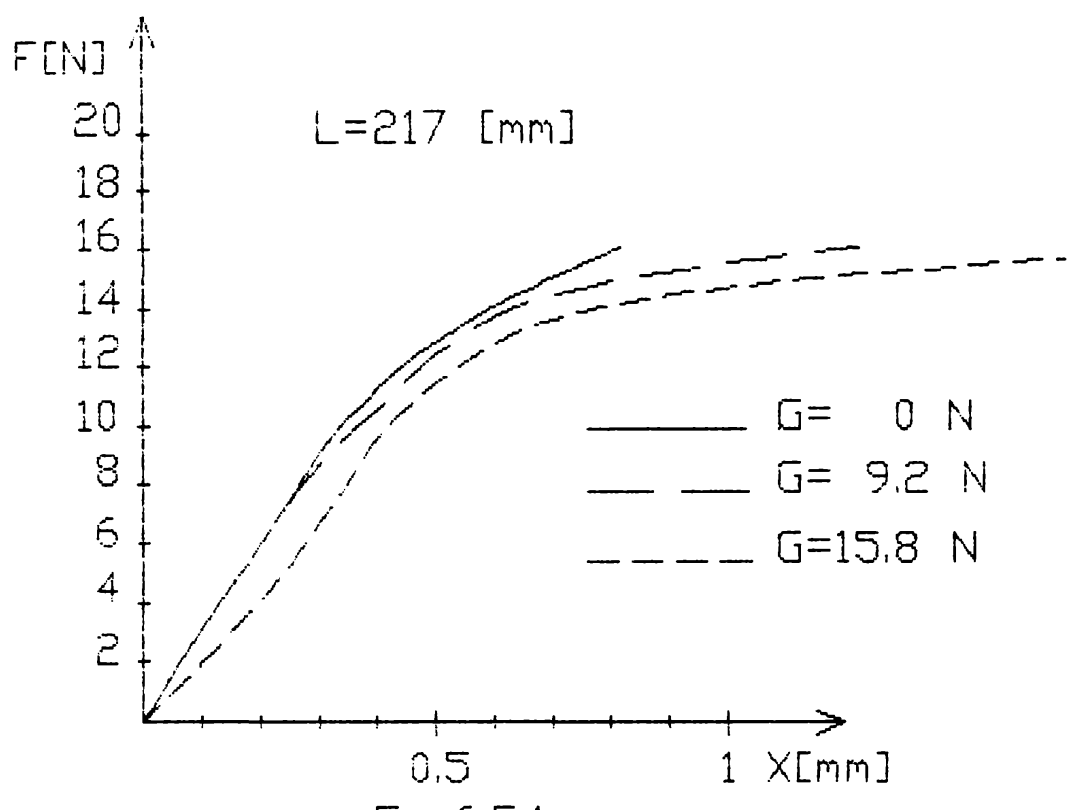


Fig.6.54

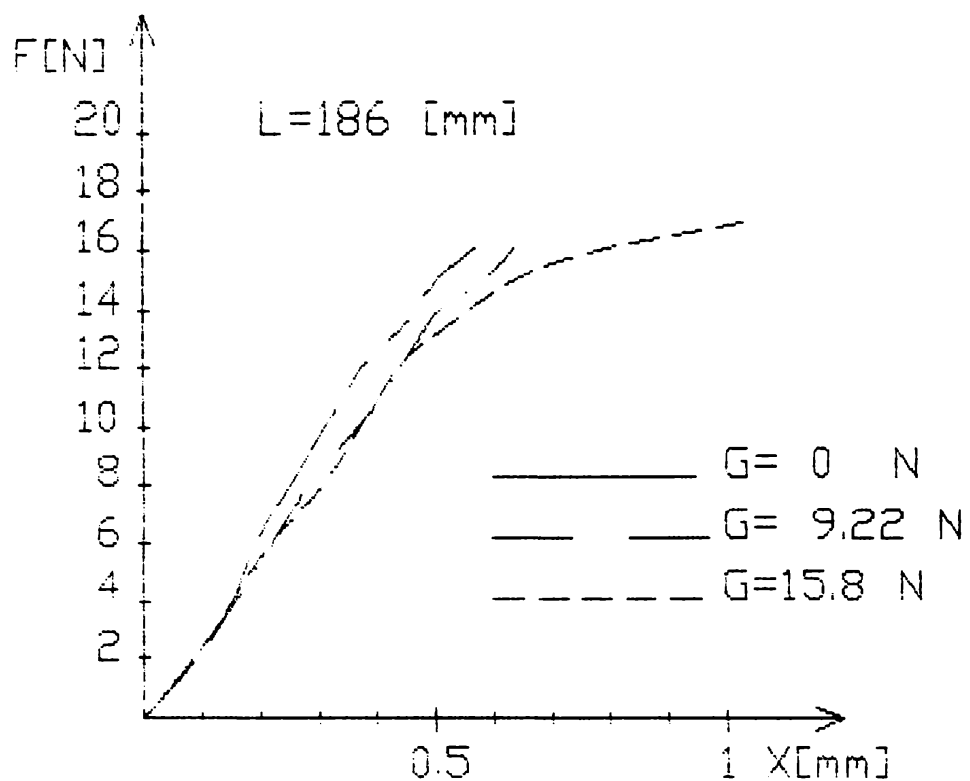


Fig.6.55

L=248 mm ; Descarcare

Tabelul 6.66

F (N)	X1 (mm)	X2 (mm)	X (mm)	FI (rad)
0.00000	0.02220	0.02770	0.03213	0.00004
2.06000	0.04440	0.11110	0.16479	0.00054
4.12000	0.08880	0.16660	0.22922	0.00063
6.18000	0.10000	0.22200	0.32020	0.00099
8.24000	0.13330	0.27770	0.39417	0.00118
10.30000	0.17770	0.36110	0.50871	0.00149
12.36000	0.20000	0.47220	0.69129	0.00221
13.29000	0.22220	0.55550	0.82377	0.00271
14.22000	0.26660	0.63880	0.93838	0.00303
15.15000	0.30000	0.73610	1.08711	0.00355

L=217 mm

Tabelul 6.67

F (N)	X1 (mm)	X2 (mm)	X (mm)	FI (rad)
2.06000	0.04440	0.05550	0.06164	0.00009
4.12000	0.06660	0.11110	0.13570	0.00036
6.18000	0.08880	0.16660	0.20961	0.00063
8.24000	0.13330	0.22220	0.27135	0.00072
10.30000	0.15550	0.27770	0.34526	0.00099
12.36000	0.17770	0.36110	0.46249	0.00149
13.29000	0.20000	0.41660	0.53635	0.00176
14.22000	0.22220	0.47220	0.61041	0.00203
15.15000	0.26660	0.55550	0.71522	0.00235
16.08000	0.31110	0.63880	0.81997	0.00266

fig.6.55 se prezinta comparativ caracteristica de functionare a MCCE in prezentă si in lipsă forței G.

Din analiza acestor rezultate experimentale se desprind urmatoarele concluzii:

- MCCE-S31a prezinta caracteristici liniare pentru deplasari ale pielei de pînă la 0.5 mm

- (pentru pozitii inoperte ale forței F de biela rigidă,MCCE prezintă tendințe de pierdere a stabilitatii la creșterea forței.

L=186 mm

Tabelul 6.68

F (N)	X1 (mm)	X2 (mm)	X (mm)	FI (rad)
2.06000	0.02220	0.05550	0.06552	0.00027
4.12000	0.06660	0.11110	0.12449	0.00036
6.18000	0.08880	0.16660	0.19000	0.00063
8.24000	0.11110	0.22220	0.25562	0.00090
10.30000	0.13330	0.27770	0.32114	0.00117
12.36000	0.17770	0.33330	0.38011	0.00127
13.29000	0.20000	0.38880	0.44559	0.00153
14.22000	0.22220	0.41660	0.47508	0.00158
15.15000	0.24440	0.44440	0.50456	0.00163
16.08000	0.26660	0.50000	0.57021	0.00190

L=124 mm

Tabelul 6.69

F (N)	X1 (mm)	X2 (mm)	X (mm)	FI (rad)
2.06000	0.04440	0.05550	0.05324	0.00009
4.12000	0.07770	0.08330	0.08216	0.00005
6.18000	0.10000	0.11110	0.10884	0.00009
8.24000	0.13330	0.16660	0.15983	0.00027
10.30000	0.17770	0.22220	0.21316	0.00036
12.36000	0.20000	0.25000	0.23984	0.00041
17.26500	0.26660	0.38880	0.36396	0.00099

L=93 mm

Tabelul 6.70

F (N)	X1 (mm)	X2 (mm)	X (mm)	FI (rad)
2.06000	0.02000	0.02890	0.02485	0.00007
4.12000	0.04890	0.07227	0.06163	0.00019
6.18000	0.07740	0.11080	0.09559	0.00027
8.24000	0.10190	0.14450	0.12510	0.00035
10.30000	0.13450	0.17340	0.15569	0.00032
12.36000	0.16300	0.21600	0.19187	0.00043
17.26500	0.24460	0.31800	0.28458	0.00060

L=248 mm ; G=3.46 N

Tabelul 6.71

F (N)	X1 (mm)	X2 (mm)	X (mm)	FI (rad)
2.06000	0.02220	0.05550	0.08230	0.00027
4.12000	0.04440	0.11110	0.16479	0.00054
6.18000	0.08880	0.16660	0.22922	0.00063
8.24000	0.11110	0.22220	0.31162	0.00090
10.30000	0.15330	0.30500	0.44320	0.00140
12.36000	0.17770	0.38880	0.55871	0.00172
13.29000	0.22220	0.50000	0.72360	0.00226
14.22000	0.26660	0.58330	0.83820	0.00257
15.15000	0.35550	0.83330	1.21787	0.00388

Este semnificativ cazul 1 si 2 de incarcare (L=248 mm si 217 mm).

Acest lucru se explica prin aparitia fenomenului de flambaj ale elementelor elastice.

- caracteristicile sunt cu atit mai dure cu cit L scade.
- mecanismul cu couple cinematice elastice prezinta o histereză mecanică cu existența fenomenului de relaxare mecanică. Acest lucru explica și forma mai deosebită a curbei de histereză prezentată în fig.6.53

- forța G se face simtita sub două aspecte:
a) la valori reduse devine sesizabilă numai la creșterea deplasărilor bielei
b) la valori mai mari impune marirea deplasărilor bielei începând

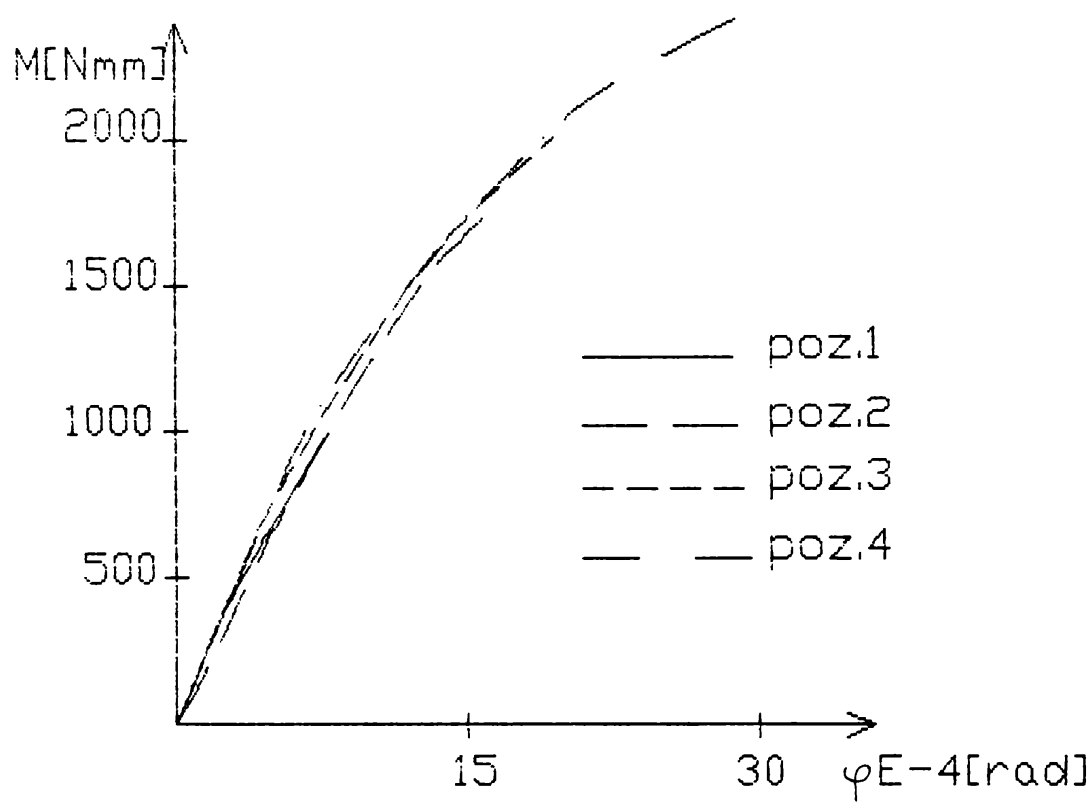


Fig.6.56

chiar din pozitia de "zero"

$L=248 \text{ mm ; } G=9.2 \text{ N}$

Tabelul 6.72

F (N)	X1 (mm)	X2 (mm)	X (mm)	FI (rad)
2.06000	0.04440	0.05550	0.06443	0.00009
4.12000	0.06660	0.11110	0.14692	0.00036
6.18000	0.08880	0.16660	0.22922	0.00063
8.24000	0.11110	0.22220	0.31162	0.00090
10.30000	0.15550	0.33330	0.47641	0.00145
12.36000	0.20000	0.44440	0.64111	0.00199
13.29000	0.22220	0.52770	0.77359	0.00248
14.22000	0.28880	0.66660	0.97068	0.00307
15.15000	0.48880	1.25710	1.87549	0.00625

$L=248 \text{ mm ; } G=15.8 \text{ N}$

Tabelul 6.73

F (N)	X1 (mm)	X2 (mm)	X (mm)	FI (rad)
2.06000	0.04440	0.05550	0.06443	0.00009
4.12000	0.06660	0.11110	0.14692	0.00036
6.18000	0.08880	0.16660	0.22922	0.00063
8.24000	0.13330	0.25000	0.34393	0.00095
10.30000	0.17770	0.33330	0.45854	0.00127
12.36000	0.22220	0.50000	0.72360	0.00226
13.29000	0.26660	0.63880	0.93838	0.00303
14.22000	0.44440	1.08330	1.59754	0.00519
15.15000	1.02220	2.74280	4.12767	0.01399

$L=217 \text{ mm ; } G=9.2 \text{ N}$

Tabelul 6.74

F (N)	X1 (mm)	X2 (mm)	X (mm)	FI (rad)
2.06000	0.04440	0.05550	0.06164	0.00009
4.12000	0.06660	0.11110	0.13570	0.00036
6.18000	0.08880	0.16660	0.20961	0.00063
8.24000	0.13330	0.22220	0.27135	0.00072
10.30000	0.15550	0.30550	0.38843	0.00122
12.36000	0.20000	0.38880	0.49318	0.00153
13.29000	0.22220	0.44440	0.56724	0.00181
14.22000	0.24440	0.50000	0.64131	0.00208
15.15000	0.28880	0.63880	0.83230	0.00285
16.08000	0.40000	0.94440	1.24537	0.00443

Pentru valori ridicate ale cotei L de aplicatie a fortei F, actiunea fortelei G constituie un dezavantaj intrucat este accentuat fenomenul de pierdere a stabilitatii.

Datele experimentale, obtinute in urma solicitarilor MCCE-B3la cu un moment, sint prezentate in tabelele 6.80-6.83. In fig. 6.56 se prezinta, comparativ, modul de variatie $M=g(\gamma)$ pentru cele 4 pozitii de incarcare: poz. 1-1=217 [mm]; poz. 2-186 [mm];

poz. 3- l=170.5 [mm]; poz. 4-l=155 [mm].

L=217 mm ; G=15.8 N

Tabelul 6.75

F (N)	X1 (mm)	X2 (mm)	X (mm)	FI (rad)

2.06000	0.04440	0.08330	0.10481	0.00032
4.12000	0.08880	0.16660	0.20961	0.00063
6.18000	0.11110	0.22220	0.28362	0.00090
8.24000	0.13330	0.27770	0.35753	0.00117
10.30000	0.17770	0.33330	0.41932	0.00127
12.36000	0.22220	0.44440	0.56724	0.00181
13.29000	0.24440	0.50000	0.64131	0.00208
14.22000	0.26660	0.61110	0.80156	0.00280
15.15000	0.40000	0.88880	1.15903	0.00397
16.08000	0.57770	1.48570	1.98768	0.00738

L=186 mm ; G=9.2 N

Tabelul 6.76

F (N)	X1 (mm)	X2 (mm)	X (mm)	FI (rad)

2.06000	0.04440	0.08330	0.09500	0.00032
4.12000	0.06660	0.13880	0.16052	0.00059
6.18000	0.08880	0.19440	0.22617	0.00086
8.24000	0.13330	0.25000	0.28510	0.00095
10.30000	0.15550	0.30550	0.35062	0.00122
12.36000	0.17770	0.36110	0.41627	0.00149
13.29000	0.20000	0.41660	0.48176	0.00176
14.22000	0.22220	0.44440	0.51124	0.00181
15.15000	0.26660	0.50000	0.57021	0.00190
16.08000	0.28880	0.55550	0.63573	0.00217

L=186 mm ; G=15.8 N

Tabelul 6.77

F (N)	X1 (mm)	X2 (mm)	X (mm)	FI (rad)

2.06000	0.04440	0.08330	0.09500	0.00032
4.12000	0.08880	0.13880	0.15384	0.00041
6.18000	0.11110	0.19440	0.21946	0.00068
8.24000	0.13330	0.25000	0.28510	0.00095
10.30000	0.17770	0.30550	0.34394	0.00104
12.36000	0.20000	0.38880	0.44559	0.00153
13.29000	0.22220	0.44440	0.51124	0.00181
14.22000	0.24440	0.50000	0.57689	0.00208
15.15000	0.26660	0.55550	0.64240	0.00235
16.08000	0.31110	0.66660	0.77354	0.00289
16.96000	0.40000	0.88880	1.03584	0.00397
17.45000	0.48880	1.11110	1.29830	0.00506
17.94000	0.60000	1.48570	1.75213	0.00720

Se constata din cele prezentate o suprapunere a caracteristicilor si o liniaritate a acestora pina la 15×10^{-4} [rad]. Tija (modelieaza stiftul cilindric executat o rotatie in jurul unei axe situata la distanta R de pozitia traductorului T12 si deci la

distanță:

$$Y=149 - R \quad (6.27)$$

fata de biela rigida a MCDE. Aceasta pozitie este relativ stabila pentru valori ale momentului de sub 1000 [Nmm], peste aceasta valoare aparind tendinte de pierderea stabilitatii.

$$L=124 \text{ mm} ; G=15.8 \text{ N}$$

Tabelul 6.78

F (N)	X1 (mm)	X2 (mm)	X (mm)	FI (rad)
2.06000	0.04440	0.05550	0.05324	0.00009
4.12000	0.07770	0.08330	0.08216	0.00005
6.18000	0.10000	0.11110	0.10884	0.00009
8.24000	0.13330	0.16660	0.15983	0.00027
10.30000	0.17770	0.22220	0.21316	0.00036
12.36000	0.20000	0.27770	0.26191	0.00063
17.26500	0.31110	0.41660	0.39516	0.00086

$$L=93 \text{ mm} ; G=15.8 \text{ N}$$

Tabelul 6.79

F (N)	X1 (mm)	X2 (mm)	X (mm)	FI (rad)
2.06000	0.04440	0.02770	0.03530	-0.00014
4.12000	0.08880	0.05550	0.07066	-0.00027
6.18000	0.11110	0.11110	0.11110	0.00000
8.24000	0.15550	0.16660	0.16155	0.00009
10.30000	0.17770	0.19440	0.18680	0.00014
12.36000	0.22220	0.25000	0.23734	0.00023
17.26500	0.31110	0.36100	0.33828	0.00041

poz. 1

Tabelul 6.80

M (Nmm)	X1 (mm)	X2 (mm)	R (mm)	FI (rad)
255.44000	0.00000	0.01927	123.00000	0.00016
383.16000	0.00000	0.02890	123.00000	0.00023
608.22000	0.00000	0.05300	123.00000	0.00043
735.94000	0.00000	0.06745	123.00000	0.00055
863.66000	0.00000	0.08190	123.00000	0.00067
991.38000	0.00000	0.09630	123.00000	0.00078

poz. 2

Tabelul 6.81

M (Nmm)	X1 (mm)	X2 (mm)	R (mm)	FI (rad)
255.44000	0.00000	0.02650	123.00000	0.00022
510.88000	0.00000	0.04577	123.00000	0.00037
766.32000	0.00000	0.07227	123.00000	0.00059
1374.54000	0.00611	0.14454	128.42900	0.00113
1490.10000	0.01223	0.16860	132.62020	0.00127
1605.80000	0.01834	0.18800	136.29620	0.00138
1727.30000	0.02446	0.22160	138.26130	0.00160

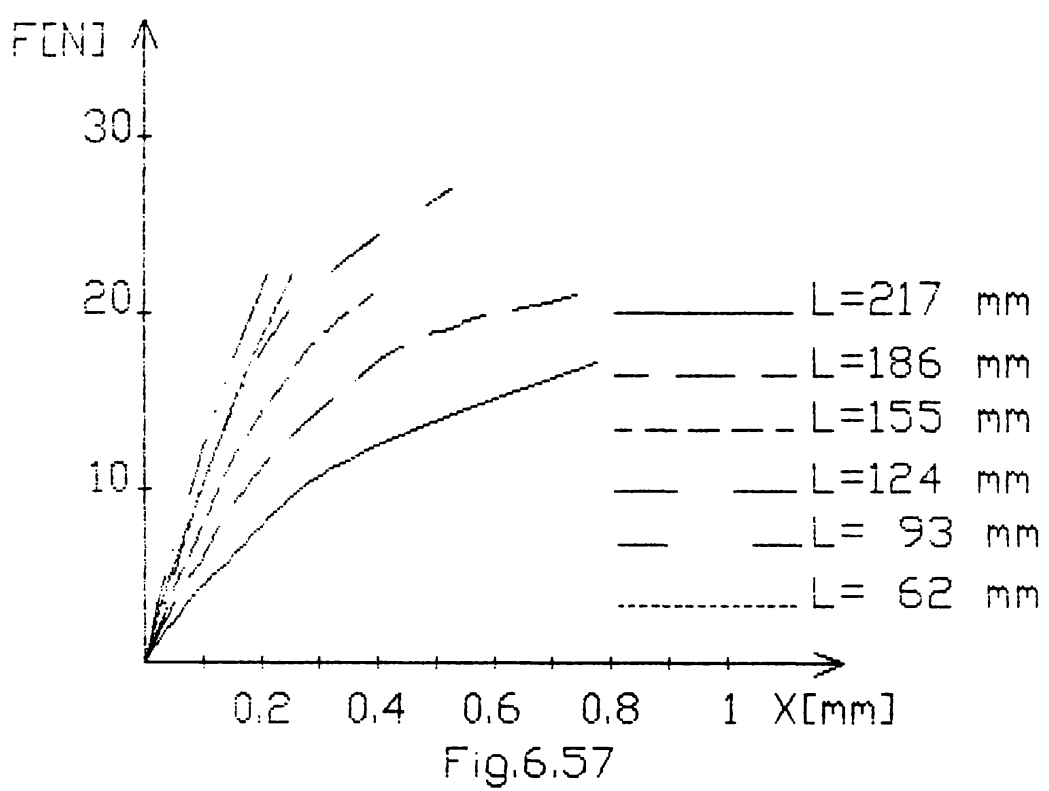


Fig.6.57

poz. 3

Tabelul 6.82

M (Nmm)	X1 (mm)	X2 (mm)	R (mm)	FI (rad)
319.30000	0.00000	0.02400	123.00000	0.00020
638.60000	0.00000	0.04800	123.00000	0.00039
957.90000	0.00000	0.08200	123.00000	0.00067
1718.10000	0.02000	0.19200	137.30240	0.00140
1862.60000	0.02440	0.24000	136.92040	0.00175
2007.20000	0.04000	0.28400	143.16410	0.00198

poz. 4

Tabelul 6.83

M (Nmm)	X1 (mm)	X2 (mm)	R (mm)	FI (rad)
383.16000	0.00000	0.02900	123.00000	0.00024
766.32000	0.00000	0.06260	123.00000	0.00051
1149.48000	0.00000	0.09150	123.00000	0.00074
2061.81000	0.03260	0.26980	139.90490	0.00193
2235.16000	0.05700	0.35170	146.79060	0.00240
2408.70000	0.10200	0.47210	156.89940	0.00301

6.4.5. Rezultate experimentale -MCCE-S3IB

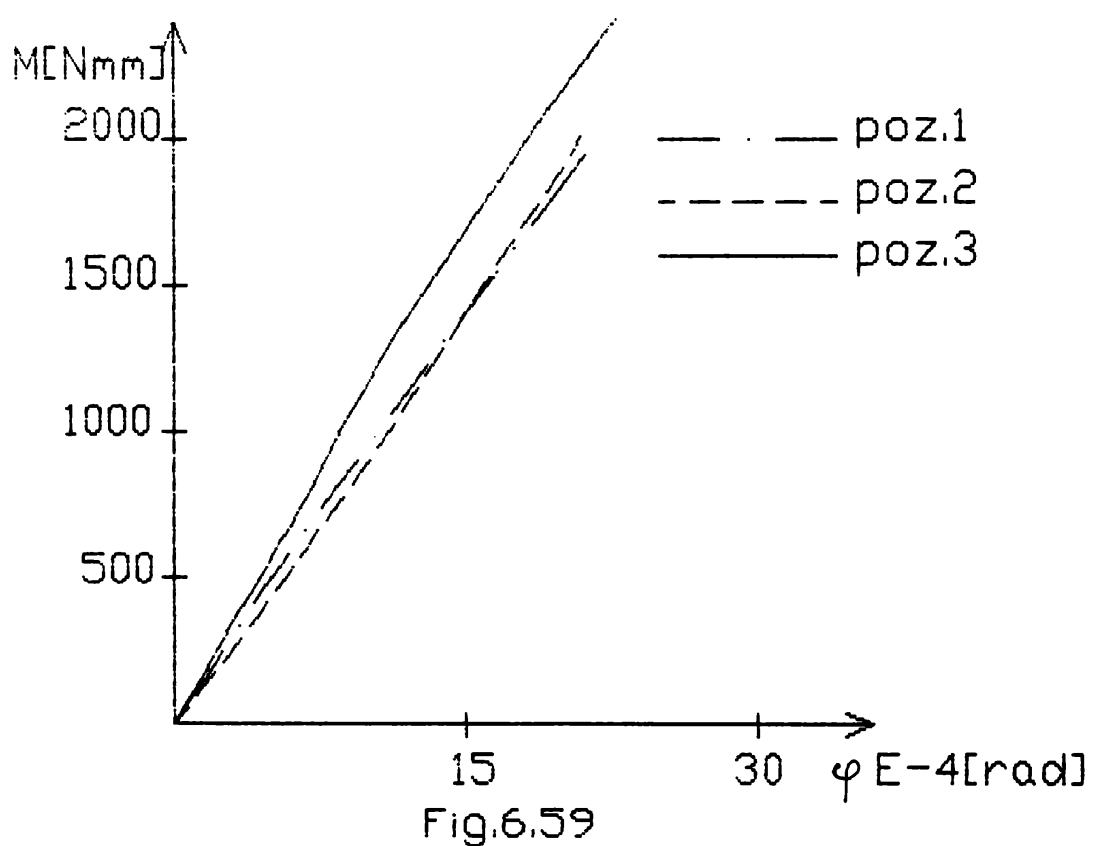
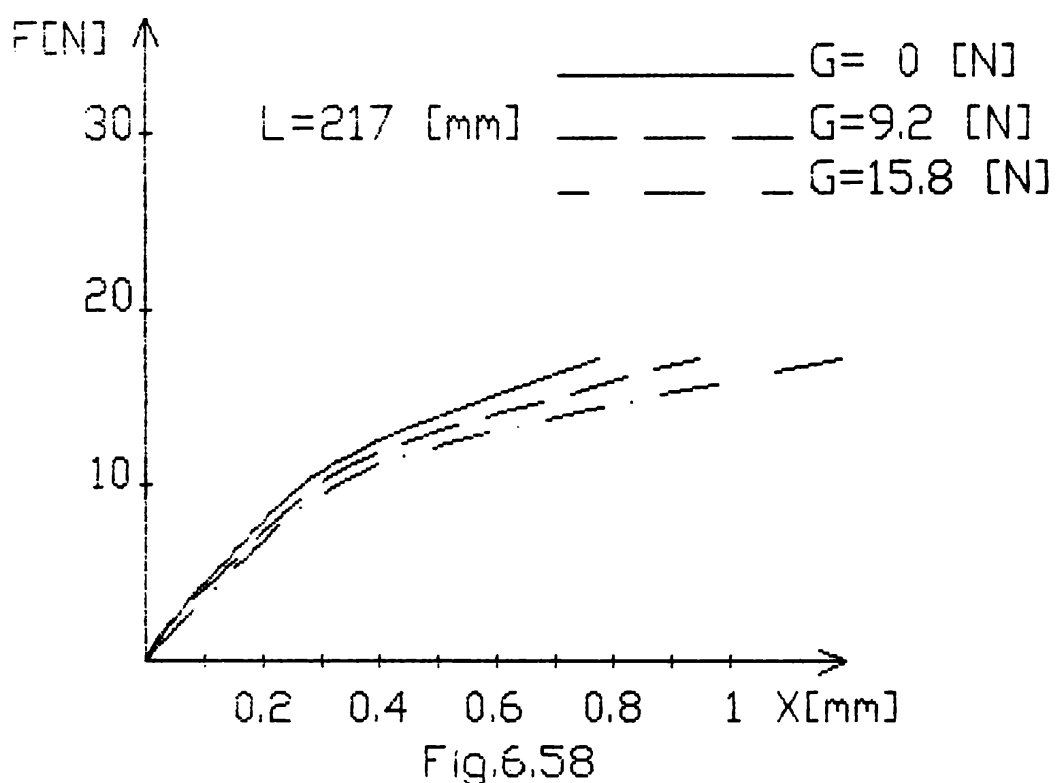
Datele experimentale obtinute in urma incercarilor efectuate asupra MCCE-S3IB sunt prezentate in tabelele 6.84-6.89 pentru solicitarea MCCE cu o forta F si tabelele 6.92-6.94 pentru cazul solicitarii MCCE cu un moment M. In tabelul 6.90 si tabelul 6.91 sunt prezentate rezultatele incarcarii multiple a MCCE cu o forta F si o forta G ($G_1=9.2$ [N] si $G_2=15.8$ [N]). Solicitarea MCCE cu un moment s-a realizat pentru trei pozitii: poz. 1=201,5 [mm]; poz. 2=1=170,5 [mm]; poz. 3=155 [mm].

Pe baza rezultatelor experimentale obtinute s-au ridicat caracteristicile $F=f(x)$ si $M=g(\varphi)$. Aceste caracteristici sunt prezentate in fig. 6.57-6.59.

;L=217 mm

Tabelul 6.84

F (N)	X1 (mm)	X2 (mm)	X (mm)	FI (rad)
2.06000	0.00407	0.02891	0.03655	0.00017
4.12000	0.01019	0.07227	0.09137	0.00043
6.18000	0.01631	0.12045	0.15249	0.00073
8.24000	0.02038	0.16381	0.20794	0.00100
10.30000	0.02446	0.21681	0.27599	0.00132
12.36000	0.03669	0.28908	0.36674	0.00176
17.26500	0.12231	0.63000	0.78621	0.00355



In urma analizei rezultatelor experimentale se desprind urmatoarele:

- cu cat bratul L al fortei F este mai mare, cu atit caracteristica $F=f(x)$ a MCCE este mai "moale". Caracteristicile se prezinta liniare pina la deplasari de 0.3 [mm] ale bielei. Peste aceste valori caracteristicile devin neliniare si apar tendinte de pierdere a stabilitatii.

$L=186 \text{ mm}$

Tabelul 6.85

F (N)	X1 (mm)	X2 (mm)	X (mm)	FI (rad)
2.06000	0.00000	0.02409	0.02628	0.00017
4.12000	0.00815	0.05781	0.06232	0.00035
6.18000	0.01631	0.09636	0.10364	0.00056
8.24000	0.02038	0.12045	0.12955	0.00070
10.30000	0.02854	0.16863	0.18137	0.00098
12.36000	0.03669	0.20717	0.22267	0.00119
17.26500	0.07746	0.37098	0.39766	0.00205
18.19700	0.09377	0.41435	0.44349	0.00224
19.12900	0.11212	0.48180	0.51541	0.00259
20.06000	0.13862	0.56125	0.59967	0.00296
20.99300	0.17939	0.69875	0.74596	0.00363

$L=155 \text{ mm}$

Tabelul 6.86

F (N)	X1 (mm)	X2 (mm)	X (mm)	FI (rad)
2.06000	0.00815	0.02650	0.02419	0.00013
4.12000	0.01834	0.05300	0.04864	0.00024
6.18000	0.02500	0.08191	0.07475	0.00040
8.24000	0.03466	0.11322	0.10333	0.00055
10.30000	0.04892	0.14213	0.13040	0.00065
12.36000	0.05708	0.17345	0.15880	0.00081
17.26500	0.09785	0.28908	0.26501	0.00134
18.19700	0.10192	0.31558	0.28869	0.00149
19.12900	0.11415	0.34689	0.31759	0.00163
20.06000	0.12842	0.38785	0.35519	0.00181
20.99300	0.14473	0.43362	0.39726	0.00202

$L=124 \text{ mm}$

Tabelul 6.87

F (N)	X1 (mm)	X2 (mm)	X (mm)	FI (rad)
2.06000	0.01630	0.02891	0.02459	0.00009
4.12000	0.02854	0.04818	0.04145	0.00014
6.18000	0.04077	0.06745	0.05831	0.00019
8.24000	0.05300	0.08672	0.07517	0.00024
10.30000	0.06523	0.11563	0.09836	0.00035
12.36000	0.08154	0.14454	0.12295	0.00044
17.26500	0.11823	0.21681	0.18303	0.00069
22.17000	0.17938	0.33726	0.28316	0.00110
27.07500	0.30577	0.65500	0.53533	0.00244

- forta G contribuie la marirea deplasarilor bielei dar si la accentuarea fenomenului de pierdere a stabilitatii

- la trecerea punctului de aplicatie al fortelei F din pozitia L=93 [mm] in pozitia L=62 [mm] tija rigidizata cu biela MCCE isi

L=93 mm

Tabelul 6.88

F (N)	X1 (mm)	X2 (mm)	X (mm)	FI (rad)
2.06000	0.01223	0.01445	0.01321	0.00002
4.12000	0.02446	0.02891	0.02642	0.00003
6.18000	0.04077	0.04818	0.04403	0.00005
8.24000	0.06115	0.06745	0.06393	0.00004
10.30000	0.07746	0.08672	0.08154	0.00006
12.36000	0.09377	0.10599	0.09915	0.00009
17.26500	0.13862	0.15899	0.14759	0.00014
22.17000	0.19569	0.23126	0.21136	0.00025

L=62 mm

Tabelul 6.89

F (N)	X1 (mm)	X2 (mm)	X (mm)	FI (rad)
2.06000	0.01631	0.01445	0.01589	0.00001
4.12000	0.03262	0.02891	0.03179	0.00003
6.18000	0.05096	0.03854	0.04818	0.00009
8.24000	0.07338	0.04818	0.06774	0.00018
10.30000	0.09377	0.06263	0.08680	0.00022
12.36000	0.11415	0.07709	0.10586	0.00026
17.26500	0.16715	0.11563	0.15562	0.00036
22.17000	0.23646	0.16381	0.22020	0.00051

L=217 mm ; G₁=9.2 N

Tabelul 6.90

F (N)	X1 (mm)	X2 (mm)	X (mm)	FI (rad)
2.06000	0.00815	0.03854	0.04789	0.00021
4.12000	0.01631	0.08672	0.10838	0.00049
6.18000	0.02038	0.13008	0.16383	0.00077
8.24000	0.02446	0.18308	0.23189	0.00111
10.30000	0.04077	0.24090	0.30248	0.00140
12.36000	0.05300	0.32280	0.40582	0.00189
17.26500	0.17531	0.78000	0.96606	0.00423

L=217 mm ; G₂=15.8 N

Tabelul 6.91

F (N)	X1 (mm)	X2 (mm)	X (mm)	FI (rad)
2.06000	0.01223	0.04336	0.05294	0.00022
4.12000	0.01631	0.09154	0.11469	0.00053
6.18000	0.02038	0.14454	0.18274	0.00087
8.24000	0.03261	0.19272	0.24198	0.00112
10.30000	0.04485	0.26981	0.33903	0.00157
12.36000	0.06523	0.37098	0.46506	0.00214
17.26500	0.30985	1.00500	1.21889	0.00486

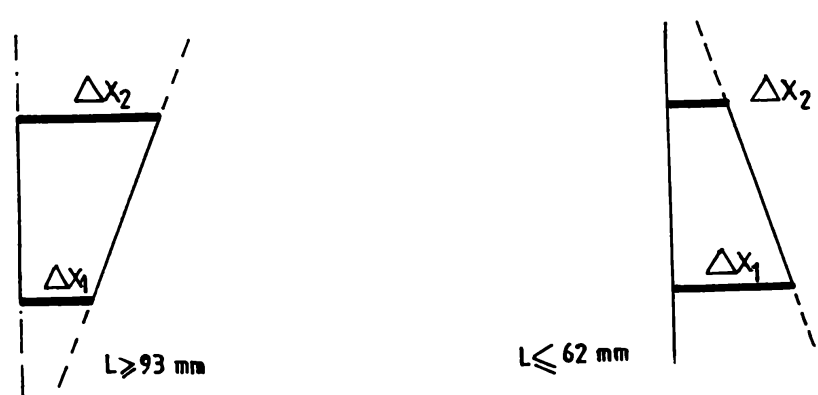


Fig.6.60

poz. 1

Tabelul 6.92

M (Nmm)	X1 (mm)	X2 (mm)	R (mm)	FI (rad)

191.58000	0.00815	0.01927	100.49640	0.00019
383.16000	0.01630	0.03854	100.49640	0.00038
574.74000	0.02446	0.05781	100.48420	0.00058
1030.90500	0.04077	0.11563	105.72310	0.00109
1943.23500	0.08000	0.23120	106.23920	0.00218

poz. 2

Tabelul 6.93

M (Nmm)	X1 (mm)	X2 (mm)	R (mm)	FI (rad)

319.30000	0.01631	0.03854	100.47800	0.00038
638.60000	0.02446	0.07708	108.55270	0.00071
957.90000	0.04077	0.11563	105.72310	0.00109
1718.17000	0.06931	0.19272	105.17490	0.00183
1862.43500	0.07746	0.21199	104.73180	0.00202
2007.25000	0.08154	0.22644	105.13990	0.00215

poz. 3

Tabelul 6.94

M (Nmm)	X1 (mm)	X2 (mm)	R (mm)	FI (rad)

383.16000	0.01631	0.02891	91.42259	0.00032
766.32000	0.03261	0.06745	96.39568	0.00070
1149.48000	0.04892	0.08672	91.42558	0.00095
2061.81000	0.09785	0.17826	92.32267	0.00193
2235.16000	0.10192	0.20235	95.10006	0.00213
2408.70000	0.11000	0.22644	96.24592	0.00235

Tabelul 6.95

F [N]	X _C [mm]	Y _C [mm]
2.06	0.01445	31
4.12	0.02891	31
6.18	0.04457	15.9299
8.24	0.06359	12.0358
10.3	0.08119	12.5151
12.36	0.09882	12.8202
17.265	0.1467	12.3025
22.17	0.20909	11.6787

schimba sensul de rotatie. Raportul calitativ al deplasarilor inregistrate este prezentat in fig.6.60. In mod asemănător cu cele

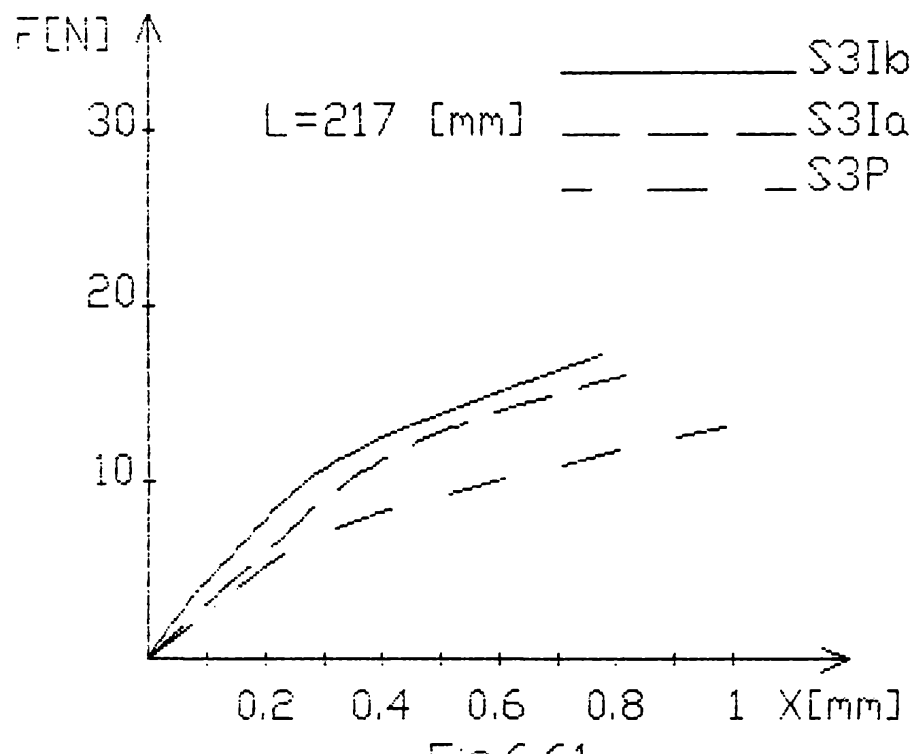


Fig.6.61

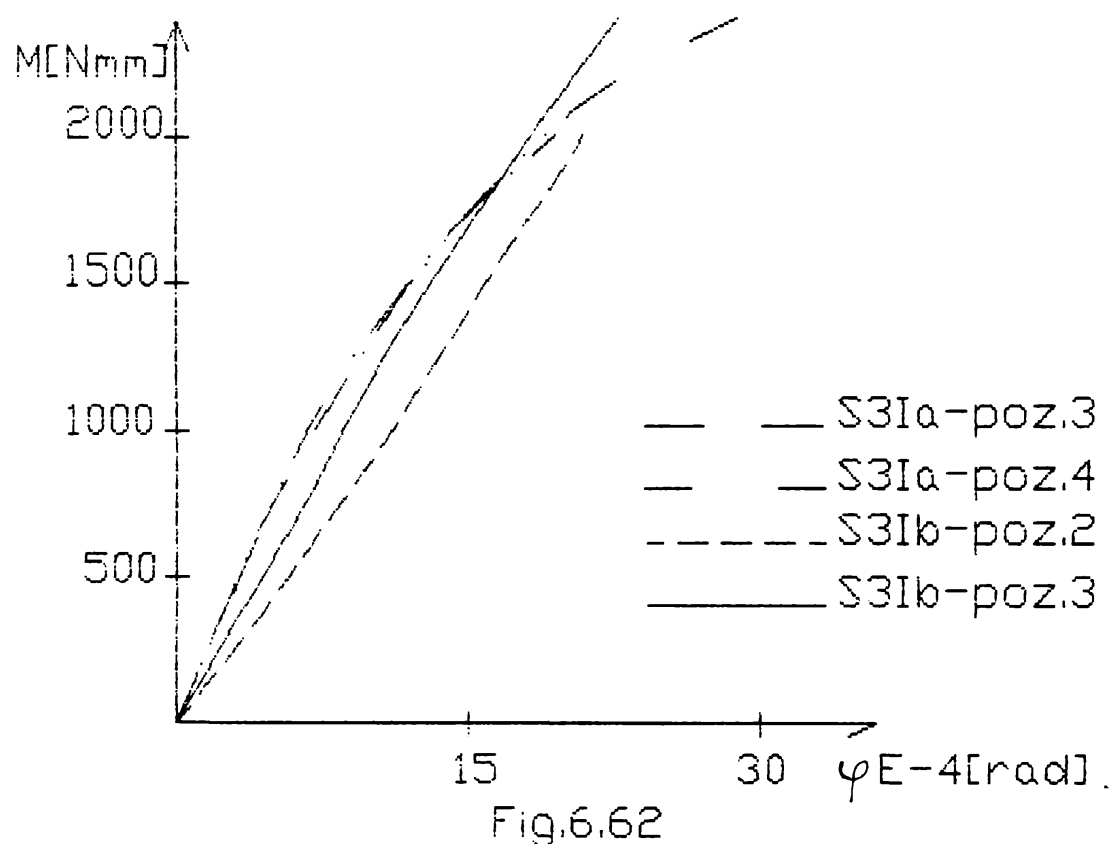


Fig.6.62

enuntate la pct. 6.3.3 se pot determina, cu relatiile 6.16, coordonatele punctului C (fata de pozitia de referinta $L=62$ [mm]). Coordonatele punctului sunt prezentate in tabelul 6.95. Din compararea pozitiei punctului C cu pozitia axei de rotatie din cazul incarcarii MCCE cu un moment se constata ca aparțin unui domeniu comun de aproximativ 19 [mm].

- raspunsul MCCE la solicitarea cu un moment este liniar existind o diferență intre caracteristicile din poz. 1,2 respectiv poz. 3. Acest lucru este explicabil prin existenta histerezei mecanice si prin modul de realizare a momentului: se aplica forta F_2 (situată deasupra punctului C) peste o structura deplasată initial de forta F_1 (situată sub punctul C).
- nu se constata - la momentele aplicate - aparitia tendintei de pierdere a stabilitatii.

6.4.6. Comparatie intre caracteristicile MCCE spatiale cu 3 elemente elastice

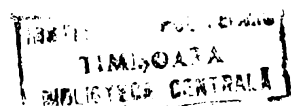
In urma incercarilor efectuate asupra MCCE spatiale cu 3 elemente elastice se impune o privire comparativa intre caracteristicile acestora.

Pe baza datelor obtinute in urma incarcarii MCCE cu o forta F se confirma aspectele teoretice conform caroră marirea unghiului de inclinare al elementelor elastice conduce la creșterea rigiditatii mecanismului cu couple cinematice elastice. Demonstrativ se prezinta in fig. 6.61 caracteristica $F=f(x)$ pentru cele 3 modele de MCCE incercate (cazul $L=217$ [mm]). Se constata de asemenea ca fenomenul de pierdere a stabilitatii este mai accentuat la MCCE-S3P.

In fig. 6.62 se prezinta comparativ caracteristicile $M=g(\gamma)$ pentru MCCE-S3I in aceleasi conditii de incarcare. Se constata ca marirea unghiului de inclinare al elementelor elastice reduce pericolul de aparitie a fenomenului de instabilitate mecanica.

6.5. INCERCARI EXPERIMENTALE PRIVIND INSERTIA STIFT RIGID-ALEZAJ RIGID-STAND EXPERIMENTAL.

In scopul evidențierii diferitelor influente asupra opera-



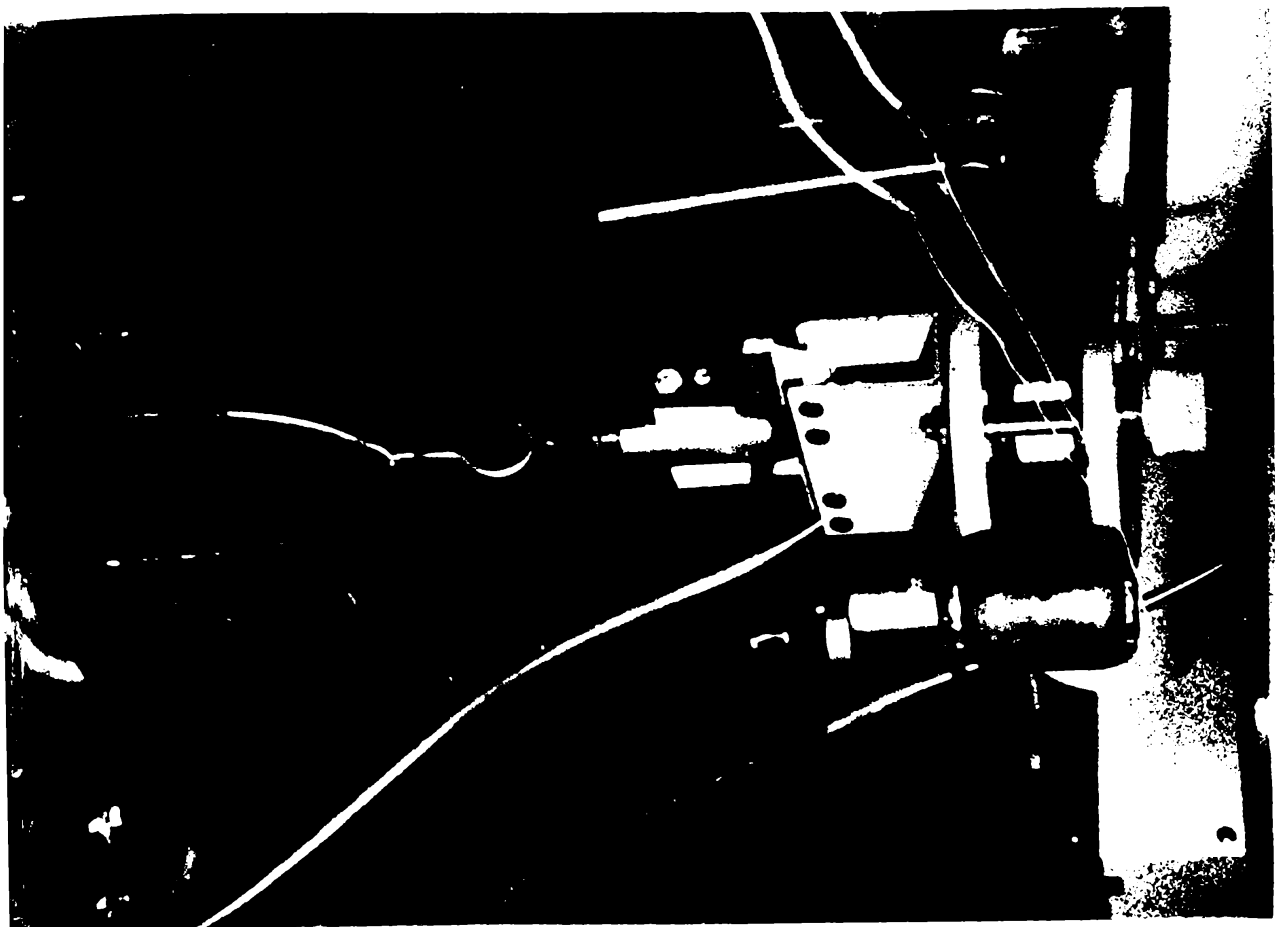


Fig. 6.63

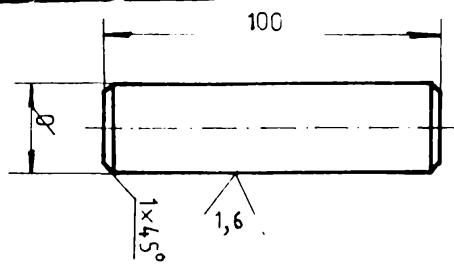


Fig. 6.64

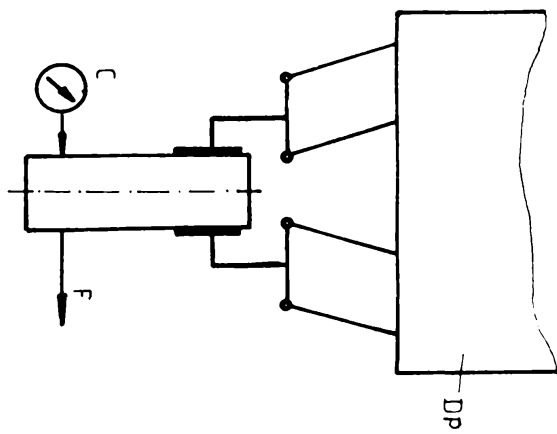
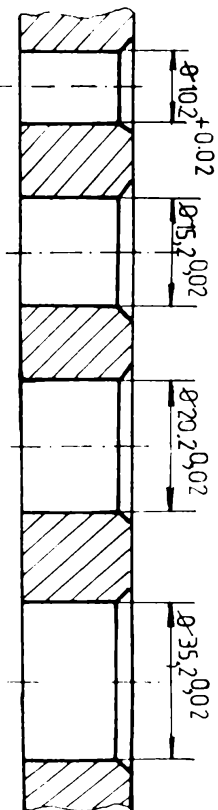


Fig. 6.65

\varnothing	$10_{-0,02}$	$15_{-0,02}$	$20_{-0,02}$	$35_{-0,02}$



tiei de montaj stift-alezaj incercarile experimentale ale unui mecanism cu couple cinematice elastice intr-o astfel de operatie s-au realizat in conditiile apropiate de cele reale. In acest scop s-a utilizat un efectoare compus dintr-un dispozitiv de prehensiune (DP) (actionare pneumatica, miscare plan paralela a bacurilor) si un dispozitiv de complianta (MCCE cu elemente elastice din cauciuc) avind atasat un vibrator cu actionare electrica /D8/.

Prima etapa in cadrul incercarilor a constat in determinarea fortele de smulgere a unei piese cilindrice dintre bacurile dispozitivului de prehensiune. In timpul operatiei de asamblare stift-alezaj este interzisa alunecarea stiftului intre bacurile DP. Forta de smulgere dintre bacuri este un bun indicator atit pentru sarcina nominala de lucru a dispozitivului de prehensiune cit si pentru fortele de contact ce apar intre stift si alezaj. Stiftul cilindric s-a realizat in gama de diametre: Ø 10, Ø 15, Ø 20 si Ø 35 [mm]. Bacurile DP au fost realizate in doua variante de material: DLC 45 si duramit. Incarcarea piesei cilindrice cu forta (pina la smulgere) a fost efectuata gravimetric (fig.6.63) la o presiune constanta in circuitul pneumatic (5.1 bar). Valorile determinate pentru fortele de smulgere s-au incadrat in domeniul (7.2-7.8) [daN] in cazul bacurilor din otel, respectiv (3-4) [daN] in cazul bacurilor din duramit.

A doua etapa a incercarilor experimentale a constat in determinarea abaterilor pozitiei stiftului prehensat sub actiunea unei forte radiale (fig.6.64). Forta F de valoare constanta 16 [daN] s-a aplicat dupa 8 directii radiale simetrice (la intervale de 45°) masurindu-se in acelasi timp cu ajutorul compartimentului deplasarea stiftului pe directia respectiva. Deplasările respective sunt rezultatul "elasticitatii" contactului bac-stift, a jocului din couplele cinematice ale mecanismului DP, a elasticitatii "degetelor" DP. In urma incercarilor s-a constatat ca cedariile maxime (1.5-1.65) [mm] au loc intr-un plan ce coincide cu planul bacurilor in timp ce intr-un plan perpendicular pe planul bacurilor cedariile au fost inferioare lui 0.8 mm.

A treia etapa a incercarilor a constat in incercarea propriuzisa de insertie stift-alezaj. In fig.6.65 se prezinta parametri geometrici ai pieselor asamblate. Pieselete au fost realizate din OL 50.

Efectoarele s-a fixat pe capul mobil al unei masini de mortezat B 5020 simulindu-se miscarea pe verticala a RI

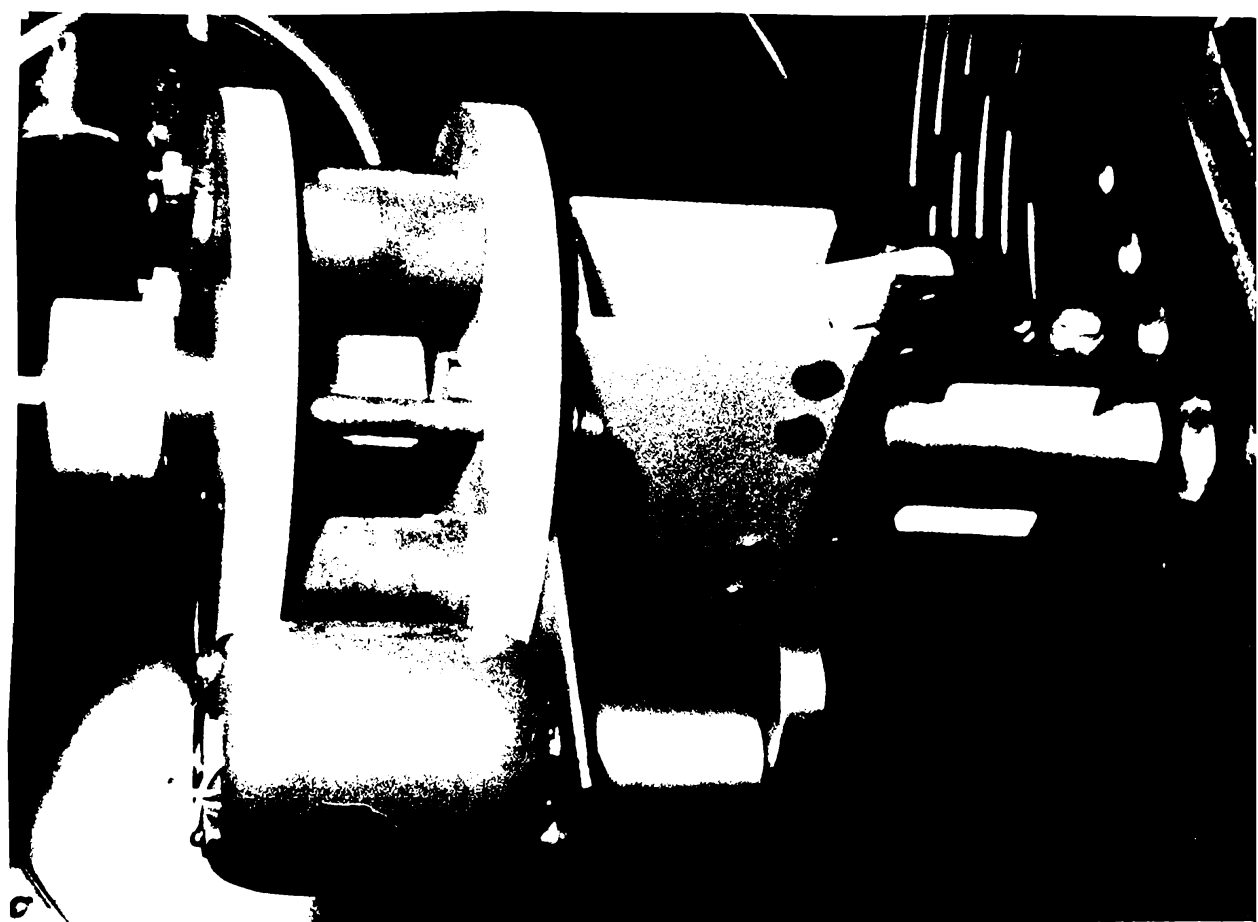


Fig.6.66

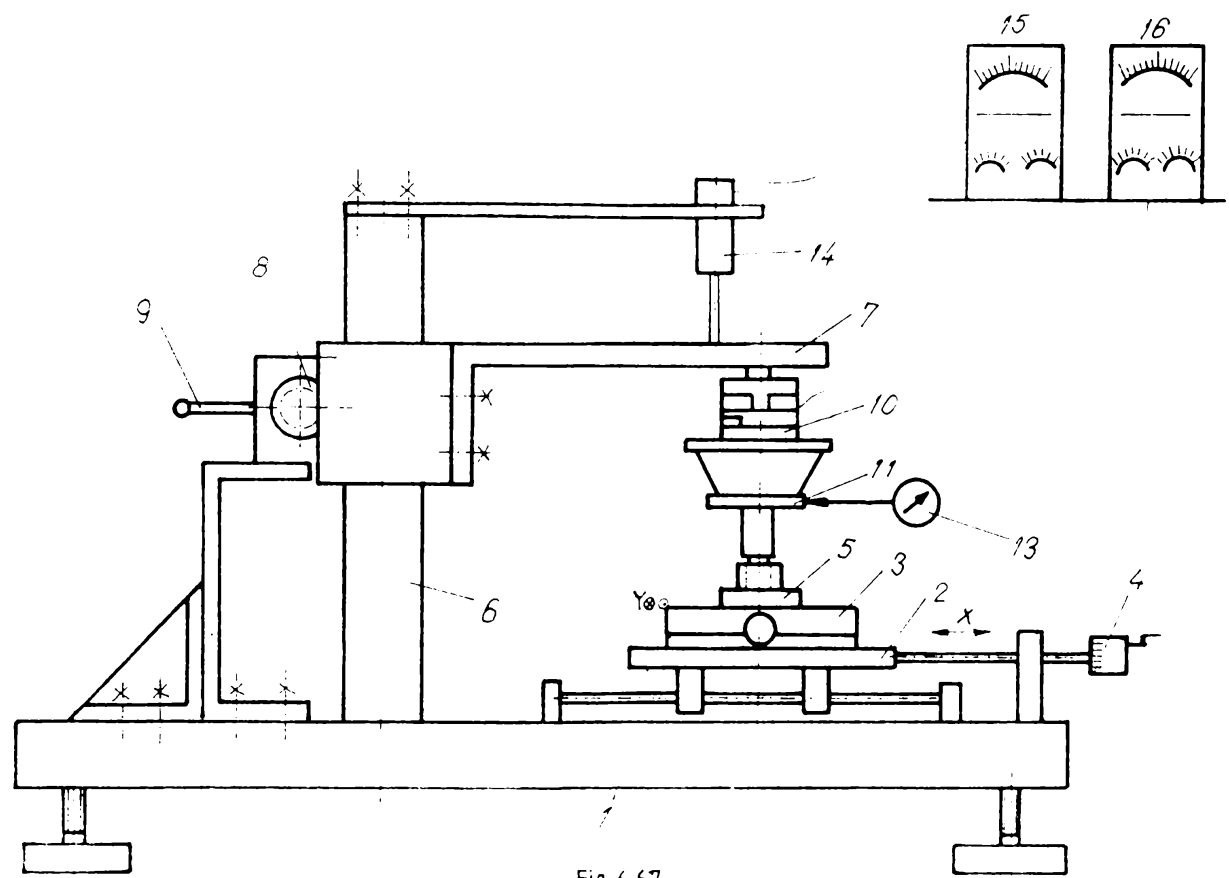


Fig.6.67

(fig.6.66). Deplasarea pe verticala a capului mobil s-a efectuat manual. Eroarea de pozitionare a RI s-a simutat prin deplasarea alezajului cu ajutorul mesei in coordonate a masinii. Datorita cedarilor relativ mari in planul bacurilor DP, similarile erorilor de pozitionare s-au realizat numai in plan perpendicular pe planul bacurilor.

Erorile de pozitionare maxime ce au putut fi corectate, fara aparitia alunecarii stiftului intre bacurile DP, sunt prezentate in tabelul 6.96.

Tabelul 6.96

I	Stift	\varnothing 10	\varnothing 15	\varnothing 20	\varnothing 35	I
I	[Fara vibrator]	2.4	2.1	1.9	1.3	I
I [mm] I	I Cu vibrator I	3.5	3.3	3	2.7	I

In urma incercarilor se pot concluziona urmatoarele:

- dispozitivele de prehensiune pentru montaj trebuie sa prezinte rigiditati deosebite in directii perpendiculare pe axa stiftului.
- utilizarea unui vibrator electromecanic in componenta dispozitivului de complianta mareaste domeniul erorilor de pozitionare ce pot fi compensate
- necesitatea realizarii unui stand experimental specific unor astfel de operatii

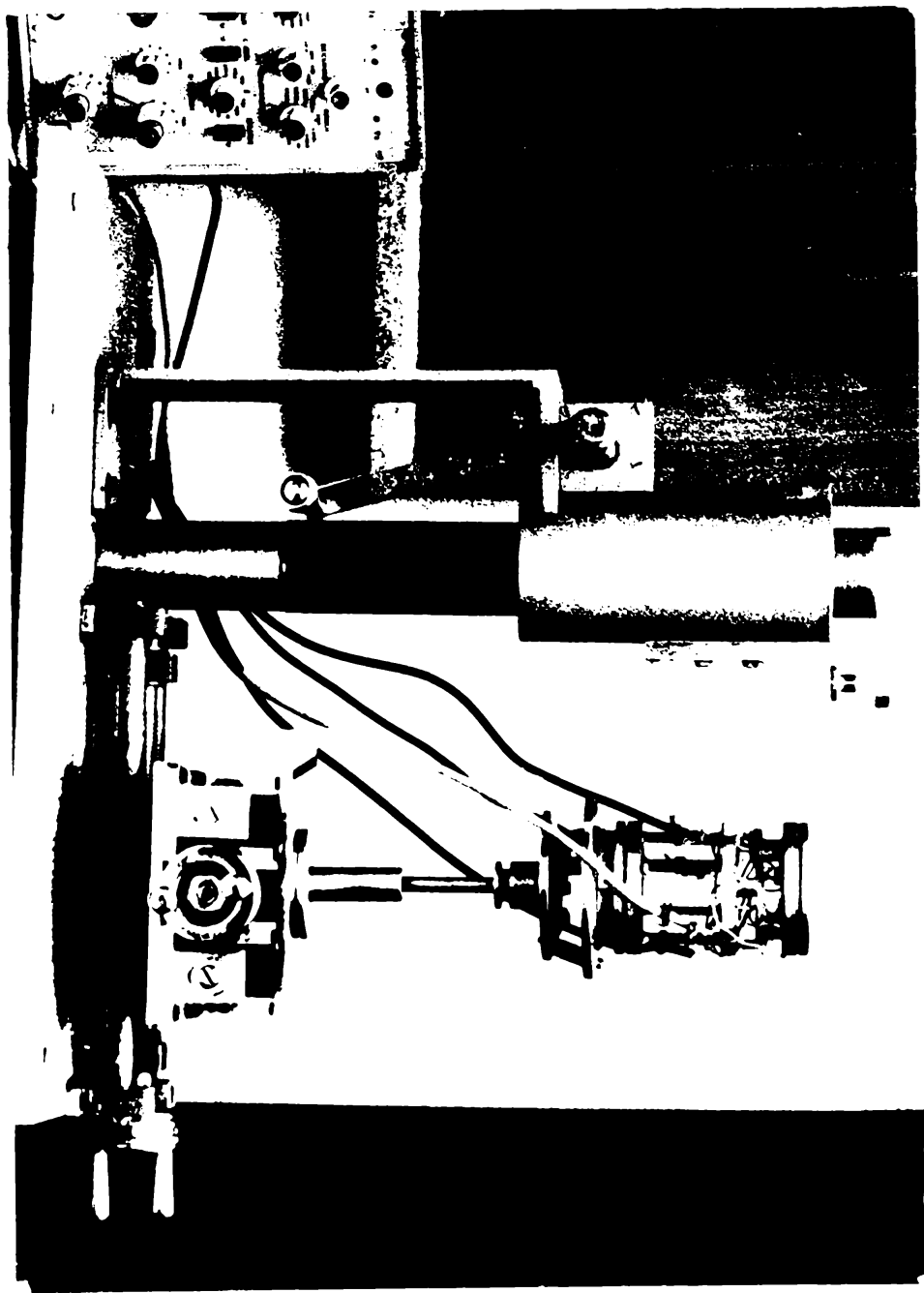
Avind in vedere ultima observatie s-a trecut la proiectarea si realizarea unui stand experimental specializat care permite simularea insertiei stift-alezaj si determinarea mai multor parametri caracteristici operatiei.

Schema standului experimental este prezentata in fig.6.67.

Pe batial "1" se fixeaza o masa in coordonate ("2"-miscarea Y; "3"-miscarea X) actionata manual. Pe aceasta masa in coordonate se fixeaza piesa "5" prevazuta cu un alezaj cilindric. Prin intermediul acestei mese se simuleaza erorile de pozitionare ale RI. Deplasările corespunzătoare acestor erori se pot urmari fie la un mecanismul mesei sau prin comparator atasat acesteia.

Pe o coloana "6" culiseaza suportul "7" actionat prin intermediul transmisiei pinion-cremaliera "8" de la maneta "9". Pe suportul "7" este fixat senzorul de forta-moment "10" (pentru componente) iar in partea inferioara inferioara a acestuia mecanismul cu couple cinematice "11". Pe unul din elementele rigide

Fig.6.68



ale MCCE se fixeaza stiftul "12". Deplasarea pe verticala a suportului "7" este controlata cu traductorul inductiv de deplasare "14" legat la puncta tensometrica "15". Prin intermediul senzorului de forta-moment "10" se pot inregistra la puncta tensometrica "16" componente ale torsorului fortelelor de contact stift-alezaj. Deplasările în planul xOy ale MCCE se controlează pe două direcții perpendiculare fie cu ajutorul unor comparatoare fie cu ajutorul trauctoarelor inductive fără contact "13".

Un aspect al standului experimental avind montat un MCCE cu elemente elastice din cauciuc este prezentat în fig.6.68.

6.6. DETERMINAREA UNOR ELEMENTE SPECIFICE MECANISMULUI CU CUPLE CINEMATICE ELASTICE PE BAZA REZULTATELOR EXPERIMENTALE.

Datele experimentale obținute în urma încercărilor se pot utiliza pentru determinarea rigiditatilor echivalente ale MCCE în vederea comparării cu cele calculate și a efectuării corecțiilor necesare.

Considerăm un MCCE al cărei biela este încarcată cu forța F . Modelul liniar al mecanismului cu couple cinematice elastice este exprimat prin ecuația matriceală:

$$\begin{vmatrix} F \\ F*L \end{vmatrix} = \begin{vmatrix} K_{xx} & K_{x\alpha} \\ K_{\alpha x} & K_{\alpha\alpha} \end{vmatrix} \begin{vmatrix} x \\ \alpha \end{vmatrix} \quad (6.28)$$

unde K_{ij} sunt rigiditatile mecanismului cu couple cinematice elastice prezentate pe direcția "j" dacă sarcina este dirijată după direcția "i".

Valorile rigiditatilor ce intervin în relația (6.28) se pot determina, prin prelucrare statistică, pe baza valorilor experimentale ale deplasărilor "x" calculate în dreptul forței F . Din relația (6.28) se obține după prelucrare:

$$\begin{vmatrix} K_{xx} & K_{x\alpha} \\ K_{\alpha x} & K_{\alpha\alpha} \end{vmatrix} = \langle F_i \rangle * \langle x_i \rangle * [\langle x_i \rangle * \langle x_i \rangle^T]^{-1} \quad (6.29)$$

unde :

$$\langle F_i \rangle = \begin{vmatrix} F_1 & F_i \\ F_1*L & F_i*L \end{vmatrix}, \quad \langle x_i \rangle = \begin{vmatrix} x_1 & x_i \\ \alpha_1 & \alpha_i \end{vmatrix} \quad (6.30)$$

iar $x_1, x_i, \alpha_1, \alpha_i$ sunt deplasările liniare și unghiulare experimentale rezultate în măsurările "1" și "i".

Aplicind cele expuse s-au calculat pentru mecanismul cu couple cinematice elastice plan rigiditatele K_{xx} obținindu-se valori în intervalul {1.297-1.538} [N/mm] fata de valoarea teoretica de 1.591 [N/mm] calculata cu relatiile din cap.5. Situație asemănătoare se întâlnește și pentru celelalte mecanisme analizate.

O prelucrare statistică mai aproape de realitate se poate obține prin utilizarea metodei de regresie multineliniara.

6.7. CONCLuzii

Incercarile efectuate asupra unor mecanisme cu couple cinematice elastice au evidențiat o serie de aspecte care au confirmat ipotezele enunțate sau unele calcule: existența centrului elastic, comportarea identică a unui MCCE indiferent de orientarea forței fata de poziția elementelor elastice, influențe reduse a forțelor axiale asupra deplasărilor MCCE etc.

In același timp incercările experimentale au adus unele clarificări în ceea ce privește construcția și calculul mecanismelor cu couple cinematice elastice, cu implicații asupra modelării procesului de asamblare. Astfel din incercările efectuate a rezultat faptul că centrul elastic nu are o poziție fixă în spațiu, comportarea cea mai apropiată de valorile teoretice întîndându-se la încarcarea cu un moment M. Aceste aspecte recomandă uarea în considerare a modificării poziției centrului elastic în modelarea matematică.

7. CONSIDERATII SI CONCLUZII FINALE.
CONTRIBUTII ORIGINALE

Lucrarea de fata, constituita ca un tot unitar, este rezultatul unei activitati mai indelungate a autorului si aduce o serie de contributii teoretice si practice in domeniul mecanismelor cu cupluri cinematice elastice din componenta dispozitivelor de comandamenta ale robotilor industriali de montaj.

Pe baza acestei activitati se pot enunta o serie de concluzii directionate astfel:

1.-se considera ca obiectul propus al prezentei lucrari, acela de a contribui la dezvoltarea unor aspecte teoretice si experimentale privind mecanismele cu cupluri cinematice elastice, a fost indeplinit

2.-documentatia privind stadiul actual al constructiei robotilor industriali si a utilizarii acestora in montajul automat evidenta urmatoarele:

2.1-cresterea productivitatii muncii prin utilizarea robotilor industriali in montaj este un fapt cert.

2.2-variabilitatea mediului tehnologic este deosebita, principala sarcina de montaj fiind cea din categoria stift-alezaj cu directia de miscare de sus in jos.

2.3-mecanismele cu cupluri cinematice elastice elaborate in mod documentat au rol determinant in realizarea unor dispozitive de comandamenta, avind in vedere faptul ca modul de compensare a erorilor prin aceasta metoda este asemănator cu operatia manuala.

3.-elementele teoretice si experimentale (cap.4,5,6) permit enuntarea urmatoarelor aspecte:

3.1-modelele matematice ale montajului stift-alezaj (rigid sau elastic) prin cuplarea cu modelul matematic al mecanismului cu cupluri cinematice elastice pe baza de elemente finite intr-un program unic necesita o unitate de calcul puternica; modelul "centrului elastic" al mecanismului cu cupluri cinematice elastice vine extrem de util in modelarea matematica a procesului de

asamblare.

3.2-este posibila realizarea unor micromodule de pozitionare locala pe baza unor mecanisme plane cu couple cinematice elastice avind elementele elastice paralele; caracteristica $F=f(x)$ prezinta o buna liniaritate; deplasarea bielei rigide nu este influentata practic de punctul de aplicatie al fortelei F pe biela; forta exteroara dirijata dupa axa stiftului nu modifica caracterul liniar al caracteristicii.

3.3-mecanismele plane cu couple cinematice elastice avind elementele elastice inclinate prezinta deplasari ale bielei rigide dependente de pozitia punctului de aplicatie al fortelei exteroare pe biela; se confirma existenta "centrului elastic" in limite apropriate de valoarea teoretica calculata.

3.4-la mecanismele spatiale cu couple cinematice elastice se confirma de asemenea existenta "centrului elastic"; pozitia acestuia depinde de pozitia punctului de aplicatie al fortelei exteroare pe biela rigida si in acelasi timp variaza intr-un domeniu restrins functie de valoarea fortelei; se justifica incercarea in laborator a modelului in paralel cu modelarea matematica; raspunsul mecanismului cu couple cinematice elastice la solicitarea cu un moment M aplicat pe biela, se apropie cu o buna aproximatie de o variatie liniara.

3.5-mecanismele spatiale cu couple cinematice elastice prezinta fenomenul de pierdere a stabilitatii elastice la depasirea unor valori critice ale sarcinii exteroare; portiunea stabila a caracteristicii este liniara.

3.6-rigiditatea axiala a elementelor elastice,din expresiile de calcul a rigiditatilor echivalente,trebuie afectata cu un coefficient constructiv (0.4-0.6) pentru a tine cont de faptul ca elementele elastice sint solicitate la flambaj.

3.7-influenta fortelei exteroare (orientate dupa axa stiftului) se face simtita sub aspectele:

-la valori reduse devine sesizabila numai la cresterea deplasarilor bielei rigide

-la valori mari determina marirea deplasarilor incepind chiar din pozitia initiala

-accentueaza fenomenul de pierdere a stabilitatii.

3.8-fenomenul de pierdere a stabilitatii elastice se reduce cu marirea unghiului de inclinare a elementelor elastice.

3.9-se confirma considerentul teoretic conform caruia orienta-

rea forței exterioare fata de planul elementelor elastice nu influențează comportamentul mecanismului cu couple cinematice elastice.

Solucionarea problemelor din prezenta lucrare a fost pregătită de autor printr-o cercetare concretizată prin publicarea unor articole la diferite sesiuni de comunicări /D9/, /D15/, /D20/, /D26/, /D28/, /D29/ prin contract de cercetare /D8/ brevete de invenție /D4/, /D6/ și dosar pentru obținerea brevetului de invenție /D23/.

Principalele contribuții originale ale tezei de doctorat se pot grupa în două entități:

Contribuții teoretice

A1.-sintezele monografice, elaborate pe baza unor vaste referințe bibliografice privitoare la construcția robotilor industriali pentru montaj și calculul mecanismelor cu couple cinematice elastice, oferă informații sistematizate, concise legate de soluții constructive și modele de calcul.

A2.-elaborarea unei metode de analiza teoretica a erorilor de situație ale robotilor industriali în operațiile de montaj și definirea influențelor acestor erori asupra procesului de montaj.

A3.-elaborarea unui model structural de analiza a procesului de montaj stift-alezaj (un model plan) prin care se justifică nevoie existenței mecanismului cu couple cinematice elastice pentru compensarea erorilor de situație; definirea unor elemente de sinteză structurală pentru aceste mecanisme destinate dispozițiilor de compliantă; întocmirea unor scheme cinematice plane bivalente pentru procesul de montaj stift rigid-alezaj elastic înindu-se cont de prezenta mecanismului cu couple cinematice elastice, redus la "centrul elastic".

A4.-elaborarea modelului matematic - geometric și dinamic - al montajului stift rigid - alezaj elastic pentru două soluții constructive ale stiftului.

A5.-elaborarea programului de calcul "ALEZE", pentru simularea procesului de montaj stift - alezaj elastic, bazat pe modelul matematic prezentat anterior.

A6.-elaborarea modelului matematic (plan) -geometric și dinamic- asamblare stift rigid-alezaj rigid tinindu-se cont de prezenta mecanismului cu couple cinematice elastice redus la "centrul

"elastic".

A7.-elaborarea programului de calcul "INSERT" pentru simularea procesului de montaj stift-alezaj rigid bazat pe modelul specificat anterior.

A8.-evidențierea ,concretizata matematic,a faptului ca modelul geometric al montajului stift-alezaj rigid nu si-a restrins generalitatea prin abordarea notiunii de "centrul elastic".

A9.-evidențierea unor modificari ce se impun modelului dinamic al montajului stift-alezaj rigid daca se renunta la notiunea de "centru elastic" pentru mecanismul cu couple cinematice elastice.

A10.-definirea spatiului admisibil pentru erorile de situare ale robotului industrial in operatia de montaj stift-alezaj rigid si estimarea acestora.

A11.-analiza structurala a mecanismelor cu couple cinematice elastice cu propuneri de simbolizare pentru elementele aflate in componenta acestora.

A12.-elaborarea modelului matematic pentru calculul "centrului elastic" al unui mecanism cu couple cinematice elastice.

A13.-determinarea rigiditatilor echivalente ale mecanismului cu couple cinematice elastice metalice pe baza modelului matematic specificat anterior.

,A14.-formularea problemei de optimizare a mecanismelor cu couple cinematice elastice pe baza functiei obiectiv definita de lucrul mecanic al fortelelor de frecare dintre stift si alezaj.

A15.-elaborarea programului de optimizare "OPTIM2" pe baza modelului matematic anterior si a programului de calcul "INSERT".

, A16.-elaborarea metodologiei de calcul al mecanismului cu couple cinematice elastice (RCC) pe baza notiunii de "centru elastic".

, A17.-elaborarea programului de calcul automatizat "MECELAS" bazat pe metodologia de calcul prezentata anterior.

A18.-elaborarea programului de calcul "OPTIM3" pentru optimizarea constructiva a unui mecanism cu couple cinematice elastice (RCC).

A19.-elaborarea unei metodologii de calcul prin metoda elementului finit a mecanismelor cu couple cinematice elastice si a programului "ELFIN" pentru un mecanism plan cu couple cinematice elastice.

A20.-elementele de analiza a fiabilitatii mecanismelor cu couple cinematice elastice din dotarea dispozitivelor de complianta.

A21.-enuntarea criteriilor de evaluare complexa a mai multor

variante de mecanisme cu couple cinematice elastice pentru dispozitivele de complianta si elaborarea programului de calcul "OPTIM1" pentru alegerea automata a variantei optime.

A22.-elaborarea programului de calcul "REGRESIE" si a programului de calcul "PDEX" pentru prelucrarea datelor experimentale rezultate din incercari.

A23.-elaborarea unei variante de mecanism cu couple cinematice elastice metalice ce face obiectului dosarului de inventie OSIM nr.144655 /D23/.

A24.-elaborarea unei variante de dispozitiv de blocare a mecanismelor cu couple cinematice elastice pe parcursul etapei de "manipulare" (brevet de inventie nr.99591 /D6/).

B. Contributii in domeniul cercetarii experimentale.

B1.-conceperea si executia unui stand experimental pentru determinarea caracteristicilor de lucru ale unui mecanism cu couple cinematice elastice.

B2.-conceperea si realizarea unui stand experimental pentru determinarea caracteristicilor de lucru ale unui mecanism cu couple cinematice elastice in operatii de asamblare stift-alezaj.

B3.-conceperea si realizarea unor mecanisme cu couple cinematice elastice-metalice si din cauciuc in vederea incercarilor experimentale.

B4.-incercari experimentale asupra unor mecanisme cu couple cinematice elastice plane si spatiale in vederea determinarii caracteristicilor de lucru; evidențierea existentei "centrului elastic" si a modului in care acesta isi modifica pozitia; evidențierea influentei pozitiei forței exterioare sau a unui moment supra comportamentului mecanismului; comparatii critice a caracteristicilor de lucru pentru diferite variante de incercare.

B5.-incercari experimentale privind montajul stift rigid-alezaj rigid cu utilizarea unui dispozitiv de prehensiune avind miscare plan paralela a bacurilor si un mecanism cu couple cinematice elastice din cauciuc.

Complexitatea problemelor analizate - montajul stift alezaj si raspunsul mecanismului cu couple cinematice elastice la diverse solicitari - ofera cimp deschis pentru cercetari ulterioare. Se pot remarca in acest sens directiile:

influenta ajustajului stift-alezaj asupra comportamentului

mecanismului cu couple cinematice elastice

- stabilitatea elastică a mecanismelor cu couple cinematice elastice pe parcursul procesului de asamblare
- imbunatatirea performantelor dispozitivelor de compliantă prin elaborarea unor variante de dispozitive cu corecție mixta.

BIBLIOGRAFIE

- A1. Azuma K., s.a.-Usoversenstvovanie tehnologiceski gibkoi sistemi podaci detalei,in "Gibkie sborocinie sistemi" p.32: Moskva 1988
- A2. ***-Assembly and greater precision in view,"Industrial Robot 1983,n.2,p.126
- A3. ***-Assembly Automation 4th Inter.Conference,1983,Tokyo
- A4. ***-Assembly Automation 7th Inter.Conference,1986,Zurich
- A5. ***-Assembly Automation 8th Inter.Conference,1987,Copenhagen
- A6. Abele E.-Industrieroboter in der Montage Erfahrungen-neue Einsatzgebiete Entwicklungs tendenzen, material IF Stuttgart, Germania
- A7. Artobolevski I.-Les mecanismes dans la technique moderne, vol.1-5, Editions MIR,Moskva,1978
- A8. Asada H.-The dynamic RCC hand for high-speed assembly,"Proc. IEEE Int.Conf.Rob.and Autom.",Philadelphia,1988,vol. p.120
- A9. Andre P.,s.a.-Les robots (tome 4)-Constituants technologiques Hermes Pub.(France),Paris,1983
- A10. Andrasiu M.,s.a.-Metode de decizii multicriteriale,Ed.tehnica Bucuresti,1986
- A11. Avetikov B.G.,s.a.-Automatic assembly of transformers,"Assembly Automation",febr.1981,p.94
- B1. Beuhabib B.,s.a.-Computer-aided error analysis of robots,"IEE J.Rob.and Autom.",1987, nr.4.p.317
- B2. Beuthner A.-Wachstum scheibchenweise,"Roboter",markt 1992,p..
- B3. Bloch J.- Compliant robot and adapter assembly,Brevet inventie nr.4518307 (SUA)
- B4. Breitinger R.-Losungskataloge fur Sensoren,Teil 1,Federfuhrungen und Federgelenke,Krausskopf Verlag,Mainz,1980
- B5. Burtev A.A.,s.a.-Matematisches modelirovanie protessov sbori s pomosiu ociuvstvlennih robotov,"Teh.Kibernetika",1986 nr.1,p.148
- B6. Bogdan R.C.,s.a.-Sinteză mecanismelor plane articulate,Ed Academiei,Bucuresti,1977
- B7. Banut V.,s.a.-Stabilitatea structurilor elastice,Ed.Academiei Bucuresti,1975
- C1. Crisan I.s.a.-Sisteme flexibile de montaj cu roboti si manipulatori,latoare,Ed.tehnica ,Bucuresti,1988
- C2. Crisan I.-Conceptul de flexibilitate in tehnologia contemporanea,"Revolutiile industriale in istoria societatii" pag.198 ,Ed.Politica,Bucuresti,1981
- C3. Cojocaru G.,Kovacs Fr.-Robotii in actiune ,Ed.Facla,Timisoara 1985
- C4. Collins K. s.a.-The development of a European Benchmark for comparison of assembly robot programming systems,"Robot Techn. and Appl.",Proc.1th",Bruxelles,'84,p.187
- C5. Cartwright A.G.-Alignment devices,Brevet de inventie nr. 2168029,Anglia
- C6. Colson J.c.,s.a.-Quasi-static performance of robots,"Robotics and Comput.Integr.Manuf.",1985,nr.3-4,p.261
- C7. Crespo D.-Spanien auf dem Vormarsch,"Roboter",markt 1992,p.40
- C8. Chavey P.-Organe d'extremite pour robot d'assemblage l'insertion automatique des pieces dans des trous Brevet de inventie nr.2564363 (Franta)
- C9. Cartwright G.A.,s.a.-Alignment devices,Brevet de inventie nr.2168029 (Anglia)
- C10. Clot J. s.a.-Dispositif mobil de liaison permettant de fair

- subir a un element porte des deplacements suivant plusieurs degres de liberte,Brevet inv.Franta,nr.2537909
- C11.Chavey P. s.a.-Organe d'extremite pour robot d'assemblage d'estime a l'insertion automatique des pieces dans des trous,Brevet inv.Franta,nr.2564363
- C12.Cutkoski W.-Position sensing wrists for industrial manipulators,"12th ISIR",Paris,1982,p.427
- C13.Cerniahovskaja L.V.-Analiz protessa sovmesenia tilindriceskikh detalei s garantirovannim zazorom,"Av.sb.protessov",Riga ,1981,pag.21
- C14.Cerniahovskaja L.V.-Vlianie sil trenia na protess avtomaticheskoi sborki tilindriceskikh soedinenii,"Av.sb.protessov" Riga,1986,pag.17
- C15.Cerniahovskaja L.V.-Matematicheskaja modeli protessa sovmesenia tilindriceskikh detalei,"Av.sb.protessov",Riga,1981,p.
- C16.Crisan I.,s.a.-Sisteme flexibile de montaj cu roboti si manipulatoare,Ed.tehnica,Bucuresti,1988
- C17.Constantinescu I.,s.a.-Prelucrarea datelor experimentale si calculatoare numerice,Ed.tehnica,Bucuresti,1980
- C18.Cristuinea C.,Blaj L.,Dolga V.-Analiza teoretica si experimentală a unui mecanism cu couple cinematice elastice destinate dispozitivului de complianta (partea II)"Lucrarile celui de al VI-lea Simpozion MTM",vol.I,pe 54.1-54.6,Timisoara,1992
- D1.Davidoviciu A.,Magda R.-Robotii industriali,Ed.Tehnica,Bucuresti ,1983
- D2.Dolga V.-Utilizarea robotilor industriali in montaj,Referat doctorat nr.1,Timisoara,1989.
- D3.Dolga V.-Prehensiunea in biomecanica si robotehnica,"Mecanica 1984",vol.3,p.29,Timisoara
- D4.Dolga V.,s.a.-Dispozitiv de prehensiune,Brevet de inventie nr. 93549,Romania,1987
- D5.Dolga V.,s.a.-Flansa de legatura,Brevet de inventie nr.95164,Romania,1988
- D6.Dolga V.,s.a.-Dispozitiv de blocare a mecanismelor de complianta,Brevet de inventie nr.99591,Romania,1989
- D7.Dolga V.,s.a.-Dispozitiv pentru montarea inelelor elastic,Brevet de inventie nr.99862,Romania,1989
- D8.Dolga V.,s.a.-Studii cercetari si proiectari privind realizarea sistemului de roboti industriali.Mina mecanica sistem de complianta cu autocentrare pentru lucrari de asamblare mecanice,Contract de cercetare nr.163/1987 ICSIT-Titan Bucuresti
- D9.Dolga V.,s.a.-Consideratii privind corectia pasiva a erorilor de pozitionare in operatiile de montaj automat,"Simpozion National de roboti Industriali",1983,p.99,Bucuresti
- D10.Dragoun J.,s.a.-Adaptivna montazna hlavica najma pre priemysle roboty,Brevet inv.RSC nr.240320
- D11.De Fazio T.L.-Displacement-state monitoring for the remote center compliance(RCC)-Realisation and application "Material CSDL", (USA)
- D12.Demian Tr.,s.a.-Aspecte noi privind calculul ghidajelor elemente elastice de incovoiere,"Tribotehnica",Galata 1978,vol 2,p.361
- D13.Demian Tr.,s.a.-Lagare si ghidaje pentru aparate,Ed.Acad.mici,Bucuresti,1980
- D14.Dudita Fl.,s.a.-Curs de mecanisme,fascicola 1-Structuri Univ.Brasov,1984
- D15.Dolga V.-Centrul elastic al unui mecanism cu couple cinematice elastice,"Al 5-lea Simpozion National de RI", Bucuresti

- 1985,pag.165
- D16.Dolga V.-Modele teoretice utilizate la studiul mecanismelor cu couple cinematice elastice pentru dispozitivele complianta,Referat doctorat nr.2,Timisoara,1990
- D17.Dolga V.-Stadiul actual al cercetarilor privind constructii si functionarea mecanismelor cu couple cinematice elastice utilizate la dispozitivele de complianta,Referat doctorat nr.3,Timisoara,1991
- D18.Dudita F.I.,s.a.-Mecanism articulare spatiiale inchise hexagonale utilizabile ca modul in robotii industriali,"Robot '86",vol.1,p.39
- D19.Domrachev A.N.-Modelirovanie visokociastotnogo robotizirovannogo protesa sborki detalei,"Teh.i av.masinostroenie" 1986,nr.38,p.34
- D20.Dolga V.-Geometria montajului robotizat stift-alezaj,Al 5-lea Simpozion National de RI,p.173,Bucuresti,1985
- D21.Djalova N.V.-Odvijenii sopriagaemih detalei pri odnom sposobov avtomaticeskoi sborki,"Masinovedenie",1986 nr.1,p.44
- D22.Defazio T.L.,s.a.-The instrumented remote center compliant "Ind.Robot",1984,nr.4,p.238
- D23.Dolga V.,s.a.-Mecanism compliant pentru robotii de montaj Dosar OSIM,nr.144655
- D24.Duncheon Ch.S.-On their own,robots build Winchester drives,"Electronics",1983,nr.131
- D25.Drimmer D.,s.a.-Robotii industriali si manipulatoare,Ed.tehnica,Bucuresti,1985
- D26.Dolga V.-Consideratii privind proiectarea optimala a dispozitivelor de prehensiune,"Robot-MTM '88",vol.II,p.469-474 Cluj-Napoca 1988
- D27.Demidovici B.-Elements de calcul numerique,Editions Mir Moscou,1979
- D28.Dolga V.,s.a.-Analiza teoretica si experimentalta a unui mecanism cu couple cinematice elastice destinat dispozitivelor de complianta (partea II),"Al VI-lea Simpozion MTM",octombrie 1992,vol.I,pag.55.1-55.6,Timisoara
- D29.Dolga V.,s.a.-Stadiul actual al utilizarii robotilor industriali in montajul automat,"Al XI-lea Simpozion National de RI",vol.3,pag.8.1-8.6,Timisoara,1992
- D30.Dolga V.,s.a.-Consideratii privind alegerea dispozitivului prehensiune optim,"PRASIC '86",vol.I,pag.147-154,Brasov 1986
- D31.Dolga V.,s.a.-Modelul matematic al asamblarii stift rigi alezaj elastic,"Prasic '90",vol.II,pag.69-77,Brasov,1990
- D32.Dolga V.,s.a.-Asupra fiabilitatii dispozitivelor de prehensiune,"Robot-MTM '88",vol.I,pag.183-187,Cluj-Napoca,1988
- D33.Dolga V.,s.a.-Dispozitivul de prehensiune in operatiile montaj,"Al X-lea Simp.National de RI-1991",Bucuresti vol.I,pag.36,aprilie 1991,Bucuresti
- D34.Dolga V.,s.a.-Mediul tehnologic si variabilitatea acestuia in montajul robotizat,"Al X-lea Simp.National de RI-1991" vol.III,pag.564,aprilie 1991,Bucuresti
- D35.Dolga V.,Sida M.-Proiectarea si realizarea unui dispozitiv de prehensiune pentru robotii industriali de montaj,"Al I-lea Simpozion National de RI",Bucuresti,1985,vol.I,pag.136-148
- D36.Dolga V.,Kovacs Fr.-Sinteza mecanismelor cu couple cinematice elastice din structura dispozitivelor de prehensiune ale robotilor industriali,"Al V-lea Simpozion National de RI",Bucuresti,1985,vol.I,pag.136-148

- D37.Dolga V.-Sinteză dimensională a mecanismelor cu couple cinetice elastice pentru dispozitivele de compliant "PRASIC '90", Brasov, 1990, vol. I, pag. 228
- F1.Frank H.E.-Handhabungseinrichtungen,Krausskopf Verlag,Mai 1975
- F2.Foule J.N. s.a.- Initiation a la robotique.Système de commandes robots,"Le Nouvel Automatisme",avr.1981,p.52
- F3.Fricke A.,s.a.-Ungesteuerter Fugemechanismus mit internem Antrieb fur die Werkstückmontage,Brevet inv.RDG,nr.2294
- F4.Fakri A.,s.a.-Passive compliant wrist two rotation centers for assembly robot(DCR-LAI device)"Proc.5th Int.Conf.Assembly Automation",Paris,1984,p.235
- F5.Friederici C.-Anordnung zur Positionierfehlerkompensation der Geratemontage,Brevet inv.RDG,nr.222542 (1985)
- F6.Fischer J.,s.a.-Flexibler Greifer fur Montageaufgaben,"Fertigung und Betrieb",1988,nr.3,p.174
- F7.Frolov K.,s.a.-Mehanika promislennih robotov,vol.I,"Visseskola",Moskva,198
- F8.Fischer J.,s.a.-Automatische Montage von Teilen mit Übermaß "VDI-Z.",1991,nr.4,p.64
- F9.***** - Flexibility can be achieved through robot assembly "Assembly Automation",1983,nr.4,p.218
- G1.Gusev A.A.-Avtomatizatia sborki zubciatii peredaci,"Itogi nauki i tehniki",tom 6,Moskva,1990
- G2.Gaillat A.,s.a.-Dispositif d'articulation actif a compliant Brevet inv.Franta,nr.2549916
- G3.Gobel E.F.-Gummifedern, Springer-Verlag Berlin,1969
- G4.Gentzen G.,s.a.- Industrieroboter- Montagekopf fur automatisierte Baugruppenmontage,"Maschinenbautechnik",1982,nr. p.450
- G5.Gusev A.A.-Rascet rejimov dlja avtomaticeskoi sborki soedinenii detalei,"Vestnik masinostroj.",n.3,1978,pag.57
- G6.Gafitanu M.,s.a.-Elemente finite si de frontiera cu aplicatii la calculul organelor de masini,Ed.tehnica,Bucuresti 1987
- G7.Garbea D.-Analiza cu elemente finite,Ed.tehnica,Bucuresti,1988
- G8.Gerbes J.-Industrie roboter arbeits platz zur Montage v Relaisfassungen im VEB Werk fur signal-und Sicherungstechnik Berlin,"Fertig.und Betr.",1983,nr.10,p.603
- H1.Hesse S.-Roboter-Automat mit Zukunft ?, "Wiss.Beiträge der Zwickau",1988,nr.2,p2
- H2.Haaf D.-Ein Programmierbares montagesystem mit taktilen sensoren und visueller prozessuberwachung,material I Stuttgart-Germania
- H3.Holmqvist U.-Programmable automatic assembly station with an ASEA robot,material ASEA Robotics (Sweden).
- H4.Hartley J.-Robots at work,IFS (Publications),Kempston,1983
- H5.Heginbotham W.B.,s.a.-Versatile assembly by dedicated programmability,2th International Conference on Assembly Automation.p.253,Brighton,1981
- H6.Horst J.-Das Wesentliche Geräte und Einrichtungen für Montagetechnik,"Maschinenmarkt",1989,nr.21,p.34
- H7.Hautau C.-Robot Compliance apparatus,Brevet de inventie nr. 4801240,SUA
- H8.Hardenby T.-Zweithochste Pro-Kopf-quote,"Roboter",markt 1990,p.30
- H9.Hricisak L.,s.a.-Kompenzator polohy a orientacie z pruznenym materialu pre poddajne ulozenie uchopovacej hlavice pram,Brevet inv.RSC,nr.250025(1986)
- H10.Harris C.M.,s.a.-Socuri si vibratii vol.II>Editura Tehnică

- Bucuresti 1968
- H11. Hildebrand S.-Feinmechanische Bauelemente, VEB Verlag Technik Berlin, 1980
- H12. Herfter D., s.a.-Berechnungsnurdlagen fur die Auslegung von ungesteuerten Fugemechanismen mit Gummifederelement Machinenbautechnik, nr. 7, 1985, pag. 313
- H13. Herfter D.-Zur auslegung ungesteueter Fugemechanismen mit elastomeren Federelementen, Wiss. Z. d. Techn. Hochsch., Karl-Marx-Stadt 1985, H.5, pag. 753
- H14. Hennessey M.P.- Compliant Part Mating and Minimum Energy Chamfer Design, (-)
- H15. Hahnel K.-Raumkinematik von ungesteuerten Fugemechanismen "Fachung Getriebetechnik Karl-Marx-Stadt", 1981, p. 74
- H16. Hollis R.L., s.a.-A six degree of freedom magnetically levitated variable compliance fine-motion wrist:design modeling,control,"IEEE Trans.on Rob.and Autom",1991,nr.3,p.320
- H17. Havlik S.-Zapastie robota s pruznou poddajnost'ou,"Strojnic Casopis",1982,nr.2,p.179
- H18. Hollis R.L., s.a.-A six Degree of Freedom Magnetically Levitated Variable Compliance Fine-Motion Wrist:Design Modeling and Control,"IEEE Robotics and Autom.",1999 nr.3,p.320
- H19. Handra-Luca V., Stoica A.I.-Introducere in teoria mecanismelor, vol. 1, Ed. Dacia, Cluj-Napoca, 1982
- H20. Heginbotham W.B.-Gibkie sborocinie sistemi,"Masinostroenie Moskva, 1988
- I1. Illes G.-Pruzne poddajno navadzaci clen,Brevet inv.RSC 23483
- I2.*****-Insertion compliance devices,Brevet inv. SUA n.2150111
- I3. Iurevici E., s.a.- Ustroistvo promislennih robotov,Izv.Masinstroenie,Leningrad,1980
- I4. Illes G., s.a.-Pruzne poddajno navadzaci clen,Brevet inv.R nr.234872(1984)
- I5. Illes G., s.a.-Pruzne poddajno navadzaci clen,Brevet inv.R nr.234869(1984)
- I6. Ivanov A.A.-Proektirovanie sistem avtomaticeceskogo manipulirovania miniaturnimi izdeliami,Moskva,"Masinostroenie" 1981
- I7. Ispas V., s.a.-Roboti industriali,Ed.Dacia,Cluj-Napoca,1985
- J1. Jacobi P.-Fugemechanismen fur die automatisierte montage in Industrierobotern,Tech.Hoch.Karl-Marx-Stadt,1982
- J2. Jutard A., s.a.-Geometric model of the DCR-LAI compliant devi "Robotica",vol.7,1989,p.151
- J3. Jabotinskii Io.D., s.a.-Adaptivnie promislennie roboti i primenenie v mikroelektronike,"Radio i sviazi",Moskva 1985
- K1. Kovacs Fr., s.a.-Manipulatoare,roboti si aplicatiile lor industriale ,Ed.Facla,Timisoara 1982
- K2. Koller R.-Design of assembly systems for maximum flexibility Proceedings of the 4th International Conference Assembly Automation ,pag.104, Tokyo, 1983
- K3. Kozirev Iu.G.-Promislennie roboti,Masinostroenie,Moskva,1981
- K4. Kreis W., s.a.-Montage und Handhabungstechnik,Industrierobote "VDI-Z",1991,nr.4,p.56
- K5. Khalil W., s.a.-Identification of geometric parameters robots,"1st IFAC Symp.Robot Contr.",Barcelona,1988 p.191
- K6. Kovacs Fr.-Mecanismi cu cuple cinematice elastice,SYROM-8 vol.II-1,pag.195,Bucuresti 1985
- K7. Kovacs Fr.-Mecanismi patrulater articulat plane cu cupluri

- cinematice elastice si elemente specifice acestor SYROM-89, vol. I-2, pag. 439, Bucuresti 1989
- K8. Kovacs Fr.-Analiza cinematico-cinetostatica a mecanismelor patrulater articulat cu couple elastice, avind bie rigidă, SYROM-89, vol. I-2, pag. 451, Bucuresti 1989
- K9. Krouse J.K.-Compliant mechanisms-a new class of mechanic devices, Machine Design, January 1980, pag. 86
- K10. Kobrinskii A.E.-Mehanizmi s uprugimi sviazami, "Nauka", Moskva 1964
- K11. Kojevnikov S.N.- Teoria mehanizmov i masin, "Masinostroenie" Moskva, 1969
- K12. Korsakov V.S., s.a.-Sborka rezibovih soedinenii s primeneni avtomaticeskikh manipulatorov, "Meh. i avtom. proiz.", 1989, nr. 10, p. 2
- K13. Kovacs Fr.-Unele considerente cinematice ale montajului robotizat folosind dispozitive de corectie pasiva cu ceplanta, "Robot MTM-88", vol. 1, pag. 415, C.Napoca
- K14. Kovacs Fr.-Aspecte cinestotatice ale montajului automat robotizat, "Robot MTM-88", vol. 1, pag. 427, C.Napoca
- K15. Kovacs Fr.-Aspecte structurale ale montajului robotizat "Robot-MTM '88", vol. 1, pag. 427, Cluj-Napoca, 1988
- K16. Kim K., s.a.-Volumetric accuracy analysis based on generalized geometric error model in multi-axis machine tools, "Mech. Mach. Theory", 1991, nr. 2, p. 207
- K17. Kovacs Fr., Dolga V., Balu D.-Cercetari experimentale asupra mecanismelor cu couple cinematice elastice din structura dispozitivelor de prehensiune, "SYROM '85", vol. II-p. 329, Bucuresti, 1985
- K18. Kovacs Fr., s.a.-Metoda pentru verificarea eficienței functionale a dispozitivelor de corectie pasiva folosite la montajul robotizat, "Robot-MTM '88", vol. 3, p. 445, Cluj-Napoca, 1988
- K19. Kovacs Fr., Perju D., Savii G.-Metode noi in sinteza mecanismelor, Ed. Facla, Timisoara, 1976
- K20. Kovacs Fr., Perju D., Crudu M.-Mecanism. Analiza mecanismelor, Lito. IPT, Timisoara, 1978
- K21. Kovacs Fr., Radulescu C.-Roboti industriali, vol. I, II, Lit. Univ. Tehnica Timisoara, 1992
- K22. Kojevnikov S.I.-Osnovania structurnogo sinteza mehanizmov, Kiev, Nauka, 1979
- K23. Kyu W., s.a.-Developments of a pneumatic vibratory wrist for robotic assembly, "Robotica", 1989, vol. 7, part 1, p. 9
- K24. Kovacs Fr., Dolga V.-Incercari experimentale asupra unui mecanism cu couple cinematice elastice, "Al VI-lea Simpozion MTM", vol. I, pag. 53.1-53.6, Timisoara, 1992
- L1. Lotze W.- Berechnung von Biegefeder-System mit Hill konzentrierter Ersatzelemente, Feingeratetechnik, nr. 1968, pag. 440
- L2. Lotze W.-Liniare Theorie statisch und kinematisch unbestimmt ebener elastischer Systeme, "Feingeratetechnik", 1977, nr. 3, p. 104
- L3. Loncaric J.-Normal forms of stiffness and compliance matrices, "IEEE J. Rob. and Autom.", 1987, nr. 6, p. 567
- L4. Lin P.P., s.a.-Development of a position and force sensor for robotic applications, "Proc. IEEE Int. Conf. Rob. and Autom.", 1986, vol. 3, p. 1798
- L5. Lemarchand L.-Organes Compliants Passif, "SYROM '85", vol. II-p. 231, Bucuresti, 1985
- L6. Levitski N.I.-Teoria mehanizmov i masin, Moskva, Nauka, 1979
- L7. Lotfer B.-Avtomatizirovannaia sborka v elektroniceskoi pr.

- mislenosti,"Gibkie sborocinie sistemi",Masinostroeni
Moskva,1988,pag.93
- M1.Makarov I.M.s.a.-Gibkie avtomatizirovannie proizvodstva
otrasliah promislenosti,Vissaia skola,Moskva 1986
- M2.Makarov I.M.-Sistemnie printipi sozdania gibkih avtomatizir
vannih proizvodstv ,vol.1,Vissaia skola,Moskva,1986
- M3.Martins G.-Profitability and flexibility in assembly autom
ation,Proceedings of the 8th Int.Conf.Assembly Autom
ation,p.409-412,Copenhagen,1987
- M4.Malot J.-Dispositif de liaison elastiquement deformable
seuil de securite d'aux moins deux pieces deplasabl
ensemble,Brevet de inventie nr.2630956,Franta.
- M5.Massaro G.-Deutliche Zuwatchse,"Roboter",markt 1992,p.37
- M6.Meng Ch.,s.a.-Statistical characterization of position erro
of an ensemble of robots and its applications,"Trans
ASME.J.Mech.,Transmiss.,and Autom.Des.",1989,nr.2,p.2
- M7.Massonnet Ch.-Calculul structurilor la calculatoare electri
cice ,Editura tehnica,Bucuresti 1972
- M8.McCallion H.-Compliant device for inserting a peg in a hole
"Ind.Robot",june 1979,p.81
- M9.McCallion H.- Some thoughts on the automatic assembly of a peg
and a hole,"I.Mech.E.",1975,p.347
- M10.Merlet J.P.-A control law for the insertion of a flexible
cylindrical peg using a robot,"Material INRIA",France
- M11.Merlet J.P.-Etude bidimensionnelle de l'insertion d'une
cheville souple dans un ensemble rigide,Raports
Recherche n.166,INRIA,1982
- M12.Montana D.J.-The kinematics of contact with compliance,"IE
Int.Conf.Rob.and Autom.",1989,vol.2,p.770,Washington
- M13.Mutenek K.I.-Osnovi proektirovania sborocinich avtomatova
linii,Zinatne,Riga,1981
- M14.Moser Ch.-Entwicklung eines rezistiven beschleunigungsaufneh
mers,"Eighth World Congres on the Theory of Machines
and Mechanisms",vol.1,p.337,Praga,1991
- M15.Manolescu N.I.,Kovacs Fr.Oranescu A.-Teoria mecanismelor si
mecanismelor si a masinilor,Ed.did.si pedagogica
Bucuresti,1972
- M16.Mihoc Gh.,s.a.-Bazele metematice ale teoriei fiabilitati
Ed.Dacia,Cluj-Napoca,1976
- M17.Matveciuk V.S.-K opredeleniu uslovii samoorientirovan
detalei sopriagaemih tilindriceskikh povernostiami,"Pr
borostroenie",vol.1,Riga 1965,pag.182
- N1.Nevins J.L.s.a.-Exploratory Research in Industrial Modul
Assembly,R 1111,CSDL Massachusetts (USA),1978
- N2.Nevins J.L.s.a.-Exploratory Research in industrial assembly
part mating,R 1276,CSDL Massachusetts (USA),1980
- N3.Nevins J.L.s.a.-Robot Assembly Research and Its Future Dire
ctions,Report no.P-741,CSDL Cambridge,Massachusetts (US)
- N4.Nevins J.L.s.a.-Exploring new assembly concepts,"Americ
Machinist",march 1978,p.93
- N5.Nevins J.L.,s.a.-Assembly Research,"Automatica",1980,vol.1
p.595
- N6.Novikov M.P.-Osnovi tehnologii sborki masin i mehanizmo
"Masinostroenie",Moskva,1980
- N7.Novikov M.P.-Nauchnye osnovu avtomatizatii sborki masin,"Mas
nostroenie",Moskva,1976
- O1.Opitz H.,s.a.-Beitrag zur Erweiterung des Einsatzbereiches von
Industrierobotern in flexiblen automatischen Montag
systemen,"Wiss.Z.der Techn.Hochsch.Karl-Marx-Stadt
1985,nr.5,p.651

- 02.Ostapciuk V.G.,s.a.-Strestva očiuvstvlenia promislennih rob
tov,"Obzornaia informacia,Robototekhnika",seria 7,fasc
Moskva,1987
- 03.Okada T.,s.a.-A Tactile Sensor Based on a Suspension-She
Mechanism for Dexterous Fingers,"IEEE Trans.on Rob.a
Automation",1992,nr.1,p.126
- 04.Oprean A.-Fiabilitatea masinilor unelte,Ed.Tehnica,Bucurest
1979
- P1.Pandrea N.,s.a.-Metoda deplasarilor relative in calculul ela
tic al mecanismului de complianta RCC,Al 5-lea Simpoz
on National de RI,Bucuresti,1985
- P2.Perianu E.-Aspecte privind calculul elastic al mecanismelor
orientare la montaj pentru RI,Al 5-lea Simpozion Nati
onal de RI,Bucuresti 1985.
- P3.Pelecudi Chr.,s.a.-Prezentarea si calculul unei variante
mecanismului de complianta,Al 8-lea Simpozion Nation
al de RI,Cluj-Napoca,Oct.1988,pag.593
- P4.Polisuk M.K.,s.a.-Optimizatia rejimov robotizirovannoj sbor
pretilizionnih soedinenii metodom avtopoiska,"Vestn
masinostroenia",1986,nr.8,p.49
- P5.Pandrea N.,s.a.-Calculus of the compliance devices of the pr
ogrammable assembly systems,"Eighth World Congress
on the Theory of Machines and Mechanisms",vol.4,p.122
Praga,1991
- P6.Paul R.P.,s.a.- Work methods measurement a comparison betwe
robot and human task performance,Int.J.Prod.Res.,197
n.3,pag.277
- P7.Polak M.-Zarizeni pro nastaveni prumysloveho robotu pro bro
seni odliitku,Brevet de inventie nr.256264 (1989
Cehoslovakia)
- P8.Peshkin M.A.-Programmed Compliance for Error Corrective Asse
mbly,"IEEE Tran.on Rob.and Autom.",1990,nr.4,p.473
- P9.Paul R.P.-Robot Manipulators:Mathematics,Programming and Con
trol,MIT Press,Cambridge,1982
- P10.Pham D.T.-Improvements in compliant devices,Brevet invent
nr.2152473,Anglia
- P11.Peyrat P.,s.a.-Positionnement fin par recherche de referenc
utilisant la mesure d'efforts.Application a l'asse
mblee robotise,"Eighth World Congress on the Theory
Machines and Mechanisms",vol.4,p.1225,Praga,1991
- P12.Popov E.P.-Teoria i raschet gibkikh uprugikh sterjnei,"Nauka"
Moskva,1986
- P13.Peshkin M.A.-Programmed Compliance for Error Correcti
Assembly,"IEEE Trans.on Robotics and Automation",1990
nr.4,p.473
- P14.Perju D.-Mecanisme de mecanica fina,vol.1,2,Lito.I.P.V.T
Timisora,1986
- P15.Pelecudi Chr., Simionescu I., Moise V., Ene M.,- Proiectare
mecanismelor,Lito.IPB,Bucuresti,1981
- P16.Pelecudi Chr.,Maros D.,Merticariu V.,Pandrea N.,Simionescu
-Mecanisme,Ed.did.ped.,Bucuresti,1985
- P17.Pacoste C.,s.a.-Metode moderne in mecanica structurilor
Ed.stiin.si encycl.,Bucuresti,1988
- R1.Redford A.H.,s.a.-Product design for automatic assembly,Pro
of the Int.Conf.on Assembly Automation,p.129,Brighton
1981
- R2.Rembold U.,s.a.-Technische Anforderungen an Zukunflige Montage
roboter (teil 2),"VDI-Z",1981,nr.19,p.790
- R3.Reboulet C.,s.a.-Dispositif capteur d'effort a six composants
notamment pour la robotique,Brevet de inventie 263111.

Franta

- R4.***** -Roboter fur Kleinteilmontage haben Chances,"Roboter markt 1992,p.9
- R5.***** - 1500 neue Roboter,"Roboter",markt 1992,p.32
- R6.Rumsiski L.Z.-Prelucrarea matematica a datelor experimental Bucuresti,Ed.tehnica,1974
- R7.Rourke J.,s.a.-Remote center compliance device,Brevet inventie (SUA) nr.4556203
- R8.Radulescu O.-Sinteze optimale in constructia de masini,E tehnica,Bucuresti,1984
- R9.**** -Robotizatia sborociniih protessov,Nauka,1985
- S1.Silkin A.S.,s.a.-Organizatia sborociniih robotizirovann komplexov ,robotizatia sborociniih protessov,pag.1 Masinostroenie ,Moskva 1987
- S2.Schweizer M.-Ungebrochener Aufwartstrend,"Roboter",1985,nr. p.52
- S3.Scott P.B.-The Robotics Revolution,Blackwell Publisher Ltd Oxford,1985
- S4.Sevak M.N.,s.a.- Optimal synthesis of Flexible Link Mechanisms with Large Static Deflections,Trans.ASME,J.E.for Industry,May 1975,pag.520
- S5.Satohin V.M.,s.a.- Sintez parametrov vibrationnovo montajno ustroistva dlja sborocinovo robota,"Teoria meh.i masi nr.38,1985
- S6.Sawada C.-Specification and generation of a motion path of compliant motion,"IEEE Int.Conf.Rob.and Autom.",1988 vol.2,p.808,Washington
- S7.Starr G.P.-Experiments in Assembly Using a Dexterous Hand "IEEE Trans.on Robotics and Autom.",1990,nr.3,p.342
- S8.Stoyanov B.,s.a.-Experimental research and analysis of R Device,"4th Inter.Conf.on Ass.Autom.",p.282,Tokyo,1988
- S9.Savii G.G.-Sinteza mecanismelor cu elemenele elastice aplicatii la mecanisme cu elemente conduse miscate viteze mari,Teza de doctorat,Timisoara,1982
- S10.Stauffer R.N.-Robots speed assembly of floppy disk drive "Robotics Today",1983,nr.6,p.25
- S11.Schweizer M.-Taktile Sensoren fur programmierbare Handhabung Dissertation,Univ.Stuttgart,1978
- S12.Schoninger J.-Vorrichtung zum Fugen von Bauelementen,Brevet de inventie nr.3628750 (Germania).
- T1.Taniguchi N.-Present state of the arts of system design automated assembly in Japan,4th International Conference on Assembly Automation,p.1,Tokyo,1983.
- T2.Terasima M.-Mecanism compliant,"Kokai tokke koho",1989,nr. p.587 (R.J.Promislenie roboti nr.1,1990)
- T3.Tham H.,s.a.-Erfassung der Greifkraft sowie raumlicher Reaktionskrafte und moment,Brevet inv. 272250,Germania
- T4.Tao J.M.,s.a.-Compliant Coordination Control of Two Moving Industrial Robots,"IEEE Trans.on Rob.and Autom.",1991 nr.3,p.322
- T5.Terazano N.,s.a.-Application of robots for assembly and transportation work of elevators and escalators part "Robot",1983,nr.37,p.64
- T6.Takeyasu K.-Precision Insertion Control Robot and Its Application,"J.of Eng.for Industry",nov.1976,pag.1313
- U1.Ulrich S.,s.a.-Wege zur flexiblen automatischen bedienarmen Montage durch den Einsatz von sensor gefurchten Industrierobotern,"Wiss.Z.der Techn.Hochsch.Karl-Marx-Stadt 1985,nr.5,p.782
- U2.Ulrich S.,s.a.-Die Montage als Bestandteil der flexible

- automatischen Fertigung,"Wiss.Z.der Techn.Hochsch.Kar Marx-Stadt",1986,nr.5,p.642
- V1.Volmer J.-Flexible automatische Montagesysteme maschinenbautechnische Aspekte,"Wiss.Z.der Techn.Hochsch.Karl-Mar Stadt",1983,nr.5,p.626
- V2.*****Montagegreifer fur Handhabungsgerate,Brevet de invent nr.276256,Germania (titular VEB Wema)
- V3.Veitschegger W.K.,s.a.-Robot accuracy analysis based on Kinematics,"IEEE J.Rob.and Autom.",1986,nr.3,p.171
- V4.Volmer J.,s.a.- Fugemechanismen mit nachgiebigen Gliedern f Monatage-Industrieroboter,Maschinenbautechnik,nr.3,19 pag.115
- V5.Van Brussel H.,s.a.- The adaptable compliance concept and its use for automatic assembly by active force feedback accommodations,9th International Symp.on Industri Robots,p.167,Washington
- V6.Volmer J.-Industrieroboter,VEB Verlag Technik,Berlin,1983
- W1.Warnecke H.J.-Einsatzplanung von Industrierobotern,"Maschinenmarkt",1988,nr.18,p.30,31,33,35,37
- W2.Warnecke H.J.-Automatisierung in der Verkettungs-Handhabung und Montagetechnik,"wt-Z.ind.Fertig.",1982,nr.12,p.29
- W3.Warnecke H.J.,s.a.-Flexible assembly system for unmann factory,4th International Conference on Assembly Automation,1983,Tokyo
- W4.Warnecke H.J.,s.a.-Entwicklung und Einsatz flexibler Montagesysteme,"Maschinenbautechnik",1986,nr.3,p.115
- W5.Warnecke H.J.,s.a.-Influence of microelectronics on the development and application of assembly robot,"Manufacturing systems",vol.13,nr.1,p.16
- W6.Wu C.H.,s.a.-Estimation of the accuracy of a robot manipulator,"IEEE Trans.Autom.Contr."1985,nr.3,p.304
- W7.Watson P.C.-The Remote Center Compliance System And Its Application To High Speed Robot Assemblies,Assembly Conf.,Oct.1977
- W8.Watson P.C.- The Remote Axis Admittance A Key to Rob Assembly,Robot IV Conference,Oct/Nov.1979
- W9.Whitney D.E.,s.a.-Mechanical Behavior and Design Equations for Elastomer Shear Pad Remote Center Compliance "Konstr. i tehn. masinostroenie",nr.3,1986,pag.240
- W10.Whitney,s.a.-Part mating theory for compliant parts,R 140 CSDL (USA),1980
- W11.Wright P.-A manufacturing hand,"Rob.and Comput.Integr.Manuf 1985,nr.1,p.13
- W12.Warnecke H.J.,s.a.-Fitting of crimp contacts to connectors using industrial robots supported by vibrating tool "Robotica",1988,vol.6,part 2,p.123
- W13.Warnecke H.J.,s.a.-Montagetechnik,Krausskopf Verlag,Maint 1975
- W14.Warnecke H.J.,s.a.-Industrieroboter.Katalog '85,Vereinigte Fachverlage,Maintz,1985
- W15.Wright P.K.,s.a.-Active Control of a Compliant Wrist Manufacturing Tasks,"Konstr.i tehn.mas.",nr.3,1986,pag.

ANEXA

! Montajul tirantului directiei ! Exemplul nr. ! Pag. !
! automobilelor /F9/ ! ! ! !

Problema de rezolvat - asamblarea celor patru piese ce compun produsul: capac din otel cu stifturi filetate,cuzinet sferic (din masa plastica) montat in capacul lagarului ,tirantul trasversal , corpul din material plastic fixat pe partea sferica a tirantului .

Modalitate de solutionare-Organizarea sistemului de montaj la uzinele Cam Gears (Anglia) se aseamana cu cel de la uzinele Fiat (Italia).

Se utilizeaza trei RI dispuși de-a lungul liniei robotizate.Pentru alimentarea cu piese se utilizeaza alimentatoare vibratoare iar transportul intre posturile de lucru se realizeaza cu conveior cu banda sau role .

Primul RI preia cuzinetul si il fixeaza in capacul metalic cu ajutorul unui DP special.Utilizind un al doilea DP (dispus pe acelasi element) RI ridica capacul metalic cu cuzinetul si il instaleaza pe o paleta de transport.In acesta pozitie in partea de sus a capacului se introduce lubrifiantul necesar.

Paleta este deplasata pe conveiorul cu banda la urmatorul post.

Al doilea RI preia tirantul,il roteste cu 180 aducindu-l cu partea sferica in jos si realizeaza asamblarea cu corpul sferic (din material plastic) pina cind acesta ajunge in zona sferica a tirantului.Utilizind cel de-al doilea DP,RI ridica paleta cu capacul,continuind sa retina tirantul,si aseaza cele doua pise pe platoul presei de lucru (80 tf).

Al treilea RI aseaza ansamblul in dispozitivul de control al momentului .Reactia este inregistrata de catre senzorul de forta-moment al RI.Ansamblurile rebutate sunt asezate pe un jgheab alimentator pentru controlul manual iar cele corespunzatoare pe un suport transportat cu un conveior cu role.

Echipamente periferice-alimentatoare vibratoare,conveior cu banda si paleta ,conveior cu role ,presa .

Obs.-se utilizeaza RI DEA PRAGMA
-ciclul de asamblare are 10 secunde
-se monteaza sase variante ale produsului avind un volum de la 2000 la 10000 ansambl

Problema de rezolvat-asamblarea a trei tipuri de role.
 Prima rola consta dintr-un rulment,bandaj din cauciuc si siguranta inelara.Al doilea tip de rola consta din doi rulmenti si bandaj din cauciuc ,iar rola a treia din doi rulmenti si inel de siguranta .Masa rolei este pina la 400 gr.

Modalitate de soluitonare-In fig.II.1 se prezinta aranjarea celulei.

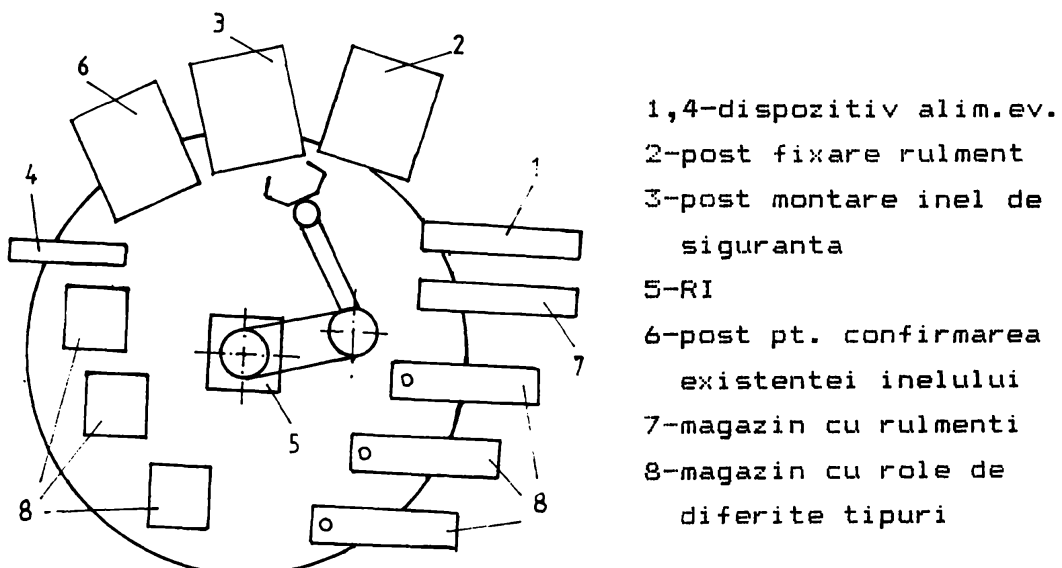


Fig.II.1

DP al RI are o constructie speciala care permite prehensarea atit pe exteriorul rolelor cit si pe interiorul rulmentilor . Cursa cilindrului pneumatic al DP este astfel redusa realizindu-se un gabarit redus.

Echipamente periferice-transportor pentru piese si produs, dispositive de control .

Obs-se elibereaza un operator pentru fiecare operatie
 -calitatea ansamblului montat se imbunatatesta
 -durata ciclului 40 s.
 -RI are 4 grade de mobilitate:trei rotatii (270° , 270° , 330°) si o translatie ($z=300$ mm; $v_z=2.5$ m/s)
 -lungimea elementelor 650 mm
 -precizie + - 0.05 mm .

Montajul robotizat al unei pompe . /R2/ | 3 | 3 |
Exemplul nr. | Pag. |

Problema de rezolvat-asamblarea a 35 piese componente ale unei pompe cu palete .

Modalitate de solutionare-sistemul de montaj realizat de firma "Toyoda Machine Tool" se bazeaza pe o linie echipata cu 15 RI si mai multe posturi de lucru.

Pieselete sint trasportate pe palete ,care au patru zone de asezare (una pentru carcasa si trei pentru piesele mici),de catre un transportor.

In cadrul primului post un RI suspendat preia carcasa din container si o depune pe paleta.

In al doilea post se gasesc trei RI.Un RI pozitioneaza carcasa in dispozitivul de montaj sub presa .Un al doilea RI preia de la un alimentator vibrator o garnitura circulara si o monteza.Tot acest RI pozitioneaza locasul de control al debitului si un inel de oprire .Al treilea RI pozitioneaza garnitura de etansare ce va fi presata de presa.Carcasa este ridicata de primul RI (de capacitate mai mare) si asezata pe paleta .

In al treilea post se monteza o garnitura inelara.RI este dotat cu un DP special (cinci degete) care insereaza garnitura in mod treptat .

In al patrulea post se monteaza paletetele de catre un RI.Paletetele sint montate in perechi .Un senzor vizual (Auto-Matix) examineaza orientarea paletelor (urmareste un reper poansonat pe acestea).

In al cincilea post un RI (Scara) si un RI articulat realizeaza fixarea rotorului.Alti doi RI asigura montarea unei garnituri ,buson,saiba,surub.

In acest moment un al doilea senzor vizual determina tipul pompei prin detectarea literei de pe carcasa .Aceasta informatie este transmisa spre postul urmator .

Un RI (Scara) selectioneaza si instaleaza supapa adecvata pentru controlul debitului .Un ultim RI (articulat) monteaza (in cooperare cu o masina de insurubat) un arc si un buson .

Produsul finit este transferat la o masina de control

	Exemplul nr.	Pag.
	3	4

dupa care este paletizat de un RI.

La fiecare post celule fotoelectrice (traductoare de proximitate) verifica daca piesele au fost montate efectiv.

Echipamente periferice-alimentator vibrator,container, transportor cu palete ,presa ,senzori vizuali.

Obs.-suprafata la sol a liniei 18 m * 9 m

-se utilizeaza 2 RI suspendati (in coordonate carteziene),9 RI (articulati) si 4 RI (Scara)

-durata ciclului 45 s

-productia 10000 buc./luna

Problema de rezolvat - montajul discurilor flexibile trebuie sa se realizeze intr-o incinta curata fara impuritati (< 300/m). Montajul consta din fixarea pe arborele principal a discului (iar pe acesta suportul de informatie) cu ajutorul piuliitei. Discul in aceasta stare trebuie echilibrat. Ultima operatie consta in montarea magnetilor.

Modalitate de solutie-In fig.IV.1 se prezinta sistemul de montaj .

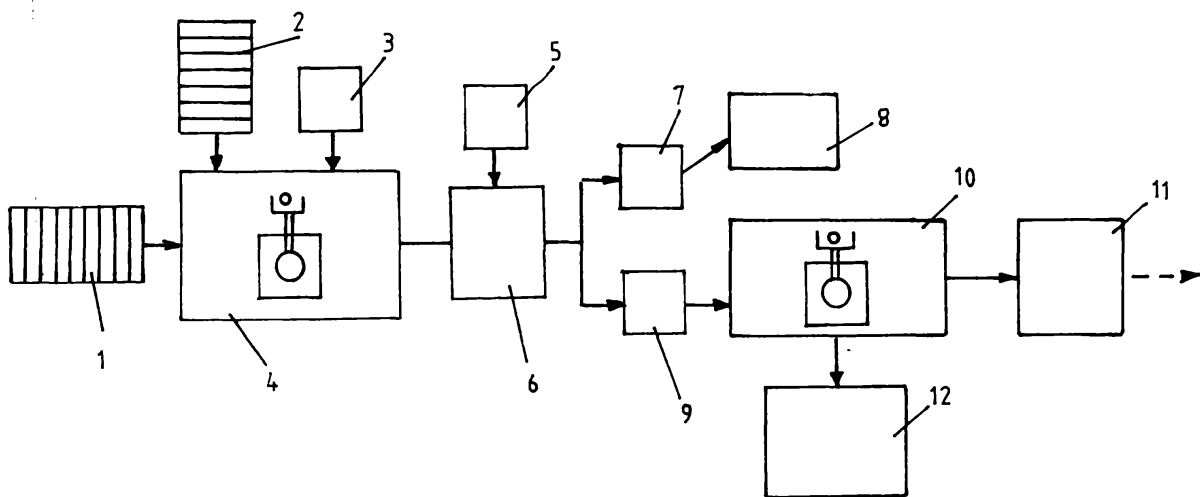


Fig.IV.1

- | | |
|---|---|
| 1,2-conveyor | 7-post de verificare globala |
| 3-alimentator cu garnitura din material plastic | 8-post de echilibrare |
| 4-post de montaj cu RI | 9-post de inregistrare a directiei |
| 5-inel de siguranta | 10-post de montaj cu RI (discul cu capul magnetic) |
| 6-post de fixare a discului | 11-post de montaj a magnetilor |
| | 12-alimentator cu cap inregistrare |

Discurile sint transportate cu ajutorul casetelor pe conveior . Sesizarea casetei este facuta de traductoare de proximitate . In acelasi timp al doilea conveior transporta arborele . Operatia de montaj a discului pe arbore se face pe

	Exemplul nr.	Pag.	
	4	6	

cale adaptiva (compensare activa) avind in vedere ca jocul posibil intre arbore si alezajul discului este de 0.013 mm iar precizia de repetabilitate a RI de +0.22 mm.RI indeplineste urmatoarele operatii:manipularea discului din caseta ,asamblarea acestuia cu arborele ,montajul garniturii din material plastic.

Echipamente periferice - conveior cu casete pentru transport interoperational si final ,alimentatoare cu piese in posturile de asamblare .

Obs.-RI utilizati sunt de tip SCARA
 -productivitatea 20 discuri / ora .
 -se impun conditii speciale pentru ungerea RI si a echipamentelor periferice,pentru actionarea acestora.

| Montajul discurilor floppy | Exemplul nr. | Pag. |
| /S10/ | 5 | 7 |

Problema de rezolvat-montajul mecanismului discurilor magnetice de diametru 203 mm (corful turnat,arbore,doi rulmenti,doua bucese distante,saiba elastica,rotorul,statorul).

Modalitate de solutionare-Sistemul de montaj robotizat consta din patru celule dispuse succesiv de-a lungul unui conveior cu lant .Pentru alimentarea si instalarea pieselor se utilizeaza RI (Seiko).Componentele sunt transportate spre conveiorul principal cu ajutorul unui transportor cu banda .

DP utilizat este de tipul "revolver" cu miscare paralela a bacurilor pentru toate cele trei mecanisme de prehensiune.Primul mecanism este utilizat pentru prehensarea rotorului.Al doilea consta din doua dispozitive de fixare dispuse etajat (unul destinat prehensarii rulmentilor si a unei bucese distante de 0 15.87 mm iar celalalt pentru prehensarea celei de-a doua bucese de 0 7.9 mm si a arborelui).Cel de-al treilea DF este utilizat pentru prehensarea saibei elastice.Corful turnat este incarcat in mod manual pe conveiorul de transport din alimentator vertical .

In primul post are loc verificarea orientarii corfului turnat pe cale optica.In al doilea post RI monteaza in corp flansa lagarului .Asezarea corecta este verificata cu ajutorul senzorului de proximitate pneumatic .

In al treilea post un RI roteste corful dupa ce in prealabil minirobotul Seiko a pozitionat statorul in raport cu rulmentul.Doua dispozitive pneumatice fixeaza relativ corful si statorul .In timp ce RI (Seiko) indeplineste operatia sa al doilea RI realizeaza a doua operatie pe conveior :el preia arborele de pe al doilea conveior ,il aseaza in postul de lucru nr.4 semnalizindu-se declansarea operatiei de transport a corfului din postul nr.3 sub arbore.Pozitionarea corecta este verificata prin senzorul pneumatic de proximitate si pe cale optica .In aceasta pozitie se monteaza al doilea rulment in corp apoi un dispozitiv pneumatic monteaza arborele pe rulmenti.In final al doilea RI realizeaza operatiile ramase:montajul bucselor ,a celui de-al doilea rulment.Asezarea corecta este verificata pe cale

	Exemplul nr.	Pag.	
	5	8	

optico-mecanica .Al doilea RI pozitioneaza rotorul (Ø 102 mm) sub arborele principal realizindu-se asamblarea .Produsul este evacuat cu ajutorul conveiorului spre alte posturi de montaj manual .

Echipamente periferice-conveior cu lant,transportor cu banda,dispozitive pneumatice de fixare si presare .

Obs.-operatiile de montaj principale sunt realizate de RI -T3/726 (Cincinnati Milacron).

-operatiile secundare se realizeaza de RI-Seiko.

-productivitatea 20 discuri / ora .

Problema de rezolvat - Asamblarea pieselor componente ale unui releu pentru aparatura de automatizare destinata cailor ferate:partea superioara a corpului,partea inferioara a corpului, grupul de contacte,arcul de revenire.Releul contine doua arcuri si aprox.20 contacte .

Modalitate de solutionare - In fig.VI se prezinta schema celulei.

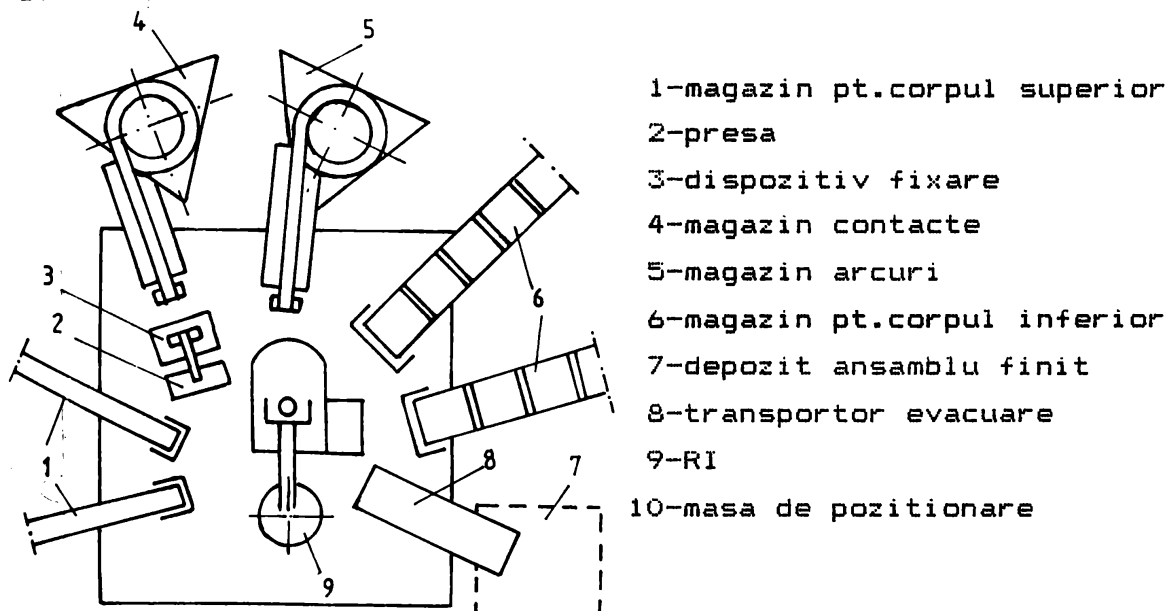


Fig.VI

Masa de pozitionare (actionata pneumatic) serveste pentru instalarea blocurilor si elementelor complexului.Pe ea se amplaseaza pneumoaggregate,vibrotransportor,magazine piese,presa.

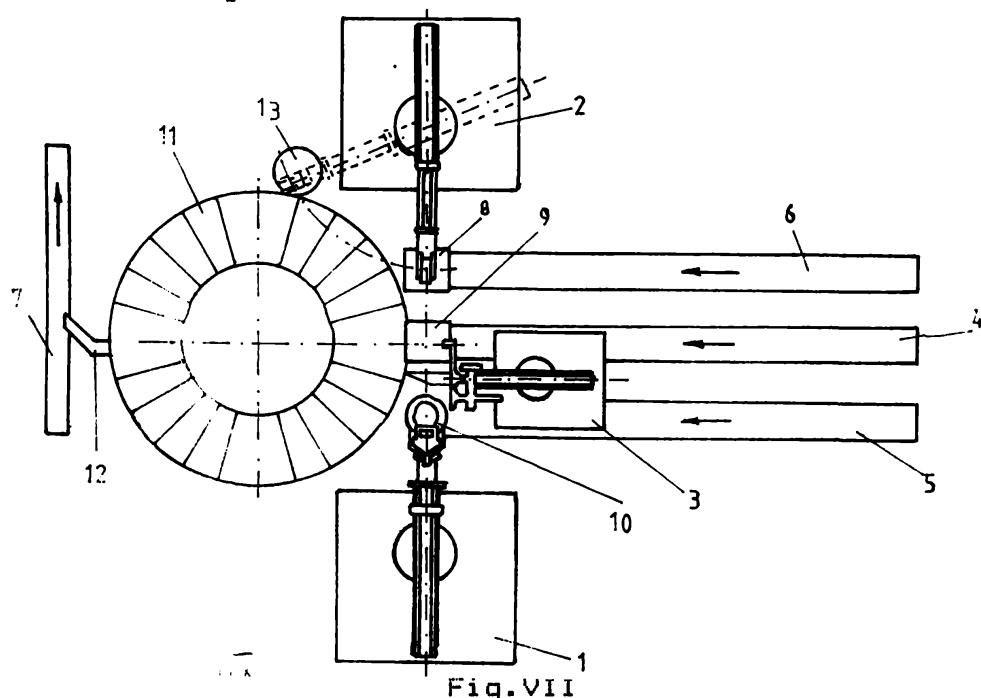
Grupul de contacte este preluat din alimentatorul vibrator si este transportat pe cale pneumatica.Corpul inferior si superioar se incarca manual pe transportor (suprafata de alunecare) si se deplaseaza sub actiunea greutatii proprii.Cele doua cor puri sunt asamblate prin presare (presa de 200 N).Asamblarea este de tip "sandvici" cu corpul inferior baza.

Echipamente periferice - transportor gravimetric (unghi de inclinare 33° ,lungime 585 mm,forma suprafetei de alunecare U), alimentatoare vibratoare ,presa .

- Obs. - se utilizeaza RI tip PHM 4
- durata ciclului 130 s.

Problema de rezolvat - asamblarea componentelor unor minitransformatoare.

Modalitate de solutie-Schema sistemului de montaj este prezentata in fig.VII.



- | | |
|---------------------------|----------------------------|
| 1,2-RI | 8,10-poz.de prehensare |
| 3 -manipulator | 9-masa de asamblare/verif. |
| 4,5,6-conveyor alimentare | 11-cuptor pt.uscare |
| 7-conveyor evacuare | 12-plan evacuare |
| 13-tanc cu ulei | |

Secventa operatiilor este urmatoarea :

- prezentarea partilor transformatorului la statia de incarcare
- prezentarea partii inferioare a magnetului la statia de asamblare
- prezentarea bobinei si fixarea ei de partea inferioara a magnetului
- prehensarea perechii superioare a magnetului
- lipirea celor doua parti ale magnetului
- inspectarea asamblarii
- uscarea produsului asamblat

| : Exemplul nr. | Pag. |
: 7 : 11 :

-verificarea calitatii produsului si inregistrarea rebuturilor
Corectitudinea operatiilor este confirmata de o serie de
senzori :

- senzori magnetici sau fotocelule (conjugarea partilor de asamblat)
- senzori magnetici,termici (automatizarea cuptorului)
- senzori de curent (verifica existenta contactului electric dintre robot si transformator,verifica caracteristicile functionale ale transformatorului)

Echipamente periferice - conveioare pentru alimentare si evacuare produs,cuptor pentru uscarea produsului.

Obs.- se realizeaza 7-8 transformatoare/min.

- sunt inlocuiti 9 operatori
- un operator supravegheaza 3-4 celule.

```

10 REM *****
20 REM *      PROGRAMUL ALEZE      *
30 REM * CALCULUL PARAMETRILOR DE MONTAJ *
40 REM *      STIFT-ALEZAS SERIELASTIC      *
50 REM *****
60 PRINT "*****"
70 PRINT "* DATE DE INTRARE *"
80 PRINT "*****"
90 INPUT "D1="; D1: INPUT "D2="; D2: INPUT "D3="; D3
100 INPUT "L="; L: INPUT "LC="; LC
110 INPUT "R1="; R1: INPUT "R2="; R2
120 INPUT "MIU1="; MIU1: INPUT "MIU2="; MIU2
130 INPUT "MIUS="; MIUS
140 INPUT "KX="; KX: INPUT "KXE="; KXE: INPUT "KEI="; KEI
150 INPUT "DELTAx="; DELTAX: INPUT "DELTAY="; DELTAY
160 INPUT "H="; H: INPUT "ALFAO="; ALFAO
170 PRINT "D1="; D1; "D2="; D2; "D3="; D3
180 PRINT "L="; L; "LC="; LC
    PRINT "R1="; R1; "R2="; R2
200 PRINT "MIU1="; MIU1; "MIU2="; MIU2; "MIUS="; MIUS
210 PRINT "KX="; KX; "KXE="; KXE; "KEI="; KEI
    PRINT "DELTAx="; DELTAX; "ALFAO="; ALFAO
        "DELTAY="; DELTAY
240
    PRINT
1000 REM
220 REM      STRUCTURILE      FILTRU
230 REM      INTRARE      S1
240 REM
250 PRINT "*****"
260 PRINT " REZULTATE DIN CALCUL "
270 PRINT "*****"
280 PRINT "*****"
290 PRINT "*****"
340 PRINT " * "; SPC(3); "S"; SPC(10); "ALFAO"; SPC(3);
    "KEI"; SPC(12); "L"; SPC(6); "H";
350 PRINT " * "; SPC(4); "MIU1"; SPC(6); "MIU2"; SPC(4);
    "MIUS"; SPC(10); "MIU"; SPC(4); "MIUS";
360 PRINT " * "; SPC(3); "MIU1"; SPC(6); "MIU2"; SPC(4);
    "MIUS"; SPC(10); "MIU"; SPC(4); "MIUS";
370 LET SBO=(D2+(R1+1/2)*COS(ALFAO)+L+
    +LC*SIN(ALFAO)+DELTAY)/(R1+R2)
380 LET VS=SBO
390 GOSUB 1210
400 LET BETAO=UNSHI-ALFAO
410 PRINT "BETAO="; BETAO
420 LET C1=(R1+R2)*COS(BETAO+ALFAO)/R1
430 LET C2=(2-D1/R1)*SIN(ALFAO)-H/R1

```

```

440 LET C60=C1+C2
450 LET VC=U60
460 GOSUB 1230
470 LET GAMAO=UNGH1-ALFA0
480 PRINT "GAMAO=",;GAMAO
490 COUNTER=0 : COUNTER1=0 : O=COUNTER1+1
500 SP=0
510 ALFA1=ALFA0+BETAI=BETA0
520 ALFAJ=ALFA0+BETAJ=BETA0
530 SP=SP+DEL TAY
540 GOSUB 1300
550 GOSUB
560 GOSUB 840
570 GOSUB 930
580 GOSUB 1040
590 IF ABS (ALFA0-ALFA1)=1)<=.001 THEN GOTO 630
600 COUNTER=COUNTER +1 : ALFA1=ALFA0
610 IF COUNTER=100 THEN GOTO 640
620 STOP
630 F1=PI*(COS(GAMAO)+PI*I*SIN(GAMAO))
640 F2=PI*(COS(BETA0)+PI*I*SIN(BETA0))
650 F3=PI*(COS(BETAI)+PI*I*SIN(BETAI))
660 COUNTER1=COUNTER1+1
670 LET A1=(F1+F2+F3)/3 : ALFA0=(AB(28)*DX)+(AB(42)
680 LET A1=A1*PI/180
690 BETAI=A1+740
700 GAMAI=640
710 IF GAMAI<=0 THEN GOTO 530
720 STOP
REM *****SUBPROGRAMA PENTRU CALCULUL UNGHII U1*****
730 REM *****SUBPROGRAMA PENTRU CALCULUL UNGHII U2*****
750 REM * DE CONTACT - GAMA
760 REM ****SUBPROGRAMA PENTRU CALCULUL UNGHII U3*****
770 LET VD=(R1+R2)*U60*(ALFA1+BETAJ)/R1+
* +(R1+R2)*SIN(ALFA1)-R1*R2
780 LET VC=VDC
790 GOSUB 1230
800 LET GAMAO=PI*R1*BETAJ
810 RETURN
820 REM *****SUBPROGRAMA PENTRU CALCULUL UNGHII U4*****
830 REM * DE CONTACT - GAMA
840 REM ****SUBPROGRAMA PENTRU CALCULUL UNGHII U5*****
850 XAU=D1*(Z-R1)*(1+SIN(BETA0))+(R3=L1+R1)*COS(BETAJ)
860 XBU=D1*(Z-R1)*(1-COS(BETAJ))+(Y20=L1+R1)*COS(BETAJ)
870 XAU=D1*(Z-R1)*(1+COS(BETAO))+(Y20=L1+R1)*COS(BETAO)
XBU=D1*(Z-R1)*(1-SIN(BETAO))+(Y20=L1+R1)*COS(BETAO)
RAUD=60*(XAU-XBU)*(XAU-XBU)-(Y20-Y20)*(Y20-Y20)
IF RAUD<=0 THEN RAUD=0

```

```

500      RAD=SQRT((XAO-XBO)*(XAO-XBO)+(YAO-YBO)*(YAO-YBO))
         (RAD=SQR((ALFAO+BE1AO)*(ALFAO+BE1AO)+BE1AO*(BE1AO)))
910  DAEX=RAD1-RAD2*R2*S11*(ALFA1+BE1AO)*RAD*S11*(ALFA1+BE1AO)
920  RETURN
930  REM ***SUBPROGRAM PENTRU CALCULUL DEGRELEI ***
940  REM * SUBPROGRAM PENTRU CALCULUL DEGRELEI
950  REM ** SUBPROGRAM PENTRU CALCULUL DEGRELEI
960  REM *** SUBPROGRAM PENTRU CALCULUL DEGRELEI
970  REM **** SUBPROGRAM PENTRU CALCULUL DEGRELEI
980  REM ***** SUBPROGRAM PENTRU CALCULUL DEGRELEI
990  REM **** SUBPROGRAM PENTRU CALCULUL DEGRELEI
1000 RETURN
1010 REM ***SUBPROGRAM PENTRU CALCULUL DEGRELEI
1020 REM * SUBPROGRAM PENTRU CALCULUL DEGRELEI
1030 REM ** SUBPROGRAM PENTRU CALCULUL DEGRELEI
1040 REM *** SUBPROGRAM PENTRU CALCULUL DEGRELEI
1050 REM **** SUBPROGRAM PENTRU CALCULUL DEGRELEI
1060 REM ***** SUBPROGRAM PENTRU CALCULUL DEGRELEI
1070 REM **** SUBPROGRAM PENTRU CALCULUL DEGRELEI
1080 REM ***** SUBPROGRAM PENTRU CALCULUL DEGRELEI
1090 REM **** SUBPROGRAM PENTRU CALCULUL DEGRELEI
1100 REM ***SUBPROGRAM PENTRU CALCULUL DEGRELEI
1110 REM * SUBPROGRAM PENTRU CALCULUL DEGRELEI
1120 REM ** SUBPROGRAM PENTRU CALCULUL DEGRELEI
1130 REM ***SUBPROGRAM PENTRU CALCULUL DEGRELEI
1140 REM **** SUBPROGRAM PENTRU CALCULUL DEGRELEI
1150 RETURN
1160 REM ***SUBPROGRAM PENTRU CALCULUL DEGRELEI
1170 REM * SUBPROGRAM PENTRU CALCULUL ASIN SI ACOS
1180 REM ***SUBPROGRAM PENTRU CALCULUL ASIN SI ACOS
1190 REM VALDAREA FUNCTIEI SIN=VS; COS=VC
1200 REM VALDAREA FUNCTIEI TAN=VT
1210 LET VT=VS/SQR(1-VS*VS)
1220 GOTO 1240
1230 LET VT=SQR(1-VC*VC)/VC
1240 LET UNGHI=ATN(VT)
1250 RETURN
1260 REM **** SUBPROGRAM PENTRU CALCULUL UNGHIEI ***
1270 REM * SUBPROGRAM PENTRU CALCULUL UNGHIEI *
1280 REM *          CURENT BETA
1290 REM **** SUBPROGRAM PENTRU CALCULUL UNGHIEI ***
1300 LET CB1=COS(BETA1+ALFA1)-DELTAY*COS(ALFAO)/(R2*F1)
1310 LET VC=CB3
1320 GOSUB 1230
1330 LET BETAJ=UNGHI-ALFAJ
1340 RETURN

```

```

10>REM
20 REM *****
30 REM * MODELARE ASAMBLARE STIFT-ALEZAJ *
40 REM *****
50 REM
60 READ miu,beta,fi,ky,l1,l2,d1/kg,g,alfaz,a,deltay,d2
70 DATA .15,0,PI/4,15,5,150,50,53000,10,.5*PI/180,1.5,-1,50.5
80 LET psi=ATN miu
    LET x1=1/TAN fi*(d2/2-d1/2*COS alfaz+a*(l1-SIN alfaz/TAN fi)+deltay)
    LET y1=-d2/2-a*x1/TAN fi
90 LET xo2p=x1-d1/2*SIN alfaz+a*COS alfaz
100 LET u=.15
    LET a=30
110 LET xo3i=xo2p-l1*COS alfaz
    LET yo3i=deltay-l1*SIN alfaz
120 LET A2=ky*COS (psi)/SIN (beta+fi-psi)
    LET A3=g*SIN beta*COS psi/SIN (beta+fi-psi)
    LET A4=(kg-G*(l1-l2))*COS psi
    LET A5=kg*alfaz*COS psi
    LET A6=u/TAN (beta+fi)
    LET A7=d1/2*COS fi-l1*SIN fi
130 DIM d(m)
    DIM n(m)
    DIM f(m)
    DIM x(m)
    DIM y(m)
140 DIM u(m)
    DIM v(m)
    DIM i(m)
    DIM j(m)
    DIM s(m)
150 LET y(1)=0
    LET alfaf=alfaz
    LET x(1)=xo3i
    LET s(1)=yo3i
    .
160 DIM a(m)
170 FOR j=1TO m
180 IF j>1THEN GO TO 200
190 LET a(1)=0
    GO TO 210
200 LET A(j)=ky*COS psi/SIN (beta+fi-psi)*y(j-1)
    LET B1=A(1)+A2*A6+A3-A2*A7*alfaf
    LET c1=B1*(l1-a)
    LET c2=A2*A7*(l1-a)
    LET c3=b1*d1/2
    LET c4=A2*A7*d1/2
    LET c5=A4
    LET c6=A5
    GO TO 220
210 LET B1=A(1)+A2*A6+A3-A2*A7*alfaf
    LET c1=B1*(l1-a)
    LET c2=A2*A7*(l1-a)
    LET c3=b1*d1/2
    LET c4=A2*A7*d1/2
    LET c5=A4
    LET c6=A5
220 LET alfa=alfaf
    LET A9=fi+alfa-psi
230 GO SUB 1090
    .

```

```

240 LPRINT "alfa="; alfa
250 LET d(j)=A6+A7*(alfa-alfa1)
260 LET n(j)=A(j)+A2*d(j)+A3
270 IF j>1 THEN GO TO 290
280 LET y(1)=d(1)
    GO TO 300
290 LET y(j)=y(j-1)+d(j)
300 LET f(j)=1/COS beta*(-ky*y(j)*SIN beta+n(j)*(mu*SIN fi+COS fi)-g)
310 IF j>1 THEN GO TO 330
320 LET x(1)=x031+u*COS beta
    LET s(1)=y031+u*SIN beta
    GO TO 350
330 LET x(j)=x(j-1)+u*COS beta
    LET s(j)=s(j-1)+u*SIN beta
    LPRINT "x(";j;")=";x(j); "s(";j;")=";s(j)
340 DIM q(5)
350 LET u(j)=x(j)-d(j)*SIN beta
    LET v(j)=s(j)+d(j)*COS beta
    LET i(j)=u(j)+(l1-a)*COS alfa+d1/2*SIN alfa
    LET j(j)=v(j)+(l1-a)*SIN alfa-d1/2*COS alfa
    LPRINT "u(";j;")=";u(j); "v(";j;")=";v(j)
    LPRINT "i(";j;")=";i(j); "j(";j;")=";j(j)
360 IF i(j)>a THEN LPRINT "faza a doua de insertie"
    LET yv=y(j)
    LET alfa1=alfa
    LPRINT "n(";j;")=";n(j)
    LPRINT "f(";j;")=";f(j)
    LET h1=(i(j)-a)/COS alfa+a
    LPRINT "h1=";h1
    LET q(1)=n(j)
    LET q(2)=f(j)
    LET q(3)=alfa1
    LET alfa1=alfa1
    LET q(4)=d(j)
    LET q(5)=0
    LET xce=u(j)
    LET yce=v(j)
    LET xc=x(j)
    LET sc=s(j)
    GO TO 410
370 LET alfa1=alfa
380 LET yv=y(j)
390 LPRINT "f(";j;")=";f(j)
    LPRINT "n(";j;")=";n(j)
    LPRINT "i(";j;")=";i(j)
400 NEXT j
410 LET u=1.5
420 DIM h(20)
430 DIM n(20)
    DIM f(20)
    DIM d(20)
    DIM o(20)
440 DIM x(20)
    DIM s(20)
    DIM u(20)
    * DIM v(20)
450 DIM p(5)
    DIM w(5,5)
460 DIM a(5,5)
    DIM b(5,5)

```

```

470 FOR e=1 TO 20
480 GO SUB 1230
490 LET n(e)=q(1)
LET f(e)=q(2)
LET alfa=q(3)
LET d(e)=q(4)
LET dh=q(5)
500 IF e=1 THEN LET x(1)=xc
LET s(1)=sc
LET u(1)=xc-d(1)*SIN beta
LET v(1)=sc+d(1)*COS beta
LET yb=v(1)+(l1-a)*SIN alfa+d1/2*COS alfa
LPRINT "x(";e;")=";x(1), "s(";e;")=";s(1)
LPRINT "u(";e;")=";u(1), "v(";e;")=";v(1), "yb=";yb
GO TO 530
510 LET x(e)=x(e-1)+u*COS beta
LET s(e)=s(e-1)+u*SIN beta
LET u(e)=x(e)-d(e)*SIN beta
LET v(e)=s(e)+d(e)*COS beta
LET yb=v(e)+(l1-a)*SIN alfa+d1/2*COS alfa
LET o(e)=u(e)+l1*COS alfa+(d1/2-a)*SIN alfa
520 LPRINT "x(";e;")=";x(e), "s(";e;")=";s(e)
LPRINT "u(";e;")=";u(e), "v(";e;")=";v(e)
LPRINT "yb=";yb, "o(";e;")=";o(e)
530 LET xb=u(e)+(l1-a)*COS alfa-d1/2*SIN alfa
IF xb<a THEN GO TO 560
540 IF (yb-d2/2)=0 THEN LPRINT "contact in doua puncte"
GO TO 620
550 IF (yb-d2/2)>0 THEN LPRINT "modifica rigiditatele"
STOP
560 IF e=1 THEN LET h(1)=dh+h1
GO TO 580
570 LET h(e)=h(e-1)+dh
580 LPRINT "f(";e;")=";f(e)
LPRINT "n(";e;")=";n(e)
LPRINT "h(";e;")=";h(e)
590 IF e=1 THEN LET y(1)=yv+d(1)
GO TO 610
600 LET y(e)=y(e-1)+d(e)
610 LET q(1)=n(e)
LET q(2)=f(e)
LET q(3)=alfa
LET q(4)=d(e)
LET q(5)=dh
LET alfa=alfa
GO TO 630
620 LET h2=h(e)
LET uv=u(e)
LET wi=v(e)
GO TO 640
630 NEXT e
640 LET u=1.5
LET n=300
LET c1=h2-a
LET c2=d1
LET c3=d2
650 GO SUB 1870
660 LET alfa=alfa

```

```

670 LET ab=SQR((h2-a)^2+d1^2)
| LET xb=xa+SQR(ab^2-d1^2)
| LET xce2=xb-(l1-a)*COS alfaf+ d1/2*SIN alfaf
| LET yce2=d1/2-(l1-a)*SIN alfaf-d1/2*COS alfaf
680 LET yv2=yce2-w1
690 DIM x(100)
| DIM s(100)
| DIM u(100)
| DIM v(100)
| DIM n(100)
| DIM f(100)
700 DIM q(6)
| DIM h(100)
| DIM y(100)
| DIM r(6)
| DIM t(6)
| DIM w(6,6)
710 DIM d(100)
| DIM m(100)
| DIM a(6,6)
| DIM b(6,6)
720 LET q(1)=10
| LET q(2)=10
| LET q(3)=10
| LET q(4)=0.1
| LET q(5)=-.1
| LET q(6)=.001
730 FOR f=1TO 100
740 GO SUB 1980
750 LET f(f)=q(1)
| LET n(f)=q(2)
| LET m(f)=q(3)
| LET d(f)=q(4)
| LET dh=q(5)
| LET alfa=q(6)
760 IF i=1THEN LET y(1)=yce2+d(1)
| GO TO 780
770 LET y(f)=y(f-1)+d(f)
780 IF f=1THEN LET h(1)=h2+dh
| GO TO 800
790 LET h(f)=h(f-1)+dh
800 IF h(f)>=hmaxTHEN LPRINT "opreste insertia"
| STOP
810 LPRINT "f(";f;")=";f(f)
| LPRINT "n(";f;")=";n(f)
| LPRINT "d(";f;")=";d(f)
| LPRINT "dh=";dh
| LPRINT "alfa=";alfa
820 LET q(1)=f(f)
| LET q(2)=n(f)
| LET q(3)=d(f)
| LET q(4)=dh
| LET q(5)=alfa
| LET q(6)=alfa
830 NEXT f
840 STOP
850 FOR i=1TO n
| FOR j=1TO n
| | LET b(i,j)=(i=j)
| | NEXT j
| | NEXT i
|

```

```

160 LET det=1
170 FOR k=1 TO n
180 IF k=n THEN GO TO 980
190 LET imax=k
200 LET amax=ABS a(k,k)
210 FOR i=k+1 TO n
220 IF amax>=ABS a(i,k) THEN GO TO 920
230 LET imax=i
240 LET amax=ABS a(i,k)
250 NEXT i
260 IF imax=k THEN GO TO 980
270 FOR j=1 TO n
280 LET atemp=a(imax,j)
290 LET a(imax,j)=a(k,j)
300 LET a(k,j)=atemp
310 LET btmp=b(imax,j)
320 LET b(imax,j)=b(k,j)
330 LET b(k,j)=btmp
340 NEXT j
350 LET det=-det
360 IF ABS a(k,k)<1e-20 THEN LPRINT "matrice singulara"
370 LET det=a(k,k)*det
380 LET div=a(k,k)
390 FOR j=1 TO n
400 LET a(k,j)=a(k,j)/div
410 LET b(k,j)=b(k,j)/div
420 NEXT j
430 FOR i=1 TO n
440 LET amult=a(i,k)
450 IF i=k THEN GO TO 1050
460 FOR j=1 TO n
470 LET a(i,j)=a(i,j)-amult*a(k,j)
480 LET b(i,j)=b(i,j)-amult*b(k,j)
490 NEXT j
500 NEXT i
510 NEXT k
520 RETURN
530 REM ****
540 REM * calculul unei ecuatii transcidente de forma c1*SIN a+c2*COS a-c3*a=0 *
550 REM ****
560 LET n=15
570 FOR i=1 TO n
580 LET fx=C1*SIN a9+C2*alfa*SIN a9-C3*COS a9-C4*alfa*COS a9+C5*alfa-C6
590 LET fpx=(C1-C4)*COS a9+(C3+C2)*SIN a9+C2*alfa*COS a9+C4*alfa*SIN a9+C5
600 LET teta=alfa-fx/fpx
610 LET a8=teta
620 LET a9=f1+teta-psi
630 LET fx=C1*SIN a9+C2*a8*SIN a9-C3*COS a9-C4*a8*COS a9+C5*a8-C6
640 IF ABS (fx)>=.0000001 THEN GO TO 1190
650 LET alfa=teta
660 LPRINT "alfa=";alfa
670 LPRINT "i=";i
680 GO TO 1210
690 LET alfa=teta
700 LET a9=f1+alfa-psi
710 NEXT i
720 RETURN
730 REM ****

```

```

1230 REM * Program pentru rezolvarea sistemelor de ecuatii *
1240 REM *      neliniare prin metoda NEWTON          *
1250 REM ****
1260 REM ****
1270 REM *      q(n)-mat.aproxi.initile;p(n)-mat.valorilor   *
1280 REM *      functiilor;w(n*n)-mat.jacobiana;r(n)-matricea   *
1290 REM *      aproximatiei ulterioare;l-contor;m-iteratii   *
1300 REM ****
1310 FOR l=1TO 20
1320 GO SUB 1470
1330 LET n=5
1340 GO SUB 1590
1350 FOR i=1TO n
    FOR k=1TO n
        LET a(i,k)=w(i,k)
    NEXT k
NEXT i
1360 GO SUB 850
1370 DIM r(n)
1380 GO SUB 1800
1390 FOR i=1TO n
    IF ABS (q(i)/r(i)-1)<=.001 THEN GO TO 1410
1400 GO TO 1430
1410 NEXT i
1420 GO TO 1450
1430 FOR i=1TO n
    LET q(i)=r(i)
NEXT i
1440 NEXT l
1450 RETURN
1460 REM ****
1470 REM * Subprogram evaluare fuctii *
1480 REM ****
1490 IF e=1THEN LET p(1)=q(2)*COS beta+ky*(yv+q(4))*SIN beta-q(1)*SIN (psi+q(3))/COS psi+g
    GO TO 1510
1500 LET p(1)=+q(2)*COS beta+ky*(y(e-1)+q(4))*SIN beta+g-q(1)*SIN (psi+q(3))/COS psi
1510 IF e=1THEN LET p(2)=+q(2)*SIN beta-ky*(yv+q(4))*COS beta+q(1)*COS (psi+q(3))/COS psi
    GO TO 1530
1520 LET p(2)=+q(2)*SIN beta-ky*(y(e-1)+q(4))*COS beta+q(1)*COS (psi+q(3))/COS psi
1530 IF e=1THEN LET p(3)=q(1)*((l1-h1-q(5))-miu*d1/2)-kg*(alfaz-q(3))-g*(l1-12)*SIN q(3)
    GO TO 1550
1540 LET p(3)=q(1)*((l1-h(j-1)-q(5))-miu*d1/2)-kg*(alfaz-q(3))-g*(l1-12)*SIN q(3)
    GO TO 1550
1550 LET p(4)=q(5)*COS q(3)+(alfai-q(3))*d1/2+q(4)*SIN beta-u*COS beta
1560 LET p(5)=q(5)*q(3)+l1*(alfaz-q(3))-q(4)*COS beta-u*SIN beta
1570 RETURN
1580 REM ****
1590 REM * Subprogram pentru evaluare mat.jacobiana *
1600 REM ****
1610 LET w(1,1)=-SIN (psi+q(3))/COS psi
1620 LET w(1,2)=COS beta
1630 LET w(1,3)=q(1)*COS (psi+q(3))/COS psi
1640 LET w(1,4)=ky*SIN beta
    LET w(1,5)=0
1650 LET w(2,1)=COS (psi+q(3))/COS psi
    LET w(2,2)=SIN beta
1660 LET w(2,3)=-q(1)*SIN (psi+q(3))/COS psi
1670 LET w(2,4)=-ky*COS beta
    LET w(2,5)=0
1680 IF e=1THEN LET w(3,1)=l1-h1-q(5)-miu*d1/2
    GO TO 1700
    :

```

```

1690 LET w(3,1)=11-h(e-1)-q(5)-miu*d1/2
1700 LET w(3,2)=0
1710 LET w(3,3)=kg-g*(11-12)*COS q(3)
    LET w(3,4)=0
    LET w(3,5)=-q(1)
1720 LET w(4,1)=0
    LET w(4,2)=0
1730 LET w(4,3)=-q(5)+SIN q(3)-d1/2
1740 LET w(4,4)=SIN beta
    LET w(4,5)=COS q(3)
1750 LET w(5,1)=0
    LET w(5,2)=0
1760 LET w(5,3)=q(5)-11
1770 LET w(5,4)=-COS beta
    LET w(5,5)=q(3)
1780 RETURN
1790 REM *****
1800 REM * Subprogram pt.calculul matricii aproximatiei ulterioare *
1810 REM *****
1820 DIM t(n)
1830 FOR i=1TO n
    LET t(i)=0
    FOR k=1TO n
        LET t(i)=t(i)+b(i,k)*p(k)
    NEXT k
NEXT i
1840 FOR i=1TO n
    LET r(i)=q(i)-t(i)
NEXT i
1850 RETURN
1860 REM *****
1870 REM * Calculul unei ecuatii transcendentale de forma c1*SIN a+ c2*COS a+c3=0 *
1880 REM *****
1890 FOR i=1TO 20
1900 | LET x=alfa
1910 | GO SUB 2510
1920 | LET beta=alfa-fx/fpx
1930 | IF ABS (beta/alfa-1)>=.001 THEN GO TO 1960
1938 LET x=beta
1940 | GO SUB 2510
1948 | IF ABS (fx)>=.00001 THEN GO TO 1960
1950 LET alfa=beta
1960 | GO TO 1970
1968 LET alfa=beta
NEXT i
1970 RETURN
1980 FOR i=1TO 30
1990 | GO SUB 2110
2000 | GO SUB 2250
2010 | FOR k=1TO 6
    | | FOR l=1TO 6
        | | | LET a(i,k)=w(i,k)
    | | NEXT k
NEXT i
2020 | GO SUB 850
2030 | LET n=6
2040 | GO SUB 1800
2050 | FOR i=1TO n
    | | IF ABS (q(i)-1)<=.001 THEN GO TO 2070
    |

```

```

260>60 TO 2080
270 NEXT i
280 RETURN
290 NEXT-1
200 REM *****
210 REM * Evaluare functii *
2120 REM *****
230 IF f=1THEN LET p11=q(1)*COS beta+ky*(y(1)+q(4))*SIN beta
    LET p12=-miu*q(3)-q(2)*SIN (q(6)+psi)/COS psi+g
    LET p(1)=p11+p12
    GO TO 2150
2140 LET p(1)=q(1)*COS beta+ky*(y(f-1)+q(4))*SIN beta-miu*q(3)-q(2)*SIN (q(6)+psi)/COS psi+g
2150 IF f=1THEN LET p(2)=q(1)*SIN beta-ky*(y(1)+q(4))*COS beta-q(3)+q(2)*COS (q(6)+psi)/COS psi
    GO TO 2170
2160 LET p(2)=q(1)*SIN beta-ky*(y(f-1)+q(4))*COS beta-q(3)+q(2)*COS (q(6)+psi)/COS psi
2170 IF f=1THEN LET p31=q(3)*COS (q(6)+psi)/COS psi*(l1-a)
    LET p32=-q(3)*SIN (q(6)+psi)/COS psi*d1/2
    LET p33=-q(2)*(l1-h(1))-q(5)-miu*d1/2
    LET p34=kg*(alfaz-q(6))
    LET p(3)=p31+p32+p33+p34
    GO TO 2190
2180 LET p31=q(3)*COS (q(6)+psi)/COS psi*(l1-a)
    LET p32=-q(3)*SIN (q(6)+psi)/COS psi*d1/2-q(2)*(l1-h(f-1))-q(5)-miu*d1/2
    LET p33=kg*(alfaz-q(6))
    LET p(3)=p31+p32+p33
2190 IF f=1THEN LET p41=q(1)*(COS beta*d1/2-SIN beta*(l1-h(1)-q(5)))
    LET p42=kg*(alfaz-q(6))+q(3)*(COS (q(6)+psi)/COS psi*(h(1)+q(5)-a)-SIN (q(6)+psi)/COS psi*d1/2)
    LET p(4)=p41+p42
    GO TO 2210
2200 LET p41=q(1)*(COS beta*d1/2-SIN beta*(l1-h(f-1)-q(5)))
    LET p42=kg*(alfaz-q(6))+q(3)*(COS (q(6)+psi)/COS psi*(h(f-1)+q(5)-a)-SIN (q(6)+psi)/COS psi*d1/2)
    LET p(4)=p41+p42
2210 LET p(5)=u*SIN beta+q(4)*COS beta+(l1-a)*(q(6)-alfai)+d1/2*(COS q(6)-COS alfai)
2220 LET p(6)=u*COS beta-q(4)*SIN beta+d1/2*(q(6)-alfai-q(5))*COS q(6)
2230 RETURN
2240 REM *****
2250 REM * Evaluare matrice iacobiana *
2260 REM *****
2270 LET w(1,1)=COS beta
    LET w(1,2)=-SIN (q(6)+psi)/COS psi
2280 LET w(1,3)=-miu
    LET w(1,4)=ky*SIN beta
2290 LET w(1,5)=0
    LET w(1,6)=-q(2)*COS (q(6)+psi)/COS psi
2300 LET w(2,1)=SIN beta
    LET w(2,2)=COS (q(6)+psi)/COS psi
2310 LET w(2,3)=-1
    LET w(2,4)=-ky*COS beta
2320 LET w(2,5)=0
    LET w(2,6)=-q(2)*SIN (q(6)+psi)/COS psi
    LET w(3,1)=0
2330 IF f=1THEN LET w(3,2)=l1-h(1)-q(5)-miu*d1/2
    GO TO 2350
2340 LET w(3,2)=l1-h(f-1)-q(5)-miu*d1/2
2350 LET w(3,3)=COS (q(6)+psi)/COS psi*(l1-a)-SIN (q(6)+psi)/COS psi*d1/2
2360 LET w(3,4)=0
    LET w(3,5)=q(2)
2370 LET w(3,6)=-q(3)*(SIN (q(6)+psi)/COS psi+(l1-a)+COS (q(6)+psi)/COS psi*d1/2)-kg
2380 IF f=1THEN LET w(4,1)=COS beta*d1/2-SIN beta*(l1-h(1)-q(5))
    GO TO 2400

```

```

2390 LET w(4,1)=COS beta*d1/2-SIN beta*(l1-h(f-1)-q(5))
2400 LET w(4,2)=0
2410 IF f=1 THEN LET w(4,3)=COS (q(6)+psi)/COS psi*(h(1)+q(5)-a)-SIN (q(6)+psi)/COS psi*d1/2
    GO TO 2430
2420 LET w(4,3)=COS (q(6)+psi)/COS psi*(h(f-1)+q(5)-a)-SIN (q(6)+psi)/COS psi*d1/2
2430 LET w(4,4)=0
    LET w(4,5)=SIN beta*q(1)+q(3)*COS (q(6)+psi)/COS psi
2440 IF f=1 THEN LET w461=(SIN (q(6)+psi)/COS psi*(h(1)+q(5)-a)+COS (q(6)+psi)/COS psi*d1/2)
    LET w(4,6)=-q(3)*w461-kg
    GO TO 2460
2450 LET w(4,6)=-q(3)*(SIN (q(6)+psi)/COS psi*(h(f-1)+q(5)-a)+COS (q(6)+psi)/COS psi*d1/2)-kg
2460 LET w(5,1)=0
    LET w(5,2)=0
    LET w(5,3)=0
    LET w(5,4)=COS beta
    LET w(5,5)=0
    LET w(5,6)=l1-a-d1/2*SIN q(6)
2470 LET w(6,1)=0
    LET w(6,2)=0
    LET w(6,3)=0
    LET w(6,4)=-SIN beta
2480 LET w(6,5)=-COS q(5)
    LET w(6,6)=d1/2+q(5)*SIN q(6)
2490 RETURN
2500 REM ****
2510 REM * Evaluare functii fx si fpx *
2520 REM ****
2530 LET fx=c1*SIN x+c2*COS x-c3
    LET fpx=c1*COS x-c2*SIN x
2540 RETURN

```

```

10 REM ****
20 REM *      OPTIM 2      *
30 REM ****
40 REM
50 REM PROGRAMUL PERMITE OPTIMIZAREA "MCCE" DIN
60 REM PUNCTUL DE VEDERE AL RIGIDITATILOR.
70 REM SE UTILIZEAZA SUBPROGRAMUL "MODELINS" PENTRU
80 REM MODELAREA INSERTIEI STIFT-ALEZAJ
90 REM FUNCTIA OBIECTIV:LUCRUL MECANIC AL FORTELOR
100 REM DE FRECARE - MINIM
110 REM
120 DIM A(1,3)
130 INPUT "KYMIN="; KYMIN: INPUT "Kymax="; Kymax
140 INPUT "Ktmin="; Ktmin: INPUT "Ktmax="; Ktmax
150 INPUT "dky="; Dky: INPUT "dkt="; Dkt
160 INPUT "ds="; DS: INPUT "smax="; Smax
170 Lmin=0
180 L=0
190 FOR KY=KYMIN TO Kymax STEP Dky
200   FOR KT=Ktmin TO Ktmax STEP Dkt
210     FOR S=0 TO Smax STEP DS
220       GOSUB 360
230       L=L+MIU*N*DS
240     NEXT S
250     IF LMIN <=L THEN GOTO 300
260     LMIN=L
270     A(1,1)=LMIN
280     A(1,2)=KY
290     A(1,3)=KT
300   NEXT KT
310 NEXT KY
320 FOR I=1 TO 3
330   LPRINT "A(1,"I")="; A(1,I)
340 NEXT I
350 STOP
360 REM
370 REM "MODELINS"--SUBPROGRAM PENTRU MODELAREA INSERTIEI
380 REM

```

```

5>LPRINT CHR$ (27);"0";
10 REM ****CALCULUL ELEMENTELOR GEOMETRICE ALE MOCÉE*
20 REM *CALCULUL ELEMENTELOR GEOMETRICE ALE MOCÉE*
30 REM *          MECEL          *
40 REM ****CALCULUL ELEMENTELOR GEOMETRICE ALE MOCÉE*
50 DIM K(3)
    DIM Q(3)
    DIM W(3,3)
    DIM V(3,3)
    DIM C(3)
    DIM R(3)
60 REM "PROGRAM DE REZOLVARE A SISTEMULUI PRIN METODA NEWTON"
70 INPUT "Kx0=";Kx0,"Ky0=";KY0,"KB0=";KB0
80 INPUT "n=";n,"R=";R,"EPS=";EPS,"E=";E,"G=";G
90 INPUT "SE DA APROXIMATIA INITIALA d0,i0,s0";Q(1),Q(2),Q(3)
100 LET d=Q(1)
    LET i=Q(2)
    LET s=q(3)
110 LET h=(1/2)*(COS s)+R/(TAN s)
120 GO SUB 240
130 GO SUB 360
140 GO SUB 720
150 GO SUB 860
160 GO SUB 900
170 PRINT "k(1)(";k(1),"k(2)(";k(2),"k(3)(";k(3)
180 FOR i=1TO 3
190 IF ABS (R(i)-Q(i))>EPS THEN LET d=R(1)
    LET i=R(2)
    LET s=R(3)
    PRINT d,i,s
    LET Q(1)=R(1)
    LET Q(2)=R(2)
    LET Q(3)=R(3)
    GO TO 110
200 NEXT i
210 LET d=R(1)
    LET i=R(2)
    LET s=R(3)
220 PRINT "DIAMETRUL ESTE d= ";d
    PRINT
    PRINT "UNGHIUL ESTE s= ";s
    PRINT
    PRINT "LUNGIMEA ESTE l= ";l
    PRINT
    PRINT "PRECIZIA CALCULELOR A FOST EPSILON= ";EPS
230 STOP
240 LET k1=(COS s)*(COS s)+(3*d*d*(SIN s)*(SIN s))/(4*i*i)
250 LET k2=n*PI*d*d*E/(4*i)
260 LET K(1)=-KX0+k2*k1
270 LET k3=(SIN s)*(SIN s)+(3*d*d*((COS s)*(COS s)+1))/(4*i*i)
280 LET K(2)=-KY0+k2*k3/2
290 LET w8=3*PI*d*d*d*d*E/(16*i*i*i)
300 LET w9=h*TAN s
310 LET A=w9*w8*(1+k1)/k3
320 LET w10=(PI*d*d*d*d*G*(SIN s)*(SIN s))/(32*i)
330 LET w11=((PI*d*d*d*d*E)*((COS s)*(COS s)+1))/(64*i)
340 LET K(3)=-KB0+(n/2)*(A+w10+w11)
350 RETURN
360 LET w2=(COS s)*(COS s)+(3*d*d*(SIN s)*(SIN s))/(2*i*i)
370 LET w1=n*PI*d*E/(2*i)

```

```

380>LET W(1,1)=w1*w2
390 LET w3=(COS s)*(COS s)+(9*d*d*(SIN s)*(SIN s))/(4*l*l)
400 LET W(1,2)=-k2*w3/1
410 LET w5=(3*d*d)/(4*l*l)-1
420 LET w4=SIN s*COS s
430 LET W(1,3)=2*k2*w4*w5
440 LET w6=(SIN s)*(SIN s)+(3*d*d*((COS s)*(COS s)+1))/(2*l*l)
450 LET W(2,1)=w1*w6/2
460 LET w7=(SIN s)*(SIN s)+(9*d*d*((COS s)*(COS s)+1))/(4*l*l)
470 LET W(2,2)=-k2*w7/(2*l)
480 LET W(2,3)=-k2*w4*w5
490 LET w13=w8*(1+k1)*3*d*(1+COS s*COS s)/(2*l*l)
500 LET w141=3*PI*d*d*d*E*(1+k1)/(4*l*l)
510 LET w142=w8*3*d*SIN s*SIN s/(2*l*l)
520 LET w14=w141+w142
530 LET w12=w9*w9*(w14*k3-w13)/(k3*k3)
540 LET W(3,1)=n*(w12+4*w10/d+4*w11/d)/2
550 LET w151=9*PI*d*d*d*d*E*(1+k1)/(16*l*l*l)
560 LET w152=3*w8*d*d*SIN s*SIN s/(2*l*l*l)
570 LET w15=w151+w152
580 LET w16=h*COS s*TAN s*TAN s*w8*(1+k1)/k3
590 LET w162=w9*w9*(w14-w15)/(k3*k3)
600 LET w16=w161+w162
610 LET w321=G*SIN s*SIN s+E/2*(COS s*COS s+1)
620 LET W(3,2)=n*(w16-PI*d*d*d*d*w321/(32*l*l))/2
630 LET w18=SIN s*COS s*PI*d*d*d*d*(G-E/2)/(16*l)
640 LET w191=-1*SIN s*TAN s/2
650 LET w192=R/(SIN s*COS s)+h/(COS s*COS s)
660 LET w19=w191+w192
670 LET w20=2*h*TAN s*w8*(1+k1)/k3
680 LET w21=2*w8*SIN s*COS s*(3*d*d/(4*l*l)-1)
690 LET w17=w20*w19+w21*(k3+k1+1)/(k3*k3)
700 LET W(3,3)=n*(w17+w18)/2
710 RETURN
720 LET DETW1=(W(2,2)*W(3,3)-W(2,3)*W(3,2))*W(1,1)
730 LET DETW2=-(W(2,1)*W(3,3)-W(2,3)*W(3,1))*W(1,2)
740 LET DETW3=(W(2,1)*W(3,2)-W(2,2)*W(3,1))*W(1,3)
750 LET DETW=DETW1+DETW2+DETW3
760 LET V(1,1)=(1/DETW)*(W(2,2)*W(3,3)-W(2,3)*W(3,2))
770 LET V(1,2)=-(1/DETW)*(W(1,2)*W(3,3)-W(1,3)*W(3,2))
780 LET V(1,3)=(1/DETW)*(W(1,2)*W(2,3)-W(1,3)*W(2,2))
790 LET V(2,1)=-(1/DETW)*(W(2,1)*W(3,3)-W(2,3)*W(3,1))
800 LET V(2,2)=(1/DETW)*(W(1,1)*W(3,3)-W(1,3)*W(3,1))
810 LET V(2,3)=-(1/DETW)*(W(1,1)*W(2,3)-W(1,3)*W(2,1))
820 LET V(3,1)=(1/DETW)*(W(2,1)*W(3,2)-W(3,1)*W(2,2))
830 LET V(3,2)=-(1/DETW)*(W(1,1)*W(3,2)-W(1,2)*W(3,1))
840 LET V(3,3)=(1/DETW)*(W(1,1)*W(2,2)-W(1,2)*W(2,1))
850 RETURN
860 LET C(1)=v(1,1)*K(1)+v(1,2)*K(2)+v(1,3)*K(3)
870 LET C(2)=v(2,1)*K(1)+v(2,2)*K(2)+v(2,3)*K(3)
880 LET C(3)=v(3,1)*K(1)+v(3,2)*K(2)+v(3,3)*K(3)
890 RETURN
900 LET R(1)=Q(1)-C(1)
910 LET R(2)=Q(2)-C(2)
920 LET R(3)=Q(3)-C(3)
930 RETURN

```

```

0 REM ****
0 REM *      OPTIM 3      *
0 REM ****
0 REM
0 REM PROGRAMUL PERMITE OPTIMIZAREA CONSTRUCTIVA A UNUI
0 REM MCCE PE BAZA FUNCTIEI OBIECTIV - VOLUM MINIM
0 REM SE UTILIZEAZA SUBPROGRAMUL "MECELAS" PENTRU
0 REM CALCULUL ELEMENTELOR GEOMETRICE ALE MCCE
0 REM
.00 DIM K(3):DIM Q(3):DIM W(3,3):DIM V(3,3):DIM C(3)
.10 DIM R(3):DIM A(4,1)
.20 PI=3.14
.30 INPUT "RMIN=";RMIN:INPUT "RMAX=";RMAX
.40 INPUT "DR=";DR
.50 INPUT "DMIN=";DMIN
.60 INPUT "DMAX=";DMAX
.70 INPUT "LMIN=";LMIN
.80 INPUT "LMAX=";LMAX
.90 INPUT "TMIN=";TMIN
.00 INPUT "TMAX=";TMAX
.10 VMAX=1E+07
.20 FOR R=RMIN TO RMAX STEP DR
.30     GOSUB 410
.40     IF D<DMIN THEN GOTO 360
.50     IF D>DMAX THEN GOTO 360
.60     IF L<LMIN THEN GOTO 360
.70     IF L>LMAX THEN GOTO 360
.80     IF T<TMIN THEN GOTO 360
.90     IF T>TMAX THEN GOTO 360
.00     V1=PI*L*COS T *[(R+L*SIN T)*(R+L*SIN T)]
.10     V2=R*R + R*(R+L*SIN T)]/3
.20     V=V1+V2
.30     IF V > VMAX THEN GOTO 360
.40     A(1,1)=R:A(1,2)=D
.50     A(1,3)=L:A(1,4)=T
.60 NEXT R
.70 FOR I=1 TO 4
.80     LPRINT "A(1,"I")=";A(1,I)
.90 NEXT I
.00 STOP
.10 REM
.20 REM "MECELAS"-SUBPROGRAM PENTRU CALCUL
.30 REM DE DIENSIIONARE A MCCE
.40 REM

```

```

10 REM ****
20 REM * PROGRAM PENTRU CALCULUL UNUI MECANISM MCCE PRIN METODA *
30 REM * ELEMENTELOR FINITE *
40 REM ****
50 PRINT "*****"
      *****
60 LPRINT "*****"
      *****
70 PRINT "* CARACTERISTICILE DE STRUCTURA SI MATERIALE
      ALE MCCE *"
80 LPRINT "* CARACTERISTICILE DE STRUCTURA SI MATERIALE
      ALE MCCE *"
90 PRINT "*****"
      *****
100 LPRINT "*****"
      *****
110 PRINT "Manivela si balansierul elastic de sectiune:
      rotunda-cs=1"
120 LPRINT "Manivela si balansierul elastic de sectiune:
      rotunda-cs=1"
130 PRINT "dreptunghiulara-cs=0"
140 LPRINT "dreptunghiulara-cs=0"
150 INPUT "cs=";CS
160 LPRINT "cs=";CS
170 IF CS=0 THEN GOTO 190
180 GOTO 290
190 INPUT "B1=";B1
200 PRINT "B1=";B1
210 LPRINT "B1=";B1;"[mm]"
220 INPUT "H1=";H1
230 PRINT "H1=";H1
240 LPRINT "H1=";H1;"[mm]"
250 I1=B1*H1*H1*H1/12 : PRINT "I1=";I1:LPRINT "I1=";I1;"[mm4]"
260 A1=B1*H1 : PRINT "A1=";A1:LPRINT "A1=";A1;"[mm2]"
270 INPUT "E1=";E1 : PRINT "E1=";E1:LPRINT "E1=";E1;"[N/mm2]"
280 GOTO 340
290 INPUT "D=";D : PRINT "D=";D:LPRINT "D=";D;"[mm]"
300 PI=3.14
310 I2=PI*D*D*D*D/64 : PRINT "I2=";I2 :LPRINT "I2=";I2 ;"[mm4]"
320 A2=PI*D*D/4 : PRINT "A2=";A2 :LPRINT "A2=";A2;"[mm2]"

```

```

330 INPUT "E2=";E2 :PRINT "E2=";E2:LPRINT "E2=";E2;"[N/mm2]"
340 INPUT "B3=";B3 :PRINT "B3=";B3:LPRINT "B3=";B3;"[mm]"
350 INPUT "H3=";H3 :PRINT "H3=";H3
360 LPRINT "H3=";H3;"[mm]"
370 I3=B3*H3*H3*H3/12 : PRINT "I3=";I3
380 LPRINT "I3=";I3;"[mm4]"
390 A3=B3*H3 :PRINT "A3=";A3
400 LPRINT "A3=";A3;"[mm2]"
410 INPUT "E3=";E3 :PRINT "E3=";E3
420 LPRINT "E3=";E3;"[N/mm]"
430 INPUT "L3=";L3
440 LPRINT "L3=";L3;"[mm]"
450 INPUT "FO=";FO
460 LPRINT "FO=";FO;"[N]"
470 INPUT "BR=";BR
480 LPRINT "BR=";BR;"[mm]"
490 INPUT "G=";G
500 LPRINT "G=";G;"[N]"
510 PRINT "NUMARUL ELEMENTELOR FINITE PE MANIVELA/
          BALANSIER NE="
520 LPRINT "NUMARUL ELEMENTELOR FINITE PE MANIVELA/
          BALANSIER NE="
530 INPUT "NE=";NE
540 LPRINT "NE=";NE
550 T=6*NE
560 DIM K(T,T):DIM D(T,1):DIM P(T,1):DIM E(T,T):DIM X(T,1)
570 DIM A(6,6):DIM B(T,2*T):DIM T(6,6):DIM C(6,6)
580 DIM R(6,6):DIM G(6,6):DIM O(6,6):DIM Q(6,6):DIM F(4*NE+4)
590 DIM H(6,1):DIM L(6,1):DIM S(T,1):DIM Z(T,1):DIM V(T,1)
600 DIM N(T,1):DIM M(6,1)
610 REM
620 REM INTRODUCEREA COORDONATELOR GLOBALE ALE NODURILOR
630 REM
640 FOR I=1 TO 4*NE+4
650 PRINT "F(";I;")=":INPUT F(I)
660 NEXT I
670 FOR I= 1 TO 2*NE+1
680 GOSUB 870
690 IF I=NE+1 THEN GOTO 720
700 A=A1:Y=11:E=E1

```

```

710 GOTO 730
720 A=A3:Y=I3:E=E3:L=L3
730 GOSUB 980
740 GOSUB 1060
750 GOSUB 1130
760 GOSUB 1220
770 GOSUB 1410
780 NEXT I
790 GOSUB 1670
800 GOSUB 1730
810 GOSUB 2160
820 FOR I=1 TO T
830 PRINT "D("I",1)(";D(I,1)
840 LPRINT "D("I",1)(";D(I,1)
850 NEXT I
860 STOP
870 REM CALCULUL LUNGIMII ELEMENTULUI FINIT
880 IF I=1 THEN LET X1=0:Y1=0:GOTO 910
890 X1=F(2*I-1)+D(3*I-5,1):Y1=F(2*I)+D(3*I-4,1)
900 IF I=2*NE+1 THEN LET X2=F(4*NE+3):Y2=F(4*NE+4):GOTO 920
910 X2=F(2*I+1)+D(3*I-2,1):Y2=F(2*I+2)+D(3*I-1,1)
920 L=SQR((X2-X1)*(X2-X1)+(Y2-Y1)*(Y2-Y1))
930 IF I=1 THEN LET U1=0:V1=0:T1=0:GOTO 950
940 U1=D(3*I-5,1):V1=D(3*I-4,1):T1=D(3*I-3,1)
950 IF I=2*NE+1 THEN LET V2=0:U2=0:T2=0:GOTO 970
960 U2=D(3*I-2,1):V2=D(3*I-1,1):T2=D(3*I,1)
970 RETURN
980 REM CALCULUL MATRICII DE RIGIDITATE ELASTICA
990 R(1,1)=E*A/L:R(1,4)=-R(1,1):R(2,2)=12*E*Y/L/L/L:
      R(2,3)=6*E*Y/L/L
1000 R(2,5)=-R(2,2):R(2,6)=R(2,3):R(3,3)=4*E*Y/L:
      R(3,5)=-R(2,3):R(3,6)=2*E*Y/L
1010 R(4,4)=R(1,1):R(5,5)=R(2,2):R(5,6)=-R(2,3):R(6,6)=R(3,3)
1020 FOR J=1 TO 6:FOR K=1 TO 6
1030 R(K,J)=R(J,K)
1040 NEXT K:NEXT J
1050 RETURN
1060 REM CALCULUL MATRICII IN SISTEMUL LOCAL
1070 FOR J= 1 TO 6
1080     FOR K=1 TO 6

```

```

1090           T(J,K)=R(J,K)+G(J,K)
1100   NEXT K
1110 NEXT J
1120 RETURN
1130 REM
1140 REM CALCULUL MATRICII DE ROTATIE
1150 REM
1160 CG=(X2-X1)/L:SG=(Y2-Y1)/L
1170 O(1,1)=CG:O(1,2)=SG:O(2,1)=-SG:O(2,2)=CG:
    O(3,3)=1:O(4,4)=CG
1180 O(4,5)=SG:O(5,4)=-SG:O(5,5)=CG:O(6,6)=1
1190 Q(1,1)=CG:Q(1,2)=-SG:Q(2,1)=SG:Q(2,2)=CG:
    Q(3,3)=1:Q(4,4)=CG
1200 Q(4,5)=-SG:Q(5,4)=SG:Q(5,5)=CG:Q(6,6)=1
1210 RETURN
1220 REM CALCULUL MATRICII DE RIGIDITATE IN SISTEMUL GLOBAL
1230 REM
1240 FOR J=1 TO 6
1250   FOR K=1 TO 6
1260 A(J,K)=0
1270   FOR Q=1 TO 6
1280     A(J,K)=A(J,K)+Q(J,Q)*T(Q,K)
1290   NEXT Q
1300   NEXT K
1310 NEXT J
1320 FOR J=1 TO 6
1330   FOR K=1 TO 6
1340 C(J,K)=0
1350   FOR Q=1 TO 6
1360     C(J,K)=C(J,K)+A(J,Q)*O(Q,K)
1370   NEXT Q
1380   NEXT K
1390 NEXT J
1400 RETURN
1410 REM
1420 REM ASAMBLAREA MATRICII GENERALE
1430 REM
1440 IF I>1 THEN GOTO 1510
1450 FOR M=1 TO 3
1460   FOR N=1 TO 3

```

```

1470      K(M,N)=C(M+3,N+3)
1480      NEXT N
1490 NEXT M
1500 GOTO 1660
1510 IF I=2*NE+1 THEN GOTO 1610
1520 O=1
1530 FOR M=3*I-5 TO 3*I
1540      FOR N=3*I-5 TO 3*I
1550          X=N-M+O
1560          K(M,N)=K(M,N)+C(O,X)
1570      NEXT N
1580      O=O+1
1590 NEXT M
1600 GOTO 1660
1610 FOR J=1 TO 3
1620      FOR K=1 TO 3
1630          K(6*NE-3+J,6*NE-3+K)=K(6*NE-3+J,6*NE-3+K)+C(J,K)
1640      NEXT K
1650 NEXT J
1660 RETURN
1670 REM
1680 REM CALCULUL INCARCARILOR IN NODURI
1690 REM
1700 P(3*NE-2,1)=F0/2:P(3*NE-1,1)=3*F0*BR/2/L3-G/2:
     P(3*NE,1)=F0*BR/4-G*L3/8
1710 P(3*NE+1,1)=F0/2:P(3*NE+2,1)=-3*F0*BR/2/L3-G/2:
     P(3*NE+3,1)=F0*BR/4+G*L3/8
1720 RETURN
1730 REM
1740 REM INVERSAREA MATRICII DE RIGIDITATE
1750 REM
1760 FOR J=1 TO T
1770      FOR K=1 TO T
1780          E(J,K)=K(J,K):B(J,K+T)=0:B(J,K)=E(J,K)
1790      NEXT K
1800 B(J,J+T)=1
1810 NEXT J
1820 FOR K=1 TO T
1830 IF K=T THEN GOTO 1940
1840 M=K

```

```

1850 FOR I=K+1 TO T
1860      IF ABS(B(I,K))>ABS(B(M,K)) THEN LET M=I
1870 NEXT I
1880 IF M=K THEN GOTO 1940
1890 FOR J=K TO 2*T
1900      BE=B(K,J)
1910      B(K,J)=B(M,J)
1920      B(M,J)=BE
1930 NEXT J
1940 FOR J=K+1 TO 2*T
1950 B(K,J)=B(K,J)/B(K,K)
1960 NEXT J
1970 IF K=1 THEN GOTO 2040
1980 FOR I=1 TO K-1
1990      FOR J=K+1 TO 2*T
2000          B(I,J)=B(I,J)-B(I,K)*B(K,J)
2010      NEXT J
2020 NEXT I
2030 IF K=N THEN GOTO 2090
2040 FOR I=K+1 TO T
2050      FOR J=K+1 TO 2*T
2060          B(I,J)=B(I,J)-B(I,K)*B(K,J)
2070      NEXT J
2080 NEXT I
2090 NEXT K
2100 FOR I=1 TO T
2110      FOR J=1 TO T
2120          B(I,J)=B(I,J+T)
2130      NEXT J
2140 NEXT I
2150 RETURN
2160 FOR I=1 TO T
2170      D(I,1)=0
2180      FOR J=1 TO T
2190          D(I,1)=D(I,1)+B(I,J)*P(J,1)
2200      NEXT J
2210 NEXT I
2220 RETURN

```

```
*****
* CARACTERISTICILE DE STRUCTURA SI MATERIALE ALE MCCE *
*****
Manivelă și balansierul elastic de secțiune: rotunda-cs=1
dreptunghiulară-cs=0
cs= 0
B1= 10 [mm]
H1= .55 [mm]
I1= .1386458 [mm⁴]
A1= 5.5 [mm²]
E1= 210000 [N/mm²]
B3= 30 [mm]
H3= 20 [mm]
I3= .20000 [mm⁴]
A3= 600 [mm²]
E3= 70000 [N/mm]
L3= 78 [mm]
F0= 1.22 [N]
BR= 200 [mm]
G= 0 [N]
NUMARUL ELEMENTELOR FINITE PE MANIVELA/BALANSIER NE=
NE= 2
D( 1 ,1)= .385417
D( 2 ,1)= 1.225819E-04
D( 3 ,1)=-1.521457E-02
D( 4 ,1)= .7709466
D( 5 ,1)= 2.451639E-04
D( 6 ,1)=-5.936257E-06
D( 7 ,1)= .7709468
D( 8 ,1)=-2.451639E-04
D( 9 ,1)=-5.936256E-06
D( 10 ,1)= .3854169
D( 11 ,1)=-1.225819E-04
D( 12 ,1)=-1.521457E-02
```

```

10 REM *****
20 REM * ALEGEREA VARIANTEI OPTIME DEFINIRI
30 REM *****
40 REM
50 REM DATE DE INTRARE
60 REM
70 INPUT "INTRODUCETI DIMENSIUNEA MATRICII"
80 DIM B(N,N):DIM Y(N,1):DIM X(1,N):DIM A(1,N)
90 DIM C(M,N):DIM I(N,N):DIM T(N,N):DIM R(1,M)
100 PRINT "INTRODUCETI MATRICEA IMPORTANTELOR RELATIVE"
110 FOR I=1 TO N
120     FOR J=1 TO N
130         INPUT "(B(";I;",";J;")=");B(I,J)
140         C(I,J)=B(I,J)
150     NEXT J
160 NEXT I
170 PRINT "INTRODUCETI COEF. ERGARE PT. VALOAREA PROPRIIE"
180 INPUT "EPSILON=";EPSILON
190 REM
200 REM CALCULUL VALORII PROPIII MAXIME
210 REM
220 FOR I=1 TO N
230     Y(I,1)=1
240 NEXT
250 L0=1
260 FOR K=1 TO 10
270 FOR I=1 TO N
280     X(1,I)=0
290         FOR J=1 TO N
300             X(I,J)=X(I,J)+B(I,J)*Y(J,1)
310         NEXT J
320 NEXT I
330 PRINT "MATRICEA X"
340 FOR I=1 TO N
350     PRINT "X(1,";I;")=";X(1,I)
360 NEXT I
370 L1=0
380 FOR I=1 TO N
390     L1=L1+X(I,I)*X(I,I)
400 NEXT I

```

```

410 L1=L1/N
420 PRINT "LO=";LO,"L1=";L1,"L1-LO=";L1-LO
430 IF ABS (L1-LO)<=EPSILON THEN GOTO 460
440 LO=L1
450 FOR I=1 TO N
460     Y(I,1)=X(I,1)
470 NEXT I
480 NEXT K
490 PRINT "VALOAREA PROPRIE MAXIMA L1=";L1
500 IF K>=10 THEN PRINT "APPROXIMARE INcorecta"
510 IF K>=10 STOP
520 FOR I=1 TO N
530     FOR J=1 TO N
540         A(I,J)=B(I,J)
550     NEXT J
560 NEXT I
570 FOR I=1 TO N
580     FOR J=1 TO N
590         IF I=J THEN L1T(I,J)=1
600     NEXT J
610 NEXT I
620 FOR I=1 TO N
630     FOR J=1 TO N
640         T(I,J)=-L1*I(I,J)
650         A(I,J)=A(I,J)+T(I,J)
660     NEXT J
670 NEXT I
680 FOR I=1 TO N
690     A(I,I)=1
700 NEXT I
710 PRINT "MATRICEA A"
720 FOR I=1 TO N
730     FOR J=1 TO N
740         PRINT "A(";I;" ";";J;" ");A(I,J)
750     NEXT J
760 NEXT I
770 FOR I= 1 TO N
780     Y(I,1)=0
790 NEXT I
800 Y(I,1)=1

```

```

810 REM
820 REM REZOLVAREA SISTEMULUI DE ECUATII LINIARE
830 REM
840 FOR I=1 TO N
850     FOR J=1 TO N
860         B(I,J)=A(I,J)
870     NEXT J
880 NEXT I
890 GOSUB 2000
900 DIM Z(N,1):DIM P(N,1)
910 FOR I=1 TO N
920     Z(I,1)=0
930     FOR J=1 TO N
940         Z(I,J)=Z(I,1)+B(I,J)*Y(J,1)
950     NEXT J
960 NEXT I
970 PRINT "MATRICEA COEFICIENTILOR DE IMPORTANTA"
980 FOR I=1 TO N
990     P(I,1)=Z(I,1)
1000 PRINT "P(";I;")";P(I,1)
1010 NEXT I
1020 REM
1030 REM CALCULUL MATRICII NORMALIZATE
1040 REM
1050 INPUT "NUMARUL DE VARIANTE M=";M
1060 PRINT "INTRODUCETI MATRICEA CONSEGINTELR C"
1070 FOR I=1 TO M
1080     FOR J=1 TO N
1090         INPUT ("C(";I;",";J;")=";C(I,J))
1100     NEXT J
1110 NEXT I
1120 FOR J=1 TO N
1130     SUMN=0
1140     FOR I=1 TO M
1150         SUMN=SUMN+C(I,J)*C(I,J)
1160     NEXT I
1170     FOR I=1 TO M
1180         R(I,J)=C(I,J)/SGN(SUMN)
1190         PRINT "R(";I;",";J;")=";R(I,J)
1200     NEXT I

```

```

1210 NEXT J
1220 REM
1230 REM CALCULUL MATRICII PONDERATE
1240 REM
1250 DIM V(M,N):DIM K(N):DIM Q(N):DIM W(N)
1260 FOR I=1 TO M
1270     FOR J=1 TO N
1280         V(I,J)=R(I,J)*P(J,1)
1290         PRINT "V(";I;",";J;")=";V(I,J)
1300     NEXT J
1310 NEXT I
1320 REM
1330 REM MATRICEA CRITERIILOR
1340 REM
1350 REM K(I)=1 DACA K ESTE MAX.
1360 REM K(I)=0 DACA K ESTE MIN.
1370 FOR I=1 TO N
1380     INPUT "K(";I;")";K(I)
1390 NEXT
1400 REM
1410 REM CALCULUL SOLUȚIILOR IDEALE
1420 REM
1430 FOR J=1 TO N
1440     A=V(1,J)
1450     B=V(1,J)
1460     FOR I=2 TO M
1470         IF V(I,J)>A THEN LET A=V(I,J)
1480         IF V(I,J)<B THEN LET B=V(I,J)
1490     NEXT I
1500     IF K(J)=1 THEN LET Q(J)=B:W(J)=A:GOTO 1520
1510     Q(J)=A:W(J)=B
1520 NEXT J
1530 PRINT "SOLUTIA IDEALA"
1540 FOR J=1 TO N
1550     PRINT "W(";J;")=";W(J)
1560 NEXT J
1570 PRINT "SOLUTIA IDEALA NEGATIVA"
1580 FOR J=1 TO N
1590     PRINT "Q(";J;")=";Q(J)
1600 NEXT J

```

```

1610 REM
1620 REM CALCULUL DISTANTEI DIN TREI SOLUTII
1630 REM
1640 DIM E(M):DIM F(M):DIM G(M)
1650 FOR I=1 TO M
1660     S1=0:S2=0
1670     FOR J=1 TO N
1680             S1=S1+(V(I,J)-W(J))*(V(I,J)-W(J))
1690             S2=S2+(V(I,J)-Q(J))*(V(I,J)-Q(J))
1700     NEXT J
1710     E(I)=SQR(S1):F(I)=SQR(S2)
1720     PRINT "E("; I; ")="; E(I)
1730     PRINT "F("; I; ")="; F(I)
1740 NEXT I
1750 REM
1760 REM APROPIEREA RELATIVA DE SOLUTIA IDEALA
1770
1780     I=1 TO M
1790     Q(I)=F(I)/SQR(E(I)+F(I))
1800     PRINT "Q("; I; ")="; Q(I)
1810 NEXT I
1820 REM
1830 FOR I=1
1840     FOR J=1 TO M
1850         B(I,J):=Q(I)*Q(J)
1860     NEXT J
1870     IF k=N THEN GOTO 2230
1880     IMAX:=A(1,1):AMIN:=A(1,1)
1890     FOR J=2 TO N
1900             AMAX:=MAX(A(J,1),AMAX)
1910             AMIN:=MIN(A(J,1),AMIN)
1920     NEXT J
1930     IF IMAX=AMAX THEN GOTO 2230
1940     FOR J=1 TO N
1950             ATEMP:=IMAX,J)
1960             A(I,IMAX,J):=ATEMP,J)
1970             A(I,J):=ATEMP,J)
1980

```

```

2180          BTMP=B(1MAX,j)
2190          B(I MAX,j)=B(k,j)
2200          B(k,j)=BTMP
2210          NEXT j
2220          DET=-DET
2230          IF ABS(A(K,K))<9.99999E-21 THEN PRINT "MATRICE SINGULARE"
2240          DET=A(K,K)*DET; DIV=A(K,K)
2250          FOR j=1 TO N
2260                  A(K,j)=A(K,j)/DIV
2270                  B(K,j)=B(K,j)/DIV
2280          NEXT j
2290          FOR I=1 TO N
2300                  AMULT=A(I,K)
2310                  IF I=K THEN GOTO 2350
2320                  FOR J=1 TO N
2330                  A(I,j)=A(I,j)-AMULT*A(K,j)
2340                  B(I,j)=B(I,j)-AMULT*B(K,j)
2350          NEXT I
2360          NEXT j
2370          NEXT K
2380          RETURN

```

```

10 REM *****
20 REM * PROGRAM PENTRU REGRESIE NELINIARA MULTIPLE
30 REM *****
40 PRINT "CARE ESTE NUMARUL M A PUNCTELOR?"
50 INPUT M
60 PRINT "CARE ESTE GRADUL N A POLINOMULUI?"
70 INPUT N
80 DIM X(M),Y(M),Z(N,N+1),D(N+1),A(M,M)
90 DIM B(M,2*M),C(M,M)
100 FOR I=1 TO M
110 PRINT I,TAB(5),"X,Y="
120 INPUT X(I),Y(I)
130 NEXT I
140 REM
150 REM URMEAZA SUBPROGRAMUL DE GENERARE COEFICIENTILOR
160 REM
170 GOSUB
180 REM
190 REM URMEAZA SUBPROGRAMUL DE REGRESIE
200 REM
210 LET N=N+1
220 GOSUB 2120
230 PRINT "COEFICIENTI CALCULATI SIVIT"
240 FOR I=1 TO N
250 PRINT I,TAB(5),INT((1000000*D(I)))/1000000
260 NEXT I
270 REM
280 REM DEVIATIA STANDARD
290 REM
300 LET N=N-1
310 GOSUB 2670
320 PRINT
330 PRINT "DEVIATIA STANDARD",INT((1000000*D(1))/1000000)
340 PRINT
350 END
360 REM *****
370 REM SUBPROGRAM INMULTIRE MATRIX
380 REM *****
390 FOR I=1 TO M1
400   FOR J=1 TO N2
410     LET C(I,J)=0
420     FOR K=1 TO N1
430       LET C(I,J)=C(I,J)+A(I,K)*B(K,J)
440     NEXT K
450   NEXT J
460 NEXT I
470 RETURN

```



```

480 REM *****
490 REM SUBPROGRAM TRANSPUNERE MATRICE
500 REM *****
510 FOR I=1 TO N
520   FOR J=1 TO M
530     LET B(I,J)=A(J,I)
540   NEXT J
550 NEXT I
560 RETURN
570 REM *****
580 REM SALVARE MATRICI
590 REM *****
600 IF N1*N2*N3=0 THEN GOTO 690
610 FOR I1=1 TO N1
620   FOR I2=1 TO N2
630     FOR I3=1 TO N3
640       LET A(I1,I2,I3)=B(I1,I2,I3)
650     NEXT
660   NEXT
670 NEXT I1
680 RETURN
690 IF N1*N2=0 THEN GOTO
700 FOR I1=1 TO N1
710   FOR I2=1 TO N2
720     LET A(I1,I2)=B(I1,I2)
730   NEXT I2
740 NEXT I1
750 RETURN
760 IF N1=0 THEN RETURN
770 FOR I1=1 TO N1
780 LET A(I1)=B(I1)
790 NEXT I1
800 RETURN
810 REM *****
820 REM SUBPROGRAM SALVARE MATRICE C IN B
830 REM *****
840 IF N1*N2*N3=0 THEN GOTO 930
850 FOR I1=1 TO N1
860   FOR I2=1 TO N2
870     FOR I3=1 TO N3
880       LET B(I1,I2,I3)=C(I1,I2,I3)
890     NEXT I3
900   NEXT I2
910 NEXT I1
920 RETURN
930 IF N1*N2=0 THEN GOTO 1000
940 FOR I1=1 TO N1
950   FOR I2=1 TO N2

```

```

960           LET B(I1,I2)=C(I1,I2)
970           NEXT I2
980   NEXT I1
990 RETURN
1000 IF N1=0 THEN RETURN
1010 FOR I1=1 TO N1
1020 LET B(I1)=C(I1)
1030 NEXT I1
1040 RETURN
1050 REM ****
1060 REM SUBPROGRAM SALVARE MATRICE A IN C
1070 REM ****
1080 IF N1*N2*N3=0 THEN GOTO 1170
1090 FOR I1=1 TO N1
1100   FOR I2=1 TO N2
1110     FOR I3=1 TO N3
1120       C(I1,I2,I3)=A(I1,I2,I3)
1130     NEXT I3
1140   NEXT I2
1150 NEXT I1
1160 RETURN
1170 IF N1*N2=0 THEM GOTO 1240
1180 FOR I1=1 TO N1
1190   FOR I2=1 TO N2
1200     LET C(I1,I2)=A(I1,I2)
1210   NEXT I2
1220 NEXT I1
1230 RETURN
1240 IF N1=0 THEN RETURN
1250 FOR I1=1 TO N1
1260 LET C(I1)=A(I1)
1270 NEXT I1
1280 RETURN
1290 REM ****
1300 REM SUBPROGRAM SALVARE MATRICE    IN A
1310 REM ****
1320 IF N1*N2*N3=0 THEN GOTO 1410
1330 FOR I1=1 TO N1
1340   FOR I2=1 TO N2
1350     FOR I3=1 TO N3
1360       LET A(I1,I2,I3)=C(I1,I2,I3)
1370     NEXT I3
1380   NEXT I2
1390 NEXT I1
1400 RETURN
1410 IF N1*N2=0 THEN GOTO 1480
1420 FOR I1=1 TO N1
1430   FOR I2=1 TO N2

```

```

1440 LET A(I1,I2)=C(I1,I2)
1450 NEXT I2
1460 NEXT I1
1470 RETURN
1480 IF N1=0 THEN RETURN
1490 FOR I1=1 TO N1
1500 LET A(I1)=C(I1)
1510 NEXT I1
1520 RETURN
1530 REM *****
1540 REM SUBPROGRAM INVERSARE MATRICE
1550 REM *****
1560 FOR I=1 TO N
1570   FOR J=1 TO N
1580     LET B(I,J+N)=0
1590     LET B(I,J)=A(I,J)
1600   NEXT J
1610 LET B(I,I+N)=1
1620 NEXT I
1630 FOR K=1 TO N
1640 IF K=N THEN GOTO 1750
1650 LET M=K
1660   FOR I=K+1 TO N
1670   IF ABS(B(I,K))>ABS(B(M,K)) THEN M=I
1680 NEXT I
1690 IF M=K THEN GOTO
1700 FOR J=K TO 2*N
1710   LET B=B(K,J)
1720   LET B(K,J)=B(M,J)
1730   LET B(M,J)=B
1740 NEXT J
1750 FOR J=K+1 TO 2*N
1760   LET B(K,J)=B(K,J)/B(K,K)
1770 NEXT J
1780 IF K=1 THEN GOTO 1850
1790 FOR I=1 TO K-1
1800   FOR J=K+1 TO 2*N
1810     LET P(I,J)=B(I,J)-B(I,K)*B(K,J)
1820   NEXT J
1830 NEXT I
1840 IF K=N THEN GOTO 1910
1850 FOR I=K+1 TO N
1860   FOR J=K+1 TO 2*N
1870     LET B(I,J)=B(I,J)-B(I,K)*B(K,J)
1880   NEXT J
1890 NEXT I
1900 NEXT K
1910 FOR I=1 TO N

```

```

1920 FOR J=1 TO N
1930           LET B(I,J)=B(I,J+N)
1940 NEXT I
1950 NEXT I
1960 RETURN
1970 REM *****
1980 REM SUBPROGRAM DE CALCUL A COEFICIENTILOR POLINOMIALE
1990 REM *****
2000 FOR I=1 TO M
2010 LET B=1
2020 FOR J=1 TO N+1
2030           LET Z(1,J)=B
2040           LET B=B*X(I)
2050 NEXT I
2060 NEXT I
2070 RETURN
2080 REM *****
2090 REM FORMA ECUAȚIEI DE APROXIMARE
2100 REM Y=D(1)*X1+D(2)*X2+...+D(N)*XN
2110 REM *****
2120 LET D(1)=1
2130 LET N4=N
2140 REM MUTA D(1,J) IN
2150 FOR I=1 TO M
2160     FOR J=1 TO N
2170           LET A(I,J)=Z(I,J)
2180     NEXT J
2190 NEXT I
2200 GOSUB 510
2210 LET N1=M
2220 LET N2=N
2230 LET N3=0
2240 GOSUB 1050
2250 LET N1=N
2260 LET N2=n
2270 GOSUB 600
2280 LET N1=M
2290 LET N2=N
2300 GOSUB 840
2310 LET M1=N
2320 LET N1=M
2330 LET M2=M
2340 GOSUB
2350 LET N1=n
2360 GOSUB 1520
2370 GOSUB 1560
2380 LET M=M4
2390 GOSUB 600

```

```

2400 FOR I=1 TO M
2410   FOR J=1 TO N
2420     LET B(J,I)=Z(I,J)
2430   NEXT J
2440 NEXT I
2450 LET M2=N
2460 LET N2=M
2470 GOSUB 390
2480 LET N1=N
2490 LET N2=M
2500 GOSUB 1320
2510 FOR I=1 TO M
2520   LET B(I,1)=Y(I)
2530 NEXT I
2540 LET N2=1:LET N1=M
2550 LET M2=M
2560 GOSUB 370
2570 REM
2580 REM COEFICIENTII REGRESIEI
2590 REM
2600 FOR I=1 TO N
2610   LET D(I,I)=B(I,I)
2620 NEXT I
2630 RETURN
2640 REM ****
2650 REM SUBPROGRAM PENTRU DEVIATIA STANDARDA
2660 REM ****
2670 LET D=0
2680 FOR I=1 TO N
2690   LET Y=0
2700   LET B=1
2710     FOR J=1 TO N-1
2720       LET Y=Y+D(J)*B
2730       LET B=B*X(J)
2740     NEXT J
2750   LET D=D+(Y-Y(I))2/(N-1)
2760 NEXT I
2770 IF M=N-1 THEN GO TO 2800
2780 LET D=0
2790 RETURN
2800 LET E=D/(M-N-1)
2810 LET DE=E^.5
2820 RETURN

```

```

10 REM ****
20 REM * PROGRAM PENTRU PRELUCRAREA DATELOR *
30 REM *          EXPERIMENTALE - PDEX          *
40 REM ****
50 LPRINT "DATE INTRARE SI REZULTATE EXPERIMENTALE NR.7PPD"
60 PRINT "N-NUMARUL PUNCTELOR ;M-NUMARUL INCERCARILOR"
70 INPUT "N=";N:INPUT "M=";M
80 DIM F(N):DIM X(N):DIM Y(N):DIM Z(N):DIM U(N)
90 DIM A(M,N):DIM B(M,N)
100 PRINT "DATE PRIVIND SARCINA (F/M)?" :INPUT A$
110 PRINT "NUMARUL INCARCARII ": INPUT B$
120 C$="DE"+A$+B$+".DAT"
130 OPEN "O",#1,"A:"+C$
140 FOR I=1 TO N
150 PRINT "F(";I;")=":INPUT F(I)
160 PRINT #1,F(I)
170 NEXT I
180 CLOSE #1
190 PRINT "DATE DE INCARCARE SAU DESCARCARE (I/D)?:INPUT A$"
200 PRINT "NUMARUL INREGISTRARII":INPUT B$
210 C$="D"+A$+B$+".DAT"
220 FOR I=1 TO M
230 FOR J=1 TO N
240 PRINT "A(";I;",";J;")":INPUT A(I,J)
250 PRINT "B(";I;",";J;")":INPUT B(I,J)
260 NEXT J
270 NEXT I
280 FOR J=1 TO N
290     X1=0:X2=0
300             FOR I=1 TO M
310                 X1=X1+A(I,J)
320                 X2=X2+B(I,J)
330             NEXT I
340     X(J)=X1/M:Y(J)=X2/M
350 NEXT J
360 OPEN "O",#2,"A:"+C$
370 FOR J=1 TO N
380 PRINT #2,X(J)
390 PRINT #2,Y(J)
400 NEXT J

```

```
410 CLOSE #2
420 LPRINT "*****"
        *****
430 LPRINT SPC(5); "F"; SPC(7); "X1"; SPC(9); "X2";
        SPC(10); "X"; SPC(14); "FI"
440 LPRINT SPC(4); "(N)"; SPC(5); "(mm)"; SPC(6); "(mm)";
        SPC(9); "(mm)"; SPC(10); "(rad)"
450 LPRINT "*****"
        *****
460 FOR J=1 TO N
470 U(J)=ATN((Y(J)-X(J))/TR)
480 FI=U(J)
490 Z(J)=X(J)-(BF-168)*TAN(FI)
500 LPRINT TAB(3); F(J); TAB(13); X(J); TAB(22); Y(J); TAB(33);
        Z(J); TAB(46); U(J)
510 NEXT J
520 STOP
```